Schweizerische Eidgenossenschaft
Confédération suisse
Confederazione Svizzera
Confederaziun svizra

**Ufficio federale di topografia swisstopo**
Servizio geologico nazionale

# Modello dati geologico 2D (GeoCover), Revisione 4.3

## Descrizione e catalogo dati

Ufficio federale di topografia swisstopo - Servizio geologico nazionale

aprile 2026 (dev-83bfbf0)

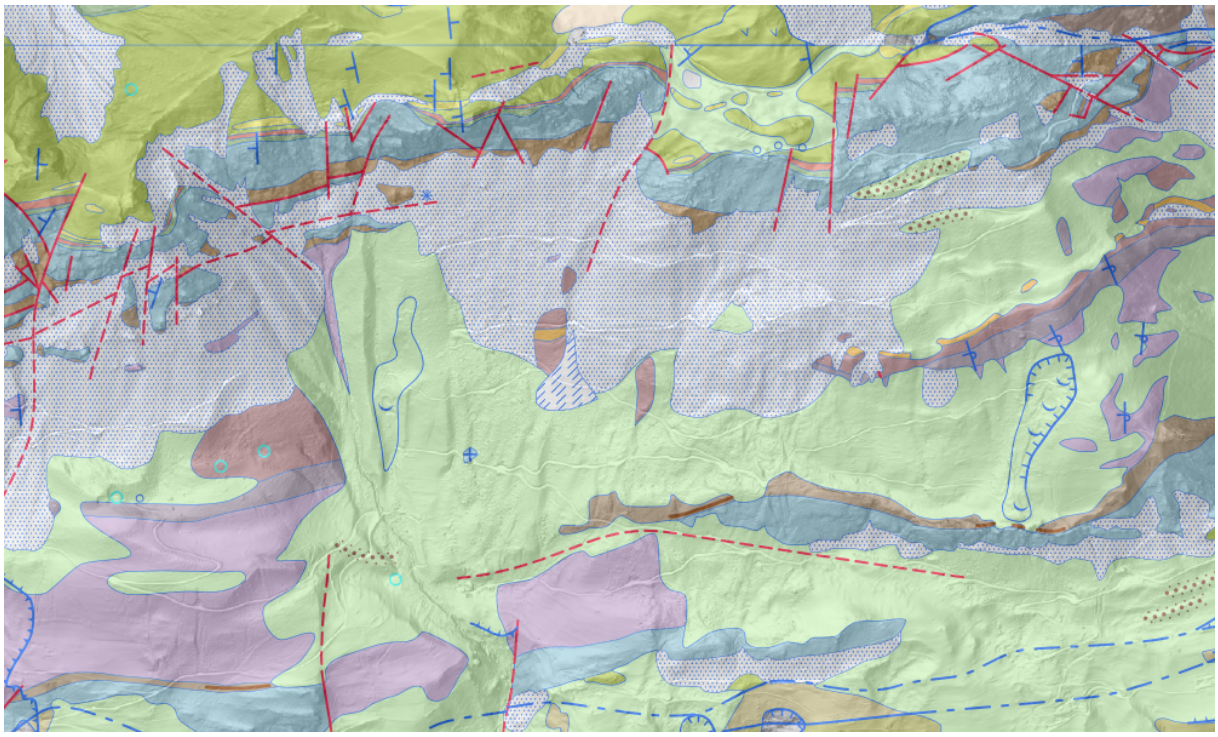

Figura 1: Estratto di GeoCover ed esempio di rappresentazione

# 1 Tema ROCK_BODIES

## 1.1 Classe Unconsolidated_Deposits_PT (Runc)

La classe Unconsolidated_Deposits_PT comprende i volumi rocciosi individualizzati (di dimensioni variabili, dai ciottoli ai blocchi) che sono stati trasportati da processi gravitazionali, glaciali o antropogenici fino alla loro posizione attuale, o liberati sul posto dal degrado della roccia sottostante.

| Nome | Tipo | Descrizione | Card. |
|---|---|---|---|
| **KIND** | subtype | Objektart | [1] |
| **STATUS** | CD | Stato del tipo di oggetto | [1] |
| **ROCK_SPE** | CD | Denominazione della roccia guida | [0..1] |
| **ROCK_TYPE** | CD | Gesteinstyp | [0..1] |
| **MAT_TYPE** | Tabella | Materialbezeichnung (lithologische Einheit) | [0..1] |
| **ORIG_DESCR** | string | Originalbezeichnung gemäss der Legende der zugrundeliegenden geologischen Karte | [0..1] |
| **PROTECTED** | boolean | Geschützt: ja/nein | [0..1] |

#### 1.1.0.1 Attributo KIND *Objektart*

| GeolCode | Deutsch | Italiano |
|---|---|---|
| 14401001 | erratischer Block | masso erratico |
| 14401002 | Schwarm erratischer Blöcke | accumulo di massi erratici |
| 14401003 | anthropogene Ansammlung von erratischen Blöcken | accumulo di massi erratici di origine antropica |
| 14401004 | Wanderblock | blocco arante |
| 14401005 | Geschiebe | pietrisco glaciale |
| 14401006 | Sturzblock | blocco di crollo |
| 14401007 | Lesesteinhaufen | mucchio di pietre da spietramento |
| 14401008 | Verwitterungsrückstände (Gerölle und/oder Konkretionen) | residui d'alterazione (ciottoli e/o concrezioni) |

#### 1.1.0.2 Attributo STATUS *Stato del tipo di oggetto*

| GeolCode | Deutsch | Italiano |
|---|---|---|

#### 1.1.0.3 Attributo ROCK_SPE *Denominazione della roccia guida*

| GeolCode | Deutsch | Italiano |
|---|---|---|

#### 1.1.0.4 Attributo ROCK_TYPE *Gesteinstyp*

| GeolCode | Deutsch | Italiano |
|---|---|---|

#### 1.1.0.5 Attributo MAT_TYPE *Materialbezeichnung (lithologische Einheit)*

Vedi GC_LITHO_UNCO_CD nell'appendice

#### 1.1.0.6 Attributo ORIG_DESCR *Originalbezeichnung gemäss der Legende der zugrundeliegenden geologischen Karte*

*Tipo di dato : string*

#### 1.1.0.7 Attributo PROTECTED *Geschützt: ja/nein*

*Tipo di dato : boolean*

## 1.2 Classe Unconsolidated_Deposits_PLG (Runc)

Die Klasse Unconsolidated_Deposits_PLG beinhaltet alle flächenhaft ausgeschiedenen Lockergesteine.

| Nome | Tipo | Descrizione | Card. |
|---|---|---|---|
| **KIND** | subtype | Objektart | [1] |
| **LITSTRAT** | Tabella | Lithostratigraphische Einheit | [1] |
| **LITHO** | Tabella | Lithologische Beschreibung | [1] |
| **CHRONO_T** | Tabella | Chronostratigraphische Zuordnung der Obergrenze der Kartiereinheit (Top) | [1] |
| **CHRONO_B** | Tabella | Chronostratigraphische Zuordnung der Untergrenze der Kartiereinheit (Basis) | [1] |
| **MAT_TYPE** | Tabella | Materialbezeichnung (lithologische Einheit) | [0..3] |
| **BURIED_OUT** | boolean | Wurde das Lockergestein wieder verdeckt (ja/nein)? | [1] |
| **COMPOSIT** | table | Zusammensetzung des Lockergesteins | [0..3] |
| **ADMIXTURE** | table | Beimengung | [0..2] |
| **STRUCTUR** | CD | Textur des Lockergesteins | [0..1] |
| **CHARACT** | table | Spezifische Eigenschaft | [0..3] |
| **MORPHOLO** | CD | Morphologie der Lockergesteinseinheit | [0..1] |
| **GLAC_TYPE** | CD | Gletschertyp; Attribut nur für Moränen | [0..1] |
| **REF_YEAR** | string | Zeitpunkt oder Zeitperiode. Zum Beispiel «1940 1943, Periode der Drainage» (muss präzisiert werden) | [0..1] |
| **THIN_COVER** | CD | Typ der geringmächtigen Lockermaterialbedeckung, wenn vorhanden | [0..1] |
| **ORIG_DESCR** | string | Originalbezeichnung gemäss der Legende der zugrunde liegenden geologischen Karte | [1] |

#### 1.2.0.1 Attributo KIND *Objektart*

| GeolCode | Deutsch | Italiano |
|---|---|---|
| 14517001 | Lockergestein | roccia sciolta |

#### 1.2.0.2 Attributo LITSTRAT *Lithostratigraphische Einheit.*

Vedi GC_LITSTRAT_UNCO_CD nell'appendice

#### 1.2.0.3 Attributo LITHO *Lithologische Beschreibung*

Vedi GC_LITHO_CD nell'appendice

#### 1.2.0.4 Attributo CHRONO_T *Chronostratigraphische Zuordnung der Obergrenze der Kartiereinheit (Top)*

Vedi GC_CHRONO_CD nell'appendice

#### 1.2.0.5 Attributo CHRONO_B *Chronostratigraphische Zuordnung der Untergrenze der Kartiereinheit (Basis)*

Vedi GC_CHRONO_CD nell'appendice

#### 1.2.0.6 Attributo MAT_TYPE *Materialbezeichnung (lithologische Einheit)*

Vedi GC_LITHO_CD nell'appendice

#### 1.2.0.7 Attributo BURIED_OUT *Wurde das Lockergestein wieder verdeckt (ja/nein)?*

*Tipo di dato : boolean*

#### 1.2.0.8 Attributo COMPOSIT *Zusammensetzung des Lockergesteins*

*Tipo di dato : table*

#### 1.2.0.9 Attributo ADMIXTURE *Beimengung*

*Tipo di dato : table*

#### 1.2.0.10 Attributo STRUCTUR *Textur des Lockergesteins*

| GeolCode | Deutsch | Italiano |
|---|---|---|

#### 1.2.0.11 Attributo CHARACT *Spezifische Eigenschaft*

*Tipo di dato : table*

#### 1.2.0.12 Attributo MORPHOLO *Morphologie der Lockergesteinseinheit*

| GeolCode | Deutsch | Italiano |
|---|---|---|

#### 1.2.0.13 Attributo GLAC_TYPE *Gletschertyp; Attribut nur für Moränen*

| GeolCode | Deutsch | Italiano |
|---|---|---|

#### 1.2.0.14 Attributo REF_YEAR *Zeitpunkt oder Zeitperiode. Zum Beispiel «1940 1943, Periode der Drainage» (muss präzisiert werden).*

*Tipo di dato : string*

#### 1.2.0.15 Attributo THIN_COVER *Typ der geringmächtigen Lockermaterialbedeckung, wenn vorhanden.*

| GeolCode | Deutsch | Italiano |
|---|---|---|

#### 1.2.0.16 Attributo ORIG_DESCR *Originalbezeichnung gemäss der Legende der zugrunde liegenden geologischen Karte*

*Tipo di dato : string*

## 1.3 Classe Bedrock_PLG (Rbed)

Die Klasse Bedrock_PLG enthält alle lithostratigraphischen Festgesteinseinheiten.

| Nome | Tipo | Descrizione | Card. |
|---|---|---|---|
| **KIND** | subtype | Objektart | [1] |
| **TECTO** | Tabella | Tektonische Zugehörigkeit | [1] |
| **GEOL_MAPPING_UNIT_ATT** | Tabella | Kartographische Einheiten | [1] |
| **LITSTRAT_FORMATION_BANK** | Tabella | Lithostratigraphische Formation | [1] |
| **CHRONO_TOP** | Tabella | Chronostratigraphische Zuordnung der Obergrenze der Kartiereinheit (Top) | [1] |
| **CHRONO_BASE** | Tabella | Chronostratigraphische Zuordnung der Obergrenze der Kartiereinheit (Top) | [1] |
| **LITHO_MAIN** | Tabella | Lithologische Beschreibung | [1] |
| **LITHO_SEC** | Tabella | Lithologische Beschreibung | [1] |
| **LITHO_TER** | Tabella | Lithologische Beschreibung | [1] |
| **CORRELATION** | Tabella | Korrelation | [1] |
| **DESCRIPTION** | string | Originalbezeichnung gemäss der Legende der zugrundeliegenden geologischen Karte | [1] |
| **EXOTIC_ELE** | boolean | Handelt es sich bei der Objektart um ein exotisches Element; z.B. Einschluss, Linse, Tasche, Olistholith (ja / nein)? | [0..1] |

#### 1.3.0.1 Attributo KIND *Objektart*

| GeolCode | Deutsch | Italiano |
|---|---|---|
| 14334001 | Festgestein | roccia consolidata |

#### 1.3.0.2 Attributo TECTO *Tektonische Zugehörigkeit*

Vedi GC_TECTO_CD nell'appendice

#### 1.3.0.3 Attributo GEOL_MAPPING_UNIT_ATT *Kartographische Einheiten*

Vedi GC_GEOL_MAPPING_UNIT_ATT nell'appendice

#### 1.3.0.4 Attributo LITSTRAT_FORMATION_BANK *Lithostratigraphische Formation*

Vedi GC_LITSTRAT_FORMATION_BANK_CD nell'appendice

#### 1.3.0.5 Attributo CHRONO_TOP *Chronostratigraphische Zuordnung der Obergrenze der Kartiereinheit (Top)*

Vedi GC_CHRONO_CD nell'appendice

#### 1.3.0.6 Attributo CHRONO_BASE *Chronostratigraphische Zuordnung der Obergrenze der Kartiereinheit (Top)*

Vedi GC_CHRONO_CD nell'appendice

#### 1.3.0.7 Attributo LITHO_MAIN *Lithologische Beschreibung*

Vedi GC_LITHO_CD nell'appendice

#### 1.3.0.8 Attributo LITHO_SEC *Lithologische Beschreibung*

Vedi GC_LITHO_CD nell'appendice

#### 1.3.0.9 Attributo LITHO_TER *Lithologische Beschreibung*

Vedi GC_LITHO_CD nell'appendice

#### 1.3.0.10 Attributo CORRELATION *Korrelation*

Vedi GC_CORRELATION_CD nell'appendice

#### 1.3.0.11 Attributo DESCRIPTION *Originalbezeichnung gemäss der Legende der zugrundeliegenden geologischen Karte*

*Tipo di dato : string*

#### 1.3.0.12 Attributo EXOTIC_ELE *Handelt es sich bei der Objektart um ein exotisches Element; z.B. Einschluss, Linse, Tasche, Olistholith (ja / nein)?*

*Tipo di dato : boolean*

# 2 Tema GEOMORPHOLOGY

## 2.1 Classe Instability_Structures_PT (Gins)

Die Klasse Instability_Structures_PT enthält lokal beobachtete Hinweise auf Hanginstabilitäten (Rutschungen), die räumlich nicht abgegrenzt werden können. Wenn möglich, sollen instabile Gesteinsmassen durch Polygone erfasst werden (Klasse Instabilities_PLG).

| Nome | Tipo | Descrizione | Card. |
|---|---|---|---|
| **KIND** | subtype | Objektart | [1] |

#### 2.1.0.1 Attributo KIND *Objektart*

| GeolCode | Deutsch | Italiano |
|---|---|---|
| 11601001 | Hinweis auf Hanginstabilität | indicazione di instabilità |

## 2.2 Classe Instability_Structures_L (Gins)

Die Klasse Instability_Structures_L umfasst linienförmige Morphologien, die sich als Folge von Hanginstabilitäten an der Oberfläche ausgebildet haben.

| Nome | Tipo | Descrizione | Card. |
|---|---|---|---|
| **KIND** | subtype | Objektart | [1] |

#### 2.2.0.1 Attributo KIND *Objektart*

| GeolCode | Deutsch | Italiano |
|---|---|---|
| 11701001 | Stauchwulst | cordone di compressione |
| 11701002 | Nackentälchen, Zerrstruktur | limite di controscarpata |
| 11701003 | Abrissrand | orlo di distacco |
| 11701004 | offene Spalte | trincea |

## 2.3 Classe Instabilities_PLG (Gins)

Die Klasse Instabilities_PLG beinhaltet alle Polygone, die Gebiete mit instabilen Festgesteinen oder Lockergestein begrenzen. In dieser Klasse werden die Prozessräume der verschiedenen Typen von gleitenden Massenbewegungsprozessen ausgeschieden; die eigentlichen Gesteinskörper oder Lockergesteinsablagerungen, die von Massenbewegungsprozessen betroffen bzw. gebildet worden sind, werden in der Klasse Bedrock_PLG beschrieben.

| Nome | Tipo | Descrizione | Card. |
|---|---|---|---|
| **KIND** | subtype | Objektart | [1] |
| **MAIN_MOV** | CD | Hauptbewegungsphase | [0..1] |

#### 2.3.0.1 Attributo KIND *Objektart*

| GeolCode | Deutsch | Italiano |
|---|---|---|
| 15801001 | Sackungsgebiet | area di scoscendimento |
| 15801002 | Gebiet mit Hakenwurf | area con piegamento a uncino |
| 15801003 | Rutschgebiet | area di scivolamento |
| 15801004 | Gebiet mit Solifluktion | area di soliflusso |

#### 2.3.0.2 Attributo MAIN_MOV *Hauptbewegungsphase*

| GeolCode | Deutsch | Italiano |
|---|---|---|

## 2.4 Classe Glacial_Structures_PT (Ggla)

Die Klasse Glacial_Structures_PT enthält Objektarten, welche die ehemalige Anwesenheit eines Gletschers punktuell dokumentieren (Gletscherschliff ist ein räumlich orientiertes Objekt und befindet sich deshalb in der Klasse Lineation_PT).

| Nome | Tipo | Descrizione | Card. |
|---|---|---|---|
| **KIND** | subtype | Objektart | [1] |

#### 2.4.0.1 Attributo KIND *Objektart*

| GeolCode | Deutsch | Italiano |
|---|---|---|
| 11201001 | glazitektonische Deformation | deformazione glaciotettonica |
| 11201002 | Gletschermühle, Strudelloch | marmitta glaciale |

## 2.5 Classe Glacial_and_Periglacial_Structures_L (Ggla)

Die Klasse Glacial_and_Periglacial_Structures_L enthält linienförmige Strukturen, die auf ein glaziales oder periglaziales Bildungsmilieu hindeuten.

| Nome | Tipo | Descrizione | Card. |
|---|---|---|---|
| **KIND** | subtype | Objektart | [1] |
| **MORAI_MO** | CD | Morphologie der Moräne | [0..1] |
| **GLAC_TYP** | CD | Gletschertyp, auf welchen die Objektart bezogen ist | [0..1] |
| **ICE_M_P** | CD | Räumlicher Gletscherstand | [0..1] |
| **QUAT_STR** | CD | Zeitliche quartärstratigraphische Zuordnung des Moränenwälls | [0..1] |
| **REF_YEAR** | integer | Referenzjahr des älteren Gletscherstandes | [0..1] |
| **SOURCE** | string | Quellenangabe der historischen Unterlagen | [0..1] |

#### 2.5.0.1 Attributo KIND *Objektart*

| GeolCode | Deutsch | Italiano |
|---|---|---|
| 11301001 | Moränenwall | cordone morenico |
| 11301002 | Moränenwall auf Gletscher oder auf Toteis | cordone morenico su ghiacciaio oppure su ghiaccio morto |
| 11301003 | Kameterrassenkante | orlo di terrazzo di kame |
| 11301004 | älterer Gletscherstand, basierend auf historischen Daten | stadio glaciale antico, derivato da dati storici |
| 11301005 | Schliffgrenze | limite superiore di erosione glaciale |
| 11301006 | Protalus Rampart Wulst | lobo di protalus rampart |
| 11301007 | Blockwulst im Blockgletscher | lobo di ghiacciaio roccioso |
| 11301008 | Schneehaldenmoränenwall | cordone di nivomorena |
| 11301009 | Verbreitungsgrenze von Geschiebe | limite di distribuzione di pietrisco glaciale |
| 11301010 | periglazialer Wulst im Allg. | 11301010 |

#### 2.5.0.2 Attributo MORAI_MO *Morphologie der Moräne*

| GeolCode | Deutsch | Italiano |
|---|---|---|

#### 2.5.0.3 Attributo GLAC_TYP *Gletschertyp, auf welchen die Objektart bezogen ist*

| GeolCode | Deutsch | Italiano |
|---|---|---|

#### 2.5.0.4 Attributo ICE_M_P *Räumlicher Gletscherstand*

| GeolCode | Deutsch | Italiano |
|---|---|---|

#### 2.5.0.5 Attributo QUAT_STR *Zeitliche quartärstratigraphische Zuordnung des Moränenwälls*

| GeolCode | Deutsch | Italiano |
|---|---|---|

#### 2.5.0.6 Attributo REF_YEAR *Referenzjahr des älteren Gletscherstandes.*

*Tipo di dato : integer*

#### 2.5.0.7 Attributo SOURCE *Quellenangabe der historischen Unterlagen*

*Tipo di dato : string*

## 2.6 Classe Glacial_Structures_PLG (Ggla)

Die Klasse Glacial_Structures_PLG umfasst flächenhafte glaziale Landschaftsformen, die durch basales Fliessen des Gletschereises oder dessen Abschmelzen entstanden sind.

| Nome | Tipo | Descrizione | Card. |
|---|---|---|---|
| **KIND** | subtype | Objektart | [1] |

#### 2.6.0.1 Attributo KIND *Objektart*

| GeolCode | Deutsch | Italiano |
|---|---|---|
| 11401001 | Drumlin, drumlinartige Kieskuppe | drumlin, dosso ghiaioso a forma di drumlin |
| 11401003 | Rundhöcker | roccia montonata |
| 11401004 | Toteisloch, Soll | dolina glaciale, kettle |
| 11401005 | Kame | kame |

## 2.7 Classe Erosional_Structures_PT (Gero)

Die Klasse Erosional_Structures_PT beinhaltet lokale Landschaftselemente, die sich im Laufe der Zeit unter Einwirkung von diversen Erosionsprozessen gebildet haben.

| Nome | Tipo | Descrizione | Card. |
|---|---|---|---|
| **KIND** | subtype | Objektart | [1] |

#### 2.7.0.1 Attributo KIND *Objektart*

| GeolCode | Deutsch | Italiano |
|---|---|---|
| 11001001 | Erdpyramide | piramide di terra |

## 2.8 Classe Erosional_Structures_L (Gero)

Die Klasse Erosional_Structures_L enthält linienförmige erosive Formen wie Erosionsränder im Allgemeinen oder Terrassenkanten.

| Nome | Tipo | Descrizione | Card. |
|---|---|---|---|
| **KIND** | subtype | Objektart | [1] |

#### 2.8.0.1 Attributo KIND *Objektart*

| GeolCode | Deutsch | Italiano |
|---|---|---|
| 11101001 | Erosionsrand | orlo di erosione |
| 11101002 | Terrassenkante | orlo di terrazzo |
| 11101003 | Schichtstufenkante | orlo della testata dei banchi |

## 2.9 Classe Karstic_Structures_PT (Gkar)

Die Klasse Karstic_Structures_PT beinhaltet Karstphänomene, die punktförmig dargestellt werden. Darunter fallen u.a. der Ponor oder der Eingang zu einer Höhle.

| Nome | Tipo | Descrizione | Card. |
|---|---|---|---|
| **KIND** | subtype | Objektart | [1] |
| **ICE_CAVE** | boolean | Eisgrotte (ja / nein) | [0..1] |

#### 2.9.0.1 Attributo KIND *Objektart*

| GeolCode | Deutsch | Italiano |
|---|---|---|
| 11901001 | Ponor | ponor |
| 11901002 | Höhle, Balme | grotta, balma |

#### 2.9.0.2 Attributo ICE_CAVE *Eisgrotte (ja / nein)*

*Tipo di dato : boolean*

## 2.10 Classe Karstic_Structures_PLG (Gkar)

Die Klasse Karstic_Structures_PLG umfasst flächenhafte Karstformen wie Dolinen oder Poljen.

| Nome | Tipo | Descrizione | Card. |
|---|---|---|---|
| **KIND** | subtype | Objektart | [1] |

#### 2.10.0.1 Attributo KIND *Objektart*

| GeolCode | Deutsch | Italiano |
|---|---|---|
| 12001001 | Senke ohne oberirdischen Abfluss | depressione senza deflusso superficiale |
| 12001002 | Doline | dolina |
| 12001003 | Karrenfeld | campi carreggiati |
| 12001004 | Polje | polje |

## 2.11 Classe Alluvial_and_Lacustrine_Structures_L (Gall)

Die Klasse Alluvial_and_Lacustrine_Structures_L beinhaltet linienförmige Morphologien fluviatilen oder lakustrischen Ursprungs.

| Nome | Tipo | Descrizione | Card. |
|---|---|---|---|
| **KIND** | subtype | Objektart | [1] |
| **AGE** | CD | Alter der Objektart | [0..1] |

#### 2.11.0.1 Attributo KIND *Objektart*

| GeolCode | Deutsch | Italiano |
|---|---|---|
| 10901001 | Strandwall | cordone litorale |
| 10901002 | Achse einer Murgangrinne | asse di un canale di colata detritica torrentizia |

#### 2.11.0.2 Attributo AGE *Alter der Objektart.*

| GeolCode | Deutsch | Italiano |
|---|---|---|

# 3 Tema TECTONICS

## 3.1 Classe Deformation_Structures_PT (Tdef)

Die Klasse Deformation_Structures_PT beinhaltet punktuell beobachtete tektonische Deformationsstrukturen wie lokal stark verfaltete Stellen (Fältelung) oder Orte mit ausgeprägter Klüftung. Ebenfalls in dieser Klasse befinden sich konstruierte Punkte wie z.B. die Orientierung der Faltenachsenfläche.

| Nome | Tipo | Descrizione | Card. |
|---|---|---|---|
| **KIND** | subtype | Objektart | [1] |
| **AZIMUTH** | integer | Fallrichtung (Azimut) der jeweiligen Punktobjektart. Wert in Grad von 0° bis 359° im Uhrzeigersinn gemessen | [0..1] |
| **DIP** | integer | Einfallswert der jeweiligen Punktobjektart. Wert in Grad gemessen aus der Horizontalen (0°) nach unten bis in die Vertikale (90°) | [0..1] |
| **FOLD_TYP** | CD | Objekttyp | [0..1] |
| **FOLD_FOR** | CD | Objektform | [0..1] |

#### 3.1.0.1 Attributo KIND *Objektart*

| GeolCode | Deutsch | Italiano |
|---|---|---|
| 14601001 | punktuell beobachtete tektonische Brekzie | breccia tettonica osservata localmente |
| 14601002 | ausgeprägte Klüftung | diaclasi ben marcate |
| 14601003 | tektonische Diskordanz | discordanza tettonica |
| 14601004 | Orientierung der Faltenachsenfläche | giacitura del piano assiale di una piega |
| 14601005 | Fältelung | pieghettamento |
| 14601006 | Darstellung der Spur einer Achsenfläche | rappresentazione della traccia di un piano assiale |
| 14601007 | Chevron-Falte, Kink Fold | piega a chevron, piega a kink |

#### 3.1.0.2 Attributo AZIMUTH *Fallrichtung (Azimut) der jeweiligen Punktobjektart. Wert in Grad von 0° bis 359° im Uhrzeigersinn gemessen.*

*Tipo di dato : integer*

#### 3.1.0.3 Attributo DIP *Einfallswert der jeweiligen Punktobjektart. Wert in Grad gemessen aus der Horizontalen (0°) nach unten bis in die Vertikale (90°).*

*Tipo di dato : integer*

#### 3.1.0.4 Attributo FOLD_TYP *Objekttyp*

| GeolCode | Deutsch | Italiano |
|---|---|---|

#### 3.1.0.5 Attributo FOLD_FOR *Objektform*

| GeolCode | Deutsch | Italiano |
|---|---|---|

## 3.2 Classe Deformation_Structures_L (Tdef)

Die Klasse Deformation_Structures_L enthält linienförmige tektonische Deformationsstrukturen, wie den Verlauf des Faltenscharniers.

| Nome | Tipo | Descrizione | Card. |
|---|---|---|---|
| **KIND** | subtype | Objektart | [1] |

#### 3.2.0.1 Attributo KIND *Objektart*

| GeolCode | Deutsch | Italiano |
|---|---|---|
| 14701001 | Faltenscharnier | cerniera di piega |

## 3.3 Classe Deformation_Structures_PLG (Tdef)

In der Klasse Deformation_Structures_PLG befinden sich tektonisch geprägte Zonen wie tektonisierte Zonen oder Kluftzonen.

| Nome | Tipo | Descrizione | Card. |
|---|---|---|---|
| **KIND** | subtype | Objektart | [1] |
| **TYPE** | CD | Charakteristik der Objektarten | [0..1] |

#### 3.3.0.1 Attributo KIND *Objektart*

| GeolCode | Deutsch | Italiano |
|---|---|---|
| 14801001 | Kluftzone | zona a diaclasi |
| 14801002 | tektonisierte Zone | zona tettonizzata |

#### 3.3.0.2 Attributo TYPE *Charakteristik der Objektarten*

| GeolCode | Deutsch | Italiano |
|---|---|---|

## 3.4 Classe Tectonic_Boundaries_L (Ttec)

Die Klasse Tectonic_Boundaries_L umfasst alle tektonischen Verwerfungen.

| Nome | Tipo | Descrizione | Card. |
|---|---|---|---|
| **KIND** | subtype | Objektart | [1] |
| **FAULT_MO** | CD | Bewegungsrichtung des Bruchs | [0..1] |
| **VERTI_MO** | CD | Bewegung parallel zur Fallrichtung der Bruchfläche | [0..1] |
| **HORIZ_MO** | CD | Bewegung parallel zur Streichrichtung der Bruch- oder Scherfläche | [0..1] |
| **LIM_TYP** | CD | Typ der tektonischen Grenze (Deckengrenze,Schuppengrenze, etc.) | [1] |
| **HIERA** | CD | Typ der tektonischen Grenze (Deckengrenze,Schuppengrenze, etc.) | [1] |
| **STATUS** | CD | Zustand der Objektart | [1] |
| **META_STA** | CD | Tektonometamorphe Chronologie der Objektart | [0..1] |
| **NAME** | string | Spezifischer Name der Objektart | [0..1] |

#### 3.4.0.1 Attributo KIND *Objektart*

| GeolCode | Deutsch | Italiano |
|---|---|---|
| 14901001 | Überschiebung | sovrascorrimento |
| 14901002 | Abschiebung | scollamento (faglia normale di grande estensione e debole inclinazione) |
| 14901004 | Bruch | faglia |
| 14901005 | Aufschiebung | faglia inversa |
| 14901006 | Blattverschiebung | faglia trascorrenti |
| 14901007 | komplexe Störung | faglia tettonica complessa |
| 14901008 | Störung i. Allg. | faglia tettonica in generale |
| 14901009 | neotektonischer Bruch | 14901009 |

#### 3.4.0.2 Attributo FAULT_MO *Bewegungsrichtung des Bruchs*

| GeolCode | Deutsch | Italiano |
|---|---|---|

#### 3.4.0.3 Attributo VERTI_MO *Bewegung parallel zur Fallrichtung der Bruchfläche.*

| GeolCode | Deutsch | Italiano |
|---|---|---|

#### 3.4.0.4 Attributo HORIZ_MO *Bewegung parallel zur Streichrichtung der Bruch- oder Scherfläche*

| GeolCode | Deutsch | Italiano |
|---|---|---|

#### 3.4.0.5 Attributo LIM_TYP *Typ der tektonischen Grenze (Deckengrenze,Schuppengrenze, etc.)*

| GeolCode | Deutsch | Italiano |
|---|---|---|

#### 3.4.0.6 Attributo HIERA *Typ der tektonischen Grenze (Deckengrenze,Schuppengrenze, etc.)*

| GeolCode | Deutsch | Italiano |
|---|---|---|

#### 3.4.0.7 Attributo STATUS *Zustand der Objektart*

| GeolCode | Deutsch | Italiano |
|---|---|---|

#### 3.4.0.8 Attributo META_STA *Tektonometamorphe Chronologie der Objektart*

| GeolCode | Deutsch | Italiano |
|---|---|---|

#### 3.4.0.9 Attributo NAME *Spezifischer Name der Objektart.*

*Tipo di dato : string*

# 4 Tema MEASUREMENTS_SPATIAL_ORIENTATION

## 4.1 Classe Folds_PT (Mfol)

Die Klasse Folds_PT enthält Objektarten, welche die räumliche Lage von verfalteten geologischen Objekten (mit direkten Feldmessungen) beschreiben.

| Nome | Tipo | Descrizione | Card. |
|---|---|---|---|
| **KIND** | subtype | Objektart | [1] |
| **FOLD_TYP** | CD | Faltentyp | [0..1] |
| **FOLD_FOR** | CD | Faltenform | [0..1] |
| **PHASE** | CD | Deformationsphase | [0..1] |
| **PHASE_REF** | string | Referenz für die Angabe der Deformationsphase | [0..1] |
| **AZIMUTH** | integer | Einfallsrichtung (Azimut) der jeweiligen Punktobjektart (z.B. Scheitellinie, Faltenachse). Wert in Grad (0° 359°) im Uhrzeigersinn gemessen | [1] |
| **DIP** | integer | Einfallswert der jeweiligen Punktobjektart. Wert in Grad gemessen aus der Horizontalen (0°) nach unten bis in die Vertikale (90°) | [0..1] |

#### 4.1.0.1 Attributo KIND *Objektart*

| GeolCode | Deutsch | Italiano |
|---|---|---|
| 13601001 | Orientierung der Faltenachse | orientazione dell'asse di piega |
| 13601002 | Orientierung der Scheitellinie | orientazione della linea di cresta |
| 13601003 | Orientierung der Muldenlinie | orientazione della linea di depressione |

#### 4.1.0.2 Attributo FOLD_TYP *Faltentyp*

| GeolCode | Deutsch | Italiano |
|---|---|---|

#### 4.1.0.3 Attributo FOLD_FOR *Faltenform*

| GeolCode | Deutsch | Italiano |
|---|---|---|

#### 4.1.0.4 Attributo PHASE *Deformationsphase.*

| GeolCode | Deutsch | Italiano |
|---|---|---|

#### 4.1.0.5 Attributo PHASE_REF *Referenz für die Angabe der Deformationsphase.*

*Tipo di dato : string*

#### 4.1.0.6 Attributo AZIMUTH *Einfallsrichtung (Azimut) der jeweiligen Punktobjektart (z.B. Scheitellinie, Faltenachse). Wert in Grad (0° 359°) im Uhrzeigersinn gemessen*

*Tipo di dato : integer*

#### 4.1.0.7 Attributo DIP *Einfallswert der jeweiligen Punktobjektart. Wert in Grad gemessen aus der Horizontalen (0°) nach unten bis in die Vertikale (90°).*

*Tipo di dato : integer*

## 4.2 Classe Lineation_PT (Mlin)

In der Klasse Lineation_PT finden sich Objektarten, welche die räumliche Lage von diversen Linearen mit direkten Feldmessungen beschreiben. Die räumliche Lage u.a. von Gletscherschliffen und Rutschharnischen ist ebenso Teil dieser Klasse wie die Orientierung von Streckungs- oder Intersektionslineationen.

| Nome | Tipo | Descrizione | Card. |
|---|---|---|---|
| **KIND** | subtype | Objektart | [1] |
| **AZIMUTH** | integer | Einfallsrichtung (Azimut) der jeweiligen Punktobjektart (z.B. Scheitellinie, Faltenachse). Wert in Grad (0° 359°) im Uhrzeigersinn gemessen | [1] |

| Nome | Tipo | Descrizione | Card. |
|---|---|---|---|
| **DIP** | integer | Einfallswert der jeweiligen Punktobjektart. Wert in Grad gemessen aus der Horizontalen (0°) nach unten bis in die Vertikale (90°) | [] |

#### 4.2.0.1 Attributo KIND *Objektart*

| GeolCode | Deutsch | Italiano |
|---|---|---|
| 13701001 | Orientierung der Intersektionslineation | orientazione della lineazione di intersezione |
| 13701002 | Orientierung der Streckungslineation | orientazione della lineazione di stiramento |
| 13701003 | Orientierung von Rutschharnischen | orientazione dei tettoglifi |
| 13701004 | Orientierung von Gletscherschliffen | orientazione delle strie glaciali |

#### 4.2.0.2 Attributo AZIMUTH *Einfallsrichtung (Azimut) der jeweiligen Punktobjektart (z.B. Scheitellinie, Faltenachse). Wert in Grad (0° 359°) im Uhrzeigersinn gemessen*

*Tipo di dato : integer*

#### 4.2.0.3 Attributo DIP *Einfallswert der jeweiligen Punktobjektart. Wert in Grad gemessen aus der Horizontalen (0°) nach unten bis in die Vertikale (90°).*

*Tipo di dato : integer*

## 4.3 Classe Planar_Structures_PT (Mpla)

Die Klasse Planar_Structures_PT enthält Objektarten, welche die räumliche Lage von planaren Strukturen mit direkten Feldmessungen beschreiben.

| Nome | Tipo | Descrizione | Card. |
|---|---|---|---|
| **KIND** | subtype | Objektart | [1] |
| **POLARITY** | CD | Position der Objektart im Raum | [0..1] |
| **PHASE** | CD | Deformationsphase | [0..1] |
| **PHASE_REF** | string | Referenz für die Angabe der Deformationsphase | [0..1] |
| **OB_DIP_SLO** | boolean | Dip slope (ja / nein)? | [0..1] |
| **AZIMUTH** | integer | Einfallsrichtung (Azimut) der jeweiligen Punktobjektart (z.B. Scheitellinie, Faltenachse). Wert in Grad (0° 359°) im Uhrzeigersinn gemessen | [1] |
| **DIP** | integer | Einfallswert der jeweiligen Punktobjektart. Wert in Grad gemessen aus der Horizontalen (0°) nach unten bis in die Vertikale (90°) | [] |

#### 4.3.0.1 Attributo KIND *Objektart*

| GeolCode | Deutsch | Italiano |
|---|---|---|
| 13801001 | Orientierung der Schichten | giacitura degli strati |
| 13801002 | Orientierung eines Ganges | giacitura di un filone |
| 13801003 | Orientierung einer Bruchfläche | giacitura di un piano di faglia |

| GeolCode | Deutsch | Italiano |
|---|---|---|
| 13801004 | Orientierung der Schieferung | giacitura della scistosità |
| 13801005 | Orientierung einer Schichtung oder Schieferung | giacitura di uno strato o di una scistosità |
| 13801006 | Schüttungsrichtung | direzione del trasporto dei sedimenti |

#### 4.3.0.2 Attributo POLARITY *Position der Objektart im Raum*

| GeolCode | Deutsch | Italiano |
|---|---|---|

#### 4.3.0.3 Attributo PHASE *Deformationsphase*

| GeolCode | Deutsch | Italiano |
|---|---|---|

#### 4.3.0.4 Attributo PHASE_REF *Referenz für die Angabe der Deformationsphase.*

*Tipo di dato : string*

#### 4.3.0.5 Attributo OB_DIP_SLO *Dip slope (ja / nein)?*

*Tipo di dato : boolean*

#### 4.3.0.6 Attributo AZIMUTH *Einfallsrichtung (Azimut) der jeweiligen Punktobjektart (z.B. Scheitellinie, Faltenachse). Wert in Grad (0° 359°) im Uhrzeigersinn gemessen*

*Tipo di dato : integer*

#### 4.3.0.7 Attributo DIP *Einfallswert der jeweiligen Punktobjektart. Wert in Grad gemessen aus der Horizontalen (0°) nach unten bis in die Vertikale (90°).*

*Tipo di dato : integer*

# 5 Tema LOCAL_ADDITIONAL_INFORMATION

## 5.1 Classe Anomalies_PT (Lano)

Die Klasse Anomalies_PT beinhaltet lokal beobachtete und / oder gemessene Anomalien.

| Nome | Tipo | Descrizione | Card. |
|---|---|---|---|
| **KIND** | subtype | Objektart | [1] |
| **TYPE** | CD | Charakteristik der Objektart | [] |

#### 5.1.0.1 Attributo KIND *Objektart*

| GeolCode | Deutsch | Italiano |
|---|---|---|
| 12801001 | gemessene Anomalie | anomalia misurata |
| 12801002 | Fulgurit | folgorite |

#### 5.1.0.2 Attributo TYPE *Charakteristik der Objektart.*

| GeolCode | Deutsch | Italiano |
|---|---|---|

## 5.2 Classe Fossils_PT (Lfos)

Die Klasse Fossils_PT enthält alle Fossilfundstellen.

| Nome | Tipo | Descrizione | Card. |
|---|---|---|---|
| **KIND** | subtype | Objektart | [1] |
| **DIVISION** | CD | Fossilienkategorie, zu welcher die Objektinstanz gehört | [0..1] |
| **SYSTEM** | table | Fossiliengruppe | [0..5] |
| **DAT_METH** | CD | Datierungsmethode | [0..1] |
| **STATUS** | CD | Zustand der Objektart | [0..1] |
| **PROTECTED** | boolean | Geschützte Fossilfundstelle (ja / nein)? | [0..1] |

#### 5.2.0.1 Attributo KIND *Objektart*

| GeolCode | Deutsch | Italiano |
|---|---|---|
| 12901001 | Fossilfundstelle | ritrovamento fossilifero |

#### 5.2.0.2 Attributo DIVISION *Fossilienkategorie, zu welcher die Objektinstanz gehört.*

| GeolCode | Deutsch | Italiano |
|---|---|---|

#### 5.2.0.3 Attributo SYSTEM *Fossiliengruppe.*

*Tipo di dato : table*

#### 5.2.0.4 Attributo DAT_METH *Datierungsmethode.*

| GeolCode | Deutsch | Italiano |
|---|---|---|

#### 5.2.0.5 Attributo STATUS *Zustand der Objektart*

| GeolCode | Deutsch | Italiano |
|---|---|---|

#### 5.2.0.6 Attributo PROTECTED *Geschützte Fossilfundstelle (ja / nein)?*

*Tipo di dato : boolean*

## 5.3 Classe Indication_of_Resources_PT (Lres)

Die Klasse Indication_of_Resources_PT beinhaltet Fundstellen von vulkanischen, mineralischen und nicht-mineralischen Rohstoffen.

| Nome | Tipo | Descrizione | Card. |
|---|---|---|---|
| **KIND** | subtype | Objektart | [1] |
| **STATUS** | CD | Zustand der Objektart | [0..1] |
| **MATERIAL** | CD | Material, das mit der Objektart in Verbindung steht | [0..1] |
| **CHEMISTRY** | string | Chemische Komponente(n) oder Mineralien, welche die Natur der Objektart charakterisieren | [0..1] |

#### 5.3.0.1 Attributo KIND *Objektart*

| GeolCode | Deutsch | Italiano |
|---|---|---|
| 13201001 | Mineralfundstelle | ritrovamento minerario |
| 13201002 | Gasquelle | fuoriuscita, sorgente di gas naturale |
| 13201003 | Anzeichen auf Öl | indicatore di petrolio |
| 13201004 | Tasche, Karsttasche, Kluft, mit Füllung von siderolithischem Sediment | sacca, sacca carsica, fessura riempita di materiale siderolitico |
| 13201005 | Fundstelle von vulkanischem Tuffit | giacimento di tufite vulcanica |
| 13201006 | Fundstelle vulkanischer Auswürflinge (Tephra) | giacimento di eietti vulcanici (tefrite) |
| 13201007 | Fundstelle von Ries-Auswürflingen | giacimento di eietti vulcanici del Ries |
| 13201008 | Asphalt, vereinzeltes Vorkommen | asfalto, giacimento isolato |
| 13201009 | Meteoritenfundstelle | giacimento di meteorite |

#### 5.3.0.2 Attributo STATUS *Zustand der Objektart*

| GeolCode | Deutsch | Italiano |
|---|---|---|

#### 5.3.0.3 Attributo MATERIAL *Material, das mit der Objektart in Verbindung steht*

| GeolCode | Deutsch | Italiano |
|---|---|---|

#### 5.3.0.4 Attributo CHEMISTRY *Chemische Komponente(n) oder Mineralien, welche die Natur der Objektart charakterisieren.*

*Tipo di dato : string*

## 5.4 Classe Mineralised_Zone_L (Lmin)

Die Klasse Mineralised_Zone_L beinhaltet Vererzungszonen.

| Nome | Tipo | Descrizione | Card. |
|---|---|---|---|
| **KIND** | subtype | Objektart | [1] |
| **CHEMISTRY** | string | Chemische Komponente(n), welche die Natur der Objektart charakterisieren | [0..1] |

#### 5.4.0.1 Attributo KIND *Objektart*

| GeolCode | Deutsch | Italiano |
|---|---|---|
| 13301001 | Vererzungszone | zona mineralizzata |

#### 5.4.0.2 Attributo CHEMISTRY *Chemische Komponente(n), welche die Natur der Objektart charakterisieren.*

*Tipo di dato : string*

## 5.5 Classe Sedimentary_Structures_PT (Lsed)

Die Klasse Sedimentary_Structures_PT enthält beobachtete Sedimentstrukturen.

| Nome | Tipo | Descrizione | Card. |
|---|---|---|---|
| **KIND** | subtype | Objektart | [1] |
| **AZIMUTH** | integer | Orientierung des Symbols. Wert in Grad (0° bis 359°) im Uhrzeigersinn gemessen | [0..1] |

#### 5.5.0.1 Attributo KIND *Objektart*

| GeolCode | Deutsch | Italiano |
|---|---|---|
| 13401001 | Sedimentstrukturen | strutture sedimentarie |
| 13401002 | Riffstrukturen | strutture recifale |
| 13401003 | Erosions- oder Omissionsfläche, Hartgrund, Kondensationshorizont | superficie di erosione o diastema (iato), «hardground», livello di condensazione |
| 13401004 | stratigraphische Lage (Polarität) einer Schichtserie | posizione stratigrafica (polarità) di uno strato sedimentario |
| 13401005 | Winkeldiskordanz | discordanza angolare |
| 13401006 | Entwässerungstrichter (blow-out structure) | struttura di scarico dell'acqua |

#### 5.5.0.2 Attributo AZIMUTH *Orientierung des Symbols. Wert in Grad (0° bis 359°) im Uhrzeigersinn gemessen.*

*Tipo di dato : integer*

## 5.6 Classe Type_Localities_PT (Ltyp)

Die Klasse Type_Localities_PT beinhaltet diejenigen Objektarten, die Typusprofile oder wichtige geologische Aufschlüsse beschreiben.

| Nome | Tipo | Descrizione | Card. |
|---|---|---|---|
| **KIND** | subtype | Objektart | [1] |
| **STRATI** | CD | Lithostratigraphischer Zusatz zum Objekt | [0..1] |
| **NAME** | string | Name der Typlokalität. / Beschreibung des geologisch relevanten Aufschlusses | [0..1] |
| **ACCESSIBIL** | boolean | Ist die Objektart zum Zeitpunkt der Aufnahme aufgeschlossen (ja / nein)? | [0..1] |

| Nome | Tipo | Descrizione | Card. |
|---|---|---|---|
| **PROTECTED** | boolean | Geschütztes geologisches Objekt (ja / nein)? | [0..1] |

#### 5.6.0.1 Attributo KIND *Objektart*

| GeolCode | Deutsch | Italiano |
|---|---|---|
| 13501001 | geologisch relevanter Aufschluss | affioramento geologico importante |
| 13501003 | Typusprofil | sezione-tipo |

#### 5.6.0.2 Attributo STRATI *Lithostratigraphischer Zusatz zum Objekt*

| GeolCode | Deutsch | Italiano |
|---|---|---|

#### 5.6.0.3 Attributo NAME *Name der Typlokalität. / Beschreibung des geologisch relevanten Aufschlusses*

*Tipo di dato : string*

#### 5.6.0.4 Attributo ACCESSIBIL *Ist die Objektart zum Zeitpunkt der Aufnahme aufgeschlossen (ja / nein)?*

*Tipo di dato : boolean*

#### 5.6.0.5 Attributo PROTECTED *Geschütztes geologisches Objekt (ja / nein)?*

*Tipo di dato : boolean*

## 5.7 Classe Prominent_Lithological_Features_L (Lpro)

In der Klasse Prominent_Lithological_Features_L befinden sich linienförmige Gesteinshorizonte. Diese Gesteinshorizonte haben lediglich Hinweischarakter (z.B. «markante Sandsteinbank» innerhalb von Wechsellagerungen von Sandstein und Mergel) und sind von den Leithorizonten (z.B. «Spatkalk im Hauptrogenstein») zu unterschieden. Leithorizonte befinden sich im Thema Rock Bodies.

| Nome | Tipo | Descrizione | Card. |
|---|---|---|---|
| **KIND** | subtype | Objektart | [1] |
| **CONG_SPE** | CD | Charakterisation der Konglomerate nach ihrem Geröllspektrum | [0..1] |
| **NAME_HORIZ** | Tabella | Name des Leithorizonts | [0..1] |
| **ORIG_DESCR** | string | Originalbezeichnung gemäss der Legende der zugrundeliegenden geologischen Karte | [0..1] |
| **LITHO** | Tabella | Materialbezeichnung (lithologische Einheit) | [1] |

#### 5.7.0.1 Attributo KIND *Objektart*

| GeolCode | Deutsch | Italiano |
|---|---|---|
| 13101001 | Gesteinshorizont | orizzonte di roccia |

#### 5.7.0.2 Attributo CONG_SPE *Charakterisation der Konglomerate nach ihrem Geröllspektrum.*

| GeolCode | Deutsch | Italiano |
|---|---|---|

#### 5.7.0.3 Attributo NAME_HORIZ *Name des Leithorizonts.*

Vedi GC_GEOL_MAPPING_UNIT_CD nell'appendice

#### 5.7.0.4 Attributo ORIG_DESCR *Originalbezeichnung gemäss der Legende der zugrundeliegenden geologischen Karte.*

*Tipo di dato : string*

#### 5.7.0.5 Attributo LITHO *Materialbezeichnung (lithologische Einheit).*

Vedi GC_LITHO_CD nell'appendice

## 5.8 Classe Miscellaneous_PT (Lmis)

Die Klasse Miscellaneous_PT ist für lokale, sehr spezielle geologische Objekte reserviert, die für die Gesamtheit der geologischen Daten irrelevant sind und deshalb im Datenmodell Geologie nicht standardisiert werden

| Nome | Tipo | Descrizione | Card. |
|---|---|---|---|
| **KIND** | subtype | Objektart | [1] |
| **ORIG_NAME** | string | Ursprüngliche Bezeichnung des Objektes | [1] |

#### 5.8.0.1 Attributo KIND *Objektart*

| GeolCode | Deutsch | Italiano |
|---|---|---|
| 15501001 | Diverse | varie |

#### 5.8.0.2 Attributo ORIG_NAME *Ursprüngliche Bezeichnung des Objektes.*

*Tipo di dato : string*

## 5.9 Classe Geological_Outlines_L (Lgeo)

Die Klasse Geological_Outlines_L beinhaltet geologische Konturen.

| Nome | Tipo | Descrizione | Card. |
|---|---|---|---|
| **KIND** | subtype | Objektart | [1] |
| **STATUS** | CD | Zustand der Objektart | [0..1] |

#### 5.9.0.1 Attributo KIND *Objektart*

| GeolCode | Deutsch | Italiano |
|---|---|---|
| 13001001 | geologische Kontur | contorno geologico |

#### 5.9.0.2 Attributo STATUS *Zustand der Objektart.*

| GeolCode | Deutsch | Italiano |
|---|---|---|

# 6 Tema PARAMETER_AND_MODELLING

## 6.1 Classe Slope_Bedrock_PT (Pslo)

Die Klasse Slope_Bedrock_PT enthält Punktinformationen aus Modellierungen des Festgesteinverlaufs im Untergrund.

| Nome | Tipo | Descrizione | Card. |
|---|---|---|---|
| **KIND** | subtype | Objektart | [1] |
| **TYPE** | CD | Referenzoberfläche | [1] |
| **AZIMUTH** | integer | Fallrichtung (Azimut) der jeweiligen Punktobjektart. Wert in Grad (0° bis 359°) im Uhrzeigersinn gemessen | [0..1] |
| **DIP** | integer | Einfallswert der jeweiligen Punktobjektart. Wert in Grad gemessen aus der Horizontalen (0°) nach unten bis in die Vertikale (90°) | [0..1] |
| **FORMATIO** | Tabella | Lithostratigraphische Einheit der modellierten Formation | [1] |

#### 6.1.0.1 Attributo KIND *Objektart*

| GeolCode | Deutsch | Italiano |
|---|---|---|
| 14201001 | Neigungsrichtung | direzione di immersione |

#### 6.1.0.2 Attributo TYPE *Referenzoberfläche.*

| GeolCode | Deutsch | Italiano |
|---|---|---|

#### 6.1.0.3 Attributo AZIMUTH *Fallrichtung (Azimut) der jeweiligen Punktobjektart. Wert in Grad (0° bis 359°) im Uhrzeigersinn gemessen.*

*Tipo di dato : integer*

#### 6.1.0.4 Attributo DIP *Einfallswert der jeweiligen Punktobjektart. Wert in Grad gemessen aus der Horizontalen (0°) nach unten bis in die Vertikale (90°).*

*Tipo di dato : integer*

#### 6.1.0.5 Attributo FORMATIO *Lithostratigraphische Einheit der modellierten Formation*

Vedi GC_GEOL_MAPPING_UNIT_CD nell'appendice

## 6.2 Classe Contour_Lines_Bedrock_L (Pcob)

Die Klasse Contour_Lines_Bedrock_L beinhaltet Isohypsen, die sich auf den Verlauf des Festgesteins beziehen und die das Resultat von Modellierungen darstellen. U.a. befinden sich die Isohypsen der Felsoberfläche in dieser Klasse.

| Nome | Tipo | Descrizione | Card. |
|---|---|---|---|
| **KIND** | subtype | Objektart | [1] |
| **TYPE** | CD | Referenzoberfläche | [1] |
| **ALTITUDE** | float | Höhenangabe (m ü.M.) von Isohypsen | [1] |
| **LITSTRAT** | Tabella | Lithostratigraphische Einheit der modellierten Formation | [1] |

#### 6.2.0.1 Attributo KIND *Objektart*

| GeolCode | Deutsch | Italiano |
|---|---|---|
| 13901001 | Isohypse | isoipsa |

#### 6.2.0.2 Attributo TYPE *Referenzoberfläche.*

| GeolCode | Deutsch | Italiano |
|---|---|---|

#### 6.2.0.3 Attributo ALTITUDE *Höhenangabe (m ü.M.) von Isohypsen.*

*Tipo di dato : float*

#### 6.2.0.4 Attributo LITSTRAT *Lithostratigraphische Einheit der modellierten Formation*

Vedi GC_GEOL_MAPPING_UNIT_CD nell'appendice

## 6.3 Classe Modelled_Water_Table_PT (Pmod)

Die Klasse Modelled_Water_Table_PT enthält Punktinformationen aus Modellierungen des Grundwasserspiegels.

| Nome | Tipo | Descrizione | Card. |
|---|---|---|---|
| **KIND** | subtype | Objektart | [1] |
| **AZIMUTH** | integer | Fallrichtung (Azimut) der jeweiligen Punktobjektart. Wert in Grad (0° bis 359°) im Uhrzeigersinn gemessen | [0..1] |
| **DIP** | integer | Einfallswert der jeweiligen Punktobjektart. Wert in Grad gemessen aus der Horizontalen (0°) nach unten bis in die Vertikale (90°) | [0..1] |
| **HEIGHT** | float | Kote des Grundwasserspiegels (m ü.M.) | [0..1] |
| **MEA_PERIOD** | range | Messperiode | [0..1] |

#### 6.3.0.1 Attributo KIND *Objektart*

| GeolCode | Deutsch | Italiano |
|---|---|---|
| 14101001 | Grundwasserfliessrichtung | direzione del flusso di una falda freatica |
| 14101002 | mittlere Höhe des Grundwasserspiegels | livello medio della falda freatica |

#### 6.3.0.2 Attributo AZIMUTH

*Fallrichtung (Azimut) der jeweiligen Punktobjektart. Wert in Grad (0° bis 359°) im Uhrzeigersinn gemessen.*

*Tipo di dato : integer*

#### 6.3.0.3 Attributo DIP

*Einfallswert der jeweiligen Punktobjektart. Wert in Grad gemessen aus der Horizontalen (0°) nach unten bis in die Vertikale (90°).*

*Tipo di dato : integer*

#### 6.3.0.4 Attributo HEIGHT

*Kote des Grundwasserspiegels (m ü.M.).*

*Tipo di dato : float*

#### 6.3.0.5 Attributo MEA_PERIOD

*Messperiode.*

*Tipo di dato : range*

## 6.4 Classe Contour_Lines_Hydro_L (Pcoh)

In der Klasse Contour_Lines_Hydro_L befinden sich die Isohypsen, die sich auf das Grundwasser beziehen.

| Nome | Tipo | Descrizione | Card. |
|---|---|---|---|
| **KIND** | subtype | Objektart | [1] |
| **CONFINE** | CD | Druckzustand im Grundwasserleiter | [0..1] |
| **ALTITUDE** | float | Höhenangabe (m ü.M.) von Isohypsen | [1] |
| **WA_TABLE** | CD | Wasserstand | [0..1] |

#### 6.4.0.1 Attributo KIND

*Objektart*

| GeolCode | Deutsch | Italiano |
|---|---|---|
| 14001001 | Isohypse des Grundwasserspiegels | isoipsa del livello della falda freatica |

#### 6.4.0.2 Attributo CONFINE

*Druckzustand im Grundwasserleiter.*

| GeolCode | Deutsch | Italiano |
|---|---|---|

#### 6.4.0.3 Attributo ALTITUDE

*Höhenangabe (m ü.M.) von Isohypsen.*

*Tipo di dato : float*

#### 6.4.0.4 Attributo WA_TABLE *Wasserstand.*

| GeolCode | Deutsch | Italiano |
|---|---|---|

# 7 Tema ANTHROPOGENIC_FEATURES

## 7.1 Classe Archaeology_PT (Aarc)

Die Klasse Archaeology_PT enthält Objektarten zu einzelnen archäologischen Relikten.

| Nome | Tipo | Descrizione | Card. |
|---|---|---|---|
| **KIND** | subtype | Objektart | [] |
| **EPOCH** | CD | Archäologische Epoche der Objektart | [0..1] |
| **PERIOD** | CD | Archäologische Periode der Objektart | [0..1] |
| **AGE** | CD | Archäologisches Alter der Objektart | [0..1] |
| **TYPE** | CD | Art des Kultsteins | [0..1] |

#### 7.1.0.1 Attributo KIND *Objektart*

| GeolCode | Deutsch | Italiano |
|---|---|---|
| 10101001 | archäologische Fundstelle, Anlage, Siedlungsreste | luogo di ritrovamento archeologico, stazione, vestigia di insediamento |
| 10101002 | Höhlensiedlung, Abri | insediamento in grotta, riparo sottoroccia |
| 10101003 | Pfahlbauten | palafitte |
| 10101004 | Burgstelle, Burghügel, Wachtturm | motta, antica sede di un castello o di una fortificazione |
| 10101005 | Gräber, Gräberfeld | tombe cimitero |
| 10101006 | Steinplattengrab | tomba piana, necropoli |
| 10101007 | Grabhügel, Dolmengrab | tumulo, dolmen |
| 10101008 | Kultstein | megalito |
| 10101009 | Kalkofen | fornace da calce |
| 10101010 | Felsenkeller | cantina in roccia |
| 10101011 | Schlackenhalde | accumulo di scorie |
| 10101012 | Glashütte | vetreria |
| 10101013 | Schmelzofen | forno per il ferro |
| 10101015 | Abbaustelle | sito di sfruttamento |

#### 7.1.0.2 Attributo EPOCH *Archäologische Epoche der Objektart*

| GeolCode | Deutsch | Italiano |
|---|---|---|

#### 7.1.0.3 Attributo PERIOD *Archäologische Periode der Objektart.*

| GeolCode | Deutsch | Italiano |
|---|---|---|

#### 7.1.0.4 Attributo AGE *Archäologisches Alter der Objektart.*

| GeolCode | Deutsch | Italiano |
|---|---|---|

#### 7.1.0.5 Attributo TYPE *Art des Kultsteins.*

| GeolCode | Deutsch | Italiano |
|---|---|---|

## 7.2 Classe Archaeology_L (Aarc)

Die Klasse Archaeology_L umfasst linienförmige archäologische Elemente. Historische Strassen, Hohlwege oder Befestigungsgräben sind Teile dieser Klasse.

| Nome | Tipo | Descrizione | Card. |
|---|---|---|---|
| **KIND** | subtype | Objektart | [] |
| **EPOCH** | CD | Archäologische Epoche der Objektart | [0..1] |
| **PERIOD** | CD | Archäologische Periode der Objektart | [0..1] |
| **AGE** | CD | Archäologisches Alter der Objektart | [0..1] |

#### 7.2.0.1 Attributo KIND *Objektart*

| GeolCode | Deutsch | Italiano |
|---|---|---|
| 10201001 | Verkehrsweg | via di comunicazione |
| 10201002 | Hohlweg | strada incassata |
| 10201003 | künstlicher Graben, Befestigungsgraben | fossato artificiale, fossato di fortificazione |
| 10201004 | künstlicher Erdwall | argine di terra artificiale |
| 10201005 | Wasserleitung | acquedotto |
| 10201006 | Steinreihe | allineamento megalitico |
| 10201007 | Schützengraben | trincea |

#### 7.2.0.2 Attributo EPOCH *Archäologische Epoche der Objektart*

| GeolCode | Deutsch | Italiano |
|---|---|---|

#### 7.2.0.3 Attributo PERIOD *Archäologische Periode der Objektart.*

| GeolCode | Deutsch | Italiano |
|---|---|---|

#### 7.2.0.4 Attributo AGE *Archäologisches Alter der Objektart.*

| GeolCode | Deutsch | Italiano |
|---|---|---|

## 7.3 Classe Archaeology_PLG (Aarc)

Die Klasse Archaeology_PLG beinhaltet archäologische Relikte (z.B. römisches Castrum), die ein grösseres Gebiet (Fläche) abdecken.

| Nome | Tipo | Descrizione | Card. |
|---|---|---|---|
| **KIND** | subtype | Objektart | [] |
| **EPOCH** | CD | Archäologische Epoche der Objektart | [0..1] |
| **PERIOD** | CD | Archäologische Periode der Objektart | [0..1] |
| **AGE** | CD | Archäologisches Alter der Objektart | [0..1] |

#### 7.3.0.1 Attributo KIND *Objektart*

| GeolCode | Deutsch | Italiano |
|---|---|---|
| 10301001 | Castrum | castrum |
| 10301002 | Refugium, Höhensiedlung, Erdwerk | refugium, oppidum |

#### 7.3.0.2 Attributo EPOCH *Archäologische Epoche der Objektart*

| GeolCode | Deutsch | Italiano |
|---|---|---|

#### 7.3.0.3 Attributo PERIOD *Archäologische Periode der Objektart.*

| GeolCode | Deutsch | Italiano |
|---|---|---|

#### 7.3.0.4 Attributo AGE *Archäologisches Alter der Objektart.*

| GeolCode | Deutsch | Italiano |
|---|---|---|

## 7.4 Classe Exploitation_Geomaterials_PT (Aexp)

Die Klasse Exploitation_Geomaterials_PT enthält punktförmige Angaben zu Abbaustellen von Geomaterialien.

| Nome | Tipo | Descrizione | Card. |
|---|---|---|---|
| **KIND** | subtype | Objektart | [] |
| **EXP_UNIT** | Tabella | Abgebaute lithostratigraphische Einheit | [0..*] |
| **STATUS** | CD | Abbaustatus | [0..1] |
| **DEPTH_TOT** | float | Endtiefe (m ab Terrainoberfläche) der Objektart | [0..1] |
| **TARG_MAT** | CD | Abgebautes Material | [0..1] |

#### 7.4.0.1 Attributo KIND *Objektart*

| GeolCode | Deutsch | Italiano |
|---|---|---|
| 10601001 | Bergwerk, Untertageabbau | miniera a cielo aperto, miniera sotterranea |
| 10601002 | Stolleneingang | portale di cunicolo |
| 10601003 | Schacht | pozzo di miniera |
| 10601004 | Pinge (dolinenartiger Stolleneinbruch) | voragine (collasso superficiale associato a lavori in sotteranea) |
| 10601005 | Schürfloch | traccia di sfruttamento in superficie |
| 10601006 | ausgeräumte Bohnerztasche | sacca siderolitica svuotata |

#### 7.4.0.2 Attributo EXP_UNIT *Abgebaute lithostratigraphische Einheit.*

Vedi GC_GEOL_MAPPING_UNIT_CD nell'appendice

#### 7.4.0.3 Attributo STATUS *Abbaustatus.*

| GeolCode | Deutsch | Italiano |
|---|---|---|

#### 7.4.0.4 Attributo DEPTH_TOT *Endtiefe (m ab Terrainoberfläche) der Objektart.*

*Tipo di dato : float*

#### 7.4.0.5 Attributo TARG_MAT *Abgebautes Material.*

| GeolCode | Deutsch | Italiano |
|---|---|---|

## 7.5 Classe Exploitation_Geomaterials_L (Aexp)

Die Klasse Exploitation_Geomaterials_L beinhaltet linienförmige Informationen zum Abbau von Geomaterialien (z.B. Verlauf der Abbaufront).

| Nome | Tipo | Descrizione | Card. |
|---|---|---|---|
| **KIND** | subtype | Objektart | [] |
| **STATUS** | CD | Abbaustatus | [0..1] |

#### 7.5.0.1 Attributo KIND *Objektart*

| GeolCode | Deutsch | Italiano |
|---|---|---|
| 10701001 | Abbaufront | fronte di scavo |
| 10701002 | Bergwerksstollen | galleria di miniera |

#### 7.5.0.2 Attributo STATUS *Abbaustatus.*

| GeolCode | Deutsch | Italiano |
|---|---|---|

## 7.6 Classe Exploitation_Geomaterials_PLG (Aexp)

Die Klasse Exploitation_Geomaterials_PLG enthält Flächen, wo zur Zeit der geologischen Aufnahmen Geomaterialien abgebaut wurden.

| Nome | Tipo | Descrizione | Card. |
|---|---|---|---|
| **KIND** | subtype | Objektart | [] |
| **EXP_UNIT** | Tabella | Abgebaute lithostratigraphische Einheit | [1..*] |
| **STATUS** | CD | Abbaustatus | [0..1] |
| **DEPTH_TOT** | float | Endtiefe (m ab Terrainoberfläche) der Objektart | [0..1] |
| **TARG_MAT** | CD | Abgebautes Material | [0..1] |

#### 7.6.0.1 Attributo KIND *Objektart*

| GeolCode | Deutsch | Italiano |
|---|---|---|
| 10801001 | Steinbruch | cava |
| 10801002 | Grube (Lockergesteinsabbau) | cava di materiali sciolti |

#### 7.6.0.2 Attributo EXP_UNIT *Abgebaute lithostratigraphische Einheit.*

Vedi GC_GEOL_MAPPING_UNIT_CD nell'appendice

#### 7.6.0.3 Attributo STATUS *Abbaustatus.*

| GeolCode | Deutsch | Italiano |
|---|---|---|

#### 7.6.0.4 Attributo DEPTH_TOT *Endtiefe (m ab Terrainoberfläche) der Objektart.*

*Tipo di dato : float*

#### 7.6.0.5 Attributo TARG_MAT *Abgebautes Material.*

| GeolCode | Deutsch | Italiano |
|---|---|---|

## 7.7 Classe Boreholes_PT (Abor)

Die Klasse Boreholes_PT beinhaltet Bohrungen und Sondierungen. (Auf alten gedruckten Karten wurde die Art der Sondierung nicht immer unterschieden. Es kann daher sein, dass in alten Karten Rammkernsondierungen als Bohrungen aufgenommen wurden.)

| Nome | Tipo | Descrizione | Card. |
|---|---|---|---|
| **KIND** | subtype | Objektart | [] |

| Nome | Tipo | Descrizione | Card. |
|---|---|---|---|
| **DEPTH_BEDR** | float | Tiefe (in Meter ab Terrainoberfläche) der Felsoberfläche. (Sofern die Bohrung das Festgestein nicht erreicht, z.B. «Bohrung, Fels nicht erreicht», beträgt der Wert 999, falls die Bohrung bereits im Festgestein beginnt, beträgt der Wert 0). Falls Festgestein erreicht wurde, aber nicht klar ist, dass es sich um die Felsoberfläche handelt, beträgt der Wert 888 | [0..1] |
| **D_C_UNDERG** | boolean | Bohransatzpunkt unter Terrain (ja / nein) | [1] |
| **MAIN_TAR** | CD | Ziel der Sondierung | [0..1] |
| **TARG_MAT** | CD | Durch die Sondierung gefördertes Material | [0..1] |
| **DEPTH_TOT** | float | Gemessene Länge (Measured Depth) der Bohrung. Vgl. DM Bohrdaten. Die tatsächliche Tiefe (True Vertical Depth) ist oft nicht bekannt | [0..1] |
| **DEPTH_FM_A** | Tabella | Lithostratigraphische Einheit der erreichten Formation A | [0..1] |
| **DEPTH_FM_B** | float | Tiefe (m ab Terrainoberfläche) der erreichten Formation B | [0..1] |
| **FM_A** | Tabella | Lithostratigraphische Einheit der erreichten Formation A | [0..1] |
| **DEPTH_FM_B** | float | Tiefe (m ab Terrainoberfläche) der erreichten Formation B | [0..1] |
| **DEPTH_WT** | float | Tiefe (m ab Terrainoberfläche) des Grundwasserspiegels | [0..1] |
| **AZIMUTH** | integer | Fallrichtung (Azimut) der jeweiligen Punktobjektart. Wert in Grad (0° 359°) im Uhrzeigersinn gemessen | [0..1] |
| **DIP** | integer | Einfallswert der jeweiligen Punktobjektart. Wert in Grad gemessen aus der Horizontalen (0°) nach unten bis in die Vertikale (90°) | [0..1] |
| **REF_NUMBER** | integer | Bohrungs-ID der Objektart in einem zusätzlichen Dokument (Erläuterungen, ...) | [0..1] |
| **LITHO** | Tabella | Erreichte lithologische Einheit (im Falle von Bohrungen, die den Fels nicht erreicht haben) | [0..1] |

#### 7.7.0.1 Attributo KIND *Objektart*

| GeolCode | Deutsch | Italiano |
|---|---|---|
| 10501001 | Bohrung | sondaggio |
| 10501002 | Sondierschlitz | scavo o trincea di riconoscimento |
| 10501003 | Handsondierung | sondaggio con trivella a mano |
| 10501004 | Rammsondierung | sondaggio penetrometrico |
| 10501005 | Rammkernsondierung | sondaggio a percussione |

#### 7.7.0.2 Attributo DEPTH_BEDR *Tiefe (in Meter ab Terrainoberfläche) der Felsoberfläche. (Sofern die Bohrung das Festgestein nicht erreicht, z.B. «Bohrung, Fels nicht erreicht», beträgt der Wert 999, falls die Bohrung bereits im Festgestein beginnt, beträgt der Wert 0). Falls Festgestein erreicht wurde, aber nicht klar ist, dass es sich um die Felsoberfläche handelt, beträgt der Wert 888.*

*Tipo di dato : float*

#### 7.7.0.3 Attributo D_C_UNDERG *Bohransatzpunkt unter Terrain (ja / nein)*

*Tipo di dato : boolean*

#### 7.7.0.4 Attributo MAIN_TAR *Ziel der Sondierung.*

| GeolCode | Deutsch | Italiano |
|---|---|---|

#### 7.7.0.5 Attributo TARG_MAT *Durch die Sondierung gefördertes Material.*

| GeolCode | Deutsch | Italiano |
|---|---|---|

#### 7.7.0.6 Attributo DEPTH_TOT *Gemessene Länge (Measured Depth) der Bohrung. Vgl. DM Bohrdaten. Die tatsächliche Tiefe (True Vertical Depth) ist oft nicht bekannt.*

*Tipo di dato : float*

#### 7.7.0.7 Attributo DEPTH_FM_A *Lithostratigraphische Einheit der erreichten Formation A*

Vedi GC_GEOL_MAPPING_UNIT_CD nell'appendice

#### 7.7.0.8 Attributo DEPTH_FM_B *Tiefe (m ab Terrainoberfläche) der erreichten Formation B.*

*Tipo di dato : float*

#### 7.7.0.9 Attributo FM_A *Lithostratigraphische Einheit der erreichten Formation A*

Vedi GC_GEOL_MAPPING_UNIT_CD nell'appendice

#### 7.7.0.10 Attributo DEPTH_FM_B *Tiefe (m ab Terrainoberfläche) der erreichten Formation B.*

*Tipo di dato : float*

#### 7.7.0.11 Attributo DEPTH_WT *Tiefe (m ab Terrainoberfläche) des Grundwasserspiegels.*

*Tipo di dato : float*

#### 7.7.0.12 Attributo AZIMUTH *Fallrichtung (Azimut) der jeweiligen Punktobjektart. Wert in Grad (0° 359°) im Uhrzeigersinn gemessen.*

*Tipo di dato : integer*

#### 7.7.0.13 Attributo DIP *Einfallswert der jeweiligen Punktobjektart. Wert in Grad gemessen aus der Horizontalen (0°) nach unten bis in die Vertikale (90°).*

*Tipo di dato : integer*

#### 7.7.0.14 Attributo REF_NUMBER *Bohrungs-ID der Objektart in einem zusätzlichen Dokument (Erläuterungen, ...).*

*Tipo di dato : integer*

#### 7.7.0.15 Attributo LITHO *Erreichte lithologische Einheit (im Falle von Bohrungen, die den Fels nicht erreicht haben)*

Vedi GC_LITHO_UNCO_CD nell'appendice

## 7.8 Classe Artificial_Surface_Modifications_PLG (Aart)

Die Klasse Artificial_Surface_Modifications_PLG enthält bedeutende künstliche Veränderungen des Geländes (Golfplatz, Skigebiet, etc.), die zur Folge haben, dass das ursprüngliche Relief nicht mehr zu erkennen ist, was bei einer geomorphologischen Deutung zu falschen Schlüssen führen könnte.

| Nome | Tipo | Descrizione | Card. |
|---|---|---|---|
| **KIND** | subtype | Objektart | [1] |

#### 7.8.0.1 Attributo KIND *Objektart*

| GeolCode | Deutsch | Italiano |
|---|---|---|
| 10401001 | künstlich verändertes Gelände | terreno modellato artificialmente |
| 10401002 | künstliche Ablagerung, undifferenziert | deposito artificiale, indifferenziato |
| 10401003 | Aufschüttung, Damm | materiale di riporto, diga |
| 10401004 | Auffüllung | (deposito di) riempimento |
| 10401005 | Deponie | (deposito di) discarica |
| 10401006 | Halde | smarino |

# 8 Tema HYDROGEOLOGY

## 8.1 Classe Construction_PT (Hcon)

Die Klasse Construction_PT beinhaltet Wasserbauten wie Grundwasserfassungen und Zisternen. Desweiteren kommen in dieser Klasse auch Messgeräte wie Piezometer und Limnigraphen vor.

| Nome | Tipo | Descrizione | Card. |
|---|---|---|---|
| **KIND** | subtype | Objektart | [1] |
| **STATUS** | CD | Zustand der Objektart | [0..1] |
| **EPOCH** | CD | Epoche der Erbauung der Objektart | [0..1] |
| **DEPTH** | float | Tiefe der Objektart (m ab Terrainoberfläche) | [0..1] |
| **DEPTH_WT** | float | Tiefe (m ab Terrainoberfläche) des Grundwasserspiegels (Mittelwert) | [0..1] |
| **MEA_PERIOD** | range | Messperiode | [0..1] |

#### 8.1.0.1 Attributo KIND *Objektart*

| GeolCode | Deutsch | Italiano |
|---|---|---|
| 12101001 | Grundwasserfassung | captazione della falda freatica |
| 12101002 | Zisterne | cisterna |
| 12101003 | laufender Brunnen (in wasserarmem Gebiet) | fontana (nelle zone aride) |
| 12101004 | Sodbrunnen | pozzo |
| 12101005 | Versickerungsschacht | pozzo di infiltrazione |
| 12101006 | Limnigraph | limnigrafo |
| 12101007 | Piezometer | piezometro |

#### 8.1.0.2 Attributo STATUS *Zustand der Objektart.*

| GeolCode | Deutsch | Italiano |
|---|---|---|

#### 8.1.0.3 Attributo EPOCH *Epoche der Erbauung der Objektart.*

| GeolCode | Deutsch | Italiano |
|---|---|---|

#### 8.1.0.4 Attributo DEPTH *Tiefe der Objektart (m ab Terrainoberfläche).*

*Tipo di dato : float*

#### 8.1.0.5 Attributo DEPTH_WT *Tiefe (m ab Terrainoberfläche) des Grundwasserspiegels (Mittelwert).*

*Tipo di dato : float*

#### 8.1.0.6 Attributo MEA_PERIOD *Messperiode.*

*Tipo di dato : range*

## 8.2 Classe Construction_L (Hcon)

Die Klasse Construction_L enthält linienförmige Wasserbauten wie den Wasserfassungsstollen, welcher mit Objektarten der Klasse Surface_Water_PT kombiniert werden kann.

| Nome | Tipo | Descrizione | Card. |
|---|---|---|---|
| **KIND** | subtype | Objektart | [1] |
| **COMBI** | CD | Objektart einer anderen Klasse, die mit der Objektart in Kombination vorkommen kann | [0..1] |

#### 8.2.0.1 Attributo KIND *Objektart*

| GeolCode | Deutsch | Italiano |
|---|---|---|
| 12201001 | Wasserfassungsstollen | galleria per la captazione d'acqua |
| 12201002 | künstlicher Gewässerlauf | corso d'acqua artificiale |

#### 8.2.0.2 Attributo COMBI *Objektart einer anderen Klasse, die mit der Objektart in Kombination vorkommen kann*

| GeolCode | Deutsch | Italiano |
|---|---|---|

## 8.3 Classe Palaeohydrology_L (Hpal)

In der Klasse Palaeohydrology_L befinden sich alle linienförmigen Objektarten, welche einen gewissen Bezug zu einem ehemaligen Gewässer aufweisen.

| Nome | Tipo | Descrizione | Card. |
|---|---|---|---|
| **KIND** | subtype | Objektart | [1] |
| **REL_AGE** | CD | Relatives Alter der Objektart | [0..1] |
| **CHRONO** | Tabella | Chronostratigraphische Zuordnung | [0..1] |
| **REF_YEAR** | integer | Referenzjahr der ehemaligen Uferlinie | [1] |
| **SOURCE** | string | Datenquelle der historischen Unterlagen | [0..1] |

#### 8.3.0.1 Attributo KIND *Objektart*

| GeolCode | Deutsch | Italiano |
|---|---|---|
| 12301001 | Paläotal | asse di paleovalle |
| 12301002 | ehemalige Entwässerungsrinne | antico canale di drenaggio |
| 12301003 | ehemalige glaziale Abflussrinne | asse di un antico effluente glaciale |
| 12301004 | Trockental | valle secca |
| 12301005 | ehemaliges Bachbett | antico letto di corso d'acqua (ruscello) |
| 12301006 | Ufer eines ehemaligen Flussbetts | rica di un antico corso d'acqua |
| 12301007 | ehemalige Uferlinie | antica linea costiera |

#### 8.3.0.2 Attributo REL_AGE *Relatives Alter der Objektart*

| GeolCode | Deutsch | Italiano |
|---|---|---|

#### 8.3.0.3 Attributo CHRONO *Chronostratigraphische Zuordnung.*

Vedi GC_CHRONO_CD nell'appendice

#### 8.3.0.4 Attributo REF_YEAR *Referenzjahr der ehemaligen Uferlinie.*

*Tipo di dato : integer*

#### 8.3.0.5 Attributo SOURCE *Datenquelle der historischen Unterlagen.*

*Tipo di dato : string*

## 8.4 Classe Subsurface_Water_L (Hsub)

In der Klasse Subsurface_Water_L befinden sich linienförmigen Objektarten, welche einen unterirdischen Gewässerlauf anzeigen. Der genaue Verlauf des unterirdischen Gewässerlaufes ist meistens vermutet.

| Nome | Tipo | Descrizione | Card. |
|---|---|---|---|
| **KIND** | subtype | Objektart | [1] |
| **COMBI** | CD | Objektart einer anderen Klasse, die mit der Objektart in Kombination vorkommen kann | [0..1] |

#### 8.4.0.1 Attributo KIND *Objektart*

| GeolCode | Deutsch | Italiano |
|---|---|---|
| 12401001 | unterirdischer Gewässerlauf | corso d'acqua sotterraneo |

#### 8.4.0.2 Attributo COMBI *Objektart einer anderen Klasse, die mit der Objektart in Kombination vorkommen kann*

| GeolCode | Deutsch | Italiano |
|---|---|---|

## 8.5 Classe Surface_Water_PT (Hsur)

Die Klasse Surface_Water_PT umfasst lokal (punktuell) beobachtete Oberflächengewässer, wie natürliche Wasseraustritts- und Versickerungsstellen. Zudem befindet sich die Objektart Steilstufe in Bachrinne, Wasserfall in dieser Klasse, die eine spezielle Stelle in Fliessgewässern markiert und die durch die darunterliegende Geologie bedingt ist.

| Nome | Tipo | Descrizione | Card. |
|---|---|---|---|
| **KIND** | subtype | Objektart | [1] |
| **STATUS** | CD | Zustand der Objektart | [0..1] |
| **FLOW_CON** | CD | Wasserfluss Bedingungen | [0..1] |
| **TYPE** | CD | Charakteristik der Objektart | [0..1] |
| **DIS_LOCA** | CD | Ort des Wasserausflusses | [0..1] |
| **COMBI** | CD | Objektart einer anderen Klasse, die mit der Objektart in Kombination vorkommen kann | [0..1] |
| **TEMP** | integer | Mittlere Wassertemperatur (°C) | [0..1] |
| **CHEMISTRY** | string | Charakteristisches chemisches Element im Mineralwasser (z.B. Fe) | [0..1] |
| **AZIMUTH** | integer | Richtung (Azimut) der jeweiligen Punktobjektart. Wert in Grad (0° bis 359°) im Uhrzeigersinn gemessen | [0..1] |

#### 8.5.0.1 Attributo KIND *Objektart*

| GeolCode | Deutsch | Italiano |
|---|---|---|
| 12501001 | Quelle | sorgente |
| 12501002 | diffuse Quelle | sorgente diffusa |
| 12501003 | Wiederaustritt eines unterirdischen Bachlaufes | risorgenza di un corso d'acqua sotterraneo |
| 12501004 | Versickerungsstelle eines Baches | inghiottitoio di un corso d'acqua |
| 12501005 | Steilstufe in Bachrinne, Wasserfall | rapida in un corso d'acqua, cascata |
| 12501006 | Grundwasseraufstoss | risorgenza delle acque sotterranee |

#### 8.5.0.2 Attributo STATUS *Zustand der Objektart.*

| GeolCode | Deutsch | Italiano |
|---|---|---|

#### 8.5.0.3 Attributo FLOW_CON *Wasserfluss Bedingungen.*

| GeolCode | Deutsch | Italiano |
|---|---|---|

#### 8.5.0.4 Attributo TYPE *Charakteristik der Objektart*

| GeolCode | Deutsch | Italiano |
|---|---|---|

#### 8.5.0.5 Attributo DIS_LOCA *Ort des Wasserausflusses.*

| GeolCode | Deutsch | Italiano |
|---|---|---|

#### 8.5.0.6 Attributo COMBI *Objektart einer anderen Klasse, die mit der Objektart in Kombination vorkommen kann*

| GeolCode | Deutsch | Italiano |
|---|---|---|

#### 8.5.0.7 Attributo TEMP *Mittlere Wassertemperatur (°C).*

*Tipo di dato : integer*

#### 8.5.0.8 Attributo CHEMISTRY *Charakteristisches chemisches Element im Mineralwasser (z.B. Fe).*

*Tipo di dato : string*

#### 8.5.0.9 Attributo AZIMUTH *Richtung (Azimut) der jeweiligen Punktobjektart. Wert in Grad (0° bis 359°) im Uhrzeigersinn gemessen.*

*Tipo di dato : integer*

## 8.6 Classe Surface_Water_L (Hsur)

In der Klasse Surface_Water_L sind linienförmige Oberflächengewässer (Quellhorizonte) beschrieben.

| Nome | Tipo | Descrizione | Card. |
|---|---|---|---|
| **KIND** | subtype | Objektart | [1] |

#### 8.6.0.1 Attributo KIND *Objektart*

| GeolCode | Deutsch | Italiano |
|---|---|---|
| 12601001 | Quellhorizont | orizzone di sorgenti |
| 12601002 | Bachlauf | flusso |

## 8.7 Classe Surface_Water_PLG (Hsur)

Die Klasse Surface_Water_PLG beinhaltet oberflächliche Wasserspeicher wie Gletscher, Seen und Flüsse.

| Nome | Tipo | Descrizione | Card. |
|---|---|---|---|
| **KIND** | subtype | Objektart | [1] |

#### 8.7.0.1 Attributo KIND *Objektart*

| GeolCode | Deutsch | Italiano |
|---|---|---|
| 12701001 | Gletscher | ghiacciaio |
| 12701002 | See | lago |
| 12701003 | Fluss | fiume |

# 9 Appendici

## 9.1 Appendice GC_GEOL_MAPPING_UNIT_ATT

Kartiereinheiten

| GeolCode | Deutsch | Italiano |
|---|---|---|

| Code | GMU | Litho principale | Litho secondaire | Litho tertiaire | Formation | Chrono base | Chrono top |
|---|---|---|---|---|---|---|---|
| 15200528 | Gitzischöpf-Nagelfluh | conglomerato | arenaria | argillite | Conglomerato della Gitzischöpf | Chattiano superiore | Chattiano superiore |
| 15200529 | Honegg-Mergel | marna: sabbioso | conglomerato | – | Marna della Honegg | Chattiano superiore | Aquitaniano |
| 15200530 | Honegg-Mergel: Kaltbach-Nagelfluh | conglomerato | – | – | Conglomerato del Kaltbach | Chattiano superiore | Aquitaniano |
| 15200531 | Thun-Fm.: Hünibach-Nagelfluh | conglomerato | arenaria | marna | Conglomerato di Hünibach | Chattiano | Chattiano |
| 15200532 | Losenegg-Fm. | conglomerato: polimittico | arenaria | siltite | Formazione della Losenegg | Chattiano | Chattiano |
| 15200533 | Homberg-Fm.: Schwändibach-Nagelfluh | conglomerato | arenaria | marna | Conglomerato di Schwändibach | Chattiano inferiore | Chattiano inferiore |
| 15200534 | Uerscheli-Fm. | arenaria | siltite | conglomerato: polimittico | Formazione di Uerscheli | Chattiano inferiore | Chattiano inferiore |
| 15200535 | Uerscheli-Fm.: Bumbach-Nagelfluh | conglomerato | siltite | – | Conglomerato di Bumbach | Chattiano inferiore | Chattiano inferiore |
| 15200536 | USM-I: Untere Bunte Molasse: Kalksandstein | arenaria: calcareo: mica | marna: sabbioso | – | «Untere Bunte Molasse» (USM I) | Chattiano | Chattiano |
| 15200537 | Gérignoz-Fm. | marna | arenaria: mica | argillite: carbone | Formazione del Gérignoz | Chattiano superiore | Aquitaniano |

| Code | GMU | Litho principale | Litho secondaire | Litho tertiaire | Formation | Chrono base | Chrono top |
|---|---|---|---|---|---|---|---|
| 15200538 | Speer-Fm.: Leuenfall-Nagelfluh | conglomerato: calcareo | – | – | Conglomerato del Leuenfall | Rupeliano | Chattiano |
| 15200539 | Speer-Fm.: Wintersberg-Mb. | marna | arenaria: calcareo | conglomerato | Membro del Wintersberg | Chattiano | Chattiano |
| 15200540 | Speer-Fm.: Ebnat-Mb. | marna | arenaria: marnoso | arenaria: calcareo | Membro di Ebnat | Rupeliano | Chattiano |
| 15200541 | Speer-Fm.: Ebnat-Mb.: Rütiberg-Kalksandstein | arenaria: calcareo | – | – | Arenaria calcarea di Rütiberg | Rupeliano | Chattiano |
| 15200542 | Rigi-Fm.: Bunte Rigi-Nagelfluh: Pfiffegg-Nagelfluh | conglomerato: calcareo-dolomitico | arenaria | – | Conglomerato della Pfiffegg | Chattiano | Chattiano |
| 15200543 | Weggis-Fm. | conglomerato: calcareo-dolomitico | arenaria | marna | Formazione di Weggis | Rupeliano | Chattiano inferiore |
| 15200544 | Weggis-Fm.: Kännelegg-Nagelfluh | conglomerato: calcareo | – | – | Conglomerato della Kännelegg | Rupeliano | Chattiano inferiore |
| 15200545 | Molasse Rouge des Jurasüdfusses | marna: sabbioso | arenaria: mica | conglomerato: calcareo | «Molasse Rouge du Pied-du-Jura» | Rupeliano | Chattiano superiore |
| 15200546 | Molasse Rouge des Jurasüdfusses: Mathod-Sandstein | arenaria | – | – | Arenaria di Mathod | Chattiano superiore | Chattiano superiore |

| Code | GMU | Litho principale | Litho secondaire | Litho tertiaire | Formation | Chrono base | Chrono top |
|---|---|---|---|---|---|---|---|
| 15200547 | Molasse Rouge des Jurasüdfusses: Goumoëns-Sandstein | arenaria | conglomerato: calcareo | – | Arenaria di Goumoëns | Chattiano inferiore | Chattiano inferiore |
| 15200548 | Molasse Rouge de Vevey | marna: siltoso: mica | arenaria: marnoso | – | «Molasse Rouge de Vevey» | Chattiano | Chattiano |
| 15200549 | Molasse Rouge de Monthey | scisto | arenaria | – | «Molasse Rouge de Monthey» | Chattiano | Chattiano |
| 15200550 | Grindelegg-Fm. | marna | arenaria: calcareo: mica | conglomerato: calcareo | Formazione della Grindelegg | Chattiano | Chattiano |
| 15200551 | Grès et Marnes Gris à Gypse: Tillerée-Sch. | marna: argilloso: carbone | marna: siltoso | – | Strati di Tillerée | Chattiano superiore | Aquitaniano |
| 15200552 | Grès et Marnes Gris à Gypse: Süsswasserkalke und Dolomite | calcare | dolomia | – | «Grès et Marnes Gris à Gypse» | Chattiano superiore | Chattiano superiore |
| 15200553 | Oltingue-Kalkarenit | calcare: arenitico | – | – | Calcarenite di Oltingue | Rupeliano | Rupeliano |
| 15200554 | Vaulruz-Fm. | arenaria: calcareo: mica | marna | – | Formazione di Vaulruz | Rupeliano | Rupeliano |
| 15200555 | Hilfern-Fm.: Unter-Lochsiti-Nagelfluh | conglomerato | – | – | Conglomerato dell'Unter Lochsiti | Rupeliano | Rupeliano |
| 15200556 | Hilfern-Fm.: Flühli-Nagelfluh | conglomerato | – | – | Conglomerato di Flühli | Rupeliano | Rupeliano |

| Code | GMU | Litho principale | Litho secondaire | Litho tertiaire | Formation | Chrono base | Chrono top |
|---|---|---|---|---|---|---|---|
| 15200557 | St.-Gallen-Fm.: Mergelstein-dominierte Fazies | marna: bioclasti | – | – | Formazione di San Gallo | Burdigaliano | Burdigaliano |
| 15200558 | Fm. der Granitischen Molasse: Marbach-Mb. | arenaria: mica | marna | – | Membro di Marbach | Aquitaniano | Aquitaniano |
| 15200560 | USM-I: Untere Bunte Molasse | marna: siltoso | arenaria | – | «Untere Bunte Molasse» (USM I) | Chattiano superiore | Chattiano superiore |
| 15200562 | OSM-J: Mittlere Juranagelfluh | conglomerato | – | – | «Mittlere Juranagelfluh» | Burdigaliano | Langhiano |
| 15200563 | OSM-J: Albstein | calcare | – | – | Albstein | Burdigaliano | Burdigaliano |
| 15200564 | Grimmelfingen-Fm.: Graupensand-Fazies | arenaria | – | – | Formazione di Grimmelfingen | Burdigaliano | Burdigaliano |
| 15200565 | OSM-J: Heliciden-Mergel | marna: bioclasti | argillite | – | «Marna a Helicidea» (OSM-J) | Langhiano | Tortoniano |
| 15200566 | Haldenhof-Mergel | marna | arenaria | – | Marna di Haldenhof | Burdigaliano superiore | Langhiano |
| 15200567 | OMM-J | arenaria | marna | conglomerato | – | Burdigaliano | Burdigaliano |
| 15200568 | Tenniken-Muschelagglomerat | arenaria: calcareo: bivalvi | conglomerato: calcareo: bivalvi | – | Agglomerato a conchiglia di Tenniken | Burdigaliano | Burdigaliano |
| 15200569 | OMM-II: Turritellen-Kalk | calcare: sabbioso: bioclasti | – | – | – | Burdigaliano | Burdigaliano |
| 15200570 | Randen-Grobkalk | calcare: sabbioso: bioclasti | – | – | Calcare del Randen | Burdigaliano | Burdigaliano |

| Code | GMU | Litho principale | Litho secondaire | Litho tertiaire | Formation | Chrono base | Chrono top |
|---|---|---|---|---|---|---|---|
| 15200571 | Péry-Sandstein | arenaria: conglomeratico | – | – | Arenaria di Péry | Burdigaliano | Burdigaliano |
| 15200572 | Les-Bayards-Juranagelfluh | breccia: calcareo | – | – | Gonfolite dei Bayards | Miocene | Pliocene |
| 15200573 | Günsberg- und Vellerat-Fm. | calcare | marna | – | – | Oxfordiano | Oxfordiano |
| 15200574 | Ornatenton-Fm.: Ancepsoolith-Sbf. | argillite: ooidi di ferro | – | – | Ancepsoolith-Subformation | Calloviano | Calloviano |
| 15200575 | Jurensismergel-Fm. | marna | calcare: marnoso | – | Jurensismergel-Formation | Toarciano | Toarciano |
| 15200576 | Posidonienschiefer-Fm. | marna: bitume | calcare | – | Posidonienschiefer-Formation | Toarciano | Toarciano |
| 15200577 | Amaltheenton-Fm. | argillite: pirito | marna: calcareo | – | Amaltheenton-Formation | Pliensbachiano | Pliensbachiano |
| 15200578 | Numismalismergel-Fm. | marna | calcare: marnoso | – | Numismalismergel-Formation | Pliensbachiano | Pliensbachiano |
| 15200579 | Obtususton-Fm. | argillite: pirito | – | – | Obtususton-Formation | Sinemuriano | Sinemuriano |
| 15200580 | Arietenkalk-Fm. | calcare: bioclasti | marna | – | Arietenkalk-Formation | Sinemuriano | Sinemuriano |
| 15200581 | Angulatenton-Fm. | argillite | marna: bitume | – | Angulatenton-Formation | Hettangiano | Hettangiano |
| 15200582 | Psilonotenton-Fm. | argillite | calcare | – | Psilonotenton-Formation | Hettangiano | Hettangiano |
| 15200584 | Etiollets-Fm.: Tabalcon-Kalk | calcare: bioclasti | – | – | Calcare di Tabalcon | Kimmeridgiano | Kimmeridgiano |
| 15200585 | Bonneville-Sandstein | arenaria: mica | conglomerato: polimittico | – | Arenaria di Bonneville | Rupeliano | Rupeliano |
| 15200586 | Montauban-Mergel | marna: mica | – | – | Marna di Montauban | Rupeliano | Rupeliano |
| 15200588 | Mornex-Nagelfluh | conglomerato: calcareo | arenaria | – | Conglomerato di Mornex | Rupeliano | Rupeliano |

| Code | GMU | Litho principale | Litho secondaire | Litho tertiaire | Formation | Chrono base | Chrono top |
|---|---|---|---|---|---|---|---|
| 15200589 | USM-III bis OSM-I | conglomerato | marna | – | – | Burdigaliano | Langhiano |
| 15200590 | Uetliberg-Fm.: Loorenkopf-Nagelfluh | conglomerato: calcareo-dolomitico | – | – | Conglomerato del Loorenkopf | Serravalliano | Serravalliano |
| 15200591 | Grand-Essert-Fm: Neuchâtel-Mb.: Oberer Teil | calcare: spatico: bioclasti-glauconite | calcare: ooidi | – | «Pierre Jaune Supérieure» | Hauteriviano | Hauteriviano |
| 15200592 | Grand-Essert-Fm: Neuchâtel-Mb.: Unterer Teil | calcare: spatico: bioclasti-glauconite | marna | – | «Pierre Jaune Inférieure» | Hauteriviano | Hauteriviano |
| 15200593 | Chambotte-Fm.: Oberer Teil | calcare: micritico: bioclasti | – | – | Formazione della Chambotte | Valanginiano | Valanginiano |
| 15200594 | Chambotte-Fm.: Unterer Teil | calcare: micritico: bioclasti | – | – | Formazione della Chambotte | Berriasiano | Valanginiano |
| 15200596 | Helvetischer Flysch | arenaria | argillite | – | – | Eocene | Oligocene |
| 15200597 | Euthal- bis Stad-Fm. | calcare: bioclasti | arenaria | marna | – | Selandiano | Priaboniano |
| 15200598 | Stad- und Muot-da-Rubi-Fm. | marna | arenaria | – | – | Luteziano | Priaboniano |
| 15200599 | Euthal- bis Sanetsch-Fm. | calcare: bioclasti | arenaria | marna | – | Selandiano | Rupeliano |
| 15200602 | Helvetikum: Siderolithikum | roccia: residuale: mineri di ferro | – | – | – | Luteziano | Bartoniano |

| Code | GMU | Litho principale | Litho secondaire | Litho tertiaire | Formation | Chrono base | Chrono top |
|---|---|---|---|---|---|---|---|
| 15200607 | Etiollets-, Reuchenette- und Twannbach-Fm. | calcare: micritico | marna | – | – | Kimmeridgiano | Titoniano |
| 15200608 | Bärschwil-, St-Ursanne-, Pichoux- und Wildegg-Fm. | marna | calcare | argillite | – | Oxfordiano | Oxfordiano |
| 15200616 | Schwarzwald-Massiv: Grundgebirge | roccia: metamorfico | roccia: plutonico | – | – | Proterozoico | Paleozoico |
| 15200617 | Schwarzwald-Massiv: Variszische Intrusiva | roccia: plutonico | – | – | – | Proterozoico | Paleozoico |
| 15200618 | USM-I: Untere Bunte Molasse: Mümliswil-Süsswasserkalk | calcare | – | – | Calcare d'acqua dolce di Mümliswil | Chattiano inferiore | Chattiano inferiore |
| 15200619 | Luzern-Fm.: Limnischer Horizont | marna | roccia: organico: carbone | – | Formazione di Lucerna | Burdigaliano | Burdigaliano |
| 15200620 | Molasse Rouge des Jurasüdfusses: Dardagny-Sandstein | arenaria: bitume | – | – | Arenaria di Dardagny | Chattiano inferiore | Chattiano inferiore |
| 15200621 | Napf-Fm.: Konglomerat-dominierte Fazies | conglomerato: polimittico: quarzo | arenaria: feldspato | – | Formazione del Napf | Burdigaliano | Langhiano |

| Code | GMU | Litho principale | Litho secondaire | Litho tertiaire | Formation | Chrono base | Chrono top |
|---|---|---|---|---|---|---|---|
| 15200622 | Napf-Fm.: Sandstein-Mergelstein-dominierte Fazies | arenaria: feldspato | marna | – | Formazione del Napf | Burdigaliano | Langhiano |
| 15200623 | Le-Locle-Fm. | calcare: gessoso | marna: lignite | argillite | Formazione del Locle | Langhiano | Serravalliano |
| 15200624 | Le-Locle-Fm.: Le-Verger Mb. | calcare: gessoso | marna: lignite | – | Membro del Verger | Langhiano | Serravalliano |
| 15200625 | Le-Locle-Fm.: Combe-Girard Mb. | calcare: gessoso | – | – | Membro della Combe Girard | Langhiano | Serravalliano |
| 15200626 | Crêt-du-Locle-Fm. | marna | conglomerato: calcareo | – | Formazione del Crêt-du-Locle | Langhiano | Serravalliano |
| 15200627 | Crêt-du-Locle-Fm.: Mergelfazies | marna | – | – | Formazione del Crêt-du-Locle | Langhiano | Serravalliano |
| 15200628 | St.-Gallen-Fm.: Gitzigrabe-Grobsandstein | arenaria | – | – | Arenaria grossolana del Gitzigrabe | Burdigaliano | Burdigaliano |
| 15200629 | Trois-Rods-Süsswasserkalk | calcare: bioclasti | – | – | Calcare d'acqua dolce di Trois Rods | Chattiano inferiore | Chattiano inferiore |
| 15200630 | Champ-Vuillerat-Süsswasserkalk | calcare | – | – | Calcare d'acqua dolce di Champ-Vuillerat | Priaboniano | Rupeliano |
| 15200631 | Napf-Fm.: Wolhusen-Bentonit | bentonite | – | – | Bentonite di Wolhusen | Burdigaliano | Langhiano |
| 15200632 | OSM-II: Gitzitobel-Süsswasserkalk | calcare | – | – | Calcare d'acqua dolce del Gitzitobel | Langhiano | Langhiano |
| 15200633 | OSM-II: Wissenbach-Süsswasserkalk | calcare | – | – | Calcare d'acqua dolce del Wissenbach | Langhiano | Langhiano |

| Code | GMU | Litho principale | Litho secondaire | Litho tertiaire | Formation | Chrono base | Chrono top |
|---|---|---|---|---|---|---|---|
| 15200634 | OSM-II: Altbach-Süsswasserkalk | calcare | – | – | Calcare d'acqua dolce dell'Altbach | Langhiano | Langhiano |
| 15200635 | OSM-II: Tröleten-Süsswasserkalk | calcare | – | – | Calcare d'acqua dolce di Tröleten | Langhiano | Langhiano |
| 15200636 | OSM-II: Tschöplihof-Süsswasserkalk | calcare | – | – | Calcare d'acqua dolce del Tschöplihof | Langhiano | Langhiano |
| 15200637 | Lienegg-Fm. | conglomerato: calcareo | arenaria | marna | Formazione della Lienegg | Chattiano | Aquitaniano |
| 15200638 | Öligraben-Fm. | conglomerato: polimittico | arenaria | marna: carbone | Formazione dell'Öligraben | Chattiano | Chattiano |
| 15200639 | Studweid-Fm. | arenaria | marna | conglomerato: polimittico | Formazione di Studweid | Aquitaniano | Aquitaniano |
| 15200640 | Rossemaison-Fm. | marna: siltoso | roccia: residuale | – | Formazione di Rossemaison | Priaboniano | Rupeliano |
| 15200641 | Schwaningen-Merenbach-Rhyolith | riolite | – | – | Riolite di Schwaningen-Merenbach | Carbonifero | Permiano |
| 15200642 | Schwaningen-Weizen-Granit | granito | – | – | Granito di Schwaningen-Weizen | Carbonifero | Permiano |
| 15200643 | Etzgen-Granit | granito | – | – | Granito di Etzgen | Carbonifero | Permiano |
| 15200645 | USM-I: Kalk-Dolomit-Nagelfluh | conglomerato: calcareo-dolomitico | – | – | – | Rupeliano | Chattiano |
| 15200646 | Hornbüel-Melange | arenaria | marna | conglomerato | Mélange del Hornbüel | Rupeliano | Chattiano |
| 15200647 | Kalter-Wangen-Fm. | conglomerato: calcareo | arenaria | marna | Formazione del Kalter Wangen | Langhiano | Tortoniano |
| 15200648 | Baltersweil-Nagelfluh | conglomerato: polimittico: bioclasti | – | – | Conglomerato di Baltersweil | Burdigaliano | Burdigaliano |

| Code | GMU | Litho principale | Litho secondaire | Litho tertiaire | Formation | Chrono base | Chrono top |
|---|---|---|---|---|---|---|---|
| 15200649 | Netzbachtal-Nagelfluh | conglomerato | – | – | Conglomerato del Netzbachtal | Burdigaliano | Burdigaliano |
| 15200650 | Rocher-des-Hirondelles-Fm. | calcare: bioclasti | marna | – | Formazione del Rocher des Hirondelles | Hauteriviano | Barremiano |
| 15200651 | Rocher-des-Hirondelles-Fm.: Fort-de-l'Ecluse-Mb. | calcare: bioclasti | calcare: ooidi | – | Membro del Fort de l'Écluse | Hauteriviano | Barremiano |
| 15200652 | Gorges-de-l'Orbe-Fm.: Bôle-Mb. | marna: bioclasti | calcare: marnoso | – | Membro di Bôle | Barremiano | Barremiano |
| 15200653 | Gorges-de-l'Orbe-Fm.: Montcherand-Mb. | marna | calcare: bioclasti | – | Membro di Montcherand | Hauteriviano | Barremiano |
| 15200654 | Vuache-Fm.: Calcaire roux s.s. | calcare: spatico: ooidi | – | – | Formazione del Vuache | Valanginiano | Valanginiano |
| 15200658 | Schwarzbach-Fm. | calcare: marnoso: bioclasti | marna | – | Formazione del Schwarzbach | Kimmeridgiano | Kimmeridgiano |
| 15200659 | Wangen- und Letzi-Mb. | calcare: micritico | – | – | Formazione di Villigen | Oxfordiano | Kimmeridgiano |
| 15200660 | Grand-Essert- bis Narlay-Fm. | calcare | marna | arenaria: glauconite | – | Valanginiano | Coniaciano |
| 15200661 | Goldberg- bis Vuache-Fm. | calcare | marna | – | – | Berriasiano | Valanginiano |
| 15200662 | Rocher-des-Hirondelles-Fm.: Bellegarde-Bk. | calcare: bioclasti | marna: conglomeratico | – | Strato di Bellegarde | Barremiano | Barremiano |

| Code | GMU | Litho principale | Litho secondaire | Litho tertiaire | Formation | Chrono base | Chrono top |
|---|---|---|---|---|---|---|---|
| 15200663 | Rocher-des-Hirondelles-Fm.: Serrières-Bk. | calcare: bioclasti | – | – | Strato di Serrières | Barremiano | Barremiano |
| 15200664 | Gorges-de-l'Orbe-Fm.: Morteau-Kalk | calcare: bioclasti | calcare: ooidi | – | Calcare di Morteau | Barremiano | Barremiano |
| 15200665 | Gorges-de-l'Orbe-Fm.: Montcherand-Mb.: La-Vaux-Bk. | calcare: ooidi | – | – | Strato della Vaux | Barremiano | Barremiano |
| 15200666 | Gorges-de-l'Orbe-Fm.: Montcherand-Mb.: Cul-du-Nozon-Bk. | marna | – | – | Strato del Cul du Nozon | Hauteriviano | Hauteriviano |
| 15200667 | Gorges-de-l'Orbe-Fm.: Montcherand-Mb.: Pont-des-Pierres-Bk. | calcare: marnoso: glauconite | – | – | Strato del Pont des Pierres | Hauteriviano | Hauteriviano |
| 15200668 | Grand-Essert-Fm: Hauterive-Mb.: Censeau-Mergel | marna: corali | – | – | Marna di Censeau | Valanginiano | Valanginiano |
| 15200669 | Grand-Essert-Fm: Hauterive-Mb.: Morteau-Mergel | marna: argilloso | – | – | Marna di Morteau | Valanginiano | Valanginiano |

| Code | GMU | Litho principale | Litho secondaire | Litho tertiaire | Formation | Chrono base | Chrono top |
|---|---|---|---|---|---|---|---|
| 15200670 | Chambotte-Fm.: Guiers-Mb.: Grande-Varappe-Bk. | marna: conglomeratico | – | – | Strato della Grande Varappe | Valanginiano | Valanginiano |
| 15200671 | Le-Coin-Fm. | calcare: micritico: selce | calcare: dolomitico | – | Formazione del Coin | Kimmeridgiano | Kimmeridgiano |
| 15200672 | Bärschwil-, St-Ursanne- und Pichoux-Fm. | calcare | marna | argillite | – | Oxfordiano | Oxfordiano |
| 15200673 | Passwang- bis Ifenthal-Fm. | calcare | marna | argillite | – | Aaleniano | Oxfordiano |
| 15200674 | Calcaire à Entroques | calcare: spatico: bioclasti | – | – | «Calcaire à Entroques» | Bajociano | Bajociano |
| 15205001 | Dent-Blanche-Decke: Sedimentbedeckung | breccia | dolomia | arenaria | – | Triassico | Giurassico superiore |
| 15205002 | Petit-Dolin-Kalkbrekzie | breccia: calcareo-dolomitico | – | – | Breccia del Petit Dolin | Giurassico inferiore | Giurassico medio |
| 15205003 | Roisan-Cignana-Zone | marmo | scisto: calcareo | – | – | Mesozoico | Mesozoico |
| 15205004 | Arolla-Einheit | gneiss: a bande | scisto: mica | – | – | Permiano | Permiano |
| 15205005 | Mont-Collon-Gabbro | gabbro: olivina | – | – | Gabbro del Mont Collon | Permiano | Permiano |
| 15205006 | Arolla-Orthogneis | gneiss: magmatico | – | – | Ortogneiss di Arolla | Permiano | Permiano |
| 15205007 | Valpelline-Einheit | granulite: biotite-granato | gneiss: granulitico | – | – | Proterozoico | Paleogene |
| 15205008 | Castel-di-Sotto-Ton | argillite | marna | siltite | Argilla di Castel di Sotto | Zancleano | Zancleano |

| Code | GMU | Litho principale | Litho secondaire | Litho tertiaire | Formation | Chrono base | Chrono top |
|---|---|---|---|---|---|---|---|
| 15205009 | Pontegana-Konglomerat | conglomerato: calcareo | arenaria | – | Conglomerato di Pontegana | Messiniano | Messiniano |
| 15205010 | Lombardischer Gompholith | conglomerato | arenaria | argillite | – | Chattiano | Langhiano |
| 15205011 | Lucino-Konglomerat | conglomerato | arenaria | argillite | Conglomerato di Lucino | Burdigaliano | Langhiano |
| 15205012 | Lucino-Konglomerat: Cagno-Sandstein | arenaria | conglomerato | – | Arenaria di Cagno | Burdigaliano | Langhiano |
| 15205013 | Como-Konglomerat: Val-Grande-Sandstein | arenaria | arenaria: conglomeratico | argillite | Arenaria della Val Grande | Burdigaliano | Burdigaliano |
| 15205014 | Como-Konglomerat: Prestino-Pelite | argillite | siltite | arenaria | Peliti di Prestino | Aquitaniano | Aquitaniano |
| 15205015 | Como-Konglomerat | conglomerato: polimittico | arenaria | argillite | Conglomerato di Como | Chattiano | Burdigaliano |
| 15205016 | Como-Konglomerat: Malnate-Sandstein | arenaria | arenaria: conglomeratico | argillite | Arenaria di Malnate | Burdigaliano | Burdigaliano |
| 15205017 | Como-Konglomerat: Rio-dei-Gioghi-Pelite | argillite | siltite | arenaria | Peliti del Rio dei Gioghi | Aquitaniano | Aquitaniano |
| 15205018 | Chiasso-Fm. | argillite | arenaria | conglomerato | Formazione di Chiasso | Chattiano | Chattiano |
| 15205019 | Chiasso-Fm: Villa-Olmo-Konglomerat | conglomerato: polimittico | arenaria | argillite | Conglomerato di Villa Olmo | Chattiano | Chattiano |
| 15205020 | Ternate-Fm. | calcare: arenitico: bioclasti | marna | – | Formazione di Ternate | Priaboniano | Priaboniano |

| Code | GMU | Litho principale | Litho secondaire | Litho tertiaire | Formation | Chrono base | Chrono top |
|---|---|---|---|---|---|---|---|
| 15205021 | Brenno-Fm. | calcare: micritico | calcare: arenitico | – | Formazione di Brenno | Campaniano | Maastrichtiano |
| 15205022 | Prella-Konglomerat | conglomerato: polimittico | calcare: arenitico | calcare: micritico | Conglomerato di Prella | Campaniano | Campaniano |
| 15205023 | Südalpin: Flysch | arenaria | conglomerato: polimittico | calcare | – | Cenomaniano | Campaniano |
| 15205024 | Bergamo-Flysch | argillite | calcare: arenitico | – | Flysch di Bergamo | Santoniano | Campaniano |
| 15205025 | Coldrerio-Flysch | arenaria | siltite | marna | Flysch di Coldrerio | Santoniano | Campaniano |
| 15205026 | Torre-Konglomerat | conglomerato: polimittico | arenaria | – | Conglomerato di Torre | Santoniano | Santoniano |
| 15205027 | Varesotto-Flysch | arenaria | siltite | marna | Flysch del Varesotto | Cenomaniano | Santoniano |
| 15205028 | Scaglia Lombarda | calcare: marnoso | marna | – | – | Aptiano | Cenomaniano |
| 15205029 | Scaglia Rossa Lombarda | calcare: marnoso | marna | – | «Scaglia Rossa Lombarda» | Cenomaniano | Cenomaniano |
| 15205030 | Scaglia Bianca Lombarda | calcare: marnoso | marna | argillite: scistoso: bitume | «Scaglia Bianca Lombarda» | Albiano | Albiano |
| 15205031 | Scaglia Variegata Lombarda | calcare: marnoso | marna | argillite: scistoso: bitume | «Scaglia Variegata Lombarda» | Aptiano | Albiano |
| 15205032 | Maiolica Lombarda | calcare: micritico: selce | argillite | – | «Maiolica Lombarda» | Titoniano | Barremiano |
| 15205033 | Selcifero Lombardo | roccia: siliceo: radiolari | calcare: marnoso | – | «Selcifero Lombardo» | Bajociano | Titoniano |
| 15205034 | Selcifero Lombardo: Rosso ad Aptici | marna | calcare: marnoso: selce | – | «Rosso ad Aptici» | Kimmeridgiano | Titoniano |
| 15205035 | Calcare a bivalvi planctonici | calcare: marnoso-siliceo | marna | – | «Calcare a bivalvi planctonici» | Aaleniano | Bajociano |

| Code | GMU | Litho principale | Litho secondaire | Litho tertiaire | Formation | Chrono base | Chrono top |
|---|---|---|---|---|---|---|---|
| 15205036 | Rosso Ammonitico Lombardo | calcare: marnoso: bioclasti | marna | – | «Rosso Ammonitico Lombardo» | Toarciano | Aaleniano |
| 15205037 | Rosso Ammonitico Lombardo: Grenzposidonienschichten | marna: bioclasti | – | – | «Grenzposidonienschichten» | Toarciano | Toarciano |
| 15205038 | Morbio-Fm. | calcare: micritico | marna | – | Formazione di Morbio | Pliensbachiano | Toarciano |
| 15205039 | Besazio-Kalk | calcare: bioclasti | – | – | Calcare di Besazio | Pliensbachiano | Pliensbachiano |
| 15205040 | Moltrasio-Fm. | calcare: siliceo | marna | breccia | Formazione di Moltrasio | Sinemuriano | Pliensbachiano |
| 15205041 | Moltrasio-Fm.: Molino-Mb. | calcare: siliceo | marna | – | Membro del Molino | Pliensbachiano | Pliensbachiano |
| 15205042 | Saltrio-Fm. | calcare: arenitico: bioclasti | – | – | Formazione di Saltrio | Sinemuriano | Sinemuriano |
| 15205043 | Macchia Vecchia | breccia | – | – | «Macchia Vecchia» | Hettangiano | Pliensbachiano |
| 15205044 | Broccatello d'Arzo | calcare: bioclasti | breccia | – | Broccatello d'Arzo | Hettangiano | Sinemuriano |
| 15205045 | Albenza-Fm. | calcare: dolomitico | dolomia: calcareo | calcare: ooidi | Formazione dell'Albenza | Hettangiano | Hettangiano |
| 15205046 | Zu-Kalk | calcare: bioclasti | calcare: marnoso | marna | Calcare di Zu | Norico | Retico |
| 15205047 | Tremona-Fm. | calcare: arenitico: ooidi | marna | dolomia | Formazione di Tremona | Retico | Retico |
| 15205048 | Brecce Retiche | breccia | – | – | «Brecce Retiche» | Retico | Retico |
| 15205049 | Riva-di-Solto-Tonstein | argillite | marna | calcare: marnoso | Argillite di Riva di Sotto | Norico | Norico |
| 15205050 | Dolomia Principale | dolomia | dolomia: stromatolitico | – | «Dolomia Principale» | Norico | Norico |

| Code | GMU | Litho principale | Litho secondaire | Litho tertiaire | Formation | Chrono base | Chrono top |
|---|---|---|---|---|---|---|---|
| 15205051 | Pizzella-Mergel | marna | marna: bitume | calcare | Marna del Pizzella | Carnico | Carnico |
| 15205052 | Cunardo-Fm. | calcare: selce | – | – | Formazione di Cunardo | Ladinico | Ladinico |
| 15205053 | Meride-Fm. | calcare: argilloso | argillite: scistoso: bitume | dolomia | Formazione di Meride | Ladinico | Ladinico |
| 15205054 | Meride-Fm.: Kalkschieferzone | scisto: calcareo | calcare: micritico | marna | «Kalkschieferzone» (Fm. di Meride) | Ladinico | Carnico |
| 15205055 | Meride-Fm.: Unterer Kalk: Cassina-Bk. | argillite: scistoso: bitume | calcare | tufite | Strati di Cassina | Ladinico | Ladinico |
| 15205056 | Meride-Fm.: Unterer Kalk: Cava Superiore | argillite: scistoso: bitume | – | – | «Cava Superiore» | Ladinico | Ladinico |
| 15205057 | Meride-Fm.: Unterer Kalk: Cava Inferiore | argillite: scistoso: bitume | – | – | «Cava Inferiore» | Ladinico | Ladinico |
| 15205058 | San-Giorgio-Dolomit | dolomia: siliceo | – | – | Dolomia del San Giorgio | Ladinico | Ladinico |
| 15205059 | San-Giorgio-Dolomit: Val-Serrata-Tuffite | tufite | – | – | Tuffiti della Val Serrata | Ladinico | Ladinico |
| 15205060 | Besano-Fm. | dolomia: sabbioso-argilloso: bitume | argillite: scistoso: bitume | – | Formazione di Besano | Anisico | Ladinico |
| 15205061 | San-Salvatore-Dolomit | dolomia | – | – | Dolomia del San Salvatore | Anisico | Ladinico |
| 15205062 | Bellano-Fm. | conglomerato | arenaria | – | Formazione di Bellano | Triassico inferiore | Anisico |
| 15205063 | Servino | arenaria | argillite | – | «Servino» | Permiano | Triassico inferiore |

| Code | GMU | Litho principale | Litho secondaire | Litho tertiaire | Formation | Chrono base | Chrono top |
|---|---|---|---|---|---|---|---|
| 15205064 | Verrucano Lombardo | conglomerato | arenaria | argillite | – | Changhsingiano | Changhsingiano |
| 15205065 | Morcote-Vulkanite | roccia: vulcanico | – | – | – | Cisuraliano | Cisuraliano |
| 15205066 | Morcote-Vulkanite: Granophyr | granofiro | – | – | – | Kunguriano | Kunguriano |
| 15205067 | Morcote-Vulkanite: Andesit und Dazit | andesite | dacite | – | – | Cisuraliano | Cisuraliano |
| 15205068 | Morcote-Vulkanite: Basalt | basalto | – | – | – | Cisuraliano | Cisuraliano |
| 15205069 | Morcote-Vulkanite: Basaler Tuf | tufite | – | – | – | Cisuraliano | Cisuraliano |
| 15205070 | Manno-Fm. | conglomerato | arenaria | scisto: argilloso: antracite | Formazione di Manno | Pennsylvaniano | Pennsylvaniano |
| 15205071 | Südalpin: Paläogen-Neogen | conglomerato | arenaria | pelite | – | Paleogene | Neogene |
| 15205072 | Südalpin: Kreide | arenaria | pelite | calcare | – | Cretaceo | Cretaceo |
| 15205073 | Südalpin: Radiolarit-Aptychenkalk | roccia: siliceo: radiolari | calcare: marnoso | – | – | Giurassico superiore | Giurassico superiore |
| 15205074 | Südalpin: Dogger | calcare: marnoso-siliceo | marna | – | – | Giurassico medio | Giurassico medio |
| 15205075 | Südalpin: Lias | calcare | marna | breccia | – | Giurassico inferiore | Giurassico inferiore |
| 15205076 | Südalpin: Trias | dolomia | pelite | calcare | – | Triassico | Triassico |
| 15205077 | Südalpin: Permo-Karbon | conglomerato | arenaria | roccia: vulcanico | – | Carbonifero | Permiano |

| Code | GMU | Litho principale | Litho secondaire | Litho tertiaire | Formation | Chrono base | Chrono top |
|---|---|---|---|---|---|---|---|
| 15205078 | Südalpin: Grundgebirge | gneiss | anfibolite | – | – | Proterozoico | Paleozoico |
| 15205079 | Südalpin: Variszische Intrusiva | roccia: plutonico | – | – | – | Paleozoico superiore | Paleozoico superiore |
| 15205080 | San-Bernardo-Gneis | gneiss | – | – | Gneiss del San Bernardo | Ordoviciano | Siluriano |
| 15205081 | Südalpin: Prävariszische Metasedimente | gneiss: sedimentario | scisto: mica | – | – | Proterozoico | Paleozoico |
| 15205082 | Stabbiello-Gneis | gneiss: sericite | – | – | Gneiss del Stabbiello | Proterozoico | Paleozoico |
| 15205083 | Giumello-Gneis | gneiss: aluminosilicato | – | – | Gneiss di Giumello | Proterozoico | Paleozoico |
| 15205084 | Ceneri-Gneis | gneiss: granato | – | – | Gneiss del Ceneri | Ordoviciano superiore | Ordoviciano superiore |
| 15205085 | Südalpin: Proterozoische und paläozoische mafische und ultramafische Gesteine | roccia: mafico | roccia: ultramafico | – | – | Proterozoico | Paleozoico |
| 15205086 | Mont-Morion-Granit | granito: porfirico | – | – | Granito del Mont Morion | Permiano | Permiano |
| 15205087 | Pointe-d'Otemma-Granodiorit | granodiorite: orneblenda | gneiss: granodioritico | – | Granodiorite della Pointe d'Otemma | Permiano | Permiano |
| 15205088 | Bouquetins-Quarzdiorit | diorite: quarzo | gneiss: dioritico | – | Quarzdiorite dei Bouquetins | Permiano | Permiano |
| 15205089 | Tête-de-Valpelline-Phyllit | scisto: argilloso: grafite | – | – | Fillite della Tête de Valpelline | Paleozoico | Paleozoico |
| 15205090 | Arolla-Einheit: Série rubanée | gneiss: a bande | gneiss: granitico | gneiss: dioritico | «Série Rubanée» | Permiano | Permiano |

| Code | GMU | Litho principale | Litho secondaire | Litho tertiaire | Formation | Chrono base | Chrono top |
|---|---|---|---|---|---|---|---|
| 15205091 | Sassa-Metagabbro | gabbro | diorite | roccia: ultramafico | Gabbro della Sassa | Permiano | Permiano |
| 15205092 | Maia-Metagabbro | gabbro: orneblenda | – | – | Metagabbro di Maia | Permiano | Permiano |
| 15205093 | Losone-Schiefer | scisto: sericite-clorite | gneiss | – | Scisto di Losone | Proterozoico | Mesozoico |
| 15205094 | Pizzo-Leone-Gneis | gneiss: clorite | – | – | Gneiss del Pizzo Leone | Paleozoico | Paleozoico |
| 15205095 | Fornale-Gabbro | gabbro: orneblenda | – | – | Gabbro del Fornale | Permiano | Permiano |
| 15205096 | Matterhorn-Gabbro | gabbro | – | – | Gabbro del Matterhorn | Permiano | Permiano |
| 15205097 | Berrio-Gabbro | gabbro | – | – | Gabbro di Berrio | Permiano | Permiano |
| 15205098 | Grand-Dolin-Brekzie | breccia: polimittico | – | – | Breccia del Grand Dolin | Giurassico medio | Giurassico superiore |
| 15205099 | Meride-Fm.: Oberer Kalk | calcare: bitume | marna | calcare: marnoso | Formazione di Meride | Ladinico | Ladinico |
| 15205100 | Meride-Fm.: Unterer Kalk | calcare | marna: scistoso: bitume | – | Formazione di Meride | Ladinico | Ladinico |
| 15205101 | Meride-Fm.: Dolomit-Band | dolomia | – | – | «Dolomitband» (Fm. di Meride) | Ladinico | Ladinico |
| 15205102 | Dent-Blanche-Decke: Lias: Kalkstein | calcare: spatico: bioclasti | – | – | – | Giurassico inferiore | Giurassico inferiore |
| 15205103 | Dent-Blanche-Decke: Trias: Dolomit | dolomia | calcare | – | – | Norico | Norico |
| 15205104 | Dent-Blanche-Decke: Trias: Rauwacke | cargnola | – | – | – | Triassico | Triassico |
| 15205105 | Dent-Blanche-Decke: Trias: Quarzit | arenaria: quarzo | conglomerato: quarzo | – | – | Triassico | Triassico |

| Code | GMU | Litho principale | Litho secondaire | Litho tertiaire | Formation | Chrono base | Chrono top |
|---|---|---|---|---|---|---|---|
| 15205106 | Arolla-Orthogneis: Leukogneis | gneiss: magmatico | – | – | Ortogneiss di Arolla | Permiano | Permiano |
| 15205107 | Arolla-Orthogneis: Augengneis | gneiss: granitico-occhiadino | gneiss | – | Ortogneiss di Arolla | Permiano | Permiano |
| 15205108 | Arolla-Orthogneis: Mylonit | gneiss: milonitico | – | – | Ortogneiss di Arolla | Permiano | Permiano |
| 15205109 | Arolla-Einheit: Mylonit | gneiss: milonitico | – | – | «Série Rubanée» | Paleozoico | Paleozoico |
| 15205110 | Arolla-Einheit: Série rubanée: Mikroaugengneis | gneiss: a bande | – | – | «Série Rubanée» | Permiano | Permiano |
| 15205111 | Arolla-Orthogneis: Granitoid | gneiss: granitico | – | – | Ortogneiss di Arolla | Permiano | Permiano |
| 15205112 | Arolla-Einheit: Basisches Gestein | gabbro: orneblenda | diorite | – | – | Permiano | Permiano |
| 15205113 | Arolla-Einheit: Basisches Gestein: Mylonitisch | gabbro: milonitico | scisto: zoisite-fuchsite | – | – | Permiano | Permiano |
| 15205114 | Arolla-Einheit: Prasinit | prasinite | – | – | – | Permiano | Permiano |
| 15205115 | Arolla-Einheit: Hornblendegabbro | gabbro: orneblenda | diorite | – | – | Permiano | Permiano |
| 15205116 | Arolla-Einheit: Ultramafisches Gestein | roccia: ultramafico | serpentinite | peridotite: metamorfico | – | Paleozoico | Paleozoico |
| 15205117 | Arolla-Einheit: Paragneis | gneiss: sedimentario | gneiss: anfibolo | – | – | Paleozoico | Paleozoico |
| 15205118 | Arolla-Einheit: Glimmerschiefer | scisto: mica | – | – | – | Paleozoico | Paleozoico |

| Code | GMU | Litho principale | Litho secondaire | Litho tertiaire | Formation | Chrono base | Chrono top |
|---|---|---|---|---|---|---|---|
| 15205119 | Valpelline-Einheit: Mylonit | milonite | scisto: clorite-epidoto | gneiss: albite | – | Proterozoico | Paleozoico |
| 15205120 | Valpelline-Einheit: Amphibolit | anfibolite | – | – | – | Proterozoico | Paleozoico |
| 15205121 | Valpelline-Einheit: Marmor | marmo: calcsilicati | gneiss: calcsilicati | – | – | Proterozoico | Paleozoico |
| 15205122 | Valpelline-Einheit: Migmatit | gneiss: migmatitico | – | – | – | Proterozoico | Paleozoico |
| 15205123 | Roisan-Cignana-Zone: Marmor | marmo: calcareo | marmo: dolomitico | scisto: calcareo: mica | – | Mesozoico | Mesozoico |
| 15205124 | Musella-Granit | granito: porfirico: orneblenda | – | – | Granito di Musella | Carbonifero | Carbonifero |
| 15205125 | Sella-Granodiorit | granodiorite: orneblenda | – | – | Granodiorite della Sella | Carbonifero | Carbonifero |
| 15205126 | Marinelli-Fm. | scisto: mica-clorite | scisto: argilloso: grafite | anfibolite | Formazione del Rifugio Marinelli | Proterozoico | Paleozoico |
| 15205127 | Margna- und Sella-Decke: Grundgebirge | gneiss | anfibolite | – | – | Proterozoico | Paleozoico |
| 15205128 | Margna- und Sella-Decke: Variszische Intrusiva | granito | granodiorite | – | – | Carbonifero | Permiano |
| 15205129 | Margna- und Sella-Decke: Prävariszisches Grundgebirge | gneiss | scisto | anfibolite | – | Proterozoico | Paleozoico |

| Code | GMU | Litho principale | Litho secondaire | Litho tertiaire | Formation | Chrono base | Chrono top |
|---|---|---|---|---|---|---|---|
| 15205130 | Margna-Decke: Metaarkose, Orthogneise | gneiss | – | – | – | Proterozoico | Paleozoico |
| 15205131 | Sesia-Decke: Orthogneis | gneiss: magmatico | – | – | – | Carbonifero | Permiano |
| 15205132 | Sesia-Decke: Micascisti Eclogitici | scisto: mica | eclogite | marmo | – | Proterozoico | Paleozoico |
| 15205133 | Finero-Peridotit | peridotite | – | – | Peridotite di Finero | Permiano | Permiano |
| 15205134 | Ivrea Mafischer Komplex | gabbro | diorite | – | – | Permiano | Permiano |
| 15205135 | Sesia-Decke: Zona Dioritico-Kinzigitica | gneiss: granulitico | roccia: basico | marmo | – | Proterozoico | Paleozoico |
| 15205136 | Südalpin: Prävariszischer Orthogneis | gneiss: magmatico | – | – | – | Proterozoico | Paleozoico |
| 15205137 | Pontida-Fm. | arenaria | argillite | – | Formazione di Pontida | Turoniano | Coniaciano |
| 15205138 | Arolla-Orthogneis: Metagranit | granito | – | – | Ortogneiss di Arolla | Permiano | Permiano |
| 15205139 | Arolla-Einheit: Leukokrater Granitgneis | gneiss: granitico | – | – | – | Permiano | Permiano |
| 15205140 | Dent-Blanche-Decke: Grundgebirge | – | – | – | – | – | – |
| 15205141 | Maloja-Teildecke: Sedimentbedeckung | – | – | – | – | – | – |

| Code | GMU | Litho principale | Litho secondaire | Litho tertiaire | Formation | Chrono base | Chrono top |
|---|---|---|---|---|---|---|---|
| 15205142 | Maloja-Teildecke: Kalzitmarmor [Emmat-Fm.?] | marmo: calcareo | – | – | Formazione di Emmat | – | – |
| 15205143 | Maloja-Teildecke: Quarzschiefer [Blais-Fm.?] | scisto: quarzo | – | – | Formazione del Munt Blais | – | – |
| 15205144 | Maloja-Teildecke: Kalkglimmerschiefer [Saluver-Fm.?] | scisto: calcareo: mica | – | – | Formazione della Val Saluver | – | – |
| 15205145 | Maloja-Teildecke: kieseliger Kalzitmarmor [Agnelli-Fm.?] | marmo: calcareo-siliceo | – | – | Formazione d'Agnelli | – | – |
| 15205146 | Maloja-Teildecke: Karbonatische Trias | marmo: dolomitico | breccia: dolomitico | cargnola | – | Triassico | Triassico |
| 15205147 | Maloja-Teildecke: Trias: Kalzitmarmor | marmo: calcareo | – | – | – | Triassico | Triassico |
| 15205148 | Maloja-Teildecke: Trias: Dolomitmarmor | marmo: dolomitico | – | – | – | Triassico | Triassico |
| 15205149 | Maloja-Teildecke: Trias: Dolomitbrekzie | breccia: dolomitico | – | – | – | Triassico | Triassico |

| Code | GMU | Litho principale | Litho secondaire | Litho tertiaire | Formation | Chrono base | Chrono top |
|---|---|---|---|---|---|---|---|
| 15205150 | Maloja-Teildecke: Trias: Rauwacke | cargnola | – | – | – | Triassico | Triassico |
| 15205151 | Maloja-Teildecke: Detritische (Permo-)Trias | quarzite | scisto | – | – | Triassico | Triassico |
| 15205152 | Maloja-Teildecke: Permo-Trias: Quarzit | quarzite | – | – | – | Permiano | Triassico |
| 15205153 | Maloja-Teildecke: Permo-Trias: Schiefer | scisto | – | – | – | Permiano | Triassico |
| 15205154 | Maloja-Teildecke: Grundgebirge | – | – | – | – | Proterozoico | Paleozoico |
| 15205155 | Maloja-Teildecke: Glimmerschiefer (mit Trias-Linsen; südlich der Engadiner Linie) | scisto: mica | quarzite | marmo | – | Proterozoico | Paleozoico |
| 15205156 | Maloja-Teildecke: Biotit-Serizitschiefer | – | – | – | – | Proterozoico | Paleozoico |
| 15205157 | Maloja-Teildecke: Serizitschiefer | scisto: sericite | – | – | – | Proterozoico | Paleozoico |

| Code | GMU | Litho principale | Litho secondaire | Litho tertiaire | Formation | Chrono base | Chrono top |
|---|---|---|---|---|---|---|---|
| 15205158 | Maloja-Teildecke: Paragneis und -schiefer (nördlich der Engadiner Linie) | gneiss: sedimentario | scisto | – | – | Proterozoico | Paleozoico |
| 15205159 | Maloja-Teildecke: Quarz-Hellglimmerschiefer | scisto: quarzo-mica | – | – | – | Proterozoico | Paleozoico |
| 15205160 | Maloja-Teildecke: Quarzphyllit | fillite: quarzo | – | – | – | Proterozoico | Paleozoico |
| 15205161 | Maloja-Teildecke: Dunkler Phyllit | fillite | – | – | – | Proterozoico | Paleozoico |
| 15205162 | Maloja-Teildecke: Paragneis und -schiefer (westlich des Septimer-Bruchs) | gneiss: sedimentario | scisto | – | – | Proterozoico | Paleozoico |
| 15205163 | Maloja-Teildecke: Amphibolit | anfibolite | – | – | – | Proterozoico | Paleozoico |
| 15205164 | Maloja-Teildecke: Ultramafitit | roccia: ultramafico | – | – | – | Proterozoico | Fanerozoico |
| 15205165 | Maloja-Teildecke: Variszisches Grundgebirge | – | – | – | – | Paleozoico superiore | Paleozoico superiore |

| Code | GMU | Litho principale | Litho secondaire | Litho tertiaire | Formation | Chrono base | Chrono top |
|---|---|---|---|---|---|---|---|
| 15205166 | Maloja-Teildecke: Variszischer Hellglimmergneis | – | – | – | – | Paleozoico superiore | Paleozoico superiore |
| 15205167 | Maloja-Teildecke: Variszischer Augengneis | – | – | – | – | Paleozoico superiore | Paleozoico superiore |
| 15205168 | Maloja-Teildecke: Variszischer Zweiglimmergneis | – | – | – | – | Paleozoico superiore | Paleozoico superiore |
| 15205169 | Maloja-Teildecke: «Chastè-Gneis» | – | – | – | Gneiss del Chastè | Paleozoico superiore | Paleozoico superiore |
| 15205170 | Maloja-Teildecke: Lunghin-Augengneis | – | – | – | Gneiss occhiadino del Lunghin | Paleozoico superiore | Paleozoico superiore |
| 15205171 | Maloja-Teildecke: Fedoz-Metagabbro: Orthopyroxen-Chlorit-Amphibolfels | – | – | – | Metaggabro di Fedoz | Guadalupiano | Guadalupiano |
| 15205172 | Maloja-Teildecke: Prävariszisches Grundgebirge | – | – | – | – | Proterozoico | Paleozoico |

| Code | GMU | Litho principale | Litho secondaire | Litho tertiaire | Formation | Chrono base | Chrono top |
|---|---|---|---|---|---|---|---|
| 15205173 | Maloja-Teildecke: Fedoz-Gneiskomplex: Granat-Glimmerschiefer | scisto: mica-granato | – | – | Complesso gneissico di Fedoz | Proterozoico | Paleozoico |
| 15205174 | Maloja-Teildecke: Fedoz-Gneiskomplex: Kalzitmarmor | marmo: calcareo | – | – | Complesso gneissico di Fedoz | Proterozoico | Paleozoico |
| 15205175 | Maloja-Teildecke: Fedoz-Gneiskomplex: Amphibolit | anfibolite | – | – | Complesso gneissico di Fedoz | Proterozoico | Paleozoico |
| 15205176 | Maloja-Teildecke: Fedoz-Gneiskomplex: Granatamphibolit | anfibolite: granato | – | – | Complesso gneissico di Fedoz | Proterozoico | Paleozoico |
| 15205177 | Maloja-Teildecke: Fedoz-Gneiskomplex: Pegmatit | pegmatite | – | – | Complesso gneissico di Fedoz | Proterozoico | Paleozoico |
| 15205178 | Fora-Teildecke: Sedimentbedeckung | – | – | – | – | – | – |
| 15205179 | Fora-Teildecke: Karbonatische Trias | marmo: dolomitico | cargnola | – | – | Triassico | Triassico |
| 15205180 | Fora-Teildecke: Trias: Dolomitmarmor | marmo: dolomitico | – | – | – | Triassico | Triassico |

| Code | GMU | Litho principale | Litho secondaire | Litho tertiaire | Formation | Chrono base | Chrono top |
|---|---|---|---|---|---|---|---|
| 15205181 | Fora-Teildecke: Trias: Rauwacke | cargnola | – | – | – | Triassico | Triassico |
| 15205182 | Fora-Teildecke: Detritische (Permo-)Trias | quarzite | scisto | – | – | Triassico | Triassico |
| 15205183 | Fora-Teildecke: Permo-Trias: Quarzit | quarzite | – | – | – | Permiano | Triassico |
| 15205184 | Fora-Teildecke: Grundgebirge | – | – | – | – | Proterozoico | Paleozoico |
| 15205185 | Fora-Teildecke: Biotit-Serizitschiefer | – | – | – | – | Proterozoico | Paleozoico |
| 15205186 | Fora-Teildecke: Amphibolit | anfibolite | – | – | – | Proterozoico | Paleozoico |
| 15205187 | Fora-Teildecke: Ultramafitit | roccia: ultramafico | – | – | – | Proterozoico | Paleozoico |
| 15205188 | Fora-Teildecke: Variszisches Grundgebirge | – | – | – | – | Paleozoico superiore | Paleozoico superiore |
| 15205189 | Fora-Teildecke: Variszischer Hellglimmergneis | – | – | – | – | Paleozoico superiore | Paleozoico superiore |
| 15205190 | Fora-Teildecke: Variszischer Biotit-führender Hellglimmergneis | – | – | – | – | Paleozoico superiore | Paleozoico superiore |
| 15205191 | Fora-Teildecke: Fedoz-Metagabbro | gabbro | scisto: clorite | – | Metaggabro di Fedoz | Guadalupiano | Guadalupiano |

| Code | GMU | Litho principale | Litho secondaire | Litho tertiaire | Formation | Chrono base | Chrono top |
|---|---|---|---|---|---|---|---|
| 15205192 | Fora-Teildecke: Fedoz-Metagabbro: Ferrogabbro | gabbro | scisto: clorite | – | Metaggabro di Fedoz | Guadalupiano | Guadalupiano |
| 15206001 | Periadriatische Vulkanite | roccia: vulcanico | – | – | – | Paleogene | Paleogene |
| 15206002 | Novate-Intrusiva | granito | – | – | – | Chattiano | Miocene inferiore |
| 15206003 | Bregaglia-Intrusiva | granodiorite | tonalite | granito | – | Oligocene | Oligocene |
| 15206004 | Adamello-Intrusiva | granodiorite | tonalite | granito | – | Priaboniano | Rupeliano |
| 15206005 | Bregaglia-Intrusiva: Melirolo-Augengneis | gneiss: occhiadino | – | – | Gneiss occhiadino di Melirolo | Rupeliano | Rupeliano |
| 15206006 | Bregaglia-Intrusiva: Granodioritische Fazies | granodiorite | – | – | – | Rupeliano | Rupeliano |
| 15206007 | Bregaglia-Intrusiva: Tonalitische Fazies | tonalite | – | – | – | Rupeliano | Rupeliano |
| 15206008 | Bregaglia-Intrusiva: Monte-Bassetta-Quarzdiorit | diorite: quarzo | – | – | Quarzdiorite del Monte Bassetta | Rupeliano | Rupeliano |
| 15206009 | Bregaglia-Intrusiva: Sorico-Tonalit | tonalite | – | – | Tonalite di Sorico | Rupeliano | Rupeliano |
| 15206010 | Bregaglia-Intrusiva: Jorio-Tonalit | tonalite | – | – | Tonalite di San Iorio | Rupeliano | Rupeliano |

| Code | GMU | Litho principale | Litho secondaire | Litho tertiaire | Formation | Chrono base | Chrono top |
|---|---|---|---|---|---|---|---|
| 15206011 | Bregaglia-Intrusiva: Val-Masino-Granodiorit | granodiorite | – | – | Granodiorite della Val Masino | Rupeliano | Rupeliano |
| 15206012 | Bregaglia-Intrusiva: Alpe-Cameraccio-Granodiorit | granodiorite | – | – | Granodiorite dell'Alpe Cameraccio | Rupeliano | Rupeliano |
| 15206013 | Bregaglia-Intrusiva: Monte-Rosso-Mikrogranit | granito: microcristallino | – | – | Microgranito del Monte Rosso | Oligocene | Oligocene |
| 15206014 | Bregaglia-Intrusiva: Zocca-Aplit | aplite | – | – | Aplite di Zocca | Oligocene | Oligocene |
| 15206015 | Novate-Intrusiva: San-Fedelino-Granit | granito | – | – | Granito di San Fedelino | Chattiano | Chattiano |
| 15206016 | Undifferenzierte Einheit | roccia | – | – | – | Proterozoico | Cenozoico |
| 15206017 | Undifferenzierte lithologische Einheit: Tektonische Brekzie | breccia: tettonico | – | – | – | Proterozoico | Olocene |
| 15206018 | Lochsiten-Kalk | milonite: calcareo | – | – | Calcare di Lochsiten | Mesozoico | Cenozoico |
| 15206019 | Salleren-Brekzie | breccia: tettonico | – | – | Breccia di Salleren | Mesozoico | Cenozoico |
| 15206020 | Undifferenzierte lithologische Einheit | roccia | – | – | – | Proterozoico | Cenozoico |

| Code | GMU | Litho principale | Litho secondaire | Litho tertiaire | Formation | Chrono base | Chrono top |
|---|---|---|---|---|---|---|---|
| 15206021 | Undifferenzierte lithologische Einheit: Gips | evaporite: gesso | – | – | – | Triassico | Triassico |
| 15206022 | Undifferenzierte lithologische Einheit: Rauwacke | cargnola | – | – | – | Triassico | Triassico |
| 15206023 | Undifferenzierte lithologische Einheit: Dolomitmarmor | dolomia | – | – | – | Triassico | Triassico |
| 15206024 | Undifferenzierte lithologische Einheit: Ganggestein | roccia: filoniano | – | – | – | Proterozoico | Cenozoico |
| 15206025 | Undifferenzierte stratigraphische Einheit: Lias | calcare | pelite | – | – | Giurassico inferiore | Giurassico inferiore |
| 15206026 | Undifferenzierte stratigraphische Einheit: Dogger | marna | calcare | arenaria | – | Giurassico medio | Giurassico medio |
| 15206027 | Undifferenzierte stratigraphische Einheit: Malm | calcare | marna | – | – | Giurassico superiore | Giurassico superiore |
| 15206028 | Undifferenzierte stratigraphische Einheit: Kreide | calcare | marna | arenaria | – | Cretaceo | Cretaceo |
| 15206029 | Undifferenzierte stratigraphische Einheit: Trias | dolomia | evaporite | roccia: clastico | – | Triassico | Triassico |
| 15206030 | Undifferenzierte lithologische Einheit: Sedimentgestein | roccia: sedimentario | – | – | – | Proterozoico | Cenozoico |

| Code | GMU | Litho principale | Litho secondaire | Litho tertiaire | Formation | Chrono base | Chrono top |
|---|---|---|---|---|---|---|---|
| 15206031 | Undifferenzierte lithologische Einheit: Kristallingestein | roccia: cristallino | – | – | – | Proterozoico | Paleozoico |
| 15206032 | Undifferenzierte lithologische Einheit: Granit | granito | – | – | – | Paleozoico | Paleozoico |
| 15206033 | Undifferenzierte stratigraphische Einheit | roccia | – | – | – | Paleozoico superiore | Cenozoico |
| 15206034 | Undifferenzierte stratigraphische Einheit: Mesozoikum | roccia | – | – | – | Mesozoico | Mesozoico |
| 15206035 | Undifferenzierte lithologische Einheit: Rhyolith | riolite | – | – | – | Paleozoico | Paleozoico |
| 15206036 | Undifferenzierte lithologische Einheit: Grüngestein | anfibolite | prasinite | – | – | Paleozoico | Paleozoico |
| 15206037 | Undifferenzierte lithologische Einheit: Amphibolit | anfibolite | – | – | – | Paleozoico | Paleozoico |
| 15206038 | Undifferenzierte lithologische Einheit: Quarzgang | roccia: filoniano: quarzo | – | – | – | Proterozoico | Cenozoico |
| 15206039 | Undifferenzierte lithologische Einheit: Aplit | aplite | – | – | – | Paleozoico | Paleozoico |

| Code | GMU | Litho principale | Litho secondaire | Litho tertiaire | Formation | Chrono base | Chrono top |
|---|---|---|---|---|---|---|---|
| 15206040 | Undifferenzierte lithologische Einheit: Pegmatit | pegmatite | – | – | – | Paleozoico | Paleozoico |
| 15206041 | Undifferenzierte lithologische Einheit: Prasinit | prasinite | – | – | – | Proterozoico | Cenozoico |
| 15206042 | Undifferenzierte lithologische Einheit: Serpentinit | serpentinite | – | – | – | Proterozoico | Cenozoico |
| 15206043 | Undifferenzierte lithologische Einheit: Mineralisierter Gang | roccia: filoniano | – | – | – | Proterozoico | Cenozoico |
| 15206044 | Undifferenzierte lithologische Einheit: Mikrogranit | granito: microcristallino | – | – | – | Proterozoico | Cenozoico |
| 15206045 | Undifferenzierte stratigraphische Einheit: Rhät | calcare | pelite | dolomia | – | Retico | Hettangiano |
| 15206046 | Undifferenzierte lithologische Einheit: Biogener Kalkstein | calcare: bioclasti | – | – | – | Luteziano | Priaboniano |
| 15206047 | Undifferenzierte lithologische Einheit: Rodingit | rodingite | – | – | – | Proterozoico | Cenozoico |

| Code | GMU | Litho principale | Litho secondaire | Litho tertiaire | Formation | Chrono base | Chrono top |
|---|---|---|---|---|---|---|---|
| 15206048 | Undifferenzierte lithologische Einheit: Saures Ganggestein | roccia: acido-filoniano | – | – | – | Paleozoico | Paleozoico |
| 15206049 | Undifferenzierte lithologische Einheit: Basisches Ganggestein | roccia: basico-filoniano | – | – | – | Paleozoico | Paleozoico |
| 15206050 | Undifferenzierte lithologische Einheit: Eklogit | eclogite | – | – | – | Proterozoico | Paleozoico |
| 15206051 | Undifferenzierte lithologische Einheit: Mylonit | milonite | – | – | – | Proterozoico | Cenozoico |
| 15206052 | Undifferenzierte lithologische Einheit: Kalksilikatfels | granofels: calcsilicati | – | – | – | Proterozoico | Paleozoico |
| 15206053 | Undifferenzierte lithologische Einheit: Marmor | marmo | – | – | – | Proterozoico | Paleozoico |
| 15206054 | Undifferenzierte lithologische Einheit: Sedimentäre Brekzie | breccia: sedimentario | – | – | – | Mesozoico | Mesozoico |
| 15206055 | Undifferenzierte stratigraphische Einheit: Paläozoikum | roccia: sedimentario | roccia: magmatico | roccia: metamorfico | – | Paleozoico | Paleozoico |

| Code | GMU | Litho principale | Litho secondaire | Litho tertiaire | Formation | Chrono base | Chrono top |
|---|---|---|---|---|---|---|---|
| 15206056 | Undifferenzierte stratigraphische Einheit: Känozoikum | roccia | – | – | – | Cenozoico | Cenozoico |
| 15206057 | Undifferenzierte lithologische Einheit: Ultramafisches Gestein | roccia: ultramafico | – | – | – | Proterozoico | Cenozoico |
| 15206058 | Undifferenzierte lithologische Einheit: Verwitterter Fels | roccia: residuale | – | – | – | Paleozoico | Olocene |
| 15206059 | Undifferenzierte lithologische Einheit: Ophikalzit | serpentinite: brecciato: carbonato | – | – | – | Mesozoico | Mesozoico |
| 15206060 | Undifferenzierte lithologische Einheit: Talkschiefer | scisto: talco | – | – | – | Fanerozoico | Fanerozoico |
| 15206061 | Undifferenzierte lithologische Einheit: Mirkodiorit | diorite: microcristallino | – | – | – | Fanerozoico | Fanerozoico |
| 15206062 | Undifferenzierte lithologische Einheit: Quarzit | quarzite | – | – | – | Fanerozoico | Fanerozoico |
| 15206063 | Undifferenzierte lithologische Einheit: Fuchsit-Zoisitschiefer | scisto: zoisite-fuchsite | – | – | – | Fanerozoico | Fanerozoico |

| Code | GMU | Litho principale | Litho secondaire | Litho tertiaire | Formation | Chrono base | Chrono top |
|---|---|---|---|---|---|---|---|
| 15206064 | Undifferenzierte lithologische Einheit: Konglomerat | conglomerato | – | – | – | Fanerozoico | Fanerozoico |
| 15206065 | Undifferenzierte lithologische Einheit: Glaukophanschiefer | scisto: glaucofane | – | – | – | Fanerozoico | Fanerozoico |
| 15206066 | Bündnerschiefer | scisto: calcareo | scisto: mica | – | – | Mesozoico | Mesozoico |
| 15206067 | Undifferenzierte lithologische Einheit: Augengneis | gneiss: occhiadino | – | – | – | Proterozoico | Paleozoico |
| 15206068 | Undifferenzierte lithologische Einheit: Granat-Glimmerschiefer | scisto: mica-granato | – | – | – | Fanerozoico | Fanerozoico |
| 15206069 | Undifferenzierte lithologische Einheit: Albit-Muskowitschiefer | scisto: muscovite-albite | – | – | – | Fanerozoico | Fanerozoico |
| 15206070 | Undifferenzierte lithologische Einheit: Gneis | gneiss | – | – | – | Fanerozoico | Fanerozoico |
| 15206071 | Undifferenzierte lithologische Einheit: Graphitschiefer | scisto: grafite | – | – | – | Fanerozoico | Fanerozoico |
| 15206072 | Undifferenzierte lithologische Einheit: Glimmerschiefer | scisto: mica | – | – | – | Proterozoico | Mesozoico |

| Code | GMU | Litho principale | Litho secondaire | Litho tertiaire | Formation | Chrono base | Chrono top |
|---|---|---|---|---|---|---|---|
| 15206073 | Undifferenzierte lithologische Einheit: Garbenschiefer | scisto | – | – | – | Proterozoico | Mesozoico |
| 15206074 | Undifferenzierte lithologische Einheit: Diorit | diorite | – | – | – | Proterozoico | Paleozoico |
| 15206075 | Undifferenzierte lithologische Einheit: Gabbro | gabbro | – | – | – | Proterozoico | Mesozoico |
| 15206076 | Undifferenzierte lithologische Einheit: Orthogneis | gneiss: magmatico | – | – | – | Proterozoico | Paleozoico |
| 15206077 | Undifferenzierte lithologische Einheit: Paragneis | gneiss: sedimentario | – | – | – | Proterozoico | Mesozoico |
| 15206078 | Undifferenzierte lithologische Einheit: Vulkanisches Gestein | roccia: vulcanico | – | – | – | Proterozoico | Cenozoico |
| 15206079 | Undifferenzierte lithologische Einheit: Basalt | basalto | – | – | – | Proterozoico | Cenozoico |
| 15206080 | Undifferenzierte stratigraphische Einheit: Karbon | conglomerato | arenaria | pelite | – | Carbonifero | Carbonifero |
| 15206081 | Undifferenzierte lithologische Einheit: Chloritschiefer | scisto: clorite | – | – | – | Proterozoico | Mesozoico |

| Code | GMU | Litho principale | Litho secondaire | Litho tertiaire | Formation | Chrono base | Chrono top |
|---|---|---|---|---|---|---|---|
| 15206082 | Undifferenzierte lithologische Einheit: Phyllit | fillite | – | – | – | Proterozoico | Mesozoico |
| 15206083 | Undifferenzierte lithologische Einheit: Quarzphyllit | fillite: quarzo | – | – | – | Proterozoico | Mesozoico |
| 15206084 | Bündnerschiefer: Kalkschiefer | scisto: calcareo | – | – | – | Mesozoico | Mesozoico |
| 15206085 | Bündnerschiefer: Tonschiefer | scisto: argilloso | – | – | – | Mesozoico | Mesozoico |
| 15206086 | Undifferenzierte lithologische Einheit: Migmatit | migmatite | – | – | – | Proterozoico | Paleozoico |
| 15206087 | Undifferenzierte lithologische Einheit: Tonalit | tonalite | – | – | – | Paleozoico | Cenozoico |
| 15206088 | Undifferenzierte lithologische Einheit: Syenit | sienite | – | – | – | Paleozoico | Paleozoico |
| 15206089 | Undifferenzierte lithologische Einheit: Tektonit | roccia: tettonico | – | – | – | Proterozoico | Cenozoico |
| 15206090 | Undifferenzierte lithologische Einheit: Hornfels | cornubianite | – | – | – | Proterozoico | Cenozoico |
| 15206091 | Undifferenzierte lithologische Einheit: Hornblendegneis | gneiss: orneblenda | – | – | – | Proterozoico | Paleozoico |

| Code | GMU | Litho principale | Litho secondaire | Litho tertiaire | Formation | Chrono base | Chrono top |
|---|---|---|---|---|---|---|---|
| 15206092 | Undifferenzierte lithologische Einheit: Biotit-Plagioklasgneis | gneiss: biotite-plagioclasio | – | – | – | Proterozoico | Paleozoico |
| 15206093 | Undifferenzierte lithologische Einheit: Bändergneis | gneiss: a bande | – | – | – | Proterozoico | Paleozoico |
| 15206094 | Undifferenzierte lithologische Einheit: Zweiglimmergneis | gneiss: biotite-muscovite | – | – | – | Proterozoico | Paleozoico |
| 15206095 | Undifferenzierte lithologische Einheit: Phyllitgneis | gneiss: fillitico | – | – | – | Proterozoico | Paleozoico |
| 15206096 | Undifferenzierte lithologische Einheit: Peridotit | peridotite | – | – | – | Proterozoico | Mesozoico |
| 15206097 | Undifferenzierte lithologische Einheit: Bänder- und Schollenamphibolit | anfibolite | – | – | – | Proterozoico | Mesozoico |
| 15206098 | Undifferenzierte lithologische Einheit: Granatamphibolit | anfibolite: granato | – | – | – | Proterozoico | Mesozoico |
| 15206099 | Undifferenzierte lithologische Einheit: Diabasgang | basalto | – | – | – | Proterozoico | Mesozoico |

| Code | GMU | Litho principale | Litho secondaire | Litho tertiaire | Formation | Chrono base | Chrono top |
|---|---|---|---|---|---|---|---|
| 15206100 | Undifferenzierte stratigraphische Einheit: Perm | arenaria | conglomerato | roccia: vulcanico | – | Permiano | Permiano |
| 15206101 | Undifferenzierte lithologische Einheit: Kalkmarmor | marmo: calcareo | – | – | – | Paleozoico | Mesozoico |
| 15206103 | Undifferenzierte stratigraphische Einheit: Permo-Karbon | conglomerato | arenaria | pelite | – | Carbonifero | Permiano |
| 15206104 | Undifferenzierte lithologische Einheit: Kalkschiefer | scisto: calcareo | – | – | – | Paleozoico | Cenozoico |
| 15206105 | Undifferenzierte lithologische Einheit: Sandstein | arenaria | – | – | – | Paleozoico | Cenozoico |
| 15206106 | Undifferenzierte lithologische Einheit: Tonschiefer | scisto: argilloso | – | – | – | Proterozoico | Mesozoico |
| 15206107 | Undifferenzierte lithologische Einheit: Radiolarit | roccia: siliceo: radiolari | – | – | – | Mesozoico | Mesozoico |
| 15206108 | Undifferenzierte lithologische Einheit: Kalkstein | calcare | – | – | – | Paleozoico | Cenozoico |
| 15206109 | Undifferenzierte lithologische Einheit: Konglomeratgneis | gneiss: psefitico | – | – | – | Proterozoico | Mesozoico |

| Code | GMU | Litho principale | Litho secondaire | Litho tertiaire | Formation | Chrono base | Chrono top |
|---|---|---|---|---|---|---|---|
| 15206110 | Undifferenzierte stratigraphische Einheit: Prävariszisches polyzyklisches Grundgebirge | gneiss | scisto | anfibolite | – | Proterozoico | Paleozoico |
| 15206111 | Undifferenzierte lithologische Einheit: Schiefer | scisto | – | – | – | Proterozoico | Mesozoico |
| 15206112 | Undifferenzierte lithologische Einheit: Aplitgneis | gneiss: aplitico | – | – | – | Proterozoico | Paleozoico |
| 15206113 | Undifferenzierte lithologische Einheit: Süsswasserkalk | calcare | – | – | – | Paleogene | Neogene |
| 15206114 | Undifferenzierte stratigraphische Einheit: Tektonisches Melange | argillite: scistoso | – | – | – | Paleogene | Neogene |
| 15206115 | Undifferenzierte stratigraphische Einheit: Flysch | arenaria | pelite | – | – | Cretaceo superiore | Paleogene |
| 15206116 | Undifferenzierte lithologische Einheit: Aptychenkalk | calcare: micritico: aptici | – | – | – | Giurassico superiore | Cretaceo inferiore |
| 15206117 | Undifferenzierte lithologische Einheit: Quarzsandstein | arenaria: quarzo | – | – | – | Triassico | Triassico |

| Code | GMU | Litho principale | Litho secondaire | Litho tertiaire | Formation | Chrono base | Chrono top |
|---|---|---|---|---|---|---|---|
| 15206118 | Undifferenzierte lithologische Einheit: Mergelstein | marna | – | – | – | Mesozoico | Cenozoico |
| 15206119 | Undifferenzierte lithologische Einheit: Basisches Gestein | roccia: basico | – | – | – | Precambriano | Cenozoico |
| 15206120 | Bregaglia-Intrusiva: Saures Ganggestein | aplite | pegmatite | – | – | Oligocene | Oligocene |
| 15206121 | Bregaglia-Intrusiva: «Minestronit» | granodiorite: microcristallino | – | – | – | Oligocene | Oligocene |
| 15206122 | Bregaglia-Intrusiva: Basisches Ganggestein | andesite | basalto | – | – | Oligocene | Oligocene |
| 15206123 | Bregaglia-Intrusiva: Granodioritische Fazies: feinkörnig | granodiorite: microcristallino | – | – | – | Oligocene | Oligocene |
| 15206124 | Bregaglia-Intrusiva: Granodioritische Fazies: mit Xenolithen | granodiorite | – | – | – | Oligocene | Oligocene |
| 15206125 | Undifferenzierte stratigraphische Einheit: Trias: Gips | evaporite: gesso | – | – | – | Triassico | Triassico |

| Code | GMU | Litho principale | Litho secondaire | Litho tertiaire | Formation | Chrono base | Chrono top |
|---|---|---|---|---|---|---|---|
| 15206126 | Undifferenzierte stratigraphische Einheit: Trias: Rauwacke | cargnola | – | – | – | Triassico | Triassico |
| 15200001 | Twannbach-Fm. | calcare: micritico | dolomia | calcare: stromatolitico | Formazione del Twannbach | Kimmeridgiano | Titoniano |
| 15200002 | Reuchenette-Fm. | calcare: micritico | calcare: bioclasti | marna | Formazione di Reuchenette | Kimmeridgiano | Kimmeridgiano |
| 15200003 | Courgenay-Fm. | calcare: micritico | calcare: gessoso | – | Formazione di Courgenay | Oxfordiano | Kimmeridgiano |
| 15200004 | Vellerat-Fm. | calcare: marnoso | calcare: micritico | marna | Formazione di Vellerat | Oxfordiano | Oxfordiano |
| 15200005 | St-Ursanne-Fm. | calcare: corali | calcare: ooidi | calcare: arenitico: bioclasti | Formazione di St-Ursanne | Oxfordiano | Oxfordiano |
| 15200006 | Bärschwil-Fm. | argillite: marnoso | marna | calcare: selce | Formazione di Bärschwil | Oxfordiano | Oxfordiano |
| 15200007 | Ifenthal-Fm. | marna | calcare: ooidi di ferro | marna: bioclasti | Formazione di Ifenthal | Batoniano | Calloviano |
| 15200008 | Hauptrogenstein | calcare: ooidi | calcare: bioclasti | marna | Hauptrogenstein | Bajociano | Batoniano |
| 15200009 | Passwang-Fm. | argillite | marna: ooidi di ferro | calcare: sabbioso: bioclasti | Formazione del Passwang | Aaleniano | Batoniano |
| 15200010 | Opalinus-Ton | argillite | marna: siltoso | siltite: mica | Argilla a Opalinus | Toarciano | Aaleniano |
| 15200011 | Staffelegg-Fm. | marna | calcare | arenaria: calcareo | Formazione della Staffelegg | Hettangiano | Toarciano |
| 15200012 | Juragebirge: Malm | calcare | marna | – | – | Oxfordiano | Titoniano |
| 15200013 | Twannbach-Fm.: Vouglans-Mb. | calcare: micritico | dolomia | – | Membro di Vouglans | Titoniano | Titoniano |

| Code | GMU | Litho principale | Litho secondaire | Litho tertiaire | Formation | Chrono base | Chrono top |
|---|---|---|---|---|---|---|---|
| 15200014 | Twannbach-Fm.: Chailley-Mb. | dolomia | calcare: stromatolitico | calcare: bioclasti | Membro del Chailley | Kimmeridgiano | Titoniano |
| 15200015 | Twannbach-Fm.: Oberer Virgula-Mergel | marna: bioclasti | – | – | «Marna a Virgula superiore» | Kimmeridgiano | Kimmeridgiano |
| 15200016 | Reuchenette-Fm.: Chevenez-Mb.: Grenznerineen-Bk. | calcare: bioclasti | – | – | «Strato a Nerinei del tetto» | Kimmeridgiano | Kimmeridgiano |
| 15200017 | Reuchenette-Fm.: Chevenez-Mb.: Cladocoropsis-Kalk | calcare: bioclasti | – | – | «Calcare a Cladocoropsis» | Kimmeridgiano | Kimmeridgiano |
| 15200018 | Reuchenette-Fm.: Chevenez-Mb.: Unterer Virgula-Mergel | marna: bioclasti | – | – | «Marna a Virgula inferiore» | Kimmeridgiano | Kimmeridgiano |
| 15200019 | Reuchenette-Fm.: Courtedoux-Mb. | calcare: bioclasti | – | – | Membro di Courtedoux | Kimmeridgiano | Kimmeridgiano |
| 15200020 | Reuchenette-Fm.: Banné-Mb. | marna: bioclasti | calcare: marnoso | – | Membro del Banné | Kimmeridgiano | Kimmeridgiano |
| 15200021 | Reuchenette-Fm.: Vabenau-Mb. | calcare: micritico | calcare: marnoso | – | Membro di Vabenau | Kimmeridgiano | Kimmeridgiano |

| Code | GMU | Litho principale | Litho secondaire | Litho tertiaire | Formation | Chrono base | Chrono top |
|---|---|---|---|---|---|---|---|
| 15200022 | Reuchenette-Fm.: Vabenau-Mb.: Creugenat-Sch. | marna: bioclasti | calcare: marnoso | – | Strati del Creugenat | Kimmeridgiano | Kimmeridgiano |
| 15200023 | Etiollets-Fm. | calcare: micritico | calcare: corali | marna | Formation dei Etiollets | Kimmeridgiano | Kimmeridgiano |
| 15200024 | Etiollets-Fm.: Complexe récifal | calcare: corali | calcare: micritico | calcare: arenitico | «Complexe récifal» | Kimmeridgiano | Kimmeridgiano |
| 15200025 | Etiollets-Fm.: Couvaloup-Mb. | marna | calcare: micritico | – | Membro del Couvaloup | Kimmeridgiano | Kimmeridgiano |
| 15200026 | Courgenay-Fm.: Porrentruy-Mb. | calcare: gessoso | calcare: arenitico | – | Membro di Porrentruy | Kimmeridgiano | Kimmeridgiano |
| 15200027 | Courgenay-Fm.: La-May-Mb. | calcare: micritico | – | – | Membro della May | Oxfordiano | Kimmeridgiano |
| 15200028 | Vellerat-Fm.: Oolithe-Rousse-Mb. | calcare: ooidi | – | – | «Membro dell'Oolithe Rousse» | Oxfordiano | Oxfordiano |
| 15200029 | Vellerat-Fm.: Bure-Mb. | marna: calcareo | – | – | Membro di Bure | Oxfordiano | Oxfordiano |
| 15200030 | Vellerat-Fm.: Hauptmumienbank-Mb. | calcare: micritico: oncoidi | – | – | «Membro del Hauptmumienbank» | Oxfordiano | Oxfordiano |
| 15200031 | Vellerat-Fm.: Röschenz-Mb. | calcare: marnoso: bioclasti | calcare: bioclasti | – | Membro di Röschenz | Oxfordiano | Oxfordiano |
| 15200032 | Vellerat-Fm.: Vorbourg-Mb. | calcare: micritico | – | – | Membro del Vorbourg | Oxfordiano | Oxfordiano |

| Code | GMU | Litho principale | Litho secondaire | Litho tertiaire | Formation | Chrono base | Chrono top |
|---|---|---|---|---|---|---|---|
| 15200033 | St-Ursanne-Fm.: Tiergarten-Mb. | calcare: ooidi | calcare: corali | – | Membro del Tiergarten | Oxfordiano | Oxfordiano |
| 15200034 | St-Ursanne-Fm.: Buix-Mb. | calcare: gessoso: selce | calcare: corali | – | Membro di Buix | Oxfordiano | Oxfordiano |
| 15200035 | St-Ursanne-Fm.: Chestel-Mb. | calcare: arenitico: bioclasti | calcare: corali | calcare: ooidi | Membro del Chestel | Oxfordiano | Oxfordiano |
| 15200036 | St-Ursanne-Fm.: Chestel-Mb.: Caquerelle-Pisolith | calcare: oncoidi | – | – | Pisolite della Caquerelle | Oxfordiano | Oxfordiano |
| 15200037 | St-Ursanne-Fm.: Grellingen-Mb. | calcare: micritico | calcare: corali | – | Membro di Grellingen | Oxfordiano | Oxfordiano |
| 15200039 | Pichoux-Fm. | calcare: micritico | calcare: marnoso | – | Formazione del Pichoux | Oxfordiano | Oxfordiano |
| 15200040 | Bärschwil-Fm.: Liesberg-Mb. | marna | calcare: selce | – | Membro di Liesberg | Oxfordiano | Oxfordiano |
| 15200041 | Bärschwil-Fm.: Sornetan-Mb. | argillite: marnoso | calcare | – | Membro di Sornetan | Oxfordiano | Oxfordiano |
| 15200042 | Bärschwil-Fm.: Renggeri-Mb. | argillite: marnoso | calcare | – | «Membro a Renggeri» | Oxfordiano | Oxfordiano |
| 15200043 | Ifenthal-Fm.: Graitery-Mb. | marna | calcare: marnoso | – | Membro del Graitery | Calloviano | Calloviano |
| 15200044 | Ifenthal-Fm.: Herznach-Mb. | calcare: ooidi di ferro | marna: ooidi di ferro | – | Membro di Herznach | Calloviano | Oxfordiano |
| 15200045 | Ifenthal-Fm.: Herznach-Mb.: Schellenbrücke-Bk. | calcare: ooidi di ferro | – | – | Strato del Schellenbrücke | Oxfordiano | Oxfordiano |
| 15200046 | Ifenthal-Fm.: Bollement-Mb. | calcare: spatico: bioclasti | calcare: arenitico: bioclasti-selce | – | Membro di Bollement | Calloviano | Calloviano |

| Code | GMU | Litho principale | Litho secondaire | Litho tertiaire | Formation | Chrono base | Chrono top |
|---|---|---|---|---|---|---|---|
| 15200047 | Ifenthal-Fm.: Ängistein-Mb. | calcare: spatico: bioclasti | calcare: arenitico: bioclasti | – | Membro di Ängistein | Calloviano | Calloviano |
| 15200048 | Ifenthal-Fm.: Ängistein-Mb.: Unter-Erli-Bk. | calcare: bioclasti | – | – | Strato di Unter Erli | Calloviano | Calloviano |
| 15200049 | Ifenthal-Fm.: Bözen-Mb. | marna | calcare: marnoso | – | Membro di Bözen | Calloviano | Calloviano |
| 15200050 | Ifenthal-Fm.: Saulcy-Mb. | marna: argilloso | – | – | Membro di Saulcy | Calloviano | Calloviano |
| 15200051 | Ifenthal-Fm.: Schelmenloch-Mb. | marna | calcare: marnoso | – | Membro del Schelmenloch | Batoniano | Calloviano |
| 15200052 | Ifenthal-Fm.: Schelmenloch-Mb.: Anwil-Bk. | calcare: ooidi di ferro | – | – | Strato di Anwil | Batoniano | Calloviano |
| 15200053 | Ifenthal-Fm.: Châtillon-Mb. | marna | calcare: bioclasti | – | Membro di Châtillon | Calloviano | Calloviano |
| 15200054 | Ifenthal-Fm.: St-Brais-Mb. | calcare: bioclasti-ooidi | marna: sabbioso | – | Membro di St-Brais | Batoniano | Batoniano |
| 15200055 | Juragebirge: Dogger | calcare | marna | argillite | – | Toarciano | Oxfordiano |
| 15200056 | Juragebirge: Lias | marna | calcare | argillite | – | Hettangiano | Toarciano |
| 15200057 | Hauptrogenstein: Spatkalk | calcare: spatico: bioclasti | – | – | «Spatkalk» (Hauptrogenstein) | Batoniano | Batoniano |
| 15200058 | Hauptrogenstein: Pierre-Blanche | calcare: micritico: ooidi | – | – | «Pierre Blanche» (Hauptrogenstein) | Batoniano | Batoniano |
| 15200059 | Hauptrogenstein: Movelier-Sch. | marna: bioclasti | marna: calcareo | – | Strati di Movelier | Batoniano | Batoniano |
| 15200060 | Hauptrogenstein: Grande Oolithe | calcare: ooidi | calcare: spatico: bioclasti | – | «Grande Oolithe» (Hauptrogenstein) | Batoniano | Batoniano |

| Code | GMU | Litho principale | Litho secondaire | Litho tertiaire | Formation | Chrono base | Chrono top |
|---|---|---|---|---|---|---|---|
| 15200061 | Hauptrogenstein: Obere Acuminata-Sch. | marna: bioclasti | calcare: spatico | – | «Strati a Acuminata superiori» | Bajociano | Bajociano |
| 15200062 | Hauptrogenstein: Oolithe Subcompacte | calcare: bioclasti-ooidi | calcare: micritico | – | «Oolithe Subcompacte» (Hauptrogenstein) | Bajociano | Bajociano |
| 15200063 | Passwang-Fm.: Grenchenberg-Mb. | calcare: siltoso: bioclasti | marna | – | Membro del Grenchenberg | Bajociano | Bajociano |
| 15200064 | Passwang-Fm.: Rothenfluh-Mb. | marna: sabbioso: bioclasti | calcare: sabbioso | – | Membro della Rothenfluh | Bajociano | Bajociano |
| 15200065 | Passwang-Fm.: Brüggli-Mb. | calcare: sabbioso | calcare: bioclasti | marna: ooidi di ferro | Membro di Brüggli | Bajociano | Bajociano |
| 15200066 | Passwang-Fm.: Brüggli-Mb.: Humphriesi-Sch. | calcare: bioclasti | marna: ooidi di ferro | – | «Strati a Humphriesi» (Mb. di Brüggli) | Bajociano | Bajociano |
| 15200067 | Passwang-Fm.: Waldenburg-Mb. | argillite | marna | marna: ooidi di ferro | Membro di Waldenburg | Bajociano | Bajociano |
| 15200068 | Passwang-Fm.: Hirnichopf-Mb. | argillite | calcare: sabbioso | marna: ooidi di ferro | Membro del Hirnichopf | Aaleniano | Bajociano |
| 15200069 | Passwang-Fm.: Hauenstein-Mb. | argillite | calcare: sabbioso | – | Membro di Hauenstein | Aaleniano | Aaleniano |
| 15200070 | Passwang-Fm.: Sissach-Mb. | calcare: sabbioso: mica | calcare: bioclasti | marna: ooidi di ferro | Membro di Sissach | Aaleniano | Aaleniano |
| 15200071 | Staffelegg-Fm.: Gross-Wolf-Mb. | marna: bioclasti | calcare: marnoso | – | Membro del Gross Wolf | Toarciano | Toarciano |

| Code | GMU | Litho principale | Litho secondaire | Litho tertiaire | Formation | Chrono base | Chrono top |
|---|---|---|---|---|---|---|---|
| 15200072 | Staffelegg-Fm.: Gross-Wolf-Mb.: Eriwis-Bk. | calcare: bioclasti | – | – | Strato di Eriwis | Toarciano | Toarciano |
| 15200073 | Staffelegg-Fm.: Gross-Wolf-Mb.: Erlimoos-Bk. | marna: glauconite-bioclasti | – | – | Strato di Erlimoos | Toarciano | Toarciano |
| 15200074 | Staffelegg-Fm.: Gross-Wolf-Mb.: Gipf-Bk. | marna: bioclasti | calcare: ooidi di ferro | – | Strato di Gipf | Toarciano | Toarciano |
| 15200075 | Staffelegg-Fm.: Rietheim-Mb. | marna: argilloso: bitume | – | – | Membro di Rietheim | Toarciano | Toarciano |
| 15200076 | Staffelegg-Fm.: Rietheim-Mb.: Unterer Stein | calcare: bitume | – | – | «Unterer Stein» (Fm. della Staffelegg) | Toarciano | Toarciano |
| 15200077 | Staffelegg-Fm.: Rickenbach-Mb. | marna: calcareo: glauconite | – | – | Membro di Rickenbach | Pliensbachiano | Toarciano |
| 15200078 | Staffelegg-Fm.: Rickenbach-Mb.: Müsenegg-Bk. | marna | calcare: marnoso | – | Strato della Müsenegg | Pliensbachiano | Pliensbachiano |
| 15200079 | Staffelegg-Fm.: Breitenmatt-Mb. | marna: calcareo: bioclasti | calcare | – | Membro di Breitenmatt | Pliensbachiano | Pliensbachiano |
| 15200080 | Staffelegg-Fm.: Breitenmatt-Mb.: Trasadingen-Bk. | marna: calcareo | – | – | Strato di Trasadingen | Pliensbachiano | Pliensbachiano |
| 15200081 | Staffelegg-Fm.: Grünschholz-Mb. | marna: calcareo: glauconite | calcare | – | Membro del Grünschholz | Sinemuriano | Pliensbachiano |

| Code | GMU | Litho principale | Litho secondaire | Litho tertiaire | Formation | Chrono base | Chrono top |
|---|---|---|---|---|---|---|---|
| 15200082 | Staffelegg-Fm.: Frick-Mb. | argillite | siltite: mica | – | Membro di Frick | Sinemuriano | Pliensbachiano |
| 15200083 | Staffelegg-Fm.: Mont-Terri-Mb. | marna: mica | calcare: marnoso | – | Membro del Mont Terri | Sinemuriano | Pliensbachiano |
| 15200084 | Staffelegg-Fm.: Fasiswald-Mb. | calcare: sabbioso | argillite: siltoso | – | Membro di Fasiswald | Sinemuriano | Pliensbachiano |
| 15200085 | Staffelegg-Fm.: Weissenstein-Mb. | calcare: sabbioso | arenaria: calcareo | – | Membro del Weissenstein | Sinemuriano | Sinemuriano |
| 15200086 | Staffelegg-Fm.: Beggingen-Mb. | calcare: arenitico-spatico | argillite | siltite | Membro di Beggingen | Hettangiano | Sinemuriano |
| 15200087 | Staffelegg-Fm.: Beggingen-Mb.: Gächlingen-Bk. | calcare: ooidi di ferro | calcare: bioclasti | – | Strato di Gächlingen | Sinemuriano | Sinemuriano |
| 15200088 | Staffelegg-Fm.: Beggingen-Mb.: Schleitheim-Bk. | calcare: ooidi di ferro | calcare: bioclasti | – | Strato di Schleitheim | Hettangiano | Hettangiano |
| 15200089 | Staffelegg-Fm.: Schambelen-Mb. | argillite: marnoso: bitume | argillite: siltoso | – | Membro del Schambelen | Hettangiano | Hettangiano |
| 15200090 | Staffelegg-Fm.: Schambelen-Mb.: Hallau-Bk. | argillite: bitume | calcare: sabbioso: glauconite | – | Strato di Hallau | Hettangiano | Hettangiano |
| 15200091 | Juragebirge: Siderolithikum | roccia: residuale: mineri di ferro | – | – | – | Luteziano | Bartoniano |
| 15200092 | Gorges-de-l'Orbe- und Vallorbe-Mb. | calcare: bioclasti | calcare: ooidi | marna | – | Hauteriviano | Barremiano |

| Code | GMU | Litho principale | Litho secondaire | Litho tertiaire | Formation | Chrono base | Chrono top |
|---|---|---|---|---|---|---|---|
| 15200093 | Rocher-des-Hirondelles-Fm.: Vallorbe-Mb. | calcare: bioclasti | – | – | Membro di Vallorbe | Hauteriviano | Barremiano |
| 15200094 | Rocher-des-Hirondelles-Fm.: Rivière-Mb. | calcare: marnoso | marna | – | Membro della Rivière | Barremiano | Barremiano |
| 15200096 | Gorges-de-l'Orbe-Fm. | calcare: ooidi | calcare: bioclasti | marna | Formazione delle Gorges de l'Orbe | Hauteriviano | Hauteriviano |
| 15200097 | Pierre-Châtel-Vions- und Chambotte-Fm. | calcare: micritico | calcare: bioclasti-ooidi | marna | – | Berriasiano | Valanginiano |
| 15200098 | Chambotte-Fm. | calcare: micritico: bioclasti | – | – | Formazione della Chambotte | Berriasiano | Valanginiano |
| 15200099 | Chambotte-Fm.: Guiers-Mb. | marna: bioclasti | calcare: marnoso | – | Membro del Guiers | Valanginiano | Valanginiano |
| 15200100 | Vions-Fm. | calcare: arenitico: quarzo | marna | – | Formazione di Vions | Berriasiano | Berriasiano |
| 15200101 | Pierre-Châtel-Fm. | calcare: micritico | calcare: bioclasti-ooidi | marna | Formazione di Pierre-Châtel | Berriasiano | Berriasiano |
| 15200102 | Burghorn-Fm. | calcare: micritico | marna | – | Formazion del Burghorn | Kimmeridgiano | Kimmeridgiano |
| 15200103 | Burghorn-Fm.: Wettingen-Mb. | calcare: micritico | calcare: selce | – | Membro di Wettingen | Kimmeridgiano | Kimmeridgiano |
| 15200104 | Burghorn-Fm.: Baden-Mb. | calcare: micritico: glauconite | marna | – | Membro di Baden | Kimmeridgiano | Kimmeridgiano |
| 15200105 | Villigen-Fm. | calcare: micritico | marna | – | Formazione di Villigen | Oxfordiano | Kimmeridgiano |

| Code | GMU | Litho principale | Litho secondaire | Litho tertiaire | Formation | Chrono base | Chrono top |
|---|---|---|---|---|---|---|---|
| 15200106 | Villigen-Fm.: Wangental-Mb. | calcare: micritico | marna | – | Membro di Langenthal | Kimmeridgiano | Kimmeridgiano |
| 15200107 | Villigen-Fm.: Letzi-Mb. | calcare: micritico | – | – | Membro del Letzi | Kimmeridgiano | Kimmeridgiano |
| 15200108 | Villigen-Fm.: Knollen-Bk. | calcare: marnoso: glauconite | – | – | «Knollen-Bank» (Fm. di Villigen) | Oxfordiano | Kimmeridgiano |
| 15200109 | Villigen-Fm.: Küssaburg-Mb. | calcare: spatico: bioclasti | calcare: micritico | – | Membro della Küssaburg | Oxfordiano | Oxfordiano |
| 15200110 | Villigen-Fm.: Wangen-Mb. | calcare: micritico | calcare: gessoso | – | Membro di Wangen | Oxfordiano | Oxfordiano |
| 15200111 | Villigen-Fm.: Hornbuck-Mb. | calcare: marnoso: selce | marna | – | Membro del Hornbuck | Oxfordiano | Oxfordiano |
| 15200112 | Villigen-Fm.: Crenularis-Mb. | calcare: glauconite-bioclasti | – | – | «Membro a Crenularis» | Oxfordiano | Oxfordiano |
| 15200113 | Villigen-Fm.: Geissberg-Mb. | calcare: micritico | marna | – | Membro del Geissberg | Oxfordiano | Oxfordiano |
| 15200114 | Wildegg-Fm. | marna | calcare: marnoso | calcare: micritico | Formazione di Wildegg | Oxfordiano | Oxfordiano |
| 15200115 | Wildegg-Fm.: Effingen-Mb. | marna | marna: calcareo | – | Membro di Effingen | Oxfordiano | Oxfordiano |
| 15200116 | Wildegg-Fm.: Effingen-Mb.: Gerstenhübel-Bk. | calcare: micritico | calcare: marnoso | – | Strato del Gerstenhübel | Oxfordiano | Oxfordiano |
| 15200117 | Wildegg-Fm.: Birmenstorf-Mb. | calcare: micritico: glauconite | calcare: marnoso | – | Membro di Birmenstorf | Oxfordiano | Oxfordiano |
| 15200118 | Günsberg-Fm. | calcare: corali | calcare: ooidi | marna | Formazione di Günsberg | Oxfordiano | Oxfordiano |

| Code | GMU | Litho principale | Litho secondaire | Litho tertiaire | Formation | Chrono base | Chrono top |
|---|---|---|---|---|---|---|---|
| 15200119 | Günsberg-Fm.: Moutier-Korallenkalk | calcare: corali | marna | – | Calcare a coralli di Moutier | Oxfordiano | Oxfordiano |
| 15200120 | Klingnau-Fm. | marna | calcare: bioclasti | calcare: ooidi | Formazione di Klingnau | Bajociano | Batoniano |
| 15200121 | Klingnau-Fm.: Knorri-Ton | argillite | calcare: marnoso | – | «Argilla a Knorri» | Batoniano | Batoniano |
| 15200122 | Klingnau-Fm.: Wuerttembergica-Sch. | marna | calcare: bioclasti | – | «Strati a Wuerttembergica» | Batoniano | Batoniano |
| 15200123 | Klingnau-Fm.: Parkinsoni-Sch.: Subfurcatum-Bk. | marna: bioclasti | – | – | «Strato a Subfurcatum» | Bajociano | Bajociano |
| 15200124 | Klingnau-Fm.: Blagdeni-Sch. | calcare: sabbioso | marna | – | «Strati a Blagdeni» (Fm. di Klingnau) | Bajociano | Bajociano |
| 15200125 | Juragebirge: Keuper | arenaria | pelite | evaporite | – | Ladinico | Retico |
| 15200126 | Klettgau-Fm. | marna | arenaria | dolomia | Formazione del Klettgau | Carnico | Retico |
| 15200127 | Klettgau-Fm.: Belchen-Mb. | arenaria: quarzo | argillite | – | Membro del Belchen | Retico | Retico |
| 15200128 | Bänkerjoch-Fm. | argillite | evaporite: solfato | evaporite: halite | Formazione del Bänkerjoch | Ladinico | Carnico |
| 15200129 | Juragebirge: Muschelkalk | dolomia | calcare | evaporite | – | Anisico | Ladinico |
| 15200130 | Schinznach-Fm. | dolomia | calcare: bioclasti | marna | Formazione di Schinznach | Anisico | Ladinico |
| 15200131 | Schinznach-Fm.: Asp-Mb. | argillite: siltoso | marna: dolomitico | dolomia | Membro di Asp | Ladinico | Ladinico |
| 15200132 | Schinznach-Fm.: Stamberg-Mb. | dolomia | dolomia: ooidi | dolomia: bioclasti | Membro del Stamberg | Ladinico | Ladinico |

| Code | GMU | Litho principale | Litho secondaire | Litho tertiaire | Formation | Chrono base | Chrono top |
|---|---|---|---|---|---|---|---|
| 15200133 | Schinznach-Fm.: Liedertswil-Mb. | calcare: micritico | dolomia | – | Membro di Liedertswil | Ladinico | Ladinico |
| 15200134 | Schinznach-Fm.: Kienberg-Mb. | calcare: spatico: bioclasti | – | – | Membro di Kienberg | Ladinico | Ladinico |
| 15200135 | Zeglingen-Fm. | evaporite: anidrite | marna | dolomia | Formazione di Zeglingen | Anisico | Anisico |
| 15200136 | Zeglingen-Fm.: Obere Sufatzone | evaporite: anidrite | marna | – | «Obere Sufatzone» (Fm. di Zeglingen) | Anisico | Anisico |
| 15200137 | Zeglingen-Fm.: Salzlager | evaporite: halite | – | – | «Salzlager» (Fm. di Zeglingen) | Anisico | Anisico |
| 15200138 | Zeglingen-Fm.: Untere Sulfatzone | evaporite: anidrite | dolomia | marna | «Untere Sulfatzone» (Fm. di Zeglingen) | Anisico | Anisico |
| 15200139 | Kaiseraugst-Fm. | dolomia | calcare: marnoso | marna: mica | Formazione di Kaiseraugst | Anisico | Anisico |
| 15200140 | Kaiseraugst-Fm.: Orbicularis-Mergel | marna: calcareo: bitume | evaporite: anidrite | – | «Marna a Orbicularis» | Anisico | Anisico |
| 15200141 | Kaiseraugst-Fm.: Wellenkalk / Wellenmergel | calcare: marnoso | marna | – | «Wellenkalk / Wellenmergel» | Anisico | Anisico |
| 15200142 | Kaiseraugst-Fm.: Wellendolomit | dolomia | calcare | marna | «Wellendolomit» | Anisico | Anisico |
| 15200143 | Juragebirge: Buntsandstein | arenaria | argillite | – | – | Olenekiano | Anisico |
| 15200144 | Dinkelberg-Fm. | arenaria: mica | argillite | – | Formazione del Dinkelberg | Olenekiano | Anisico |

| Code | GMU | Litho principale | Litho secondaire | Litho tertiaire | Formation | Chrono base | Chrono top |
|---|---|---|---|---|---|---|---|
| 15200145 | Dinkelberg-Fm.: Rötton | argillite: siltoso: mica | – | – | «Rhötton» | Anisico | Anisico |
| 15200146 | Dinkelberg-Fm.: Plattensandstein | arenaria: mica | – | – | «Plattensandstein» (Fm. del Dinkelberg) | Olenekiano | Anisico |
| 15200147 | Dinkelberg-Fm.: Karneolhorizont | arenaria: siliceo | – | – | «Karneolhorizont» (Fm. del Dinkelberg) | Olenekiano | Olenekiano |
| 15200148 | Narlay-Fm. | calcare: gessoso: selce | calcare: marnoso | – | Formazione di Narlay | Cenomaniano | Coniaciano |
| 15200149 | Perte-du-Rhône-Fm. | arenaria: glauconite | calcare: marnoso | argillite | Formazione della Perte-du-Rhône | Aptiano | Cenomaniano |
| 15200150 | Grand-Essert-Fm. | calcare: spatico: bioclasti-glauconite | calcare: ooidi | marna: bioclasti | Formazione del Grand Essert | Valanginiano | Hauteriviano |
| 15200151 | Grand-Essert-Fm: Neuchâtel-Mb. | calcare: spatico: bioclasti-glauconite | calcare: ooidi | – | Membro di Neuchâtel | Hauteriviano | Hauteriviano |
| 15200152 | Grand-Essert-Fm: Hauterive-Mb. | marna: bioclasti | calcare: spatico: bioclasti-glauconite | marna: calcareo | Membro di Hauterive | Valanginiano | Hauteriviano |
| 15200153 | Vuache-Fm. | calcare: spatico: bioclasti-ooidi | marna | – | Formazione del Vuache | Valanginiano | Valanginiano |
| 15200154 | Vuache-Fm.: Alectryonia-Kalk | calcare: spatico: bioclasti | – | – | «Calcare a Alectryonia» | Valanginiano | Valanginiano |
| 15200155 | Vuache-Fm.: Arzier-Mergel | marna: bioclasti | calcare: marnoso | – | Marna di Arzier | Valanginiano | Valanginiano |
| 15200156 | Goldberg-Fm. | marna | calcare | breccia: polimittico | Formazione del Goldberg | Berriasiano | Berriasiano |

| Code | GMU | Litho principale | Litho secondaire | Litho tertiaire | Formation | Chrono base | Chrono top |
|---|---|---|---|---|---|---|---|
| 15200157 | Wiesental-Fm. | arenaria: feldspato | arenaria: dolomitico | – | Formazione del Wiesental | Lopingiano | Lopingiano |
| 15200158 | Weitenau-Fm. | arenaria: feldspato | conglomerato | – | Formazione di Weitenau | Cisuraliano | Lopingiano |
| 15200159 | Weiach-Fm. | arenaria: feldspato | conglomerato | argillite | Formazione di Weiach | Pennsylvaniano | Cisuraliano |
| 15200160 | Günsberg-Vellerat-Villigen-Balsthal- und Courgenay-Fm. | calcare: micritico | calcare: ooidi | marna | – | Oxfordiano | Kimmeridgiano |
| 15200161 | Juragebirge: Kreide | calcare | marna | arenaria: calcareo | – | Berriasiano | Coniaciano |
| 15200162 | Juragebirge: Jura | calcare | marna | argillite | – | Hettangiano | Titoniano |
| 15200163 | Juragebirge: Trias | dolomia | marna | evaporite | – | Olenekiano | Retico |
| 15200175 | Siderolithikum: Bohnerzton | roccia: residuale-argilloso: pisoidi di ferro | – | – | – | Luteziano | Rupeliano |
| 15200176 | Siderolithikum: Boluston | roccia: residuale-argilloso: limonite | – | – | – | Bartoniano | Priaboniano |
| 15200177 | Siderolithikum: Huppererde | roccia: residuale-sabbioso: quarzo | roccia: residuale-argilloso: caolino | – | – | Eocene medio | Priaboniano |
| 15200178 | Hauptrogenstein: Homomyenmergel | marna: bioclasti | calcare: spatico | – | «Marna a Homomya» | Bajociano | Bajociano |

| Code | GMU | Litho principale | Litho secondaire | Litho tertiaire | Formation | Chrono base | Chrono top |
|---|---|---|---|---|---|---|---|
| 15200179 | Dinkelberg-Fm.: Vogesen-Sandstein | arenaria | – | – | Arenaria dei Vosgi | Olenekiano | Olenekiano |
| 15200180 | Siderolithikum: Quarzsand | roccia: residuale-sabbioso: quarzo | – | – | – | Eocene medio | Priaboniano |
| 15200181 | Perte-du-Rhône-Fm.: Mussel-Mb. | arenaria: glauconite | – | – | Membro di Mussel | Aptiano | Albiano |
| 15200182 | Perte-du-Rhône-Fm.: Fulie-Mb. | calcare: marnoso | marna | – | Membro della Fulie | Aptiano | Albiano |
| 15200183 | Grand-Essert-Fm: Neuchâtel-Mb.: Uttins-Mergel | marna: bioclasti | marna: calcareo | – | Marna dei Uttins | Hauteriviano | Hauteriviano |
| 15200184 | Grand-Essert-Fm: Hauterive-Mb.: Ecluse-Mergelkalk | marna: bioclasti | calcare: spatico: glauconite-selce | – | Calcare dell'Écluse | Hauteriviano | Hauteriviano |
| 15200185 | Vuache-Fm.: Bryozoen-Mergel | marna: bioclasti | – | – | «Marna a Bryozoaria» | Valanginiano | Valanginiano |
| 15200186 | Twannbach-Fm.: Zuckerkörniger Kalk | calcare: cristallino | dolomia | cargnola | Formazione del Twannbach | Titoniano | Titoniano |
| 15200187 | Reuchenette-Fm.: Chevenez-Mb. | calcare: bioclasti | marna: bioclasti | – | Membro di Chevenez | Kimmeridgiano | Kimmeridgiano |
| 15200188 | Balsthal-Fm. | calcare: ooidi | calcare: oncoidi | calcare: micritico | Formazione di Balsthal | Oxfordiano | Kimmeridgiano |

| Code | GMU | Litho principale | Litho secondaire | Litho tertiaire | Formation | Chrono base | Chrono top |
|---|---|---|---|---|---|---|---|
| 15200189 | Balsthal-Fm.: Verena-Mb. | calcare: arenitico: bioclasti | calcare: gessoso | – | Membro di Santa Verana | Oxfordiano | Kimmeridgiano |
| 15200190 | Balsthal-Fm.: Holzflue-Mb. | calcare: ooidi | calcare: micritico | – | Membro della Holzflue | Oxfordiano | Kimmeridgiano |
| 15200191 | Balsthal-Fm.: Laufen-Mb. | calcare: micritico | calcare: ooidi | calcare: oncoidi | Membro di Laufen | Oxfordiano | Oxfordiano |
| 15200192 | Balsthal-Fm.: Olten-Mb. | calcare: micritico: selce | calcare: corali | – | Membro di Olten | Oxfordiano | Oxfordiano |
| 15200193 | Balsthal-Fm.: Steinibach-Mb. | calcare: ooidi | – | – | Membro del Steinibach | Oxfordiano | Oxfordiano |
| 15200194 | Vellerat-Fm.: Röschenz-Mb.: Grüne Mumienbank | calcare: micritico: oncoidi | – | – | «Grüne Mumienbank» | Oxfordiano | Oxfordiano |
| 15200195 | Wildegg-Fm.: Effingen-Mb.: Pecten-Bk. | calcare: marnoso: bioclasti | calcare: micritico | – | «Strato a Pecten» (Mb. di Effingen) | Oxfordiano | Oxfordiano |
| 15200196 | Hauptrogenstein: Ferrugineus-Oolith | marna: bioclasti-ooidi | marna: calcareo | – | «Oolite a Ferrugineus» | Batoniano | Batoniano |
| 15200197 | Hauptrogenstein: Wittnau-Korallenkalk | calcare: corali | – | – | Calcare a coralli di Wittnau | Bajociano | Bajociano |
| 15200198 | Hauptrogenstein: Furcil-Mergel | marna | calcare: marnoso | – | Marna del Furcil | Bajociano | Batoniano |
| 15200199 | Hauptrogenstein: Maeandrina-Sch. | marna: bioclasti-ooidi | – | – | «Strati a Maeandrina» | Bajociano | Bajociano |
| 15200200 | Hauptrogenstein: Gisliflue-Korallenkalk | calcare: corali | calcare: bioclasti | – | Calcare a coralli della Gisliflue | Bajociano | Bajociano |

| Code | GMU | Litho principale | Litho secondaire | Litho tertiaire | Formation | Chrono base | Chrono top |
|---|---|---|---|---|---|---|---|
| 15200201 | Hauptrogenstein: Untere Acuminata-Sch. | calcare: bioclasti | calcare: ooidi | marna | «Strati a Acuminata inferiori» | Bajociano | Bajociano |
| 15200202 | Klingnau-Fm.: Parkinsoni-Sch. | marna | calcare: bioclasti | – | «Strati a Parkinsoni» (Fm. di Klingnau) | Bajociano | Bajociano |
| 15200203 | Dewalquei-Kalk | calcare | calcare: marnoso: bioclasti | – | «Strati a Pecten dewalquei» | Bajociano | Bajociano |
| 15200204 | Brot-Sch. | marna: calcareo: bioclasti | – | – | Strati di Brot | Bajociano | Bajociano |
| 15200205 | Passwang-Fm.: Sissach-Mb.: Comptum-Bk. | calcare: ooidi di ferro | calcare: spatico | – | «Strato a Comptum» (Fm. del Passwang) | Aaleniano | Aaleniano |
| 15200206 | Klettgau-Fm.: Seebi-Mb. | arenaria: dolomitico | dolomia | argillite | Membro di Seebi | Norico | Norico |
| 15200207 | Klettgau-Fm.: Gruhalde-Mb. | marna: dolomitico | – | – | Membro della Gruhalde | Carnico | Norico |
| 15200208 | Klettgau-Fm.: Berlingen-Mb. | arenaria: calcareo | – | – | Membro di Berlingen | Carnico | Carnico |
| 15200209 | Klettgau-Fm.: Gansingen-Mb. | dolomia: stromatolitico | marna: dolomitico | evaporite: solfato | Membro di Gansingen | Carnico | Carnico |
| 15200210 | Klettgau-Fm.: Ergolz-Mb. | marna: siltoso-dolomitico | dolomia | arenaria | Membro dell'Ergolz | Carnico | Carnico |
| 15200211 | Schinznach-Fm.: Stamberg-Mb.: Kaisten-Bk. | dolomia: ooidi | – | – | Strato di Kaisten | Ladinico | Ladinico |
| 15200212 | Schinznach-Fm.: Eptingen-Bk. | dolomia: ooidi-selce | calcare: ooidi | – | Strato di Eptingen | Ladinico | Ladinico |

| Code | GMU | Litho principale | Litho secondaire | Litho tertiaire | Formation | Chrono base | Chrono top |
|---|---|---|---|---|---|---|---|
| 15200213 | Schinznach-Fm.: Dünnlenberg-Bk. | marna | – | – | Membro del Dünnlenberg | Anisico | Anisico |
| 15200214 | Schinznach-Fm.: Kienberg-Mb.: Saalhof-Bk. | calcare: bioclasti | – | – | Strato di Saalhof | Anisico | Anisico |
| 15200215 | Schinznach-Fm.: Leutschenberg-Mb.: Fützen-Bk. | calcare: ooidi-selce | – | – | Strato di Fützen | Anisico | Anisico |
| 15200216 | Zeglingen-Fm.: Dolomitzone | dolomia: stromatolitico: selce | – | – | «Dolomitzone» (Fm. di Zeglingen) | Anisico | Anisico |
| 15200217 | Weitenau-Fm.: Oberer Schuttfächer | arenaria: feldspato | conglomerato | – | «Oberer Schuttfächer» (Fm. di Weitenau) | Guadalupiano | Lopingiano |
| 15200218 | Weitenau-Fm.: Playa-Serie | arenaria: argilloso: mica | arenaria: argilloso: feldspato | – | «Playa-Serie» (Fm. di Weitenau) | Cisuraliano | Lopingiano |
| 15200219 | Weitenau-Fm.: Unterer Schuttfächer | arenaria: feldspato | conglomerato | argillite | «Unterer Schuttfächer» (Fm. di Weitenau) | Cisuraliano | Cisuraliano |
| 15200220 | Schwarzwald-Massiv: Spät- bis postvariszische Intrusiva | roccia: plutonico | – | – | – | Pennsylvaniano | Cisuraliano |

| Code | GMU | Litho principale | Litho secondaire | Litho tertiaire | Formation | Chrono base | Chrono top |
|---|---|---|---|---|---|---|---|
| 15200221 | Nordalpines Vorland: Spät- bis postvariszische Sedimente und Vulkanite | arenaria | conglomerato | argillite | – | Carbonifero | Permiano |
| 15200222 | Stockberg-Quarzporphyr | riolite | – | – | Riolite del Stockberg | Pennsylvaniano | Cisuraliano |
| 15200223 | Bärhalde-Granit | granito: biotite-muscovite | – | – | Granito della Bärhalde | Pennsylvaniano | Pennsylvaniano |
| 15200224 | Schluchsee-Granit | granito: biotite-muscovite | – | – | Granito del Schluchsee | Pennsylvaniano | Pennsylvaniano |
| 15200225 | Säckingen-Granit | granito: aplitico | – | – | Granito di Säckingen | Pennsylvaniano | Pennsylvaniano |
| 15200226 | Weiach-Fm.: Jüngere Flussablagerungen | arenaria: feldspato | – | – | «Jüngere Flussablagerungen» (Fm. di Weiach) | Cisuraliano | Cisuraliano |
| 15200227 | Weiach-Fm.: Seeablagerungen | argillite | – | – | «Seeablagerungen» (Fm. di Weiach) | Cisuraliano | Cisuraliano |
| 15200228 | Weiach-Fm.: Ältere Flussablagerungen | arenaria: feldspato | argillite | conglomerato | «Ältere Flussablagerungen» (Fm. di Weiach) | Pennsylvaniano | Cisuraliano |
| 15200229 | Weiach-Fm.: Ältere Flussablagerungen: Kohle-Serie | arenaria | argillite: carbone | – | «Kohle-Serie» (Fm. di Weiach) | Pennsylvaniano superiore | Pennsylvaniano superiore |
| 15200230 | Schwarzwald-Massiv: Früh- bis mittelvariszische Intrusiva | roccia: plutonico | – | – | – | Devoniano inferiore | Mississippiano |

| Code | GMU | Litho principale | Litho secondaire | Litho tertiaire | Formation | Chrono base | Chrono top |
|---|---|---|---|---|---|---|---|
| 15200231 | Albtal-Granit | granito: porfirico: biotite | – | – | Granito dell'Albtal | Mississippiano | Mississippiano |
| 15200232 | Malsburg-Granit | granito: biotite | – | – | Granito di Malsburg | Mississippiano | Mississippiano |
| 15200233 | Blauen-Granit | granito: biotite | – | – | Granito del Blauen | Mississippiano | Mississippiano |
| 15200234 | Klemmbach-Granit | granito: biotite-muscovite | – | – | Granito del Klemmbach | Devoniano inferiore | Mississippiano |
| 15200235 | Randgranit | granito: biotite-muscovite | – | – | «Randgranit» | Mississippiano | Mississippiano |
| 15200236 | Münsterhalden-Granit | granito | – | – | Granito della Münsterhalden | Mississippiano | Mississippiano |
| 15200237 | Schönau-Herrenschwand-Granit | granito | – | – | Granito di Schönau-Herrenschwand | Devoniano inferiore | Mississippiano |
| 15200238 | St.-Blasien-Granit | granito: biotite | – | – | Granito di St-Blasien | Mississippiano | Mississippiano |
| 15200239 | Mambach-Granit | granito | granodiorite | – | Granito di Mambach | Devoniano inferiore | Mississippiano |
| 15200240 | Lenzkirch-Steina-Granit | granito: biotite | – | – | Granito di Lenzkirch-Steina | Devoniano inferiore | Mississippiano |
| 15200241 | Hauenstein-Granit | granito | – | – | Granito del Hauenstein | Devoniano inferiore | Mississippiano |
| 15200242 | Böttstein-Granit | granito: porfirico: biotite | – | – | Granito di Böttstein | Mississippiano | Mississippiano |
| 15200243 | Schwarzwald-Massiv: Früh- bis mittelvariszische Sedimente | roccia: sedimentario | – | – | – | Devoniano | Mississippiano |

| Code | GMU | Litho principale | Litho secondaire | Litho tertiaire | Formation | Chrono base | Chrono top |
|---|---|---|---|---|---|---|---|
| 15200245 | Schwarzwald-Massiv: Prävariszisches polyzyklisches Grundgebirge | gneiss: migmatitico | gneiss: magmatico | – | – | Proterozoico | Paleozoico inferiore |
| 15200246 | Schwarzwald-Massiv: Prävariszische Orthogneise | gneiss: magmatico | – | – | – | Proterozoico | Paleozoico inferiore |
| 15200247 | Todtmoos-Gneiskomplex | gneiss: migmatitico | gneiss: orneblenda | – | Complesso gneissico di Todtmoos-Horbach | Proterozoico | Paleozoico inferiore |
| 15200248 | Murgtal-Gneiskomplex | gneiss: migmatitico: cordierite | – | – | Complesso gneissico del Murgtal | Proterozoico | Paleozoico |
| 15200249 | Laufenburg-Gneiskomplex | gneiss: migmatitico | – | – | Complesso gneissico di Laufenburg | Proterozoico | Paleozoico |
| 15200250 | Schwarzwald-Massiv: Prävariszische Migmatite | gneiss: migmatitico | – | – | – | Proterozoico | Paleozoico inferiore |
| 15200251 | Wiesen-Wehratal-Gneiskomplex | gneiss: migmatitico | – | – | Complesso gneissico del Wiesental-Wehratal | Proterozoico | Paleozoico inferiore |
| 15200252 | Wiesen-Wehratal-Gneiskomplex: Wehratal-Syenit | sienite | – | – | Sienite del Wehratal | Proterozoico | Paleozoico inferiore |

| Code | GMU | Litho principale | Litho secondaire | Litho tertiaire | Formation | Chrono base | Chrono top |
|---|---|---|---|---|---|---|---|
| 15200253 | Schwarzwald-Massiv: Prävariszische Grüngesteine | anfibolite | – | – | – | Proterozoico | Paleozoico inferiore |
| 15200254 | Molasse | arenaria | marna | conglomerato | – | Rupeliano | Serravalliano |
| 15200255 | OSM (Obere Süsswassermolasse) | marna | arenaria | conglomerato | – | Burdigaliano | Serravalliano |
| 15200256 | Pfänder-Fm.: Tannenberg-Sch. | arenaria | conglomerato | – | Strati del Tannenberg | Serravalliano | Tortoniano |
| 15200257 | Pfänder-Fm. | conglomerato | arenaria | marna: argilloso | Formazione del Pfänder | Burdigaliano superiore | Serravalliano |
| 15200258 | Napf-Fm. | conglomerato: polimittico: quarzo | arenaria: feldspato | marna | Formazione del Napf | Burdigaliano | Langhiano |
| 15200259 | Napf-Fm.: Eimätteli-Mb.: Blapbach-Kohlehorizont | marna: carbone | – | – | Livallo di carbone de Blapbach | Burdigaliano | Burdigaliano |
| 15200260 | Napf-Fm.: Eimätteli-Mb. | marna: mica | conglomerato: ofiolitico | siltite: argilloso | Membro di Eimätteli | Burdigaliano | Burdigaliano |
| 15200261 | Schüpferegg-Nagelfluh | conglomerato: polimittico: quarzo | arenaria | marna | Conglomerato della Schüpferegg | Burdigaliano | Burdigaliano |
| 15200262 | OSM-II | conglomerato | arenaria | – | – | Langhiano | Tortoniano |
| 15200263 | Hegau-Vulkanite | roccia: vulcanico | – | – | – | Langhiano | Messiniano |
| 15200264 | Höwenegg-Basalt | basalto | – | – | Basalto del Höwenegg | Messiniano | Messiniano |
| 15200265 | Hohenwiel-Phonolith | fonolite | – | – | Fonolite del Hohenwiel | Tortoniano | Tortoniano |
| 15200266 | Hegau-Tuffit | tufite | – | – | Tuffite del Hegau | Langhiano | Serravalliano |

| Code | GMU | Litho principale | Litho secondaire | Litho tertiaire | Formation | Chrono base | Chrono top |
|---|---|---|---|---|---|---|---|
| 15200267 | Hörnli-Fm.: Hörnligipfel-Nagelfluh | conglomerato | marna | arenaria | Conglomerato del Hörnligipfel | Tortoniano | Tortoniano |
| 15200268 | Hörnli-Fm.: Hörnligubel-Mergel: Höchegg-Brekzie | breccia: sabbioso | – | – | Breccia della Höchegg | Serravalliano | Serravalliano |
| 15200269 | Hörnli-Fm.: Hörnligubel-Mergel | marna | arenaria: marnoso | conglomerato | Marna del Hörnligubel | Serravalliano | Tortoniano |
| 15200270 | Hörnli-Fm.: Tösswald-Mb. | conglomerato: calcareo-dolomitico | marna | arenaria | Membro del Tösswald | Langhiano | Serravalliano |
| 15200271 | Öhningen-Fm.: Bischofszell-Bentonit | bentonite | – | – | Bentonite di Bischofzell | Langhiano | Langhiano |
| 15200272 | Hörnli-Fm.: Mergelstein-dominierte Fazies | marna | siltite: carbone | arenaria | Formazione del Hörnli | Langhiano | Langhiano |
| 15200273 | Hörnli-Fm.: Krinau-Mb. | conglomerato | marna: carbone | arenaria: mica | Membro di Krinau | Langhiano | Langhiano |
| 15200274 | OSM-II: Glimmersand-Fazies | arenaria: quarzo-mica | – | – | sconosciuto | Langhiano | Tortoniano |
| 15200275 | Zürich-Fm.: Fellitobel-Süsswasserkalk | calcare | – | – | Calcare d'acqua dolce del Fellitobel | Langhiano | Langhiano |
| 15200276 | Uetliberg-Fm. | conglomerato: calcareo-dolomitico | marna | – | Formazione dell'Uetliberg | Serravalliano | Serravalliano |
| 15200277 | Uetliberg-Fm.: Uetliberggipfel-Nagelfluh | conglomerato: calcareo-dolomitico | – | – | Conglomerato dell'Uetliberggipfel | Serravalliano | Serravalliano |

| Code | GMU | Litho principale | Litho secondaire | Litho tertiaire | Formation | Chrono base | Chrono top |
|---|---|---|---|---|---|---|---|
| 15200278 | Uetliberg-Fm.: Uetliberg-Mergel | marna | – | – | Marna dell'Uetliberg | Serravalliano | Serravalliano |
| 15200279 | Pfannenstiel-Fm.: Falätschen-Mergel | marna | – | – | Marna della Falätschen | Langhiano | Langhiano |
| 15200280 | Pfannenstiel-Fm. | marna | arenaria | – | Formazione del Pfannenstiel | Serravalliano | Serravalliano |
| 15200281 | Zürich-Fm. | marna | calcare | – | Formazione di Zürich | Langhiano | Langhiano |
| 15200282 | Zürich-Fm.: Leimbach-Bentonit | bentonite | – | – | Bentonite di Leimbach | Langhiano | Langhiano |
| 15200283 | Zürich-Fm.: Rütschlibach-Riedhof-Süsswasserkalk | calcare | – | – | Calcare d'acqua dolce di Rütschlibach-Riedhof | Langhiano | Langhiano |
| 15200284 | Zürich-Fm.: Winterthur-Bentonit | bentonite | – | – | Bentonite di Winterthur | Langhiano | Langhiano |
| 15200285 | Zürich-Fm.: Aeugstertal-Bentonit | bentonite | – | – | Bentonite dell'Aeugstertal | Langhiano | Langhiano |
| 15200286 | Zürich-Fm.: Äntlisberg-Doldertobel-Süsswasserkalk | calcare: bitume | – | – | Calcare d'acqua dolce di Äntlisberg-Doldertobel | Langhiano | Langhiano |
| 15200287 | Zürich-Fm.: Wehrenbach-Höckler-Süsswasserkalk | calcare | marna: bitume | – | Calcare d'acqua dolce del Wehrenbach-Höckler | Langhiano | Langhiano |
| 15200288 | Meilen-Fm.: Küsnacht-Bentonit | bentonite | – | – | Bentonite di Küsnacht | Langhiano | Langhiano |

| Code | GMU | Litho principale | Litho secondaire | Litho tertiaire | Formation | Chrono base | Chrono top |
|---|---|---|---|---|---|---|---|
| 15200289 | Meilen-Fm.: Urdorf-Bentonit | bentonite | – | – | Bentonite di Urdorf | Langhiano | Langhiano |
| 15200290 | Appenzellergranit-Leitniveau | conglomerato | arenaria: calcareo | siltite: calcareo | «Appenzellergranit-Leitniveau» | Langhiano | Langhiano |
| 15200291 | Appenzellergranit-Leitniveau: Abtwil-Konglomerat | conglomerato | – | – | Conglomerato di Abtwil | Langhiano | Langhiano |
| 15200292 | Appenzellergranit-Leitniveau: Hüllistein-Konglomerat | conglomerato: calcareo-dolomitico | breccia | – | Conglomerato di Hüllistein | Langhiano | Langhiano |
| 15200293 | Appenzellergranit-Leitniveau: Degersheim-Kalknagelfluh | conglomerato | breccia | calcare | Conglomerato calcareo di Degersheim | Langhiano | Langhiano |
| 15200294 | Appenzellergranit-Leitniveau: Meilen-Kalk | siltite: calcareo | arenaria: siltoso-calcareo | calcare: arenitico | Calcare di Meilen | Langhiano | Langhiano |
| 15200295 | OSM-I | conglomerato | arenaria | marna | – | Burdigaliano | Langhiano |
| 15200296 | Lichtensteig-Fm. | conglomerato: polimittico | arenaria | marna | Formazione di Lichtensteig | Burdigaliano superiore | Langhiano |
| 15200297 | Hörnli-Fm. | conglomerato | arenaria | marna | Formazione del Hörnli | Langhiano | Tortoniano |
| 15200298 | Guggershorn-Fm. | conglomerato: calcareo-dolomitico | arenaria | marna | Formazione del Guggershorn | Burdigaliano superiore | Langhiano |
| 15200299 | Käpfnach-Fm.: Horgen-Süsswasserkalk | calcare | roccia: organico: carbone | – | Calcare d'acqua dolce di Horgen-Käpfnach | Burdigaliano | Burdigaliano |
| 15200300 | OSM-J | arenaria | calcare: gessoso | conglomerato: calcareo | – | Burdigaliano superiore | Langhiano |
| 15200301 | Bois-de-Raube-Fm. | conglomerato | arenaria | marna | Formazione del Bois de Raube | Serravalliano | Tortoniano |

| Code | GMU | Litho principale | Litho secondaire | Litho tertiaire | Formation | Chrono base | Chrono top |
|---|---|---|---|---|---|---|---|
| 15200302 | OSM-J: Juranagelfluh | conglomerato: calcareo | – | – | – | Aquitaniano | Tortoniano |
| 15200304 | Le-Locle-Fm.: Combe-Girard Mb.: Combe-Girard-Bentonit | bentonite | – | – | Bentonite della Combe Girard | Langhiano | Langhiano |
| 15200305 | Vermes-Süsswasserkalk | calcare: micritico: bioclasti | calcare: oncoidi | marna | Calca di acqua dolce di Vermes | Burdigaliano | Langhiano |
| 15200306 | Crêt-du-Locle-Fm.: Gompholitfazies | conglomerato: calcareo | – | – | Formazione del Crêt-du-Locle | Langhiano | Langhiano |
| 15200307 | OMM (Obere Meeresmolasse) | arenaria | marna | conglomerato | – | Aquitaniano | Burdigaliano |
| 15200308 | OMM-II | arenaria | conglomerato | marna | – | Burdigaliano | Burdigaliano |
| 15200309 | St.-Gallen-Fm. | arenaria: glauconite | marna | conglomerato | Formazione di San Gallo | Burdigaliano | Burdigaliano superiore |
| 15200310 | St.-Gallen-Fm.: Staffelbach-Grobsandstein | arenaria | – | – | Arenaria grossolana di Staffelbach | Burdigaliano | Burdigaliano |
| 15200311 | OMM-I | arenaria | conglomerato | marna | – | Aquitaniano | Burdigaliano |
| 15200312 | Luzern-Fm. | arenaria: glauconite | marna | conglomerato | Formazione di Lucerna | Burdigaliano | Burdigaliano |
| 15200313 | Luzern-Fm.: Safenwil-Muschelsandstein | arenaria: calcareo: bivalvi | – | – | Arenaria a conchiglia di Safenwil | Burdigaliano | Burdigaliano |
| 15200314 | USM (Untere Süsswassermolasse) | arenaria | conglomerato | marna | – | Rupeliano | Aquitaniano |
| 15200315 | Höhronen-Nagelfluh | conglomerato | arenaria | siltite | Conglomerato del Höhronen | Aquitaniano | Aquitaniano |
| 15200316 | Kronberg-Nagelfluh | conglomerato: polimittico | – | – | Conglomerato del Kronberg | Aquitaniano | Aquitaniano |
| 15200317 | Cornalle-Sandstein | arenaria: calcareo | marna: siltoso | – | Arenaria della Cornalle | Chattiano superiore | Chattiano superiore |

| Code | GMU | Litho principale | Litho secondaire | Litho tertiaire | Formation | Chrono base | Chrono top |
|---|---|---|---|---|---|---|---|
| 15200318 | Mont-Pèlerin-Nagelfluh | conglomerato: calcareo | marna: siltoso | arenaria: argilloso | Conglomerato del Mont Pèlerin | Chattiano inferiore | Chattiano superiore |
| 15200319 | Speer-Fm. | conglomerato: calcareo | marna | arenaria: calcareo | Formazione del Speer | Rupeliano | Chattiano |
| 15200320 | Thun-Fm. | conglomerato | arenaria | marna | Formazione di Thun | Chattiano inferiore | Chattiano superiore |
| 15200321 | Thun-Fm.: Gunten-Quarzitnagelfluh | conglomerato: quarzo | arenaria | marna | Conglomerato di Gunten | Chattiano | Chattiano |
| 15200322 | Rigi-Fm. | conglomerato | argillite: siltoso | – | Formazione del Rigi | Chattiano | Chattiano |
| 15200323 | Rigi-Fm.: Scheidegg-Nagelfluh | conglomerato: calcareo | marna | – | Conglomerato della Scheidegg | Chattiano | Chattiano |
| 15200324 | Rigi-Fm.: Bunte Rigi-Nagelfluh | conglomerato: calcareo-dolomitico | arenaria | marna | «Bunte Rigi Nagelfluh» | Chattiano | Chattiano |
| 15200325 | Rigi-Fm.: Radiolaritreiche Nagelfluh | conglomerato: calcareo | arenaria | marna | «Radiolaritreiche Nagelfluh» (Fm. del Rigi) | Chattiano | Chattiano |
| 15200326 | USM-III | conglomerato | marna | – | – | Burdigaliano | Burdigaliano |
| 15200327 | Sommersberg-Nagelfluh | conglomerato | marna | arenaria: calcareo | Conglomerato del Sommersberg | Burdigaliano | Burdigaliano |
| 15200328 | Sommersberg-Nagelfluh: Brendenbach-Mergel | marna | – | – | Marna del Brendenbach | Burdigaliano | Burdigaliano |
| 15200329 | USM-II | arenaria | marna | conglomerato | – | Aquitaniano | Burdigaliano |
| 15200330 | Fm. der Granitischen Molasse | arenaria: feldspato | marna | conglomerato: polimittico | «Formation der Granitischen Molasse» | Chattiano superiore | Aquitaniano |

| Code | GMU | Litho principale | Litho secondaire | Litho tertiaire | Formation | Chrono base | Chrono top |
|---|---|---|---|---|---|---|---|
| 15200331 | Fm. der Granitischen Molasse: Oberaquitane Mergelzone | marna | arenaria: marnoso | arenaria: calcareo | «Oberaquitane Mergelzone» | Aquitaniano | Aquitaniano |
| 15200332 | Lausanne-Fm. | arenaria: argilloso-calcareo | marna: siltoso | – | «Molasse Grise de Lausanne» | Aquitaniano | Aquitaniano |
| 15200333 | Lausanne-Fm.: Bois-Genoud-Bentonit | bentonite | – | – | Bentonite di Bois-Genoud | Aquitaniano | Aquitaniano |
| 15200334 | Lausanne-Fm.: Cuarny-Sandstein | arenaria | – | – | Arenaria di Cuarny | Aquitaniano | Aquitaniano |
| 15200335 | USM-I | marna | arenaria | conglomerato | – | Rupeliano | Chattiano |
| 15200336 | Grès et Marnes Gris à Gypse | marna: gesso | arenaria | calcare | «Grès et Marnes Gris à Gypse» | Chattiano | Chattiano |
| 15200337 | Molasse à Charbon | arenaria: calcareo | marna: sabbioso | argillite: carbone | «Molasse à Charbon» | Chattiano | Chattiano |
| 15200338 | Molasse Rouge | marna | siltite | arenaria: calcareo | – | Rupeliano | Chattiano |
| 15200339 | Heuboden-Äschitannen-Nagelfluh | conglomerato | marna | – | Conglomerato di Heuboden-Äschitannen | Rupeliano | Chattiano |
| 15200340 | Beichlen-Fm. | conglomerato: calcareo | arenaria | marna | Formazione della Beichlen | Rupeliano | Rupeliano |
| 15200341 | USM-J | arenaria | marna | – | – | Chattiano | Chattiano |
| 15200342 | USM-J: La-Chaux-Süsswasserkalk | calcare: gessoso: pisoidi | – | – | Calcare d'acqua dolce della Chaux | Aquitaniano | Aquitaniano |
| 15200343 | Elsässer Molasse | marna | siltite | arenaria: mica | «Molasse Alsacienne» | Chattiano | Chattiano |

| Code | GMU | Litho principale | Litho secondaire | Litho tertiaire | Formation | Chrono base | Chrono top |
|---|---|---|---|---|---|---|---|
| 15200344 | Elsässer Molasse: Delémont-Süsswasserkalk | calcare: micritico | – | – | Calcare d'acqua dolce di Delémont | Chattiano | Chattiano |
| 15200345 | Elsässer Molasse: Matzendorf-Süsswasserkalk | calcare | – | – | Calcare d'acqua dolce di Matzendorf | Chattiano | Chattiano |
| 15200346 | Elsässer Molasse: Oensingen-Süsswasserkalk | calcare | – | – | Calcare d'acqua dolce di Oensingen | Chattiano | Chattiano |
| 15200347 | Elsässer Molasse: Wynau-Süsswasserkalk | calcare | – | – | Calcare d'acqua dolce di Wynau | Rupeliano | Chattiano inferiore |
| 15200348 | UMM (Untere Meeresmolasse) | marna | arenaria | – | – | Rupeliano | Rupeliano |
| 15200349 | UMM-III | arenaria: calcareo: mica | marna | – | – | Rupeliano | Rupeliano |
| 15200350 | Horw-Sandstein | arenaria: calcareo: mica | marna | – | Arenaria di Horw | Rupeliano | Rupeliano |
| 15200351 | UMM-II | marna | arenaria: calcareo: mica | – | – | Rupeliano | Rupeliano |
| 15200352 | Grisigen-Mergel | marna | arenaria: calcareo: mica | – | Marna di Grisigen | Rupeliano | Rupeliano |
| 15200353 | UMM-I | marna: argilloso | siltite | arenaria: argilloso: litoclasti | – | Rupeliano | Rupeliano |
| 15200354 | Cucloz-Fm. | arenaria: mica | marna | siltite | Formazione di Cucloz | Rupeliano | Rupeliano |
| 15200355 | Cucloz-Fm.: Cucloz-Sandstein | arenaria: mica | breccia: polimittico | – | Arenaria di Cucloz | Rupeliano | Rupeliano |

| Code | GMU | Litho principale | Litho secondaire | Litho tertiaire | Formation | Chrono base | Chrono top |
|---|---|---|---|---|---|---|---|
| 15200356 | Cucloz-Fm.: Marnes gris-souris | marna | siltite | – | «Marnes gris-souris» (Fm. di Cucloz) | Rupeliano | Rupeliano |
| 15200357 | Cucloz-Fm.: Schistes marno-micacés | marna: siltoso: mica | arenaria | – | «Schistes marno-micacés» (Fm. di Cucloz) | Rupeliano | Rupeliano |
| 15200358 | Hilfern-Fm. | marna: argilloso | siltite | arenaria | Formazione della Hilfern | Rupeliano | Rupeliano |
| 15200359 | Rietbad-Fm. | arenaria | marna | conglomerato | Formazione di Rietbad | Rupeliano | Rupeliano |
| 15200360 | Jordisboden-Mergel | marna: mica | arenaria | – | Marna del Jordisboden | Rupeliano | Rupeliano |
| 15200361 | Goldegg-Sandstein | arenaria: mica | conglomerato: polimittico | – | Arenaria della Goldegg | Rupeliano | Rupeliano |
| 15200362 | UMM-J | arenaria: calcareo | marna | argillite | – | Rupeliano | Chattiano |
| 15200363 | UMM-J: Septarienton | argillite: marnoso: mica | arenaria | – | «Septarienton» (UMM-J) | Rupeliano | Chattiano |
| 15200364 | UMM-J: Fischschiefer | argillite: siltoso | argillite: marnoso | – | «Fischschiefer» (UMM-J) | Rupeliano | Rupeliano |
| 15200365 | UMM-J: Foraminiferenmergel | marna: sabbioso: mica | – | – | «Foraminiferenmergel» (UMM-J) | Rupeliano | Rupeliano |
| 15200366 | UMM-J: Meeressand | arenaria: calcareo: quarzo | conglomerato: calcareo | – | «Meeressand» (UMM-J) | Rupeliano | Chattiano |
| 15200368 | UMM-J: Cyathulabank | marna | – | – | «Strato a Cyathula» (UMM-J) | Priaboniano | Rupeliano |
| 15200369 | UMM-J: Cyrenenmergel | marna | arenaria: mica | – | «Cyrenenmergel» (UMM-J) | Chattiano | Chattiano |
| 15200370 | Porrentruy-Konglomerat | conglomerato: calcareo | – | – | Conglomerato di Porrentruy | Priaboniano | Rupeliano |

| Code | GMU | Litho principale | Litho secondaire | Litho tertiaire | Formation | Chrono base | Chrono top |
|---|---|---|---|---|---|---|---|
| 15200371 | Rossemaison-Fm.: Süsswasserkalk | calcare | – | – | Formazione di Rossemaison | Priaboniano | Rupeliano |
| 15200373 | Ajoie-Gompholit | breccia: calcareo | – | – | Gonfolite di Ajoie | Rupeliano | Rupeliano |
| 15200378 | Tüllingen-Süsswasserkalk | calcare: micritico | marna | – | Calcare d'acqua dolce di Tüllingen | Chattiano superiore | Chattiano superiore |
| 15200380 | Hauptrogenstein: Oberer Teil | calcare: ooidi | marna | – | Hauptrogenstein | Batoniano | Batoniano |
| 15200381 | Hauptrogenstein: Mittlerer Teil | marna | calcare: marnoso | – | Hauptrogenstein | Bajociano | Batoniano |
| 15200382 | Hauptrogenstein: Unterer Teil | calcare: ooidi | marna | – | Hauptrogenstein | Bajociano | Bajociano |
| 15200383 | Hauptrogenstein: Calcaire roux marneux | calcare: marnoso: bioclasti | – | – | «Calcaire roux marneux» (Hauptrogenstein) | Bajociano | Bajociano |
| 15200384 | Bois-de-Raube-Fm.: Ajoie-Mb. | arenaria | marna | conglomerato | Membro dell'Ajoie | Miocene superiore | Miocene superiore |
| 15200385 | Bois-de-Raube-Fm.: Bois-de-Raube-Mb. | conglomerato | arenaria | marna | Membro del Bois de Raube | Serravalliano | Serravalliano |
| 15200386 | Bois-de-Raube-Fm.: Montchaibeux-Mb. | arenaria | marna | – | Membro del Montchaibeux | Serravalliano | Serravalliano |
| 15200387 | Daubrée-Konglomerat | conglomerato: calcareo-residuale: pisoidi di ferro | – | – | «Conglomerato di Daubrée» | Eocene medio | Priaboniano |
| 15200388 | Wanderblock-Bildungen | roccia: residuale | – | – | – | Miocene superiore | Pliocene |
| 15200389 | OMM-II: Geröllsande | arenaria: conglomeratico | – | – | – | Burdigaliano | Burdigaliano |

| Code | GMU | Litho principale | Litho secondaire | Litho tertiaire | Formation | Chrono base | Chrono top |
|---|---|---|---|---|---|---|---|
| 15200390 | OMM-II: Polymikte Nagelfluh | conglomerato: polimittico | – | – | – | Burdigaliano | Burdigaliano |
| 15200391 | OMM-I: Muschelsandstein | arenaria: calcareo: bivalvi | – | – | – | Burdigaliano | Burdigaliano |
| 15200392 | OMM-I: Graue Molasse | arenaria: mica | arenaria: calcareo: bivalvi | – | – | Burdigaliano | Burdigaliano |
| 15200393 | Daubrée-Konglomerat: Süsswasserkalk | calcare: ooidi di ferro | – | – | «Conglomerato di Daubrée» | Eocene medio | Eocene medio |
| 15200394 | USM: Basale Süsswassermolasse | calcare | roccia: residuale: mineri di ferro | – | – | Priaboniano | Rupeliano |
| 15200395 | Laufen-Juranagelfluh | conglomerato: calcareo | – | – | Gonfolite del bacino di Laufen | Langhiano | Tortoniano |
| 15200396 | Basler Juranagelfluh | conglomerato: calcareo | arenaria | marna | Gonfolite del Giura basileo | Langhiano | Langhiano |
| 15200397 | Aargauer Juranagelfluh | conglomerato: calcareo | – | – | Gonfolite di Argovia | Langhiano | Tortoniano |
| 15200399 | Jensberg-Fm. | arenaria: glauconite | marna | – | Formazione del Jensberg | Burdigaliano | Burdigaliano |
| 15200400 | Jensberg-Fm.: Rebhubel-Sch. | arenaria: marnoso: mica | arenaria: conglomeratico | conglomerato | Strati del Rebhubel | Burdigaliano superiore | Burdigaliano superiore |
| 15200401 | Niedermatt-Fm. | arenaria | conglomerato: polimittico | – | Formazione di Niedermatt | Burdigaliano | Burdigaliano |
| 15200402 | Belpberg-Fm. | arenaria | marna | conglomerato | Formazione del Belpberg | Burdigaliano | Burdigaliano |
| 15200403 | Kalchstätten-Fm.: Pfadflüe-Nagelfluh | conglomerato: calcareo | marna | arenaria | Membro della Pfadflüe | Burdigaliano | Burdigaliano |

| Code | GMU | Litho principale | Litho secondaire | Litho tertiaire | Formation | Chrono base | Chrono top |
|---|---|---|---|---|---|---|---|
| 15200404 | Belpberg-Fm.: Sädel-Kalknagelfluh | conglomerato: calcareo | – | – | Conglomerato di Sädel | Burdigaliano | Burdigaliano |
| 15200405 | Belpberg-Fm.: Utzigen-Muschelsandstein | arenaria: calcareo: bivalvi | – | – | Arenaria a conchiglia di Utzigen | Burdigaliano | Burdigaliano |
| 15200406 | Belpberg-Fm.: Ulmiz-Quarzitnagelfluh | conglomerato: quarzo | – | – | Conglomerato quarzitico di Ulmiz | Burdigaliano | Burdigaliano |
| 15200407 | Belpberg-Fm.: Bütschelbach-Nagelfluh | conglomerato | – | – | Conglomerato del Bütschelbach | Burdigaliano | Burdigaliano |
| 15200408 | Kalchstätten-Fm. | conglomerato: calcareo | arenaria | marna | Formazione di Kalchstätten | Burdigaliano | Langhiano |
| 15200409 | St.-Gallen-Fm.: Freudenberg-Nagelfluh | conglomerato: calcareo | – | – | Conglomerato del Freudenberg | Burdigaliano | Burdigaliano |
| 15200410 | St.-Gallen-Fm.: Goldbrunnen-Sch. | marna | arenaria | – | Strati di Goldbrunnen | Burdigaliano | Burdigaliano |
| 15200411 | St.-Gallen-Fm.: Dreilinden-Nagelfluh | conglomerato | – | – | Conglomerato di Dreilinden | Burdigaliano | Burdigaliano |
| 15200412 | St.-Gallen-Fm.: Obere Grenznagelfluh | conglomerato | – | – | «Obere Grenznagelfluh» (Fm. di San Gallo) | Burdigaliano | Burdigaliano |
| 15200413 | Kirchberg-Fm. | argillite | marna | – | Formazione di Kirchberg | Burdigaliano superiore | Burdigaliano superiore |
| 15200414 | Grimmelfingen-Fm. | argillite | marna | arenaria | Formazione di Grimmelfingen | Burdigaliano superiore | Burdigaliano superiore |
| 15200415 | Chnebelburg-Fm. | arenaria: glauconite | arenaria: calcareo: bivalvi | marna | Formazione della Chnebelburg | Burdigaliano | Burdigaliano |

| Code | GMU | Litho principale | Litho secondaire | Litho tertiaire | Formation | Chrono base | Chrono top |
|---|---|---|---|---|---|---|---|
| 15200416 | Chnebelburg-Fm.: Meinisberg-Muschelsandstein | arenaria: calcareo: bivalvi | – | – | Arenaria a conchiglia di Meinisberg | Burdigaliano | Burdigaliano |
| 15200417 | Chnebelburg-Fm.: Brüttelen-Grobsandstein | arenaria: conglomeratico-calcareo: bivalvi | – | – | Arenaria grossolana di Brüttelen | Burdigaliano | Burdigaliano |
| 15200418 | Sense-Fm. | arenaria: glauconite | siltite | marna | Formazione della Sense | Burdigaliano | Burdigaliano |
| 15200419 | Sense-Fm.: Montécu-Sch. | marna: siltoso | – | – | Strati di Montécu | Burdigaliano | Burdigaliano |
| 15200420 | Sense-Fm.: Molière-Muschelsandstein | arenaria: calcareo: bivalvi | – | – | Arenaria a conchiglia della Molière | Burdigaliano | Burdigaliano |
| 15200421 | Sense-Fm.: Scherli-Nagelfluh | conglomerato: quarzo | – | – | Conglomerato quarzitico di Scherli | Burdigaliano | Burdigaliano |
| 15200422 | Grilly-Süsswasserkalk | calcare | – | – | Calcare d'acqua dolce di Grilly | Rupeliano | Rupeliano |
| 15200423 | Orbe-Süsswasserkalk | calcare: bitume-bioclasti | – | – | Calcare d'acqua dolce di Orbe | Priaboniano | Rupeliano |
| 15200424 | USM: Basale Süsswassermolasse: Krustenkalk | calcare: pedogene-incrostato | – | – | – | Priaboniano | Rupeliano |
| 15200425 | Gümmenen-Fm. | arenaria | marna: siltoso | – | Formazione di Gümmenen | Chattiano superiore | Aquitaniano |
| 15200429 | USM-II: Obere Bunte Molasse | marna: siltoso | arenaria | arenaria: calcareo | «Obere Bunte Molasse» (USM II) | Aquitaniano | Aquitaniano |
| 15200430 | Oberdorf-Süsswasserkalk | calcare: gessoso | marna | – | Calcare d'acqua dolce di Oberdorf | Rupeliano | Rupeliano |

| Code | GMU | Litho principale | Litho secondaire | Litho tertiaire | Formation | Chrono base | Chrono top |
|---|---|---|---|---|---|---|---|
| 15200431 | St.-Gallen-Fm.: Limnischer Horizont | marna: siltoso | calcare | – | Formazione di San Gallo | Burdigaliano superiore | Burdigaliano superiore |
| 15200432 | OMM-II: Quarzitnagelfluh | conglomerato: quarzo | conglomerato: calcareo: bivalvi | – | – | Burdigaliano | Burdigaliano |
| 15200433 | Luzern-Fm.: Basales Konglomerat | conglomerato: polimittico | – | – | Formazione di Lucerna | Burdigaliano | Burdigaliano |
| 15200436 | Perte-du-Rhône-Fm.: Poncin-Mb. | arenaria: mica-glauconite | – | – | Membro di Poncin | Cenomaniano | Cenomaniano |
| 15200437 | Perte-du-Rhône-Fm.: Mussel-Mb.: Vraconne-Sandstein | arenaria: glauconite | marna: sabbioso | – | Arenaria della Vraconne | Albiano | Albiano |
| 15200438 | Perte-du-Rhône-Fm.: Mussel-Mb.: La-Presta-Mergel | argillite: sabbioso | – | – | Argilla della Presta | Albiano | Albiano |
| 15200439 | Perte-du-Rhône-Fm.: Mussel-Mb.: Vernettes-Sandstein | arenaria: glauconite | – | – | Arenaria delle Vernettes | Albiano | Albiano |
| 15200440 | Perte-du-Rhône-Fm.: Mussel-Mb.: Ponthoud-Bk. | calcare: bioclasti | – | – | Strato del Ponthoud | Aptiano | Aptiano |

| Code | GMU | Litho principale | Litho secondaire | Litho tertiaire | Formation | Chrono base | Chrono top |
|---|---|---|---|---|---|---|---|
| 15200441 | Perte-du-Rhône-Fm.: Mussel-Mb.: Scie-Besse-Sandstein | arenaria: glauconite | – | – | Arenaria di Scie Besse | Aptiano | Aptiano |
| 15200442 | Perte-du-Rhône-Fm.: Fulie-Mb.: Mortier-Mergel | marna | – | – | Marna del Mortier | Aptiano | Aptiano |
| 15200443 | Perte-du-Rhône-Fm.: Fulie-Mb.: Vauglène-Bk. | marna: calcareo | – | – | Strati di Vauglène | Aptiano | Aptiano |
| 15200444 | Perte-du-Rhône-Fm.: Fulie-Mb.: Poet-Bk. | calcare: marnoso: bioclasti | – | – | Strato del Poet | Aptiano | Aptiano |
| 15200445 | Rossemaison-Fm.: Courcelon-Süsswasserkalk | calcare | – | – | Calcare d'acqua dolce di Courcelon | Priaboniano | Rupeliano |
| 15200446 | Erzmatt-Krustenkalk | calcare: limonite | – | – | Calcrete della Erzmatt | Priaboniano | Rupeliano |
| 15200447 | Diegten-Süsswasserkalk | calcare: bioclasti | – | – | Calcare d'acqua dolce di Diegten | Eocene medio | Rupeliano |
| 15200448 | La-Verrerie-Süsswasserkalk | calcare: gessoso | marna | – | Calcare d'acqua dolce della Verrerie | Priaboniano | Rupeliano |
| 15200449 | La-Charrue-Süsswasserkalk | calcare | marna | – | Calcare d'acqua dolce della Charrue | Priaboniano | Rupeliano |
| 15200450 | Vuache-Fm.: Astieria-Mergel | marna: bioclasti | – | – | «Marna a Astieria» | Valanginiano | Valanginiano |

| Code | GMU | Litho principale | Litho secondaire | Litho tertiaire | Formation | Chrono base | Chrono top |
|---|---|---|---|---|---|---|---|
| 15200451 | Vuache-Fm.: Villers-Sch. | marna | – | – | Strato di Villers | Valanginiano | Valanginiano |
| 15200452 | Pierre-Châtel-Fm.: Unité Moyenne Calcaire | calcare: micritico | – | – | «Unité Moyenne Calcaire» | Berriasiano | Berriasiano |
| 15200453 | Pierre-Châtel-Fm.: Unité Inférieure Oolithique | calcare: bioclasti-ooidi | marna | – | «Unité Inférieure Oolithique» | Berriasiano | Berriasiano |
| 15200456 | Etiollets-Fm.: Complexe récifal: Landaize-Kalk | calcare: bioclasti | – | – | Calcare di Landaize | Kimmeridgiano | Kimmeridgiano |
| 15200457 | Balsthal-Fm.: Holzflue-Mb.: Balmberg-Oolith | calcare: ooidi | – | – | Oolite del Balmberg | Oxfordiano | Kimmeridgiano |
| 15200458 | Balsthal-Fm.: Laufen-Mb.: Hautes-Roches-Algenkalk | calcare: micritico: oncoidi | calcare: dolomitico | – | Calcare delle Hautes Roches | Oxfordiano | Oxfordiano |
| 15200459 | Balsthal-Fm.: Laufen-Mb.: Akzessorische Mumienbänke | calcare: oncoidi | – | – | «Akzessorische Mumienbänke» | Oxfordiano | Oxfordiano |
| 15200460 | Vellerat-Fm.: Röschenz-Mb.: Brauner Oolith | calcare: ooidi | – | – | «Brauner Oolith» | Oxfordiano | Oxfordiano |
| 15200461 | Kaiseraugst-Fm.: Wellendolomit: Bleiglanz-Bk. | dolomia | – | – | «Bleiglanzbank» (Fm. di Kaiseraugst) | Anisico | Anisico |

| Code | GMU | Litho principale | Litho secondaire | Litho tertiaire | Formation | Chrono base | Chrono top |
|---|---|---|---|---|---|---|---|
| 15200462 | Dinkelberg-Fm.: Rötton: Arenicolites-Bk. | calcare | – | – | «Strato a Arenicolites» | Anisico | Anisico |
| 15200463 | Dinkelberg-Fm.: Diagonalschichtiger Sandstein | arenaria: argilloso: mica | – | – | «Diagonalschichtiger Sandstein» (Fm. del Dinkelberg) | Olenekiano | Olenekiano |
| 15200464 | Schinznach-Fm.: Leutschenberg-Mb. | calcare: dolomitico | calcare: bioclasti | – | Membro del Leutschenberg | Anisico | Anisico |
| 15200465 | Schlächtenhaus-Granit | granito: biotite-muscovite | – | – | Granito di Schlächtenhaus | Devoniano inferiore | Mississippiano |
| 15200466 | Steinatal-Gneiskomplex | gneiss: migmatitico | anfibolite | – | Complesso gneissico del Steinatal | Proterozoico | Paleozoico inferiore |
| 15200467 | Schinznach-Fm.: Asp-Mb.: Grenzdolomit | dolomia | – | – | «Grenzdolomit» (Fm. di Schinznach) | Ladinico | Ladinico |
| 15200468 | Schinznach-Fm.: Asp-Mb.: Estherien-Sch. | marna: bitume | – | – | «Strati a Estheria» | Ladinico | Ladinico |
| 15200469 | Hangende-Bankkalke-Fm. | calcare: micritico | – | – | Hangende-Bankkalke-Formation | Titoniano | Titoniano |
| 15200470 | Zementmergel-Fm. | marna | calcare | – | Zementmergel-Formation | Kimmeridgiano | Titoniano |
| 15200471 | Liegende-Bankkalke-Fm. | calcare: bioclasti | marna | – | Liegende-Bankkalke-Formation | Kimmeridgiano | Kimmeridgiano |
| 15200472 | Obere-Felsenkalke-Fm. | calcare: micritico | – | – | Obere-Felsenkalke-Formation | Kimmeridgiano | Kimmeridgiano |

| Code | GMU | Litho principale | Litho secondaire | Litho tertiaire | Formation | Chrono base | Chrono top |
|---|---|---|---|---|---|---|---|
| 15200473 | Untere-Felsenkalke-Fm. | calcare | marna | – | Untere-Felsenkalke-Formation | Kimmeridgiano | Kimmeridgiano |
| 15200474 | Lacunosamergel-Fm. | marna | calcare: marnoso | – | Lacunosamergel-Formation | Kimmeridgiano | Kimmeridgiano |
| 15200475 | Oberjura-Massenkalk-Fm. | calcare: spunghe | – | – | Oberjura-Massenkalk-Formation | Kimmeridgiano | Titoniano |
| 15200476 | Oberjura-Massenkalk-Fm.: Lochen-Sbf. | calcare: spunghe | – | – | Lochen-Subformation | Oxfordiano | Kimmeridgiano |
| 15200477 | Wohlgeschichtete-Kalke-Fm. | calcare: micritico | – | – | Wohlgeschichtete-Kalke-Formation | Oxfordiano | Kimmeridgiano |
| 15200478 | Impressamergel-Fm. | marna: argilloso | calcare: marnoso | – | Impressamergel-Formation | Oxfordiano | Oxfordiano |
| 15200479 | Ornatenton-Fm. | argillite | marna: argilloso | calcare: ooidi di ferro | Ornatenton-Formation | Batoniano | Oxfordiano |
| 15200480 | Ornatenton-Fm.: Glaukonitsandmergel-Sbf. | marna: sabbioso-argilloso: glauconite | – | – | Glaukonitsandmergel-Subformation | Oxfordiano | Oxfordiano |
| 15200481 | Ornatenton-Fm.: Glaukonitsandmergel-Sbf.: Grenzkalk | marna: calcareo: ooidi | – | – | «Grenzkalk» | Calloviano | Calloviano |
| 15200482 | Ornatenton-Fm.: Macrocephalenoolith-Sbf. | argillite: ooidi di ferro | – | – | Macrocephalenoolith-Subformation | Batoniano | Calloviano |
| 15200483 | Wutach-Fm. | marna: calcareo: ooidi di ferro | – | – | Formazione della Wutach | Batoniano | Calloviano |

| Code | GMU | Litho principale | Litho secondaire | Litho tertiaire | Formation | Chrono base | Chrono top |
|---|---|---|---|---|---|---|---|
| 15200484 | Variansmergel-Fm. | marna | calcare | – | Variansmergel-Formation | Bajociano | Batoniano |
| 15200485 | Dentalienton-Fm. | marna: argilloso | – | – | Dentalienton-Formation | Batoniano | Batoniano |
| 15200486 | Hamitenton-Fm. | marna: argilloso | – | – | Hamitenton-Formation | Bajociano | Batoniano |
| 15200487 | Hamitenton-Fm.: Parkinsonioolith-Sbf. | calcare: ooidi di ferro | marna: argilloso | – | Parkinsonioolith-Subformation | Bajociano | Bajociano |
| 15200488 | Gosheim-Fm. | calcare: ooidi di ferro | marna | – | Formazione di Gosheim | Bajociano | Bajociano |
| 15200489 | Gosheim-Fm.: Blagdeni-Sbf. | marna | calcare | – | Blagdeni-Subformation | Bajociano | Bajociano |
| 15200490 | Gosheim-Fm.: Humphriesioolith-Sbf. | marna: ooidi di ferro | – | – | Humphriesioolith-Subformation | Bajociano | Bajociano |
| 15200491 | Wedelsandstein-Fm. | marna | calcare | – | Wedelsandstein-Formation | Bajociano | Bajociano |
| 15200492 | Wedelsandstein-Fm.: Blaukalk-Sbf. | calcare | marna | – | Blaukalk-Subformation | Bajociano | Bajociano |
| 15200493 | Murchisonaeoolith-Fm. | calcare: sabbioso | arenaria: calcareo | arenaria: ooidi di ferro | Murchisonaeoolith-Formation | Aaleniano | Aaleniano |
| 15200494 | Achdorf-Fm. | argillite: sabbioso: mica | calcare: ooidi | calcare: bioclasti | Formazione di Altdorf | Aaleniano | Aaleniano |
| 15200495 | Tannenwald-Sch. | conglomerato | arenaria | – | Strati del Tannenwald | Serravalliano | Serravalliano |
| 15200496 | Schüpferegg-Nagelfluh: Gabelspitz-Sch. | conglomerato: polimittico: quarzo | arenaria | marna | Strati del Gabelspitz | Burdigaliano | Burdigaliano |

| Code | GMU | Litho principale | Litho secondaire | Litho tertiaire | Formation | Chrono base | Chrono top |
|---|---|---|---|---|---|---|---|
| 15200497 | Schüpferegg-Nagelfluh: Schallenberg-Mergel | marna | arenaria | conglomerato: polimittico | Membro del Schallenberg | Burdigaliano | Burdigaliano |
| 15200498 | Schüpferegg-Nagelfluh: Seli-Nagelfluh | conglomerato: polimittico: quarzo | – | – | Conglomerato di Seli | Burdigaliano | Burdigaliano |
| 15200499 | Brand-Herrentisch-Tuffit | tufite | – | – | Tuffite del Brand-Herrentisch | Langhiano | Tortoniano |
| 15200500 | Wangen-Tuffit | tufite | – | – | Tuffite di Wangen | Langhiano | Serravalliano |
| 15200501 | Hohenolber-Tuffit | tufite | – | – | Tuffite del Hohenolber | Serravalliano | Serravalliano |
| 15200502 | Eichbol-Tuffit | tufite | – | – | Tuffite di Eichbol | Langhiano | Langhiano |
| 15200503 | Öhningen-Fm. | marna | roccia: vulcanico | – | Formazione di Öhningen | Langhiano | Langhiano |
| 15200504 | Öhningen-Fm.: Öhningen-Süsswasserkalk | calcare | argillite | roccia: vulcanico | Calcare d'acqua dolce di Öhningen | Langhiano | Langhiano |
| 15200505 | Öhningen-Fm.: Ramschwag-Nagelfluh | conglomerato: calcareo-dolomitico | – | – | Conglomerato della Ramschwag | Langhiano | Langhiano |
| 15200506 | Hörnli-Fm.: Seerücken-Tuffit | tufite | – | – | Tufite del Seerücken | Serravalliano | Serravalliano |
| 15200507 | Meilen-Fm. | marna | – | – | Formazione di Meilen | Langhiano | Langhiano |
| 15200508 | Meilen-Fm.: Wulp-Rotzone | bentonite | – | – | «Wulp-Rotzone» | Langhiano | Langhiano |
| 15200509 | Käpfnach-Fm. | marna | roccia: organico: carbone | – | Formazione di Käpfnach | Burdigaliano superiore | Langhiano |

| Code | GMU | Litho principale | Litho secondaire | Litho tertiaire | Formation | Chrono base | Chrono top |
|---|---|---|---|---|---|---|---|
| 15200510 | OSM-J: Juranagelfluh: Mergel-dominierte Fazies | marna | – | – | – | Langhiano | Tortoniano |
| 15200511 | Golat-Süsswasserkalk | calcare: gessoso: bitume | marna | arenaria | Calca di acqua dolce del Golat | Miocene medio | Miocene medio |
| 15200512 | Belpberg-Fm.: Fossilreicher Horizont | marna: bioclasti | arenaria: marnoso | – | Formazione del Belpberg | Burdigaliano | Burdigaliano |
| 15200513 | Fm. der Granitischen Molasse: Hombach-Mb. | arenaria: feldspato | marna | conglomerato | Membro del Hombach | Chattiano superiore | Chattiano superiore |
| 15200514 | Homberg-Fm. | arenaria: feldspato | siltite | marna | Formazione di Homberg | Chattiano inferiore | Chattiano inferiore |
| 15200515 | Gäbris-Nagelfluh | conglomerato | arenaria | – | Conglomerato del Gäbris | Aquitaniano | Aquitaniano |
| 15200516 | Gäbris-Nagelfluh: Gstaldenbach-Mb. | marna | conglomerato | – | Membro del Gstaldenbach | Aquitaniano | Aquitaniano |
| 15200517 | Gäbris-Nagelfluh: Heiden-Mb. | arenaria: calcareo | – | – | Membro di Heiden | Aquitaniano | Aquitaniano |
| 15200518 | Gäbris-Nagelfluh: Klusbach-Mb. | conglomerato | – | – | Membro del Klusbach | Aquitaniano | Aquitaniano |
| 15200519 | Gäbris-Nagelfluh: Eggen-Mb. | arenaria | – | – | Membro dell'Eggen | Aquitaniano | Aquitaniano |
| 15200520 | Gäbris-Sulzbach: Sulzbach-Mb. | arenaria: feldspato | arenaria: calcareo | conglomerato: calcareo | Membro di Sulzbach | Aquitaniano | Aquitaniano |

| Code | GMU | Litho principale | Litho secondaire | Litho tertiaire | Formation | Chrono base | Chrono top |
|---|---|---|---|---|---|---|---|
| 15200521 | Gäbris-Sulzbach: Sulzbach-Mb.: Kalknagelfluh | conglomerato: calcareo | – | – | Membro di Sulzbach | Aquitaniano | Aquitaniano |
| 15200522 | Kronberg-Nagelfluh: Pfingstboden-Mb. | conglomerato: polimittico | – | – | Membro del Pfingstboden | Aquitaniano | Aquitaniano |
| 15200523 | Kronberg-Nagelfluh: Hochfläschli-Mb. | conglomerato | marna | – | Membro della Hochfläschli | Aquitaniano | Aquitaniano |
| 15200524 | Kronberg-Nagelfluh: Ennetbühl-Mb. | conglomerato | marna | – | Membro di Ennetbühl | Aquitaniano | Aquitaniano |
| 15200525 | Kronberg-Nagelfluh: Hochalp-Mb. | conglomerato: calcareo-dolomitico | marna | – | Membro della Hochalp | Aquitaniano | Aquitaniano |
| 15200526 | Kronberg-Nagelfluh: Krummenau-Mb. | marna | conglomerato: calcareo | arenaria: calcareo | Membro di Krummenau | Aquitaniano | Aquitaniano |
| 15200527 | USM-J: Ältere Juranagelfluh | conglomerato: calcareo | marna | – | «Ältere Juranagelfluh» | Aquitaniano | Aquitaniano |
| 15202371 | Stgir-Fm.: Oberer Teil | arenaria: quarzo | calcare: sabbioso-spatico | argillite: scistoso | Formazione del Stgir | Sinemuriano | Pliensbachiano |
| 15202372 | Inferno-Fm.: Oberer Teil: Runcaleida-Sch. | arenaria: quarzo | calcare: bioclasti | argillite: scistoso | Strai di Runcaldeida | Pliensbachiano | Toarciano |
| 15202373 | Inferno-Fm.: Unterer Teil: Riein-Sch. | calcare: sabbioso | – | – | Strati di Riein | Pliensbachiano | Pliensbachiano |

| Code | GMU | Litho principale | Litho secondaire | Litho tertiaire | Formation | Chrono base | Chrono top |
|---|---|---|---|---|---|---|---|
| 15202374 | Meierhof-Phyllit | fillite | scisto: sericite | – | Fillite di Meierhof | Permiano | Permiano |
| 15202375 | Waltensburg-Verrucano | riolite | arenaria | conglomerato | Verrucano di Waltensburg | Permiano | Permiano |
| 15202376 | Ruinas Sandstein | arenaria | riolite | argillite | Arenaria di Ruinas | Permiano | Permiano |
| 15202377 | Niederhorn-Fm.: Hohgant-Sandstein: Berglikehle-Bk. | calcare: bitume | marna: carbone | – | Strato della Berglikehle | Priaboniano | Priaboniano |
| 15202378 | Rossplatten-Diorit | diorite | granito | – | Diorite di Rossplatten | Pennsylvaniano | Pennsylvaniano |
| 15202379 | Schöllenen-Diorit | diorite | – | – | Diorite della Schöllenen | Pennsylvaniano medio | Pennsylvaniano superiore |
| 15202380 | Amden-Fm.: Leist-Mergel: Grotzen-Austernbank | calcare: siltoso: bioclasti | – | – | Strato a ostriche di Grotzen | Santoniano | Campaniano |
| 15202381 | Tierwis-Fm.: Hurst-Mergel | marna | calcare: marnoso | – | Marna del Hurst | Barremiano | Barremiano |
| 15202382 | Helvetischer Kieselkalk: Palis-Bk. | calcare: spatico: echinodermi | calcare: siliceo | – | Strato di Palis | Valanginiano | Hauteriviano |
| 15202383 | Öhrli-Fm.: Oberer-Öhrlikalk | calcare: bioclasti-ooidi | calcare: spatico | – | «Oberer Öhrlikalk» | Berriasiano | Valanginiano |
| 15202384 | Öhrli-Fm.: Oberer-Öhrlimergel | marna: calcareo: bioclasti | – | – | «Oberer Öhrlimergel» | Berriasiano | Berriasiano |
| 15202385 | Öhrli-Fm.: Unterer-Öhrlikalk | calcare: sabbioso | – | – | «Unterer Öhrlikalk» | Berriasiano | Berriasiano |

| Code | GMU | Litho principale | Litho secondaire | Litho tertiaire | Formation | Chrono base | Chrono top |
|---|---|---|---|---|---|---|---|
| 15202386 | Spitzmeilen-Fm.: Oberer Teil | calcare: sabbioso-spatico | calcare: siliceo | arenaria: calcareo | Formazione del Spitzmeilen | Sinemuriano | Pliensbachiano |
| 15202387 | Spitzmeilen-Fm.: Unterer Teil | arenaria: quarzo | arenaria: calcareo | calcare: sabbioso: ooidi di ferro | Formazione del Spitzmeilen | Sinemuriano | Sinemuriano |
| 15202388 | Spitzmeilen-Fm.: Basaler Teil | arenaria: quarzo | argillite: scistoso | – | Formazione del Spitzmeilen | Sinemuriano | Sinemuriano |
| 15202389 | Prodkamm-Fm.: Oberer Teil | argillite: scistoso | arenaria: calcareo | arenaria: quarzo | Formazione del Prodkamm | Sinemuriano | Sinemuriano |
| 15202390 | Prodkamm-Fm.: Mittlerer Teil | argillite: scistoso | arenaria: calcareo | calcare: sabbioso | Formazione del Prodkamm | Sinemuriano | Sinemuriano |
| 15202391 | Prodkamm-Fm.: Unterer Teil | calcare: ooidi | marna | calcare: bioclasti | Formazione del Prodkamm | Sinemuriano | Sinemuriano |
| 15202392 | Sandpass-Fm. | scisto | fillite | – | Formazione del Sandpass | Artinskiano | Artinskiano |
| 15202393 | Sanetsch-Fm.: Diablerets-Mb.: Roc-Champion-Konglomerat | conglomerato | – | – | Conglomerato del Roc Champion | Priaboniano | Priaboniano |
| 15202394 | Stad-Fm.: Spirstock-Mb. | arenaria: quarzo | marna | – | Membro del Spirstock | Priaboniano | Priaboniano |
| 15202395 | Seewen-Fm.: Roter-Seewer-Kalk | calcare: micritico | – | – | «Roter Seewenkalk» | Turoniano | Turoniano |
| 15202396 | Seewen-Fm.: Untere Götzis-Bk. | arenaria: glauconite | – | – | Strato di Götzis inferiore | Cenomaniano | Turoniano |

| Code | GMU | Litho principale | Litho secondaire | Litho tertiaire | Formation | Chrono base | Chrono top |
|---|---|---|---|---|---|---|---|
| 15202397 | Garschella-Fm.: Grünten-Mb.: Col-de-la-Plaine-Morte-Bk. | arenaria: marnoso: glauconite | – | – | Strato del Col de la Plaine Morte | Aptiano | Aptiano |
| 15202398 | Betlis-Fm.: Oberer Teil | calcare: bioclasti-selce | – | – | «Oberer Betliskalk» | Valanginiano | Valanginiano |
| 15202399 | Betlis-Fm.: Unterer Teil | calcare: sabbioso: bioclasti | calcare: spatico | – | «Unterer Betliskalk» | Valanginiano | Valanginiano |
| 15202400 | Bommerstein-Fm.: Vättis-Brekzie | calcare: spatico: bioclasti | calcare: glauconite | – | Brecia di Vättis | Toarciano | Toarciano |
| 15202401 | Inferno-Fm.: Oberer Teil | scisto: calcareo: zoisite | calcare: spatico: echinodermi | – | Formazione d'Inferno | Pliensbachiano | Toarciano |
| 15202402 | Inferno-Fm.: Mittlerer Teil | scisto: zoisite | marna: bioclasti | – | Formazione d'Inferno | Pliensbachiano | Toarciano |
| 15202403 | Inferno-Fm.: Unterer Teil | calcare | scisto: zoisite | marna: bioclasti | Formazione d'Inferno | Pliensbachiano | Toarciano |
| 15202404 | Sexmor-Fm.: Oberer Teil | calcare: siliceo | calcare: spatico | calcare: sabbioso | Formazione del Sexmor | Pliensbachiano | Pliensbachiano |
| 15202405 | Sexmor-Fm.: Unterer Teil | marna: calcareo | calcare: siliceo | calcare: spatico: bioclasti | Formazione del Sexmor | Pliensbachiano | Pliensbachiano |
| 15202406 | Prodkamm-Fm.: Unterer Teil: Leitoolith | calcare: bioclasti-ooidi | – | – | «Leitoolith» (Fm. del Prodkamm) | Sinemuriano | Sinemuriano |
| 15202407 | Punteglias-Granit: Posta-Biala-Granit | granito | – | – | Granito della Posta Biala | Mississippiano medio | Mississippiano medio |

| Code | GMU | Litho principale | Litho secondaire | Litho tertiaire | Formation | Chrono base | Chrono top |
|---|---|---|---|---|---|---|---|
| 15202409 | Punteglias-Granit: Val-Punteglias-Diorit | diorite: biotite-orneblenda | diorite: monzonitico | monzonite: quarzo | Diorite della Val Punteglias | Viseano | Viseano |
| 15202411 | Stad-Fm.: Lochegg-Brekzie | breccia: calcareo: bioclasti | – | – | Breccia della Lochegg | Eocene | Eocene |
| 15202412 | Zementstein-Fm.: Oberer Teil | marna: scistoso | calcare: micritico | – | Formazione del Zemenstein | Berriasiano | Berriasiano |
| 15202413 | Zementstein-Fm.: Unterer Teil | marna | calcare: marnoso | – | Formazione del Zemenstein | Berriasiano | Berriasiano |
| 15202414 | Bommerstein-Fm.: Glockhaus-Mb.: Roter Echinodermenkalk | calcare: spatico: bioclasti | – | – | «Rote Echinodermenbrekzie» (Fm. del Bommerstein) | Aaleniano | Bajociano |
| 15202415 | Bommerstein-Fm.: Glockhaus-Mb.: Obere Tonschiefer | argillite: scistoso | marna: siltoso-scistoso | – | «Obere Tonschiefer» (Fm. del Bommerstein) | Aaleniano | Bajociano |
| 15202416 | Bommerstein-Fm.: Glockhaus-Mb. | arenaria: quarzo | calcare: sabbioso: bioclasti | argillite | Membro del Glockhaus | Aaleniano | Bajociano |
| 15202417 | Coroi-Fm.: Basaler Quarzit | arenaria: quarzo | – | – | «Quarzite basale» (Fm. del Coroi) | Aaleniano | Aaleniano |
| 15202354 | Paradis-Gneiskomplex: Corandoni-Amphibolit | anfibolite | scisto: orneblenda | gneiss | Anfibolite di Corandoni | Proterozoico | Cambriano |

| Code | GMU | Litho principale | Litho secondaire | Litho tertiaire | Formation | Chrono base | Chrono top |
|---|---|---|---|---|---|---|---|
| 15202355 | Tavetsch-Decke: Prävariszisches polyzyklisches Grundgebirge | gneiss | migmatite | anfibolite | – | Proterozoico | Paleozoico |
| 15202356 | Rueras-Gneiskomplex | gneiss: muscovite | – | – | Complesso gneissico di Rueras | Proterozoico | Paleozoico |
| 15202357 | Aiguilles-Rouges-Massiv: Prä- und frühvariszische Sedimente und Vulkanite | roccia: sedimentario | roccia: vulcanico | – | – | Mississippiano | Mississippiano |
| 15202358 | Vernayaz-Fm.: Salvan-Mb.: Au-d'Arbignon-Schiefer | argillite: scistoso: antracite | – | – | Scisti del Au d'Arbignon | Pennsylvaniano | Pennsylvaniano |
| 15202359 | Vernayaz-Fm.: Salvan-Mb.: Dorénaz-Konglomerat | conglomerato | – | – | Conglomerato di Dorénaz | Pennsylvaniano | Pennsylvaniano |
| 15202360 | Wildflysch | argillite | – | – | – | Paleogene | Paleogene |
| 15202361 | Plaine-Morte-Melange | marna | arenaria | – | Mélange della Plaine Morte | Cretaceo superiore | Cenozoico |
| 15202362 | Mättental-Melange | argillite | marna | arenaria | Mélange del Mättental | Priaboniano | Rupeliano |
| 15202363 | Meilleret-Fm.: Höchst-Flysch | arenaria | – | – | Flysch del Höchst | Eocene medio | Priaboniano |
| 15202364 | Kiental-Melange | argillite | arenaria | – | Mélange del Kiental | Cretaceo superiore | Cretaceo superiore |
| 15202365 | Termen-Zone: Tonschiefer | scisto: mica-granato | – | – | – | Pliensbachiano | Toarciano |

| Code | GMU | Litho principale | Litho secondaire | Litho tertiaire | Formation | Chrono base | Chrono top |
|---|---|---|---|---|---|---|---|
| 15202366 | Termen-Zone: Kalkschiefer | scisto: calcareo | marmo: calcareo | – | – | Retico | Pliensbachiano |
| 15202367 | Nufenen-Zone: Knotenschiefer | scisto: calcareo: zoisite | marmo: calcareo | – | – | Pliensbachiano | Pliensbachiano |
| 15202368 | Nufenen-Zone: Sandstein | arenaria: quarzo | scisto: argilloso-calcareo | – | – | Sinemuriano | Sinemuriano |
| 15202369 | Nufenen-Zone: Granatschiefer | scisto: mica-granato | – | – | – | Retico | Sinemuriano |
| 15202370 | Stgir-Fm.: Unterer Teil | argillite: scistoso | calcare: bioclasti | calcare: sabbioso | Formazione del Stgir | Retico | Sinemuriano |
| 15203073 | Gibel-Fm.: Musenalp-Mb. | calcare: spatico: selce | calcare: ooidi | – | Membro della Musenalp | Batoniano | Batoniano |
| 15203074 | Stanserhorn-Fm. | marna | calcare: siliceo | – | Formazione del Stanserhorn | Toarciano | Bajociano |
| 15203075 | Stanserhorn-Fm.: Zoophycos-Sch. | marna | calcare: siliceo | – | «Strati a Zoophycos» (Fm. del Stanserhorn) | Aaleniano | Bajociano |
| 15203076 | Stanserhorn-Fm.: Spis-Kalk | calcare: oncoidi | calcare: bioclasti | calcare: mineri di ferro | Calcare della Spis | Toarciano | Toarciano |
| 15203077 | Stanserhorn-Fm.: Posidonienschiefer | argillite: scistoso: bitume | marna | calcare | «Scisti a Posidonia» (Fm. del Stanserhorn) | Toarciano | Toarciano |
| 15203078 | Obflue-Fm. | calcare: siliceo | marna: glauconite | – | Formazione del Obflue | Pliensbachiano | Pliensbachiano |
| 15203079 | Brand-Fm. | calcare: spatico: bioclasti-selce | marna | – | Formazione di Brand | Sinemuriano | Sinemuriano |
| 15203080 | Horngraben-Fm. | calcare: sabbioso | marna: bioclasti | breccia | Formazione del Horngraben | Hettangiano | Hettangiano |
| 15203081 | Lückengraben-Fm. | calcare: dolomitico | calcare: spatico | marna | Formazione del Lückengraben | Retico | Retico |

| Code | GMU | Litho principale | Litho secondaire | Litho tertiaire | Formation | Chrono base | Chrono top |
|---|---|---|---|---|---|---|---|
| 15203082 | Dorfflüe-Fm. | calcare: micritico | – | – | Formazione della Dorfflüe | Oxfordiano | Berriasiano |
| 15203083 | Dorfflüe-Fm.: Gummfluh-Mikrofazies | calcare: arenitico: bioclasti | – | – | Microfacies della Gummfluh | Giurassico superiore | Giurassico superiore |
| 15203084 | Dorfflüe-Fm.: Pfad-Mikrofazies | calcare: bioclasti | – | – | Microfacies di Pfad | Giurassico superiore | Giurassico superiore |
| 15203085 | Dorfflüe-Fm.: Rindenkorn-Mikrofazies | calcare: oncoidi | – | – | Microfacies a Rindenkorn | Giurassico superiore | Giurassico superiore |
| 15203086 | Dorfflüe-Fm.: Gastlosen-Oolith | calcare: ooidi | – | – | Oolite delle Gastlosen | Giurassico superiore | Giurassico superiore |
| 15203087 | Dorfflüe-Fm.: Wandfluh-Mikrofazies | calcare: micritico: bioclasti | calcare: ooidi | – | Microfacies della Wandfluh | Giurassico superiore | Giurassico superiore |
| 15203088 | Mytilus-Sch. | marna: sabbioso: carbone | calcare: sabbioso: bioclasti | conglomerato | Strati a Mytilus | Aaleniano | Calloviano |
| 15203089 | Mytilus-Sch.: Col-de-Cordon-Mb. | calcare: sabbioso | calcare: arenitico | conglomerato | Membro del Col de Cordon | Batoniano | Calloviano |
| 15203090 | Mytilus-Sch.: Col-de-Cordon-Mb.: Klus-Konglomerat | calcare: sabbioso: bioclasti | – | – | Conglomerato della Klus | Batoniano | Calloviano |
| 15203091 | Mytilus-Sch.: Col-de-Cordon-Mb.: Holzerhorn-Einheit | marna: sabbioso: carbone | calcare: sabbioso: bioclasti | conglomerato | Unità dell Holzerhorn | Aaleniano | Calloviano |

| Code | GMU | Litho principale | Litho secondaire | Litho tertiaire | Formation | Chrono base | Chrono top |
|---|---|---|---|---|---|---|---|
| 15203092 | Mytilus-Sch.: Rubli-Mb. | calcare: marnoso: bioclasti | calcare: micritico: oncoidi | – | Membro del Rubli | Bajociano | Calloviano |
| 15203093 | Mytilus-Sch.: Chavanette-Mb. | conglomerato | marna: sabbioso: carbone | – | Membro di Chavanette | Aaleniano | Bajociano |
| 15203094 | Pralet-Fm.: Erpilles-Mb. | dolomia | breccia: dolomitico | marna: scistoso | Membro delle Erpilles | Ladinico | Ladinico |
| 15203095 | Wiriehorn-Fm. | calcare | dolomia | – | Formazione del Wiriehorn | Anisico | Anisico |
| 15203096 | St-Triphon-Fm. | calcare | dolomia | argillite | Formazione di St-Triphon | Olenekiano | Anisico |
| 15203097 | St-Triphon-Fm.: Andonces-Mb. | calcare | calcare: stromatolitico | argillite | Membro delle Andonces | Anisico | Anisico |
| 15203098 | St-Triphon-Fm.: Lessus-Mb. | calcare | – | – | Membro del Lessus | Anisico | Anisico |
| 15203099 | St-Triphon-Fm.: Dorchaux-Mb. | dolomia: stromatolitico | argillite | – | Membro di Dorchaux | Olenekiano | Anisico |
| 15203100 | Mattes-Melange | argillite | siltite | arenaria | Mélange delle Mattes | Priaboniano | Priaboniano |
| 15203101 | Chumi-Fm. | marna: calcareo | arenaria | breccia: polimittico | Formazione della Chumi | Ypresiano | Eocene medio |
| 15203102 | Joux-Verte-Fm. | marna | calcare: siliceo: glauconite | – | Formazione della Joux Verte | Barremiano | Turoniano |
| 15203103 | Bonave-Fm. | calcare: micritico: selce | calcare: arenitico | breccia | Formazione di Bonave | Titoniano | Valanginiano |
| 15203104 | Obere Brekzie | calcare: micritico | breccia: calcareo | – | «Brèche Supérieure» (Falda della Breccia) | Kimmeridgiano | Titoniano |
| 15203105 | Obere Schiefer | 15111110 | calcare: arenitico | – | «Schistes Ardoisiers» (Falda della Breccia) | Calloviano | Oxfordiano |

| Code | GMU | Litho principale | Litho secondaire | Litho tertiaire | Formation | Chrono base | Chrono top |
|---|---|---|---|---|---|---|---|
| 15203106 | Untere Brekzie | breccia: polimittico | breccia: dolomitico | – | «Brèche Inférieure» (Falda della Breccia) | Aaleniano | Calloviano |
| 15203107 | Untere Schiefer | argillite: sabbioso-scistoso | calcare: spatico | breccia | «Schistes Inférieurs» (Falda della Breccia) | Sinemuriano | Aaleniano |
| 15203108 | Untere Schiefer: Untere Kalke | calcare: spatico: selce | – | – | «Calcaires Inférieurs» (Falda della Breccia) | Sinemuriano | Sinemuriano |
| 15203109 | Brekzien-Decke: Trias | dolomia | pelite | calcare: bioclasti | – | Triassico superiore | Triassico superiore |
| 15203110 | Gurnigel-Flysch undiff. | arenaria | marna | – | – | Maastrichtiano | Paleocene |
| 15203111 | Gurnigel-Flysch: Flysch-4 | marna: argilloso | arenaria: calcareo | arenaria: siliceo | «Flysch 4, à turbidites silteuses» | Luteziano | Luteziano |
| 15203112 | Gurnigel-Flysch: Flysch-3b | marna | arenaria: calcareo: bioclasti | – | «Flysch 3b, à turbidites bioclastiques» | Ypresiano | Ypresiano |
| 15203113 | Gurnigel-Flysch: Flysch-3a | marna | arenaria: calcareo | – | «Flysch 3a, marno-gréseux» | Ypresiano | Ypresiano |
| 15203114 | Gurnigel-Flysch: Flysch-2b | arenaria: siliceo | arenaria: glauconite | marna | «Flysch 2b, à turbidites siliceuses» | Thanetiano | Thanetiano |
| 15203115 | Gurnigel-Flysch: Flysch-2a | argillite | arenaria: glauconite | – | «Flysch 2a, argilo-gréseux» | Daniano | Daniano |
| 15203116 | Gurnigel-Flysch: Hellstätt-Fm. | argillite | calcare: siltoso-argilloso | arenaria | Formazione di Hellstätt | Maastrichtiano | Maastrichtiano |

| Code | GMU | Litho principale | Litho secondaire | Litho tertiaire | Formation | Chrono base | Chrono top |
|---|---|---|---|---|---|---|---|
| 15203117 | Schlieren-Flysch undiff. | arenaria | siltite | – | – | Maastrichtiano | Ypresiano |
| 15203118 | Schlieren-Flysch: Schlieren-Sandstein | arenaria: calcareo: nummuliti | siltite | argillite | Arenaria delle Schlieren | Ypresiano | Ypresiano |
| 15203119 | Schlieren-Flysch: Schoni-Sandstein | arenaria: calcareo: nummuliti | siltite | argillite | Arenaria della Schoni | Ypresiano | Ypresiano |
| 15203056 | Vudalla-Fm. | calcare: micritico | calcare: ooidi | – | Formazione della Vudalla | Hettangiano | Hettangiano |
| 15203057 | Vudalla-Fm.: Bois-de-Luan-Mb. | calcare: micritico | calcare: sabbioso: bioclasti | marna | Membro del Bois de Luan | Hettangiano | Hettangiano |
| 15203058 | Vudalla-Fm.: Agreblierai-Mb. | calcare: ooidi | – | – | Membro di Agreblierai | Hettangiano | Hettangiano |
| 15203059 | Col-de-Tompey-Fm. | marna: dolomitico | arenaria: calcareo: glauconite | – | Formazione del Col de Tompey | Retico | Hettangiano |
| 15203060 | Plan-Falcon-Fm. | marna: scistoso | calcare: marnoso-dolomitico | calcare: bioclasti-ooidi | Formazione di Plan Falcon | Retico | Retico |
| 15203061 | Dolomies Blondes | dolomia | argillite | marna: dolomitico | «Dolomies Blondes» | Norico | Norico |
| 15203062 | Clôt-la-Cime-Fm. | dolomia | evaporite: gesso | breccia | Formazione di Clôt-la-Cime | Carnico | Carnico |
| 15203066 | Griggeli-Fm. | calcare: siliceo | marna | – | Formazione del Griggeli | Calloviano | Oxfordiano |
| 15203067 | Griggeli-Fm.: Mythen-Kieselkalk | calcare: siliceo | marna | calcare: spatico | Calcare siliceo delle Mythen | Calloviano | Oxfordiano |

| Code | GMU | Litho principale | Litho secondaire | Litho tertiaire | Formation | Chrono base | Chrono top |
|---|---|---|---|---|---|---|---|
| 15203068 | Griggeli-Fm.: Griggeli-Bk. | calcare: spatico: bioclasti | – | – | «Strato del Griggeli» | Calloviano | Calloviano |
| 15203069 | Gibel-Fm. | calcare: siliceo-spatico | – | – | Formazione di Gibel | Batoniano | Calloviano |
| 15203070 | Gibel-Fm.: Rämsi-Mb. | breccia: dolomitico | calcare: corali | – | Membro di Rämsi | Batoniano | Batoniano |
| 15203071 | Gibel-Fm.: Gibel-Mb. | calcare: sabbioso: bioclasti | conglomerato | calcare: spatico: bioclasti | «Membro di Gibel» | Batoniano | Batoniano |
| 15203072 | Gibel-Fm.: Steinberg-Konglomerat | conglomerato | – | – | Conglomerato del Steinberg | Batoniano | Batoniano |
| 15204058 | Vallatscha-Fm.: Landwasser-Mb. | dolomia | – | – | Membro della Landwasser | Ladinico | Ladinico |
| 15204059 | S-charl-Fm. | dolomia | calcare | – | Formazione di S-charl | Anisico | Ladinico |
| 15204060 | S-charl-Fm.: Sertig-Mb. | calcare | calcare: ooidi | – | Membro del Sertig | Anisico | Ladinico |
| 15204061 | S-charl-Fm.: Ravais-ch-Mb. | dolomia | arenaria | cargnola | Membro di Ravais-ch | Anisico | Ladinico |
| 15204062 | Reiflingen-Fm. | calcare: micritico | calcare: spatico: bioclasti | tufite | Formazione di Reifling | Anisico | Ladinico |
| 15204063 | Ducan-Fm. | dolomia | dolomia: sabbioso | arenaria | Formazione del Piz Ducan | Anisico | Anisico |
| 15204064 | Ducan-Fm.: Trochitendolomit | dolomia: spatico: bioclasti | – | – | «Trochitendolomit-Member» | Anisico | Anisico |
| 15204065 | Ducan-Fm.: Brachiopodenkalk | calcare: bioclasti-selce | calcare: siltoso-argilloso | – | «Brachiopodenkalk-Member» | Anisico | Anisico |

| Code | GMU | Litho principale | Litho secondaire | Litho tertiaire | Formation | Chrono base | Chrono top |
|---|---|---|---|---|---|---|---|
| 15204066 | Ducan-Fm.: Eisendolomit-Mb. | dolomia: bioclasti | – | – | «Eisendolomit-Member» | Anisico | Anisico |
| 15204067 | Ducan-Fm.: Gracilis-Mb. | dolomia: sabbioso-siltoso | dolomia: stromatolitico | – | «Membro a Gracilis» | Anisico | Anisico |
| 15204068 | Gutenstein-Fm. | calcare | dolomia: spatico | – | Formazione di Gutenstein | Anisico | Ladinico |
| 15204069 | Reichenhall-Fm. | cargnola: sabbioso | dolomia | breccia: dolomitico | Formazione di Reichenhall | Olenekiano | Anisico |
| 15204070 | Fuorn-Fm. | arenaria: quarzo | siltite | dolomia | Formazione del Fuorn | Triassico inferiore | Anisico |
| 15204071 | Fuorn-Fm.: Punt-la-Drossa-Mb. | arenaria: calcareo | dolomia | cargnola | Membro di Punt la Rossa | Triassico inferiore | Anisico |
| 15204072 | Fuorn-Fm.: Pflanzenquarzit | arenaria: quarzo | – | – | «Pflanzenquarzit» | Triassico inferiore | Anisico |
| 15204073 | Fuorn-Fm.: Unterer Teil | arenaria: calcareo | siltite | – | Formazione del Fuorn | Triassico inferiore | Triassico inferiore |
| 15204074 | Ruina- und Chazfora-Fm. | conglomerato | arenaria | riolite | – | Cisuraliano | Triassico inferiore |
| 15204075 | Chazforà-Fm. | conglomerato | arenaria | siltite | Formazione di Chazforà | Lopingiano | Triassico inferiore |
| 15204076 | Chazforà-Fm.: Tuors-Mb. | arenaria | conglomerato: quarzo | – | Membro della Val Tuors | Triassico inferiore | Triassico inferiore |
| 15204077 | Chazforà-Fm.: Val-Püra-Mb. | breccia | – | – | Membro della Val Püra | Lopingiano | Lopingiano |
| 15204078 | Präbichl-Fm. | conglomerato: polimittico | arenaria: argilloso: litoclasti | argillite: scistoso | Formazione di Präbichl | Permiano | Triassico inferiore |
| 15204079 | Ruina-Fm. | riolite | dacite: riolitico | tufo: vulcanico | Formazione della Val Ruina | Cisuraliano | Cisuraliano |
| 15204080 | Ruina-Fm.: Sandhubel-Mb. | ignimbrite | tufo: vulcanico | – | Membro del Sanhubel | Cisuraliano | Cisuraliano |

| Code | GMU | Litho principale | Litho secondaire | Litho tertiaire | Formation | Chrono base | Chrono top |
|---|---|---|---|---|---|---|---|
| 15204081 | Ruina-Fm.: Bellaluna-Mb. | riolite | dacite: riolitico | – | Membro di Bellaluna | Cisuraliano | Cisuraliano |
| 15204082 | Mönchalp-Augengneis | gneiss: magmatico-occhiadino: cordierite | – | – | Gneiss occhiadino della Mönchalp | Proterozoico | Cambriano |
| 15204083 | Tschuggen-Augengneis | gneiss: occhiadino | – | – | Gneiss occhiadino di Tschuggen | Ordoviciano | Ordoviciano |
| 15204084 | Güstizia-Gneis | gneiss: muscovite | – | – | Gneiss della Güstizia | Ordoviciano | Ordoviciano |
| 15204085 | Plasseggen-Augengneis | gneiss: occhiadino | granito | diorite: quarzo | Gneiss occhiadino del Plasseggen | Proterozoico | Paleozoico |
| 15204086 | Ostalpin: Trias | dolomia | cargnola | pelite | – | Triassico | Triassico |
| 15204087 | Ostalpin: Dogger | breccia: polimittico | arenaria | argillite | – | Giurassico inferiore | Giurassico medio |
| 15204088 | Ostalpin: Radiolarit-Aptychenkalk | roccia: siliceo: radiolari | calcare: micritico: aptici | – | – | Giurassico medio | Giurassico superiore |
| 15204089 | Ostalpin: Kreide | calcare | pelite | breccia | – | Cretaceo | Cretaceo |
| 15204090 | Ostalpin: Lias | calcare | arenaria | marna | – | Carbonifero | Permiano |
| 15204091 | Ostalpin: Grundgebirge | gneiss | scisto | anfibolite | – | Proterozoico | Permiano |
| 15204092 | Nair-Porphyroid | riolite | dacite: riolitico | – | Porfiroido del Piz Nair | Carbonifero | Carbonifero |
| 15204093 | Lavatèra-Brekzie | breccia: riolitico | scisto: quarzo-mica | – | Breccia di Lavatèra | Proterozoico | Paleozoico |
| 15204094 | Varaina-Schiefer | andesite | scisto: clorite | – | Scisto di Varaina | Carbonifero | Carbonifero |
| 15204095 | Sprenkel-Schiefer | dacite: riolitico | tufite | – | «Sprenkelschiefer» | Carbonifero | Carbonifero |

| Code | GMU | Litho principale | Litho secondaire | Litho tertiaire | Formation | Chrono base | Chrono top |
|---|---|---|---|---|---|---|---|
| 15204096 | Maloja-Teildecke: Fedoz-Gneiskomplex | gneiss: a bande: granato | scisto | marmo: calcareo | Complesso gneissico di Fedoz | Proterozoico | Paleozoico inferiore |
| 15204097 | Maloja-Teildecke: Fedoz-Metagabbro | gabbro | scisto: clorite | – | Metaggabro di Fedoz | Guadalupiano | Guadalupiano |
| 15204098 | Maloja-Teildecke: Maloja-Orthogneis | gneiss: magmatico | – | – | Ortogneiss del Maloja | Paleozoico superiore | Paleozoico superiore |
| 15204099 | Maloja-Teildecke: Maloja-Gneiskomplex | scisto: mica-chloritoido | scisto: mica-granato | gneiss: anfibolo | Complesso gneissico del Maloja | Proterozoico | Paleozoico |
| 15204100 | Ur-Brekzie | breccia: tettonico | serpentinite: brecciato: carbonato | – | Breccia del Passo d'Ur | Paleozoico | Mesozoico |
| 15204101 | Tschima-da-Flix-Granit | granito: porfirico | – | – | Granito della Tschima da Flix | Carbonifero | Carbonifero |
| 15204102 | Err-Granodiorit | granodiorite | – | – | Granodiorite del Piz Err | Carbonifero | Permiano |
| 15204103 | Ostalpin: Postvariszische Diabasgänge | gabbro: microcristallino | – | – | – | Permiano | Permiano |
| 15204104 | Flüela-Augengneis | gneiss: occhiadino | granito: porfirico | – | Gneiss occhiadino della Flüela | Ordoviciano | Ordoviciano |
| 15204105 | Dorfberg-Gneis | gneiss | – | – | Gneiss del Dorfberg | Proterozoico | Paleozoico |
| 15204106 | Allgäu-Fm.: Alpisella-Mb.: Chaschauna-Brekzie | breccia: calcareo: bioclasti | – | – | Breccia del Piz Chaschauna | Giurassico inferiore | Giurassico inferiore |

| Code | GMU | Litho principale | Litho secondaire | Litho tertiaire | Formation | Chrono base | Chrono top |
|---|---|---|---|---|---|---|---|
| 15204047 | Mingèr-Fm.: Mora-Mb. | cargnola | argillite: scistoso | dolomia | Membro della Val Mora | Ladinico | Carnico |
| 15204048 | Garone-Fm. | cargnola | argillite | dolomia | Formazione del Monte Garone | Ladinico | Ladinico |
| 15204049 | Arlberg-Fm. | calcare | argillite | dolomia | Formazione dell'Arlberg | Ladinico | Carnico |
| 15204050 | Partnach-Fm. | marna: scistoso | 15111110 | – | Formazione della Partnach | Ladinico | Ladinico |
| 15204051 | Altein-Fm. | dolomia | calcare: selce | argillite | Formazione dell'Altein | Ladinico | Ladinico |
| 15204052 | Altein-Fm.: Parai-Alba-Mb. | dolomia: micritico | argillite | tufo: vulcanico | Membro della Parai Alba | Ladinico | Ladinico |
| 15204053 | Prosanto-Fm. | calcare: bitume | dolomia | argillite | Formazione del Piz Prosanto | Ladinico | Ladinico |
| 15204054 | Vallatscha-Fm. | dolomia: stromatolitico | breccia: dolomitico | – | Formazione del Piz Vallatscha | Ladinico | Ladinico |
| 15204055 | Vallatscha-Fm.: Tiaun-Brekzie | breccia | – | – | Breccia del Tiaun | Ladinico | Ladinico |
| 15204056 | Vallatscha-Fm.: Dolomit | dolomia | – | – | Formazione del Piz Vallatscha | Ladinico | Ladinico |
| 15204057 | Vallatscha-Fm.: Turettas-Mb. | dolomia: bitume | dolomia: ooidi | cargnola | Membro del Piz Turettas | Ladinico | Ladinico |
| 15203134 | Fouyet-Fm. | argillite | calcare: argilloso-scistoso | calcare: sabbioso | Formazione del Fouyet | Albiano | Turoniano |
| 15203135 | Tissota-Melange: Gueyraz-Komplex: Foraminiferenschichten | calcare: argilloso-scistoso | marna: scistoso | – | «Strati a Foraminiferi» (Mélange della Tissota) | Barremiano | Cenomaniano |
| 15203136 | Tissota-Melange: Gueyraz-Komplex: Aptychenkalk | calcare: micritico: aptici | – | – | «Calcare ad Aptichi» (Mélange della Tissota) | Titoniano | Barremiano |

| Code | GMU | Litho principale | Litho secondaire | Litho tertiaire | Formation | Chrono base | Chrono top |
|---|---|---|---|---|---|---|---|
| 15203137 | Tissota-Melange: Gueyraz-Komplex: Radiolarit | roccia: siliceo: radiolari | – | – | «Radiolarite» (Mélange della Tissota) | Batoniano | Kimmeridgiano |
| 15203138 | Tissota-Melange: Gueyraz-Komplex: Filamentkalk | calcare: bioclasti | marna | – | «Calcare a Filamenti» (Mélange della Tissota) | Aaleniano | Calloviano |
| 15203139 | Tissota-Melange: Gueyraz-Komplex: Spatkalk | calcare: spatico | – | – | «Calcare Spatico» (Mélange della Tissota) | Giurassico inferiore | Giurassico inferiore |
| 15203140 | Hundsrügg-Fm. | arenaria: mica | conglomerato | – | Formazione del Hundsrügg | Coniaciano | Campaniano |
| 15203141 | Perrières-Fm. | argillite | calcare: micritico | arenaria | Formazione delle Perrières | Turoniano | Coniaciano |
| 15203142 | Rhenodanubischer Flysch | arenaria | pelite | – | – | Cretaceo inferiore | Cretaceo superiore |
| 15203143 | Vorarlberg-Flysch | arenaria | pelite | calcare | – | Cretaceo superiore | Cretaceo superiore |
| 15203144 | Fanola-Fm. | argillite: sabbioso-marnoso | breccia: polimittico | arenaria: quarzo | Formazione di Fanola | Maastrichtiano | Maastrichtiano |
| 15203145 | Planknerbrücke-Fm. | arenaria | argillite | calcare: micritico | Formazione del Planknerbrücke | Campaniano | Maastrichtiano |
| 15203146 | Planken-Fm. | calcare: micritico | calcare: siltoso | marna | Formazione di Planken | Coniaciano | Santoniano |
| 15203147 | Reiselsberg-Fm. | arenaria | argillite | – | Formazione del Reiselsberg | Turoniano | Turoniano |
| 15203148 | Reiselsberg-Fm.: Basaler Teil | calcare: marnoso | argillite | arenaria: mica | Formazione del Reiselsberg | Turoniano | Turoniano |

| Code | GMU | Litho principale | Litho secondaire | Litho tertiaire | Formation | Chrono base | Chrono top |
|---|---|---|---|---|---|---|---|
| 15203149 | Liechtenstein-Flysch | calcare: siliceo: glauconite | argillite | – | – | Cretaceo inferiore | Paleogene |
| 15203150 | Triesen-Fm. | calcare: siliceo | argillite | breccia: polimittico | Formazione di Triesen | Maastrichtiano | Ypresiano |
| 15203151 | Vaduz-Flysch | calcare: siliceo: glauconite | marna | arenaria | – | Turoniano | Maastrichtiano |
| 15203152 | Eichholztobel-Fm. | calcare: siliceo: glauconite | marna | – | Formazione del Eichholztobel | Coniaciano | Santoniano |
| 15203153 | Schloss-Fm. | arenaria: glauconite | calcare: siliceo: glauconite | – | Formazione del Schloss | Turoniano | Turoniano |
| 15203154 | Gaschlo-Fm. | arenaria: quarzo | calcare: siliceo: glauconite | marna | Formazione di Gaschlo | Coniaciano | Maastrichtiano |
| 15203155 | Leimern-Sch.: Kalkige-Fazies | calcare: micritico | marna: calcareo | – | Strati della Leimern | Coniaciano | Santoniano |
| 15203156 | Pierre-Avoi-Melange | scisto: argilloso | scisto: calcareo | breccia | Mélange della Pierre Avoi | Eocene medio | Rupeliano |
| 15203157 | St-Christophe-Fm. | scisto: calcareo-siliceo | calcare: sabbioso: mica | scisto | Formazione di St-Christophe | Cretaceo superiore | Cretaceo superiore |
| 15203158 | Marmontains-Fm. | scisto: argilloso-siliceo: bitume | quarzite | – | Formazione dei Marmontains | Aptiano | Cenomaniano |
| 15203159 | Aroley-Fm. | calcare: sabbioso | breccia: calcareo | – | Formazione del Aroley | Barremiano | Aptiano |
| 15203160 | Peula-Sch. | scisto: argilloso | scisto: calcareo | quarzite | Strati della Peula | Cretaceo inferiore | Cretaceo inferiore |
| 15203161 | Versoyen-Sch. | basalto | gabbro | scisto | Strati del Versoyen | Cretaceo | Cretaceo |
| 15203162 | Prättigau-Schiefer | scisto | – | – | – | Valanginiano | Ypresiano |
| 15203163 | Ruchberg-Fm. | arenaria: feldspato | scisto: argilloso | breccia: polimittico | Formazione del Ruchberg | Ypresiano | Ypresiano |
| 15203164 | Oberälpli-Fm. | argillite: scistoso | calcare: sabbioso-siliceo | arenaria: quarzo-glauconite | Formazione del Oberälpli | Daniano | Thanetiano |

| Code | GMU | Litho principale | Litho secondaire | Litho tertiaire | Formation | Chrono base | Chrono top |
|---|---|---|---|---|---|---|---|
| 15203165 | Eggberg-Fm. | calcare: marnoso-scistoso | breccia: polimittico | calcare: sabbioso | Formazione del Eggberg | Maastrichtiano | Maastrichtiano |
| 15203166 | Gyrenspitz-Fm. | breccia: polimittico | calcare: sabbioso-siliceo | marna: scistoso | Formazione del Gyrenspitz | Campaniano | Maastrichtiano |
| 15203167 | Fadura-Fm. | calcare: marnoso-scistoso | calcare: sabbioso-siliceo | breccia | Formazione della Fadura | Coniaciano | Santoniano |
| 15203168 | Pfävigrat-Fm. | calcare: sabbioso-siliceo | marna | breccia: polimittico | Formazione del Pfävigrat | Turoniano | Turoniano |
| 15203169 | Sassauna-Fm. | calcare: sabbioso-siliceo | argillite: scistoso | marna: scistoso | Formazione della Sassauna | Cenomaniano | Cenomaniano |
| 15203170 | Valzeina-Fm. | argillite: scistoso | calcare: sabbioso | – | Formazione di Valzeina | Aptiano | Albiano |
| 15203171 | Klus-Fm. | calcare: sabbioso-siliceo | calcare: spatico | argillite: scistoso | Formazione della Klus | Valanginiano | Barremiano |
| 15203172 | Stätzerhorn-Fm. | scisto: sabbioso-calcareo | scisto: argilloso | breccia: polimittico | Formazione del Stätzerhorn | Cretaceo superiore | Eocene |
| 15203173 | Stätzerhorn-Fm.: Basaler Konglomerat | conglomerato: calcareo | – | – | «Hauptkonglomerat» | Coniaciano | Coniaciano |
| 15203174 | Carnusa-Fm. | arenaria: calcareo: quarzo | scisto: argilloso | conglomerato | Formazione del Carnusa | Turoniano | Turoniano |
| 15203175 | Nolla-Kalkschiefer: Safien-Kalk | calcare: sabbioso | – | – | Calcare di Safien | Turoniano | Turoniano |
| 15203176 | Nolla-Kalkschiefer | scisto: sabbioso-calcareo | scisto: argilloso | – | Calcescisto della Nolla | Cenomaniano | Cenomaniano |

| Code | GMU | Litho principale | Litho secondaire | Litho tertiaire | Formation | Chrono base | Chrono top |
|---|---|---|---|---|---|---|---|
| 15203177 | Nolla-Tonschiefer | scisto: argilloso: bitume | calcare: sabbioso | – | Scisto argilloso della Nolla | Aptiano | Albiano |
| 15203178 | Bärenhorn-Fm. | scisto: sabbioso-argilloso | scisto: calcareo | prasinite | Formazione del Bärenhorn | Berriasiano | Barremiano |
| 15203179 | Tomül-Decke: Grüngesteine | prasinite | basalto | – | – | Giurassico superiore | Giurassico superiore |
| 15203120 | Schlieren-Flysch: Schoni-Sandstein: Oberer Tonstein | argillite | siltite | – | «Obere Tonsteinschichten» (Flysch delle Schlieren) | Ypresiano | Ypresiano |
| 15203121 | Schlieren-Flysch: Guber-Sandstein | arenaria | siltite | – | Arenaria di Guber | Thanetiano | Thanetiano |
| 15203122 | Schlieren-Flysch: Guber-Sandstein: Unterer Tonstein | argillite | arenaria: quarzo | – | «Untere Tonsteinschichten» (Flysch delle Schlieren) | Paleocene | Paleocene |
| 15203123 | Schlieren-Flysch: Basaler Flysch | arenaria | siltite | calcare: marnoso | – | Campaniano | Maastrichtiano |
| 15203124 | Estavannens-Fm. | arenaria: calcareo | marna | argillite | Flysch di Estavannens | Daniano | Thanetiano |
| 15203125 | Reidigen-Fm. | arenaria: mica | argillite | calcare: micritico | Formazione di Reidigen | Maastrichtiano | Daniano |
| 15203126 | Biot-Fm. | arenaria: calcareo | calcare: micritico | – | Formazione del Biot | Campaniano | Maastrichtiano |
| 15203127 | Chétillon-Fm. | argillite | siltite | arenaria | Formazione di Chétillon | Coniaciano | Santoniano |

| Code | GMU | Litho principale | Litho secondaire | Litho tertiaire | Formation | Chrono base | Chrono top |
|---|---|---|---|---|---|---|---|
| 15203128 | Rodomonts-Fm. | arenaria | marna: scistoso | conglomerato: polimittico | Formazione dei Rodomonts | Turoniano | Coniaciano |
| 15203129 | Rodomonts-Fm.: Mocausa-Nagelfluh | arenaria | conglomerato: polimittico | – | Conglomerato della Mocausa | Turoniano | Coniaciano |
| 15203130 | Tissota-Melange | argillite | marna | – | Mélange della Tissota | Santoniano | Santoniano |
| 15203131 | Tissota-Melange: Gueyraz-Komplex | calcare | marna | – | Complesso della Gueyraz | Giurassico inferiore | Cretaceo superiore |
| 15203132 | Manche-Fm.: Weissenburg-Flysch | conglomerato: calcareo | arenaria: calcareo-dolomitico | marna | Flysch del Weissenburg | Turoniano | Santoniano |
| 15203133 | Manche-Fm. | arenaria: siltoso-calcareo | marna | – | Formazione della Manche | Turoniano | Santoniano |
| 15204118 | Kesch-Augengneis | gneiss: occhiadino | gneiss: a bande | – | Gneiss occhiadino del Piz Kesch | Ordoviciano | Ordoviciano |
| 15204119 | Ostalpin: Prävariszisches polyzyklisches Grundgebirge | gneiss | scisto | – | – | Proterozoico | Paleozoico |
| 15204120 | Silvretta-Decke: «Jüngere Orthogneise» | gneiss: magmatico | – | – | – | Ordoviciano superiore | Ordoviciano superiore |
| 15204121 | Silvretta-Decke: «Ältere Orthogneise» | gneiss: magmatico | – | – | – | Proterozoico | Cambriano |
| 15204122 | Val-Rude-Orthogneis | gneiss: occhiadino | – | – | Ortogneiss della Val Rude | Proterozoico | Paleozoico |

| Code | GMU | Litho principale | Litho secondaire | Litho tertiaire | Formation | Chrono base | Chrono top |
|---|---|---|---|---|---|---|---|
| 15204123 | Corvatsch-Granitkomplex: Corvatsch-Granodiorit | granodiorite | – | – | Granodiorite del Corvatsch | Carbonifero | Carbonifero |
| 15204124 | Julier-Granodiorit | granodiorite | – | – | Granodiorite del Julier | Carbonifero | Carbonifero |
| 15204125 | Sasso-Rosso-Granodiorit | granodiorite | – | – | Granodiorite del Sasso Rosso | Carbonifero | Carbonifero |
| 15204126 | Vallatscha-Fm.: Lavinèr-Brekzie | breccia: dolomitico | – | – | Breccia del Piz Lavinèr | Triassico | Triassico |
| 15204127 | Haupter-Brekzie | breccia: polimittico | – | – | Breccia del Haupterhorn | Giurassico inferiore | Giurassico medio |
| 15204128 | Ostalpin: Postvariszische Vulkanite und Sedimente | roccia: vulcanico | roccia: sedimentario | – | – | Carbonifero | Permiano |
| 15204129 | Ostalpin: Jura | roccia: siliceo: radiolari | calcare: micritico: bioclasti | argillite | – | Giurassico | Giurassico |
| 15204130 | Garone-, Vallatscha-,Prosanto- und Altein-Fm. | dolomia | calcare | marna | – | Anisico | Ladinico |
| 15204132 | Ostalpin: Variszische Intrusiva | granito | granodiorite | gabbro | – | Carbonifero | Permiano |
| 15204135 | Ostalpin: Prävariszischer Orthogneis | gneiss: magmatico | – | – | – | Proterozoico | Paleozoico inferiore |
| 15204136 | Ostalpin: Prävariszischer Paragneis | gneiss: sedimentario | – | – | – | Proterozoico | Paleozoico inferiore |

| Code | GMU | Litho principale | Litho secondaire | Litho tertiaire | Formation | Chrono base | Chrono top |
|---|---|---|---|---|---|---|---|
| 15204137 | Ostalpin: Prävariszische Grüngesteine | prasinite | serpentinite | – | – | Proterozoico | Paleozoico inferiore |
| 15204138 | Uglix-Plattenkalk | calcare: dolomitico | tufite | – | Calcare del Piz Uglix | Norico | Norico |
| 15204139 | Parait-Chavagl-Granit | granito | – | – | Granito della Parait Chavagl | Pennsylvaniano | Permiano |
| 15204140 | God-Drosa-Flysch: Clavadatsch-Brekzie | breccia | – | – | Breccia di Clavadatsch | Cenomaniano | Cenomaniano |
| 15204141 | Corno-di-Campo-Granodiorit | granodiorite | sienite | gabbro | Granodiorite dello Corno di Campo | Carbonifero | Permiano |
| 15204142 | Campocologno-Gabbro | gabbro | diorite | – | Gabbro di Campocologno | Carbonifero | Permiano |
| 15204143 | Celerina-Orthogneis | gneiss: magmatico | – | – | Ortogneiss di Celerina | Proterozoico | Paleozoico |
| 15204144 | Tonale-Schiefer | scisto: mica-granato | gneiss: granato | – | Scisto del Tonale | Proterozoico | Paleozoico |
| 15204145 | Ostalpin: Raibl-Gr.: Gips | evaporite: gesso | – | – | – | Ladinico | Carnico |
| 15204146 | Ostalpin: Raibl-Gr.: Rauwacke | cargnola | – | – | – | Ladinico | Carnico |
| 15204147 | Arlberg-Fm.: Rifffazies | calcare: corali | – | – | Formazione dell'Arlberg | Ladinico | Carnico |
| 15204148 | Ducan- und S-charl-Fm. | calcare | dolomia | – | – | Anisico | Anisico |
| 15204149 | Ostalpin: Raibl-Gr.: Dolomit | dolomia | – | – | – | Carnico | Carnico |

| Code | GMU | Litho principale | Litho secondaire | Litho tertiaire | Formation | Chrono base | Chrono top |
|---|---|---|---|---|---|---|---|
| 15204150 | Ostalpin: Hauptdolomit-Gr.: bituminöser Dolomit | dolomia: bitume | – | – | – | Norico | Norico |
| 15204151 | Zentralschweizerische Klippen: Raibl-Gr. | cargnola | dolomia | evaporite | – | Carnico | Carnico |
| 15204152 | Grevasalvas-Granit | granito | – | – | Granito del Piz Grevasalvas | Carbonifero | Permiano |
| 15204153 | Unterostalpin: Kataklastit | cataclastite | – | – | – | – | – |
| 15204154 | Unterostalpin: Metapsammit mit Dolomitbrekzienlagen | psammite | breccia: dolomitico | – | – | – | – |
| 15204155 | Saluver-Fm.: Sandstein-Fazies | arenaria | – | – | Formazione della Val Saluver | Giurassico medio | Giurassico medio |
| 15204156 | Saluver-Fm.: Brekziöse Fazies | breccia | – | – | Formazione della Val Saluver | Giurassico medio | Giurassico medio |
| 15204157 | Unterostalpin: Trias: Dolomit | dolomia | – | – | – | Triassico | Triassico |
| 15204158 | Unterostalpin: Trias: Rauwacke | cargnola | – | – | – | Triassico | Triassico |
| 15204159 | Ostalpin: Aplit | aplite | – | – | – | Proterozoico | Paleozoico |
| 15204160 | Ostalpin: Basisches Ganggestein | roccia: basico-filoniano | – | – | – | Proterozoico | Paleozoico |
| 15204161 | Unterostalpin: Granitporphyr | granodiorite | – | – | – | Paleozoico superiore | Paleozoico superiore |

| Code | GMU | Litho principale | Litho secondaire | Litho tertiaire | Formation | Chrono base | Chrono top |
|---|---|---|---|---|---|---|---|
| 15204162 | Bernina-Deckenkomplex: Alkalifeldspatgranit und Syenit | granito: feldspato alcalino | sienite | – | – | Paleozoico superiore | Paleozoico superiore |
| 15204163 | Bernina-Deckenkomplex: Granodiorit | granodiorite | – | – | – | Paleozoico superiore | Paleozoico superiore |
| 15204164 | Bernina-Deckenkomplex: Diorit | diorite | – | – | – | Paleozoico superiore | Paleozoico superiore |
| 15204165 | Unterostalpin: Chlorit-Muskovit-Quarzschiefer | scisto: quarzo-mica | – | – | – | Proterozoico | Paleozoico |
| 15204166 | Roccabella-Schuppe: Chlorit-Muskovit-Quarzschiefer | scisto: quarzo-mica | – | – | – | Proterozoico | Paleozoico |
| 15204107 | Sesvenna-Augengneis | gneiss: granitico-occhiadino | – | – | Gneiss occhiadino della Sesvenna | Proterozoico | Paleozoico |
| 15204108 | Vaüglia-Granodiorit | granodiorite | – | – | Granodiorite di Vaüglia | Paleozoico superiore | Paleozoico superiore |
| 15204109 | Mingèr-Fm.: Mora-Mb.: Döss-Radond-Vulkanite | gabbro: microcristallino | tufo: vulcanico | – | Rocce vulcanice del Döss Radond | Ladinico | Carnico |
| 15204110 | Augsten-Brekzie | breccia: polimittico | argillite | – | Breccia dell'Augsten | Cretaceo superiore | Cretaceo superiore |
| 15204111 | Piz-Trovat-Metarhyolith | riolite | – | – | Metariolite del Piz Trovat | Sakmariano | Sakmariano |
| 15204112 | Sass-Queder-Metarhyolith | riolite | – | – | Metariolite del Sass Queder | Cisuraliano | Cisuraliano |

| Code | GMU | Litho principale | Litho secondaire | Litho tertiaire | Formation | Chrono base | Chrono top |
|---|---|---|---|---|---|---|---|
| 15204113 | La-Rösa-Orthogneis | gneiss: magmatico | – | – | Ortogneiss della Rösa | Proterozoico | Paleozoico |
| 15204114 | Carale-Schiefer | scisto: mica-clorite | scisto: quarzo-mica | gneiss | Scisto dello Pizzo Carale | Proterozoico | Paleozoico |
| 15204115 | Gosau-Gruppe | conglomerato | arenaria | pelite | – | Cretaceo superiore | Eocene |
| 15204116 | Morteratsch-Serpentinit | serpentinite | – | – | Serpentinite del Morteratsch | Carbonifero | Carbonifero |
| 15204117 | Forun-Augengneis | gneiss: occhiadino | – | – | Gneiss occhiadino del Piz Forun | Ordoviciano superiore | Ordoviciano superiore |
| 15203194 | Distulberg-Fm. | scisto: mica | gneiss: albite | prasinite: albite-clorite | Formazione del Distulberg | Cambriano | Ordoviciano |
| 15203195 | Thyon-Metagranophyr | granofiro | – | – | Metagranofiro di Thyon | Cambriano | Cambriano |
| 15203196 | Mont-Rogneux-Metagranit | granito: biotite | – | – | Metagranito del Mont Rogneux | Cambriano | Cambriano |
| 15203197 | Lirec-Fm. undiff | gneiss: a bande: granato | gneiss: clorite | anfibolite | Formazione di Lirec | Cambriano | Cambriano |
| 15203198 | Adlerflüe-Fm. | anfibolite: a bande | scisto: occhiadino: mica | gneiss: albite | Formazione del Adlerflüe | Proterozoico | Cambriano |
| 15203199 | Ergischhorn-Komplex | gneiss | scisto: mica | anfibolite | Complesso del Ergischhorn | Proterozoico | Proterozoico |
| 15203200 | Gelbhorn-Flysch | argillite: scistoso | marmo: calcareo: sericite | – | Flysch del Gelbhorn | Cretaceo | Eocene |
| 15203201 | Obrist-Fm. | marmo: calcareo: sericite | quarzite | scisto: argilloso | Formazione del Obrist | Giurassico superiore | Cretaceo |
| 15203202 | Vizan-Brekzie | breccia: dolomitico | arenaria: feldspato | – | Breccia del Vizan | Toarciano | Albiano |

| Code | GMU | Litho principale | Litho secondaire | Litho tertiaire | Formation | Chrono base | Chrono top |
|---|---|---|---|---|---|---|---|
| 15203203 | Tschera-Marmor | marmo: calcareo | – | – | Marmo del Tschera | Oxfordiano | Titoniano |
| 15203204 | Tschera-Marmor: Wissberg-Brekzie | breccia: calcareo-dolomitico | marmo: calcareo | – | Breccia del Wissberg | Oxfordiano | Titoniano |
| 15203205 | Nisellas-Fm. | scisto: argilloso | scisto: sabbioso-calcareo | breccia: calcareo-dolomitico | Formazione di Nisellas | Aaleniano | Calloviano |
| 15203206 | Tumpriv-Fm. | cargnola | evaporite: gesso | dolomia | Formazione dell'Alp Tumpriv | Carnico | Toarciano |
| 15203207 | Kalkberg-Fm. | dolomia | calcare | – | Formazione del Kalkberg | Anisico | Ladinico |
| 15203208 | Bavugls-Fm. | dolomia | quarzite | conglomerato | Formazione di Bavugls | Carbonifero | Triassico medio |
| 15203209 | Nolla-Kristallin | gneiss: scistoso | – | – | – | Carbonifero | Carbonifero |
| 15203210 | Falknis-Decke: Flysch | calcare: sabbioso-siliceo | arenaria: quarzo | argillite | – | Ypresiano | Luteziano |
| 15203211 | Globorotalien-Sch. | arenaria: calcareo | calcare: marnoso | argillite: scistoso | «Globorotalien-Schichten» | Daniano | Thanetiano |
| 15203212 | Quarzsandstein-Flysch | arenaria: quarzo-glauconite | calcare: sabbioso | conglomerato: polimittico | «Quarzsandstein-Flysch» | Aptiano | Cenomaniano |
| 15203213 | Tristel-Fm. | calcare: sabbioso | breccia: calcareo-dolomitico | argillite | Formazione di Tristel | Barremiano | Aptiano |
| 15203214 | Fleckenkalk-Flysch | calcare: marnoso | calcare: siliceo | argillite: sabbioso | «Fleckenkalk-Flysch» | Berriasiano | Barremiano |
| 15203215 | Jes-Fm. | calcare: micritico: selce | breccia: calcareo-dolomitico | marna | Formazione di Jes | Titoniano | Berriasiano |
| 15203216 | Falknis-Brekzie | breccia: polimittico | arenaria: calcareo | calcare: siliceo | Breccia del Falknis | Kimmeridgiano | Titoniano |

| Code | GMU | Litho principale | Litho secondaire | Litho tertiaire | Formation | Chrono base | Chrono top |
|---|---|---|---|---|---|---|---|
| 15203217 | Sanalada-Fm. | marna | calcare: marnoso | calcare: arenitico | Formazione di Sanalada | Oxfordiano | Kimmeridgiano |
| 15203218 | Panier-Fm. | marna: scistoso | argillite | breccia: polimittico | Formazione di Panier | Toarciano | Oxfordiano |
| 15203219 | Sulzfluh-Decke: Flysch | argillite: scistoso | arenaria | calcare: siliceo | – | Thanetiano | Ypresiano |
| 15203220 | Sulzfluh-Kalk | calcare: micritico | calcare: ooidi | calcare: arenitico | Calcare della Sulzfluh | Titoniano | Titoniano |
| 15203221 | Sulzfluh-Decke: Granit | granito | – | – | – | Paleozoico | Paleozoico |
| 15203222 | Tasna-Decke: Flysch | argillite | arenaria | – | – | Ypresiano | Ypresiano |
| 15203223 | Steinsberg-Kalk | calcare: spatico: bioclasti | calcare: sabbioso: bioclasti | – | Calcare del Steinsberg | Giurassico inferiore | Giurassico inferiore |
| 15203224 | Plattamala-Granit | granito | – | – | Granito della Plattamala | Proterozoico | Paleozoico inferiore |
| 15203225 | Série Rousse | marmo | scisto: sabbioso-calcareo | breccia | «Série Rousse» | Cretaceo inferiore | Cretaceo superiore |
| 15203226 | Tsaté-Decke: Série Grise | scisto: sabbioso-calcareo | scisto: argilloso | prasinite | «Série Grise» | Cretaceo inferiore | Cretaceo superiore |
| 15203227 | Tsaté-Decke: Garda-Bordon-Fm. | scisto: argilloso: bitume | scisto: calcareo | – | Formazione della Garda Bordon | Cretaceo inferiore | Cretaceo superiore |
| 15203228 | Tsaté-Decke: Fêta-d'Août-Fm. | scisto: argilloso | marmo: calcareo | – | Formazione della Fêta d'Août | Cretaceo inferiore | Cretaceo superiore |
| 15203229 | Zermatt-Saas-Decke: Allalin-Metagabbro | gabbro: omfacite | eclogite | – | Gabbro del Allalin | Giurassico medio | Giurassico superiore |

| Code | GMU | Litho principale | Litho secondaire | Litho tertiaire | Formation | Chrono base | Chrono top |
|---|---|---|---|---|---|---|---|
| 15203230 | Arosa-Decke: Melange | pelite | arenaria: argilloso: litoclasti | – | – | Cretaceo superiore | Paleogene |
| 15203231 | Verspala-Fm. | arenaria: argilloso | marna | – | Formazione della Verspala | Cenomaniano | Coniaciano |
| 15203232 | Lavagna-Fm. | scisto: siliceo | – | – | Formazione di Lavagna | Aptiano | Albiano |
| 15203233 | Palombini-Fm. | scisto: argilloso-siliceo | marmo: calcareo-siliceo | – | «Formazione a Palombini» | Titoniano | Barremiano |
| 15203234 | Arosa-Decke: Calpionellenkalk | calcare: micritico: aptici | – | – | – | Titoniano | Titoniano |
| 15203235 | Arosa-Decke: Radiolarit | roccia: siliceo: radiolari | scisto: siliceo | – | – | Oxfordiano | Kimmeridgiano |
| 15203236 | Arosa-Decke: Ophiolith | serpentinite | gabbro | basalto | – | Batoniano | Oxfordiano |
| 15203238 | Coulaytes-Melange: Buufal-Konglomerat | conglomerato: dolomitico | – | – | Conglomerato di Buufal | Eocene medio | Priaboniano |
| 15203239 | Sommant-Fm.: Langel-Mb. | calcare: ooidi | calcare: oncoidi | – | Membro di Langel | Bajociano | Batoniano |
| 15203240 | Pralet-Fm.: Obere Rauwacke | cargnola | – | – | «Cornieule Supérieure» (Fm. del Pralet) | Carnico | Carnico |
| 15203241 | Clôt-la-Cime-Fm.: Gips | evaporite: gesso | – | – | Formazione di Clôt-la-Cime | Triassico | Triassico |
| 15203180 | Tomül-Decke: Mélange | breccia | quarzite | anfibolite | – | Mesozoico | Mesozoico |
| 15203181 | Touno-Einheit | marmo | scisto: argilloso | scisto: sabbioso-calcareo | – | Triassico medio | Eocene |
| 15203182 | Barrhorn-Einheit | marmo: dolomitico | marmo: calcareo | scisto: calcareo | – | Mesozoico | Eocene |

| Code | GMU | Litho principale | Litho secondaire | Litho tertiaire | Formation | Chrono base | Chrono top |
|---|---|---|---|---|---|---|---|
| 15203183 | Bruneggjoch-Fm. | quarzite | conglomerato: quarzo | quarzite: sericite | Formazione del Brunneghorn | Lopingiano | Triassico inferiore |
| 15203184 | Bruneggjoch-Fm.: Sous-le-Rocher-Mb. | quarzite | conglomerato: quarzo | arenaria: calcareo | Membro di Sous le Rocher | Lopingiano | Triassico inferiore |
| 15203185 | Randa-Augengneis | granito: porfirico | gneiss: occhiadino | – | Gneiss occhiadino di Randa | Cisuraliano | Guadalupiano |
| 15203186 | Col-de-Chassoure-Fm. | scisto: quarzo-sericite | quarzite | roccia: vulcanico | Formazione del Col de Chassoure | Cisuraliano | Lopingiano |
| 15203187 | Col-de-Chassoure-Fm.: Gouille-Verte-Mb. | scisto: quarzo-sericite | scisto: sericite-clorite | – | Membro della Gouille Verte | Lopingiano | Lopingiano |
| 15203188 | Col-de-Chassoure-Fm.: Matse-Mb. | scisto: sericite | roccia: vulcanico | dolomia | Membro della Matse | Lopingiano | Lopingiano |
| 15203189 | Col-de-Chassoure-Fm.: Dent-de-Nendaz-Mb. | conglomerato: polimittico | arenaria | scisto: argilloso | Membro della Dent de Nendaz | Guadalupiano | Lopingiano |
| 15203190 | Col-de-Chassoure-Fm.: Goli-d'Aget-Mb. | conglomerato | arenaria: feldspato | dolomia | Membro del Goli d'Aget | Cisuraliano | Guadalupiano |
| 15203191 | Col-de-Chassoure-Fm.: Mondra-Mb. | scisto: quarzo-clorite | scisto: antracite | – | Membro della Mondra | Cisuraliano | Cisuraliano |

| Code | GMU | Litho principale | Litho secondaire | Litho tertiaire | Formation | Chrono base | Chrono top |
|---|---|---|---|---|---|---|---|
| 15203192 | Col-de-Chassoure-Fm.: Cleuson-Mb. | riolite | conglomerato | scisto: quarzo | Membro di Cleuson | Cisuraliano | Cisuraliano |
| 15203193 | Métailler-Fm. | gneiss: clorite | scisto: clorite | prasinite | Formazione del Métailler | Cambriano | Ordoviciano |
| 15203255 | Adula-Decke: Salahorn-Fm.: Glimmerschiefer | scisto: mica | gneiss: sedimentario | – | Formazione del Salahorn | Cambriano | Cambriano |
| 15203256 | Adula-Decke: Amphibolit | anfibolite | – | – | – | Paleozoico | Paleozoico |
| 15203257 | Zone Submédiane: Melange: Mergel und Sandstein | marna | arenaria | – | – | Cretaceo superiore | Paleogene |
| 15203258 | Zone Submédiane: Truche-Brekzie | breccia: polimittico | – | – | Breccia della Truche | Eocene | Eocene |
| 15203259 | Zone Submédiane: Trom-Brekzie | breccia: polimittico | calcare: micritico | – | Breccia di Trom | Cretaceo superiore | Cenozoico |
| 15203260 | Zone Submédiane: Exergillod-Brekzie | breccia | breccia: calcareo: bioclasti | – | Breccia di Exergillod | Giurassico inferiore | Giurassico superiore |
| 15203261 | Zone Submédiane: Troublon-Kalk | calcare: micritico: bioclasti | arenaria: marnoso | – | Calcare del Troublon | Giurassico superiore | Giurassico superiore |
| 15203262 | Zone Submédiane: Zünegg-Knollenkalk | calcare: marnoso | – | – | Calcare nodoloso della Zünegg | Giurassico superiore | Giurassico superiore |

| Code | GMU | Litho principale | Litho secondaire | Litho tertiaire | Formation | Chrono base | Chrono top |
|---|---|---|---|---|---|---|---|
| 15203263 | Zone Submédiane: Hauta-Crêtaz-Fm. | calcare: spatico: bioclasti | breccia: calcareo | – | Formazione di Hauta-Crêtaz | Giurassico inferiore | Giurassico superiore |
| 15203264 | Zone Submédiane: Pointe-de-l'Au-Brekzie | breccia: calcareo | – | – | Breccia della Pointe de l'Au | Batoniano | Batoniano |
| 15203265 | Zone Submédiane: Bonaveau-Kalk | calcare: sabbioso | arenaria: calcareo | – | Calcare di Bonaveau | Toarciano | Toarciano |
| 15203266 | Zone Submédiane: Sex-du-Tronc-Kalk | calcare: spatico: bioclasti | – | – | Calcare del Sex du Tronc | Sinemuriano | Sinemuriano |
| 15203267 | Zone Submédiane: Grand-Herba-Kalk | calcare | – | – | Calcare del Sex de Grand-Herba | Sinemuriano | Sinemuriano |
| 15203268 | Oudiou-Fm. | calcare: bioclasti | calcare: siliceo-spatico | – | Formazione di Oudiou | Giurassico inferiore | Aaleniano |
| 15203269 | Klippen-Decke: Malm | calcare | marna | – | – | Oxfordiano | Berriasiano |
| 15203270 | Moléson-Fm.: Albeuve-Serie | marna: glauconite-bioclasti | – | – | Serie di Albeuve | Kimmeridgiano | Kimmeridgiano |
| 15203271 | Sciernes-d'Albeuve-Fm.: Kummli-Sch. | calcare: micritico | – | – | Strati di Kummli | Berriasiano | Berriasiano |
| 15203272 | Klippen-Decke: Dogger | calcare | marna | – | – | Bajociano | Calloviano |

| Code | GMU | Litho principale | Litho secondaire | Litho tertiaire | Formation | Chrono base | Chrono top |
|---|---|---|---|---|---|---|---|
| 15203273 | Mytilus-Sch.: Col-de-Cordon-Mb.: Stockenflue-Kalk | calcare: sabbioso: bioclasti | – | – | Calcare della Stockenflue | Calloviano | Calloviano |
| 15203274 | Sommant-Fm.: Mieussy-Mb. | calcare: arenitico | calcare: bioclasti | calcare: micritico | Membro di Mieussy | Bajociano | Batoniano |
| 15203275 | Klippen-Decke: Lias | marna | calcare: spatico | calcare: siliceo | – | Retico | Bajociano |
| 15203276 | Klippen-Decke: Trias | dolomia | calcare: bioclasti | pelite | – | Olenekiano | Ladinico |
| 15203277 | Pralet-Fm. | dolomia | calcare: spatico: bioclasti | argillite | Formazione del Pralet | Ladinico | Ladinico |
| 15203278 | Pralet-Fm.: Balmi-Mb. | dolomia | calcare: arenitico | calcare: spatico: echinodermi | Membro del Balmi | Ladinico | Ladinico |
| 15203279 | Wiriehorn-Fm.: Bodeflue-Mb. | dolomia | – | – | Membro della Bodeflue | Anisico | Anisico |
| 15203280 | Wiriehorn-Fm.: Wildgrimmi-Mb. | calcare | dolomia | – | Membro del Wildgrimmi | Anisico | Anisico |
| 15203281 | St-Triphon-Fm.: Dorchaux-Mb.: Untere Rauwacke | cargnola | – | – | «Cornieule Inférieure» (Fm. di St-Triphon) | Triassico inferiore | Anisico |
| 15203282 | Infrabrèche-Melange | pelite | breccia | – | «Mélange Infrabrèche» | Cretaceo superiore | Paleogene |
| 15203283 | Wägital-Flysch undiff. | arenaria | breccia: polimittico | argillite | Flysch del Wägital | Campaniano | Ypresiano |
| 15203284 | Gurnigel-Flysch: Flysch-5 | conglomerato | arenaria: siliceo | – | «Flych 5, à microconglomérats siliceux» | Luteziano | Luteziano |
| 15203285 | Voirons-Flysch undiff. | arenaria | conglomerato | marna | – | Eocene medio | Rupeliano |

| Code | GMU | Litho principale | Litho secondaire | Litho tertiaire | Formation | Chrono base | Chrono top |
|---|---|---|---|---|---|---|---|
| 15203286 | Voirons-Flysch: Boëge-Mergel | marna | arenaria | – | Marna di Boëge | Priaboniano | Rupeliano |
| 15203287 | Voirons-Flysch: Vouan-Konglomerat | conglomerato | arenaria | marna | Conglomerato del Vouan | Priaboniano | Rupeliano |
| 15203288 | Voirons-Flysch: Voirons-Sandstein | arenaria | marna | – | Arenaria dei Voirons | Eocene medio | Priaboniano |
| 15203291 | Klippen-Decke: Couches-Rouges | calcare: marnoso | calcare: micritico | marna | – | Turoniano | Ypresiano |
| 15203292 | Simmen-Decke: Flysch | arenaria | pelite | conglomerato | – | Albiano | Santoniano |
| 15203293 | Trepsen-Flysch | breccia: polimittico | arenaria | argillite | Flysch di Trepsen | Maastrichtiano | Maastrichtiano |
| 15203294 | Cocco-Gneis | gneiss: granodioritico | – | – | Gneiss del Cocco | Pennsylvaniano | Pennsylvaniano |
| 15203295 | Verzasca-Gneis | gneiss: granitico | gneiss: biotite-muscovite | – | Gneiss della Verzasca | Pennsylvaniano | Cisuraliano |
| 15203296 | Cima-Lunga-Decke: Vogorno-Gneis | gneiss: biotite-muscovite | – | – | Gneiss di Vogorno | Proterozoico | Paleozoico |
| 15203297 | Ruscada-Gneis | gneiss | – | – | Gneiss di Ruscada | Paleozoico superiore | Paleozoico superiore |
| 15203298 | Mergoscia-Gneis | gneiss: biotite | gneiss: migmatitico | – | Gneiss di Mergoscia | Paleozoico | Paleozoico |
| 15203299 | Monte-Rosa-Orthogneis | gneiss: magmatico | granodiorite | granito | Ortogneiss del Monte Rosa | Carbonifero | Permiano |
| 15203300 | Arblatsch-Flysch | arenaria | scisto: argilloso-calcareo | conglomerato | Flysch del Arblatsch | Maastrichtiano | Ypresiano |

| Code | GMU | Litho principale | Litho secondaire | Litho tertiaire | Formation | Chrono base | Chrono top |
|---|---|---|---|---|---|---|---|
| 15203301 | Arblatsch-Flysch: Sandstein-dominierte Fazies | arenaria | – | – | Flysch del Arblatsch | Ypresiano | Ypresiano |
| 15203302 | Arblatsch-Flysch: Konglomerat-dominierte Fazies | conglomerato | – | – | Flysch del Arblatsch | Ypresiano | Ypresiano |
| 15203303 | Spegnas-Fm. | arenaria | scisto | calcare: sabbioso | Formazione del Piz Spegnas | Paleocene | Paleocene |
| 15203304 | Rudnal-Fm. | calcare: marnoso | argillite: scistoso | arenaria | Formazione di Rudnal | Maastrichtiano | Maastrichtiano |
| 15203305 | Savognin-Fm. | cargnola | evaporite: gesso | breccia | Formazione di Savognin | Mesozoico | Mesozoico |
| 15203242 | Brekzien-Decke: Couches-Rouges | calcare: argilloso | breccia | – | – | Campaniano | Thanetiano |
| 15203243 | Brekzien-Decke: Trias: Rauwacke | cargnola | – | – | – | Triassico | Triassico |
| 15203244 | Manche-Fm.: Lamperehubel-Sandstein | arenaria: calcareo | – | – | Arenaria del Lamperehubel | Albiano | Albiano |
| 15203245 | Perrières-Fm.: Gets-Ophiolith | serpentinite | gabbro | basalto | Ofiolite dei Gets | Batoniano | Batoniano |
| 15203246 | Piz-Terri-Lunschania: Obere Kalk- und Tonschiefer | scisto: calcareo: mica | scisto: argilloso | – | – | Giurassico medio | Giurassico medio |

| Code | GMU | Litho principale | Litho secondaire | Litho tertiaire | Formation | Chrono base | Chrono top |
|---|---|---|---|---|---|---|---|
| 15203247 | Piz-Terri-Lunschania: Gneisquarzit | quarzite: calcareo | scisto: calcareo: mica | – | – | Giurassico medio | Giurassico medio |
| 15203248 | Piz-Terri-Lunschania: Untere Kalk- und Tonschiefer | scisto: argilloso | scisto: calcareo | scisto: sabbioso | – | Giurassico inferiore | Giurassico inferiore |
| 15203249 | Aul-Marmor | marmo | – | – | Marmo del Piz Aul | Oxfordiano | Titoniano |
| 15203250 | Piz-Terri-Lunschania: Dolomitbrekzie | breccia: dolomitico | – | – | – | Giurassico inferiore | Giurassico inferiore |
| 15203251 | Grava-Decke: Gryphäenkalk | calcare: sabbioso: bioclasti | – | – | – | Sinemuriano | Pliensbachiano |
| 15203252 | Unterpenninikum Trias | quarzite | marmo: dolomitico | arenaria: feldspato | – | Triassico | Triassico |
| 15203253 | Adula-Decke: Zervreila-Orthogneis | gneiss: granitico-occhiadino | gneiss: biotite-muscovite | – | Orthogneiss di Zervreila | Cisuraliano | Cisuraliano |
| 15203254 | Adula-Decke: Garenstock-Augengneis | gneiss: occhiadino | – | – | Gneiss occhiadino del Garenstock | Ordoviciano | Ordoviciano |
| 15203320 | Monte-Leone-Decke: Grundgebirge | gneiss: occhiadino | gneiss | – | – | Paleozoico | Paleozoico |
| 15203321 | Monte-Leone-Decke: Ganter-Gneis | gneiss: occhiadino | – | – | Gneiss del Ganter | Permiano | Permiano |
| 15203322 | Monte-Leone-Decke: Ritter-Gneis | gneiss | – | – | Gneiss di Ritter | Paleozoico | Paleozoico |
| 15203323 | Geisspfad-Serpentinit | serpentinite | peridotite | granofels: pirosseno | Serpentinite del Geisspfad | Paleozoico | Mesozoico |

| Code | GMU | Litho principale | Litho secondaire | Litho tertiaire | Formation | Chrono base | Chrono top |
|---|---|---|---|---|---|---|---|
| 15203325 | Monte-Leone-Decke: Holzerspitz-Kalkschiefer | scisto: calcareo | – | – | Calcescisti dell'Holzerspitz | Mesozoico | Mesozoico |
| 15203327 | Rinderbach-Fm. | argillite | arenaria: quarzo | – | Formazione del Rinderbach | Daniano | Daniano |
| 15203328 | Langenegg-Fm. | arenaria: calcareo | marna | – | Formazione della Langenegg | Cenomaniano | Turoniano |
| 15203329 | Rombach-Fm. | breccia: polimittico | marna | – | Formazione del Rombach | Coniaciano | Santoniano |
| 15203330 | Suretta-Decke: Roffna-Gneis | gneiss: granitico | granito: porfirico | – | Gneiss della Roffna | Mississippiano | Mississippiano |
| 15203331 | Suretta-Decke: Roffna-Gneis: Porphyrische Fazies | granito: porfirico | – | – | Gneiss della Roffna | Mississippiano | Mississippiano |
| 15203332 | Burgruinen-Gneis | gneiss | pegmatite | – | Gneiss della ruina del castello di de Splügen | Paleozoico | Paleozoico |
| 15203333 | Taspegn-Gneis | gneiss: psefitico | – | – | Gneiss di Taspegn | Carbonifero | Permiano |
| 15203334 | Niesen-Flysch: Aigremont-Brekzie | breccia: polimittico | siltite: scistoso | – | Breccia di Aigremont | Cretaceo superiore | Cretaceo superiore |
| 15203335 | Sulzgrabe-Fm. | marna: calcareo | arenaria | calcare | Formazione del Sulzgrabe | Giurassico superiore | Cretaceo inferiore |
| 15203336 | Brekzien-Decke: Rhät | scisto: calcareo | – | – | – | Retico | Retico |
| 15203337 | Klippen-Decke: Siderolithischer Dogger | argillite | roccia: residuale: mineri di ferro | breccia: dolomitico | – | Giurassico inferiore | Giurassico medio |

| Code | GMU | Litho principale | Litho secondaire | Litho tertiaire | Formation | Chrono base | Chrono top |
|---|---|---|---|---|---|---|---|
| 15203338 | St-Triphon-Fm.: Andonces-Mb.: Silex-Niveau | calcare: selce | – | – | «Livello a Selce» (Fm. di St-Triphon) | Anisico | Anisico |
| 15203339 | St-Triphon-Fm.: Andonces-Mb.: Mittlere Rauwacke | cargnola | dolomia | marna | «Cornieule Moyenne» (Fm. di St-Triphon) | Anisico | Ladinico |
| 15203340 | Suretta-Decke: Timun-Gneiskomplex | scisto: sericite-clorite | gneiss | anfibolite | Complesso gneissico del Piz Timun | Proterozoico | Paleozoico |
| 15203341 | Malenco-Ultramafitit: Serpentinit | serpentinite | scisto: antigorite | – | Serpentinite della Val Malenco | Bajociano | Batoniano |
| 15203342 | Forno-Amphibolit | anfibolite: a bande | basalto | breccia: piroclastico | Anfibolite del Forno | Calloviano | Titoniano |
| 15203343 | Muretto-Quarzit | quarzite | scisto: quarzo | – | Quarzite di Muretto | Cretaceo superiore | Cretaceo superiore |
| 15203344 | Biot-Fm.: Colerin-Konglomerat | conglomerato | – | – | Conglomerato del Colerin | Campaniano | Maastrichtiano |
| 15203345 | Pierre-Avoi-Melange: Brekzie | breccia: polimittico | – | – | Breccia della Pierre Avoi | Mesozoico | Mesozoico |
| 15203346 | Dréveneuse-Bauxit | roccia: residuale | – | – | Bauxite di Dréveneuse | Giurassico inferiore | Giurassico medio |
| 15203347 | Barrhorn-Einheit: Metabauxit | scisto: cloritoido-cianite | – | – | Metabauxite del Brunnegjoch | Giurassico inferiore | Giurassico medio |
| 15203349 | Terri-Schiefer | scisto: calcareo | scisto: argilloso | marmo | Scisto del Terri | Giurassico inferiore | Giurassico medio |
| 15203350 | Robiei-Wildflysch | siltite | arenaria: calcareo: mica | scisto: mica-granato | Mélange di Robiei | Eocene medio | Priaboniano |

| Code | GMU | Litho principale | Litho secondaire | Litho tertiaire | Formation | Chrono base | Chrono top |
|---|---|---|---|---|---|---|---|
| 15203351 | Robiei-Wildflysch: Pizzo-Castello-Wildflysch | gneiss | arenaria: calcareo | marmo | Mélange dello Pizzo Castello | Eocene medio | Priaboniano |
| 15203352 | Robiei-Wildflysch: Tamier-Zött-Wildflysch | gneiss | roccia: basico | – | Mélange di Tamier-Zött | Eocene medio | Priaboniano |
| 15203353 | Robiei-Wildflysch: Alpe-Tamia-Campo-Wildflysch | marmo: calcareo | – | – | Mélange dell'Alpe Tamia-Campo | Eocene medio | Priaboniano |
| 15203354 | Teggiolo-Kalkschiefer | scisto: calcareo | – | – | Calcescisti del Teggiolo | Cretaceo superiore | Eocene medio |
| 15203355 | Teggiolo-Kalkschiefer: Medola-Quarzit | quarzite | arenaria: calcareo | scisto: mica | Quarzite del Medola | Cretaceo superiore | Eocene medio |
| 15203356 | Teggiolo-Kalkschiefer: Pianasciom-Kalkschiefer | scisto: calcareo | arenaria | calcare | Calcescisti di Pianasciom | Cretaceo superiore | Eocene medio |
| 15203357 | Teggiolo-Kalkschiefer: Piano-delle-Creste-Sandstein | arenaria: quarzo | arenaria: calcareo | – | Arenaria del Piano delle Creste | Cretaceo superiore | Eocene medio |
| 15203358 | Antabia-Gr. | marmo | arenaria | conglomerato | – | Giurassico inferiore | Berriasiano |
| 15203359 | Vanis-Fm. | marmo | scisto: calcareo | – | Formazione dei Vanis | Berriasiano | Berriasiano |
| 15203360 | Sevinera-Marmor | marmo: calcareo | – | – | Marmo di Sevinera | Oxfordiano | Titoniano |

| Code | GMU | Litho principale | Litho secondaire | Litho tertiaire | Formation | Chrono base | Chrono top |
|---|---|---|---|---|---|---|---|
| 15203361 | Sevinera-Sandstein | arenaria: calcareo | – | – | Arenaria di Sevinera | Batoniano | Calloviano |
| 15203362 | Ri-d'Antabia-Konglomerat | conglomerato | – | – | Conglomerato del Ri d'Antabia | Giurassico inferiore | Giurassico medio |
| 15203363 | Lebendun-Decke: Scisti bruni | scisto: mica | – | – | «Scisti bruni» (Lebendun) | Mesozoico | Mesozoico |
| 15203364 | Lebendun-Decke: Trias-Lias (Basaler Gneis) | arenaria: feldspato | dolomia | scisto: calcareo | Complesso del Lebendun | Triassico | Giurassico inferiore |
| 15203365 | Antigorio-Orthogneis | gneiss: magmatico | – | – | Ortogneiss di Antigorio | Cisuraliano | Cisuraliano |
| 15203366 | Falknis-, Sulzfluh- und Tasna-Decke: Couches Rouges | calcare: marnoso | marna | breccia | – | Albiano | Maastrichtiano |
| 15203367 | Piz-Terri-Lunschania: Lagensandkalk | scisto: argilloso-calcareo | quarzite: clorite | – | – | Giurassico inferiore | Giurassico inferiore |
| 15203368 | Pierre-Avoi-Melange: Quarzschiefer-dominierte Fazies | scisto: argilloso | quarzite | scisto: calcareo | Mélange della Pierre Avoi | Eocene medio | Rupeliano |
| 15203369 | Pierre-Avoi-Melange: Konglomerat-dominierte Fazies | conglomerato | – | – | Mélange della Pierre Avoi | Eocene medio | Rupeliano |
| 15203370 | Südegg-Komplex | scisto | roccia: metamorfico | – | Complesso di Südegg | Paleozoico | Mesozoico |

| Code | GMU | Litho principale | Litho secondaire | Litho tertiaire | Formation | Chrono base | Chrono top |
|---|---|---|---|---|---|---|---|
| 15203306 | Stätzerhorn-Fm.: Bleis-Pintgas-Mb. | calcare: sabbioso | scisto: argilloso | – | Membro del Bleis Pintgas | Santoniano | Maastrichtiano |
| 15203307 | Stätzerhorn-Fm.: Parnegl-Mb. | calcare: sabbioso | scisto: argilloso | – | Membro di Parnegl | Santoniano | Maastrichtiano |
| 15203308 | Stätzerhorn-Fm.: Danis-Mb. | calcare: sabbioso | – | – | Membro di Danis | Santoniano | Maastrichtiano |
| 15203309 | Stätzerhorn-Fm.: Raschil-Mb. | calcare: sabbioso | scisto: argilloso | – | Membro del Piz Raschil | Santoniano | Maastrichtiano |
| 15203310 | Bruneggjoch-Fm.: Embd-Mb. | quarzite: sericite | conglomerato: quarzo | – | Membro di Embd | Lopingiano | Lopingiano |
| 15203311 | Bonigersee-Augengneis | gneiss: magmatico-occhiadino | gneiss: occhiadino | – | Gneiss occhiadino del Bonigersee | Ordoviciano | Ordoviciano |
| 15203312 | Törbel-Gneis | gneiss | – | – | Gneiss di Törbel | Paleozoico | Paleozoico superiore |
| 15203313 | Lodano-Gneis | gneiss: a bande | – | – | Gneiss di Lodano | Paleozoico | Paleozoico |
| 15203314 | Vergeletto-Gneis | gneiss | – | – | Gneiss di Vergeletto | Paleozoico | Paleozoico |
| 15203315 | Cortascia-Gneis | gneiss: biotite-muscovite | – | – | Gneiss di Cortascia | Paleozoico | Paleozoico |
| 15203316 | Forcoletta-Gneis | gneiss: biotite-muscovite | – | – | Gneiss della Forcoletta | Paleozoico superiore | Paleozoico superiore |
| 15203317 | Sambuco-Decke: Matorello-Gneis | gneiss: granitico | gneiss: granodioritico | – | Gneiss di Matorello | Pennsylvaniano superiore | Asseliano |

| Code | GMU | Litho principale | Litho secondaire | Litho tertiaire | Formation | Chrono base | Chrono top |
|---|---|---|---|---|---|---|---|
| 15203318 | Lebendun-Decke: Sedimentgesteine | gneiss: psefitico | marmo | scisto: mica | Complesso del Lebendun | Mesozoico | Paleogene |
| 15203319 | Pizzo-del-Vallone-Decke:Sabbione-Sandstein | arenaria | roccia: vulcanico | – | Arenaria di Sabbione | Bajociano | Batoniano |
| 15203387 | Zone Houillère: Perm: Quarzschiefer | scisto: quarzo | gneiss | – | – | Permiano | Permiano |
| 15203388 | Ricard-Rhyolith | riolite | – | – | Riolite di Ricard | Permiano | Permiano |
| 15203389 | Zone Houillère: Perm: Konglomerat | conglomerato | – | – | – | Permiano | Permiano |
| 15203390 | Printse-Fm.: Sandig-schiefrige Fazies | scisto: sabbioso | – | – | Formazione della Printse | Pennsylvaniano | Cisuraliano |
| 15203391 | Printse-Fm.: Tonige Fazies | scisto: argilloso | – | – | Formazione della Printse | Pennsylvaniano | Pennsylvaniano |
| 15203392 | Printse-Fm.: Chandoline-Sandstein | arenaria | arenaria: conglomeratico | – | Arenaria di Chandoline | Pennsylvaniano | Pennsylvaniano |
| 15203393 | Gälmji-Zone: Gneis | gneiss | scisto: mica-granato | anfibolite | Gneiss di Gälmji | Carbonifero | Permiano |
| 15203394 | Scherbadung-Gabbro | gabbro | – | – | Gabbro del Scherbadung | Paleozoico | Paleozoico |
| 15203395 | Lacerandes-Augengneis | gneiss: occhiadino | – | – | Gneiss occhiadino delle Lacerandes | Ordoviciano medio | Ordoviciano superiore |
| 15203396 | Mont-Mort-Metapelit | scisto: mica-granato | anfibolite | – | Metapelite del Mont Mort | Paleozoico | Paleozoico |

| Code | GMU | Litho principale | Litho secondaire | Litho tertiaire | Formation | Chrono base | Chrono top |
|---|---|---|---|---|---|---|---|
| 15203397 | Pierre-Avoi-Melange: Schwarze Schiefer | scisto: argilloso: grafite | arenaria | – | Mélange della Pierre Avoi | Carbonifero | Carbonifero |
| 15203398 | Ferret-Schiefer: La-Dotse-Albitkalk | calcare: albite | – | – | Calcare albitico della Dotse | Mesozoico | Mesozoico |
| 15203399 | Ergischhorn-Komplex-Fm.: Ginals-Gneis | gneiss: microclino | gneiss: occhiadino | – | Gneiss di Ginals | Proterozoico | Paleozoico |
| 15203400 | Berisal-Gneiskomplex | gneiss: granato | scisto: mica-granato | anfibolite | Complesso gneissico di Berisal | Ordoviciano | Permiano |
| 15203401 | Berisal-Gneiskomplex: Augengneis | gneiss: occhiadino | gneiss: biotite-muscovite | – | Complesso gneissico di Berisal | Permiano | Permiano |
| 15203402 | Ruitor-Gneiskomplex | gneiss: occhiadino | scisto: mica-granato | anfibolite | Complesso gneissico del Ruitor | Proterozoico | Paleozoico |
| 15203403 | Corno-Gneis | gneiss: psammitico | gneiss: psefitico: fengite | – | Gneiss del Corno | Proterozoico | Paleozoico |
| 15203404 | Unterpenninikum Trias: Quarzit | quarzite | – | – | – | Triassico | Triassico |
| 15203405 | Mittelpenninikum Grundgebirge | gneiss | – | – | – | Proterozoico | Paleozoico |
| 15203406 | Mont-Brûlé-Quarzit | quarzite | scisto: quarzo-mica | – | Quarzite del Mont Brûlé | Carbonifero | Permiano |
| 15203407 | Mont-Brûlé-Quarzit: Plan-Palasuit-Konglomerat | conglomerato | – | – | Conglomerato di Plan Palasuit | Carbonifero | Permiano |
| 15203408 | Oberpenninikum: Metasedimente | scisto: calcareo: sericite | scisto: argilloso | – | – | Mesozoico | Mesozoico |

| Code | GMU | Litho principale | Litho secondaire | Litho tertiaire | Formation | Chrono base | Chrono top |
|---|---|---|---|---|---|---|---|
| 15203409 | Tsaté-Decke: Metasedimente | roccia: sedimentario | – | – | – | Mesozoico | Mesozoico |
| 15203410 | Tsaté-Decke: Marmor | marmo | breccia | – | – | Giurassico medio | Giurassico superiore |
| 15203411 | Tsaté-Decke: Radiolarit | roccia: siliceo: radiolari | scisto: siliceo | quarzite | Radiolarite di Chanrion | Giurassico medio | Giurassico superiore |
| 15203412 | Zermatt-Saas-Decke: Metasedimente | scisto: calcareo | scisto: mica-granato | marmo | – | Cretaceo inferiore | Cretaceo superiore |
| 15203413 | Oberpenninikum: Ophiolith | serpentinite | gabbro | basalto | – | Giurassico medio | Giurassico superiore |
| 15203414 | Tsaté-Decke: Ophiolith | serpentinite | gabbro | basalto | – | Giurassico medio | Giurassico superiore |
| 15203415 | Tsaté-Decke: Metabasalt | basalto | prasinite | – | Metabasalto del Mont des Ritzes | Giurassico medio | Giurassico superiore |
| 15203416 | Tsaté-Decke: Metagabbro | gabbro | – | – | Metagabbro delle Aiguilles Rouges d'Arolla | Giurassico medio | Giurassico superiore |
| 15203417 | Torrembey-Brekzie | breccia: calcareo | – | – | Breccia di Torrembey | Triassico | Triassico |
| 15203418 | Zermatt-Saas-Decke: Marmor | marmo | – | – | – | Giurassico superiore | Giurassico superiore |
| 15203419 | Zermatt-Saas-Decke: Quarzit | quarzite | roccia: siliceo: radiolari | – | – | Giurassico medio | Giurassico superiore |
| 15203420 | Zermatt-Saas-Decke: Riffelberg-Melange | scisto: mica-granato | basalto | eclogite | Mélange del Riffelberg | Mesozoico | Mesozoico |
| 15203421 | Zermatt-Saas-Decke: Schiefer | scisto: calcareo: sericite | scisto: mica-granato | – | – | Cretaceo inferiore | Cretaceo superiore |
| 15203422 | Zermatt-Saas-Decke: Ophiolith | prasinite | anfibolite | basalto | – | Giurassico medio | Giurassico superiore |

| Code | GMU | Litho principale | Litho secondaire | Litho tertiaire | Formation | Chrono base | Chrono top |
|---|---|---|---|---|---|---|---|
| 15203423 | Zermatt-Saas-Decke: Metabasalt | basalto | prasinite | – | Metabasalto del Pfulwe | Giurassico medio | Giurassico superiore |
| 15203424 | Antrona-Decke: Ophiolith | prasinite | anfibolite | basalto | – | Giurassico medio | Giurassico superiore |
| 15203425 | Ergischhorn-Komplex-Fm.: Böshorn-Gneis | gneiss | granito | – | Gneiss del Böshorn | Proterozoico | Paleozoico |
| 15203426 | Monte-Leone-Decke: Orthogneis | gneiss: magmatico | – | – | – | Carbonifero | Permiano |
| 15203427 | Monte-Leone-Decke: Leukogneis | gneiss | – | – | – | Proterozoico | Paleozoico |
| 15203428 | Monte-Leone-Decke: Hyperaugengneis | gneiss: occhiadino | – | – | – | Ordoviciano | Ordoviciano |
| 15203429 | Monte-Leone-Decke: Paragneis | gneiss: sedimentario | – | – | – | Proterozoico | Paleozoico |
| 15203430 | Lebendun-Decke: Arkose | arenaria: feldspato | – | – | Complesso del Lebendun | Mesozoico | Mesozoico |
| 15203431 | Lebendun-Decke: Konglomerat | conglomerato | – | – | Complesso del Lebendun | Mesozoico | Mesozoico |
| 15203432 | Ruginenta-Decke: Sedimentbedeckung | calcare | dolomia | serpentinite | – | Pennsylvaniano | Triassico |
| 15203433 | Ruginenta-Decke: Grundgebirge | gneiss | roccia: ultramafico | scisto: mica-granato | – | Proterozoico | Paleozoico |
| 15203434 | Ruginenta-Decke: Glimmerschiefer | scisto: mica-granato | – | – | – | Proterozoico | Paleozoico |

| Code | GMU | Litho principale | Litho secondaire | Litho tertiaire | Formation | Chrono base | Chrono top |
|---|---|---|---|---|---|---|---|
| 15203435 | Ruginenta-Decke: Paragneis | gneiss: sedimentario | – | – | – | Proterozoico | Paleozoico |
| 15203371 | Punta-Rossa-Komplex | gneiss | serpentinite | conglomerato | Complesso della Punta Rossa | Paleozoico | Mesozoico |
| 15203372 | Ferret-Schiefer | scisto: argilloso | scisto: siliceo | calcare | Scisti di Ferret | Cretaceo inferiore | Cretaceo superiore |
| 15203373 | Piz-Terri-Lunschania: Basale Tonschiefer | scisto: sabbioso-argilloso | – | – | – | Giurassico inferiore | Giurassico inferiore |
| 15203374 | Grava-Decke: Kalk- und Tonschiefer | scisto | – | – | – | Cretaceo | Cretaceo |
| 15203376 | Piz-Terri-Lunschania: Konglomeratgneis | gneiss: psefitico | – | – | – | Permiano | Triassico inferiore |
| 15203377 | Garzott-Brekzie | breccia | calcare: sabbioso | quarzite | Breccia di Garzott | Giurassico inferiore | Giurassico medio |
| 15203378 | Areua-Bruschghorn-Melange | gneiss | breccia | – | Mélange di Areua-Bruschghorn | Paleozoico | Cenozoico |
| 15203379 | Grava-Decke: Albitquarzit | quarzite: albite | – | – | – | Giurassico medio | Giurassico medio |
| 15203380 | Grava-Decke: Basale Tonschiefer | scisto: argilloso | – | – | – | Mesozoico | Mesozoico |
| 15203381 | Aul-Decke: Phengitgneis | gneiss: occhiadino: fengite | – | – | – | Paleozoico | Paleozoico |
| 15203382 | Haute-Pointe-Fm. | calcare: siliceo: bioclasti-selce | calcare: marnoso-scistoso | – | Formazione della Haute-Pointe | Calloviano | Oxfordiano |

| Code | GMU | Litho principale | Litho secondaire | Litho tertiaire | Formation | Chrono base | Chrono top |
|---|---|---|---|---|---|---|---|
| 15203383 | Brasses-Fm. | calcare: siliceo | calcare: spatico: bioclasti | calcare: marnoso-scistoso | Formazione delle Brasses | Pliensbachiano | Bajociano |
| 15203385 | Monte-Rosa-Decke: Macugnaga-Augengneis | gneiss: occhiadino | – | – | Gneiss occhiadino di Macugnaga | Pennsylvaniano | Pennsylvaniano |
| 15203386 | Zone Houillère: Perm | scisto: quarzo | conglomerato | arenaria | – | Permiano | Permiano |
| 15203451 | Portjengrat-Decke: Almagelhorn-Migmatit | migmatite | – | – | Migmatite del Almagelhorn | Proterozoico | Paleozoico |
| 15203452 | Portjengrat-Decke: Paragneis | gneiss: sedimentario | gneiss: migmatitico | – | Paragneiss del Weissmies | Proterozoico | Paleozoico |
| 15203454 | Monte-Rosa-Decke: Stellihorn-Mylonit | gneiss: milonitico | – | – | Milonite del Stellihorn | Paleozoico | Cenozoico |
| 15203455 | Pizzo-del-Vallone-Decke: Kalkschiefer | scisto: calcareo | scisto: mica | – | – | Mesozoico | Paleogene |
| 15203456 | Unterpenninikum: Dogger | scisto | arenaria | – | – | Giurassico medio | Giurassico medio |
| 15203457 | Unterpenninikum: Lias | calcare | scisto | – | – | Giurassico inferiore | Aaleniano |
| 15203458 | Unterpenninikum: Trias: Dolomit | marmo: dolomitico | – | – | – | Triassico | Triassico |
| 15203459 | Pizzo-del-Vallone-Decke: Valgrande-Paragneis | gneiss: sedimentario | gneiss: biotite-muscovite | scisto: mica | Paragneiss di Valgrande | Proterozoico | Paleozoico |

| Code | GMU | Litho principale | Litho secondaire | Litho tertiaire | Formation | Chrono base | Chrono top |
|---|---|---|---|---|---|---|---|
| 15203460 | Mittelpenninikum Variszische Intrusiva | gneiss: magmatico | – | – | – | Carbonifero | Permiano |
| 15203461 | Mittelpenninikum Prävariszisches Grundgebirge | gneiss | – | – | – | Proterozoico | Paleozoico |
| 15203462 | Moncucco-Peridotit | peridotite | – | – | Peridotite del Moncucco | Paleozoico | Mesozoico |
| 15203463 | Adlerflüe-Fm.: Albitaugenschiefer | scisto: occhiadino: mica | gneiss: albite | – | Formazione del Adlerflüe | Proterozoico | Cambriano |
| 15203464 | Adlerflüe-Fm.: Bänderamphibolit | anfibolite: a bande | – | – | Formazione del Adlerflüe | Proterozoico | Cambriano |
| 15203465 | Adlerflüe-Fm.: Minugrat-Eklogit | eclogite | anfibolite: a bande | – | Eclogite del Minugrat | Proterozoico | Cambriano |
| 15203466 | Ergischhorn-Komplex: Amphibolit | anfibolite | – | – | Complesso del Ergischhorn | Proterozoico | Proterozoico |
| 15203467 | Distulberg-Fm.: Grüngesteine | roccia: mafico | – | – | Formazione del Distulberg | Cambriano | Ordoviciano |
| 15203468 | Métailler-Fm.: Prasinit | prasinite | – | – | Formazione del Métailler | Cambriano | Ordoviciano |
| 15203469 | Métailler-Fm.: Ultramafisches Gestein | roccia: ultramafico | – | – | Formazione del Métailler | Cambriano | Ordoviciano |
| 15203470 | Randa-Augengneis: Oberems-Albitgneis | gneiss: albite | riolite | – | Gneiss albitico di Oberems | Permiano | Permiano |
| 15203471 | Maggia-Decke: Permo-Karbon | scisto | conglomerato | – | – | Carbonifero | Permiano |

| Code | GMU | Litho principale | Litho secondaire | Litho tertiaire | Formation | Chrono base | Chrono top |
|---|---|---|---|---|---|---|---|
| 15203472 | Maggia-Decke: Quarz-Glimmerschiefer | scisto: quarzo-mica | – | – | – | Permiano | Permiano |
| 15203473 | Maggia-Decke: Muskovit-Graphitschiefer | scisto: mica-grafite | – | – | – | Carbonifero | Carbonifero |
| 15203474 | Maggia-Decke: Variszische Intrusive | roccia: plutonico | – | – | – | Carbonifero | Permiano |
| 15203475 | Maggia-Decke: Prävariszisches Grundgebirge | gneiss | anfibolite | – | – | Proterozoico | Paleozoico |
| 15203476 | Maggia-Decke: Paragneis | gneiss: sedimentario | – | – | – | Proterozoico | Paleozoico |
| 15203477 | Maggia-Decke: Bändergneis | gneiss: a bande | – | – | – | Proterozoico | Paleozoico |
| 15203478 | Maggia-Decke: Augengneis | gneiss: occhiadino | – | – | – | Proterozoico | Paleozoico |
| 15203479 | Alpigia-Gneis | gneiss: migmatitico | anfibolite: migmatitico | – | Gneiss di Alpigia | Permiano | Permiano |
| 15203480 | Gresso-Someo-Zone | quarzite | marmo: calcareo | – | – | Mesozoico | Mesozoico |
| 15203481 | Pertusio-Zone | quarzite | marmo: calcareo | – | – | Mesozoico | Mesozoico |
| 15203482 | Passo-di-Cristallina-Zone | marmo | quarzite | scisto: mica-granato | – | Mesozoico | Mesozoico |
| 15203483 | Lago-Scuro-Fm. | marmo: conglomeratico | breccia: calcareo | – | Formazione del Lago Scuro | Giurassico medio | Giurassico superiore |
| 15203484 | Val-Sabbia-Fm. | quarzite | – | – | Formazione della Val Sabbia | Sinemuriano | Sinemuriano |
| 15203485 | Massari-Fm. | arenaria | calcare: sabbioso | – | Formazione di Massari | Hettangiano | Pliensbachiano |
| 15203486 | Naret-Fm. | scisto: quarzo-mica | scisto: mica-grafite | marmo | Formazione del Naret | Retico | Hettangiano |

| Code | GMU | Litho principale | Litho secondaire | Litho tertiaire | Formation | Chrono base | Chrono top |
|---|---|---|---|---|---|---|---|
| 15203487 | Zermatt-Sass-Decke: Serpentinit | serpentinite | – | – | – | Giurassico medio | Giurassico superiore |
| 15203488 | Antrona-Decke: Loranco-Amphibolit | anfibolite | – | – | Anfibolite della Val Loranco | Giurassico medio | Giurassico superiore |
| 15203489 | Antrona-Decke: Andolla-Eklogit | eclogite | – | – | Eclogite di Andolla | Giurassico medio | Giurassico superiore |
| 15203490 | Roz-Schiefer | scisto: sabbioso-calcareo | scisto: sabbioso | scisto: argilloso | Scisto del Piz Roz | Cretaceo superiore | Paleogene |
| 15203491 | Ramosch-Zone: Ophiolith | serpentinite | anfibolite | – | – | Giurassico | Cretaceo inferiore |
| 15203492 | Arosa-Decke: Metasedimente | scisto | marmo | arenaria | – | Giurassico superiore | Cretaceo superiore |
| 15203493 | Totalp-Serpentinit | serpentinite | – | – | Serpentinite della Totalp | Batoniano | Oxfordiano |
| 15203494 | Maran-Brekzie | breccia: polimittico | scisto: argilloso-siliceo | – | Breccia di Maran | Giurassico superiore | Giurassico superiore |
| 15203495 | Tumpriv-Fm.: Solis-Kalk | calcare: argilloso: selce | – | – | Calcare di Solis | Giurassico inferiore | Giurassico superiore |
| 15203496 | Platta-Decke: Metasedimente | roccia: sedimentario | – | – | – | Giurassico | Cenozoico |
| 15203497 | Platta-Decke: Flix-Schichten | scisto: argilloso | scisto: siliceo | – | Strati dell'Alp Flix | Aptiano | Albiano |
| 15203498 | Platta-Decke: Kalzitmarmor | marmo: calcareo | marna | – | – | Giurassico | Giurassico |
| 15203499 | Platta-Decke: Falotta-Radiolarit | scisto: quarzo | scisto: argilloso-siliceo | roccia: siliceo: radiolari | Radiolarite della Falotta | Giurassico | Giurassico |

| Code | GMU | Litho principale | Litho secondaire | Litho tertiaire | Formation | Chrono base | Chrono top |
|---|---|---|---|---|---|---|---|
| 15203500 | Platta-Decke: Ophiolith | serpentinite | gabbro | basalto | – | Giurassico medio | Giurassico superiore |
| 15203501 | Vignun-Gneis | gneiss | – | – | Gneiss di Vignone | Paleozoico | Paleozoico |
| 15203436 | Monte-Rosa-Decke: Preja-Fm. | quarzite | cargnola | marmo | Formazione della Preja | Triassico | Giurassico superiore |
| 15203437 | Monte-Rosa-Decke: Cavalli-Fm. | arenaria: feldspato | quarzite: mica-granato | scisto: mica-granato | Formazione dei Cavalli | Permiano | Permiano |
| 15203438 | Monte-Rosa-Decke: Sedimentbedeckung | arenaria: feldspato | quarzite | marmo | – | Permiano | Mesozoico |
| 15203439 | Monte-Rosa-Orthogneis: Mezzalama-Granit | granito: porfirico | – | – | Granito di Mezzalama | Cisuraliano | Guadalupiano |
| 15203441 | Monte-Rosa-Decke: Rottal-Migmatit | migmatite | – | – | Migmatite del Rottal | Paleozoico | Paleozoico |
| 15203442 | Monte-Rosa-Orthogneis: Mylonitische Fazies | gneiss: milonitico | gneiss: magmatico | – | Ortogneiss del Monte Rosa | Carbonifero | Permiano |
| 15203443 | Monte-Rosa-Decke: Paragneis | gneiss: sedimentario | scisto: mica | – | – | Proterozoico | Paleozoico |
| 15203444 | Monte-Rosa-Decke: Biotitgneis | gneiss: biotite | – | – | – | Proterozoico | Paleozoico |
| 15203445 | Monte-Rosa-Decke: Bändergneis | gneiss: a bande | – | – | – | Proterozoico | Paleozoico |

| Code | GMU | Litho principale | Litho secondaire | Litho tertiaire | Formation | Chrono base | Chrono top |
|---|---|---|---|---|---|---|---|
| 15203446 | Monte-Rosa-Decke: Glimmerschiefer | scisto: mica | – | – | – | Proterozoico | Paleozoico |
| 15203447 | Portjengrat-Decke: Sedimentbedeckung | marmo | dolomia | arenaria | – | Triassico | Cretaceo superiore |
| 15203449 | Portjengrat-Decke: Portjengrat-Orthogneis | gneiss: granitico | – | – | Ortogneiss del Portjengrat | Carbonifero | Permiano |
| 15203450 | Portjengrat-Decke: Saas-Fee-Augengneis | gneiss: occhiadino | – | – | Gneiss occhiadino di Saas Fee | Paleozoico | Paleozoico |
| 15203515 | Adula-Decke: Albit-Oligoklasgneis | gneiss: albite-oligoclasio | – | – | – | Proterozoico | Paleozoico |
| 15203516 | Sivigia-Gneis | gneiss | scisto: mica-granato | – | Gneiss di Sivigia | Proterozoico | Paleozoico |
| 15203517 | Aula-Spruga-Gneiskomplex | gneiss: biotite | gneiss: orneblenda | – | Complesso gneissico di Aula-Spruga | Proterozoico | Paleozoico |
| 15203518 | Piz-Lizun-Komplex | prasinite: scistoso | gabbro | – | Scisto del Piz Lizun | Giurassico medio | Giurassico superiore |
| 15203519 | Rossi-Fm. | scisto: mica-granato | – | – | Formazione dei Rossi | Giurassico superiore | Cretaceo |
| 15203520 | Bosco-Gneis | gneiss | – | – | Gneiss di Bosco | Paleozoico | Paleozoico |
| 15203521 | Batnall-Gneis | gneiss: occhiadino | – | – | Gneiss del Batnall | Paleozoico | Paleozoico |
| 15203522 | Niesen-Flysch: Seron-Fm.: Sandig-kalkige Fazies | calcare: sabbioso: bioclasti | – | – | Formazione di Seron | Maastrichtiano | Maastrichtiano |

| Code | GMU | Litho principale | Litho secondaire | Litho tertiaire | Formation | Chrono base | Chrono top |
|---|---|---|---|---|---|---|---|
| 15203523 | Niesen-Flysch: Seron-Fm.: Konglomerat-dominierte Fazies | conglomerato: polimittico | – | – | Formazione di Seron | Maastrichtiano | Maastrichtiano |
| 15203524 | Niesen-Flysch: Frutigen-Fm.: Konglomerat-dominierte Fazies | conglomerato: polimittico | arenaria | – | Formazione di Frutigen | Maastrichtiano | Maastrichtiano |
| 15203525 | Niesen-Flysch: Frutigen-Fm.: Schiefrige Fazies | argillite: scistoso | arenaria: calcareo | arenaria: argilloso | Formazione di Frutigen | Maastrichtiano | Maastrichtiano |
| 15203526 | Zone Submédiane: Melange: Gips | evaporite: gesso | argillite | – | – | Cretaceo superiore | Paleogene |
| 15203527 | Zentralschweizerische Klippen: Keuper | calcare: corali | argillite | – | – | Triassico superiore | Triassico superiore |
| 15203528 | Zwischenmythen-Mergel | marna: sabbioso: mica | – | – | Marna di Zwischenmythen | Triassico superiore | Triassico superiore |
| 15203529 | Arosa-Decke: Cenomanbrekzien-Serie | breccia | argillite: scistoso | marna | «Cenomanbrekzien Serie» | Cenomaniano | Cenomaniano |
| 15203530 | Arosa-Decke: Bettlerjoch-Brekzie | breccia | – | – | Breccia del Bettlerjoch | Mesozoico | Mesozoico |
| 15203531 | Arosa-Decke: Bargella-Brekzie | breccia | – | – | Breccia del Bargellajoch | Cenomaniano | Cenomaniano |
| 15203532 | Adula-Decke: Kalkschiefer und Marmor | scisto: calcareo | marmo: calcareo | – | – | Mesozoico | Mesozoico |

| Code | GMU | Litho principale | Litho secondaire | Litho tertiaire | Formation | Chrono base | Chrono top |
|---|---|---|---|---|---|---|---|
| 15203533 | Adula-Decke: Salahorn-Fm.: Metaplutonit | gneiss: magmatico | gneiss: biotite-muscovite | anfibolite | Formazione del Salahorn | Cambriano | Cambriano |
| 15203534 | Adula-Decke: Salahorn-Fm.: Paragneis | gneiss: sedimentario | gneiss: biotite | – | Formazione del Salahorn | Cambriano | Cambriano |
| 15203535 | Adula-Decke: Ultramafisches Gestein | roccia: ultramafico | – | – | – | Proterozoico | Paleozoico |
| 15203536 | Cima-Lunga-Decke: Kalkschiefer und Marmor | scisto: calcareo | marmo: calcareo | – | – | Mesozoico | Mesozoico |
| 15203537 | Cima-Lunga-Decke: Dolomitmarmor | marmo: dolomitico | – | – | – | Triassico | Triassico |
| 15203538 | Cima-Lunga-Decke: Paragneis | gneiss: sedimentario | gneiss: biotite | gneiss: biotite-orneblenda | – | Proterozoico | Paleozoico |
| 15203539 | Cima-Lunga-Decke: Vacarisc-Gneis | gneiss: biotite-muscovite | gneiss: occhiadino | – | Gneiss di Vacarisc | Proterozoico | Paleozoico |
| 15203540 | Cima-Lunga-Decke: Rognoi-Gneis | gneiss | – | – | Gneiss di Rognoi | Proterozoico | Paleozoico |
| 15203541 | Cima-Lunga-Decke: Granatit | granofels: granato | – | – | – | Proterozoico | Paleozoico |
| 15203542 | Cima-Lunga-Decke: Amphibolit | anfibolite | – | – | – | Proterozoico | Paleozoico |
| 15203543 | Cima-Lunga-Decke: Eklogit | eclogite | – | – | – | Proterozoico | Paleozoico |

| Code | GMU | Litho principale | Litho secondaire | Litho tertiaire | Formation | Chrono base | Chrono top |
|---|---|---|---|---|---|---|---|
| 15203544 | Cima-Lunga-Decke: Ultramafisches Gestein | roccia: ultramafico | peridotite: metamorfico | – | – | Proterozoico | Paleozoico |
| 15203545 | Leventina-Einheit: Personico-Gneis | gneiss: granitico-occhiadino | gneiss: biotite-muscovite | – | Gneiss di Personico | Permiano | Permiano |
| 15203546 | Leventina-Einheit: Leventina-Gneis: Oberer, homogener Teil | gneiss: granitico | gneiss: biotite-muscovite | – | Gneiss della Leventina | Permiano | Permiano |
| 15203547 | Leventina-Einheit: Leventina-Gneis: Unterer, inhomogener Teil | gneiss: granitico | gneiss: biotite-muscovite | – | Gneiss della Leventina | Permiano | Permiano |
| 15203548 | Leventina-Einheit: Kalksilikatfels | granofels: calcsilicati | granofels: granato | – | – | Proterozoico | Paleozoico |
| 15203549 | Leventina-Einheit: Leukogneis | gneiss: biotite | – | – | – | Proterozoico | Paleozoico |
| 15203550 | Leventina-Einheit: Paragneis bis Granat-Glimmerschiefer | gneiss: sedimentario | scisto: mica-granato | – | – | Proterozoico | Paleozoico |
| 15203551 | Leventina-Einheit: Amphibolit | anfibolite | – | – | – | Proterozoico | Paleozoico |

| Code | GMU | Litho principale | Litho secondaire | Litho tertiaire | Formation | Chrono base | Chrono top |
|---|---|---|---|---|---|---|---|
| 15203552 | Maggia-Decke: Amphibolit | anfibolite | – | – | – | Proterozoico | Paleozoico |
| 15203553 | Simano-Decke: Kalkmarmor | marmo: calcareo | – | – | – | Mesozoico | Mesozoico |
| 15203554 | Simano-Decke: Trias: Dolomitmarmor | marmo: dolomitico | – | – | Formazione della Röti | Triassico | Triassico |
| 15203555 | Simano-Decke: Paragneis | gneiss: sedimentario | gneiss: biotite | gneiss: biotite-orneblenda | – | Proterozoico | Paleozoico |
| 15203556 | Simano-Decke: Renten-Gneis | gneiss | – | – | Gneiss di Renten | Proterozoico | Paleozoico |
| 15203557 | Simano-Decke: Legiuna-Gneis | gneiss: occhiadino | – | – | Gneiss della Legiuna | Ordoviciano | Ordoviciano |
| 15203558 | Simano-Decke: Amphibolit | anfibolite | – | – | – | Proterozoico | Paleozoico |
| 15203559 | Simano-Decke: Ultramafisches Gestein | roccia: ultramafico | – | – | – | Proterozoico | Paleozoico |
| 15203560 | Alpbach-Schiefer | scisto: argilloso | arenaria | calcare | Scisto del Alpbach | Cretaceo | Cretaceo |
| 15203561 | Arosa-Decke: Gabbro | gabbro | – | – | – | Giurassico medio | Giurassico medio |
| 15203562 | Zentralschweizerische Klippen: Flysch | arenaria | marna | – | – | Eocene | Eocene |
| 15203563 | Zentralschweizerische Klippen: Couches-Rouges | calcare: marnoso | calcare: micritico | marna | – | Albiano | Maastrichtiano |
| 15203564 | Wägital-Flysch: Oberer Teil (Paläogen) | breccia: polimittico | arenaria | calcare: siltoso-argilloso | Flysch del Wägital | Ypresiano | Ypresiano |
| 15203502 | Avers-Decke: Metasedimente | roccia: sedimentario | – | – | – | Giurassico | Cenozoico |
| 15203503 | Avers-Decke: Ophiolith | serpentinite | gabbro | basalto | – | Giurassico medio | Giurassico superiore |

| Code | GMU | Litho principale | Litho secondaire | Litho tertiaire | Formation | Chrono base | Chrono top |
|---|---|---|---|---|---|---|---|
| 15203504 | Tasna-Decke: Couches Rouges | breccia | – | – | – | Albiano | Cretaceo superiore |
| 15203505 | Tasna-Decke: Tristel-Fm.: Minschun-Brekzie | breccia: polimittico | – | – | Breccia del Piz Minschun | Barremiano | Aptiano |
| 15203506 | Tasna-Decke: Prävariszisches Grundgebrige | gneiss: sedimentario | scisto | migmatite | – | Proterozoico | Paleozoico |
| 15203507 | Piz-del-Palo-Gneis | gneiss: occhiadino | gneiss: a bande | – | Gneiss del Piz del Palo | Proterozoico | Paleozoico |
| 15203508 | Tambo-Decke: Truzzo-Granit | granito | gneiss: occhiadino | – | Granito di Truzzo | Carbonifero | Permiano |
| 15203509 | Simano-Decke: Rebi-Gneis | gneiss | granito | – | Gneiss di Rebi | Proterozoico | Paleozoico |
| 15203510 | Simano-Decke: Brione-Gabbro | gabbro | – | – | Gabbro di Brione | Proterozoico | Paleozoico |
| 15203511 | Gruf-Migmatit | gneiss: migmatitico | – | – | Migmatite del Gruf | Proterozoico | Paleozoico |
| 15203512 | Adula-Decke: Basaler Gneis | gneiss: biotite-muscovite | – | – | – | Proterozoico | Paleozoico |
| 15203513 | Val-Chironico-Gneis | gneiss: biotite-orneblenda | – | – | Gneis della Val Chironico | Proterozoico | Paleozoico |
| 15203514 | Ganna-Gneis | gneiss: scistoso-occhiadino | – | – | Gneiss di Ganna | Proterozoico | Paleozoico |
| 15203565 | Wägital-Flysch: Unterer Teil (Kreide) | breccia: polimittico | marna | calcare: micritico | Flysch del Wägital | Santoniano | Maastrichtiano |
| 15203566 | Wägital-Flysch: Basaler tektonisierter Teil | arenaria | marna | calcare: siltoso-argilloso | Flysch del Wägital | Santoniano | Maastrichtiano |

| Code | GMU | Litho principale | Litho secondaire | Litho tertiaire | Formation | Chrono base | Chrono top |
|---|---|---|---|---|---|---|---|
| 15203567 | Gibel- und Griggeli-Fm. | calcare: sabbioso | – | – | – | Batoniano | Oxfordiano |
| 15203568 | Mittelpenninikum Trias: Dolomit | dolomia | – | – | – | Triassico | Triassico |
| 15203569 | Mittelpenninikum Trias: Dolomit und Kalk | dolomia | calcare | – | – | Triassico | Triassico |
| 15203570 | Mittelpenninikum Trias: Dolomit und Rauwacke | dolomia: scistoso | cargnola | – | – | Triassico | Triassico |
| 15203571 | Mittelpenninikum Trias: Rauwacke | cargnola | – | – | – | Triassico | Triassico |
| 15203572 | Mittelpenninikum Trias: Gipsmergel und Sandstein | marna: gesso | arenaria | – | – | Triassico | Triassico |
| 15203573 | Schlieren-Sandstein: Im Paläogen tektonisch überprägt | arenaria | siltite | argillite | Arenaria delle Schlieren | Paleogene | Paleogene |
| 15203574 | Leimern-Sch. | calcare: marnoso | marna: calcareo | – | Strati della Leimern | Cretaceo | Eocene medio |
| 15203575 | Mittelpenninikum Trias: Rauwacke und Sandstein | cargnola | arenaria: quarzo | – | – | Triassico inferiore | Triassico medio |
| 15203576 | Guber- Schoni- und Schlieren-Sandstein | arenaria | siltite | – | – | Ypresiano | Ypresiano |
| 15203577 | Brand- und Obflue-Fm. undiff. | calcare: sabbioso | calcare: spatico | – | – | Sinemuriano | Pliensbachiano |

| Code | GMU | Litho principale | Litho secondaire | Litho tertiaire | Formation | Chrono base | Chrono top |
|---|---|---|---|---|---|---|---|
| 15203579 | Nolla-Tonschiefer: Quarzsandstein | arenaria: quarzo | – | – | Scisto argilloso della Nolla | Aptiano | Albiano |
| 15203580 | Bärenhorn-Fm.: Quarzsandstein | arenaria: quarzo | – | – | Formazione del Bärenhorn | Berriasiano | Barremiano |
| 15203581 | Grava-Decke: Kalkschiefer | scisto: calcareo | – | – | – | Cretaceo | Cretaceo |
| 15203582 | Grava-Decke: Tonschiefer | scisto: argilloso | – | – | – | Cretaceo | Cretaceo |
| 15203583 | Grava-Decke: Trias | scisto: sericite | – | – | – | Triassico | Triassico |
| 15203584 | Soladier- und Verdy-Mb. | marna | calcare | – | Formazione del Staldengraben | Toarciano | Bajociano |
| 15203585 | Col-de-Tompey- und Bois-de-Luan-Mb. | marna | arenaria: calcareo | calcare: micritico | – | Hettangiano | Hettangiano |
| 15203586 | Heiti- und Rossinière-Fm. | marna | calcare: siliceo | calcare: spatico | – | Sinemuriano | Bajociano |
| 15203587 | Coulaytes-Melange und Cuvigne-Derrey-Fm. | argillite | calcare | arenaria: argilloso: litoclasti | – | Eocene medio | Priaboniano |
| 15203588 | Langel- und Col-de-Cordon-Mb. | calcare: ooidi | calcare: arenitico | – | – | Bajociano | Calloviano |
| 15203589 | Grande-Bonavau-Fm. und Fm. spathique | calcare: spatico | calcare: micritico | dolomia | – | Sinemuriano | Aaleniano |
| 15203590 | Col-de-Tompey- und Agreblierai-Mb. | marna | arenaria: calcareo | calcare: ooidi | – | Hettangiano | Hettangiano |

| Code | GMU | Litho principale | Litho secondaire | Litho tertiaire | Formation | Chrono base | Chrono top |
|---|---|---|---|---|---|---|---|
| 15203591 | Chavanette- und Rubli-Mb. | breccia | marna | calcare | – | Bajociano | Calloviano |
| 15203592 | Barrhorn-Einheit: Flyschsandstein | arenaria | arenaria: argilloso: litoclasti | scisto: calcareo | – | Eocene | Eocene |
| 15203593 | Barrhorn-Einheit: Kreide | marmo: filitico | scisto: calcareo | – | – | Aptiano | Eocene |
| 15203594 | Barrhorn-Einheit: Malm | marmo: calcareo | marna | – | – | Giurassico superiore | Cretaceo inferiore |
| 15203595 | Barrhorn-Einheit: Dogger | marmo: calcareo | scisto: grafite | quarzite | – | Giurassico medio | Giurassico medio |
| 15203596 | St-Triphon- und Wiriehorn-Fm. | calcare | dolomia | – | – | Olenekiano | Anisico |
| 15203597 | Printse-Fm. | scisto: argilloso: antracite | arenaria | conglomerato | Formazione della Printse | Carbonifero | Carbonifero |
| 15203598 | Métailler-Fm.: Louvie-Gabbro | gabbro | – | – | Gabbro di Louvie | Ordoviciano medio | Ordoviciano superiore |
| 15203599 | Distulberg-Fm.: Graphitschiefer | scisto: grafite | – | – | Formazione del Distulberg | Cambriano | Ordoviciano |
| 15203600 | Lirec-Fm.: Amphibolit | anfibolite | – | – | Formazione di Lirec | Cambriano | Cambriano |
| 15203601 | Ergischhorn-Komplex: Brändjispitz-Gabbro | gabbro | – | – | Metagabbro del Brändjispitz | Cambriano | Cambriano |
| 15203602 | Ergischhorn-Komplex: Eklogit | eclogite | – | – | Complesso del Ergischhorn | Proterozoico | Proterozoico |
| 15203616 | Monte-Leone-Decke: Dogger-Malm | conglomerato: polimittico | marmo | scisto: mica | – | Giurassico medio | Giurassico superiore |

| Code | GMU | Litho principale | Litho secondaire | Litho tertiaire | Formation | Chrono base | Chrono top |
|---|---|---|---|---|---|---|---|
| 15203617 | Monte-Leone-Decke: Dogger-Malm: Glimmerschiefer | scisto: mica | – | – | – | Giurassico medio | Giurassico superiore |
| 15203618 | Monte-Leone-Decke: Dogger-Malm: Marmor | marmo | – | – | – | Giurassico medio | Giurassico superiore |
| 15203619 | Monte-Leone-Decke: Dogger: Konglomerat | conglomerato | arenaria | – | – | Giurassico medio | Giurassico superiore |
| 15203620 | Monte-Leone-Decke: Lias | conglomerato | marmo | scisto | – | Giurassico inferiore | Giurassico medio |
| 15203621 | Monte-Leone-Decke: Lias: Sandstein | arenaria | – | – | – | Giurassico inferiore | Giurassico medio |
| 15203622 | Monte-Leone-Decke: Lias: Konglomerat | conglomerato | arenaria | – | – | Giurassico inferiore | Giurassico medio |
| 15203623 | Monte-Leone-Decke: Trias | quarzite | marmo | cargnola | – | Triassico | Triassico |
| 15203624 | Monte-Leone-Decke: Quarzitische Trias | quarzite | – | – | – | Triassico | Triassico |
| 15203625 | Pizzo-del-Vallone-Decke: Sedimentbedeckung | scisto: sabbioso-argilloso | scisto: calcareo | arenaria | – | Mesozoico | Paleogene |
| 15203626 | Pizzo-del-Vallone-Decke: Dogger-Malm | arenaria | scisto: sabbioso-argilloso | marmo | – | Giurassico medio | Giurassico superiore |

| Code | GMU | Litho principale | Litho secondaire | Litho tertiaire | Formation | Chrono base | Chrono top |
|---|---|---|---|---|---|---|---|
| 15203627 | Pizzo-del-Vallone-Decke: Dogger-Malm: Marmor | marmo | – | – | – | Giurassico medio | Giurassico superiore |
| 15203628 | Pizzo-del-Vallone-Decke: Dogger-Malm: Glimmerschiefer | scisto: mica | – | – | – | Giurassico medio | Giurassico superiore |
| 15203629 | Pizzo-del-Vallone-Decke: Dogger-Malm: Basisches Gestein | anfibolite | prasinite | – | – | Giurassico medio | Giurassico superiore |
| 15203630 | Pizzo-del-Vallone-Decke: Lias | conglomerato | quarzite | scisto: mica | – | Giurassico inferiore | Aaleniano |
| 15203631 | Pizzo-del-Vallone-Decke: Trias | cargnola | marmo | evaporite: gesso | – | Triassico | Triassico |
| 15203632 | Mont-Fort-Decke: Sedimentbedeckung | breccia | marmo | cargnola | – | Mesozoico | Mesozoico |
| 15203633 | Mont-Fort-Decke: Trias | marmo: dolomitico | marmo: calcareo | cargnola | – | Triassico | Triassico |
| 15203634 | Mont-Fort-Decke: Trias: Rauwacke | cargnola | – | – | – | Triassico | Triassico |
| 15203635 | Métailler-Fm.: Quarzit | quarzite | – | – | Formazione del Métailler | Ordoviciano | Ordoviciano |
| 15203636 | Métailler-Fm.: Glimmerschiefer | scisto: mica | – | – | Formazione del Métailler | Ordoviciano | Ordoviciano |
| 15203637 | Métailler-Fm.: Chloritoid-Glimmerschiefer | scisto: mica-chloritoido | – | – | Formazione del Métailler | Ordoviciano | Ordoviciano |

| Code | GMU | Litho principale | Litho secondaire | Litho tertiaire | Formation | Chrono base | Chrono top |
|---|---|---|---|---|---|---|---|
| 15203638 | Distulberg-Fm.: Schiefer | scisto | – | – | Formazione del Distulberg | Cambriano | Cambriano |
| 15203639 | Distulberg-Fm.: Albitgneis | gneiss: albite | – | – | Formazione del Distulberg | Cambriano | Cambriano |
| 15203640 | Barrhorn-Einheit: Karbonatische Trias | marmo | cargnola | – | – | Triassico medio | Triassico superiore |
| 15203641 | Siviez-Mischabel-Decke: Leukokratischer Aplitgneis | gneiss: aplitico | – | – | – | Proterozoico | Paleozoico |
| 15203642 | Siviez-Mischabel-Decke: Pegmatit | pegmatite | – | – | – | Proterozoico | Paleozoico |
| 15203643 | Lirec-Fm.: Leukokrater Mikroklingneis | gneiss: microclino | – | – | Formazione di Lirec | Cambriano | Cambriano |
| 15203644 | Adlerflüe-Fm.: Leukokrater Gneiss | gneiss: aplitico | – | – | Formazione del Adlerflüe | Proterozoico | Cambriano |
| 15203645 | Ergischhorn-Komplex: Leukokratischer Aplitgneis | gneiss: aplitico | – | – | Complesso del Ergischhorn | Proterozoico | Proterozoico |
| 15203646 | Stalden-Gneiskomplex | gneiss | scisto: mica | – | Complesso gneissico di Stalden | Proterozoico | Paleozoico |
| 15203647 | Stalden-Gneiskomplex: Ahorn-Augengneis | gneiss: occhiadino | – | – | Gneiss occhiadino del Ahorn | Proterozoico | Paleozoico |

| Code | GMU | Litho principale | Litho secondaire | Litho tertiaire | Formation | Chrono base | Chrono top |
|---|---|---|---|---|---|---|---|
| 15203648 | Stalden-Gneiskomplex: Basisches Gestein | anfibolite | prasinite | – | Complesso gneissico di Stalden | Proterozoico | Paleozoico |
| 15203649 | Printse-Fm.: Konglomerat | conglomerato | – | – | Formazione della Printse | Carbonifero | Permiano |
| 15203650 | Printse-Fm.: Graphitschiefer | scisto: grafite | scisto: argilloso: antracite | – | Formazione della Printse | Carbonifero | Permiano |
| 15203651 | Portjengrat-Decke: Kalzitmarmor | marmo: calcareo | – | – | – | Mesozoico | Mesozoico |
| 15203652 | Portjengrat-Decke: Dolomitmarmor | marmo: dolomitico | – | – | – | Triassico | Triassico |
| 15203653 | Portjengrat-Decke: Arkose | arenaria: feldspato | – | – | – | Triassico | Triassico |
| 15203654 | Portjengrat-Decke: Grundgebirge | gneiss: migmatitico | gneiss | – | – | Proterozoico | Paleozoico |
| 15203655 | Gornergrat-Decke: Kalkschiefer, sandiger Marmor, Brekzie | scisto: calcareo | marmo: sabbioso | breccia | – | Mesozoico | Mesozoico |
| 15203656 | Gornergrat-Decke: Karbonatische Trias | marmo: dolomitico | marmo: calcareo | cargnola | – | Triassico medio | Triassico superiore |
| 15203657 | Gornergrat-Decke: Phengit-Albitschiefer | scisto: albite-fengite | scisto: conglomeratico | quarzite | – | Permiano | Triassico inferiore |

| Code | GMU | Litho principale | Litho secondaire | Litho tertiaire | Formation | Chrono base | Chrono top |
|---|---|---|---|---|---|---|---|
| 15203658 | Gornergrat-Decke: Basisches Ganggestein | roccia: basico-filoniano | – | – | – | Mesozoico | Mesozoico |
| 15203659 | Gornergrat-Decke: Granat-Muskovit-Schiefer | scisto: mica-granato | – | – | – | Proterozoico | Paleozoico |
| 15203660 | Frilihorn-Decke: Karbonatische Trias | marmo: dolomitico | marmo: calcareo | cargnola | – | Triassico medio | Cretaceo inferiore |
| 15203661 | Frilihorn-Decke: Trias: Rauwacke | cargnola | – | – | – | Triassico | Triassico |
| 15203662 | Tsaté-Decke: Garda-Bordon-Fm.: Série feuilletée | scisto: argilloso: bitume | – | – | Formazione della Garda Bordon | Cretaceo inferiore | Cretaceo superiore |
| 15203663 | Tsaté-Decke: Garda-Bordon-Fm.: Quarzschiefer | scisto: quarzo | – | – | Formazione della Garda Bordon | Cretaceo inferiore | Cretaceo superiore |
| 15203664 | Tsaté-Decke: Serpentinit | serpentinite | – | – | – | Giurassico medio | Giurassico superiore |
| 15203665 | Zermatt-Saas-Decke: Eklogit | eclogite | scisto: glaucofane | – | – | Giurassico medio | Giurassico superiore |
| 15203666 | Zermatt-Saas-Decke: Metapyroxenit | pirossenite | – | – | – | Giurassico medio | Giurassico superiore |
| 15203603 | Südegg-Komplex: Prasinit | prasinite | basalto | – | Complesso di Südegg | Giurassico | Cretaceo |

| Code | GMU | Litho principale | Litho secondaire | Litho tertiaire | Formation | Chrono base | Chrono top |
|---|---|---|---|---|---|---|---|
| 15203604 | Südegg-Komplex: Talk-Chloritschiefer | scisto: clorite-talco | – | – | Complesso di Südegg | Giurassico | Cretaceo |
| 15203605 | Gurnigel-Flysch: Flysch-3 | marna | arenaria: calcareo | – | «Flysch 3» | Daniano | Thanetiano |
| 15203606 | Gurnigel-Flysch: Flysch-2 | arenaria | argillite | – | «Flysch 2» | Ypresiano | Ypresiano |
| 15203607 | Gurnigel-Flysch: Hellstätt-Fm. und Flysch 2a | argillite | arenaria | calcare: siltoso-argilloso | – | Maastrichtiano | Daniano |
| 15203608 | Aroley-, Marmontains- und St-Christophe-Fm. | scisto | marmo | quarzite | – | Cretaceo | Paleogene |
| 15203609 | Südegg-Komplex: Schwarzer Schiefer | scisto: argilloso | – | – | Complesso di Südegg | Carbonifero | Carbonifero |
| 15203610 | Südegg-Komplex: Serpentinit | serpentinite | – | – | Complesso di Südegg | Giurassico | Cretaceo |
| 15203611 | Südegg-Komplex: Albitgneis | gneiss: albite | – | – | Complesso di Südegg | Permiano | Permiano |
| 15203612 | Südegg-Komplex: Marmor | marmo: calcareo | marmo: dolomitico | breccia: dolomitico | Complesso di Südegg | Triassico medio | Triassico superiore |
| 15203613 | Südegg-Komplex: Brekzie | breccia | – | – | Complesso di Südegg | Giurassico | Giurassico |

| Code | GMU | Litho principale | Litho secondaire | Litho tertiaire | Formation | Chrono base | Chrono top |
|---|---|---|---|---|---|---|---|
| 15203614 | Südegg-Komplex: Gips | evaporite: gesso | – | – | Complesso di Südegg | Triassico | Triassico |
| 15203615 | Monte-Leone-Decke: Sedimentbedeckung | scisto | marmo | conglomerato | – | Mesozoico | Mesozoico |
| 15200691 | OSM: Humlikon-Bentonit | bentonite | – | – | Bentonite di Humlikon | Langhiano | Tortoniano |
| 15200692 | OSM und OMM, undifferenziert | arenaria | marna | conglomerato | – | Aquitaniano | Serravalliano |
| 15200693 | USM und UMM, undifferenziert | arenaria | marna | conglomerato | – | Rupeliano | Burdigaliano |
| 15200694 | Formazione di Reuchenette: parte superiore | calcare: bioclasti | marna: bioclasti | – | Formazione di Reuchenette | Kimmeridgiano | Kimmeridgiano |
| 15200695 | Formazione di Reuchenette: parte inferiore | calcare: micritico | marna: bioclasti | calcare: marnoso | Formazione di Reuchenette | Kimmeridgiano | Kimmeridgiano |
| 15200696 | Formazione di Ifenthal: parte superiore | calcare: spatico: bioclasti | calcare: ooidi di ferro | marna | Formazione di Ifenthal | Calloviano | Oxfordiano |
| 15200697 | Formazione di Ifenthal: parte inferiore | marna | calcare: bioclasti | calcare: ooidi di ferro | Formazione di Ifenthal | Batoniano | Calloviano |
| 15200698 | Hauptmumienbank Mb. bis Porrentruy-Mb. | calcare: micritico | calcare: marnoso: bioclasti | calcare: gessoso | – | Oxfordiano | Kimmeridgiano |
| 15200699 | Felsenkalk bzw. Massenkalk, undiff. | calcare: micritico | – | calcare: spunghe | – | Kimmeridgiano | Kimmeridgiano |

| Code | GMU | Litho principale | Litho secondaire | Litho tertiaire | Formation | Chrono base | Chrono top |
|---|---|---|---|---|---|---|---|
| 15200700 | Felsenkalk bzw. Massenkalk: gebankter mikritischer Kalk | calcare: micritico | – | – | – | Kimmeridgiano | Kimmeridgiano |
| 15200701 | Felsenkalk bzw. Massenkalk: Schwammkalk | calcare: spunghe | – | – | – | Kimmeridgiano | Kimmeridgiano |
| 15200702 | Küssaburg- und Wangental-Mb. | calcare: micritico | marna | calcare: spatico: bioclasti | Formazione di Villigen | Oxfordiano | Kimmeridgiano |
| 15200703 | Molasse à Charbon: Kohlehorizont | roccia: organico: carbone | – | – | «Molasse à Charbon» | Chattiano | Chattiano |
| 15200704 | Vaulruz-Fm.: Sandige Fazies | arenaria: calcareo: mica | – | – | Formazione di Vaulruz | Rupeliano | Rupeliano |
| 15200705 | Vaulruz-Fm.: Mergelige Fazies | marna | – | – | Formazione di Vaulruz | Rupeliano | Rupeliano |
| 15200706 | Cucloz-Fm.: Marnes gris-souris und Schistes marno-micacés | marna | siltite | arenaria | Formazione di Cucloz | Rupeliano | Rupeliano |
| 15202001 | Habkern-Melange | marna | argillite | – | Mélange di Habkern | Cretaceo superiore | Eocene |
| 15202002 | Sörenberg-Melange | marna | argillite | – | Mélange di Sörenberg | Priaboniano | Priaboniano |
| 15202003 | Wildhaus-Melange | marna | – | – | Mélange di Wildhaus | Eocene | Eocene |
| 15202004 | Südhelvetischer Flysch | marna: scistoso | arenaria: calcareo | calcare: nummuliti | – | Luteziano | Priaboniano |

| Code | GMU | Litho principale | Litho secondaire | Litho tertiaire | Formation | Chrono base | Chrono top |
|---|---|---|---|---|---|---|---|
| 15202005 | Nordhelvetische Flysch-Gr. | arenaria: argilloso | argillite | – | – | Priaboniano | Rupeliano |
| 15202006 | Matt-Fm. | arenaria: quarzo | argillite: scistoso | conglomerato: polimittico | Formazione di Matt | Rupeliano | Rupeliano |
| 15202007 | Matt-Fm.: Engi-Dachschiefer | argillite: scistoso | arenaria: quarzo | – | Ardesia scistosa di Engi | Rupeliano | Rupeliano |
| 15202008 | Matt-Fm.: Gruontal-Konglomerat | conglomerato: polimittico | breccia | – | Conglomerato del Gruontal | Rupeliano | Rupeliano |
| 15202009 | Elm-Fm. | argillite: scistoso | arenaria: argilloso | – | Formazione di Elm | Priaboniano | Rupeliano |
| 15202010 | Matt-Fm.: Gruontal-Konglomerat: Rüschenweid-Bk. | arenaria | – | – | Strato del Rüschenweid | Rupeliano | Rupeliano |
| 15202011 | Taveyannaz-Fm. | arenaria: argilloso | argillite: scistoso | – | Formazione di Taveyannaz | Priaboniano | Rupeliano |
| 15202012 | Helvetikum: Paläogen | calcare: bioclasti | arenaria | marna | – | Paleogene | Paleogene |
| 15202013 | Stad-Fm. | marna: siltoso | – | – | Formazione di Stad | Luteziano | Priaboniano |
| 15202014 | Stad-Fm.: Wängen-Kalk | calcare: bioclasti | – | – | Calcare di Wängen | Luteziano | Priaboniano |
| 15202015 | Stad-Fm.: Jochstock-Konglomerat | conglomerato: calcareo | breccia: calcareo | marna: sabbioso-calcareo | Conglomerato del Jochstock | Priaboniano | Priaboniano |
| 15202016 | Sanetsch-Fm. | calcare: sabbioso: bioclasti | arenaria: calcareo | – | Formazione del Sanetsch | Priaboniano | Rupeliano |
| 15202017 | Sanetsch-Fm.: Pierredar-Kalk | calcare: bioclasti | – | – | Calcare di Pierredar | Priaboniano | Rupeliano |
| 15202018 | Sanetsch-Fm.: Tsanfleuron-Mb. | arenaria: calcareo: bioclasti | calcare: arenitico | – | Membro di Tsanfleuron | Priaboniano | Priaboniano |

| Code | GMU | Litho principale | Litho secondaire | Litho tertiaire | Formation | Chrono base | Chrono top |
|---|---|---|---|---|---|---|---|
| 15202019 | Sanetsch-Fm.: Diablerets-Mb. | calcare: sabbioso | marna: carbone | – | Membro dei Diablerets | Priaboniano inferiore | Priaboniano inferiore |
| 15202020 | Niederhorn-Fm. | arenaria: calcareo: quarzo | calcare: bioclasti | – | Formazione del Niederhorn | Bartoniano | Priaboniano |
| 15202021 | Niederhorn-Fm.: Gemmenalp-Kalk | calcare: bioclasti | – | – | Calcare della Gemmenalp | Bartoniano | Priaboniano |
| 15202022 | Niederhorn-Fm.: Hohgant-Sandstein | arenaria: calcareo: quarzo | arenaria: calcareo: bioclasti | – | Arenaria del Hohgant | Bartoniano | Priaboniano |
| 15202023 | Niederhorn-Fm.: Hohgant-Sandstein: Wagenmoos-Bk. | arenaria: quarzo | – | – | Strati del Wagenmoos | Priaboniano | Priaboniano |
| 15202024 | Wildstrubel-Fm. | marna: sabbioso-calcareo | arenaria: glauconite | – | Formazione del Wildstrubel | Bartoniano | Priaboniano |
| 15202025 | Wildstrubel-Fm.: Schimberg-Mb. | marna: sabbioso | arenaria: quarzo | conglomerato | Membro del Schimberg | Priaboniano | Priaboniano |
| 15202026 | Wildstrubel-Fm.: Tierberg-Mb. | arenaria: glauconite | marna: sabbioso | – | Membro del Tierberg | Bartoniano | Bartoniano |
| 15202027 | Wildstrubel-Fm.: Küblibad-Mb. | arenaria: glauconite | – | – | Membro del Küblibad | Bartoniano | Bartoniano |
| 15202028 | Klimsenhorn-Fm. | arenaria: quarzo | calcare: sabbioso | calcare: micritico | Formazione del Klimsenhorn | Luteziano | Bartoniano |

| Code | GMU | Litho principale | Litho secondaire | Litho tertiaire | Formation | Chrono base | Chrono top |
|---|---|---|---|---|---|---|---|
| 15202029 | Klimsenhorn-Fm.: Fruttli-Mb. | calcare: micritico | arenaria: calcareo: bioclasti | calcare: sabbioso: bioclasti | Membro del Fruttli | Luteziano | Luteziano |
| 15202030 | Klimsenhorn-Fm.: Band-Mb. | arenaria: quarzo | arenaria: calcareo | calcare | Membro del Band | Luteziano | Bartoniano |
| 15200675 | Staffelegg-Fm. und Opalinus-Ton | marna | argillite | – | – | Hettangiano | Aaleniano |
| 15200676 | Schafisheim-Syenit | sienite | granito | diorite | Sienite di Schafisheim | Pennsylvaniano | Pennsylvaniano |
| 15200677 | Pfaffnau-Granit | granito: biotite | diorite | sienite | Granito di Pfaffnau | Pennsylvaniano | Pennsylvaniano |
| 15200678 | Zurzach-Granit | granito: biotite-cordierite | – | – | Granito di Zurzach | Pennsylvaniano | Pennsylvaniano |
| 15200679 | Siblingen-Granit | granito: biotite-cordierite | – | – | Granito di Siblingen | Pennsylvaniano | Pennsylvaniano |
| 15200680 | Lindau-Granit | granito: biotite-cordierite | – | – | Granito di Lindau | Devoniano | Mississippiano |
| 15200681 | Kreuzlingen-Granit | granito: biotite-cordierite | – | – | Granito di Kreuzlingen | Devoniano | Mississippiano |
| 15200682 | Schlächtenhaus-Schiefer | arenaria: argilloso | scisto: argilloso | – | Scisto di Schlächtenhaus | Devoniano inferiore | Mississippiano |
| 15200683 | Gersbach-Schiefer | scisto: orneblenda | – | – | Scisto di Gersbach | Ordoviciano | Ordoviciano |
| 15200684 | Herdern-Streifengneis | gneiss: biotite | – | – | Herdern-Streifengneis | Proterozoico | Paleozoico |
| 15200685 | Courgenay-Balsthal- und VilligenFm. | calcare | marna | – | – | Oxfordiano | Kimmeridgiano |
| 15200686 | Pichoux-Fm.: Korallenfazies | calcare: corali | calcare: marnoso | – | Formazione del Pichoux | Oxfordiano | Oxfordiano |

| Code | GMU | Litho principale | Litho secondaire | Litho tertiaire | Formation | Chrono base | Chrono top |
|---|---|---|---|---|---|---|---|
| 15200687 | Pichoux-Fm.: Schwammfazies | calcare: spunghe | calcare: marnoso | marna | Formazione del Pichoux | Oxfordiano | Oxfordiano |
| 15200688 | Kalter-Wangen-Fm.: Konglomerat-dominierte Fazies | conglomerato: calcareo | arenaria | marna | Formazione del Kalter Wangen | Langhiano | Tortoniano |
| 15200689 | Kalter-Wangen-Fm.: Sandstein-Mergelstein-dominierte Fazies | arenaria | marna | conglomerato: calcareo | Formazione del Kalter Wangen | Langhiano | Tortoniano |
| 15200690 | Kalter-Wangen-Fm.: Heilsberg-Bentonit | bentonite | – | – | Bentonite del Heilsberg | Langhiano | Tortoniano |
| 15202418 | Röti-Fm.: Rauwacke | cargnola | – | – | Formazione della Röti | Anisico | Carnico |
| 15202419 | Vieux-Emosson-Fm.: Tonige Fazies | argillite | arenaria | dolomia | Formazione del Vieux Emosson | Anisico | Anisico |
| 15202420 | Quarten-Fm.: Equisetenschiefer | argillite: scistoso | siltite: scistoso | – | Formazione di Quarten | Triassico superiore | Triassico superiore |
| 15202421 | Amden-Fm.: Leist-Mergel | marna | – | – | Marna del Leist | Santoniano | Campaniano |
| 15202422 | Amden Fm.: Leiboden-Mergel | marna: bioclasti | – | – | Marna del Leiboden | Coniaciano | Santoniano |
| 15202423 | Covayes-Fm. | marna | calcare: micritico | – | Formazione delle Covayes | Turoniano | Turoniano |
| 15202424 | Javrex-Fm. | calcare: arenitico | calcare: sabbioso: glauconite | – | Formazione del Javrex | Aptiano | Albiano |

| Code | GMU | Litho principale | Litho secondaire | Litho tertiaire | Formation | Chrono base | Chrono top |
|---|---|---|---|---|---|---|---|
| 15202425 | Javrex-Fm.: Mergelstein-Fazies | marna | – | – | Formazione del Javrex | Aptiano | Albiano |
| 15202426 | Javrex-Fm.: Kalksandstein-Fazies | calcare: sabbioso: glauconite | marna: siltoso: glauconite | – | Formazione del Javrex | Aptiano | Aptiano |
| 15202427 | Montsalvens-Kalkarenit | calcare: arenitico: bioclasti | – | – | Calcarenite di Montsalvens | Barremiano | Barremiano |
| 15202429 | Villarbeney-Fm. | calcare: micritico | marna | – | Formazione di Villarbeney | Berriasiano | Aptiano |
| 15202430 | Villarbeney-Fm.: Veveyse-de-Châtel-Mb. | calcare: micritico | marna | calcare: siliceo | Membro della Veveyse de Châtel | Berriasiano | Barremiano |
| 15202431 | Villarbeney-Fm.: Riondouneire-Mb. | calcare: micritico | marna | calcare: arenitico | Membro di Riondouneire | Berriasiano | Berriasiano |
| 15202432 | Jogne-Fm. | calcare: micritico | marna | – | Formazione della Jogne | Oxfordiano | Titoniano |
| 15202433 | Jogne-Fm.: Kalkbrekzie | breccia: calcareo | – | – | Formazione della Jogne | Titoniano | Titoniano |
| 15202434 | Jogne-Fm.: Vuavres-Mb. | calcare: micritico: selce | marna | – | Membro delle Vuavres | Kimmeridgiano | Titoniano |
| 15202435 | Jogne-Fm.: Planière-Mb. | calcare: micritico | marna | – | Membro della Planière | Oxfordiano | Oxfordiano |
| 15202436 | Bifé-Fm. | argillite: scistoso | marna | calcare: argilloso | Formazione di Bifé | Calloviano | Oxfordiano |
| 15202437 | Bifé-Fm.: Zementkalk | calcare | – | – | Formazione di Bifé | Oxfordiano | Oxfordiano |
| 15202438 | Bifé-Fm.: Joux-Galez-Mb. | marna: mica | – | – | Membro di Joux Galez | Calloviano | Oxfordiano |

| Code | GMU | Litho principale | Litho secondaire | Litho tertiaire | Formation | Chrono base | Chrono top |
|---|---|---|---|---|---|---|---|
| 15202439 | Pereyre-Fm. | calcare: spatico: bioclasti | calcare: ooidi | calcare: sabbioso: glauconite | Formazione della Pereyre | Batoniano | Batoniano |
| 15202440 | Praz-Couquain-Fm. | calcare: argilloso | marna: scistoso | calcare: sabbioso: bioclasti | Formazione di Praz Couquain | Aaleniano | Bajociano |
| 15202441 | Bretaye-Fm. | argillite: siltoso: mica | – | – | Formazione di Bretaye | Retico | Aaleniano |
| 15202442 | Gryonne-Fm. | marna: scistoso | calcare: marnoso | calcare: siliceo | Formazione della Gryonne | Giurassico inferiore | Giurassico inferiore |
| 15202443 | Praz-Couquain-Fm.: Taffon-Mb. | marna: scistoso | calcare | – | Membro del Taffon | Bajociano | Bajociano |
| 15202444 | Praz-Couquain-Fm.: Saix-Mb. | arenaria | marna: mica | calcare | Membro dei Saix | Aaleniano | Aaleniano |
| 15202445 | Villarbeney-Fm.: Cergnement-Mb. | calcare: micritico | marna | – | Membro del Cergnement | Barremiano | Barremiano |
| 15202446 | Arveyes-Flysch | marna | arenaria: calcareo: mica | – | Flysch di Arveyes | Eocene | Eocene |
| 15202447 | Sex-Mort-Flysch | marna | arenaria: calcareo: bioclasti | – | Flysch del Sex Mort | Priaboniano | Priaboniano |
| 15202448 | Diechtergletscher-Fm.: Maasplanggstock-Metaandesit | andesite | – | – | Metaandesite del Maasplanggstock | Pennsylvaniano superiore | Cisuraliano |
| 15202449 | Dammagletscher-Diorit | diorite | – | – | Diorite del Dammagletscher | Pennsylvaniano superiore | Pennsylvaniano superiore |
| 15202450 | Gryonne-Fm.: Schiefrige Fazies | marna: scistoso | – | – | Formazione della Gryonne | Pliensbachiano | Toarciano |
| 15202451 | Gryonne-Fm.: Kalkige Fazies | calcare: siliceo | marna | – | Formazione della Gryonne | Hettangiano | Pliensbachiano |

| Code | GMU | Litho principale | Litho secondaire | Litho tertiaire | Formation | Chrono base | Chrono top |
|---|---|---|---|---|---|---|---|
| 15202452 | Gryonne-Fm.: Basaler Teil | calcare: bioclasti | marna: sabbioso: mica | – | Formazione della Gryonne | Retico | Hettangiano |
| 15202453 | Glarner-Verrucano: Tektonisierte Basis | scisto: conglomeratico | gneiss: milonitico | – | – | Cisuraliano | Cisuraliano |
| 15202454 | Chrüzlistock-Migmatit | migmatite | gneiss: migmatitico | – | Migmatite del Chrüzlistock | Proterozoico | Paleozoico |
| 15202455 | Piz-Cuolmet-Gneiskomplex | gneiss: migmatitico | gneiss: a bande | scisto: sericite-clorite | Complesso gneissico del Piz Cuolmet | Proterozoico | Paleozoico |
| 15202456 | Pulanera-Gneiskomplex | gneiss | scisto | – | Complesso gneissico della Val Pulanera | Proterozoico | Paleozoico |
| 15202465 | Aiguilles-Rouges-Massiv: Spät- bis postvariszische Sedimente und Vulkanite | conglomerato | arenaria | pelite | – | Pennsylvaniano | Permiano |
| 15202467 | Helvetikum: Variszisches Kristallin | gneiss | scisto | roccia: magmatico | – | Proterozoico | Paleozoico |
| 15202468 | Helvetikum: Prävariszisches polyzyklisches Grundgebirge | gneiss | scisto | – | – | Proterozoico | Paleozoico |
| 15202469 | Helvetikum: Grundgebirge | gneiss | scisto | roccia: magmatico | – | Proterozoico | Paleozoico |
| 15202472 | Catogne-Gneiskomplex | migmatite | gneiss: migmatitico | anfibolite | Complesso gneissico del Catogne | Proterozoico | Paleozoico |

| Code | GMU | Litho principale | Litho secondaire | Litho tertiaire | Formation | Chrono base | Chrono top |
|---|---|---|---|---|---|---|---|
| 15202473 | Grépillons-Leukogranit | granito: microcristallino-porfirico | – | – | Leucogranito dei Grépillons | Pennsylvaniano | Cisuraliano |
| 15202474 | Arpette-Leukogranit | granito: microcristallino | – | – | Leucogranito di Arpette | Pennsylvaniano | Cisuraliano |
| 15202475 | Gärsthorn-Gneiskomplex: Bitschji-Augengneis | gneiss: occhiadino | – | – | Gneiss occhiadino di Bitschji | Proterozoico | Paleozoico |
| 15202476 | Gärsthorn-Gneiskomplex: Geimen-Augengneis | gneiss: occhiadino | – | – | Gneiss occhiadino di Geimen | Proterozoico | Paleozoico |
| 15202477 | Mont-Blanc-Massiv: Prävariszische Migmatite | migmatite | gneiss | – | – | Proterozoico | Paleozoico |
| 15202478 | Mont-Blanc-Massiv: Prävariszisches Grundgebirge: Amphibolit-reiche Fazies | gneiss: migmatitico | anfibolite | – | – | Proterozoico | Paleozoico |
| 15202479 | Mont-Blanc-Massiv: Prävariszisches Grundgebirge: Mylonit | gneiss: milonitico | milonite | – | – | Proterozoico | Paleozoico |
| 15202480 | Morcles-Mikrogranit | granito: microcristallino | – | – | Microgranito di Morcles | Pennsylvaniano superiore | Pennsylvaniano superiore |
| 15202481 | Aiguilles-Rouges-Massiv: Prävariszisches Migmatite | migmatite | gneiss | – | – | Proterozoico | Paleozoico |

| Code | GMU | Litho principale | Litho secondaire | Litho tertiaire | Formation | Chrono base | Chrono top |
|---|---|---|---|---|---|---|---|
| 15202482 | Fully-Gneiskomplex | migmatite | gneiss: biotite | gneiss: granodioritico | Complesso gneissico di Fully | Proterozoico | Paleozoico |
| 15202483 | Hinterbalm-Granit | granito | – | – | Granito di Hinterbalm | Cisuraliano | Cisuraliano |
| 15202484 | Balmenegg-Granit | granito: porfirico: biotite | – | – | Granito della Balmenegg | Cisuraliano | Cisuraliano |
| 15202485 | Zentraler-Aare-Granit: Unter-der-Flue-Varietät | granito: aplitico | – | – | Granito di Unter-der-Flue | Cisuraliano | Cisuraliano |
| 15202486 | Pardatschas-Granit | granito | granito: milonitico | – | Granito del Piz Pardatschas | Mississippiano superiore | Mississippiano superiore |
| 15202487 | Rossbodenstock-Diorit | diorite: quarzo-biotite | – | – | Diorite del Rossbodenstock | Cisuraliano | Cisuraliano |
| 15202488 | Val-da-Surplattas-Diorit | diorite | – | – | Diorite della Val da Surplattas | Mississippiano | Mississippiano |
| 15202489 | Tscharren-Fm.: Rinderbiel-Mikrogranit | granito: microcristallino-porfirico | – | – | Microgranito di Rinderbiel | Pennsylvaniano | Cisuraliano |
| 15202490 | Leventina-Lucomagno-Decke: Trias: Quarzit | quarzite | gneiss: quarzo | – | Formazione di Mels | Triassico | Triassico |
| 15202491 | Kapfen-Fm. | conglomerato | arenaria | – | Formazione di Kapfen | Guadalupiano | Lopingiano |
| 15203680 | Pierre-Avoi-Melange: Rauwacke | cargnola | – | – | Mélange della Pierre Avoi | Triassico | Triassico |
| 15203681 | Pierre-Avoi-Melange: Gips | evaporite: gesso | – | – | Mélange della Pierre Avoi | Triassico | Triassico |

| Code | GMU | Litho principale | Litho secondaire | Litho tertiaire | Formation | Chrono base | Chrono top |
|---|---|---|---|---|---|---|---|
| 15203682 | Pierre-Avoi-Melange: Dolomit | marmo | dolomia | – | Mélange della Pierre Avoi | Triassico medio | Triassico superiore |
| 15203683 | Pierre-Avoi-Melange: Quarzit | quarzite | – | – | Mélange della Pierre Avoi | Lopingiano | Triassico inferiore |
| 15203684 | Zone Houillère: Karbonatische Trias | marmo: dolomitico | marmo: calcareo | cargnola | – | Triassico | Triassico |
| 15203685 | Zone Houillère: Trias: Rauwacke | cargnola | – | – | – | Triassico | Triassico |
| 15203686 | Zone Houillère: Trias: Gips | evaporite: gesso | – | – | – | Triassico | Triassico |
| 15203687 | Stalden-Gneiskomplex: Leukokratischer Gneis | gneiss | – | – | Complesso gneissico di Stalden | Proterozoico | Paleozoico |
| 15203688 | Stalden-Gneiskomplex: Granat-Chloritoidschiefer | scisto: cloritoido-granato | – | – | Complesso gneissico di Stalden | Proterozoico | Paleozoico |
| 15203689 | Stalden-Gneiskomplex: Muskovitschiefer | scisto: calcareo: mica | – | – | Complesso gneissico di Stalden | Proterozoico | Paleozoico |
| 15203690 | Stalden-Gneiskomplex: Marmor | marmo: calcareo | marmo: dolomitico | – | Complesso gneissico di Stalden | Proterozoico | Paleozoico |
| 15203691 | Stalden-Gneiskomplex: Eklogit | eclogite | – | – | Complesso gneissico di Stalden | Proterozoico | Paleozoico |
| 15203692 | Col-de-Chassoure-Fm.: Metarhyolith | riolite | – | – | Formazione del Col de Chassoure | Cisuraliano | Lopingiano |

| Code | GMU | Litho principale | Litho secondaire | Litho tertiaire | Formation | Chrono base | Chrono top |
|---|---|---|---|---|---|---|---|
| 15203693 | Barrhorn-Einheit: Karbonatische Trias: Dolomit und Brekzie | marmo: dolomitico | breccia | – | – | Triassico medio | Triassico superiore |
| 15203694 | Barrhorn-Einheit: Karbonatische Trias: Dolomit und Marmor | marmo: dolomitico | marmo: calcareo | – | – | Triassico medio | Triassico superiore |
| 15203695 | Barrhorn-Einheit: Trias: Kalkschiefer | scisto: calcareo | marmo: dolomitico | conglomerato | – | Triassico | Triassico |
| 15203696 | Barrhorn-Einheit: Trias: Rauwacke | cargnola | – | – | – | Triassico | Triassico |
| 15203697 | Barrhorn-Einheit: Trias: Gips | evaporite: gesso | – | – | – | Triassico | Triassico |
| 15203698 | Ergischhorn-Komplex: Augengneis | gneiss: occhiadino | – | – | Complesso del Ergischhorn | Proterozoico | Proterozoico |
| 15203699 | Berisal-Gneiskomplex: Amphibolit | anfibolite | – | – | Complesso gneissico di Berisal | Ordoviciano | Permiano |
| 15203700 | Frilihorn-Decke: Sedimentbedeckung | marmo: calcareo | marmo: dolomitico | quarzite | – | Permiano | Cretaceo inferiore |
| 15203701 | Cimes-Blanches-Decke: Sedimentbedeckung | scisto: quarzo-clorite | quarzite | marmo | – | Permiano | Cretaceo inferiore |

| Code | GMU | Litho principale | Litho secondaire | Litho tertiaire | Formation | Chrono base | Chrono top |
|---|---|---|---|---|---|---|---|
| 15203702 | Cimes-Blanches-Decke: Marmor | scisto: calcareo | marmo: sabbioso | breccia | – | Giurassico inferiore | Cretaceo inferiore |
| 15203703 | Cimes-Blanches-Decke: Karbonatische Trias | marmo: dolomitico | marmo: calcareo | cargnola | – | Triassico medio | Giurassico superiore |
| 15203704 | Cimes-Blanches-Decke: Trias: Rauwacke | cargnola | – | – | – | Triassico | Triassico |
| 15203705 | Tsaté-Decke: Prasinit | prasinite | – | – | – | Giurassico medio | Giurassico superiore |
| 15203706 | Monte-Leone-Decke: Trias: Rauwacke | cargnola | – | – | – | Triassico | Triassico |
| 15203707 | Monte-Leone-Decke: Trias: Gips | evaporite: gesso | – | – | – | Triassico | Triassico |
| 15203708 | Pizzo-del-Vallone-Decke: Trias: Gips | evaporite: gesso | – | – | – | Triassico | Triassico |
| 15203709 | Pizzo-del-Vallone-Decke: Trias: Dolomit | dolomia | – | – | – | Triassico | Triassico |
| 15203710 | Wiriehorn-Fm.: Mergelige Fazies | marna: dolomitico | dolomia | – | Formazione del Wiriehorn | Anisico | Anisico |
| 15203711 | St-Christophe-Fm.: Manganschiefer | scisto: argilloso: manganese | scisto: quarzo-sericite | – | Formazione di St-Christophe | Cretaceo superiore | Cretaceo superiore |

| Code | GMU | Litho principale | Litho secondaire | Litho tertiaire | Formation | Chrono base | Chrono top |
|---|---|---|---|---|---|---|---|
| 15203712 | Siviez-Mischabel-Decke: Sedimentbedeckung | marmo: dolomitico | quarzite | scisto: calcareo | – | Mesozoico | Mesozoico |
| 15203713 | Siviez-Mischabel-Decke: Basisches Ganggestein | roccia: basico-filoniano | – | – | – | Paleozoico | Mesozoico |
| 15203714 | Ergischhorn-Komplex, Adlerflüe- und Lirec-Fm., undiff. | gneiss | anfibolite | scisto | – | Proterozoico | Cambriano |
| 15203715 | Gälmji-Zone: Quarzit | quarzite | – | – | – | Permiano | Triassico |
| 15203716 | Gälmji-Zone: Amphibolit | anfibolite | gabbro | – | – | Paleozoico | Paleozoico |
| 15203717 | Zermatt-Saas-Decke: Metasedimente und Ophiolith undiff. | scisto: calcareo | prasinite | anfibolite | – | Cretaceo inferiore | Cretaceo superiore |
| 15203718 | Zermatt-Saas-Decke: Metabasite | prasinite | anfibolite | – | – | Giurassico medio | Giurassico superiore |
| 15203719 | Zermatt-Saas-Decke: Eklogitischer Metagabbro | gabbro: eclogitico | gabbro: omfacite | eclogite | – | Giurassico medio | Giurassico superiore |
| 15203720 | Stockhorn-Decke: Jura | scisto: calcareo | marmo: calcareo | breccia | – | Giurassico | Giurassico |

| Code | GMU | Litho principale | Litho secondaire | Litho tertiaire | Formation | Chrono base | Chrono top |
|---|---|---|---|---|---|---|---|
| 15203721 | Stockhorn-Decke: Karbonatische Trias | dolomia | cargnola | – | – | Triassico | Triassico |
| 15203722 | Stockhorn-Decke: Quarzitische Trias | quarzite | – | – | – | Lopingiano | Triassico inferiore |
| 15203723 | Stockhorn-Decke: Grundgebirge | gneiss: sedimentario | scisto: mica-granato | – | – | Proterozoico | Paleozoico |
| 15203724 | Monte-Rosa-Decke: Preja-Fm.: Jura | marmo: sabbioso: grafite | quarzite: mica | – | Formazione della Preja | Giurassico inferiore | Giurassico superiore |
| 15203725 | Monte-Rosa-Decke: Preja-Fm.: Trias | marmo | cargnola | – | Formazione della Preja | Triassico | Triassico |
| 15203726 | Monte-Rosa-Decke: Serpentinit | serpentinite | – | – | – | Permiano | Mesozoico |
| 15203727 | Monte-Rosa-Decke: Aplit, Pegmatit | aplite | pegmatite | – | – | Carbonifero | Permiano |
| 15203728 | Monte-Rosa-Decke: Amphibolit | anfibolite | – | – | – | Proterozoico | Paleozoico |
| 15203729 | Portjengrat-Decke: Eklogit | eclogite | – | – | – | Proterozoico | Paleozoico |
| 15203667 | Zermatt-Saas-Decke: Metagabbro | gabbro | – | – | – | Giurassico medio | Giurassico superiore |
| 15203668 | Zermatt-Saas-Decke: Rodingit | rodingite | – | – | – | Giurassico medio | Giurassico superiore |

| Code | GMU | Litho principale | Litho secondaire | Litho tertiaire | Formation | Chrono base | Chrono top |
|---|---|---|---|---|---|---|---|
| 15203669 | Zermatt-Saas-Decke: Talkschiefer | scisto: talco | – | – | – | Giurassico medio | Giurassico superiore |
| 15203670 | Monte-Leone-Decke: Lengenbach-Dolomitmarmor | marmo: dolomitico | – | – | Marmo dolomitico del Lengenbach | Triassico medio | Triassico superiore |
| 15203671 | Adula-Decke: Salahorn-Fm. | scisto: mica | gneiss: sedimentario | – | Formazione del Salahorn | Cambriano | Cambriano |
| 15203672 | Col-de-Tompey- und Vudalla-Fm. | marna | calcare | arenaria: calcareo | – | Retico | Hettangiano |
| 15203673 | Aroley- und Marmontains-Fm., undiff. | marmo | scisto: mica | quarzite | – | Cretaceo inferiore | Cretaceo superiore |
| 15203674 | Marmontains-Fm.: Schwarze Schiefer | scisto: argilloso-siliceo: bitume | – | – | Formazione dei Marmontains | Aptiano | Cenomaniano |
| 15203675 | Marmontains-Fm.: Kalksandstein | arenaria: calcareo | – | – | Formazione dei Marmontains | Aptiano | Cenomaniano |
| 15203676 | Marmontains-Fm.: Quarzsandstein | arenaria: quarzo | quarzite | – | Formazione dei Marmontains | Aptiano | Cenomaniano |
| 15203677 | Aroley-Fm.: Marmor | marmo: calcareo | – | – | Formazione del Aroley | Barremiano | Aptiano |
| 15203678 | Südegg-Komplex: Quarzit | quarzite | conglomerato | – | Complesso di Südegg | Lopingiano | Triassico inferiore |
| 15203679 | Pierre-Avoi-Melange: Marmor | marmo: siliceo | – | – | Mélange della Pierre Avoi | Mesozoico | Mesozoico |
| 15202049 | Amden-Fm. | marna: bioclasti | siltite: calcareo | – | Marna di Amden | Santoniano | Campaniano |

| Code | GMU | Litho principale | Litho secondaire | Litho tertiaire | Formation | Chrono base | Chrono top |
|---|---|---|---|---|---|---|---|
| 15202050 | Seewen Fm. | calcare: micritico | marna | – | Formazione di Seewen | Cenomaniano | Santoniano |
| 15202051 | Seewen-Fm.: Choltal-Mb. | marna: calcareo | calcare: micritico | – | Membro del Choltal | Santoniano | Santoniano |
| 15202052 | Garschella-Fm. | arenaria: glauconite | calcare: spatico: bioclasti | marna: sabbioso | Formazione di Garschella | Aptiano | Cenomaniano |
| 15202053 | Garschella-Fm.: Selun-Mb. | arenaria: glauconite | calcare: sabbioso-argilloso | calcare: sabbioso: bioclasti | Membro di Selun | Aptiano | Cenomaniano |
| 15202054 | Garschella-Fm.: Selun-Mb.: Kamm-Bk. | calcare: micritico: bioclasti | calcare: spatico: bioclasti | – | Strato del Kamm | Albiano | Cenomaniano |
| 15202055 | Garschella-Fm.: Selun-Mb.: Aubrig-Sch. | calcare: sabbioso: glauconite | arenaria: quarzo-glauconite | – | Strati dell'Aubrig | Albiano | Cenomaniano |
| 15202056 | Garschella-Fm.: Selun-Mb.: Wannenalp-Bk. | arenaria: glauconite | – | – | Strato della Wannenalp | Albiano | Albiano |
| 15202057 | Garschella-Fm.: Selun-Mb.: Sellamatt-Sch. | calcare: spatico: glauconite | calcare: marnoso | siltite: calcareo | Strati della Sellamatt | Albiano | Albiano |
| 15202058 | Garschella-Fm.: Selun-Mb.: Plattenwald-Bk. | calcare: micritico: bioclasti | – | – | Strato di Plattenwald | Aptiano | Albiano |
| 15202059 | Garschella-Fm.: Selun-Mb.: Durschlägi-Bk. | arenaria: glauconite | – | – | Strato della Durschlägi | Albiano | Albiano |

| Code | GMU | Litho principale | Litho secondaire | Litho tertiaire | Formation | Chrono base | Chrono top |
|---|---|---|---|---|---|---|---|
| 15202060 | Garschella-Fm.: Selun-Mb.: Niederi-Sch. | arenaria: glauconite | – | – | Strati del Niederi | Albiano | Albiano |
| 15202061 | Garschella-Fm.: Selun-Mb.: Twäriberg-Bk. | arenaria: quarzo-glauconite | – | – | Strato del Twäriberg | Aptiano | Albiano |
| 15202062 | Garschella-Fm.: Selun-Mb.: Klaus-Bk. | arenaria: glauconite | calcare: micritico | – | Strato di Klaus | Aptiano | Albiano |
| 15202063 | Garschella-Fm.: Rankweil-Mb. | arenaria: glauconite | – | – | Membro di Rankweil | Aptiano | Albiano |
| 15202064 | Garschella-Fm.: Brisi-Mb. | arenaria: quarzo-glauconite | calcare: sabbioso: bioclasti | – | Membro della Brisi | Aptiano | Aptiano |
| 15202065 | Garschella-Fm.: Brisi-Mb.: Kalkige Fazies | calcare: sabbioso: bioclasti | calcare: spatico: bioclasti | – | Membro della Brisi | Aptiano | Aptiano |
| 15202066 | Garschella-Fm.: Brisi-Mb.: Sandige Fazies | arenaria: quarzo-glauconite | – | – | Membro della Brisi | Aptiano | Aptiano |
| 15202067 | Garschella-Fm.: Brisi-Mb.: Gams-Sch. | arenaria: argilloso: glauconite | marna: calcareo-scistoso | – | Strati del Gams | Aptiano | Aptiano |
| 15202068 | Garschella-Fm.: Brisi-Mb.: Luitere-Bk. | arenaria: marnoso: glauconite | – | – | Strato del Luitere | Aptiano | Aptiano |
| 15202069 | Garschella-Fm.: Freschen-Mb. | argillite: marnoso | arenaria | calcare | Membro del Freschen | Albiano | Albiano |

| Code | GMU | Litho principale | Litho secondaire | Litho tertiaire | Formation | Chrono base | Chrono top |
|---|---|---|---|---|---|---|---|
| 15202070 | Garschella-Fm.: Freschen-Mb.: Hochkugel-Sch. | calcare: siliceo | argillite: marnoso | – | Membro del Hochkugel | Aptiano | Aptiano |
| 15202071 | Garschella-Fm.: Grünten-Mb. | marna: sabbioso: glauconite | calcare: sabbioso | calcare: spatico: bioclasti | Membro del Grünten | Aptiano | Aptiano |
| 15202072 | Garschella-Fm.: Grünten-Mb.: Rohrbachstein-Bk. | calcare: arenitico: glauconite | – | – | Strato del Rohrbachstein | Aptiano | Aptiano |
| 15202073 | Schrattenkalk-Fm. | calcare: bioclasti | – | – | Formazione del Schrattenkalk | Barremiano | Aptiano |
| 15202074 | Schrattenkalk-Fm.: Rawil-Mb. | calcare: marnoso: bioclasti | marna | – | Membro del Rawil | Aptiano | Aptiano |
| 15202075 | Tierwis-Fm. | marna: glauconite | calcare: siliceo | – | Formazione di Tierwis | Hauteriviano | Barremiano |
| 15202076 | Tierwis-Fm.: Chopf-Bk. | calcare: sabbioso | marna: glauconite-bioclasti | – | Strato del Chopf | Barremiano | Barremiano |
| 15202077 | Tierwis-Fm.: Drusberg-Mb. | marna | calcare: siliceo | – | Membro del Drusberg | Barremiano | Barremiano |
| 15202078 | Tierwis-Fm.: Altmann-Mb. | marna: sabbioso: glauconite | calcare: sabbioso | – | Membro dell'Altmann | Hauteriviano | Barremiano |
| 15202079 | Helvetischer Kieselkalk | calcare: siliceo: bioclasti | marna: siliceo | – | Helvetischer Kieselkalk | Valanginiano | Hauteriviano |
| 15202080 | Helvetischer Kieselkalk: Chriesiloch-Echinodermenkalk | calcare: spatico: bioclasti | – | – | Calcare echinodermico del Chriesiloch | Hauteriviano | Hauteriviano |

| Code | GMU | Litho principale | Litho secondaire | Litho tertiaire | Formation | Chrono base | Chrono top |
|---|---|---|---|---|---|---|---|
| 15202081 | Helvetischer Kieselkalk: Lidernen-Mb. | calcare: sabbioso: glauconite | marna | – | Membro della Lidernen | Hauteriviano | Hauteriviano |
| 15202082 | Helvetischer Kieselkalk: Gemsmättli-Bk. | calcare: micritico: glauconite | calcare: sabbioso: bioclasti | – | Strato del Gemsmättli | Valanginiano | Valanginiano |
| 15202083 | Helvetischer Kieselkalk: Rahberg-Bk. | calcare: sabbioso: glauconite | – | – | Strato del Rahberg | Hauteriviano | Hauteriviano |
| 15202084 | Betlis-Fm. | calcare: spatico: bioclasti-selce | marna | – | Formazione di Betlis | Valanginiano | Valanginiano |
| 15202085 | Betlis-Fm.: Pygurus-Mb. | calcare: sabbioso-spatico | – | – | «Membro a Pygurus» | Valanginiano | Valanginiano |
| 15202086 | Betlis-Fm.: Spitzern-Mb. | calcare | marna | – | Membro di Spitzern | Valanginiano | Valanginiano |
| 15202087 | Betlis-Fm.: Büls-Bk. | calcare: sabbioso: glauconite | marna | – | Strato di Büls | Valanginiano | Valanginiano |
| 15202088 | Sichel-Kalk | calcare: micritico: bioclasti-selce | – | – | Calcare della Sichel | Valanginiano | Valanginiano |
| 15202089 | Diphyoides-Kalk | calcare: micritico | – | – | Calcare a Diphyoides | Valanginiano | Valanginiano |
| 15202090 | Vitznau-Mergel | marna | calcare: micritico: bioclasti | – | Marna di Vitznau | Valanginiano | Valanginiano |
| 15202091 | Öhrli-Fm. | calcare: bioclasti-ooidi | calcare: sabbioso | marna | Formatione dell'Öhrli | Berriasiano | Berriasiano |
| 15202092 | Palfris-Fm. | marna: scistoso | argillite: scistoso | calcare: bioclasti | Formazione di Palfris | Berriasiano | Berriasiano |
| 15202093 | Zementstein-Fm. | marna | calcare: marnoso | calcare: micritico | Formazione del Zemenstein | Berriasiano | Berriasiano |

| Code | GMU | Litho principale | Litho secondaire | Litho tertiaire | Formation | Chrono base | Chrono top |
|---|---|---|---|---|---|---|---|
| 15202031 | Klimsenhorn-Fm.: Fräkmünt-Mb. | arenaria: quarzo-glauconite | calcare: micritico | arenaria: calcareo: bioclasti | Membro di Fräkmünt | Luteziano | Bartoniano |
| 15202032 | Bürgen-Fm. | calcare: micritico | calcare: sabbioso: glauconite | marna: bioclasti | Formazione di Bürgen | Luteziano | Luteziano |
| 15202033 | Bürgen-Fm.: Foribach-Mb. | calcare: sabbioso: glauconite | calcare: micritico: bioclasti | – | Membro del Foribach | Luteziano | Luteziano |
| 15202034 | Bürgen-Fm.: Mattgrat-Mb. | calcare: micritico: bioclasti | – | – | Membro del Mattgrat | Luteziano | Luteziano |
| 15202035 | Bürgen-Fm.: Scharti-Mb. | arenaria: calcareo: glauconite | calcare: sabbioso: bioclasti | marna | Membro di Scharti | Luteziano | Luteziano |
| 15202036 | Euthal-Fm. | calcare: nummuliti | arenaria: quarzo-glauconite | – | Formazione di Euthal | Selandiano | Luteziano |
| 15202037 | Bürgen-Fm.: Steinbach-Mb. | arenaria: glauconite | calcare: bioclasti | – | Membro del Steinbach | Luteziano | Luteziano |
| 15202038 | Euthal-Fm.: Einsiedeln-Mb. | calcare: nummuliti | arenaria: calcareo: glauconite | – | Membro di Einsiedeln | Ypresiano | Luteziano |
| 15202039 | Euthal-Fm.: Batöni-Mb. | arenaria: quarzo-glauconite | – | – | Membro della Batöni | Thanetiano | Ypresiano |
| 15202040 | Euthal-Fm.: Chruteren-Mb. | arenaria: glauconite | calcare: spatico: bioclasti | calcare: alghe | Membro della Chruteren | Thanetiano | Ypresiano |
| 15202041 | Euthal-Fm.: Fliegenspitz-Mb. | marna: sabbioso | – | – | Membro del Fliegenspitz | Selandiano | Thanetiano |
| 15202043 | Siderolithikum: Grindelwald-Marmor | breccia: calcareo | – | – | Marmo di Grindelwald | Eocene medio | Eocene medio |

| Code | GMU | Litho principale | Litho secondaire | Litho tertiaire | Formation | Chrono base | Chrono top |
|---|---|---|---|---|---|---|---|
| 15202044 | Niederhorn-Fm.: Hohgant-Sandstein: Mürren-Brekzie | breccia: calcareo: bioclasti | – | – | Breccia di Mürren | Priaboniano | Priaboniano |
| 15202045 | Siderolithikum: Dünden-Konglomerat | conglomerato: calcareo-residuale: pisoidi di ferro | – | – | Conglomerato della Dünden | Eocene medio | Eocene medio |
| 15202046 | Siderolithikum: Rosenlaui-Marmor | breccia: calcareo | – | – | Marmo de Rosenlaui | Eocene medio | Eocene medio |
| 15202047 | Helvetikum: Kreide | calcare | marna | arenaria | – | Cretaceo | Cretaceo |
| 15202048 | Wang-Fm. | calcare: sabbioso-siliceo | marna | – | Formazione di Wang | Campaniano | Maastrichtiano |
| 15202492 | Kapfen-Fm.: Sandstein-dominierte Fazies | arenaria | – | – | Formazione di Kapfen | Guadalupiano | Lopingiano |
| 15202493 | Kärpf-Fm.: Kärpfgipfel-Sernifit | conglomerato | – | – | Sernifite del Kärpfgipfel | Guadalupiano | Lopingiano |
| 15202494 | Fulen-Fm. | argillite: sabbioso-scistoso | – | – | Formazione del Fulen | Permiano | Permiano |
| 15202495 | Karrenstock-Fm.: Glattmatt-Mb. | argillite | arenaria | breccia | Membro della Glattmatt | Cisuraliano | Cisuraliano |
| 15202496 | Mären-Fm.: Grisch-Mb.: Hanenstock-Keratophyr | trachite | – | – | Keratofiro del Hahnenstock | Cisuraliano | Cisuraliano |

| Code | GMU | Litho principale | Litho secondaire | Litho tertiaire | Formation | Chrono base | Chrono top |
|---|---|---|---|---|---|---|---|
| 15202497 | Mären-Fm.: Grisch-Mb.: Sonnenberg-Horizonte | arenaria: feldspato | calcare | argillite: siltoso-scistoso | Orizzonte del Sonnenberg | Cisuraliano | Cisuraliano |
| 15202498 | Mären-Fm.: Grisch-Mb.: Chamseeli-Konglomerat | conglomerato | – | – | Conglomerato del Chamseeli | Cisuraliano | Cisuraliano |
| 15202499 | Murgtal-Fm.: Chartegg-Mb.: Rotberg-Sandstein | arenaria | – | – | Arenaria del Rotberg | Cisuraliano | Cisuraliano |
| 15202500 | Murgtal-Fm.: Seez-Mb. | conglomerato | – | – | Membro di Seez | Cisuraliano | Cisuraliano |
| 15202501 | Murgtal-Fm.: Gufelialp-Mb. | breccia: siltoso | argillite | siltite | Membro della Gufelialp | Cisuraliano | Cisuraliano |
| 15202502 | Ilanz-Verrucano s.s. | arenaria | conglomerato | – | – | Permiano | Permiano |
| 15202503 | Ilanz-Verrucano: Buntgefleckte Schiefer | scisto | fillite | – | – | Permiano | Permiano |
| 15202504 | Tavetsch-Decke: Perm | conglomerato | arenaria | pelite | – | Permiano | Permiano |
| 15202505 | Windgällen-Fm.: Mikrogranit | granito: microcristallino-porfirico | – | – | Formazione delle Windgällen | Pennsylvaniano superiore | Pennsylvaniano superiore |
| 15202506 | Bifertengrätli-Fm.: Sandalp-Rhyolith | riolite | – | – | Riolite della Sandalp | Pennsylvaniano superiore | Asseliano |
| 15202507 | Tscharren-Fm.: Tuffitische Fazies | tufite | – | – | Formazione del Tscharren | Pennsylvaniano superiore | Pennsylvaniano superiore |

| Code | GMU | Litho principale | Litho secondaire | Litho tertiaire | Formation | Chrono base | Chrono top |
|---|---|---|---|---|---|---|---|
| 15202508 | Tscharren-Fm.: Ignimbritische Fazies | ignimbrite | – | – | Formazione del Tscharren | Pennsylvaniano superiore | Pennsylvaniano superiore |
| 15202509 | Euthal-Fm.: Guschakopf-Sandstein | arenaria: quarzo | – | – | Arenaria del Guschakopf | Paleogene | Paleogene |
| 15202510 | Quinten-Fm.: Gonzen-Eisenerzhorizont | calcare: ooidi di ferro | – | – | Orizzonte del Gonzen | Oxfordiano | Kimmeridgiano |
| 15202511 | Schabell-Melange | argillite | marna | arenaria | Mélange del Schabell | Priaboniano | Rupeliano |
| 15202512 | Taveyannaz-Fm.: Dachschiefer-Fazies | argillite: scistoso | arenaria: argilloso | – | Formazione di Taveyannaz | Priaboniano | Rupeliano |
| 15202513 | Helvetischer Kieselkalk: Oberer Teil | calcare: siliceo: bioclasti | calcare: spatico: bioclasti | marna | Helvetischer Kieselkalk | Hauteriviano | Hauteriviano |
| 15202514 | Helvetischer Kieselkalk: Unterer Teil | calcare: siliceo: bioclasti | calcare: spatico: bioclasti | marna | Helvetischer Kieselkalk | Valanginiano | Hauteriviano |
| 15202515 | Helvetischer Kieselkalk: Basisschiefer | marna: siliceo | – | – | Helvetischer Kieselkalk | Valanginiano | Hauteriviano |
| 15202516 | Torrenthorn-Fm.: Torrentalp-Mb.: Schiefer-Fazies | argillite | calcare: marnoso | – | Membro della Torrentalp | Toarciano | Aaleniano |
| 15202517 | Torrenthorn-Fm.: Torrentalp-Mb.: Spatkalk-Fazies | calcare: spatico | – | – | Membro della Torrentalp | Toarciano | Toarciano |

| Code | GMU | Litho principale | Litho secondaire | Litho tertiaire | Formation | Chrono base | Chrono top |
|---|---|---|---|---|---|---|---|
| 15202518 | Torrenthorn-Fm.: Torrentalp-Mb.: Sandstein-Fazies | arenaria: calcareo-siliceo | – | – | Membro della Torrentalp | Pliensbachiano | Pliensbachiano |
| 15202519 | Torrenthorn-Fm.: Galm-Mb.: Spatkalk-Fazies | calcare: sabbioso-spatico | – | – | Membro di Galm | Sinemuriano | Sinemuriano |
| 15202520 | Torrenthorn-Fm.: Galm-Mb.: Sandstein-Fazies | arenaria: calcareo-siliceo | – | – | Membro di Galm | Sinemuriano | Pliensbachiano |
| 15202521 | Meilleret-Fm.: Iserin-Konglomerat | conglomerato: polimittico | – | – | Conglomerato d'Iserin | Luteziano | Priaboniano |
| 15202522 | Meilleret-Fm.: Biodetritischer Kalkstein | calcare: arenitico: bioclasti | – | – | Formazione del Meilleret | Luteziano | Priaboniano |
| 15202523 | Meilleret-Fm.: Arkose | arenaria: feldspato | arenaria: quarzo | – | Formazione del Meilleret | Luteziano | Priaboniano |
| 15202524 | Meilleret-Fm.: Basales Konglomerat | conglomerato | – | – | Formazione del Meilleret | Luteziano | Priaboniano |
| 15202525 | Bommerstein-Fm.: Glockhaus-Mb.: Grenzquarzit | arenaria: quarzo | calcare: sabbioso-spatico | – | «Grenzquarzit» (Fm. del Bommerstein) | Aaleniano | Bajociano |
| 15202526 | Telltistock-Granit | granito: biotite | granito: milonitico | – | Granito del Telltistock | Pennsylvaniano superiore | Pennsylvaniano superiore |
| 15202527 | Öhrli-Fm.: von Siderolithikum durchsetzt | calcare | roccia: residuale: mineri di ferro | – | Formatione dell'Öhrli | Berriasiano | Eocene |

| Code | GMU | Litho principale | Litho secondaire | Litho tertiaire | Formation | Chrono base | Chrono top |
|---|---|---|---|---|---|---|---|
| 15202528 | Zentraler-Aare-Granit: Beesten-Varietät | granito: porfirico | – | – | Granito di Beesten | Cisuraliano | Cisuraliano |
| 15202529 | Diechtergletscher-Fm.: Garwiidi-Diorit | diorite: quarzo-orneblenda | – | – | Diorite di Garwiidi | Cisuraliano | Cisuraliano |
| 15202530 | Alp-Crap-Ner-Granit | granito | – | – | Granito dell'Alp Crap Ner | Mississippiano medio | Mississippiano medio |
| 15202531 | Innertkirchen-Migmatit: Permisch verwittert | roccia: residuale | migmatite | gneiss | Migmatite d'Innertkirchen | Proterozoico | Permiano |
| 15202532 | Erstfeld-Gneiskomplex: Permisch verwittert | roccia: residuale | gneiss | – | Complesso gneissico di Erstfeld | Proterozoico | Permiano |
| 15202533 | Martinsmad-Fm.: Supraquarzitischer Flysch: Suren-Flysch | arenaria: argilloso | argillite: scistoso | – | Flysch del Suren | Ypresiano | Eocene medio |
| 15202534 | Stad-Fm.: Spirstock-Mb.: Obere Sandsteine | arenaria: calcareo: quarzo | conglomerato: polimittico | – | Membro del Spirstock | Priaboniano | Priaboniano |
| 15202535 | Stad-Fm.: Spirstock-Mb.: Blockmergel | marna: conglomeratico | – | – | Membro del Spirstock | Priaboniano | Priaboniano |
| 15202536 | Stad-Fm.: Spirstock-Mb.: Untere Sandsteine | arenaria: feldspato | marna: scistoso | – | Membro del Spirstock | Priaboniano | Priaboniano |

| Code | GMU | Litho principale | Litho secondaire | Litho tertiaire | Formation | Chrono base | Chrono top |
|---|---|---|---|---|---|---|---|
| 15202537 | Helvetischer Kieselkalk: Ringgenberg-Sch. | calcare: micritico | marna: scistoso | – | Strati di Ringgenberg | Valanginiano | Valanginiano |
| 15202538 | Quinten-Fm.: Malmbrekzie | calcare: dolomitico | dolomia | breccia | Formazione di Quinten | Kimmeridgiano | Titoniano |
| 15202539 | Schattwald-Mergelkalk | calcare: marnoso | calcare: micritico | – | Calcare del Schattwald | Titoniano | Cretaceo inferiore |
| 15202540 | Elm- und Matt-Fm. | arenaria: quarzo | arenaria: argilloso | argillite | – | Priaboniano | Rupeliano |
| 15202541 | Elm- und Matt-Fm.: Quarzsandstein | arenaria: quarzo | – | – | – | Priaboniano | Rupeliano |
| 15202542 | Nordhelvetische Flysch-Gr.: Schiefriger Tonstein | argillite: scistoso | – | – | – | Priaboniano | Rupeliano |
| 15202543 | Tierwis-Fm.: Schiefrige Fazies | marna: scistoso | – | – | Formazione di Tierwis | Barremiano | Barremiano |
| 15202544 | Tierwis-Fm.: Kalkige Fazies | marna: calcareo-siliceo | calcare: spatico: bioclasti | calcare: sabbioso | Formazione di Tierwis | Barremiano | Barremiano |
| 15202545 | Bommerstein-Fm.: Glockhaus-Mb.: Schiefriger Eisensandstein | arenaria: mineri di ferro | – | – | Membro del Glockhaus | Aaleniano | Bajociano |
| 15202546 | Helvetikum: Trias: Dolomit | dolomia | – | – | – | Triassico | Triassico |
| 15202547 | Helvetikum: Trias: Rauwacke | cargnola | – | – | – | Triassico | Triassico |

| Code | GMU | Litho principale | Litho secondaire | Litho tertiaire | Formation | Chrono base | Chrono top |
|---|---|---|---|---|---|---|---|
| 15202548 | Helvetikum: Trias: Gips | evaporite: gesso | – | – | – | Triassico | Triassico |
| 15202549 | Baltschieder-Granodiorit: Biotittonalit | tonalite: biotite | – | – | Granodiorite di Baltschieder | Mississippiano | Mississippiano |
| 15202550 | Baltschieder-Granodiorit: Hornblende Biotittonalit | tonalite: biotite-orneblenda | – | – | Granodiorite di Baltschieder | Mississippiano | Mississippiano |
| 15202551 | Erstfeld-Gneiskomplex: Biotit-Plagioklasgneis | gneiss: migmatitico | migmatite | – | Complesso gneissico di Erstfeld | Proterozoico | Carbonifero |
| 15202552 | Erstfeld-Gneiskomplex: Orthogneis | gneiss: granitico | – | – | Complesso gneissico di Erstfeld | Proterozoico | Carbonifero |
| 15202553 | Erstfeld-Gneiskomplex: Migmatit | migmatite | – | – | Complesso gneissico di Erstfeld | Proterozoico | Carbonifero |
| 15202554 | Guttannen-Gneiskomplex: Paragneis | gneiss: sedimentario | – | – | Complesso gneissico di Guttannen | Proterozoico | Carbonifero |
| 15203744 | Lucomagno-Einheit: Quartz-reicher Leukogneis | gneiss: leucocratico | gneiss: quarzo | – | – | Proterozoico | Paleozoico |
| 15203745 | Lucomagno-Einheit: Amphibolit | anfibolite | – | – | – | Paleozoico | Paleozoico |
| 15203746 | Leventina-Lucomagno-Decke: Trias: Rauwacke | cargnola | – | – | – | Triassico | Triassico |

| Code | GMU | Litho principale | Litho secondaire | Litho tertiaire | Formation | Chrono base | Chrono top |
|---|---|---|---|---|---|---|---|
| 15203747 | Leventina-Einheit: Loderio Mafischer Komplex | roccia: ultramafico | peridotite: metamorfico | serpentinite | Complesso ultramafico di Loderio | Cambriano | Cambriano |
| 15203748 | Cima-Lunga-Decke: Cima-di-Gagnone-Peridotit | peridotite: metamorfico | – | – | Peridotite della Cima di Gagnone | Proterozoico | Paleozoico |
| 15203749 | Cima-Lunga-Decke: Granat-Glimmerschiefer | scisto: mica-granato | – | – | – | Proterozoico | Paleozoico |
| 15203750 | Pizzo-del-Vallone-Decke: Leukogneis | gneiss | – | – | – | Proterozoico | Paleozoico |
| 15203751 | Simano-Decke: Quarzitischer Gneis mit Karbonat | gneiss: quarzo-carbonato | – | – | – | Paleozoico | Mesozoico |
| 15203752 | Simano-Decke: Quarzit | quarzite | – | – | – | Paleozoico | Triassico |
| 15203753 | Simano-Decke: Granat-reicher Gneis | gneiss: biotite-granato | – | – | – | Proterozoico | Paleozoico |
| 15203754 | Simano-Decke: Quarz-reicher Gneis | gneiss: quarzo | – | – | – | Proterozoico | Paleozoico |
| 15203755 | Turba-Mylonit | milonite | – | – | – | Cretaceo | Cenozoico |
| 15203756 | Grande-Eau-Fm.: Raverette-Mb. bis Grès de Passage | conglomerato | arenaria | marna | Formazione della Grande Eau | Bajociano | Batoniano |

| Code | GMU | Litho principale | Litho secondaire | Litho tertiaire | Formation | Chrono base | Chrono top |
|---|---|---|---|---|---|---|---|
| 15203757 | San-Giorgio-Schuppe: Quarz-Glimmerschiefer | scisto: quarzo-mica | – | – | – | – | – |
| 15203758 | San-Giorgio-Schuppe: Quarz-Glimmerschiefer: mit Biotitgarben | – | – | – | – | – | – |
| 15203759 | San-Giorgio-Schuppe: Granat-Glimmerschiefer | scisto: mica-granato | – | – | – | – | – |
| 15203760 | San-Giorgio-Schuppe: Horblendegarbenschiefer | scisto: orneblenda | – | – | – | – | – |
| 15203761 | Sambuco-Decke: Quarten-Fm. | scisto: mica | dolomia | quarzite | Formazione di Quarten | Triassico | Triassico |
| 15203762 | Sambuco-Decke: Röti-Fm. | marmo: dolomitico | breccia: dolomitico | – | Formazione della Röti | Triassico | Triassico |
| 15203763 | Sambuco-Decke: Muskovit-Graphitschiefer | scisto: mica-grafite | scisto: mica-granato | – | – | – | – |
| 15203764 | Sambuco-Decke: Quarz-Glimmerschiefer | scisto: quarzo-mica | scisto: mica-granato | – | – | – | – |
| 15203765 | Sambuco-Decke: Paragneis bis Glimmerschiefer | gneiss: sedimentario | scisto: mica | – | – | – | – |

| Code | GMU | Litho principale | Litho secondaire | Litho tertiaire | Formation | Chrono base | Chrono top |
|---|---|---|---|---|---|---|---|
| 15203766 | Sambuco-Decke: Paragneis bis Glimmerschiefer: mit Granat | gneiss: granato | scisto: mica-granato | – | – | – | – |
| 15203767 | Sambuco-Decke: Paragneis bis Glimmerschiefer: mit Staurolith und Disthen | – | – | – | – | – | – |
| 15203768 | Sambuco-Decke: Paragneis bis Glimmerschiefer: mit Hornblende | gneiss: orneblenda | scisto: mica-orneblenda | – | – | – | – |
| 15203769 | Sambuco-Decke: Alkalifeldspatgneis | – | – | – | – | – | – |
| 15203770 | Sambuco-Decke: Bändergneis | gneiss: a bande | gneiss: biotite-plagioclasio | – | – | – | – |
| 15203771 | Sambuco-Decke: Amphibolit und Hornblendefels | anfibolite | granodiorite: orneblenda | – | – | – | – |
| 15203772 | Sambuco-Decke: Ultramafitit | roccia: ultramafico | – | – | – | – | – |
| 15203773 | Simano-Decke: Trias: Dolomitmarmor: mit Phlogopit | – | – | – | Formazione della Röti | Triassico | Triassico |

| Code | GMU | Litho principale | Litho secondaire | Litho tertiaire | Formation | Chrono base | Chrono top |
|---|---|---|---|---|---|---|---|
| 15203774 | Simano-Decke: Trias: Rauwacke | cargnola | – | – | Formazione della Röti | Triassico | Triassico |
| 15203775 | Simano-Decke: Serizitquarzit | quarzite: sericite | – | – | Formazione di Mels | Triassico | Triassico |
| 15203776 | Simano-Decke: Quarzit: konglomeratisch | – | – | – | – | Permiano | Triassico |
| 15203777 | Simano-Decke: Quarz-Glimmerschiefer | scisto: quarzo-mica | – | – | – | Permiano | Triassico |
| 15203778 | Simano-Decke: Quarz-Glimmerschiefer: mit Granat | scisto: quarzo-mica | scisto: mica-granato | – | – | Permiano | Triassico |
| 15203779 | Simano-Decke: Quarz-Glimmerschiefer: mit Disthen | scisto: quarzo-mica | – | – | – | Permiano | Triassico |
| 15203780 | Simano-Decke: Quarz-Glimmerschiefer: mit Staurolith und Disthen | scisto: quarzo-mica | – | – | – | Permiano | Triassico |
| 15203781 | Gruf-Komplex: Kalksilikatfels | granofels: calcsilicati | – | – | – | Proterozoico | Paleozoico |
| 15203782 | Gruf-Komplex: Amphibolit | anfibolite | – | – | – | Paleozoico | Paleozoico |
| 15203783 | Bedretto-Zone: Kalkglimmerschiefer | scisto: calcareo: mica | – | – | – | Mesozoico | Mesozoico |
| 15203784 | Bedretto-Zone: Kalkglimmerschiefer: mit Skapolith | scisto: calcareo: mica | – | – | – | Mesozoico | Mesozoico |

| Code | GMU | Litho principale | Litho secondaire | Litho tertiaire | Formation | Chrono base | Chrono top |
|---|---|---|---|---|---|---|---|
| 15203785 | Bedretto-Zone: Granatphyllit bis - glimmerschiefer | – | scisto: mica-granato | – | – | Mesozoico | Mesozoico |
| 15203786 | Bedretto-Zone: Quarzit bis Quarzphyllit | quarzite | fillite: quarzo | – | – | Mesozoico | Mesozoico |
| 15203787 | Bedretto-Zone: Metaarkose bis Gneis | arenaria: feldspato | gneiss: sedimentario | – | – | Mesozoico | Mesozoico |
| 15203788 | Bedretto-Zone: Konglomerat: polymikt | conglomerato: polimittico | – | – | – | Mesozoico | Mesozoico |
| 15203789 | Bedretto-Zone: Kalkmarmor | marmo: calcareo | – | – | – | Mesozoico | Mesozoico |
| 15203790 | Spegnas-Fm.: Sandstein | arenaria | – | – | Formazione del Piz Spegnas | Paleocene | Paleocene |
| 15203730 | Antrona-Decke: Metasedimente | scisto: calcareo | scisto: mica-granato | marmo | – | Cretaceo inferiore | Cretaceo superiore |
| 15203731 | Antrona-Decke: Metagabbro | gabbro | eclogite | – | – | Giurassico medio | Giurassico superiore |
| 15203732 | Antrona-Decke: Serpentinit | serpentinite | – | – | – | Giurassico medio | Giurassico superiore |
| 15203733 | Siviez-Mischabel-Decke: Leukogneis | gneiss | – | – | – | Paleozoico | Paleozoico |
| 15203734 | Theodulgletscher-Schuppe: Granat-Biotitgneis | gneiss: biotite-granato | scisto: biotite-granato | scisto: mica-granato | – | Proterozoico | Paleozoico |

| Code | GMU | Litho principale | Litho secondaire | Litho tertiaire | Formation | Chrono base | Chrono top |
|---|---|---|---|---|---|---|---|
| 15203735 | Theodulgletscher-Schuppe: Eklogit | eclogite | – | – | – | Proterozoico | Paleozoico |
| 15203736 | Alphubelgletscher-Schuppe: Granat-Biotitgneis | gneiss: biotite-granato | scisto: biotite-granato | scisto: mica-granato | – | Proterozoico | Paleozoico |
| 15203737 | Frilihorn-Decke: Marmor | marmo: dolomitico | marmo: calcareo | breccia | – | Triassico medio | Cretaceo inferiore |
| 15203738 | Lebendun-Decke: Kalkschiefer | scisto: calcareo | – | – | – | Mesozoico | Paleogene |
| 15203739 | Lebendun-Decke: Amphibolit | anfibolite: granato | – | – | – | Mesozoico | Mesozoico |
| 15203740 | Antigorio-Decke: Jura-Kreide [Post-Trias] | scisto: sabbioso-calcareo | marmo | – | – | Giurassico | Cretaceo |
| 15203741 | Antigorio-Decke: Karbonatische Trias | marmo: dolomitico | – | – | – | Triassico | Triassico |
| 15203742 | Antigorio-Decke: Quarzitische Trias | quarzite | – | – | – | Triassico | Triassico |
| 15203743 | Lucomagno-Einheit: Konglomeratgneis | gneiss: psefitico | – | – | – | Permiano | Permiano |
| 15202108 | Reischiben-Fm. | calcare: spatico: bioclasti-selce | calcare: sabbioso | calcare: marnoso | Formazione della Reischiben | Aaleniano | Calloviano |

| Code | GMU | Litho principale | Litho secondaire | Litho tertiaire | Formation | Chrono base | Chrono top |
|---|---|---|---|---|---|---|---|
| 15202109 | Reischiben-Fm.: Blegi-Eisenoolith | calcare: ooidi di ferro | – | – | Oolite ferruginosa della Blegi | Bajociano | Calloviano |
| 15202110 | Reischiben-Fm.: Bannalp-Konglomerat | marna: dolomitico | conglomerato | – | Conglomerato della Bannalp | Bajociano | Bajociano |
| 15202111 | Reischiben-Fm.: Guppen-Fossilhorizont | calcare: bioclasti | – | – | Orizzonte fossilifero di Guppen | Bajociano | Bajociano |
| 15202112 | Reischiben-Fm.: Gursbach-Fossilhorizont | calcare: bioclasti | – | – | Orizzonte fossilifero di Gursbach | Bajociano | Bajociano |
| 15202113 | Hochstollen-Fm. | calcare: sabbioso-spatico | marna: sabbioso | – | Formazione del Hochstollen | Bajociano | Bajociano |
| 15202114 | Hochstollen-Fm.: Schwarzhorn-Mb. | calcare: sabbioso-siliceo | marna | calcare: spatico: bioclasti | Membro del Schwarzhorn | Bajociano | Bajociano |
| 15202115 | Hochstollen-Fm.: Bietenhorn-Mb. | marna: siltoso | argillite: scistoso | calcare: sabbioso | Membro del Bietenhorn | Bajociano | Bajociano |
| 15202116 | Bommerstein-Fm. | arenaria: quarzo | calcare: spatico: bioclasti | argillite: scistoso | Formazione del Bommerstein | Toarciano | Aaleniano |
| 15202117 | Bommerstein-Fm.: Mols-Mb. | argillite: scistoso | calcare: spatico: bioclasti | – | Membro di Mols | Toarciano | Aaleniano |
| 15202118 | Dugny-Fm. | argillite: siltoso: mica | siltite | argillite: scistoso | Formazione di Dugny | Toarciano | Aaleniano |

| Code | GMU | Litho principale | Litho secondaire | Litho tertiaire | Formation | Chrono base | Chrono top |
|---|---|---|---|---|---|---|---|
| 15202119 | Coroi-Fm. | argillite: scistoso | siltite | arenaria | Formazione del Coroi | Aaleniano | Aaleniano |
| 15202120 | Helvetikum: Lias | marna | calcare | arenaria | – | Retico | Aaleniano |
| 15202121 | Brunnistock-Fm. | calcare: sabbioso-spatico | argillite | – | Formazione del Brunnistock | Pliensbachiano | Toarciano |
| 15202122 | Inferno-Fm. | calcare: marnoso-scistoso | argillite: scistoso | calcare: spatico: bioclasti | Formazione d'Inferno | Pliensbachiano | Toarciano |
| 15202123 | Monts-Rosset-Fm. | marna | calcare: spatico: bioclasti | – | Formazione dei Monts Rosset | Toarciano | Toarciano |
| 15202124 | Torrenthorn-Fm.: Torrentalp-Mb. | arenaria: calcareo-siliceo | calcare: marnoso | argillite | Membro della Torrentalp | Pliensbachiano | Aaleniano |
| 15202125 | Sexmor-Fm. | calcare: spatico: bioclasti | marna | calcare: siliceo | Formazione del Sexmor | Pliensbachiano | Pliensbachiano |
| 15202126 | Mont-Joly-Fm. | calcare: siliceo | calcare: spatico: bioclasti | calcare: sabbioso-argilloso | Formazione del Mont Joly | Sinemuriano | Pliensbachiano |
| 15202127 | Torrenthorn-Fm.: Galm-Mb. | arenaria: calcareo-siliceo | calcare: sabbioso-spatico | – | Membro di Galm | Sinemuriano | Pliensbachiano |
| 15202128 | Spitzmeilen-Fm. | calcare: sabbioso | arenaria: calcareo | marna | Formazione del Spitzmeilen | Sinemuriano | Pliensbachiano |
| 15202129 | Tierces-Fm. | marna | calcare: micritico | calcare: sabbioso-spatico | Formazione delle Tierces | Hettangiano | Sinemuriano |
| 15202130 | Bachalp-Fm. | marna: calcareo | calcare: spatico | – | Formazione della Bachalp | Hettangiano | Sinemuriano |
| 15202131 | Prodkamm-Fm. | argillite | marna | arenaria: calcareo | Formazione del Prodkamm | Hettangiano | Sinemuriano |

| Code | GMU | Litho principale | Litho secondaire | Litho tertiaire | Formation | Chrono base | Chrono top |
|---|---|---|---|---|---|---|---|
| 15202132 | Prodkamm-Fm.: Cardinien-Mb. | argillite: scistoso | arenaria: calcareo | calcare: bioclasti | «Membro a Cardinia» | Hettangiano | Sinemuriano |
| 15202133 | Stgir-Fm. | calcare: sabbioso | argillite: scistoso | arenaria: quarzo | Formazione del Stgir | Hettangiano | Sinemuriano |
| 15202134 | Helvetikum: Trias | dolomia | arenaria | pelite | – | Olenekiano | Retico |
| 15202135 | Besoëns-Fm. | arenaria: quarzo | calcare: sabbioso: bioclasti | argillite: scistoso | Formazione dei Besoëns | Retico | Retico |
| 15202136 | Quarten-Fm. | argillite: scistoso | siltite: scistoso | dolomia | Formazione di Quarten | Carnico | Retico |
| 15202137 | Arandellys-Fm. | calcare: dolomitico | dolomia | cargnola | Formazione dei Arandellys | Triassico medio | Triassico superiore |
| 15202138 | Arandellys-Fm.: Griaz-Mb. | evaporite: gesso | cargnola | – | Membro della Griaz | Triassico superiore | Triassico superiore |
| 15202139 | Röti-Fm. | dolomia | cargnola | argillite: dolomitico | Formazione della Röti | Anisico | Carnico |
| 15202140 | Vieux-Emosson-Fm. | arenaria: quarzo | arenaria: feldspato | argillite | Formazione del Vieux Emosson | Olenekiano | Anisico |
| 15202141 | Mels-Fm. | arenaria: quarzo | argillite: scistoso | dolomia | Formazione di Mels | Olenekiano | Anisico |
| 15202142 | Helvetikum: Spät- bis postvariszische Sedimente und Vulkanite | conglomerato | arenaria | pelite | – | Carbonifero | Permiano |
| 15202143 | Helvetikum: Verrucano | conglomerato | arenaria | pelite | – | Permiano | Permiano |
| 15202144 | Glarner Verrucano | conglomerato | arenaria | pelite | – | Cisuraliano | Lopingiano |
| 15202145 | Schönbühl-Fm. | argillite: sabbioso-scistoso | arenaria: quarzo | – | Formazione di Schönbühl | Cisuraliano | Lopingiano |

| Code | GMU | Litho principale | Litho secondaire | Litho tertiaire | Formation | Chrono base | Chrono top |
|---|---|---|---|---|---|---|---|
| 15202146 | Schönbühl-Fm.: Quarzit | arenaria: quarzo | – | – | Formazione di Schönbühl | Cisuraliano | Lopingiano |
| 15202147 | Kärpf-Fm. | conglomerato | arenaria | argillite: siltoso-scistoso | Formazione del Kärpf | Guadalupiano | Lopingiano |
| 15202148 | Karrenstock-Fm. | argillite: sabbioso-scistoso | roccia: vulcanico | arenaria: conglomeratico | Formazione del Karrenstock | Cisuraliano | Cisuraliano |
| 15202149 | Murgtal-Fm.: Chartegg-Mb. | argillite: siltoso-scistoso | – | – | Membro della Chartegg | Cisuraliano | Cisuraliano |
| 15202150 | Karrenstock-Fm.: Fuggstock-Mb. | conglomerato | – | – | Membro del Fuggstock | Cisuraliano | Cisuraliano |
| 15202151 | Mären-Fm. | argillite: siltoso-scistoso | breccia | arenaria | Formazione della Märenegg | Cisuraliano | Cisuraliano |
| 15202152 | Üblital-Fm. | breccia | argillite | roccia: basico-vulcanico | Formazione del Üblital | Cisuraliano | Cisuraliano |
| 15202153 | Ilanz-Verrucano | scisto | gneiss | – | – | Permiano | Permiano |
| 15202154 | Vernayaz-Fm. | arenaria | argillite | conglomerato | Formazione di Vernayaz | Pennsylvaniano | Cisuraliano |
| 15202094 | Zementstein-Fm.: Grasspass-Mb. | breccia: calcareo | breccia: dolomitico | marna | Membro del Graspass | Berriasiano | Berriasiano |
| 15202095 | Zementstein-Fm.: Gassen-Kalk | calcare: arenitico-spatico | calcare: micritico | – | Calcare del Gassenstock | Berriasiano | Berriasiano |
| 15202096 | Helvetikum: Malm | calcare | marna | – | – | Calloviano | Berriasiano |
| 15202097 | Quinten-Fm. | calcare: micritico | – | – | Formazione di Quinten | Oxfordiano | Berriasiano |
| 15202098 | Quinten-Fm.: Tros-Kalk | calcare: corali | calcare: ooidi | – | Calcare di Tros | Titoniano | Berriasiano |

| Code | GMU | Litho principale | Litho secondaire | Litho tertiaire | Formation | Chrono base | Chrono top |
|---|---|---|---|---|---|---|---|
| 15202099 | Quinten-Fm.: Mergelband | marna | calcare: marnoso | – | «Mergelband» (Fm. di Quinten) | Kimmeridgiano | Kimmeridgiano |
| 15202100 | Schilt-Fm. | calcare | marna | – | Formazione del Schilt | Calloviano | Oxfordiano |
| 15202101 | Schilt-Fm.: Mürtschen-Mb. | marna: scistoso | calcare: micritico | – | Membro del Mürtschen | Oxfordiano | Oxfordiano |
| 15202102 | Schilt-Fm.: Mergelstein-dominierte Fazies | marna: scistoso | marna: calcareo | – | Formazione del Schilt | Oxfordiano | Oxfordiano |
| 15202103 | Schilt-Fm.: Kalkstein-dominierte Fazies | calcare | – | – | Formazione del Schilt | Oxfordiano | Oxfordiano |
| 15202104 | Schilt-Fm.: Seeztal-Mb. | siltite: marnoso | calcare: spatico: bioclasti | – | Membro del Seeztal | Calloviano | Oxfordiano |
| 15202105 | Schilt-Fm.: Windgällen-Mb. | calcare: marnoso | argillite | – | Membro delle Windgällen | Oxfordiano | Oxfordiano |
| 15202106 | Helvetikum: Dogger | calcare | marna | arenaria | – | Toarciano | Oxfordiano |
| 15202107 | Erzegg-Fm. | argillite: scistoso | marna: scistoso | – | Formazione dell'Erzegg | Bajociano | Oxfordiano |
| 15202555 | Guttannen-Gneiskomplex: Orthogneis | gneiss: magmatico | – | – | Complesso gneissico di Guttannen | Proterozoico | Carbonifero |
| 15202556 | Guttannen-Gneiskomplex: Biotit-Chloritschiefer | scisto | gneiss | – | Complesso gneissico di Guttannen | Proterozoico | Carbonifero |

| Code | GMU | Litho principale | Litho secondaire | Litho tertiaire | Formation | Chrono base | Chrono top |
|---|---|---|---|---|---|---|---|
| 15202557 | Guttannen-Gneiskomplex: Chlorit-Serizitschiefer | scisto | gneiss | – | Complesso gneissico di Guttannen | Proterozoico | Carbonifero |
| 15202558 | Lötschental-Gneiskomplex: Muskovitgneis | gneiss: muscovite | – | – | Complesso gneissico del Lötschental | Proterozoico | Paleozoico |
| 15202559 | Lötschental-Gneiskomplex: Migmatitischer Biotitgneis | gneiss: migmatitico | – | – | Complesso gneissico del Lötschental | Proterozoico | Paleozoico |
| 15202560 | Lötschental-Gneiskomplex: Chloritschiefer | scisto: clorite | – | – | Complesso gneissico del Lötschental | Proterozoico | Paleozoico |
| 15202561 | Ofenhorn-Stampfhorn-Gneiskomplex: Gebänderter Biotitgneis | gneiss: a bande | migmatite | – | Complesso gneissico del Ofenhorn-Stampfhorn | Proterozoico | Carbonifero |
| 15202562 | Ofenhorn-Stampfhorn-Gneiskomplex: Migmatit | migmatite | gneiss | – | Complesso gneissico del Ofenhorn-Stampfhorn | Proterozoico | Carbonifero |
| 15202563 | Ofenhorn-Stampfhorn-Gneiskomplex: Biotitgneis | gneiss: biotite | – | – | Complesso gneissico del Ofenhorn-Stampfhorn | Proterozoico | Carbonifero |
| 15202564 | Ofenhorn-Stampfhorn-Gneiskomplex: Orthogneis | gneiss: magmatico | – | – | Complesso gneissico del Ofenhorn-Stampfhorn | Proterozoico | Carbonifero |
| 15202565 | Bäregg-Gneiskomplex: Mylonitischer Orthogneis | gneiss: milonitico | – | – | Complesso gneissico della Bäregg | Proterozoico | Paleozoico |

| Code | GMU | Litho principale | Litho secondaire | Litho tertiaire | Formation | Chrono base | Chrono top |
|---|---|---|---|---|---|---|---|
| 15202566 | Bäregg-Gneiskomplex: Mylonitischer Paragneis | gneiss: milonitico | – | – | Complesso gneissico della Bäregg | Proterozoico | Paleozoico |
| 15202567 | Bäregg-Gneiskomplex: Metavulkanite | roccia: vulcanico | – | – | Complesso gneissico della Bäregg | Proterozoico | Paleozoico |
| 15202568 | Grimsel-Granodiorit: Aplitische Randfazies | granito: aplitico | – | – | Granodiorite del Grimsel | Cisuraliano | Cisuraliano |
| 15202569 | Voralp-Granit: Saure Randfazies | granito: aplitico | – | – | Granito della Voralp | Pennsylvaniano | Pennsylvaniano |
| 15202570 | Tamina-Gneiskomplex | gneiss: migmatitico | – | – | Complesso gneissico della Tamina | Proterozoico | Paleozoico |
| 15202571 | Tamina-Gneiskomplex: Schiefriger Biotitgneis | gneiss: scistoso: biotite | – | – | Complesso gneissico della Tamina | Proterozoico | Paleozoico |
| 15202572 | Tamina-Gneiskomplex: Mylonit | gneiss: milonitico | – | – | Complesso gneissico della Tamina | Proterozoico | Paleozoico |
| 15202573 | Innertkirchen-Migmatit: Marmor | marmo | – | – | Migmatite d'Innertkirchen | Proterozoico | Carbonifero |
| 15202574 | Guttannen-Gneiskomplex: Migmatit | migmatite | – | – | Complesso gneissico di Guttannen | Proterozoico | Carbonifero |
| 15202575 | Guttannen-Gneiskomplex: Amphibolit-reiche Fazies | gneiss: migmatitico | anfibolite | – | Complesso gneissico di Guttannen | Proterozoico | Carbonifero |

| Code | GMU | Litho principale | Litho secondaire | Litho tertiaire | Formation | Chrono base | Chrono top |
|---|---|---|---|---|---|---|---|
| 15202576 | Guttannen-Gneiskomplex: Aplitischer Granit | granito: aplitico | – | – | Complesso gneissico di Guttannen | Carbonifero | Carbonifero |
| 15202577 | Guttannen-Gneiskomplex: Marmor | marmo | – | – | Complesso gneissico di Guttannen | Proterozoico | Carbonifero |
| 15202578 | Guttannen-Gneiskomplex: Ultramafisches Gestein | roccia: ultramafico | – | – | Complesso gneissico di Guttannen | Proterozoico | Carbonifero |
| 15202579 | Ofenhorn-Stampfhorn-Gneiskomplex: Schollenamphibolit-reiche Fazies | gneiss: migmatitico | anfibolite: migmatitico | – | Complesso gneissico del Ofenhorn-Stampfhorn | Proterozoico | Carbonifero |
| 15202580 | Ofenhorn-Stampfhorn-Gneiskomplex: Aplitischer Granit | granito: aplitico | – | – | Complesso gneissico del Ofenhorn-Stampfhorn | Carbonifero | Carbonifero |
| 15202581 | Ofenhorn-Stampfhorn-Gneiskomplex: Schollenamphibolit | anfibolite: migmatitico | – | – | Complesso gneissico del Ofenhorn-Stampfhorn | Proterozoico | Carbonifero |
| 15202582 | Ofenhorn-Stampfhorn-Gneiskomplex: Ultramafisches Gestein | roccia: ultramafico | – | – | Complesso gneissico del Ofenhorn-Stampfhorn | Proterozoico | Carbonifero |
| 15202583 | Bommerstein- und Reischiben-Fm. | argillite | calcare: spatico | marna | – | Toarciano | Calloviano |

| Code | GMU | Litho principale | Litho secondaire | Litho tertiaire | Formation | Chrono base | Chrono top |
|---|---|---|---|---|---|---|---|
| 15202584 | Mels- und Röti-Fm. | dolomia | arenaria | – | – | Triassico inferiore | Carnico |
| 15202585 | Guttannen-Gneiskomplex: Schierfriger Biotit-Chlorit-Serizit-Gneis | gneiss | scisto | – | Complesso gneissico di Guttannen | Proterozoico | Carbonifero |
| 15202586 | Zettenalp-Trochematt-Melange | marna: scistoso | arenaria | breccia: calcareo: bioclasti | Mélange della Zettenalp-Trochematt | Eocene | Eocene |
| 15202587 | Laubersmad-Flysch | arenaria | conglomerato: polimittico | breccia: polimittico | Flysch del Laubersmad | Eocene medio | Eocene superiore |
| 15202588 | Stad-Fm.: Quarzsandstein | arenaria: quarzo | – | – | Formazione di Stad | Eocene medio | Priaboniano |
| 15202589 | Euthal-Fm.: Einsiedeln-Mb.: Quarzsandstein | arenaria: quarzo | – | – | Membro di Einsiedeln | Ypresiano | Eocene medio |
| 15202590 | Schrattenkalk-Fm.: vermergelt | calcare: marnoso | marna | – | Formazione del Schrattenkalk | Aptiano | Aptiano |
| 15202591 | Stad-Fm.: Wängen-Kalk: Lithothamnienkalk-Fazies | calcare: bioclasti | – | – | Calcare di Wängen | Eocene medio | Priaboniano |
| 15202592 | Euthal-Fm.: Einsiedeln-Mb.: Alveolinenkalk-Fazies | calcare: nummuliti | – | – | Membro di Einsiedeln | Ypresiano | Eocene medio |
| 15202593 | Niederhorn-Fm.: Hohgant-Sandstein: Sandkalk und Kalk | calcare: sabbioso | calcare | – | Arenaria del Hohgant | Bartoniano | Priaboniano |

| Code | GMU | Litho principale | Litho secondaire | Litho tertiaire | Formation | Chrono base | Chrono top |
|---|---|---|---|---|---|---|---|
| 15202594 | Interne Einsiedeln-Schuppen: Tektonisches Melange | marna | – | – | – | Eocene | Eocene |
| 15202595 | Bürgen- und Wildstrubel-Fm. | calcare | arenaria | marna | – | Luteziano | Priaboniano |
| 15202596 | Einsiedeln- und Steinbach-Mb. | calcare: nummuliti | arenaria: glauconite | – | – | Thanetiano | Ypresiano |
| 15202597 | Stad-Fm.: e6 | argillite | – | – | Formazione di Stad | Priaboniano | Priaboniano |
| 15202598 | Stgir- und Inferno-Fm. | scisto: argilloso | scisto: calcareo | quarzite | – | Giurassico inferiore | Giurassico inferiore |
| 15202599 | Quinten-Fm.: Oberer Quintner Kalk: Korallenkalk | calcare: corali | – | – | «Oberer Quintner Kalk» | Titoniano | Titoniano |
| 15202600 | Quinten-Fm.: Oberer Quintner Kalk: Unterer Kalk | calcare: micritico | – | – | «Oberer Quintner Kalk» | Titoniano | Titoniano |
| 15202601 | Prodkamm- bis Sexmor-Fm. | pelite | calcare | arenaria | – | Giurassico inferiore | Giurassico inferiore |
| 15202602 | Plattenzüg-Fm. | scisto: clorite | fillite | dacite | Formazione del Plattenzüg | Pennsylvaniano | Cisuraliano |
| 15202603 | Zemenstein- bis Garschella Fm. | calcare | marna | arenaria | – | Cretaceo inferiore | Cretaceo inferiore |
| 15202604 | Euthal-Fm.: Vasanachopf-Mb | argillite: scistoso | conglomerato | arenaria: quarzo | Membro del Vasanachopf | Paleocene | Paleocene |

| Code | GMU | Litho principale | Litho secondaire | Litho tertiaire | Formation | Chrono base | Chrono top |
|---|---|---|---|---|---|---|---|
| 15202605 | Pfäfers-Fm. | marna | calcare: siliceo | arenaria: mica | Formazione di Pfäfers | Maastrichtiano | Eocene |
| 15202606 | Euthal- und Bürgen-Fm. | calcare | arenaria | – | – | Selandiano | Luteziano |
| 15202607 | Amden- und Wang-Fm. | marna | calcare: sabbioso | – | – | Santoniano | Maastrichtiano |
| 15202608 | Seewen- und Amden-Fm. | marna | calcare: micritico | – | – | Cenomaniano | Campaniano |
| 15202609 | Betlis- bis Schrattenkalk-Fm. | calcare | marna | – | – | Valanginiano | Albiano |
| 15202610 | Öhrli- bis Schrattenkalk-Fm. | calcare | marna | – | – | Cretaceo inferiore | Cretaceo inferiore |
| 15202611 | Bommerstein-Fm.: Basisbildungen | breccia | arenaria | calcare: spatico | Formazione del Bommerstein | Toarciano | Aaleniano |
| 15202612 | Öhrli- und Betlis-Fm. | calcare: bioclasti | marna | – | – | Berriasiano | Valanginiano |
| 15202613 | Erzegg-Fm.: Grenzschicht | calcare: micritico: bioclasti | calcare: spatico: glauconite | – | «Grenzschicht» (Fm. dell'Erzegg) | Bajociano | Calloviano |
| 15202614 | Spitzmeilen-Fm.: Bränd-Brekzie | breccia: dolomitico | – | – | Breccia di Bränd | Giurassico inferiore | Giurassico inferiore |
| 15202615 | Infralias-Sandstein | arenaria: quarzo | marna: sabbioso: bioclasti | argillite: scistoso | «Arenaria Infraliasica» | Retico | Hettangiano |
| 15202616 | Nufenen-Zone: Phyllitische Trias | fillite | scisto | – | – | Triassico | Triassico |
| 15202617 | Nufenen-Zone: Karbonatische Trias | marmo: calcareo | cargnola | dolomia | – | Triassico | Triassico |

| Code | GMU | Litho principale | Litho secondaire | Litho tertiaire | Formation | Chrono base | Chrono top |
|---|---|---|---|---|---|---|---|
| 15203802 | Tambo-Decke: Sedimentbedeckung | – | – | – | – | Permiano | Mesozoico |
| 15203803 | Tambo-Decke: Marmor undiff. | marmo: calcareo | marmo: dolomitico | – | – | Mesozoico | Mesozoico |
| 15203804 | Tambo-Decke: Kalzitmarmor | marmo: calcareo | – | – | – | Mesozoico | Mesozoico |
| 15203805 | Tambo-Decke: Karbonatische Trias | – | – | – | – | Triassico | Triassico |
| 15203806 | Tambo-Decke: Trias: Dolomitmarmor | marmo: dolomitico | – | – | – | Triassico | Triassico |
| 15203807 | Tambo-Decke: Trias: Rauwacke | cargnola | – | – | – | Triassico | Triassico |
| 15203808 | Tambo-Decke: Trias: Evaporitgestein | evaporite: gesso | evaporite: anidrite | – | – | Triassico | Triassico |
| 15203809 | Tambo-Decke: Detritische (Permo-)Trias | quarzite | – | – | – | Permiano | Triassico |
| 15203810 | Tambo-Decke: Permo-Trias: Quarzit | quarzite | – | – | – | Permiano | Triassico |
| 15203811 | Tambo-Decke: Permo-Trias: Tafelquarzit | quarzite | – | – | – | Permiano | Triassico |
| 15203812 | Tambo-Decke: Permo-Trias: Konglomeratischer Quarzit | – | – | – | – | Permiano | Triassico |
| 15203813 | Tambo-Decke: Plän-Vest-Fm. | – | – | – | Formazione del Plän Vest | Permiano | Triassico |

| Code | GMU | Litho principale | Litho secondaire | Litho tertiaire | Formation | Chrono base | Chrono top |
|---|---|---|---|---|---|---|---|
| 15203814 | Tambo-Decke: Grundgebirge | – | – | – | – | Proterozoico | Paleozoico |
| 15203815 | Tambo-Decke: Truzzo-Granit: Augengneis | gneiss: magmatico-occhiadino | – | – | Granito di Truzzo | Carbonifero | Permiano |
| 15203816 | Tambo-Decke: Läira-Augengneis | gneiss: occhiadino | – | – | Gneiss occhiadino di Läira | Proterozoico | Paleozoico |
| 15203817 | Tambo-Decke: Paragneise und -schiefer | gneiss: sedimentario | scisto | – | – | Proterozoico | Paleozoico |
| 15203818 | Tambo-Decke: Granat-Glimmerschiefer | scisto: mica-granato | – | – | – | Proterozoico | Paleozoico |
| 15203819 | Tambo-Decke: Amphibolit | anfibolite | – | – | – | Proterozoico | Paleozoico |
| 15203820 | Suretta-Decke: Sedimentbedeckung | – | – | – | – | Permiano | Mesozoico |
| 15203821 | Suretta-Decke: Lägh-da-Cam-Fm. undiff. | – | – | – | Formazione del Lägh da Cam | – | – |
| 15203822 | Suretta-Decke: Lägh-da-Cam-Fm.: Kalkglimmerschiefer | scisto: calcareo: mica | marmo: calcareo | – | Formazione del Lägh da Cam | – | – |
| 15203823 | Suretta-Decke: Lägh-da-Cam-Fm.: Chloritschiefer | scisto: clorite | – | – | Formazione del Lägh da Cam | – | – |
| 15203824 | Suretta-Decke: Lägh-da-Cam-Fm.: Quarz-Glimmerschiefer | scisto: quarzo-mica | – | – | Formazione del Lägh da Cam | – | – |

| Code | GMU | Litho principale | Litho secondaire | Litho tertiaire | Formation | Chrono base | Chrono top |
|---|---|---|---|---|---|---|---|
| 15203825 | Suretta-Decke: Lägh-da-Cam-Fm.: Dolomitschiefer | roccia | – | – | Formazione del Lägh da Cam | – | – |
| 15203826 | Suretta-Decke: Kieseliger Kalkmarmor | – | – | – | – | – | – |
| 15203827 | Suretta-Decke: Dunkler Kalkschiefer | marmo: calcareo | – | – | – | – | – |
| 15203828 | Suretta-Decke: Kalzitmarmor | scisto: calcareo | – | – | – | – | – |
| 15203829 | Suretta-Decke: Karbonatische Trias | marmo: dolomitico | breccia: dolomitico | cargnola | – | Triassico | Triassico |
| 15203830 | SurettaDecke: Trias: Dolomitmarmor | marmo: dolomitico | – | – | – | Triassico | Triassico |
| 15203831 | Suretta-Decke: Trias: Dolomitbrekzie | breccia: dolomitico | – | – | – | Triassico | Triassico |
| 15203832 | Suretta-Decke: Trias: Rauwacke | cargnola | – | – | – | Triassico | Triassico |
| 15203833 | Suretta-Decke: Detritische (Permo-)Trias | quarzite | – | – | – | Permiano | Triassico |
| 15203834 | Suretta-Decke: Permo-Trias: Quarzit | quarzite | – | – | – | Permiano | Triassico |
| 15203835 | Suretta-Decke: Permo-Trias: Tafelquarzit | quarzite | – | – | – | Permiano | Triassico |

| Code | GMU | Litho principale | Litho secondaire | Litho tertiaire | Formation | Chrono base | Chrono top |
|---|---|---|---|---|---|---|---|
| 15203836 | Suretta-Decke: Permo-Trias: Konglomeratischer Quarzit | – | – | – | – | Permiano | Triassico |
| 15203837 | Suretta-Decke: Russapass-Fm. undiff. | – | – | – | Formazione del Passo dei Rossi | Permiano | Permiano |
| 15203838 | Suretta-Decke: Russapass-Fm.: Karbonatlinsen | roccia: carbonato | – | – | Formazione del Passo dei Rossi | Permiano | Permiano |
| 15203839 | Suretta-Decke: Russapass-Fm.: Glaukophanphyllit | – | – | – | Formazione del Passo dei Rossi | Permiano | Permiano |
| 15203840 | Suretta-Decke: Russapass-Fm.: Hellglimmergneis | gneiss: muscovite | – | – | Formazione del Passo dei Rossi | Permiano | Permiano |
| 15203841 | Suretta-Decke: Russapass-Fm.: Chloritoid-Quarzschiefer | – | – | – | Formazione del Passo dei Rossi | Permiano | Permiano |
| 15203842 | Suretta-Decke: Russapass-Fm.: Quarz-Glimmerschiefer | scisto: quarzo-mica | – | – | Formazione del Passo dei Rossi | Permiano | Permiano |
| 15203843 | Suretta-Decke: Grundgebirge | – | – | – | – | Proterozoico | Paleozoico |
| 15203844 | Suretta-Decke: Saures Ganggestein | roccia: acido-filoniano | – | – | – | – | – |

| Code | GMU | Litho principale | Litho secondaire | Litho tertiaire | Formation | Chrono base | Chrono top |
|---|---|---|---|---|---|---|---|
| 15203845 | Suretta-Decke: Basisches Ganggestein | roccia: basico-filoniano | – | – | – | – | – |
| 15203846 | Suretta-Decke: Valle-di-Lei-Fm. undiff. | – | – | – | Formazione della Valle di Lei | – | – |
| 15203847 | Suretta-Decke: Valle-di-Lei-Fm.: Oberer Teil | – | – | – | Formazione della Valle di Lei | – | – |
| 15203848 | Suretta-Decke: Valle-di-Lei-Fm.: Prasinit | prasinite | – | – | Formazione della Valle di Lei | – | – |
| 15203791 | Spegnas-Fm.: Bunte Schiefer | scisto | – | – | Formazione del Piz Spegnas | Paleocene | Paleocene |
| 15203792 | Arblatsch-Zone: Kalkschiefer und kieselige Marmor | scisto: calcareo | marmo: siliceo | – | – | Mesozoico | Mesozoico |
| 15203793 | Val-Gronda-Schuppe: Phyllit und Tonschiefer | fillite | scisto: argilloso | – | – | Mesozoico | Mesozoico |
| 15203794 | Aptychenkalk | calcare: micritico: aptici | – | – | – | Mesozoico | Mesozoico |
| 15203795 | Radiolarit | roccia: siliceo: radiolari | – | – | – | Mesozoico | Mesozoico |
| 15203796 | Savognin-Fm.: Dolomit, Rauwacke | dolomia | cargnola | – | Formazione di Savognin | Mesozoico | Mesozoico |
| 15203797 | Savognin-Fm.: Manziel-Gips | evaporite: gesso | – | – | Formazione di Rossemaison | Mesozoico | Mesozoico |

| Code | GMU | Litho principale | Litho secondaire | Litho tertiaire | Formation | Chrono base | Chrono top |
|---|---|---|---|---|---|---|---|
| 15203798 | Arblatsch-Zone: Basisches Gestein | roccia: basico | – | – | – | Mesozoico | Mesozoico |
| 15203799 | Grande-Bonavau-Fm.: Belemnitenbrekzie | breccia: calcareo: bioclasti | – | – | Formazione della Grande Bonavau | Sinemuriano | Sinemuriano |
| 15203800 | Grande-Bonavau-Fm.: Echinodermenbrekzie | calcare: spatico: bioclasti | breccia: calcareo: bioclasti | – | Formazione della Grande Bonavau | Sinemuriano | Sinemuriano |
| 15203801 | Grande-Bonavau-Fm.: Dolomitbrekzie | breccia: dolomitico | – | – | Formazione della Grande Bonavau | Sinemuriano | Sinemuriano |
| 15202216 | Mont-Blanc-Granit | granito | – | – | Granito del Monte Bianco | Pennsylvaniano | Pennsylvaniano |
| 15202217 | Montenvers-Granit | granito | granito: milonitico | – | Granito del Montenvers | Pennsylvaniano | Pennsylvaniano |
| 15202155 | Vernayaz-Fm.: Salvan-Mb. | arenaria | – | – | Membro di Salvan | Pennsylvaniano | Cisuraliano |
| 15202218 | Lognan-Orthogneis | gneiss: occhiadino | gneiss: a bande | – | Ortogneiss di Lognan | Ordoviciano | Ordoviciano |
| 15202219 | Pétoudes-Orthogneis | gneiss: magmatico | – | – | Ortogneiss delle Pétoudes | Ordoviciano | Ordoviciano |
| 15202156 | Vernayaz-Fm.: Salvan-Mb.: Vallorcine-Konglomerat | conglomerato | – | – | Conglomerato di Vallorcine | Pennsylvaniano | Pennsylvaniano |
| 15202157 | Aar-Massiv: Spät- bis postvariszische Intrusiva | roccia: plutonico | – | – | – | Asseliano | Asseliano |
| 15202158 | Gastern-Granit | granito: biotite | – | – | Granito di Gastern | Pennsylvaniano superiore | Asseliano |
| 15202159 | Mittagflue-Granit | granito: biotite | granito: milonitico | – | Granito della Mittagfluh | Cisuraliano | Cisuraliano |

| Code | GMU | Litho principale | Litho secondaire | Litho tertiaire | Formation | Chrono base | Chrono top |
|---|---|---|---|---|---|---|---|
| 15202160 | Zentraler Aare-Granit | granito: biotite | granito: scistoso | – | Granito Centrale dell'Aare | Cisuraliano | Cisuraliano |
| 15202161 | Grimsel-Granodiorit | granodiorite: porfirico | granito: biotite | gneiss: occhiadino | Granodiorite del Grimsel | Pennsylvaniano superiore | Pennsylvaniano superiore |
| 15202162 | Südwestlicher Aare-Granit | granito | granito: scistoso | – | «Südwestlicher Aare-Granit» | Cisuraliano | Cisuraliano |
| 15202163 | Bugnei-Granodiorit | granodiorite | – | – | Granodiorite di Bugnei | Pennsylvaniano medio | Pennsylvaniano medio |
| 15202164 | Aar-Massiv: Spät- bis postvariszische Sedimente und Vulkanite | roccia: sedimentario | roccia: vulcanico | – | – | Pennsylvaniano superiore | Cisuraliano |
| 15202165 | Wendenjoch-Fm. | scisto: argilloso: grafite | arenaria | conglomerato | Formazione del Wendenjoch | Pennsylvaniano superiore | Cisuraliano |
| 15202166 | Windgällen-Fm. | granito: microcristallino-porfirico | riolite: ignimbritico | scisto: argilloso | Formazione delle Windgällen | Pennsylvaniano superiore | Cisuraliano |
| 15202167 | Trift-Fm. | scisto: argilloso | conglomerato | roccia: piroclastico | Formazione del Trift | Pennsylvaniano superiore | Cisuraliano |
| 15202168 | Intschi-Fm. | riolite | ignimbrite | scisto: argilloso: grafite | Formazione d'Intschi | Pennsylvaniano superiore | Cisuraliano |
| 15202169 | Bifertengrätli-Fm. | conglomerato | arenaria: feldspato | scisto: argilloso: grafite | Formazione del Bifertengrätli | Pennsylvaniano superiore | Cisuraliano |
| 15202170 | Bifertengrätli-Fm.: Lakustrisches Mb. | arenaria | siltite: scistoso | argillite | «Lakustrisches Member» (Fm. del Bifertengrätli) | Pennsylvaniano superiore | Cisuraliano |
| 15202171 | Bifertengrätli-Fm.: Estuarisches Mb. | conglomerato | arenaria | argillite: antracite | «Estuarisches Member» (Fm. del Bifertengrätli) | Pennsylvaniano superiore | Cisuraliano |

| Code | GMU | Litho principale | Litho secondaire | Litho tertiaire | Formation | Chrono base | Chrono top |
|---|---|---|---|---|---|---|---|
| 15202172 | Bifertengrätli-Fm.: Grünhorn-Mb.: Basales Konglomerat | conglomerato | – | – | «Conglomerato basale» (Fm. del Bifertengrätli) | Pennsylvaniano superiore | Cisuraliano |
| 15202173 | Bifertengrätli-Fm.: Grünhorn-Mb. | conglomerato | arenaria: quarzo | tufite | Membro del Grünhorn | Pennsylvaniano | Cisuraliano |
| 15202174 | Diechtergletscher-Fm. | scisto: argilloso | roccia: piroclastico | – | Formazione del Diechtergletscher | Pennsylvaniano superiore | Cisuraliano |
| 15202175 | Tscharren-Fm. | ignimbrite | tufite | conglomerato | Formazione del Tscharren | Pennsylvaniano superiore | Cisuraliano |
| 15202177 | Aar-Massiv: Mittelvariszische Intrusiva | roccia: plutonico | – | – | – | Pennsylvaniano medio | Pennsylvaniano medio |
| 15202178 | Brunni-Granit | granito | – | – | Granito della Brunni | Pennsylvaniano medio | Pennsylvaniano medio |
| 15202179 | Düssi-Diorit | diorite | aplite | pegmatite | Diorite del Düssi | Pennsylvaniano medio | Pennsylvaniano medio |
| 15202180 | Munt-Dado-Granit | granito | – | – | Granito del Munt Dado | Pennsylvaniano medio | Pennsylvaniano medio |
| 15202181 | Russein-Diorit | diorite | – | – | Diorite della Val Russein | Pennsylvaniano inferiore | Pennsylvaniano medio |
| 15202182 | Voralp-Granit | granito: biotite | – | – | Granito della Voralp | Pennsylvaniano | Pennsylvaniano |
| 15202183 | Aar-Massiv: Frühvariszische Intrusiva | roccia: plutonico | – | – | – | Mississippiano | Mississippiano |
| 15202184 | Punteglias-Granit | granito: porfirico: orneblenda | – | – | Granito della Val Punteglias | Mississippiano medio | Mississippiano medio |
| 15202185 | Tödi-Granit | granito | granito: orneblenda | – | Granito del Tödi | Mississippiano medio | Mississippiano medio |
| 15202186 | Strem-Granit | granito | granito: milonitico | – | Granito di Strem | Pennsylvaniano | Cisuraliano |

| Code | GMU | Litho principale | Litho secondaire | Litho tertiaire | Formation | Chrono base | Chrono top |
|---|---|---|---|---|---|---|---|
| 15202187 | Baltschieder-Granodiorit | granodiorite | – | – | Granodiorite di Baltschieder | Mississippiano | Mississippiano |
| 15202188 | Giuv-Syenit | sienite: porfirico: quarzo | monzonite: porfirico: quarzo | – | Sienite del Piz Giuv | Mississippiano medio | Mississippiano medio |
| 15202189 | Curtin-Monzodiorit | monzonite: quarzo | sienite: quarzo | – | Monzodiorite del Piz Curtin | Mississippiano | Mississippiano |
| 15202190 | Bristenstock-Syenit | sienite: quarzo-orneblenda | – | – | Sienite del Bristenstock | Mississippiano medio | Mississippiano medio |
| 15202191 | Aar-Massiv: Frühvariszische Sedimente | roccia: sedimentario | – | – | – | Paleozoico inferiore | Mississippiano |
| 15202192 | Val-Gliems-Fm. | ignimbrite | tufite | conglomerato | Formazione della Val Gliems | Paleozoico inferiore | Mississippiano |
| 15202193 | Bifertenfirn-Fm. | scisto: argilloso: antracite | gneiss | – | Formazione del Bifertenfirn | Paleozoico inferiore | Mississippiano |
| 15202194 | Aar-Massiv: Prävariszisches polyzyklisches Grundgebirge | gneiss | scisto | – | – | Proterozoico | Devoniano |
| 15202195 | Innertkirchen-Migmatit | migmatite: cordierite | gneiss: migmatitico | anfibolite | Migmatite d'Innertkirchen | Proterozoico | Carbonifero |
| 15202196 | Innertkirchen-Migmatit: Zäsenberg-Gneis | gneiss | – | – | Gneiss del Zäsenberg | Proterozoico | Carbonifero |
| 15202197 | Erstfeld-Gneiskomplex | gneiss: migmatitico | gneiss: granitico | scisto | Complesso gneissico di Erstfeld | Proterozoico | Carbonifero |
| 15202198 | Guttannen-Gneiskomplex | gneiss: migmatitico | migmatite | granofels: calcsilicati | Complesso gneissico di Guttannen | Proterozoico | Carbonifero |

| Code | GMU | Litho principale | Litho secondaire | Litho tertiaire | Formation | Chrono base | Chrono top |
|---|---|---|---|---|---|---|---|
| 15202199 | Straligenstöckli-Gneiskomplex | granito: porfirico: biotite | granodiorite: aplitico | – | Complesso gneissico del Straligenstöckli | Proterozoico | Paleozoico |
| 15202200 | Lötschental-Gneiskomplex | gneiss: migmatitico | scisto: clorite | – | Complesso gneissico del Lötschental | Proterozoico | Paleozoico |
| 15202201 | Ofenhorn-Stampfhorn-Gneiskomplex | gneiss | migmatite | scisto | Complesso gneissico del Ofenhorn-Stampfhorn | Proterozoico | Carbonifero |
| 15202202 | Fully-Granodiorit | granodiorite | migmatite: cordierite | – | Granodiorite di Fully | Pennsylvaniano | Pennsylvaniano |
| 15202203 | Vernayaz-Fm.: Salvan-Mb.: Plex-Aboyeu-Rhyolith | dacite: riolitico | – | – | Riolite di Plex-Aboyeu | Pennsylvaniano | Pennsylvaniano |
| 15202204 | Vallorcine-Granit | granito: biotite-cordierite | – | – | Granito di Vallorcine | Pennsylvaniano | Pennsylvaniano |
| 15202205 | Vallorcine-Granit: Miéville-Mylonit | granito: milonitico | milonite | – | Milonite di Miéville | Pennsylvaniano | Pennsylvaniano |
| 15202206 | Montées-Pélissiers-Granit | granito | – | – | Granito delle Montées Pélissiers | Mississippiano medio | Mississippiano medio |
| 15202207 | Pormenaz-Granit | granito | – | – | Granito di Pormenaz | Mississippiano medio | Mississippiano medio |
| 15202210 | Emosson-Gneiskomplex | gneiss: scistoso: biotite | scisto: mica | gneiss: migmatitico | Complesso gneissico di Emosson | Proterozoico | Paleozoico |
| 15202211 | Luisin-Orthogneis | gneiss: granodioritico | granodiorite | – | Ortogneiss del Luisin | Ordoviciano | Ordoviciano |

| Code | GMU | Litho principale | Litho secondaire | Litho tertiaire | Formation | Chrono base | Chrono top |
|---|---|---|---|---|---|---|---|
| 15202212 | Val-Bérard-Gneiskomplex | gneiss: magmatico | – | – | Complesso gneissico del Val Bérard | Ordoviciano | Ordoviciano |
| 15202213 | Lac-Cornu-Eklogit | eclogite | – | – | Eclogite del Lac Cornu | Ordoviciano | Ordoviciano |
| 15202214 | Perrons-Orthogneis | gneiss: granodioritico | granodiorite | – | Ortogneiss dei Perrons | Ordoviciano | Ordoviciano |
| 15202215 | Breya-Rhyolith | riolite | – | – | Riolite della Breya | Pennsylvaniano | Cisuraliano |
| 15202634 | Gotthard-Decke: Prävariszischer Orthogneis | gneiss: magmatico | – | – | – | Precambriano | Paleozoico |
| 15202635 | Gotthard-Decke: Prävariszischer Augengneis | gneiss: occhiadino | – | – | – | Precambriano | Paleozoico |
| 15202636 | Gotthard-Decke: Prävariszischer Paragneis | gneiss: sedimentario | – | – | – | Precambriano | Paleozoico |
| 15202637 | Camosci-Decke: Paragneis | gneiss: sedimentario | – | – | – | Giurassico medio | Giurassico medio |
| 15202638 | Camosci-Decke: Lias-Dogger | scisto: mica | scisto: calcareo | – | – | Toarciano | Aaleniano |
| 15202639 | Camosci-Decke: Lias-Dogger: Kalkglimmerschiefer | scisto: calcareo: mica | – | – | – | Toarciano | Aaleniano |
| 15202640 | Camosci-Decke: Lias-Dogger: Granatglimmerschiefer | scisto: mica-granato | – | – | – | Toarciano | Aaleniano |

| Code | GMU | Litho principale | Litho secondaire | Litho tertiaire | Formation | Chrono base | Chrono top |
|---|---|---|---|---|---|---|---|
| 15202641 | Camosci-Decke: Lias | marmo | quarzite | – | – | Giurassico inferiore | Giurassico inferiore |
| 15202642 | Camosci-Decke: Trias | marmo: dolomitico | cargnola | scisto: mica | – | Triassico | Triassico |
| 15202643 | Camosci-Decke: Sandige Trias | arenaria | – | – | – | Triassico | Triassico |
| 15202644 | Camosci-Decke: Karbonatische Trias | dolomia | cargnola | – | – | Triassico | Triassico |
| 15202645 | Urseren-Garvera-Zone | marmo | scisto | cargnola | – | Mesozoico | Mesozoico |
| 15202646 | Urseren-Garvera-Zone: Trias | cargnola | fillite | marmo | – | Triassico | Triassico |
| 15202647 | Nufenen-Zone: Trias | cargnola | fillite | quarzite | – | Triassico | Triassico |
| 15202648 | Nufenen-Zone: Lias | scisto: argilloso | quarzite | scisto: calcareo | – | Retico | Giurassico inferiore |
| 15202649 | Nufenen-Zone | scisto: argilloso | scisto: calcareo | quarzite | – | Mesozoico | Mesozoico |
| 15202650 | Termen-Zone | scisto: argilloso | scisto: calcareo | – | – | Mesozoico | Mesozoico |
| 15202651 | Palfris- und Zementstein-Fm. | marna | calcare | – | – | Berriasiano | Berriasiano |
| 15202652 | Garschella- und Seewen-Fm. | arenaria: glauconite | calcare: micritico | marna | – | Aptiano | Santoniano |
| 15202653 | Stgir- bis Coroi-Fm. | argillite: scistoso | scisto: calcareo | arenaria | – | Giurassico inferiore | Aaleniano |
| 15202654 | Vieux-Emosson-Fm.: Sandige Fazies | arenaria: quarzo | arenaria: feldspato | – | Formazione del Vieux Emosson | Olenekiano | Anisico |

| Code | GMU | Litho principale | Litho secondaire | Litho tertiaire | Formation | Chrono base | Chrono top |
|---|---|---|---|---|---|---|---|
| 15202655 | Tierwis- und Schrattenkalk-Fm., undiff. | marna | calcare: marnoso | calcare: bioclasti | – | Hauteriviano | Aptiano |
| 15202656 | Hochstollen-Fm.: Kieselkalk | calcare: sabbioso-siliceo | – | – | Formazione del Hochstollen | Bajociano | Bajociano |
| 15202657 | Mont-Joly-Fm.: Oberer, kalkiger und mergeliger Teil | calcare: spatico: bioclasti | marna | – | Formazione del Mont Joly | Pliensbachiano | Pliensbachiano |
| 15202658 | Mont-Joly-Fm.: Unterer, sandiger Teil | arenaria: quarzo | calcare: sabbioso-argilloso | – | Formazione del Mont Joly | Sinemuriano | Sinemuriano |
| 15202659 | Vernayaz-Fm.: Dzéman-Mb.: Couches Vertes | riolite: tufitico | – | – | Membro del Dzéman | Cisuraliano | Cisuraliano |
| 15202660 | Fully-Granodiorit: Mikrodioritische Fazies | diorite: microcristallino: quarzo | granodiorite: microcristallino | – | Granodiorite di Fully | Pennsylvaniano | Pennsylvaniano |
| 15202661 | Fully-Granodiorit: Apltisiche Fazies | aplite | – | – | Granodiorite di Fully | Pennsylvaniano | Pennsylvaniano |
| 15202662 | Fully-Gneiskomplex: Migmatit | migmatite | – | – | Complesso gneissico di Fully | Proterozoico | Paleozoico |
| 15202663 | Fully-Gneiskomplex: Biotitgneis | gneiss: biotite | – | – | Complesso gneissico di Fully | Proterozoico | Paleozoico |
| 15202664 | Fully-Gneiskomplex: Mylonit | gneiss: milonitico | – | – | Complesso gneissico di Fully | Proterozoico | Paleozoico |

| Code | GMU | Litho principale | Litho secondaire | Litho tertiaire | Formation | Chrono base | Chrono top |
|---|---|---|---|---|---|---|---|
| 15202665 | Fully-Gneiskomplex: Orthogneis | gneiss: granodioritico | – | – | Complesso gneissico di Fully | Proterozoico | Paleozoico |
| 15202666 | Fully-Gneiskomplex: Amphibolit | anfibolite | – | – | Complesso gneissico di Fully | Proterozoico | Paleozoico |
| 15202667 | Fully-Gneiskomplex: Marmor | marmo | – | – | Complesso gneissico di Fully | Proterozoico | Paleozoico |
| 15202668 | Oudiou-Fm.: Dickbankiger spätiger Kalkstein und Brekzie | calcare: spatico | breccia | – | Formazione di Oudiou | Giurassico inferiore | Aaleniano |
| 15202669 | Oudiou-Fm.: Spätiger Kalkstein mit basaler Phosphathorizont | calcare: spatico | roccia: fosfato | – | Formazione di Oudiou | Giurassico inferiore | Aaleniano |
| 15202670 | Oudiou-Fm.: Dünnbankiger Kalkstein und schiefriger Tonstein | calcare | argillite: scistoso | – | Formazione di Oudiou | Retico | Retico |
| 15202671 | Sanetsch-Fm.: Six-Tremble-Member: vorw. Malmblöcke | breccia: calcareo-polimittico | calcare: bioclasti | calcare: micritico | Membro del Six Tremble | Priaboniano | Rupeliano |
| 15202672 | Sanetsch-Fm.: Six-Tremble-Member: vorw. Kristallinblöcke | breccia: cristallino-polimittico | calcare: bioclasti | gneiss | Membro del Six Tremble | Priaboniano | Rupeliano |

| Code | GMU | Litho principale | Litho secondaire | Litho tertiaire | Formation | Chrono base | Chrono top |
|---|---|---|---|---|---|---|---|
| 15202673 | Hochstollen-Fm.: Kalk-Mergel-Wechsellagerung | calcare: sabbioso-siliceo | marna | – | Formazione del Hochstollen | Bajociano | Bajociano |
| 15202674 | Hochstollen-Fm.: Mergelschiefer | marna: siltoso-scistoso | argillite: scistoso | – | Formazione del Hochstollen | Bajociano | Bajociano |
| 15202675 | Dugny-Fm.: Schistes à Miches | argillite: siltoso: mica | siltite | argillite: scistoso | Formazione di Dugny | Aaleniano | Aaleniano |
| 15202676 | Dugny-Fm.: Schwarzer Tonstein | argillite: scistoso | – | – | Formazione di Dugny | Toarciano | Aaleniano |
| 15202677 | Helvetikum: Trias: Bunte Schiefer | argillite: scistoso | siltite: scistoso | – | – | Triassico superiore | Triassico superiore |
| 15202678 | Garschella-Fm.: Brisi- und Selun-Mb. | arenaria: glauconite | calcare: sabbioso: bioclasti | – | Formazione di Garschella | Aptiano | Cenomaniano |
| 15202679 | Palfris-Fm. und Vitznau-Mergel | marna | calcare: bioclasti | argillite | – | Berriasiano | Valanginiano |
| 15202680 | Helvetikum: Trias: Gipsmergel | marna: gesso | – | – | – | Triassico | Triassico |
| 15202618 | Nufenen-Zone: Karbonatische Trias: Kalkmarmor | marmo: calcareo | – | – | – | Triassico | Triassico |
| 15202619 | Nufenen-Zone: Karbonatische Trias: Dolomit | dolomia | – | – | – | Triassico | Triassico |

| Code | GMU | Litho principale | Litho secondaire | Litho tertiaire | Formation | Chrono base | Chrono top |
|---|---|---|---|---|---|---|---|
| 15202620 | Nufenen-Zone: Karbonatische Trias: Rauwacke | cargnola | – | – | – | Triassico | Triassico |
| 15202621 | Nufenen-Zone: Quarzitische Trias | quarzite | – | – | – | Triassico | Triassico |
| 15202622 | Urseren-Garvera-Zone: Malm | scisto: argilloso | – | – | – | Giurassico superiore | Giurassico superiore |
| 15202623 | Urseren-Garvera-Zone: Dogger | scisto: argilloso | – | – | – | Giurassico medio | Giurassico medio |
| 15202624 | Urseren-Garvera-Zone: Lias | scisto: argilloso | – | – | – | Giurassico inferiore | Giurassico inferiore |
| 15202625 | Urseren-Garvera-Zone: Oberer Lias | scisto: calcareo | – | – | – | Giurassico inferiore | Giurassico inferiore |
| 15202626 | Urseren-Garvera-Zone: Mittlerer Lias | scisto: calcareo: zoisite | – | – | – | Giurassico inferiore | Giurassico inferiore |
| 15202627 | Urseren-Garvera-Zone: Unterer Lias | arenaria: quarzo | – | – | – | Giurassico inferiore | Giurassico inferiore |
| 15202628 | Urseren-Garvera-Zone: Phyllitische Trias | fillite | scisto | – | – | Triassico | Triassico |
| 15202629 | Urseren-Garvera-Zone: Karbonatische Trias | marmo: calcareo | cargnola | dolomia | – | Triassico | Triassico |

| Code | GMU | Litho principale | Litho secondaire | Litho tertiaire | Formation | Chrono base | Chrono top |
|---|---|---|---|---|---|---|---|
| 15202630 | Urseren-Garvera-Zone: Permo-Karbon: Psephit- und Psammitgneis | gneiss: psammitico | gneiss: psefitico | – | – | Carbonifero | Permiano |
| 15202631 | Urseren-Garvera-Zone: Permo-Karbon: Metarhyolith | riolite | – | – | – | Carbonifero | Permiano |
| 15202632 | Urseren-Garvera-Zone: Permo-Karbon: Chloritschiefer | scisto: clorite | – | – | – | Carbonifero | Permiano |
| 15202633 | Urseren-Garvera-Zone: Permo-Karbon: Graphitschiefer | scisto: grafite | – | – | – | Carbonifero | Permiano |
| 15203860 | Suretta-Decke: Mylonitischer Gneis | gneiss: milonitico | – | – | – | Proterozoico | Paleozoico |
| 15203861 | Suretta-Decke: Granat-Paragneis | gneiss: biotite-plagioclasio | – | – | – | Proterozoico | Paleozoico |
| 15203862 | Suretta-Decke: Zweiglimmer-Paragneis | gneiss: biotite-muscovite | – | – | – | Proterozoico | Paleozoico |
| 15203863 | Suretta-Decke: Granat-Glimmerschiefer | scisto: mica-granato | – | – | – | Proterozoico | Paleozoico |
| 15203864 | Suretta-Decke: Marmor | marmo | – | – | – | Proterozoico | Paleozoico |
| 15203865 | Suretta-Decke: Amphibolit undiff. | anfibolite | – | – | – | Proterozoico | Paleozoico |

| Code | GMU | Litho principale | Litho secondaire | Litho tertiaire | Formation | Chrono base | Chrono top |
|---|---|---|---|---|---|---|---|
| 15203866 | Suretta-Decke: Granatamphibolit | anfibolite: granato | – | – | – | Proterozoico | Paleozoico |
| 15203867 | Suretta-Decke: Amphibolit: kontaktmetamorph | – | – | – | – | Proterozoico | Paleozoico |
| 15203868 | Suretta-Decke: Serpentinit | serpentinite | – | – | – | Proterozoico | Paleozoico |
| 15203869 | Avers-Decke: Wengahorn-Fm. undiff. | – | – | – | Formazione del Wengahorn | – | – |
| 15203870 | Avers-Decke: Wengahorn-Fm.: Kristallinschuppe | – | – | – | Formazione del Wengahorn | – | – |
| 15203871 | Avers-Decke: Mäder-Fm. | – | – | – | Formazione del Piz Mäder | – | – |
| 15203872 | Avers-Decke: Piot-Fm. | – | – | – | Formazione di Piot | – | – |
| 15203873 | Avers-Decke: Tscheischhorn-Fm. undiff. | – | – | – | Formazione del Tscheischhorn | – | – |
| 15203874 | Avers-Decke: Tscheischhorn-Fm.: Phyllit | fillite | – | – | Formazione del Tscheischhorn | – | – |
| 15203875 | Avers-Decke: Tscheischhorn-Fm.: Dolomit | dolomia | breccia: dolomitico | – | Formazione del Tscheischhorn | – | – |
| 15203876 | Avers-Decke: Predarossa-Fm. undiff. | – | – | – | Formazione di Predarossa | – | – |
| 15203877 | Avers-Decke: Predarossa-Fm.: mit Fuchsit | – | – | – | Formazione di Predarossa | – | – |

| Code | GMU | Litho principale | Litho secondaire | Litho tertiaire | Formation | Chrono base | Chrono top |
|---|---|---|---|---|---|---|---|
| 15203878 | Avers-Decke: Predarossa-Fm.: Granat-Chloritoid-Glimmerschiefer | scisto: mica-chloritoido | – | – | Formazione di Predarossa | – | – |
| 15203879 | Avers-Decke: Predarossa-Fm.: Dolomit | dolomia | breccia: dolomitico | – | Formazione di Predarossa | – | – |
| 15203880 | Avers-Decke: Kalzitmarmor | marmo: calcareo | scisto: calcareo: mica | – | – | Giurassico superiore | Giurassico superiore |
| 15203881 | Avers-Decke: Quarzschiefer | scisto: quarzo | roccia: siliceo: radiolari | – | – | Giurassico medio | Giurassico superiore |
| 15203882 | Avers-Decke: Basalt | basalto | – | – | – | Giurassico medio | Giurassico superiore |
| 15203883 | Avers-Decke: Prasinit | prasinite | – | – | – | Giurassico medio | Giurassico superiore |
| 15203884 | Avers-Decke: Prasinit: Fuchsit | – | – | – | – | Giurassico medio | Giurassico superiore |
| 15203885 | Avers-Decke: Prasint: Glaukophan | – | – | – | – | Giurassico medio | Giurassico superiore |
| 15203886 | Avers-Decke: Gabbro | gabbro | – | – | – | Giurassico medio | Giurassico superiore |
| 15203887 | Avers-Decke: Serpentinit | serpentinite | – | – | – | Giurassico medio | Giurassico superiore |
| 15203888 | Avers-Decke: Talkschiefer | scisto: talco | – | – | – | Giurassico medio | Giurassico superiore |
| 15203889 | Piz-Lizun-Komplex: Quarzgang | roccia: filoniano: quarzo | – | – | Scisto del Piz Lizun | Giurassico medio | Giurassico superiore |

| Code | GMU | Litho principale | Litho secondaire | Litho tertiaire | Formation | Chrono base | Chrono top |
|---|---|---|---|---|---|---|---|
| 15203890 | Piz-Lizun-Komplex: Saures Ganggestein | roccia: acido-filoniano | – | – | Scisto del Piz Lizun | Giurassico medio | Giurassico superiore |
| 15203891 | Piz-Lizun-Komplex: Basisches Ganggestein | roccia: basico-filoniano | – | – | Scisto del Piz Lizun | Giurassico medio | Giurassico superiore |
| 15203892 | Piz-Lizun-Komplex: Basalt | basalto | – | – | Scisto del Piz Lizun | Giurassico medio | Giurassico superiore |
| 15203893 | Piz-Lizun-Komplex: Basalt: Glaukophan | – | – | – | Scisto del Piz Lizun | Giurassico medio | Giurassico superiore |
| 15203894 | Piz-Lizun-Komplex: Gabbro | gabbro | – | – | Scisto del Piz Lizun | Giurassico medio | Giurassico superiore |
| 15203895 | Piz-Lizun-Komplex: Serpentinit | serpentinite | – | – | Scisto del Piz Lizun | Giurassico medio | Giurassico superiore |
| 15203896 | Muretto-Quarzit: Diopsid-Quarzschiefer und Kalksilikatmarmor | scisto: quarzo | marmo: calcsilicati | – | Quarzite di Muretto | – | – |
| 15203897 | Muretto-Quarzit: Quarz-Biotit-Plagioklasschiefer | – | – | – | Quarzite di Muretto | – | – |
| 15203898 | Rossi-Fm.: Andalusit-Granat-Biotitschiefer | – | – | – | Formazione dei Rossi | – | – |

| Code | GMU | Litho principale | Litho secondaire | Litho tertiaire | Formation | Chrono base | Chrono top |
|---|---|---|---|---|---|---|---|
| 15203899 | Rossi-Fm.: Andalusit-Granat-Chloritoidschiefer | – | – | – | Formazione dei Rossi | – | – |
| 15203900 | Rossi-Fm.: Dolomit | dolomia | – | – | Formazione dei Rossi | – | – |
| 15203901 | Rossi-Fm.: Kalzitmarmor | marmo: calcareo | – | – | Formazione dei Rossi | – | – |
| 15203902 | Rossi-Fm.: Kalksilikatfels | granofels: calcsilicati | – | – | Formazione dei Rossi | – | – |
| 15203903 | Rossi-Fm.: Quarzit | quarzite | – | – | Formazione dei Rossi | – | – |
| 15203904 | Forno-Amphibolit: Pillow-Basalt | – | – | – | Anfibolite del Forno | Calloviano | Titoniano |
| 15203905 | Forno-Amphibolit: Porphyrische Fazies | – | – | – | Anfibolite del Forno | Calloviano | Titoniano |
| 15203906 | Forno-Amphibolit: mit Epidotlagen | – | – | – | Anfibolite del Forno | Calloviano | Titoniano |
| 15203849 | Suretta-Decke: Valle-di-Lei-Fm.: Dunkle Schiefer | scisto | – | – | Formazione della Valle di Lei | – | – |
| 15203850 | Suretta-Decke: Valle-di-Lei-Fm.: Granat-Muskovitschiefer | scisto: mica-granato | – | – | Formazione della Valle di Lei | – | – |

| Code | GMU | Litho principale | Litho secondaire | Litho tertiaire | Formation | Chrono base | Chrono top |
|---|---|---|---|---|---|---|---|
| 15203851 | Suretta-Decke: Valle-di-Lei-Fm.: Granat-Chloritoid-Muskovitschiefer | scisto: cloritoido-granato | – | – | Formazione della Valle di Lei | – | – |
| 15203852 | Suretta-Decke: Valle-di-Lei-Fm.: Unterer Teil | – | – | – | Formazione della Valle di Lei | – | – |
| 15203853 | Suretta-Decke: Orthogneis undiff. | gneiss: magmatico | – | – | – | Proterozoico | Paleozoico |
| 15203854 | Suretta-Decke: Augengneis undiff. | gneiss: occhiadino | – | – | – | Proterozoico | Paleozoico |
| 15203855 | Suretta-Decke: Val-da-Roda-Augengneis | gneiss: occhiadino | – | – | Gneiss occhiadino della Val da Roda | Proterozoico | Paleozoico |
| 15203856 | Suretta-Decke: Hellglimmer-Orthogneis | gneiss | – | – | – | Proterozoico | Paleozoico |
| 15203857 | Suretta-Decke: Zweiglimmer-Orthogneis | gneiss: biotite-muscovite | – | – | – | Proterozoico | Paleozoico |
| 15203858 | Suretta-Decke: Glimmerschiefer und Paragneise | scisto: mica | gneiss: sedimentario | – | – | Proterozoico | Paleozoico |
| 15203859 | Suretta-Decke: Albitischer Gneis | gneiss: albite | – | – | – | Proterozoico | Paleozoico |
| 15202234 | Laiets-Gneiskomplex | gneiss | scisto: mica | – | Complesso gneissico dei Laiets | Paleozoico | Paleozoico |

| Code | GMU | Litho principale | Litho secondaire | Litho tertiaire | Formation | Chrono base | Chrono top |
|---|---|---|---|---|---|---|---|
| 15202235 | Tremola-Gneiskomplex | gneiss: orneblenda | scisto: orneblenda-granato | anfibolite | Complesso gneissico della Tremola | Paleozoico | Paleozoico |
| 15202236 | Tremola-Gneiskomplex: Pontino-Schiefer | scisto: mica-orneblenda | gneiss: scistoso: orneblenda | anfibolite | Complesso gneissico di Pontino | Paleozoico | Paleozoico |
| 15202237 | Tremola-Gneiskomplex: Nelva-Gneis | gneiss | scisto: mica-granato | scisto: orneblenda | Complesso gneissico di Nelva | Paleozoico | Paleozoico |
| 15202238 | Tremola-Gneiskomplex: Sasso-Rosso-Schiefer | scisto: mica | gneiss: scistoso: clorite | scisto: orneblenda | Complesso gneissico del Sasso Rosso | Paleozoico | Paleozoico |
| 15202239 | Prüsfa-Gneiskomplex | gneiss: granato | quarzite | riolite | Complesso gneissico di Prüsfa | Paleozoico | Paleozoico |
| 15202240 | Streifengneis-Komplex | gneiss: granitico | gneiss: biotite-muscovite | – | Complesso del Streifengneis | Ordoviciano superiore | Llandovery |
| 15202241 | Chastelhorn-Metagabbro | anfibolite: granato | gabbro | – | Metagabbro del Chastelhorn | Ordoviciano inferiore | Ordoviciano medio |
| 15202242 | Val-Nalps-Gneiskomplex: Gurschen-Gneis | gneiss | scisto | gneiss: migmatitico | Gneiss della Gurschenalp | Proterozoico | Paleozoico |
| 15202243 | Val-Nalps-Gneiskomplex: Guspis-Gneis | gneiss | scisto | gneiss: migmatitico | Gneiss di Guspis | Proterozoico | Paleozoico |
| 15202244 | Paradis-Gneiskomplex: Sorescia-Gneis | gneiss | gneiss: migmatitico | – | Gneiss di Sorescia | Proterozoico | Paleozoico |
| 15202246 | Helvetikum: Grundgebirge: Granit | granito | – | – | – | Proterozoico | Paleozoico |

| Code | GMU | Litho principale | Litho secondaire | Litho tertiaire | Formation | Chrono base | Chrono top |
|---|---|---|---|---|---|---|---|
| 15202247 | Helvetikum: Grundgebirge: Saures vulkanisches Gestein | roccia: acido-vulcanico | – | – | – | Proterozoico | Paleozoico |
| 15202254 | Ilanz-Zone: Permische Sedimente | conglomerato | arenaria | pelite | – | Permiano | Permiano |
| 15202255 | Helvetikum: Grundgebirge: Permisch verwittertes Kristallin | roccia: residuale | gneiss | – | – | Permiano | Permiano |
| 15202256 | Goltschenried-Fm. | scisto: grafite | gneiss | – | Formazione di Goltschenried | Pennsylvaniano superiore | Cisuraliano |
| 15202257 | Oberaar Furka Zone | gneiss | – | – | – | Proterozoico | Paleozoico |
| 15202258 | Ausserberg-Avat-Zone | gneiss | migmatite | scisto | – | Proterozoico | Paleozoico |
| 15202260 | Ausserberg-Avat-Zone: Granitischer Gneis | gneiss: granitico | – | – | – | Proterozoico | Paleozoico |
| 15202261 | Ausserberg-Avat-Zone: Paragneis | gneiss: sedimentario | – | – | – | Proterozoico | Paleozoico |
| 15202262 | Clavaniev-Zone | cachirite | gneiss | – | – | Proterozoico | Paleozoico |
| 15202263 | Gärsthorn-Gneiskomplex: Engi-Granit | granito: porfirico | – | – | Granito di Engi | Proterozoico | Paleozoico |
| 15202264 | Calmut-Gneiskomplex | gneiss: migmatitico | – | – | Complesso gneissico del Calmut | Proterozoico | Paleozoico |

| Code | GMU | Litho principale | Litho secondaire | Litho tertiaire | Formation | Chrono base | Chrono top |
|---|---|---|---|---|---|---|---|
| 15202265 | Val-Pigniu-Gneiskomplex | gneiss | – | – | Complesso gneissico della Val Pigniu | Proterozoico | Proterozoico |
| 15202266 | Urseren-Garvera-Zone: Permo-Karbon | arenaria | conglomerato | pelite | – | Carbonifero | Permiano |
| 15202267 | Goms-Gneiskomplex | gneiss | migmatite | anfibolite | Complesso gneissico di Goms | Proterozoico | Paleozoico |
| 15202268 | Ausserbinn-Piz-Cavel-Zone | gneiss | anfibolite | scisto | – | Proterozoico | Paleozoico |
| 15202271 | Prosa-Granit | granito: biotite-granato | – | – | Granito del Monte Prosa | Cisuraliano | Cisuraliano |
| 15202272 | Val-Tremola-Granit | granito: aplitico | – | – | Granito della Val Tremola | Cisuraliano | Cisuraliano |
| 15202273 | Leventina-Einheit: Leventina-Gneis | gneiss: granitico | gneiss: biotite-muscovite | – | Gneiss della Leventina | Permiano | Permiano |
| 15202274 | Lucomagno-Einheit: Augengneis | gneiss: magmatico-occhiadino | – | – | – | Paleozoico | Paleozoico |
| 15202275 | Lucomagno-Einheit: Lucomagno-Paragneis | gneiss: sedimentario | scisto | – | Paragneiss del Lucomagno | Proterozoico | Paleozoico |
| 15202276 | Val-Stgira-Riffmarmor | calcare: corali | – | – | Marmo del Val Stgira | Giurassico inferiore | Giurassico inferiore |
| 15202277 | Piz-Terri-Lunschania: Fossilmarmor | marmo: sabbioso: bioclasti | – | – | – | Sinemuriano | Pliensbachiano |
| 15202278 | Piz-Terri-Lunschania: Trias | dolomia | calcare | arenaria: quarzo | – | Triassico inferiore | Triassico superiore |

| Code | GMU | Litho principale | Litho secondaire | Litho tertiaire | Formation | Chrono base | Chrono top |
|---|---|---|---|---|---|---|---|
| 15202279 | Ultrahelvetischer Flysch | arenaria | marna | calcare | – | Eocene | Eocene |
| 15202280 | Sardona-Decke: Melange | marna | arenaria | – | – | Cretaceo superiore | Cenozoico |
| 15202281 | Martinsmad-Fm. | marna: calcareo | calcare: siliceo | arenaria: quarzo | Formazione del Martinsmad | Maastrichtiano | Ypresiano |
| 15202282 | Martinsmad-Fm.: Supraquarzitischer Flysch | calcare: sabbioso: bioclasti | arenaria: calcareo | argillite: scistoso | «Supraquarzitischer Flysch» (Fm. del Martinsmad) | Luteziano | Bartoniano |
| 15202283 | Martinsmad-Fm.: Sardona-Mb. | arenaria: quarzo | – | – | Membro del Sardona | Thanetiano | Ypresiano |
| 15202284 | Martinsmad-Fm.: Infraquarzitischer Flysch | calcare: sabbioso: mica | calcare: marnoso | argillite: scistoso | «Infraquarzitischer Flysch» (Fm. del Martinsmad) | Maastrichtiano | Daniano |
| 15202285 | Meilleret-Fm. | conglomerato | argillite: scistoso | calcare: bioclasti | Formazione del Meilleret | Luteziano | Priaboniano |
| 15202286 | Lavtina-Sandstein | arenaria: calcareo: mica | argillite: scistoso | – | Arenaria di Lavtina | Eocene medio | Priaboniano |
| 15202287 | Blattengrat-Sandstein | arenaria: mica | marna: scistoso | calcare: siliceo | Arenaria del Blattengrat | Priaboniano | Priaboniano |
| 15202288 | Burg-Sandstein | calcare: sabbioso | arenaria: calcareo | marna | Arenaria diBurg | Priaboniano | Priaboniano |
| 15202289 | Elm-Fm.: Val-d'Illiez-Sandstein | arenaria: argilloso | – | – | Arenaria del Val d'Illiez | Priaboniano | Rupeliano |
| 15202290 | Muot-da-Rubi-Fm. | marna: siltoso-scistoso | arenaria: argilloso | – | Formazione del Muot da Rubi | Priaboniano | Priaboniano |
| 15202291 | Muot-da-Rubi-Fm.: Ahornen-Mb. | arenaria: argilloso: litoclasti | marna | – | Membro del Ahornen | Priaboniano | Priaboniano |

| Code | GMU | Litho principale | Litho secondaire | Litho tertiaire | Formation | Chrono base | Chrono top |
|---|---|---|---|---|---|---|---|
| 15202220 | Gotthard-Decke: Postvariszische Intrusiva | roccia: plutonico | – | – | – | Cisuraliano | Cisuraliano |
| 15202221 | Rotondo-Granit | granito: biotite-granato | – | – | Granito del Rotondo | Sakmariano | Sakmariano |
| 15202222 | Cacciola-Granit | granito: biotite-muscovite | – | – | Granito della Cacciola | Cisuraliano | Cisuraliano |
| 15202223 | Südelhorn-Diorit | diorite | – | – | Diorite del Südelhorn | Cisuraliano | Cisuraliano |
| 15202224 | Winterhorn-Granit | granito: aplitico: granato | – | – | Granito del Winterhorn | Cisuraliano | Cisuraliano |
| 15202225 | Gotthard-Decke: Spätvariszische Intrusiva | roccia: plutonico | – | – | – | Pennsylvaniano | Cisuraliano |
| 15202226 | Medel-Granit | granito: porfirico | gneiss: granitico | – | Granito di Medel | Cisuraliano | Cisuraliano |
| 15202227 | Cristallina-Granodiorit | granodiorite | – | – | Granodiorite di Cristallina | Pennsylvaniano | Cisuraliano |
| 15202228 | Gamsboden-Granit | granito: biotite-muscovite | gneiss: occhiadino | – | Granito del Gamsboden | Pennsylvaniano | Cisuraliano |
| 15202229 | Uffiern-Diorit | diorite: biotite-orneblenda | – | – | Diorite della Val Uffiern | Pennsylvaniano | Cisuraliano |
| 15202230 | Fibbia-Granit | granito: biotite-muscovite | gneiss: occhiadino | – | Granito della Fibbia | Pennsylvaniano | Cisuraliano |

| Code | GMU | Litho principale | Litho secondaire | Litho tertiaire | Formation | Chrono base | Chrono top |
|---|---|---|---|---|---|---|---|
| 15202231 | Gotthard-Decke: Prä- und frühvariszische Metasedimentgesteine und Vulkanoklastika | gneiss: sedimentario | scisto | – | – | Paleozoico | Paleozoico |
| 15202232 | Borel-Gneiskomplex | scisto: mica-orneblenda | – | – | Complesso gneissico del Piz Borel | Paleozoico | Paleozoico |
| 15202233 | Tenelin-Gneiskomplex | scisto: orneblenda | gneiss: orneblenda | anfibolite: granato | Complesso gneissico del Piz Tenelin | Paleozoico | Paleozoico |
| 15203010 | Grande-Eau-Fm.: Leyderry-Mb. | conglomerato: polimittico | – | – | Membro della Leyderry | Batoniano | Batoniano |
| 15203011 | Grande-Eau-Fm.: Raverette-Mb. | conglomerato: calcareo | marna: mica | arenaria: calcareo | Membro della Raverette | Bajociano | Bajociano |
| 15203012 | Grande-Eau-Fm.: Schistes à miches | argillite: siltoso: mica | – | – | «Schistes à Miches» | Aaleniano | Aaleniano |
| 15203013 | Murgaz-Kalk | calcare: siliceo-spatico | argillite: scistoso | – | Calcare di Murgaz | Sinemuriano | Sinemuriano |
| 15203014 | Niesen-Decke: Trias | arenaria | calcare: dolomitico | cargnola | – | Triassico | Triassico |
| 15203015 | Chlussli-Fm. | scisto: clorite | gneiss | – | Formazione di Chlussli | Paleozoico | Paleozoico |
| 15203016 | Coulaytes-Melange | argillite | – | – | Mélange delle Coulaytes | Eocene medio | Priaboniano |
| 15203017 | Cuvigne-Derrey-Fm. | arenaria | marna | – | Formazione di Cuvigne Derrey | Luteziano | Luteziano |
| 15203018 | Couches-Rouges | calcare: marnoso | calcare: micritico | marna | – | Cenomaniano | Maastrichtiano |

| Code | GMU | Litho principale | Litho secondaire | Litho tertiaire | Formation | Chrono base | Chrono top |
|---|---|---|---|---|---|---|---|
| 15203019 | Chenaux-Rouges-Fm. | calcare: marnoso | marna | – | Formazione delle Chenaux Rouges | Selandiano | Ypresiano |
| 15203020 | Chenaux-Rouges-Fm.: Hochmatt-Kalkarenit | calcare: arenitico | – | – | Calcareénite della Hochmatt | Selandiano | Ypresiano |
| 15203021 | Chenaux-Rouges-Fm.: Chenaux-Rouges-Mineralkruste | calcare: stromatolitico: minerali di ferro-fosforite | conglomerato | – | Crosta mineralizzata delle Chenaux Rouges | Paleocene | Ypresiano |
| 15203022 | Forclettes-Fm. | calcare: micritico | marna | – | Formazione delle Forclettes | Maastrichtiano | Maastrichtiano |
| 15203023 | Forclettes-Fm.: Roter-Sattel-Hartgrund | calcare: stromatolitico: minerali di ferro-fosforite | – | – | Hardground di Roter Sattel | Maastrichtiano | Selandiano |
| 15203024 | Forclettes-Fm.: Beaumont-Konglomerat | conglomerato | – | – | Conglomerato di Beaumont | Maastrichtiano | Maastrichtiano |
| 15203025 | Forclettes-Fm.: Rayes-Kalk | calcare: bioclasti | – | – | Calcare delle Rayes | Maastrichtiano | Maastrichtiano |
| 15203026 | Forclettes-Fm.: Pissot-Mb. | calcare | argillite | – | Membro del Pissot | Maastrichtiano | Maastrichtiano |
| 15203027 | Rote-Platte-Fm. | calcare: micritico | calcare: marnoso | – | Formazione di Rote Platte | Turoniano | Santoniano |
| 15203028 | Rote-Platte-Fm.: Wildenbach-Mb. | calcare | calcare: argilloso | marna: scistoso | Membro del Wildenbach | Santoniano | Santoniano |
| 15203029 | Rote-Platte-Fm.: Pra-du-Pont-Hartgrund | calcare: glauconite | – | – | Hardground di Pra du Pont | Santoniano | Santoniano |

| Code | GMU | Litho principale | Litho secondaire | Litho tertiaire | Formation | Chrono base | Chrono top |
|---|---|---|---|---|---|---|---|
| 15203030 | Rote-Platte-Fm.: Rontins-Mb. | calcare | calcare: argilloso | argillite | Membro dei Rontins | Turoniano | Santoniano |
| 15203031 | Rote-Platte-Fm.: Allières-Mb. | calcare: argilloso | marna | – | Membro di Allières | Turoniano | Turoniano |
| 15203032 | Rote-Platte-Fm.: Gérignoz-Kalk | calcare | – | – | Calcare di Gérignoz | Turoniano | Turoniano |
| 15203033 | Rote-Platte-Fm.: Plagersflue-Kalkarenit | calcare: arenitico | – | – | Calcarenite della Plagersflue | Turoniano | Turoniano |
| 15203034 | Intyamon-Fm. | calcare: argilloso | marna: bitume | – | Formazione del Intyamon | Aptiano | Turoniano |
| 15203035 | Intyamon-Fm.: Chällihorn-Mb. | calcare: micritico | marna | – | Membro del Chällihorn | Cenomaniano | Turoniano |
| 15203036 | Intyamon-Fm.: Comba-d'Avau-Mb. | marna | calcare: marnoso: pirite | calcare: siliceo | Membro della Comba d'Avau | Aptiano | Albiano |
| 15203037 | Intyamon-Fm.: Rodosex-Mb. | calcare: stromatolitico | marna: bioclasti | calcare: arenitico: glauconite | Membro di Rososex | Aptiano | Aptiano |
| 15203038 | Sciernes-d'Albeuve-Fm. | calcare: micritico: selce | marna | – | Formazione delle Sciernes d'Albeuve | Berriasiano | Barremiano |
| 15203039 | Moléson-Fm. | calcare: micritico | calcare: oncoidi | calcare: bioclasti | Formazione del Moléson | Kimmeridgiano | Berriasiano |
| 15203040 | Torrent-de-Lessoc-Fm. | calcare: argilloso | calcare: siliceo | marna | Formazione del Torrent de Lessoc | Oxfordiano | Oxfordiano |
| 15203041 | Staldengraben-Fm. | calcare: marnoso | marna: scistoso | – | Formazione del Staldengraben | Toarciano | Calloviano |

| Code | GMU | Litho principale | Litho secondaire | Litho tertiaire | Formation | Chrono base | Chrono top |
|---|---|---|---|---|---|---|---|
| 15203042 | Staldengraben-Fm.: Col-de-Lys-Mb. | calcare: sabbioso-siliceo | calcare: spatico: glauconite | marna | Membro del Col de Lys | Calloviano | Calloviano |
| 15203043 | Staldengraben-Fm.: Vanil-Carré-Mb. | marna | calcare: sabbioso-spatico | calcare: ooidi | Membro del Vanil Carré | Bajociano | Batoniano |
| 15203044 | Staldengraben-Fm.: Verdy-Mb. | calcare: argilloso | marna: scistoso | – | Membro del Verdy | Bajociano | Bajociano |
| 15203045 | Staldengraben-Fm.: Soladier-Mb. | marna: scistoso | calcare: argilloso | – | Membro di Soladier | Toarciano | Aaleniano |
| 15203046 | Sommant-Fm. | calcare: micritico | calcare: sabbioso: bioclasti | calcare: ooidi | Formazione di Sommant | Bajociano | Batoniano |
| 15203047 | Rossinière-Fm. | calcare: spatico: glauconite | – | – | Formazione di Rossinière | Toarciano | Aaleniano |
| 15203048 | Heiti-Fm. | marna | calcare: siliceo | – | Formazione di Heiti | Sinemuriano | Bajociano |
| 15203049 | Combe-du-Pissot-Fm. | argillite: scistoso: bitume | calcare: siliceo | marna: glauconite | Formazione della Combe du Pissot | Toarciano | Toarciano |
| 15203050 | Combe-du-Pissot-Fm.: Chevalets-Mb. | calcare: siliceo | marna: glauconite | – | Strati dei Chevalets | Toarciano | Toarciano |
| 15203051 | Combe-du-Pissot-Fm.: Creux-de-l'Ours-Mb. | marna: bitume | calcare | – | Strati del Creux de l'Ours | Toarciano | Toarciano |
| 15203052 | Petit-Liençon-Fm. | calcare: siliceo | marna: scistoso | – | Formazione del Petit Liençon | Pliensbachiano | Pliensbachiano |

| Code | GMU | Litho principale | Litho secondaire | Litho tertiaire | Formation | Chrono base | Chrono top |
|---|---|---|---|---|---|---|---|
| 15203053 | Arvel-Fm. | calcare: spatico: bioclasti | marna: scistoso | – | Formazione di Arvel | Pliensbachiano | Pliensbachiano |
| 15203054 | Grande-Bonavau-Fm. | calcare: spatico: glauconite | calcare: dolomitico: bioclasti | – | Formazione della Grande Bonavau | Sinemuriano | Sinemuriano |
| 15203055 | Chauderon-Fm. | calcare: siliceo-spatico | marna: scistoso | – | Formazione del Chauderon | Sinemuriano | Pliensbachiano |
| 15202681 | Aiguilles-Rouges-Massiv: Autochthone Sedimentbedeckung | – | – | – | – | Triassico | Paleogene |
| 15202682 | Aiguilles-Rouges-Massiv: Grundgebirge | – | – | – | – | Proterozoico | Permiano |
| 15202683 | Aiguilles-Rouges-Massiv: Variszisches Grundgebirge | – | – | – | – | Proterozoico | Permiano |
| 15202684 | Mont-Blanc-Massiv: Grundgebirge | – | – | – | – | Proterozoico | Permiano |
| 15202685 | Mont-Blanc-Massiv: Variszische Grundgebirge | – | – | – | – | Proterozoico | Permiano |
| 15202686 | Bürgen-, Klimsenhorn- und Wildstrubel-Fm. | calcare | arenaria | marna | – | Luteziano | Priaboniano |

| Code | GMU | Litho principale | Litho secondaire | Litho tertiaire | Formation | Chrono base | Chrono top |
|---|---|---|---|---|---|---|---|
| 15203001 | Niesen-Flysch undiff. | conglomerato | arenaria | argillite: scistoso | – | Maastrichtiano | Luteziano |
| 15203002 | Niesen-Flysch: Chesselbach-Fm. | arenaria | argillite: scistoso | – | Formazione del Chesselbach | Paleocene | Luteziano |
| 15203003 | Niesen-Flysch: Seron-Fm. | conglomerato: polimittico | calcare: sabbioso: bioclasti | – | Formazione di Seron | Maastrichtiano | Maastrichtiano |
| 15203004 | Niesen-Flysch: Niesenkulm-Fm. | conglomerato | breccia: calcareo | calcare: micritico | Formazione del Niesenkulm | Maastrichtiano | Maastrichtiano |
| 15203005 | Niesen-Flysch: Frutigen-Fm. | conglomerato | arenaria: argilloso-calcareo | argillite: scistoso | Formazione di Frutigen | Maastrichtiano | Maastrichtiano |
| 15203006 | Grande-Eau-Fm. | argillite | arenaria: calcareo | conglomerato: polimittico | Formazione della Grande Eau | Aaleniano | Batoniano |
| 15203007 | Grande-Eau-Fm.: Langy-Mb. | arenaria: calcareo | argillite | conglomerato | Membro di Langy | Batoniano | Batoniano |
| 15203008 | Grande-Eau-Fm.: Forclaz-Mb. | arenaria: calcareo | marna: bioclasti | – | Membro della Forclaz | Batoniano | Batoniano |
| 15203009 | Grande-Eau-Fm.: Grès de Passage | arenaria | – | – | «Grès de Passage» | Batoniano | Batoniano |
| 15203919 | Platta-Decke: Altkristallin | – | – | – | – | Proterozoico | Paleozoico |
| 15203920 | Staldengraben-Fm.: Soladier-Mb. und Creux-de-l'Ours-Mb. | marna: scistoso | calcare | marna: bitume | – | Toarciano | Aaleniano |
| 15204001 | God-Drosa-Flysch | 15111110 | arenaria: feldspato | calcare: arenitico | Flysch del God Drosa | Cenomaniano | Turoniano |

| Code | GMU | Litho principale | Litho secondaire | Litho tertiaire | Formation | Chrono base | Chrono top |
|---|---|---|---|---|---|---|---|
| 15204002 | Chanèls-Fm. | calcare: marnoso-scistoso | argillite: calcareo: glauconite | – | Formazione di Chanèls | Aptiano | Turoniano |
| 15204003 | Lech-Fm. | pelite | arenaria | – | Formazione di Lech | Cretaceo inferiore | Cenomaniano |
| 15204004 | Emmat-Fm. | 15111110 | marna | calcare: micritico | Formazione di Emmat | Aptiano | Albiano |
| 15204005 | Russenna-Fm. | calcare: micritico: selce | argillite | calcare: spatico: bioclasti | Formazione del Munt Russenna | Titoniano | Aptiano |
| 15204006 | Ammergau-Fm. | calcare: micritico: aptici | – | – | Formazione dell'Ammergau | Giurassico superiore | Cretaceo inferiore |
| 15204007 | Blais-Fm. | roccia: siliceo: radiolari | 15111110 | calcare: micritico: bioclasti | Formazione del Munt Blais | Calloviano | Titoniano |
| 15204008 | Blais-Fm.: Plattas-Mb. | calcare: micritico: bioclasti-selce | – | – | Membro di Plattas | Titoniano | Titoniano |
| 15204009 | Ruhpolding-Fm. | argillite: calcareo | – | – | Formazione di Ruhpolding | Oxfordiano | Titoniano |
| 15204010 | Ostalpin: Dogger: Brekzie | breccia: polimittico | arenaria | argillite | – | Toarciano | Calloviano |
| 15204011 | Saluver-Fm. | breccia: polimittico | arenaria | argillite: scistoso | Formazione della Val Saluver | Giurassico medio | Giurassico medio |
| 15204012 | Bardella-Fm. | argillite: calcareo | calcare: sabbioso | breccia: polimittico | Formazione del Piz Bardella | Giurassico medio | Giurassico medio |
| 15204013 | Salteras-Fm. | argillite: calcareo | arenaria: mica | breccia: polimittico | Formazione del Piz Salteras | Giurassico medio | Giurassico medio |
| 15204014 | Salamun-Brekzie | breccia: dolomitico-polimittico | – | – | Breccia di Salamun | Giurassico medio | Giurassico medio |
| 15204015 | Err-Brekzie | breccia: dolomitico-polimittico | – | – | Breccia del Piz Err | Giurassico medio | Giurassico medio |

| Code | GMU | Litho principale | Litho secondaire | Litho tertiaire | Formation | Chrono base | Chrono top |
|---|---|---|---|---|---|---|---|
| 15204016 | Allgäu-Fm. | marna | calcare: argilloso | calcare: arenitico | Formazione dell'Allgäu | Hettangiano | Calloviano |
| 15204017 | Allgäu-Fm.: Mezzaun-Mb. | calcare: siliceo | marna | – | Membro del Piz Mezzaun | Aaleniano | Calloviano |
| 15204018 | Allgäu-Fm.: Blaisun-Mb. | marna: scistoso | calcare: siliceo | – | Membro del Piz Blaisun | Toarciano | Toarciano |
| 15204019 | Allgäu-Fm.: Trupchun-Mb. | calcare: siltoso | calcare: siliceo | breccia: calcareo | Membro della Val Trupchun | Sinemuriano | Pliensbachiano |
| 15204020 | Agnelli-Fm. | calcare: siliceo | calcare: spatico: bioclasti | – | Formazione d'Agnelli | Sinemuriano | Toarciano |
| 15204021 | Agnelli-Fm.: Knollenkalk-Fazies | calcare | marna | – | Formazione d'Agnelli | Sinemuriano | Toarciano |
| 15204022 | Agnelli-Fm.: Echinodermenkalk-Fazies | calcare: spatico: echinodermi | – | – | Formazione d'Agnelli | Sinemuriano | Pliensbachiano |
| 15204023 | Alv-Brekzie | breccia: calcareo-dolomitico | – | – | Breccia d'Alv | Sinemuriano | Pliensbachiano |
| 15204024 | Kössen-Fm. | argillite | calcare: bioclasti | – | Formazione di Kössen | Norico | Retico |
| 15204025 | Kössen-Fm.: Zirmenkopf-Mb. | calcare: corali | marna | – | Calcare del Zirmenkopf | Norico | Retico |
| 15204026 | Kössen-Fm.: Mitgel-Mb. | calcare | dolomia: calcareo | marna: siltoso | Membro del Piz Mitgel | Norico | Retico |
| 15204027 | Kössen-Fm.: Ramoz-Mb. | marna | calcare | – | Membro di Ramoz | Norico | Retico |
| 15204028 | Kössen-Fm.: Schesaplana-Mb. | calcare: argilloso: bioclasti | calcare: corali | – | Membro della Schesaplana | Norico | Retico |
| 15204029 | Kössen-Fm.: Alplihorn-Mb. | argillite: scistoso | calcare: marnoso-scistoso | calcare | Membro del Alplihorn | Norico | Retico |

| Code | GMU | Litho principale | Litho secondaire | Litho tertiaire | Formation | Chrono base | Chrono top |
|---|---|---|---|---|---|---|---|
| 15204030 | Ostalpin: Hauptdolomit-Gr. | dolomia | breccia | – | – | Norico | Norico |
| 15204031 | Murtèr-Plattenkalk | calcare: micritico: bioclasti-selce | calcare: marnoso | argillite | Calcare del Piz Murtèr | Norico | Norico |
| 15204032 | Murteret-Dolomit | dolomia | – | – | Dolomia di Murteret | Norico | Norico |
| 15204033 | Diavel-Fm. | calcare: siliceo | marna | – | Formazione del Diavel | Norico | Norico |
| 15204034 | Quattervals-Fm. | calcare: marnoso-siliceo | breccia | calcare: bioclasti | Formazione del Piz Quattervals | Norico | Norico |
| 15204035 | Quattervals-Fm.: Crappa-Mala-Mb. | marna | argillite | calcare: argilloso | Marna della Crappa Mala | Norico | Norico |
| 15204036 | Quattervals-Fm.: Pra-Grata-Mb. | calcare: spatico: selce | dolomia | breccia | Membro di Pra Gratta | Norico | Norico |
| 15204037 | Müschauns-Dolomit | dolomia: spatico | – | – | Dolomia della Val Müschauns | Norico | Norico |
| 15204038 | Ostalpin: Raibl-Gr. | evaporite: gesso | dolomia | cargnola | – | Ladinico | Carnico |
| 15204039 | Fanez-Fm. | arenaria | argillite: scistoso | dolomia: stromatolitico | Formazione di Fanez | Carnico | Carnico |
| 15204040 | Fanez-Fm.: Valbella-Mb. | breccia: polimittico | – | – | Membro della Valbella | Carnico | Carnico |
| 15204041 | Fanez-Fm.: Dolomit | dolomia | – | – | Formazione di Fanez | Carnico | Carnico |
| 15204042 | Fanez-Fm.: Mezdi-Mb. | argillite | calcare: bioclasti-ooidi | – | Membro del Piz Mezdi | Carnico | Carnico |
| 15204043 | Fanez-Fm.: Cluozza-Mb. | arenaria: feldspato | siltite | dolomia | Membro della Val Cluozza | Carnico | Carnico |

| Code | GMU | Litho principale | Litho secondaire | Litho tertiaire | Formation | Chrono base | Chrono top |
|---|---|---|---|---|---|---|---|
| 15204044 | Fanez-Fm.: Stugl-Gips | evaporite: gesso | – | – | Gesso di Stugl | Carnico | Carnico |
| 15204045 | Minger-Fm. | dolomia | cargnola | – | Formazione della Val Minger | Ladinico | Carnico |
| 15204046 | Minger-Fm.: Dolomit | dolomia | – | – | Formazione della Val Minger | Ladinico | Carnico |
| 15203907 | Forno-Amphibolit: mit Fe-Cu-Vererzungen | – | – | – | Anfibolite del Forno | Calloviano | Titoniano |
| 15203908 | Malenco-Ultramafitit: Ophikalzit | serpentinite: brecciato: carbonato | – | – | Serpentinite della Val Malenco | Bajociano | Batoniano |
| 15203909 | Platta-Decke: Kalk- und Tonschiefer | scisto: argilloso | scisto: calcareo | – | – | Giurassico | Cenozoico |
| 15203910 | Platta-Decke: Riebeckit-Albitschiefer | scisto: anfibolo | – | – | Radiolarite della Falotta | Giurassico | Giurassico |
| 15203911 | Platta-Decke: Hyaloklastit | breccia: tufitico | – | – | – | Giurassico medio | Giurassico superiore |
| 15203912 | Platta-Decke: Basalt | basalto | – | – | – | Giurassico medio | Giurassico superiore |
| 15203913 | Platta-Decke: Basalt: mit Pillow-Struktur | – | – | – | – | Giurassico medio | Giurassico superiore |
| 15203914 | Platta-Decke: Gabbro | gabbro | – | – | – | Giurassico medio | Giurassico superiore |
| 15203915 | Platta-Decke: Serpentinit | serpentinite | – | – | – | Giurassico medio | Giurassico superiore |
| 15203916 | Platta-Decke: Serpentinit: Pyroxen | – | – | – | – | Giurassico medio | Giurassico superiore |
| 15203917 | Platta-Decke: Rodingit | rodingite | – | – | – | Giurassico medio | Giurassico superiore |

| Code | GMU | Litho principale | Litho secondaire | Litho tertiaire | Formation | Chrono base | Chrono top |
|---|---|---|---|---|---|---|---|
| 15203918 | Platta-Decke: Ophikalzit | serpentinite: brecciato: carbonato | – | – | – | Giurassico medio | Giurassico superiore |
| 15202307 | Infrapräalpines Melange | argillite | arenaria | calcare | «Mélange Infrapréalpin» | Priaboniano | Priaboniano |
| 15202308 | Iberg-Melange | marna | argillite | – | Mélange d'Iberg | Eocene | Eocene |
| 15202309 | Iberg-Melange: Surbrunnen-Flysch | argillite | arenaria: argilloso: litoclasti | – | Flysch di Surbrunnen | Daniano | Thanetiano |
| 15202310 | Iberg-Melange: Roggenegg-Komplex | marna | calcare | – | Complesso della Roggenegg | Triassico | Ypresiano |
| 15202311 | Iberg-Melange: Isentobel-Komplex | siltite | marna | – | Complesso del Isentobel | Cretaceo superiore | Eocene |
| 15202312 | Serhalten-Melange | argillite | marna | – | Flysch di Serhalten | Eocene | Eocene |
| 15202313 | Iberg-Melange: Gwürz-Flysch | argillite | arenaria: argilloso | – | Flysch di Gwürz | Paleogene | Paleogene |
| 15202314 | Ruestel-Flysch | arenaria: argilloso | argillite: scistoso | – | Flysch di Ruestel | Paleocene | Ypresiano |
| 15202315 | Iberg-Melange: Scheidegg-Flysch | marna | siltite | arenaria: glauconite | Flysch della Scheidegg | Paleogene | Paleogene |
| 15202316 | Habkern-Granit | granito | – | – | Granito di Habkern | Paleozoico | Paleozoico |
| 15202317 | Infrapräalpines Melange: Gros-Plané-Melange | argillite | arenaria | – | Mélange del Gros Plané | Rupeliano | Rupeliano |

| Code | GMU | Litho principale | Litho secondaire | Litho tertiaire | Formation | Chrono base | Chrono top |
|---|---|---|---|---|---|---|---|
| 15202318 | Infrapräalpines Melange: Bodevena-Melange | argillite | arenaria | – | Mélange della Bodevena | Cretaceo superiore | Priaboniano |
| 15202319 | Subalpiner Flysch | argillite | arenaria: quarzo | – | «Flysch Subalpino» | Priaboniano | Rupeliano |
| 15202320 | Torrenthorn-Fm. | arenaria: calcareo-siliceo | calcare: sabbioso-spatico | argillite | Formazione del Torrenthorn | Sinemuriano | Toarciano |
| 15202321 | Prodkamm-Fm.: Cardinien-Mb.: Weissgandstöckli-Bk. | arenaria: calcareo: mica | – | – | Strato del Weissgandstöckli | Hettangiano | Sinemuriano |
| 15202322 | Mären-Fm.: Grisch-Mb. | argillite: siltoso-scistoso | calcare | – | Membro del Piz Grisch | Cisuraliano | Cisuraliano |
| 15202323 | Mären-Fm.: Foostock-Mb. | argillite: siltoso-scistoso | – | – | Membro del Foostock | Cisuraliano | Cisuraliano |
| 15202324 | Murgtal-Fm. | breccia | arenaria | argillite: siltoso-scistoso | Formazione del Murgtal | Cisuraliano | Cisuraliano |
| 15202325 | Vernayaz-Fm.: Dzéman-Mb. | conglomerato | arenaria | argillite | Membro del Dzéman | Permiano | Permiano |
| 15202326 | Zentraler-Aare-Granit: Aplitische Randfazies | granito: aplitico | – | – | Granito Centrale dell'Aare | Cisuraliano | Cisuraliano |
| 15202327 | Windgällen-Fm.: Rhyolith | riolite: ignimbritico | – | – | Formazione delle Windgällen | Pennsylvaniano superiore | Asseliano |
| 15202328 | Bäregg-Gneiskomplex | gneiss | gneiss: milonitico | granodiorite | Complesso gneissico della Bäregg | Proterozoico | Paleozoico |

| Code | GMU | Litho principale | Litho secondaire | Litho tertiaire | Formation | Chrono base | Chrono top |
|---|---|---|---|---|---|---|---|
| 15202329 | Gärsthorn-Gneiskomplex | gneiss: occhiadino | – | – | Complesso gneissico del Gärsthorn | Proterozoico | Paleozoico |
| 15202330 | Sogn-Placi-Gneiskomplex | gneiss | scisto: mica | scisto: argilloso | Complesso gneissico di Sogn Placi | Proterozoico | Paleozoico |
| 15202331 | Massa-Gneiskomplex | gneiss: migmatitico | migmatite | anfibolite | Complesso gneissico della Massa | Proterozoico | Paleozoico |
| 15202332 | Aiguilles-Rouges-Massiv: Mittelvariszische Intrusiva | roccia: plutonico | – | – | – | Pennsylvaniano | Pennsylvaniano |
| 15202333 | Aiguilles-Rouges-Massiv: Frühvariszische Intrusiva | roccia: plutonico | – | – | – | Mississippiano | Mississippiano |
| 15202334 | Aiguilles-Rouges-Massiv: Prävariszisches Grundgebirge | gneiss | scisto | anfibolite | – | Proterozoico | Paleozoico |
| 15202335 | Chéserys-Gneis | gneiss: cianite | – | – | Gneiss dei Chéserys | Paleozoico inferiore | Devoniano |
| 15202336 | Mont-Blanc-Massiv: Spät- bis postvariszische Intrusiva | roccia: plutonico | – | – | – | Pennsylvaniano | Cisuraliano |
| 15202337 | Mont-Blanc-Massiv: Prävariszisches Grundgebirge | gneiss | scisto | – | – | Proterozoico | Paleozoico |

| Code | GMU | Litho principale | Litho secondaire | Litho tertiaire | Formation | Chrono base | Chrono top |
|---|---|---|---|---|---|---|---|
| 15202338 | Alp-Cavradi-Gneiskomplex | gneiss | scisto: argilloso | scisto: grafite | Complesso gneissico dell'Alp Cavradi | Paleozoico | Paleozoico |
| 15202339 | Giubine-Gneiskomplex | gneiss | scisto: mica | – | Complesso gneissico di Giubine | Paleozoico | Paleozoico |
| 15202340 | Gotthardt-Decke: Prävariszisches polyzyklisches Grundgebirge | gneiss | scisto | – | – | Proterozoico | Paleozoico |
| 15202341 | Goms-Gneiskomplex: Unterwassern-Gneis | gneiss | – | – | Gneiss di Unterwassern | Proterozoico | Paleozoico |
| 15202342 | Streifengneis-Komplex: Hüenerstock-Gneis | gneiss: granitico | – | – | Gneiss del Hüenerstock | Paleozoico inferiore | Paleozoico inferiore |
| 15202343 | Streifengneis-Komplex: Sassina-Augengneis | gneiss: granitico-occhiadino | – | – | Gneiss occhiadino del Sassina | Paleozoico inferiore | Paleozoico inferiore |
| 15202344 | Streifengneis-Komplex: Alp-Ramosa-Orthogneis | gneiss: granitico | – | – | Ortogneiss dell'Alp Ramosa | Paleozoico inferiore | Paleozoico inferiore |
| 15202345 | Paradis-Gneiskomplex: Val-Camadra-Migmatit | gneiss: migmatitico | – | – | Migmatite della Val Camadra | Proterozoico | Paleozoico |
| 15202346 | Val-Nalps-Gneiskomplex | gneiss | anfibolite: granato | roccia: ultramafico | Complesso gneissico della Val Nalps | Proterozoico | Cambriano |

| Code | GMU | Litho principale | Litho secondaire | Litho tertiaire | Formation | Chrono base | Chrono top |
|---|---|---|---|---|---|---|---|
| 15202347 | Val-Nalps-Gneiskomplex: Prato-Gneis | gneiss | scisto: mica | anfibolite | Gneiss di Prato | Proterozoico | Cambriano |
| 15202348 | Val-Nalps-Gneiskomplex: Distelgrat-Gneis | gneiss: sedimentario | – | – | Gneiss del Distelgrat | Proterozoico | Cambriano |
| 15202349 | Paradis-Gneiskomplex: Val-Gronda-Augengneis | gneiss: migmatitico-occhiadino | – | – | Gneiss occhiadino della Val Gronda | Proterozoico | Cambriano |
| 15202350 | Val-Nalps-Gneiskomplex: Fuorcla-Paradis-Serpentinit | serpentinite | – | – | Serpentinite della Fuorcla Paradis | Proterozoico | Cambriano |
| 15202351 | Paradis-Gneiskomplex | gneiss: migmatitico | – | – | Complesso gneissico del Piz Paradis | Proterozoico | Cambriano |
| 15202352 | Paradis-Gneiskomplex: Oberstafel-Gneis | gneiss: biotite-plagioclasio | – | – | Gneiss di Oberstafel | Ordoviciano inferiore | Ordoviciano medio |
| 15202353 | Paradis-Gneiskomplex: Ganneretsch-Gneis | gneiss: migmatitico | – | – | Gneiss del Piz Ganneretsch | Proterozoico | Cambriano |
| 15202292 | Muot-da-Rubi-Fm.: Kistenstöckli-Mb. | conglomerato | calcare: sabbioso: mica | marna: sabbioso | Membro del Kistenstöckli | Priaboniano | Priaboniano |
| 15202293 | Muot-da-Rubi-Fm.: Ghölzwald-Mb. | calcare: sabbioso: mica | arenaria: calcareo: mica | – | Membro del Ghölzwald | Priaboniano | Priaboniano |

| Code | GMU | Litho principale | Litho secondaire | Litho tertiaire | Formation | Chrono base | Chrono top |
|---|---|---|---|---|---|---|---|
| 15202294 | Muot-da-Rubi-Fm.: Malor-Mb. | marna | arenaria: mica | – | Membro del Malor | Priaboniano | Priaboniano |
| 15202295 | Südelgrabe-Flysch | marna: scistoso | arenaria | breccia: polimittico | Flysch del Südelgrabe | Priaboniano | Priaboniano |
| 15202296 | Stad-Fm.: Kleintal-Konglomerat | conglomerato: calcareo | – | – | Conglomerato del Kleintal | Luteziano | Priaboniano |
| 15202297 | Stad-Fm.: Rütenen-Konglomerat | conglomerato | marna | – | Conglomerato del Rütenen | Luteziano | Priaboniano |
| 15202298 | Helvetikum: Jura | calcare | marna | arenaria | – | Retico | Berriasiano |
| 15202299 | Wang-Fm.: Brekzie | breccia | – | – | «Breccia di Wang» | Maastrichtiano | Maastrichtiano |
| 15202300 | Schrattenkalk-Fm.: Oberer Teil | calcare: micritico: bioclasti | – | – | «Oberer Schrattenkalk» | Aptiano | Aptiano |
| 15202301 | Schrattenkalk-Fm.: Unterer Teil | calcare: micritico: bioclasti | – | – | «Unterer Schrattenkalk» | Barremiano | Aptiano |
| 15202302 | Quinten-Fm.: Oberer Quintner Kalk | calcare: micritico | – | – | «Oberer Quintner Kalk» | Titoniano | Berriasiano |
| 15202303 | Quinten-Fm.: Unterer Quintner Kalk | calcare: micritico: selce | – | – | «Unterer Quintner Kalk» | Oxfordiano | Kimmeridgiano |
| 15202304 | Erzegg-Fm.: Planplatte-Eisenoolith | calcare: ooidi di ferro | – | – | Oolite ferruginosa della Planplatte | Calloviano | Calloviano |
| 15202305 | Bommerstein-Fm.: Geissbach-Konglomerat | conglomerato | – | – | Conglomerato del Geissbach | Toarciano | Aaleniano |

| Code | GMU | Litho principale | Litho secondaire | Litho tertiaire | Formation | Chrono base | Chrono top |
|---|---|---|---|---|---|---|---|
| 15202306 | Bommerstein-Fm.: Stöckli-Sandstein | arenaria: quarzo | breccia: dolomitico | – | Arenaria del Stöckli | Toarciano | Aaleniano |

## 9.2 Appendice GC_GEOL_MAPPING_UNIT_CD

Kartiereinheiten

| GeolCode | Deutsch | Italiano |
|---|---|---|
| 15200001 | Twannbach-Fm. | Twannbach-Fm. |
| 15200002 | Reuchenette-Fm. | Reuchenette-Fm. |
| 15200003 | Courgenay-Fm. | Courgenay-Fm. |
| 15200004 | Vellerat-Fm. | Vellerat-Fm. |
| 15200005 | St-Ursanne-Fm. | St-Ursanne-Fm. |
| 15200006 | Bärschwil-Fm. | Bärschwil-Fm. |
| 15200007 | Ifenthal-Fm. | Ifenthal-Fm. |
| 15200008 | Hauptrogenstein | Hauptrogenstein |
| 15200009 | Passwang-Fm. | Passwang-Fm. |
| 15200010 | Opalinus-Ton | Opalinus-Ton |
| 15200011 | Staffelegg-Fm. | Staffelegg-Fm. |
| 15200012 | Juragebirge: Malm | Juragebirge: Malm |
| 15200013 | Twannbach-Fm.: Vouglans-Mb. | Twannbach-Fm.: Vouglans-Mb. |
| 15200014 | Twannbach-Fm.: Chailley-Mb. | Twannbach-Fm.: Chailley-Mb. |
| 15200015 | Twannbach-Fm.: Oberer Virgula-Mergel | Twannbach-Fm.: Oberer Virgula-Mergel |
| 15200016 | Reuchenette-Fm.: Chevenez-Mb.: Grenznerineen-Bk. | Reuchenette-Fm.: Chevenez-Mb.: Grenznerineen-Bk. |
| 15200017 | Reuchenette-Fm.: Chevenez-Mb.: Cladocoropsis-Kalk | Reuchenette-Fm.: Chevenez-Mb.: Cladocoropsis-Kalk |
| 15200018 | Reuchenette-Fm.: Chevenez-Mb.: Unterer Virgula-Mergel | Reuchenette-Fm.: Chevenez-Mb.: Unterer Virgula-Mergel |
| 15200019 | Reuchenette-Fm.: Courtedoux-Mb. | Reuchenette-Fm.: Courtedoux-Mb. |
| 15200020 | Reuchenette-Fm.: Banné-Mb. | Reuchenette-Fm.: Banné-Mb. |
| 15200021 | Reuchenette-Fm.: Vabenau-Mb. | Reuchenette-Fm.: Vabenau-Mb. |
| 15200022 | Reuchenette-Fm.: Vabenau-Mb.: Creugenat-Sch. | Reuchenette-Fm.: Vabenau-Mb.: Creugenat-Sch. |
| 15200023 | Etiollets-Fm. | Etiollets-Fm. |
| 15200024 | Etiollets-Fm.: Complexe récifal | Etiollets-Fm.: Complexe récifal |
| 15200025 | Etiollets-Fm.: Couvaloup-Mb. | Etiollets-Fm.: Couvaloup-Mb. |
| 15200026 | Courgenay-Fm.: Porrentruy-Mb. | Courgenay-Fm.: Porrentruy-Mb. |
| 15200027 | Courgenay-Fm.: La-May-Mb. | Courgenay-Fm.: La-May-Mb. |
| 15200028 | Vellerat-Fm.: Oolithe-Rousse-Mb. | Vellerat-Fm.: Oolithe-Rousse-Mb. |
| 15200029 | Vellerat-Fm.: Bure-Mb. | Vellerat-Fm.: Bure-Mb. |
| 15200030 | Vellerat-Fm.: Hauptmumienbank-Mb. | Vellerat-Fm.: Hauptmumienbank-Mb. |
| 15200031 | Vellerat-Fm.: Röschenz-Mb. | Vellerat-Fm.: Röschenz-Mb. |
| 15200032 | Vellerat-Fm.: Vorbourg-Mb. | Vellerat-Fm.: Vorbourg-Mb. |
| 15200033 | St-Ursanne-Fm.: Tiergarten-Mb. | St-Ursanne-Fm.: Tiergarten-Mb. |
| 15200034 | St-Ursanne-Fm.: Buix-Mb. | St-Ursanne-Fm.: Buix-Mb. |
| 15200035 | St-Ursanne-Fm.: Chestel-Mb. | St-Ursanne-Fm.: Chestel-Mb. |
| 15200036 | St-Ursanne-Fm.: Chestel-Mb.: Caquerelle-Pisolith | St-Ursanne-Fm.: Chestel-Mb.: Caquerelle-Pisolith |
| 15200037 | St-Ursanne-Fm.: Grellingen-Mb. | St-Ursanne-Fm.: Grellingen-Mb. |
| 15200039 | Pichoux-Fm. | Pichoux-Fm. |
| 15200040 | Bärschwil-Fm.: Liesberg-Mb. | Bärschwil-Fm.: Liesberg-Mb. |
| 15200041 | Bärschwil-Fm.: Sornetan-Mb. | Bärschwil-Fm.: Sornetan-Mb. |
| 15200042 | Bärschwil-Fm.: Renggeri-Mb. | Bärschwil-Fm.: Renggeri-Mb. |
| 15200043 | Ifenthal-Fm.: Graitery-Mb. | Ifenthal-Fm.: Graitery-Mb. |
| 15200044 | Ifenthal-Fm.: Herznach-Mb. | Ifenthal-Fm.: Herznach-Mb. |
| 15200045 | Ifenthal-Fm.: Herznach-Mb.: Schellenbrücke-Bk. | Ifenthal-Fm.: Herznach-Mb.: Schellenbrücke-Bk. |

| GeolCode | Deutsch | Italiano |
|---|---|---|
| 15200046 | Ifenthal-Fm.: Bollement-Mb. | Ifenthal-Fm.: Bollement-Mb. |
| 15200047 | Ifenthal-Fm.: Ängistein-Mb. | Ifenthal-Fm.: Ängistein-Mb. |
| 15200048 | Ifenthal-Fm.: Ängistein-Mb.: Unter-Erli-Bk. | Ifenthal-Fm.: Ängistein-Mb.: Unter-Erli-Bk. |
| 15200049 | Ifenthal-Fm.: Bözen-Mb. | Ifenthal-Fm.: Bözen-Mb. |
| 15200050 | Ifenthal-Fm.: Saulcy-Mb. | Ifenthal-Fm.: Saulcy-Mb. |
| 15200051 | Ifenthal-Fm.: Schelmenloch-Mb. | Ifenthal-Fm.: Schelmenloch-Mb. |
| 15200052 | Ifenthal-Fm.: Schelmenloch-Mb.: Anwil-Bk. | Ifenthal-Fm.: Schelmenloch-Mb.: Anwil-Bk. |
| 15200053 | Ifenthal-Fm.: Châtillon-Mb. | Ifenthal-Fm.: Châtillon-Mb. |
| 15200054 | Ifenthal-Fm.: St-Brais-Mb. | Ifenthal-Fm.: St-Brais-Mb. |
| 15200055 | Juragebirge: Dogger | Juragebirge: Dogger |
| 15200056 | Juragebirge: Lias | Juragebirge: Lias |
| 15200057 | Hauptrogenstein: Spatkalk | Hauptrogenstein: Spatkalk |
| 15200058 | Hauptrogenstein: Pierre-Blanche | Hauptrogenstein: Pierre-Blanche |
| 15200059 | Hauptrogenstein: Movelier-Sch. | Hauptrogenstein: Movelier-Sch. |
| 15200060 | Hauptrogenstein: Grande Oolithe | Hauptrogenstein: Grande Oolithe |
| 15200061 | Hauptrogenstein: Obere Acuminata-Sch. | Hauptrogenstein: Obere Acuminata-Sch. |
| 15200062 | Hauptrogenstein: Oolithe Subcompacte | Hauptrogenstein: Oolithe Subcompacte |
| 15200063 | Passwang-Fm.: Grenchenberg-Mb. | Passwang-Fm.: Grenchenberg-Mb. |
| 15200064 | Passwang-Fm.: Rothenfluh-Mb. | Passwang-Fm.: Rothenfluh-Mb. |
| 15200065 | Passwang-Fm.: Brüggli-Mb. | Passwang-Fm.: Brüggli-Mb. |
| 15200066 | Passwang-Fm.: Brüggli-Mb.: Humphriesi-Sch. | Passwang-Fm.: Brüggli-Mb.: Humphriesi-Sch. |
| 15200067 | Passwang-Fm.: Waldenburg-Mb. | Passwang-Fm.: Waldenburg-Mb. |
| 15200068 | Passwang-Fm.: Hirnichopf-Mb. | Passwang-Fm.: Hirnichopf-Mb. |
| 15200069 | Passwang-Fm.: Hauenstein-Mb. | Passwang-Fm.: Hauenstein-Mb. |
| 15200070 | Passwang-Fm.: Sissach-Mb. | Passwang-Fm.: Sissach-Mb. |
| 15200071 | Staffelegg-Fm.: Gross-Wolf-Mb. | Staffelegg-Fm.: Gross-Wolf-Mb. |
| 15200072 | Staffelegg-Fm.: Gross-Wolf-Mb.: Eriwis-Bk. | Staffelegg-Fm.: Gross-Wolf-Mb.: Eriwis-Bk. |
| 15200073 | Staffelegg-Fm.: Gross-Wolf-Mb.: Erlimoos-Bk. | Staffelegg-Fm.: Gross-Wolf-Mb.: Erlimoos-Bk. |
| 15200074 | Staffelegg-Fm.: Gross-Wolf-Mb.: Gipf-Bk. | Staffelegg-Fm.: Gross-Wolf-Mb.: Gipf-Bk. |
| 15200075 | Staffelegg-Fm.: Rietheim-Mb. | Staffelegg-Fm.: Rietheim-Mb. |
| 15200076 | Staffelegg-Fm.: Rietheim-Mb.: Unterer Stein | Staffelegg-Fm.: Rietheim-Mb.: Unterer Stein |
| 15200077 | Staffelegg-Fm.: Rickenbach-Mb. | Staffelegg-Fm.: Rickenbach-Mb. |
| 15200078 | Staffelegg-Fm.: Rickenbach-Mb.: Müsenegg-Bk. | Staffelegg-Fm.: Rickenbach-Mb.: Müsenegg-Bk. |
| 15200079 | Staffelegg-Fm.: Breitenmatt-Mb. | Staffelegg-Fm.: Breitenmatt-Mb. |
| 15200080 | Staffelegg-Fm.: Breitenmatt-Mb.: Trasadingen-Bk. | Staffelegg-Fm.: Breitenmatt-Mb.: Trasadingen-Bk. |
| 15200081 | Staffelegg-Fm.: Grünschholz-Mb. | Staffelegg-Fm.: Grünschholz-Mb. |
| 15200082 | Staffelegg-Fm.: Frick-Mb. | Staffelegg-Fm.: Frick-Mb. |
| 15200083 | Staffelegg-Fm.: Mont-Terri-Mb. | Staffelegg-Fm.: Mont-Terri-Mb. |
| 15200084 | Staffelegg-Fm.: Fasiswald-Mb. | Staffelegg-Fm.: Fasiswald-Mb. |
| 15200085 | Staffelegg-Fm.: Weissenstein-Mb. | Staffelegg-Fm.: Weissenstein-Mb. |
| 15200086 | Staffelegg-Fm.: Beggingen-Mb. | Staffelegg-Fm.: Beggingen-Mb. |
| 15200087 | Staffelegg-Fm.: Beggingen-Mb.: Gächlingen-Bk. | Staffelegg-Fm.: Beggingen-Mb.: Gächlingen-Bk. |

| GeolCode | Deutsch | Italiano |
|---|---|---|
| 15200088 | Staffelegg-Fm.: Beggingen-Mb.: Schleitheim-Bk. | Staffelegg-Fm.: Beggingen-Mb.: Schleitheim-Bk. |
| 15200089 | Staffelegg-Fm.: Schambelen-Mb. | Staffelegg-Fm.: Schambelen-Mb. |
| 15200090 | Staffelegg-Fm.: Schambelen-Mb.: Hallau-Bk. | Staffelegg-Fm.: Schambelen-Mb.: Hallau-Bk. |
| 15200091 | Juragebirge: Siderolithikum | Juragebirge: Siderolithikum |
| 15200092 | Gorges-de-l'Orbe- und Vallorbe-Mb. | Gorges-de-l'Orbe- und Vallorbe-Mb. |
| 15200093 | Rocher-des-Hirondelles-Fm.: Vallorbe-Mb. | Rocher-des-Hirondelles-Fm.: Vallorbe-Mb. |
| 15200094 | Rocher-des-Hirondelles-Fm.: Rivière-Mb. | Rocher-des-Hirondelles-Fm.: Rivière-Mb. |
| 15200096 | Gorges-de-l'Orbe-Fm. | Gorges-de-l'Orbe-Fm. |
| 15200097 | Pierre-Châtel- Vions- und Chambotte-Fm. | Pierre-Châtel- Vions- und Chambotte-Fm. |
| 15200098 | Chambotte-Fm. | Chambotte-Fm. |
| 15200099 | Chambotte-Fm.: Guiers-Mb. | Chambotte-Fm.: Guiers-Mb. |
| 15200100 | Vions-Fm. | Vions-Fm. |
| 15200101 | Pierre-Châtel-Fm. | Pierre-Châtel-Fm. |
| 15200102 | Burghorn-Fm. | Burghorn-Fm. |
| 15200103 | Burghorn-Fm.: Wettingen-Mb. | Burghorn-Fm.: Wettingen-Mb. |
| 15200104 | Burghorn-Fm.: Baden-Mb. | Burghorn-Fm.: Baden-Mb. |
| 15200105 | Villigen-Fm. | Villigen-Fm. |
| 15200106 | Villigen-Fm.: Wangental-Mb. | Villigen-Fm.: Wangental-Mb. |
| 15200107 | Villigen-Fm.: Letzi-Mb. | Villigen-Fm.: Letzi-Mb. |
| 15200108 | Villigen-Fm.: Knollen-Bk. | Villigen-Fm.: Knollen-Bk. |
| 15200109 | Villigen-Fm.: Küssaburg-Mb. | Villigen-Fm.: Küssaburg-Mb. |
| 15200110 | Villigen-Fm.: Wangen-Mb. | Villigen-Fm.: Wangen-Mb. |
| 15200111 | Villigen-Fm.: Hornbuck-Mb. | Villigen-Fm.: Hornbuck-Mb. |
| 15200112 | Villigen-Fm.: Crenularis-Mb. | Villigen-Fm.: Crenularis-Mb. |
| 15200113 | Villigen-Fm.: Geissberg-Mb. | Villigen-Fm.: Geissberg-Mb. |
| 15200114 | Wildegg-Fm. | Wildegg-Fm. |
| 15200115 | Wildegg-Fm.: Effingen-Mb. | Wildegg-Fm.: Effingen-Mb. |
| 15200116 | Wildegg-Fm.: Effingen-Mb.: Gerstenhübel-Bk. | Wildegg-Fm.: Effingen-Mb.: Gerstenhübel-Bk. |
| 15200117 | Wildegg-Fm.: Birmenstorf-Mb. | Wildegg-Fm.: Birmenstorf-Mb. |
| 15200118 | Günsberg-Fm. | Günsberg-Fm. |
| 15200119 | Günsberg-Fm.: Moutier-Korallenkalk | Günsberg-Fm.: Moutier-Korallenkalk |
| 15200120 | Klingnau-Fm. | Klingnau-Fm. |
| 15200121 | Klingnau-Fm.: Knorri-Ton | Klingnau-Fm.: Knorri-Ton |
| 15200122 | Klingnau-Fm.: Wuerttembergica-Sch. | Klingnau-Fm.: Wuerttembergica-Sch. |
| 15200123 | Klingnau-Fm.: Parkinsoni-Sch.: Subfurcatum-Bk. | Klingnau-Fm.: Parkinsoni-Sch.: Subfurcatum-Bk. |
| 15200124 | Klingnau-Fm.: Blagdeni-Sch. | Klingnau-Fm.: Blagdeni-Sch. |
| 15200125 | Juragebirge: Keuper | Juragebirge: Keuper |
| 15200126 | Klettgau-Fm. | Klettgau-Fm. |
| 15200127 | Klettgau-Fm.: Belchen-Mb. | Klettgau-Fm.: Belchen-Mb. |
| 15200128 | Bänkerjoch-Fm. | Bänkerjoch-Fm. |
| 15200129 | Juragebirge: Muschelkalk | Juragebirge: Muschelkalk |
| 15200130 | Schinznach-Fm. | Schinznach-Fm. |
| 15200131 | Schinznach-Fm.: Asp-Mb. | Schinznach-Fm.: Asp-Mb. |
| 15200132 | Schinznach-Fm.: Stamberg-Mb. | Schinznach-Fm.: Stamberg-Mb. |
| 15200133 | Schinznach-Fm.: Liedertswil-Mb. | Schinznach-Fm.: Liedertswil-Mb. |
| 15200134 | Schinznach-Fm.: Kienberg-Mb. | Schinznach-Fm.: Kienberg-Mb. |
| 15200135 | Zeglingen-Fm. | Zeglingen-Fm. |

| GeolCode | Deutsch | Italiano |
|---|---|---|
| 15200136 | Zeglingen-Fm.: Obere Sufatzone | Zeglingen-Fm.: Obere Sufatzone |
| 15200137 | Zeglingen-Fm.: Salzlager | Zeglingen-Fm.: Salzlager |
| 15200138 | Zeglingen-Fm.: Untere Sulfatzone | Zeglingen-Fm.: Untere Sulfatzone |
| 15200139 | Kaiseraugst-Fm. | Kaiseraugst-Fm. |
| 15200140 | Kaiseraugst-Fm.: Orbicularis-Mergel | Kaiseraugst-Fm.: Orbicularis-Mergel |
| 15200141 | Kaiseraugst-Fm.: Wellenkalk / Wellenmergel | Kaiseraugst-Fm.: Wellenkalk / Wellenmergel |
| 15200142 | Kaiseraugst-Fm.: Wellendolomit | Kaiseraugst-Fm.: Wellendolomit |
| 15200143 | Juragebirge: Buntsandstein | Juragebirge: Buntsandstein |
| 15200144 | Dinkelberg-Fm. | Dinkelberg-Fm. |
| 15200145 | Dinkelberg-Fm.: Rötton | Dinkelberg-Fm.: Rötton |
| 15200146 | Dinkelberg-Fm.: Plattensandstein | Dinkelberg-Fm.: Plattensandstein |
| 15200147 | Dinkelberg-Fm.: Karneolhorizont | Dinkelberg-Fm.: Karneolhorizont |
| 15200148 | Narlay-Fm. | Narlay-Fm. |
| 15200149 | Perte-du-Rhône-Fm. | Perte-du-Rhône-Fm. |
| 15200150 | Grand-Essert-Fm. | Grand-Essert-Fm. |
| 15200151 | Grand-Essert-Fm: Neuchâtel-Mb. | Grand-Essert-Fm: Neuchâtel-Mb. |
| 15200152 | Grand-Essert-Fm: Hauterive-Mb. | Grand-Essert-Fm: Hauterive-Mb. |
| 15200153 | Vuache-Fm. | Vuache-Fm. |
| 15200154 | Vuache-Fm.: Alectryonia-Kalk | Vuache-Fm.: Alectryonia-Kalk |
| 15200155 | Vuache-Fm.: Arzier-Mergel | Vuache-Fm.: Arzier-Mergel |
| 15200156 | Goldberg-Fm. | Goldberg-Fm. |
| 15200157 | Wiesental-Fm. | Wiesental-Fm. |
| 15200158 | Weitenau-Fm. | Weitenau-Fm. |
| 15200159 | Weiach-Fm. | Weiach-Fm. |
| 15200160 | Günsberg- Vellerat- Villigen- Balsthal- und Courgenay-Fm. | Günsberg- Vellerat- Villigen- Balsthal- und Courgenay-Fm. |
| 15200161 | Juragebirge: Kreide | Juragebirge: Kreide |
| 15200162 | Juragebirge: Jura | Juragebirge: Jura |
| 15200163 | Juragebirge: Trias | Juragebirge: Trias |
| 15200175 | Siderolithikum: Bohnerzton | Siderolithikum: Bohnerzton |
| 15200176 | Siderolithikum: Boluston | Siderolithikum: Boluston |
| 15200177 | Siderolithikum: Huppererde | Siderolithikum: Huppererde |
| 15200178 | Hauptrogenstein: Homomyenmergel | Hauptrogenstein: Homomyenmergel |
| 15200179 | Dinkelberg-Fm.: Vogesen-Sandstein | Dinkelberg-Fm.: Vogesen-Sandstein |
| 15200180 | Siderolithikum: Quarzsand | Siderolithikum: Quarzsand |
| 15200181 | Perte-du-Rhône-Fm.: Mussel-Mb. | Perte-du-Rhône-Fm.: Mussel-Mb. |
| 15200182 | Perte-du-Rhône-Fm.: Fulie-Mb. | Perte-du-Rhône-Fm.: Fulie-Mb. |
| 15200183 | Grand-Essert-Fm: Neuchâtel-Mb.: Uttins-Mergel | Grand-Essert-Fm: Neuchâtel-Mb.: Uttins-Mergel |
| 15200184 | Grand-Essert-Fm: Hauterive-Mb.: Ecluse-Mergelkalk | Grand-Essert-Fm: Hauterive-Mb.: Ecluse-Mergelkalk |
| 15200185 | Vuache-Fm.: Bryozoen-Mergel | Vuache-Fm.: Bryozoen-Mergel |
| 15200186 | Twannbach-Fm.: Zuckerkörniger Kalk | Twannbach-Fm.: Zuckerkörniger Kalk |
| 15200187 | Reuchenette-Fm.: Chevenez-Mb. | Reuchenette-Fm.: Chevenez-Mb. |
| 15200188 | Balsthal-Fm. | Balsthal-Fm. |
| 15200189 | Balsthal-Fm.: Verena-Mb. | Balsthal-Fm.: Verena-Mb. |
| 15200190 | Balsthal-Fm.: Holzflue-Mb. | Balsthal-Fm.: Holzflue-Mb. |
| 15200191 | Balsthal-Fm.: Laufen-Mb. | Balsthal-Fm.: Laufen-Mb. |
| 15200192 | Balsthal-Fm.: Olten-Mb. | Balsthal-Fm.: Olten-Mb. |
| 15200193 | Balsthal-Fm.: Steinibach-Mb. | Balsthal-Fm.: Steinibach-Mb. |
| 15200194 | Vellerat-Fm.: Röschenz-Mb.: Grüne Mumienbank | Vellerat-Fm.: Röschenz-Mb.: Grüne Mumienbank |
| 15200195 | Wildegg-Fm.: Effingen-Mb.: Pecten-Bk. | Wildegg-Fm.: Effingen-Mb.: Pecten-Bk. |

| GeolCode | Deutsch | Italiano |
|---|---|---|
| 15200196 | Hauptrogenstein: Ferrugineus-Oolith | Hauptrogenstein: Ferrugineus-Oolith |
| 15200197 | Hauptrogenstein: Wittnau-Korallenkalk | Hauptrogenstein: Wittnau-Korallenkalk |
| 15200198 | Hauptrogenstein: Furcil-Mergel | Hauptrogenstein: Furcil-Mergel |
| 15200199 | Hauptrogenstein: Maeandrina-Sch. | Hauptrogenstein: Maeandrina-Sch. |
| 15200200 | Hauptrogenstein: Gisliflue-Korallenkalk | Hauptrogenstein: Gisliflue-Korallenkalk |
| 15200201 | Hauptrogenstein: Untere Acuminata-Sch. | Hauptrogenstein: Untere Acuminata-Sch. |
| 15200202 | Klingnau-Fm.: Parkinsoni-Sch. | Klingnau-Fm.: Parkinsoni-Sch. |
| 15200203 | Dewalquei-Kalk | Dewalquei-Kalk |
| 15200204 | Brot-Sch. | Brot-Sch. |
| 15200205 | Passwang-Fm.: Sissach-Mb.: Comptum-Bk. | Passwang-Fm.: Sissach-Mb.: Comptum-Bk. |
| 15200206 | Klettgau-Fm.: Seebi-Mb. | Klettgau-Fm.: Seebi-Mb. |
| 15200207 | Klettgau-Fm.: Gruhalde-Mb. | Klettgau-Fm.: Gruhalde-Mb. |
| 15200208 | Klettgau-Fm.: Berlingen-Mb. | Klettgau-Fm.: Berlingen-Mb. |
| 15200209 | Klettgau-Fm.: Gansingen-Mb. | Klettgau-Fm.: Gansingen-Mb. |
| 15200210 | Klettgau-Fm.: Ergolz-Mb. | Klettgau-Fm.: Ergolz-Mb. |
| 15200211 | Schinznach-Fm.: Stamberg-Mb.: Kaisten-Bk. | Schinznach-Fm.: Stamberg-Mb.: Kaisten-Bk. |
| 15200212 | Schinznach-Fm.: Eptingen-Bk. | Schinznach-Fm.: Eptingen-Bk. |
| 15200213 | Schinznach-Fm.: Dünnlenberg-Bk. | Schinznach-Fm.: Dünnlenberg-Bk. |
| 15200214 | Schinznach-Fm.: Kienberg-Mb.: Saalhof-Bk. | Schinznach-Fm.: Kienberg-Mb.: Saalhof-Bk. |
| 15200215 | Schinznach-Fm.: Leutschenberg-Mb.: Fützen-Bk. | Schinznach-Fm.: Leutschenberg-Mb.: Fützen-Bk. |
| 15200216 | Zeglingen-Fm.: Dolomitzone | Zeglingen-Fm.: Dolomitzone |
| 15200217 | Weitenau-Fm.: Oberer Schuttfächer | Weitenau-Fm.: Oberer Schuttfächer |
| 15200218 | Weitenau-Fm.: Playa-Serie | Weitenau-Fm.: Playa-Serie |
| 15200219 | Weitenau-Fm.: Unterer Schuttfächer | Weitenau-Fm.: Unterer Schuttfächer |
| 15200220 | Schwarzwald-Massiv: Spät- bis postvariszische Intrusiva | Schwarzwald-Massiv: Spät- bis postvariszische Intrusiva |
| 15200221 | Nordalpines Vorland: Spät- bis postvariszische Sedimente und Vulkanite | Nordalpines Vorland: Spät- bis postvariszische Sedimente und Vulkanite |
| 15200222 | Stockberg-Quarzporphyr | Stockberg-Quarzporphyr |
| 15200223 | Bärhalde-Granit | Bärhalde-Granit |
| 15200224 | Schluchsee-Granit | Schluchsee-Granit |
| 15200225 | Säckingen-Granit | Säckingen-Granit |
| 15200226 | Weiach-Fm.: Jüngere Flussablagerungen | Weiach-Fm.: Jüngere Flussablagerungen |
| 15200227 | Weiach-Fm.: Seeablagerungen | Weiach-Fm.: Seeablagerungen |
| 15200228 | Weiach-Fm.: Ältere Flussablagerungen | Weiach-Fm.: Ältere Flussablagerungen |
| 15200229 | Weiach-Fm.: Ältere Flussablagerungen: Kohle-Serie | Weiach-Fm.: Ältere Flussablagerungen: Kohle-Serie |
| 15200230 | Schwarzwald-Massiv: Früh- bis mittelvariszische Intrusiva | Schwarzwald-Massiv: Früh- bis mittelvariszische Intrusiva |
| 15200231 | Albtal-Granit | Albtal-Granit |
| 15200232 | Malsburg-Granit | Malsburg-Granit |
| 15200233 | Blauen-Granit | Blauen-Granit |
| 15200234 | Klemmbach-Granit | Klemmbach-Granit |
| 15200235 | Randgranit | Randgranit |
| 15200236 | Münsterhalden-Granit | Münsterhalden-Granit |

| GeolCode | Deutsch | Italiano |
|---|---|---|
| 15200237 | Schönau-Herrenschwand-Granit | Schönau-Herrenschwand-Granit |
| 15200238 | St.-Blasien-Granit | St.-Blasien-Granit |
| 15200239 | Mambach-Granit | Mambach-Granit |
| 15200240 | Lenzkirch-Steina-Granit | Lenzkirch-Steina-Granit |
| 15200241 | Hauenstein-Granit | Hauenstein-Granit |
| 15200242 | Böttstein-Granit | Böttstein-Granit |
| 15200243 | Schwarzwald-Massiv: Früh- bis mittelvariszische Sedimente | Schwarzwald-Massiv: Früh- bis mittelvariszische Sedimente |
| 15200245 | Schwarzwald-Massiv: Prävariszisches polyzyklisches Grundgebirge | Schwarzwald-Massiv: Prävariszisches polyzyklisches Grundgebirge |
| 15200246 | Schwarzwald-Massiv: Prävariszische Orthogneise | Schwarzwald-Massiv: Prävariszische Orthogneise |
| 15200247 | Todtmoos-Gneiskomplex | Todtmoos-Gneiskomplex |
| 15200248 | Murgtal-Gneiskomplex | Murgtal-Gneiskomplex |
| 15200249 | Laufenburg-Gneiskomplex | Laufenburg-Gneiskomplex |
| 15200250 | Schwarzwald-Massiv: Prävariszische Migmatite | Schwarzwald-Massiv: Prävariszische Migmatite |
| 15200251 | Wiesen-Wehratal-Gneiskomplex | Wiesen-Wehratal-Gneiskomplex |
| 15200252 | Wiesen-Wehratal-Gneiskomplex: Wehratal-Syenit | Wiesen-Wehratal-Gneiskomplex: Wehratal-Syenit |
| 15200253 | Schwarzwald-Massiv: Prävariszische Grüngesteine | Schwarzwald-Massiv: Prävariszische Grüngesteine |
| 15200254 | Molasse | Molasse |
| 15200255 | OSM (Obere Süsswassermolasse) | OSM (Obere Süsswassermolasse) |
| 15200256 | Pfänder-Fm.: Tannenberg-Sch. | Pfänder-Fm.: Tannenberg-Sch. |
| 15200257 | Pfänder-Fm. | Pfänder-Fm. |
| 15200258 | Napf-Fm. | Napf-Fm. |
| 15200259 | Napf-Fm.: Eimätteli-Mb.: Blapbach-Kohlehorizont | Napf-Fm.: Eimätteli-Mb.: Blapbach-Kohlehorizont |
| 15200260 | Napf-Fm.: Eimätteli-Mb. | Napf-Fm.: Eimätteli-Mb. |
| 15200261 | Schüpferegg-Nagelfluh | Schüpferegg-Nagelfluh |
| 15200262 | OSM-II | OSM-II |
| 15200263 | Hegau-Vulkanite | Hegau-Vulkanite |
| 15200264 | Höwenegg-Basalt | Höwenegg-Basalt |
| 15200265 | Hohenwiel-Phonolith | Hohenwiel-Phonolith |
| 15200266 | Hegau-Tuffit | Hegau-Tuffit |
| 15200267 | Hörnli-Fm.: Hörnligipfel-Nagelfluh | Hörnli-Fm.: Hörnligipfel-Nagelfluh |
| 15200268 | Hörnli-Fm.: Hörnligubel-Mergel: Höchegg-Brekzie | Hörnli-Fm.: Hörnligubel-Mergel: Höchegg-Brekzie |
| 15200269 | Hörnli-Fm.: Hörnligubel-Mergel | Hörnli-Fm.: Hörnligubel-Mergel |
| 15200270 | Hörnli-Fm.: Tösswald-Mb. | Hörnli-Fm.: Tösswald-Mb. |
| 15200271 | Öhningen-Fm.: Bischofszell-Bentonit | Öhningen-Fm.: Bischofszell-Bentonit |
| 15200272 | Hörnli-Fm.: Mergelstein-dominierte Fazies | Hörnli-Fm.: Mergelstein-dominierte Fazies |
| 15200273 | Hörnli-Fm.: Krinau-Mb. | Hörnli-Fm.: Krinau-Mb. |
| 15200274 | OSM-II: Glimmersand-Fazies | OSM-II: Glimmersand-Fazies |
| 15200275 | Zürich-Fm.: Fellitobel-Süsswasserkalk | Zürich-Fm.: Fellitobel-Süsswasserkalk |
| 15200276 | Uetliberg-Fm. | Uetliberg-Fm. |
| 15200277 | Uetliberg-Fm.: Uetliberggipfel-Nagelfluh | Uetliberg-Fm.: Uetliberggipfel-Nagelfluh |
| 15200278 | Uetliberg-Fm.: Uetliberg-Mergel | Uetliberg-Fm.: Uetliberg-Mergel |
| 15200279 | Pfannenstiel-Fm.: Falätschen-Mergel | Pfannenstiel-Fm.: Falätschen-Mergel |
| 15200280 | Pfannenstiel-Fm. | Pfannenstiel-Fm. |
| 15200281 | Zürich-Fm. | Zürich-Fm. |

| GeolCode | Deutsch | Italiano |
|---|---|---|
| 15200282 | Zürich-Fm.: Leimbach-Bentonit | Zürich-Fm.: Leimbach-Bentonit |
| 15200283 | Zürich-Fm.: Rütschlibach-Riedhof-Süsswasserkalk | Zürich-Fm.: Rütschlibach-Riedhof-Süsswasserkalk |
| 15200284 | Zürich-Fm.: Winterthur-Bentonit | Zürich-Fm.: Winterthur-Bentonit |
| 15200285 | Zürich-Fm.: Aeugstertal-Bentonit | Zürich-Fm.: Aeugstertal-Bentonit |
| 15200286 | Zürich-Fm.: Äntlisberg-Doldertobel-Süsswasserkalk | Zürich-Fm.: Äntlisberg-Doldertobel-Süsswasserkalk |
| 15200287 | Zürich-Fm.: Wehrenbach-Höckler-Süsswasserkalk | Zürich-Fm.: Wehrenbach-Höckler-Süsswasserkalk |
| 15200288 | Meilen-Fm.: Küsnacht-Bentonit | Meilen-Fm.: Küsnacht-Bentonit |
| 15200289 | Meilen-Fm.: Urdorf-Bentonit | Meilen-Fm.: Urdorf-Bentonit |
| 15200290 | Appenzellergranit-Leitniveau | Appenzellergranit-Leitniveau |
| 15200291 | Appenzellergranit-Leitniveau: Abtwil-Konglomerat | Appenzellergranit-Leitniveau: Abtwil-Konglomerat |
| 15200292 | Appenzellergranit-Leitniveau: Hüllistein-Konglomerat | Appenzellergranit-Leitniveau: Hüllistein-Konglomerat |
| 15200293 | Appenzellergranit-Leitniveau: Degersheim-Kalknagelfluh | Appenzellergranit-Leitniveau: Degersheim-Kalknagelfluh |
| 15200294 | Appenzellergranit-Leitniveau: Meilen-Kalk | Appenzellergranit-Leitniveau: Meilen-Kalk |
| 15200295 | OSM-I | OSM-I |
| 15200296 | Lichtensteig-Fm. | Lichtensteig-Fm. |
| 15200297 | Hörnli-Fm. | Hörnli-Fm. |
| 15200298 | Guggershorn-Fm. | Guggershorn-Fm. |
| 15200299 | Käpfnach-Fm.: Horgen-Süsswasserkalk | Käpfnach-Fm.: Horgen-Süsswasserkalk |
| 15200300 | OSM-J | OSM-J |
| 15200301 | Bois-de-Raube-Fm. | Bois-de-Raube-Fm. |
| 15200302 | OSM-J: Juranagelfluh | OSM-J: Juranagelfluh |
| 15200304 | Le-Locle-Fm.: Combe-Girard Mb.: Combe-Girard-Bentonit | Le-Locle-Fm.: Combe-Girard Mb.: Combe-Girard-Bentonit |
| 15200305 | Vermes-Süsswasserkalk | Vermes-Süsswasserkalk |
| 15200306 | Crêt-du-Locle-Fm.: Gompholitfazies | Crêt-du-Locle-Fm.: Gompholitfazies |
| 15200307 | OMM (Obere Meeresmolasse) | OMM (Obere Meeresmolasse) |
| 15200308 | OMM-II | OMM-II |
| 15200309 | St.-Gallen-Fm. | St.-Gallen-Fm. |
| 15200310 | St.-Gallen-Fm.: Staffelbach-Grobsandstein | St.-Gallen-Fm.: Staffelbach-Grobsandstein |
| 15200311 | OMM-I | OMM-I |
| 15200312 | Luzern-Fm. | Luzern-Fm. |
| 15200313 | Luzern-Fm.: Safenwil-Muschelsandstein | Luzern-Fm.: Safenwil-Muschelsandstein |
| 15200314 | USM (Untere Süsswassermolasse) | USM (Untere Süsswassermolasse) |
| 15200315 | Höhronen-Nagelfluh | Höhronen-Nagelfluh |
| 15200316 | Kronberg-Nagelfluh | Kronberg-Nagelfluh |
| 15200317 | Cornalle-Sandstein | Cornalle-Sandstein |
| 15200318 | Mont-Pèlerin-Nagelfluh | Mont-Pèlerin-Nagelfluh |
| 15200319 | Speer-Fm. | Speer-Fm. |
| 15200320 | Thun-Fm. | Thun-Fm. |
| 15200321 | Thun-Fm.: Gunten-Quarzitnagelfluh | Thun-Fm.: Gunten-Quarzitnagelfluh |
| 15200322 | Rigi-Fm. | Rigi-Fm. |
| 15200323 | Rigi-Fm.: Scheidegg-Nagelfluh | Rigi-Fm.: Scheidegg-Nagelfluh |
| 15200324 | Rigi-Fm.: Bunte Rigi-Nagelfluh | Rigi-Fm.: Bunte Rigi-Nagelfluh |
| 15200325 | Rigi-Fm.: Radiolaritreiche Nagelfluh | Rigi-Fm.: Radiolaritreiche Nagelfluh |

| GeolCode | Deutsch | Italiano |
|---|---|---|
| 15200326 | USM-III | USM-III |
| 15200327 | Sommersberg-Nagelfluh | Sommersberg-Nagelfluh |
| 15200328 | Sommersberg-Nagelfluh: Brendenbach-Mergel | Sommersberg-Nagelfluh: Brendenbach-Mergel |
| 15200329 | USM-II | USM-II |
| 15200330 | Fm. der Granitischen Molasse | Fm. der Granitischen Molasse |
| 15200331 | Fm. der Granitischen Molasse: Oberaquitane Mergelzone | Fm. der Granitischen Molasse: Oberaquitane Mergelzone |
| 15200332 | Lausanne-Fm. | Lausanne-Fm. |
| 15200333 | Lausanne-Fm.: Bois-Genoud-Bentonit | Lausanne-Fm.: Bois-Genoud-Bentonit |
| 15200334 | Lausanne-Fm.: Cuarny-Sandstein | Lausanne-Fm.: Cuarny-Sandstein |
| 15200335 | USM-I | USM-I |
| 15200336 | Grès et Marnes Gris à Gypse | Grès et Marnes Gris à Gypse |
| 15200337 | Molasse à Charbon | Molasse à Charbon |
| 15200338 | Molasse Rouge | Molasse Rouge |
| 15200339 | Heuboden-Äschitannen-Nagelfluh | Heuboden-Äschitannen-Nagelfluh |
| 15200340 | Beichlen-Fm. | Beichlen-Fm. |
| 15200341 | USM-J | USM-J |
| 15200342 | USM-J: La-Chaux-Süsswasserkalk | USM-J: La-Chaux-Süsswasserkalk |
| 15200343 | Elsässer Molasse | Elsässer Molasse |
| 15200344 | Elsässer Molasse: Delémont-Süsswasserkalk | Elsässer Molasse: Delémont-Süsswasserkalk |
| 15200345 | Elsässer Molasse: Matzendorf-Süsswasserkalk | Elsässer Molasse: Matzendorf-Süsswasserkalk |
| 15200346 | Elsässer Molasse: Oensingen-Süsswasserkalk | Elsässer Molasse: Oensingen-Süsswasserkalk |
| 15200347 | Elsässer Molasse: Wynau-Süsswasserkalk | Elsässer Molasse: Wynau-Süsswasserkalk |
| 15200348 | UMM (Untere Meeresmolasse) | UMM (Untere Meeresmolasse) |
| 15200349 | UMM-III | UMM-III |
| 15200350 | Horw-Sandstein | Horw-Sandstein |
| 15200351 | UMM-II | UMM-II |
| 15200352 | Grisigen-Mergel | Grisigen-Mergel |
| 15200353 | UMM-I | UMM-I |
| 15200354 | Cucloz-Fm. | Cucloz-Fm. |
| 15200355 | Cucloz-Fm.: Cucloz-Sandstein | Cucloz-Fm.: Cucloz-Sandstein |
| 15200356 | Cucloz-Fm.: Marnes gris-souris | Cucloz-Fm.: Marnes gris-souris |
| 15200357 | Cucloz-Fm.: Schistes marno-micacés | Cucloz-Fm.: Schistes marno-micacés |
| 15200358 | Hilfern-Fm. | Hilfern-Fm. |
| 15200359 | Rietbad-Fm. | Rietbad-Fm. |
| 15200360 | Jordisboden-Mergel | Jordisboden-Mergel |
| 15200361 | Goldegg-Sandstein | Goldegg-Sandstein |
| 15200362 | UMM-J | UMM-J |
| 15200363 | UMM-J: Septarienton | UMM-J: Septarienton |
| 15200364 | UMM-J: Fischschiefer | UMM-J: Fischschiefer |
| 15200365 | UMM-J: Foraminiferenmergel | UMM-J: Foraminiferenmergel |
| 15200366 | UMM-J: Meeressand | UMM-J: Meeressand |
| 15200368 | UMM-J: Cyathulabank | UMM-J: Cyathulabank |
| 15200369 | UMM-J: Cyrenenmergel | UMM-J: Cyrenenmergel |
| 15200370 | Porrentruy-Konglomerat | Porrentruy-Konglomerat |
| 15200371 | Rossemaison-Fm.: Süsswasserkalk | Rossemaison-Fm.: Süsswasserkalk |
| 15200373 | Ajoie-Gompholit | Ajoie-Gompholit |
| 15200378 | Tüllingen-Süsswasserkalk | Tüllingen-Süsswasserkalk |
| 15200380 | Hauptrogenstein: Oberer Teil | Hauptrogenstein: Oberer Teil |

| GeolCode | Deutsch | Italiano |
|---|---|---|
| 15200381 | Hauptrogenstein: Mittlerer Teil | Hauptrogenstein: Mittlerer Teil |
| 15200382 | Hauptrogenstein: Unterer Teil | Hauptrogenstein: Unterer Teil |
| 15200383 | Hauptrogenstein: Calcaire roux marneux | Hauptrogenstein: Calcaire roux marneux |
| 15200384 | Bois-de-Raube-Fm.: Ajoie-Mb. | Bois-de-Raube-Fm.: Ajoie-Mb. |
| 15200385 | Bois-de-Raube-Fm.: Bois-de-Raube-Mb. | Bois-de-Raube-Fm.: Bois-de-Raube-Mb. |
| 15200386 | Bois-de-Raube-Fm.: Montchaibeux-Mb. | Bois-de-Raube-Fm.: Montchaibeux-Mb. |
| 15200387 | Daubrée-Konglomerat | Daubrée-Konglomerat |
| 15200388 | Wanderblock-Bildungen | Wanderblock-Bildungen |
| 15200389 | OMM-II: Geröllsande | OMM-II: Geröllsande |
| 15200390 | OMM-II: Polymikte Nagelfluh | OMM-II: Polymikte Nagelfluh |
| 15200391 | OMM-I: Muschelsandstein | OMM-I: Muschelsandstein |
| 15200392 | OMM-I: Graue Molasse | OMM-I: Graue Molasse |
| 15200393 | Daubrée-Konglomerat: Süsswasserkalk | Daubrée-Konglomerat: Süsswasserkalk |
| 15200394 | USM: Basale Süsswassermolasse | USM: Basale Süsswassermolasse |
| 15200395 | Laufen-Juranagelfluh | Laufen-Juranagelfluh |
| 15200396 | Basler Juranagelfluh | Basler Juranagelfluh |
| 15200397 | Aargauer Juranagelfluh | Aargauer Juranagelfluh |
| 15200399 | Jensberg-Fm. | Jensberg-Fm. |
| 15200400 | Jensberg-Fm.: Rebhubel-Sch. | Jensberg-Fm.: Rebhubel-Sch. |
| 15200401 | Niedermatt-Fm. | Niedermatt-Fm. |
| 15200402 | Belpberg-Fm. | Belpberg-Fm. |
| 15200403 | Kalchstätten-Fm.: Pfadflüe-Nagelfluh | Kalchstätten-Fm.: Pfadflüe-Nagelfluh |
| 15200404 | Belpberg-Fm.: Sädel-Kalknagelfluh | Belpberg-Fm.: Sädel-Kalknagelfluh |
| 15200405 | Belpberg-Fm.: Utzigen-Muschelsandstein | Belpberg-Fm.: Utzigen-Muschelsandstein |
| 15200406 | Belpberg-Fm.: Ulmiz-Quarzitnagelfluh | Belpberg-Fm.: Ulmiz-Quarzitnagelfluh |
| 15200407 | Belpberg-Fm.: Bütschelbach-Nagelfluh | Belpberg-Fm.: Bütschelbach-Nagelfluh |
| 15200408 | Kalchstätten-Fm. | Kalchstätten-Fm. |
| 15200409 | St.-Gallen-Fm.: Freudenberg-Nagelfluh | St.-Gallen-Fm.: Freudenberg-Nagelfluh |
| 15200410 | St.-Gallen-Fm.: Goldbrunnen-Sch. | St.-Gallen-Fm.: Goldbrunnen-Sch. |
| 15200411 | St.-Gallen-Fm.: Dreilinden-Nagelfluh | St.-Gallen-Fm.: Dreilinden-Nagelfluh |
| 15200412 | St.-Gallen-Fm.: Obere Grenznagelfluh | St.-Gallen-Fm.: Obere Grenznagelfluh |
| 15200413 | Kirchberg-Fm. | Kirchberg-Fm. |
| 15200414 | Grimmelfingen-Fm. | Grimmelfingen-Fm. |
| 15200415 | Chnebelburg-Fm. | Chnebelburg-Fm. |
| 15200416 | Chnebelburg-Fm.: Meinisberg-Muschelsandstein | Chnebelburg-Fm.: Meinisberg-Muschelsandstein |
| 15200417 | Chnebelburg-Fm.: Brüttelen-Grobsandstein | Chnebelburg-Fm.: Brüttelen-Grobsandstein |
| 15200418 | Sense-Fm. | Sense-Fm. |
| 15200419 | Sense-Fm.: Montécu-Sch. | Sense-Fm.: Montécu-Sch. |
| 15200420 | Sense-Fm.: Molière-Muschelsandstein | Sense-Fm.: Molière-Muschelsandstein |
| 15200421 | Sense-Fm.: Scherli-Nagelfluh | Sense-Fm.: Scherli-Nagelfluh |
| 15200422 | Grilly-Süsswasserkalk | Grilly-Süsswasserkalk |
| 15200423 | Orbe-Süsswasserkalk | Orbe-Süsswasserkalk |
| 15200424 | USM: Basale Süsswassermolasse: Krustenkalk | USM: Basale Süsswassermolasse: Krustenkalk |
| 15200425 | Gümmenen-Fm. | Gümmenen-Fm. |
| 15200429 | USM-II: Obere Bunte Molasse | USM-II: Obere Bunte Molasse |
| 15200430 | Oberdorf-Süsswasserkalk | Oberdorf-Süsswasserkalk |

| GeolCode | Deutsch | Italiano |
|---|---|---|
| 15200431 | St.-Gallen-Fm.: Limnischer Horizont | St.-Gallen-Fm.: Limnischer Horizont |
| 15200432 | OMM-II: Quarzitnagelfluh | OMM-II: Quarzitnagelfluh |
| 15200433 | Luzern-Fm.: Basales Konglomerat | Luzern-Fm.: Basales Konglomerat |
| 15200436 | Perte-du-Rhône-Fm.: Poncin-Mb. | Perte-du-Rhône-Fm.: Poncin-Mb. |
| 15200437 | Perte-du-Rhône-Fm.: Mussel-Mb.: Vraconne-Sandstein | Perte-du-Rhône-Fm.: Mussel-Mb.: Vraconne-Sandstein |
| 15200438 | Perte-du-Rhône-Fm.: Mussel-Mb.: La-Presta-Mergel | Perte-du-Rhône-Fm.: Mussel-Mb.: La-Presta-Mergel |
| 15200439 | Perte-du-Rhône-Fm.: Mussel-Mb.: Vernettes-Sandstein | Perte-du-Rhône-Fm.: Mussel-Mb.: Vernettes-Sandstein |
| 15200440 | Perte-du-Rhône-Fm.: Mussel-Mb.: Ponthoud-Bk. | Perte-du-Rhône-Fm.: Mussel-Mb.: Ponthoud-Bk. |
| 15200441 | Perte-du-Rhône-Fm.: Mussel-Mb.: Scie-Besse-Sandstein | Perte-du-Rhône-Fm.: Mussel-Mb.: Scie-Besse-Sandstein |
| 15200442 | Perte-du-Rhône-Fm.: Fulie-Mb.: Mortier-Mergel | Perte-du-Rhône-Fm.: Fulie-Mb.: Mortier-Mergel |
| 15200443 | Perte-du-Rhône-Fm.: Fulie-Mb.: Vauglène-Bk. | Perte-du-Rhône-Fm.: Fulie-Mb.: Vauglène-Bk. |
| 15200444 | Perte-du-Rhône-Fm.: Fulie-Mb.: Poet-Bk. | Perte-du-Rhône-Fm.: Fulie-Mb.: Poet-Bk. |
| 15200445 | Rossemaison-Fm.: Courcelon-Süsswasserkalk | Rossemaison-Fm.: Courcelon-Süsswasserkalk |
| 15200446 | Erzmatt-Krustenkalk | Erzmatt-Krustenkalk |
| 15200447 | Diegten-Süsswasserkalk | Diegten-Süsswasserkalk |
| 15200448 | La-Verrerie-Süsswasserkalk | La-Verrerie-Süsswasserkalk |
| 15200449 | La-Charrue-Süsswasserkalk | La-Charrue-Süsswasserkalk |
| 15200450 | Vuache-Fm.: Astieria-Mergel | Vuache-Fm.: Astieria-Mergel |
| 15200451 | Vuache-Fm.: Villers-Sch. | Vuache-Fm.: Villers-Sch. |
| 15200452 | Pierre-Châtel-Fm.: Unité Moyenne Calcaire | Pierre-Châtel-Fm.: Unité Moyenne Calcaire |
| 15200453 | Pierre-Châtel-Fm.: Unité Inférieure Oolithique | Pierre-Châtel-Fm.: Unité Inférieure Oolithique |
| 15200456 | Etiollets-Fm.: Complexe récifal: Landaize-Kalk | Etiollets-Fm.: Complexe récifal: Landaize-Kalk |
| 15200457 | Balsthal-Fm.: Holzflue-Mb.: Balmberg-Oolith | Balsthal-Fm.: Holzflue-Mb.: Balmberg-Oolith |
| 15200458 | Balsthal-Fm.: Laufen-Mb.: Hautes-Roches-Algenkalk | Balsthal-Fm.: Laufen-Mb.: Hautes-Roches-Algenkalk |
| 15200459 | Balsthal-Fm.: Laufen-Mb.: Akzessorische Mumienbänke | Balsthal-Fm.: Laufen-Mb.: Akzessorische Mumienbänke |
| 15200460 | Vellerat-Fm.: Röschenz-Mb.: Brauner Oolith | Vellerat-Fm.: Röschenz-Mb.: Brauner Oolith |
| 15200461 | Kaiseraugst-Fm.: Wellendolomit: Bleiglanz-Bk. | Kaiseraugst-Fm.: Wellendolomit: Bleiglanz-Bk. |
| 15200462 | Dinkelberg-Fm.: Rötton: Arenicolites-Bk. | Dinkelberg-Fm.: Rötton: Arenicolites-Bk. |
| 15200463 | Dinkelberg-Fm.: Diagonalschichtiger Sandstein | Dinkelberg-Fm.: Diagonalschichtiger Sandstein |
| 15200464 | Schinznach-Fm.: Leutschenberg-Mb. | Schinznach-Fm.: Leutschenberg-Mb. |
| 15200465 | Schlächtenhaus-Granit | Schlächtenhaus-Granit |
| 15200466 | Steinatal-Gneiskomplex | Steinatal-Gneiskomplex |
| 15200467 | Schinznach-Fm.: Asp-Mb.: Grenzdolomit | Schinznach-Fm.: Asp-Mb.: Grenzdolomit |

| GeolCode | Deutsch | Italiano |
|---|---|---|
| 15200468 | Schinznach-Fm.: Asp-Mb.: Estherien-Sch. | Schinznach-Fm.: Asp-Mb.: Estherien-Sch. |
| 15200469 | Hangende-Bankkalke-Fm. | Hangende-Bankkalke-Fm. |
| 15200470 | Zementmergel-Fm. | Zementmergel-Fm. |
| 15200471 | Liegende-Bankkalke-Fm. | Liegende-Bankkalke-Fm. |
| 15200472 | Obere-Felsenkalke-Fm. | Obere-Felsenkalke-Fm. |
| 15200473 | Untere-Felsenkalke-Fm. | Untere-Felsenkalke-Fm. |
| 15200474 | Lacunosamergel-Fm. | Lacunosamergel-Fm. |
| 15200475 | Oberjura-Massenkalk-Fm. | Oberjura-Massenkalk-Fm. |
| 15200476 | Oberjura-Massenkalk-Fm.: Lochen-Sbf. | Oberjura-Massenkalk-Fm.: Lochen-Sbf. |
| 15200477 | Wohlgeschichtete-Kalke-Fm. | Wohlgeschichtete-Kalke-Fm. |
| 15200478 | Impressamergel-Fm. | Impressamergel-Fm. |
| 15200479 | Ornatenton-Fm. | Ornatenton-Fm. |
| 15200480 | Ornatenton-Fm.: Glaukonitsandmergel-Sbf. | Ornatenton-Fm.: Glaukonitsandmergel-Sbf. |
| 15200481 | Ornatenton-Fm.: Glaukonitsandmergel-Sbf.: Grenzkalk | Ornatenton-Fm.: Glaukonitsandmergel-Sbf.: Grenzkalk |
| 15200482 | Ornatenton-Fm.: Macrocephalenoolith-Sbf. | Ornatenton-Fm.: Macrocephalenoolith-Sbf. |
| 15200483 | Wutach-Fm. | Wutach-Fm. |
| 15200484 | Variansmergel-Fm. | Variansmergel-Fm. |
| 15200485 | Dentalienton-Fm. | Dentalienton-Fm. |
| 15200486 | Hamitenton-Fm. | Hamitenton-Fm. |
| 15200487 | Hamitenton-Fm.: Parkinsonioolith-Sbf. | Hamitenton-Fm.: Parkinsonioolith-Sbf. |
| 15200488 | Gosheim-Fm. | Gosheim-Fm. |
| 15200489 | Gosheim-Fm.: Blagdeni-Sbf. | Gosheim-Fm.: Blagdeni-Sbf. |
| 15200490 | Gosheim-Fm.: Humphriesioolith-Sbf. | Gosheim-Fm.: Humphriesioolith-Sbf. |
| 15200491 | Wedelsandstein-Fm. | Wedelsandstein-Fm. |
| 15200492 | Wedelsandstein-Fm.: Blaukalk-Sbf. | Wedelsandstein-Fm.: Blaukalk-Sbf. |
| 15200493 | Murchisonaeoolith-Fm. | Murchisonaeoolith-Fm. |
| 15200494 | Achdorf-Fm. | Achdorf-Fm. |
| 15200495 | Tannenwald-Sch. | Tannenwald-Sch. |
| 15200496 | Schüpferegg-Nagelfluh: Gabelspitz-Sch. | Schüpferegg-Nagelfluh: Gabelspitz-Sch. |
| 15200497 | Schüpferegg-Nagelfluh: Schallenberg-Mergel | Schüpferegg-Nagelfluh: Schallenberg-Mergel |
| 15200498 | Schüpferegg-Nagelfluh: Seli-Nagelfluh | Schüpferegg-Nagelfluh: Seli-Nagelfluh |
| 15200499 | Brand-Herrentisch-Tuffit | Brand-Herrentisch-Tuffit |
| 15200500 | Wangen-Tuffit | Wangen-Tuffit |
| 15200501 | Hohenolber-Tuffit | Hohenolber-Tuffit |
| 15200502 | Eichbol-Tuffit | Eichbol-Tuffit |
| 15200503 | Öhningen-Fm. | Öhningen-Fm. |
| 15200504 | Öhningen-Fm.: Öhningen-Süsswasserkalk | Öhningen-Fm.: Öhningen-Süsswasserkalk |
| 15200505 | Öhningen-Fm.: Ramschwag-Nagelfluh | Öhningen-Fm.: Ramschwag-Nagelfluh |
| 15200506 | Hörnli-Fm.: Seerücken-Tuffit | Hörnli-Fm.: Seerücken-Tuffit |
| 15200507 | Meilen-Fm. | Meilen-Fm. |
| 15200508 | Meilen-Fm.: Wulp-Rotzone | Meilen-Fm.: Wulp-Rotzone |
| 15200509 | Käpfnach-Fm. | Käpfnach-Fm. |
| 15200510 | OSM-J: Juranagelfluh: Mergel-dominierte Fazies | OSM-J: Juranagelfluh: Mergel-dominierte Fazies |
| 15200511 | Golat-Süsswasserkalk | Golat-Süsswasserkalk |
| 15200512 | Belpberg-Fm.: Fossilreicher Horizont | Belpberg-Fm.: Fossilreicher Horizont |

| GeolCode | Deutsch | Italiano |
|---|---|---|
| 15200513 | Fm. der Granitischen Molasse: Hombach-Mb. | Fm. der Granitischen Molasse: Hombach-Mb. |
| 15200514 | Homberg-Fm. | Homberg-Fm. |
| 15200515 | Gäbris-Nagelfluh | Gäbris-Nagelfluh |
| 15200516 | Gäbris-Nagelfluh: Gstaldenbach-Mb. | Gäbris-Nagelfluh: Gstaldenbach-Mb. |
| 15200517 | Gäbris-Nagelfluh: Heiden-Mb. | Gäbris-Nagelfluh: Heiden-Mb. |
| 15200518 | Gäbris-Nagelfluh: Klusbach-Mb. | Gäbris-Nagelfluh: Klusbach-Mb. |
| 15200519 | Gäbris-Nagelfluh: Eggen-Mb. | Gäbris-Nagelfluh: Eggen-Mb. |
| 15200520 | Gäbris-Sulzbach: Sulzbach-Mb. | Gäbris-Sulzbach: Sulzbach-Mb. |
| 15200521 | Gäbris-Sulzbach: Sulzbach-Mb.: Kalknagelfluh | Gäbris-Sulzbach: Sulzbach-Mb.: Kalknagelfluh |
| 15200522 | Kronberg-Nagelfluh: Pfingstboden-Mb. | Kronberg-Nagelfluh: Pfingstboden-Mb. |
| 15200523 | Kronberg-Nagelfluh: Hochfläschli-Mb. | Kronberg-Nagelfluh: Hochfläschli-Mb. |
| 15200524 | Kronberg-Nagelfluh: Ennetbühl-Mb. | Kronberg-Nagelfluh: Ennetbühl-Mb. |
| 15200525 | Kronberg-Nagelfluh: Hochalp-Mb. | Kronberg-Nagelfluh: Hochalp-Mb. |
| 15200526 | Kronberg-Nagelfluh: Krummenau-Mb. | Kronberg-Nagelfluh: Krummenau-Mb. |
| 15200527 | USM-J: Ältere Juranagelfluh | USM-J: Ältere Juranagelfluh |
| 15200528 | Gitzischöpf-Nagelfluh | Gitzischöpf-Nagelfluh |
| 15200529 | Honegg-Mergel | Honegg-Mergel |
| 15200530 | Honegg-Mergel: Kaltbach-Nagelfluh | Honegg-Mergel: Kaltbach-Nagelfluh |
| 15200531 | Thun-Fm.: Hünibach-Nagelfluh | Thun-Fm.: Hünibach-Nagelfluh |
| 15200532 | Losenegg-Fm. | Losenegg-Fm. |
| 15200533 | Homberg-Fm.: Schwändibach-Nagelfluh | Homberg-Fm.: Schwändibach-Nagelfluh |
| 15200534 | Uerscheli-Fm. | Uerscheli-Fm. |
| 15200535 | Uerscheli-Fm.: Bumbach-Nagelfluh | Uerscheli-Fm.: Bumbach-Nagelfluh |
| 15200536 | USM-I: Untere Bunte Molasse: Kalksandstein | USM-I: Untere Bunte Molasse: Kalksandstein |
| 15200537 | Gérignoz-Fm. | Gérignoz-Fm. |
| 15200538 | Speer-Fm.: Leuenfall-Nagelfluh | Speer-Fm.: Leuenfall-Nagelfluh |
| 15200539 | Speer-Fm.: Wintersberg-Mb. | Speer-Fm.: Wintersberg-Mb. |
| 15200540 | Speer-Fm.: Ebnat-Mb. | Speer-Fm.: Ebnat-Mb. |
| 15200541 | Speer-Fm.: Ebnat-Mb.: Rütiberg-Kalksandstein | Speer-Fm.: Ebnat-Mb.: Rütiberg-Kalksandstein |
| 15200542 | Rigi-Fm.: Bunte Rigi-Nagelfluh: Pfiffegg-Nagelfluh | Rigi-Fm.: Bunte Rigi-Nagelfluh: Pfiffegg-Nagelfluh |
| 15200543 | Weggis-Fm. | Weggis-Fm. |
| 15200544 | Weggis-Fm.: Kännelegg-Nagelfluh | Weggis-Fm.: Kännelegg-Nagelfluh |
| 15200545 | Molasse Rouge des Jurasüdfusses | Molasse Rouge des Jurasüdfusses |
| 15200546 | Molasse Rouge des Jurasüdfusses: Mathod-Sandstein | Molasse Rouge des Jurasüdfusses: Mathod-Sandstein |
| 15200547 | Molasse Rouge des Jurasüdfusses: Goumoëns-Sandstein | Molasse Rouge des Jurasüdfusses: Goumoëns-Sandstein |
| 15200548 | Molasse Rouge de Vevey | Molasse Rouge de Vevey |
| 15200549 | Molasse Rouge de Monthey | Molasse Rouge de Monthey |
| 15200550 | Grindelegg-Fm. | Grindelegg-Fm. |
| 15200551 | Grès et Marnes Gris à Gypse: Tillerée-Sch. | Grès et Marnes Gris à Gypse: Tillerée-Sch. |
| 15200552 | Grès et Marnes Gris à Gypse: Süsswasserkalke und Dolomite | Grès et Marnes Gris à Gypse: Süsswasserkalke und Dolomite |
| 15200553 | Oltingue-Kalkarenit | Oltingue-Kalkarenit |
| 15200554 | Vaulruz-Fm. | Vaulruz-Fm. |
| 15200555 | Hilfern-Fm.: Unter-Lochsiti-Nagelfluh | Hilfern-Fm.: Unter-Lochsiti-Nagelfluh |

| GeolCode | Deutsch | Italiano |
|---|---|---|
| 15200556 | Hilfern-Fm.: Flühli-Nagelfluh | Hilfern-Fm.: Flühli-Nagelfluh |
| 15200557 | St.-Gallen-Fm.: Mergelstein-dominierte Fazies | St.-Gallen-Fm.: Mergelstein-dominierte Fazies |
| 15200558 | Fm. der Granitischen Molasse: Marbach-Mb. | Fm. der Granitischen Molasse: Marbach-Mb. |
| 15200560 | USM-I: Untere Bunte Molasse | USM-I: Untere Bunte Molasse |
| 15200562 | OSM-J: Mittlere Juranagelfluh | OSM-J: Mittlere Juranagelfluh |
| 15200563 | OSM-J: Albstein | OSM-J: Albstein |
| 15200564 | Grimmelfingen-Fm.: Graupensand-Fazies | Grimmelfingen-Fm.: Graupensand-Fazies |
| 15200565 | OSM-J: Heliciden-Mergel | OSM-J: Heliciden-Mergel |
| 15200566 | Haldenhof-Mergel | Haldenhof-Mergel |
| 15200567 | OMM-J | OMM-J |
| 15200568 | Tenniken-Muschelagglomerat | Tenniken-Muschelagglomerat |
| 15200569 | OMM-II: Turritellen-Kalk | OMM-II: Turritellen-Kalk |
| 15200570 | Randen-Grobkalk | Randen-Grobkalk |
| 15200571 | Péry-Sandstein | Péry-Sandstein |
| 15200572 | Les-Bayards-Juranagelfluh | Les-Bayards-Juranagelfluh |
| 15200573 | Günsberg- und Vellerat-Fm. | Günsberg- und Vellerat-Fm. |
| 15200574 | Ornatenton-Fm.: Ancepsoolith-Sbf. | Ornatenton-Fm.: Ancepsoolith-Sbf. |
| 15200575 | Jurensismergel-Fm. | Jurensismergel-Fm. |
| 15200576 | Posidonienschiefer-Fm. | Posidonienschiefer-Fm. |
| 15200577 | Amaltheenton-Fm. | Amaltheenton-Fm. |
| 15200578 | Numismalismergel-Fm. | Numismalismergel-Fm. |
| 15200579 | Obtususton-Fm. | Obtususton-Fm. |
| 15200580 | Arietenkalk-Fm. | Arietenkalk-Fm. |
| 15200581 | Angulatenton-Fm. | Angulatenton-Fm. |
| 15200582 | Psilonotenton-Fm. | Psilonotenton-Fm. |
| 15200584 | Etiollets-Fm.: Tabalcon-Kalk | Etiollets-Fm.: Tabalcon-Kalk |
| 15200585 | Bonneville-Sandstein | Bonneville-Sandstein |
| 15200586 | Montauban-Mergel | Montauban-Mergel |
| 15200588 | Mornex-Nagelfluh | Mornex-Nagelfluh |
| 15200589 | USM-III bis OSM-I | USM-III bis OSM-I |
| 15200590 | Uetliberg-Fm.: Loorenkopf-Nagelfluh | Uetliberg-Fm.: Loorenkopf-Nagelfluh |
| 15200591 | Grand-Essert-Fm: Neuchâtel-Mb.: Oberer Teil | Grand-Essert-Fm: Neuchâtel-Mb.: Oberer Teil |
| 15200592 | Grand-Essert-Fm: Neuchâtel-Mb.: Unterer Teil | Grand-Essert-Fm: Neuchâtel-Mb.: Unterer Teil |
| 15200593 | Chambotte-Fm.: Oberer Teil | Chambotte-Fm.: Oberer Teil |
| 15200594 | Chambotte-Fm.: Unterer Teil | Chambotte-Fm.: Unterer Teil |
| 15200596 | Helvetischer Flysch | Helvetischer Flysch |
| 15200597 | Euthal- bis Stad-Fm. | Euthal- bis Stad-Fm. |
| 15200598 | Stad- und Muot-da-Rubi-Fm. | Stad- und Muot-da-Rubi-Fm. |
| 15200599 | Euthal- bis Sanetsch-Fm. | Euthal- bis Sanetsch-Fm. |
| 15200602 | Helvetikum: Siderolithikum | Helvetikum: Siderolithikum |
| 15200607 | Etiollets- Reuchenette- und Twannbach-Fm. | Etiollets- Reuchenette- und Twannbach-Fm. |
| 15200608 | Bärschwil-, St-Ursanne-, Pichoux- und Wildegg-Fm. | Bärschwil-, St-Ursanne-, Pichoux- und Wildegg-Fm. |
| 15200616 | Schwarzwald-Massiv: Grundgebirge | Schwarzwald-Massiv: Grundgebirge |
| 15200617 | Schwarzwald-Massiv: Variszische Intrusiva | Schwarzwald-Massiv: Variszische Intrusiva |
| 15200618 | USM-I: Untere Bunte Molasse: Mümliswil-Süsswasserkalk | USM-I: Untere Bunte Molasse: Mümliswil-Süsswasserkalk |

| GeolCode | Deutsch | Italiano |
|---|---|---|
| 15200619 | Luzern-Fm.: Limnischer Horizont | Luzern-Fm.: Limnischer Horizont |
| 15200620 | Molasse Rouge des Jurasüdfusses: Dardagny-Sandstein | Molasse Rouge des Jurasüdfusses: Dardagny-Sandstein |
| 15200621 | Napf-Fm.: Konglomerat-dominierte Fazies | Napf-Fm.: Konglomerat-dominierte Fazies |
| 15200622 | Napf-Fm.: Sandstein-Mergelstein-dominierte Fazies | Napf-Fm.: Sandstein-Mergelstein-dominierte Fazies |
| 15200623 | Le-Locle-Fm. | Le-Locle-Fm. |
| 15200624 | Le-Locle-Fm.: Le-Verger Mb. | Le-Locle-Fm.: Le-Verger Mb. |
| 15200625 | Le-Locle-Fm.: Combe-Girard Mb. | Le-Locle-Fm.: Combe-Girard Mb. |
| 15200626 | Crêt-du-Locle-Fm. | Crêt-du-Locle-Fm. |
| 15200627 | Crêt-du-Locle-Fm.: Mergelfazies | Crêt-du-Locle-Fm.: Mergelfazies |
| 15200628 | St.-Gallen-Fm.: Gitzigrabe-Grobsandstein | St.-Gallen-Fm.: Gitzigrabe-Grobsandstein |
| 15200629 | Trois-Rods-Süsswasserkalk | Trois-Rods-Süsswasserkalk |
| 15200630 | Champ-Vuillerat-Süsswasserkalk | Champ-Vuillerat-Süsswasserkalk |
| 15200631 | Napf-Fm.: Wolhusen-Bentonit | Napf-Fm.: Wolhusen-Bentonit |
| 15200632 | OSM-II: Gitzitobel-Süsswasserkalk | OSM-II: Gitzitobel-Süsswasserkalk |
| 15200633 | OSM-II: Wissenbach-Süsswasserkalk | OSM-II: Wissenbach-Süsswasserkalk |
| 15200634 | OSM-II: Altbach-Süsswasserkalk | OSM-II: Altbach-Süsswasserkalk |
| 15200635 | OSM-II: Tröleten-Süsswasserkalk | OSM-II: Tröleten-Süsswasserkalk |
| 15200636 | OSM-II: Tschöplihof-Süsswasserkalk | OSM-II: Tschöplihof-Süsswasserkalk |
| 15200637 | Lienegg-Fm. | Lienegg-Fm. |
| 15200638 | Öligraben-Fm. | Öligraben-Fm. |
| 15200639 | Studweid-Fm. | Studweid-Fm. |
| 15200640 | Rossemaison-Fm. | Rossemaison-Fm. |
| 15200641 | Schwaningen-Merenbach-Rhyolith | Schwaningen-Merenbach-Rhyolith |
| 15200642 | Schwaningen-Weizen-Granit | Schwaningen-Weizen-Granit |
| 15200643 | Etzgen-Granit | Etzgen-Granit |
| 15200645 | USM-I: Kalk-Dolomit-Nagelfluh | USM-I: Kalk-Dolomit-Nagelfluh |
| 15200646 | Hornbüel-Melange | Hornbüel-Melange |
| 15200647 | Kalter-Wangen-Fm. | Kalter-Wangen-Fm. |
| 15200648 | Baltersweil-Nagelfluh | Baltersweil-Nagelfluh |
| 15200649 | Netzbachtal-Nagelfluh | Netzbachtal-Nagelfluh |
| 15200650 | Rocher-des-Hirondelles-Fm. | Rocher-des-Hirondelles-Fm. |
| 15200651 | Rocher-des-Hirondelles-Fm.: Fort-de-l'Ecluse-Mb. | Rocher-des-Hirondelles-Fm.: Fort-de-l'Ecluse-Mb. |
| 15200652 | Gorges-de-l'Orbe-Fm.: Bôle-Mb. | Gorges-de-l'Orbe-Fm.: Bôle-Mb. |
| 15200653 | Gorges-de-l'Orbe-Fm.: Montcherand-Mb. | Gorges-de-l'Orbe-Fm.: Montcherand-Mb. |
| 15200654 | Vuache-Fm.: Calcaire roux s.s. | Vuache-Fm.: Calcaire roux s.s. |
| 15200658 | Schwarzbach-Fm. | Schwarzbach-Fm. |
| 15200659 | Wangen- und Letzi-Mb. | Wangen- und Letzi-Mb. |
| 15200660 | Grand-Essert- bis Narlay-Fm. | Grand-Essert- bis Narlay-Fm. |
| 15200661 | Goldberg- bis Vuache-Fm. | Goldberg- bis Vuache-Fm. |
| 15200662 | Rocher-des-Hirondelles-Fm.: Bellegarde-Bk. | Rocher-des-Hirondelles-Fm.: Bellegarde-Bk. |
| 15200663 | Rocher-des-Hirondelles-Fm.: Serrières-Bk. | Rocher-des-Hirondelles-Fm.: Serrières-Bk. |
| 15200664 | Gorges-de-l'Orbe-Fm.: Morteau-Kalk | Gorges-de-l'Orbe-Fm.: Morteau-Kalk |
| 15200665 | Gorges-de-l'Orbe-Fm.: Montcherand-Mb.: La-Vaux-Bk. | Gorges-de-l'Orbe-Fm.: Montcherand-Mb.: La-Vaux-Bk. |

| GeolCode | Deutsch | Italiano |
|---|---|---|
| 15200666 | Gorges-de-l'Orbe-Fm.: Montcherand-Mb.: Cul-du-Nozon-Bk. | Gorges-de-l'Orbe-Fm.: Montcherand-Mb.: Cul-du-Nozon-Bk. |
| 15200667 | Gorges-de-l'Orbe-Fm.: Montcherand-Mb.: Pont-des-Pierres-Bk. | Gorges-de-l'Orbe-Fm.: Montcherand-Mb.: Pont-des-Pierres-Bk. |
| 15200668 | Grand-Essert-Fm: Hauterive-Mb.: Censeau-Mergel | Grand-Essert-Fm: Hauterive-Mb.: Censeau-Mergel |
| 15200669 | Grand-Essert-Fm: Hauterive-Mb.: Morteau-Mergel | Grand-Essert-Fm: Hauterive-Mb.: Morteau-Mergel |
| 15200670 | Chambotte-Fm.: Guiers-Mb.: Grande-Varappe-Bk. | Chambotte-Fm.: Guiers-Mb.: Grande-Varappe-Bk. |
| 15200671 | Le-Coin-Fm. | Le-Coin-Fm. |
| 15200672 | Bärschwil-, St-Ursanne- und Pichoux-Fm. | Bärschwil-, St-Ursanne- und Pichoux-Fm. |
| 15200673 | Passwang- bis Ifenthal-Fm. | Passwang- bis Ifenthal-Fm. |
| 15200674 | Calcaire à Entroques | Calcaire à Entroques |
| 15200675 | Staffelegg-Fm. und Opalinus-Ton | Staffelegg-Fm. und Opalinus-Ton |
| 15200676 | Schafisheim-Syenit | Schafisheim-Syenit |
| 15200677 | Pfaffnau-Granit | Pfaffnau-Granit |
| 15200678 | Zurzach-Granit | Zurzach-Granit |
| 15200679 | Siblingen-Granit | Siblingen-Granit |
| 15200680 | Lindau-Granit | Lindau-Granit |
| 15200681 | Kreuzlingen-Granit | Kreuzlingen-Granit |
| 15200682 | Schlächtenhaus-Schiefer | Schlächtenhaus-Schiefer |
| 15200683 | Gersbach-Schiefer | Gersbach-Schiefer |
| 15200684 | Herdern-Streifengneis | Herdern-Streifengneis |
| 15200685 | Courgenay- Balsthal- und VilligenFm. | Courgenay- Balsthal- und VilligenFm. |
| 15200686 | Pichoux-Fm.: Korallenfazies | Pichoux-Fm.: Korallenfazies |
| 15200687 | Pichoux-Fm.: Schwammfazies | Pichoux-Fm.: Schwammfazies |
| 15200688 | Kalter-Wangen-Fm.: Konglomerat-dominierte Fazies | Kalter-Wangen-Fm.: Konglomerat-dominierte Fazies |
| 15200689 | Kalter-Wangen-Fm.: Sandstein-Mergelstein-dominierte Fazies | Kalter-Wangen-Fm.: Sandstein-Mergelstein-dominierte Fazies |
| 15200690 | Kalter-Wangen-Fm.: Heilsberg-Bentonit | Kalter-Wangen-Fm.: Heilsberg-Bentonit |
| 15200691 | OSM: Humlikon-Bentonit | OSM: Humlikon-Bentonit |
| 15200692 | OSM und OMM, undifferenziert | OSM und OMM, undifferenziert |
| 15200693 | USM und UMM, undifferenziert | USM und UMM, undifferenziert |
| 15200694 | Reuchenette-Fm.: Oberer Teil | Formazione di Reuchenette: parte superiore |
| 15200695 | Reuchenette-Fm.: Unterer Teil | Formazione di Reuchenette: parte inferiore |
| 15200696 | Ifenthal-Fm.: Oberer Teil | Formazione di Ifenthal: parte superiore |
| 15200697 | Ifenthal-Fm.: Unterer | Formazione di Ifenthal: parte inferiore |
| 15200698 | Hauptmumienbank-Mb. bis Porrentruy-Mb. | Hauptmumienbank-Mb. bis Porrentruy-Mb. |
| 15200699 | Felsenkalk bzw. Massenkalk, undiff. | Felsenkalk bzw. Massenkalk, undiff. |
| 15200700 | Felsenkalk bzw. Massenkalk: gebankter mikritischer Kalk | Felsenkalk bzw. Massenkalk: gebankter mikritischer Kalk |
| 15200701 | Felsenkalk bzw. Massenkalk: Schwammkalk | Felsenkalk bzw. Massenkalk: Schwammkalk |
| 15200702 | Küssaburg- und Wangental-Mb. | Küssaburg- und Wangental-Mb. |

| GeolCode | Deutsch | Italiano |
|---|---|---|
| 15200703 | Molasse à Charbon: Kohlehorizont | Molasse à Charbon: Kohlehorizont |
| 15200704 | Vaulruz-Fm.: Sandige Fazies | Vaulruz-Fm.: Sandige Fazies |
| 15200705 | Vaulruz-Fm.: Mergelige Fazies | Vaulruz-Fm.: Mergelige Fazies |
| 15200706 | Cucloz-Fm.: Marnes gris-souris und Schistes marno-micacés | Cucloz-Fm.: Marnes gris-souris und Schistes marno-micacés |
| 15201001 | Ältere Ablagerungen, undifferenziert | Depositi indifferenziati precedenti l'Ultimo Massimo glaciale |
| 15201002 | Niederterrasse | Niederterrasse |
| 15201003 | Hochterrasse | Hochterrasse |
| 15201004 | Tiefere Deckenschotter | Tiefere Deckenschotter |
| 15201005 | Höhere Deckenschotter | Höhere Deckenschotter |
| 15201006 | Birrfeld-Eiszeit (Letzte Eiszeit) | Periodo glaciale del Birrfeld (Ultimo Periodo glaciale) |
| 15201007 | Last Glacial Maximum (LGM), undiff. | Ultimo Massimo Glaciale (LGM), indifferenziato |
| 15201008 | LGM-Rückzug | fase di ritiro del LGM |
| 15201009 | Birmenstorf-Vergletscherung (2. LGM-Vorstoss) | Glaciation de Birmenstorf |
| 15201010 | Wettingen-Vorstoss | Avancée glaciaire de Wettingen |
| 15201011 | Flüefeld-Schotter | Gravier du Flüefeld |
| 15201012 | Altberg-Till | Till de l'Altberg |
| 15201013 | Birmenstorf-Vorstoss | Avancée glaciaire de Birmenstorf |
| 15201014 | Birr-Schotter | Gravier de Birr |
| 15201015 | Oberhard-Till | Till d'Oberhard |
| 15201016 | Seon-Vorstoss | Avancée glaciaire de Seon |
| 15201017 | Berg-Schotter | Gravier de Berg |
| 15201018 | Fornholz-Till | Till de Fornholz |
| 15201019 | Gontenschwil-Vorstoss | Avancée glaciaire de Gontenschwil |
| 15201020 | Gontenschwil-Till | Till de Gontenschwil |
| 15201021 | Staffelbach-Vorstoss | Avancée glaciaire de Staffelbach |
| 15201022 | Staffelbach-Schotter | Gravier de Staffelbach |
| 15201023 | Staffelbach-Till | Till de Staffelbach |
| 15201024 | Lindmühle-Vergletscherung (1. LGM-Vorstoss) | Glaciation de Lindmühle |
| 15201025 | Otelfingen-Vorstoss | Avancée glaciaire d'Otelfingen |
| 15201026 | Tägerhard-Schotter | Gravier de Tägerhard |
| 15201027 | Lindmühle-Vorstoss | Avancée glaciaire du Lindmühle |
| 15201028 | Ämmert-Schotter | Gravier d'Ämmert |
| 15201029 | Ämmert-Till | Till d'Ämmert |
| 15201030 | Emmet-Vorstoss | Avancée glaciaire d'Emmet |
| 15201031 | Gündelmoos-Lehm | Limon de Gündelmoos |
| 15201032 | Igliste-Schotter | Gravier d'Igliste |
| 15201033 | Niderholz-Till | Till du Niderholz |
| 15201034 | Zetzwil-Vorstoss | Avancée glaciaire de Zetzwil |
| 15201035 | Zetzwil-Till | Till de Zetzwil |
| 15201036 | Kirchleerau-Vorstoss | Avancée glaciaire de Kirchleerau |
| 15201037 | Kirchleerau-Till | Till de Kirchleerau |
| 15201038 | Gossau-Interstadial | Interstade de Gossau |
| 15201039 | Mülligen-Paläoboden | Paléosol de Mülligen |
| 15201040 | Niederweningen-Formation | Formation de Niederweningen |
| 15201041 | Hombrechtikon-Vergletscherung (Frühletzteiszeitliche Vergl.) | Glaciation de Hombrechtikon |
| 15201042 | Mülligen-Schotter | Gravier de Mülligen |

| GeolCode | Deutsch | Italiano |
|---|---|---|
| 15201043 | 2. letzteiszeitlischs Vorstoss | 2ème avancée glaciaire de la Dernière Période glaciaire |
| 15201044 | 1. letzteiszeitlischs Vorstoss | 1ère avancée glaciaire de la Dernière Période glaciaire |
| 15201045 | Klettgau-Schotter | Gravier du Klettgau |
| 15201046 | Obere Klettgauschotter | Gravier supérieur du Klettgau |
| 15201047 | Glazi-lakustrische Serie | Série glaciolacustre (Gravier du Klettgau) |
| 15201048 | Mittlere Klettgauschotter | Gravier moyen du Klettgau |
| 15201049 | Untere Klettgauschotter | Gravier inférieur du Klettgau |
| 15201050 | Gondiswil-Interglazial (Letztes Interglazial) | Interglaciaire de Gondiswil (Dernier Interglaciaire) |
| 15201051 | Flurlingen-Quelltuff | Tuf calcaire de Flurlingen |
| 15201052 | Birrfeld- und Klettgau-Paläoböden | Paléosols du Birrfeld et du Klettgau |
| 15201053 | Beringen-Eiszeit | Période glaciaire de Beringen (Avant-dernière Période glaciaire) |
| 15201054 | Entfelden-Schotter | Gravier d'Entfelden |
| 15201055 | Aarau-Schotter | Gravier d'Aarau |
| 15201056 | Suhr-Schotter | Gravier de Suhr |
| 15201057 | Veltheim-Schotter | Gravier de Veltheim |
| 15201058 | Stüsslingen-Schotter | Gravier de Stüsslingen |
| 15201059 | Langwiesen-Vergletscherung | Glaciation de Langwiesen |
| 15201060 | Langwiesen-Vorstoss | Avancée glaciaire de Langwiesen |
| 15201061 | Schaffhausen-Schotter | Gravier de Schaffhouse |
| 15201062 | Reuenthal-Vorstoss | Avancée glaciaire de Reuenthal |
| 15201063 | Lupfig-Schotter | Gravier de Lupfig |
| 15201064 | Löhningen-Engiwald-Vergletscherung | Glaciation de Löhningen-Engiwald |
| 15201065 | Engiwald-Vorstoss | Avancée glaciaire de l'Engiwald |
| 15201066 | Rüfenach-Vorstoss | Avancée glaciaire de Rüfenach |
| 15201067 | Löhningen-Vorstoss | Avancée glaciaire de Löhningen |
| 15201068 | Remigen-Vorstoss | Avancée glaciaire de Remingen |
| 15201069 | Remigen-Schotter | Gravier de Remingen |
| 15201070 | Meikirch-Interglazial | Interglaciaire de Meikirch |
| 15201071 | Ältere Beckenfüllungen | Anciens remplissages de bassin |
| 15201072 | Hagenholz-Eiszeit | Période glaciaire du Hagenholz |
| 15201073 | Hagenholz-Vergletscherung | Glaciation du Hagenholz |
| 15201074 | Hagenholz-Vorstoss | Avancée glaciaire du Hagenholz |
| 15201075 | Aathal-Schotter | Gravier de l'Aathal |
| 15201076 | Pfyn-Vorstoss | Avancée glaciaire de Pfyn |
| 15201077 | Ittingen-Schotter | Gravier d'Ittingen |
| 15201078 | Ryhirt-Formation | Formation du Ryhirt |
| 15201079 | Geisslingen-Schotter | Gravier de Geisslingen |
| 15201080 | Habsburg-Hagenholz-Interglazial | Interglaciaire Habsburg-Hagenholz |
| 15201081 | Möhlinerfeld-Paläoboden | Paléosol du Möhlinerfeld |
| 15201082 | Habsburg-Eiszeit | Période glaciaire de Habsburg |
| 15201083 | Gränichen-Schotter | Gravier de Gränichen |
| 15201084 | Roggehuse-Schotter | Gravier de Roggehuse |
| 15201085 | Buerfeld-Schotter | Gravier du Buerfeld |
| 15201086 | Habsburg-Vergletscherung | Glaciation de Habsburg |
| 15201087 | Habsburg-Vorstoss | Avancée glaciaire de Habsburg |
| 15201088 | Habsburg-Schotter | Gravier de Habsburg |
| 15201089 | Unterschlatt-Vorstoss | Avancée glaciaire d'Unterschlatt |
| 15201090 | Thalgut-Interglazial | Interglaciaire de Thalgut |
| 15201091 | Möhlin-Eiszeit (Grösste Eiszeit) | Période glaciaire de Möhlin |

| GeolCode | Deutsch | Italiano |
|---|---|---|
| 15201092 | Möhlin-Vergletscherung | Glaciation de Möhlin |
| 15201093 | Möhlin-Vorstoss | Avancée glaciaire de Möhlin |
| 15201094 | Bünten-Till | Till de Bünten |
| 15201095 | Schleitheim-Vorstoss | Avancée glaciaire de Schleitheim |
| 15201096 | Fisibach-Schotter | Gravier de Fisibach |
| 15201097 | Bärengraben-Schotter und -Till | Gravier et Till du Bärengraben |
| 15201098 | Iberig-Schotterkomplex | Gravier de l'Iberig |
| 15201099 | Obere Iberigschotter | Gravier supérieur de l'Iberig |
| 15201100 | Oberer Till | Oberer Till (Iberig) |
| 15201101 | Mittlere Iberigschotter | Gravier moyen de l'Iberig |
| 15201102 | Untere Iberigschotter | Gravier inférieur de l'Iberig |
| 15201103 | Unterer Till | Unterer Till (Iberig) |
| 15201104 | Wolfacher-Schotter und -Till | Gravier et Till de Wolfacher |
| 15201105 | Fornech-Schotter | Gravier de la Fornech |
| 15201106 | Forenirchel-Schotter | Gravier du Forenirchel |
| 15201107 | Steig-Schotter | Gravier du Steig |
| 15201108 | Irchel-Schotterkomplex | Gravier de l'Irchel |
| 15201109 | Obere Irchelschotter | Gravier supérieur de l'Irchel |
| 15201111 | Irchel-Dolomitschotter | Gravier dolomitique de l'Irchel |
| 15201112 | Mittlere Irchelschotter | Gravier moyen de l'Irchel |
| 15201113 | Untere Irchelschotter | Gravier inférieur de l'Irchel |
| 15201114 | Langacher-Schotter | Gravier du Langacher |
| 15201115 | Dürn-Formation | Formation du Dürn |
| 15201116 | Degermoos-Schotter | Gravier de Degermoos |
| 15201117 | Ebnet-Schotter | Gravier de l'Ebnet |
| 15201118 | Wannen-Schotter | Gravier du Wannen(buck) |
| 15201119 | Egghalden-Schotter | Gravier de l'Egghalden |
| 15201120 | Buechen-Formation | Formation de Buechen |
| 15201121 | Feusi-Schotter | Gravier du Feusi |
| 15201122 | Lindenhau-Schotter | Gravier du Lindenhau |
| 15201123 | Egg-Schotter | Gravier de l'Egg |
| 15201124 | Sundgau-Schotter | Gravier du Sundgau |
| 15201125 | Mischschotter | Mischschotter (Sundgau) |
| 15201126 | Weisse Serie | Weisse Serie (Sundgau) |
| 15201129 | Zürich-Stein-Bremgarten-Stadien | stade glaciaire de Zürich-Stein-Bremgarten |
| 15201130 | Untere Singen-Terrasse | terrasse inférieure de Singen |
| 15201131 | Schlieren-Diessenhofen-Stetten-Stadien | stade de Schlieren-Diessenhofen-Stetten |
| 15201132 | Obere Singen-Terrasse | terrasse supérieure de Singen |
| 15201133 | Rheinau-Terrasse | terrasse de Rheinau |
| 15201134 | Nohl-Terrasse | terrasse de Nohl |
| 15201135 | Altenburg-Fulach-Terrasse | terrasse d'Altenburg-Fulach |
| 15201136 | Aare-Schotter | Gravier de l'Aar |
| 15201137 | Schüss-Schotter | Gravier de la Suze |
| 15201138 | Orvin-Schotter | Gravier d'Orvin |
| 15201139 | Seeablagerungen von Frinvillier und Rondchâtel | Dépôts lacustres de Frinvillier et Rondchâtel |
| 15201140 | Stauschotter von Diessbach | Gravier de retenue de Diessbach |
| 15201141 | Mély-Formation | Formation de Mély |
| 15201142 | Kiessande von Madretsch | Sable à gravier de Madretsch |
| 15201143 | Seeland-Schotter | Gravier du Seeland |
| 15201144 | Emme-Schotter | Gravier de l'Emme |
| 15201145 | Gäu-Schotter | Gravier du Gäu |

| GeolCode | Deutsch | Italiano |
|---|---|---|
| 15201146 | Flumenthal-Lehm | Limon du Flumenthal |
| 15201147 | Killwangen-Schaffhausen-Mellingen-Stadium | stade de Killwangen-Schaffhouse-Mellingen |
| 15201148 | Munot-Terrasse | terrasse du Munot |
| 15201149 | Stokar-Terrasse | terrasse de Stokar |
| 15201150 | Breite-Terrasse | terrasse de la Breite |
| 15201151 | Maximalstand (Kilwangen-Schaffhausen-Stadium) | stade maximal (Kilwangen-Schaffhouse) |
| 15201152 | Wehntal-Schotter | Gravier du Wehntal |
| 15201153 | Bick-Till | Till du Bick(acher) |
| 15201154 | Flüe-Till | Till de Flüe |
| 15201155 | Wettingen-Schotter | Gravier de Wettingen |
| 15201156 | Bersturzmasse von Selzach | Dépôt d'écroulement de Selzach |
| 15201157 | Plateauschotter | Plateauschotter |
| 15201158 | La-Côte-Schotter | Alluvions de la Côte |
| 15201159 | Enge-Schotter | Gravier de l'Enge |
| 15201160 | Attiswil-Schotter | Gravier d'Attiswil |
| 15201161 | Lommiswil-Schotter | Gravier de Lommiswil |
| 15201162 | Oensingen-Moos-Lehm | Limon d'Oensingen-Moos |
| 15201163 | Berken-Schotter | Gravier de Berken |
| 15201164 | Berken-Sand | Sable de Berken |
| 15201165 | Schwarzhäusern-Lehm | Limon de Schwarzhäusern |
| 15201166 | Käppelihof-Schotter | Gravier du Käppelihof |
| 15201167 | Aarburg-Schotter | Gravier d'Aarburg |
| 15201168 | Tuileries-Formation | Formation des Tuileries |
| 15201169 | Grandson-Formation | Formation de Grandson |
| 15201170 | Poissine-Formation | Formation de la Poissine |
| 15201171 | Surbtal-Lehm | Limon du Surbtal |
| 15201172 | Surbtal-Till | Till du Surbtal |
| 15201173 | Surbtal-Schotter | Gravier du Surbtal |
| 15201174 | Fislisbach-Schotter | Gravier de Fislisbach |
| 15201175 | Reusstal-Sand | Sable du Reusstal |
| 15201176 | Reusstal-Lehm | Limon du Reusstal |
| 15201177 | Hausen-Lehm | Limon de Hausen |
| 15201178 | Hausen-Moräne | Till de Hausen |
| 15201179 | Ruckfeld-Schotter | Gravier du Ruckfeld |
| 15201180 | Endingen-Schotter | Gravier d'Endingen |
| 15201181 | Rhein- und Aareschotter | Gravier du Rhin et de l'Aar |
| 15201182 | Juraschotter | Juraschotter |
| 15201183 | Alte Doubsschotter | Gravier ancien du Doubs |
| 15201184 | Wutach-Schotter | Gravier de la Wutach |
| 15201185 | Merenbach-Schotter | Gravier du Merenbach |
| 15201186 | Malmkalk-Schotter der Randen-Täler | Malmkalk-Schotter (vallée du Randen) |
| 15201187 | Solothurn-Stadium | stade de Soleure |
| 15201188 | Münsingen-Schotterkomplex | Complexe graveleux de Münsingen |
| 15201189 | Alterswil-Schotter | Gravier d'Alterswil |
| 15201190 | Karlsruhe-Schotter | Gravier de Karlsruhe |
| 15201191 | Chisetal-Schotter | Gravier du Chisetal |
| 15201192 | Grauholz-Schotter | Gravier du Grauholz |
| 15201193 | Trachslau-Schotter | Gravier de Trachslau |
| 15201194 | Bennau-Schotter | Gravier de Bennau |
| 15201195 | Hütten-Schotter | Gravier de Hütten |
| 15201196 | Schnabelsberg-Stauchotter | Gravier de Schnabelsberg |
| 15201197 | Einsiedeln-Lehm | Limon d'Einsiedeln |

| GeolCode | Deutsch | Italiano |
|---|---|---|
| 15201198 | Willisau-Schotter | Gravier de Willisau |
| 15201199 | Wolhusen-Schotter | Gravier de Wolhusen |
| 15201200 | Wiggen-Schotter | Gravier de la Wigger |
| 15201201 | Menzingen-Schotter | Gravier de Menzingen |
| 15201202 | La-Tuffière-Schotter | Gravier de la Tuffière |
| 15201203 | Gontenschwil-Lehm | Limon de Gontenschwil |
| 15201204 | Mooslerau-Lehm | Limon du Mooslerau |
| 15201205 | Triengen-Schotter | Gravier de Triengen |
| 15201206 | Triengen-Lehm | Limon de Triengen |
| 15201207 | Sihl-Schotter | Gravier de la Sihl |
| 15201208 | Haselbach-Schotter | Gravier du Haselbach |
| 15201209 | Jonen-Schotter | Gravier de Jonen |
| 15201210 | Aabach-Schotter | Gravier de l'Aabach |
| 15201211 | Starrberg-Schotter | Gravier de Starrberg |
| 15201212 | Port-Stauschotter | Gravier de Port |
| 15201213 | Rempen-Stauschotter | Gravier de Rempen |
| 15201214 | Dagmersellen-Vorstoss | Avancée glaciaire de Dagmersellen |
| 15201215 | Oftringen-Schotter | Gravier d'Oftringen |
| 15201216 | Zelg-Schotter | Gravier de Zelg |
| 15201217 | Forst-Schotter | Gravier du Forst |
| 15201218 | Raintal-Deltaschotter | Gravier du Raintal |
| 15201219 | Kleinhöchstetten-Kies-Sand-Komplex | Complexe sablo-graveleux de Kleinhöchstetten |
| 15201220 | Krauchthal-Schotter | Gravier du Krauchthal |
| 15201221 | Brandflue-Schotter | Gravier de la Brandflue |
| 15201222 | Küsnacht-Schotter | Gravier de Küsnacht |
| 15201223 | Chatzenstrick-Schotter | Gravier du Chatzenstrick |
| 15201224 | Rabennest-Schotter | Gravier du Rabennest |
| 15201225 | Ratengütsch-Schotter | Gravier du Ratengütsch |
| 15201226 | Scherenspitz-Schotter | Gravier du Scherenspitz |
| 15201227 | Walsenhaus-Schotter | Gravier de Walsenhaus |
| 15201228 | Richterswil-Seeton | Argile lacustre de Richterswil |
| 15201229 | Schwanden-Schotter | Gravier de Schwanden |
| 15201230 | Reidbach-Schotter | Gravier du Reidbach |
| 15201231 | Zell-Schotterkomplex | Gravier de Zell |
| 15201232 | Gubel-Schotter | Gravier de Gubel |
| 15201233 | Chälen-Schotter | Gravier de Chälen |
| 15201234 | Chälen-Till | Till de Chälen |
| 15201235 | Sihlsprung-Schotter | Gravier du Sihlsprung |
| 15201236 | Kollbrunn-Schotter | Gravier de Kollbrunn |
| 15201237 | Walenberg-Schotter | Gravier de Walenberg |
| 15201238 | Ritteren-Schotterkomplex | Complexe graveleux de Ritteren |
| 15201239 | Vorholz-Schotter | Gravier du Vorholz |
| 15201240 | Gutsch-Schotter | Gravier du Gutsch |
| 15201241 | Junkerenwald-Schotter | Gravier du Junkerenwald |
| 15201242 | Chräjeloch-Schotter | Gravier du Chräjeloch |
| 15201243 | Butteberg-Schotter | Gravier du Butteberg |
| 15201244 | Höchi-Schotter | Gravier du Höchi |
| 15201245 | Heitere-Schotter | Gravier deHeitere |
| 15201246 | Holziken-Schotter | Gravier de Holziken |
| 15201247 | Ruedertal-Schotter | Gravier du Ruedertal |
| 15201248 | Bänkel-Schotter | Gravier de Bänkel |
| 15201249 | Quartär, undifferenziert | Quaternaire, indifférencié |
| 15201250 | Deckenschotter, undifferenziert | Deckenschotter, indifférencié |

| GeolCode | Deutsch | Italiano |
|---|---|---|
| 15201251 | Girenbad-Schotter | Gravier du Girenbad |
| 15201252 | Sagenbach-Schotter | Gravbier du Sagenbach |
| 15201253 | Schrotzburg-Schotter | Gravier de la Schrotzburg |
| 15201254 | Schrotzburg-Till | Till de la Schrotzburg |
| 15201255 | Bohlingen-Schotter | Gravier de Bohlingen |
| 15201256 | Bannholz-Schotter | Gravier du Bannholz |
| 15201257 | Hungerbol-Schotter | Gravier d'Hungerbol |
| 15201258 | Chilchstapfen-Schotter | Gravier de la Chilchstapfen |
| 15201259 | Ofenloch-Karstfüllung | 15201259 |
| 15201260 | Wurmsbach-Deltaablagerungen | 15201260 |
| 15201261 | Oeschinensee-Bergsturzablagerungen | 15201261 |
| 15201262 | Fisistock-Bergsturzablagerungen | 15201262 |
| 15201263 | Bire-Bergsturzablagerungen | 15201263 |
| 15201264 | Hasle-Schotter | 15201264 |
| 15201265 | Fankhusgrabe-Schotter | 15201265 |
| 15201266 | Rossgaden-Schotter | 15201266 |
| 15201267 | Grundtal-Schotter | 15201267 |
| 15201268 | Murg-Schieferkohle | 15201268 |
| 15201269 | Oberricken-Schotter | 15201269 |
| 15201270 | Haslentobel-Schotter | 15201270 |
| 15201271 | Aatal-Seebodenlehm | 15201271 |
| 15201272 | Eschenbach-Formation | 15201272 |
| 15201273 | Oberkirch-Seebodenlehm | 15201273 |
| 15201274 | Günterstall-Schotter | 15201274 |
| 15201275 | Gublen-Schotter | 15201275 |
| 15201276 | Unter-Buechwald-Schotter | 15201276 |
| 15201277 | Regelstein-Till | 15201277 |
| 15201278 | Halden-Seeablagerungen | 15201278 |
| 15201279 | Schafbüel-Formation | 15201279 |
| 15201280 | Unteres-Huttenbüel-Schotter | 15201280 |
| 15201281 | Winden-Schieferkohle | 15201281 |
| 15201282 | Tiefenwinkel-Seebodensedimente | 15201282 |
| 15201283 | Uznach-Schieferkohle | 15201283 |
| 15201284 | Embrach-Seeablagerungen | 15201284 |
| 15201286 | Bergsturzablagerungen von Sierre | dépôt d'écroulement de Sierre |
| 15201287 | Bergsturzablagerungen von Chiètres | dépôt d'écroulement de Chiètres |
| 15201288 | Bergsturzablagerungen von Chessel-Noville | dépôt d'écroulement de Chessel-Noville |
| 15201289 | Bergsturzablagerungen von Novalles-Vugelles | dépôt d'écroulement de Novalles-Vugelles |
| 15201290 | Bergsturzablagerungen von Gwelber-Laui-Weid | dépôt d'écroulement de Gwelber-Laui-Weid |
| 15201291 | Bergsturzablagerungen von Castasegna | dépôt d'écroulement de Castasegna |
| 15201292 | Bergsturzablagerungen von Sogno | dépôt d'écroulement de Sogno |
| 15201293 | Bergsturzablagerungen von Prapan | dépôt d'écroulement de Prapan |
| 15201294 | Bergsturzablagerungen von Schaingels | dépôt d'écroulement de Schaingels |
| 15201295 | Bergsturzablagerungen von Mutta | dépôt d'écroulement de Mutta |
| 15201296 | Bergsturzablagerungen von Brienz | dépôt d'écroulement de Brienz |
| 15201297 | Bergsturzablagerungen von Flims | dépôt d'écroulement de Flims |
| 15201298 | Bergsturzablagerungen von Brüsis | dépôt d'écroulement de Brüsis |
| 15201299 | Bergsturzablagerungen vom Chapf | dépôt d'écroulement de Chapf |

| GeolCode | Deutsch | Italiano |
|---|---|---|
| 15201300 | Bergsturzablagerungen von Derborence | 15201300 |
| 15201301 | Bergsturzablagerungen vom Drussetschawald | dépôt d'écroulement du Drussetschawald |
| 15201302 | Bergsturzablagerungen vom Delenwald | dépôt d'écroulement du Delenwald |
| 15201303 | Bergsturzablagerungen von Elm | dépôt d'écroulement d'Elm |
| 15201304 | Bergsturzablagerungen von Goldau | dépôt d'écroulement de Goldau |
| 15201305 | Bergsturzablagerungen von Iragell | dépôt d'écroulement d'Iragell |
| 15201306 | Bergsturzablagerungen vom Kernwald | dépôt d'écroulement du Kernwald |
| 15201307 | Bergsturzablagerungen von Triesenberg | dépôt d'écroulement de Triesenberg |
| 15201308 | Bonaduz-Formation | Formation de Bonaduz |
| 15201309 | Bonfol-Ton | Argile de Bonfol |
| 15201310 | Bergsturzablagerungen von Tamins | dépôt d'écroulement de Tamins |
| 15201311 | Informell benannte Bergsturzablagerungen | dépôts d'écroulement nommés informellement |
| 15201312 | Informell benannte künstliche Ablagerungen | dépôts artificiels nommés informellement |
| 15201313 | Künstliche Ablagerungen des Bahnhofs Brig | dépôts artificiels de la gare de Brigue |
| 15201314 | Künstliche Ablagerungen Golar | dépôts artificiels Golar |
| 15201315 | Künstliche Ablagerungen der Gamsenried-Deponie | dépôts artificiels de la décharge de la Lonza |
| 15201316 | Künstliche Ablagerungen des Riedertals | dépôts artificiels du Riedertal |
| 15201317 | Informell benannte Sackungsmassen | masses tassées nommées informellement |
| 15201318 | Sackungsmasse des Heinzenbergs | masse tassée du Heinzenberg |
| 15201319 | Informell benannte fluviatile Schotter | graviers fluviatiles nommés informellement |
| 15201320 | Schotter und Sand der Rhône | graviers et sables du Rhône |
| 15201321 | Schotter und Sand der Vispa | graviers et sables de la Viège |
| 15201322 | Informell benannter Bachschutt | dépôts torrentiels nommés informellement |
| 15201323 | Bachschutt des Baltschiederbachs | dépôts torrentiels du Baltschiedertal |
| 15201324 | Bachschutt des Bietschbachs | dépôts torrentiels du Bietschbach |
| 15201325 | Bachschutt des Chelchbachs | dépôts torrentiels du Chelchbach |
| 15201326 | Bachschutt der Gamsa | dépôts torrentiels de la Gamsa |
| 15201327 | Bachschutt des Jolibachs | dépôts torrentiels du Jolibach |
| 15201328 | Bachschutt der Lonza | dépôts torrentiels de la Lonza |
| 15201329 | Bachschutt der Saltina | dépôts torrentiels de la Saltina |
| 15201330 | Bachschutt der Vispa | dépôts torrentiels de la Viège |
| 15201331 | Bachschutt der Gürbe | dépôts torrentiels de la Gürbe |
| 15201332 | Bachschutt des Lombachs | dépôts torrentiels du Lombach |
| 15201333 | Pliozäne Ablagerungen | dépôts pliocènes |
| 15201334 | Stockesee-Sediment | Sédiments du Stockesee |
| 15201335 | Strätligen-Till | Till de Strätligen |
| 15201336 | Bärenholz-Till | Till du Bärenholz |
| 15201337 | Wässerifluh-Formation | Formation de la Wässerlifluh |
| 15201338 | Schlyffi-Till | Till de la Schlyffi |
| 15201339 | Brüggstutz-Schotter | Gravier du Brüggstutz |
| 15201340 | Guntelsei-Till | Till de la Guntelsei |
| 15201341 | Guntelsei-Schotter | Gravier de la Guntelsei |

| GeolCode | Deutsch | Italiano |
|---|---|---|
| 15201342 | Steghalden-Schotter | Gravier de la Steghalden |
| 15201343 | Glütschtal-Formation | Formation du Glütschtal |
| 15201344 | Hahni-Schotter | Gravier de Hahni |
| 15201444 | Löss, undifferenziert | Loess, indifférencié |
| 15201458 | Ceppo | Ceppo |
| 15201459 | Novazzano-Sand | Sable de Novazzano |
| 15201460 | Bergsturzablagerungen vom Stützwald | dépôt d'écroulement du Stützwald |
| 15201462 | Birkenhof-Formation | Formation du Birkenhof |
| 15201463 | Zeiningen-Till | 15201463 |
| 15201464 | Höhenschotter | 15201464 |
| 15201465 | Böschmatt-Schotter | 15201465 |
| 15201466 | Bramegg-Schotter | 15201466 |
| 15201467 | Kaltenegg-Schotter | 15201467 |
| 15201468 | Steinhuserberg-Schotter | 15201468 |
| 15201469 | Büelm-Schotter | 15201469 |
| 15201470 | Büel-Schotter | 15201470 |
| 15201471 | Bünten-Schotter | Gravier de Bünten |
| 15201472 | Durnagel-Schotter | 15201472 |
| 15201473 | Dürrenroth-Schotter | 15201473 |
| 15201474 | Egghüsli-Schotter | 15201474 |
| 15201475 | Emmental-Schotter | 15201475 |
| 15201476 | Ergolztal-Schotter | Gravier de l'Ergolztal |
| 15201477 | Gammenthal-Schotter | 15201477 |
| 15201478 | Gondiswil-Formation | 15201478 |
| 15201479 | Hasewald-Schotter | 15201479 |
| 15201480 | Hirzmatt-Schotter | 15201480 |
| 15201481 | Mettlen-Schotter | 15201481 |
| 15201482 | Möhlinerfeld-Schotter | Gravier du Möhlinerfeld |
| 15201483 | Muttenfeld-Schotter | 15201483 |
| 15201484 | Nidfurn-Schotter | Gravier de Nidfurn |
| 15201485 | Oberhöhe-Grundmoräne | 15201485 |
| 15201486 | Obermoos-Schotter | 15201486 |
| 15201487 | Öflingen-Schotter | Gravier d'Öflingen |
| 15201488 | Rottal-Schotter | 15201488 |
| 15201489 | Rüdelwald-Schotter | 15201489 |
| 15201490 | Rufswil-Schotter | 15201490 |
| 15201491 | Rütimatt-Schotter | 15201491 |
| 15201492 | Schwanderholzwald-Schotter | 15201492 |
| 15201493 | Schwande-Seebodensedimente | 15201493 |
| 15201494 | Soppensee-Seebodensedimente | 15201494 |
| 15201495 | Speicherboden-Lokalmoräne | 15201495 |
| 15201496 | terrasse lémanique de 10 m | terrasse lémanique de 10 m |
| 15201497 | terrasse lémanique de 3 m | terrasse lémanique de 3 m |
| 15201498 | Untere Zeller Schotter | 15201498 |
| 15201499 | Untergrabehüsli-Schotter | 15201499 |
| 15201500 | Untertreie-Schotter | 15201500 |
| 15201501 | Wallbach-Schotter | Gravier de Wallbach |
| 15201502 | Werthenstein-Schotter | 15201502 |
| 15201503 | Willburg-Formation | Gravier de la Willburg |
| 15201504 | Wilzigen-Seebodensedimente | 15201504 |
| 15201505 | Reuss-Schotterkomplex | 15201505 |
| 15201506 | Hagnau-Niveau | 15201506 |
| 15201507 | Reusstal-Seebodensediment | 15201507 |

| GeolCode | Deutsch | Italiano |
|---|---|---|
| 15201508 | Wyna-Schotter | 15201508 |
| 15201509 | Rickenbach-Schotter | 15201509 |
| 15201510 | Ermensee-Schotter | 15201510 |
| 15201511 | Mooretal-Schotter | 15201511 |
| 15201512 | Ämmet-Schotter | 15201512 |
| 15201513 | Homberg-Till | 15201513 |
| 15201514 | Lindenberg-Till | 15201514 |
| 15201515 | Heubeerihübel-Schotter | 15201515 |
| 15201516 | Ritzhans-Schotter | 15201516 |
| 15201517 | Unterdorf-Schotter | 15201517 |
| 15201518 | Schönegg-Formation | 15201518 |
| 15201519 | Säckingen-Schotter | 15201519 |
| 15201520 | Bruderhäusle-Schotter | 15201520 |
| 15201521 | Mumpf-Schotter | 15201521 |
| 15201522 | Riedmatt-Schotter | 15201522 |
| 15201523 | Beuggen-Schotter | 15201523 |
| 15201524 | Feldhof-Schotter | 15201524 |
| 15201525 | Spärgacher-Schotter | 15201525 |
| 15201526 | Wagenmoos-Till | Till du Wagenmoos |
| 15201527 | Niderstalden-Schotter | Gravier de Niderstalden |
| 15201528 | Zulgtal-Schotter | Gravier du Zulgtal |
| 15201529 | Spiez-Schotter | Gravier de Spiez |
| 15201530 | Hahni-Till | Till de Hahni |
| 15201531 | Bergsturzablagerung von Ralligen (im Thunersee) | Dépôt d'écroulement de Ralligen (dans le lac de Thoune) |
| 15201532 | Bergsturzablagerung von Bargis | dépôt d'éboulement de Bargis |
| 15201533 | Bergsturzablagerung von Fidaz | dépôt d'éboulement de Fidaz |
| 15201534 | Niederterrassenschotter, tiefere Niveaus | Niederterrasse, niveaux graveleux inférieurs |
| 15201535 | Niederterrassenschotter, zweitoberste Terrasse | Niederterrasse, deuxième niveau graveleux le plus élevé |
| 15201536 | Niederterrassenschotter, oberste Terrasse | Niederterrasse, premier niveau graveleux le plus élevé |
| 15201537 | Tiefere Deckenschotter, unteres Niveau | Tiefere Deckenschotter, niveau inférieur |
| 15201538 | Tiefere Deckenschotter, oberes Niveau | Tiefere Deckenschotter, niveau supérieur |
| 15201539 | Kunkels-Formation | Formation de Kunkels |
| 15201540 | Alluvion von Ransun | Alluvion de Ransun |
| 15201541 | Rüdlingen-Till | Till de Rüdlingen |
| 15201542 | Niklaushalden-Formation | Formation de Niklaushalden |
| 15201543 | Stadel-Till | Till de Stadel |
| 15201544 | Volken-Lehm | Limon de Volken |
| 15201545 | Rheinau-Till | Till de Rheinau |
| 15201546 | Ellikerholz-Formation | Formation de l'Ellikerholz |
| 15201547 | Eggholz-Formation | Formation de l'Eggholz |
| 15201548 | Bannhalden-Schotter | Gravier de Bannhalden |
| 15201549 | Weiach-Schotter | Gravier de Weiach |
| 15201550 | Balm-Schotter | Gravier de Balm |
| 15201551 | Windlach-Till | Till de Windlach |
| 15201552 | Südranden-Till | Till du Südranden |
| 15201553 | Schlossbuck-Schotter | Gravier de Schlossbuck |
| 15201554 | Risibüel-Schotter | Gravier de Risibüel |

| GeolCode | Deutsch | Italiano |
|---|---|---|
| 15201555 | Schmerlet- und Toktri-Formation, undifferenziert | Formations de Schmerlet et Toktri, indifférenciées |
| 15201556 | Saxegrabe-Schotter | Gravier du Saxegrabe |
| 15201557 | Zweidlen-Schotter | Gravier de Zweidlen |
| 15201558 | Burgacher-Schotter | Gravier de Burgacher |
| 15201559 | Chatzenstig-Schotter | Gravier du Chatzenstig |
| 15201560 | Wasterkingen-Schotter | Gravier de Wasterkingen |
| 15201561 | Paradiesgärtli-Schotter | Gravier du Paradiesgärtli |
| 15201562 | Tubeschwanz-Schotter | Gravier de Tubeschwanz |
| 15201563 | Weisweil-Schotter | Gravier de Weisweil |
| 15201564 | Hasli-Formation | Formation de Hasli |
| 15201565 | Stetten-Schotter | Gravier de Stetten |
| 15201566 | Plaffeien-Seetone | Argile lacustre de Planfayon |
| 15201567 | Plasselb-Stauschotter | Graviers de Plasselb |
| 15201568 | Uetliberg-Lehm | Limon de l'Uetliberg |
| 15201569 | Schotter der Thur | Gravier de la Thur |
| 15201570 | Schwarzwald-Schotter | Gravier du Schwarzwald |
| 15201571 | Neuenburg-Formation | Formation de Neuenburg |
| 15201572 | Hartheim-Member | Membre d'Hartheim |
| 15201573 | Nambsheim-Member | Membre de Nambsheim |
| 15201574 | Breisgau-Formation | Formation de Breisgau |
| 15201575 | Balgau-Member | Membre de Balgau |
| 15201576 | Weinstetten-Member | Membre de Weinstetten |
| 15201577 | Iffezheim-Formation | Formation d'Iffezheim |
| 15201578 | Mannheim-Formation | Formation de Mannheim |
| 15201579 | Etzgen-Formation | Formation d'Etzgen |
| 15201580 | Niederuster-Schotter | Gravier de Niederuster |
| 15201581 | Pfungen-Formation | Formation de Pfungen |
| 15201582 | Dättlikon-Stadium | Stade de Dättlikon |
| 15201583 | Dübendorf-Stadium | Stade de Dübendorf |
| 15201584 | Gfenn-Stadium | Stade de Gfenn |
| 15201585 | Regensdorf-Stadium | Stade de Regensdorf |
| 15201586 | Seeb-Stadium | Stade de Seeb |
| 15201587 | Würenlos-Stadium | Stade de Würenlos |
| 15201588 | Würenlos-Stand-I | Stationnement de Würenlos I |
| 15201589 | Würenlos-Stand-II | Stationnement de Würenlos II |
| 15201590 | Bülach-Stadium | Stade de Bülach |
| 15201591 | Bülach-Stand-I | Stationnement de Bülach I |
| 15201592 | Bülach-Stand-II | Stationnement de Bülach II |
| 15201593 | Stein-am-Rhein-Stadium | Stade de Stein am Rhein |
| 15201594 | Stein-am-Rhein-Stand-I | Stationnement de Stein am Rhein I |
| 15201595 | Stein-am-Rhein-Stand-II | Stationnement de Stein am Rhein II |
| 15201596 | Stein-am-Rhein-Stand-III | Stationnement de Stein am Rhein III |
| 15201597 | Zürich-Stadium | Stade de Zurich |
| 15201598 | Zürich-Stand-I | Stationnement de Zurich I |
| 15201599 | Zürich-Stand-II | Stationnement de Zurich II |
| 15201600 | Bremgarten-Stadium | Stade de Bremgarten |
| 15201601 | Bremgarten-I | Stationnement de Bremgarten I |
| 15201602 | Bremgarten-II | Stationnement de Bremgarten II |
| 15201603 | Singen-Stadium | Stade de Singen |
| 15201604 | Feuerthalen-Stadium | Stade de Feuerthalen |
| 15201605 | Feuerthalen-Stand-I | Stationnement de Feuerthalen I |
| 15201606 | Feuerthalen-Stand-II | Stationnement de Feuerthalen II |
| 15201607 | Schlieren-Stadium | Stade de Schlieren |

| GeolCode | Deutsch | Italiano |
|---|---|---|
| 15201608 | Bäretswil-Seeablagerung | Dépôt lacustre de Bäretswil |
| 15201609 | Hittnau-Seeablagerung | Dépôt lacustre de Hittnau |
| 15201610 | Russikon-Seeablagerung | Dépôt lacustre de Russikon |
| 15201611 | Stetten-Stadium | Stade de Stetten |
| 15201612 | Stetten-Stand-I | Stationnement de Stetten I |
| 15201613 | Stetten-Stand-II | Stationnement de Stetten II |
| 15201614 | Diessenhofen-Stadium | Stade de Diessenhofen |
| 15201615 | Mellingen-Stand | Stande de Mellingen |
| 15201616 | Schaffhausen-Stadium | Stade de Schaffhouse |
| 15201617 | Schaffhausen-Stand-I | Stationnement de Schaffhouse I |
| 15201618 | Schaffhausen-Stand-II | Stationnement de Schaffhouse II |
| 15201619 | Killwangen-Stadium | Stade de Killwangen |
| 15201620 | Lottstetten-, Kohlschwärze- und Zelgli-Vorstoss | Avancée de Lottstetten, Kohlschwärze et Zelgli |
| 15201621 | Grafschaft-Schotter | Gravier de Grafschaft |
| 15201622 | ”Mittelterrasse” | «Mittelterrasse» |
| 15201623 | Hochterrasse, unteres Niveau | Hochterrasse, niveau inférieur |
| 15201624 | Hochterrasse, mittleres Niveau | Hochterrasse, niveau moyen |
| 15201625 | Hochterrasse, oberes Niveau | Hochterrasse, niveau supérieur |
| 15201626 | First-Schotter | Gravier de First |
| 15201627 | Helltobel-Schotter | Gravier de l'Helltobel |
| 15201628 | Lettenberg-Seesedimente | Sédiments lacustres du Lettenberg |
| 15201629 | Zurzach-Formation | Formation de Zurzach |
| 15201630 | Ursplen-Till | Till d'Ursplen |
| 15201631 | Äntschberg-Schotter | Gravier de l'Äntschberg |
| 15201632 | Oberrüti-Schotter | Gravier d'Oberrüti |
| 15201633 | Neerach-Schotter | Gravier de Neerach |
| 15201634 | Bachs-Schotter | Gravier de Bachs |
| 15201635 | Steighalden-Schotter | Gravier de Steighalden |
| 15201636 | Mühlbach-Formation | Formation du Mühlbach |
| 15201637 | Chilchberg-Schotter | Gravier du Chilchberg |
| 15201638 | Frenkendorf-Schotter | Gravier de Frenkendorf |
| 15201639 | Birstal-Schotter | Gravier du Birstal |
| 15201640 | Schlatt-Formation | Formation de Schlatt |
| 15201641 | Illmensee-Formation | Formation d'Illmensee |
| 15201642 | Dietmanns-Formation | Formation de Dietmanns |
| 15201643 | Hasenweiler-Formation | Formation d'Hasenweiler |
| 15201644 | Haseltal-Formation | Formation de l'Hasletal |
| 15201645 | Birndorf-, Laufenburg- und Zeiningen-Vorstoss | Avancée de Birndorf, Laufenburg et Zeiningen |
| 15201646 | Chäppeli-Schotter | Gravier de Chäppeli |
| 15201647 | Leuggern-Schotter | Gravier de Leuggern |
| 15201648 | Zelgli-Schotter | Gravier de Zelgli |
| 15201649 | Leibstadt-Schotter | Gravier de Leibstadt |
| 15201650 | Dogern-Schotter | Gravier de Dogern |
| 15201651 | Haldenacher-Schotter | Gravier d'Haldenacher |
| 15201652 | Allmendwald-Schotter | Gravier de l'Allmendwald |
| 15201653 | Lei-Schotter | Gravier de Lei |
| 15201654 | Obersäckingen-Schotter | Gravier d'Obersäckingen |
| 15201655 | Schulerholz-Formation | Formation du Schulerholz |
| 15201656 | Schachen-Formation | Formation de Schachen |
| 15201657 | Schmerlet-Formation | Formation de Schmerlet |
| 15201658 | Toktri-Formation | Formation de Toktri |
| 15201659 | Buchholz-Till | Till du Buchholz |

| GeolCode | Deutsch | Italiano |
|---|---|---|
| 15201660 | Birndorf-Till | Till de Birndorf |
| 15201661 | Geissäcker-Schotter | Gravier de Geissäcker |
| 15201662 | Bürgerwald-Schotter | Gravier du Bürgerwald |
| 15201663 | Hettenschwil-Schotter | Gravier d'Hettenschwil |
| 15201664 | Moos-Schotter | Gravier de Moos |
| 15201665 | Schlüsselgraben-Schotter | Gravier du Schlüsselgrabe(n) |
| 15201666 | Hundsbel-Schotter | Gravier de Hundsbel |
| 15201667 | Laufenburg-Schotter | Gravier de Laufenburg |
| 15201668 | Eilez-Schotter | Gravier d'Eilez |
| 15201669 | St.-Margarethen-Schotter | Gravier de St.-Margarethen |
| 15201670 | Hegenheim-Schotter | Gravier d'Hegenheim |
| 15201671 | Blotzheim-Schotter | Gravier de Blotzheim |
| 15201672 | Hardwald-Schotter | Gravier du Hardwald |
| 15201673 | Homberg-Schotter | Gravier du Homberg |
| 15201674 | Rümlang-Schotter | Gravier de Rümlang |
| 15201675 | Äpelöö-Schotter | Gravier d'Äpelöö |
| 15201676 | Fehrental-Schotter | Gravier du Fehrental |
| 15201677 | Challeren-Schotter | Gravier de Challeren |
| 15201678 | Ausserberg-Schotter | Gravier d'Ausserberg |
| 15201679 | Leibstadt-Till | Till de Leibstadt |
| 15201680 | Buechli-Schotter | Gravier de Buechli |
| 15201681 | Bächemoos-Schotter | Gravier du Bächemoos |
| 15201682 | Aarberg-Schotter | Gravierd'Aarberg |
| 15201683 | Tannboden-Schotter | Gravier de Tannboden |
| 15201684 | Etzwil-Schotter | Gravier d'Etzwil |
| 15201685 | Ellenbühl-Schotter | Gravier d'Ellenbühl |
| 15201686 | Kegelplatz-Schotter | Gravier de Kegelplatz |
| 15201687 | Einschlag-Schotter | Gravier d'Einschlag |
| 15201688 | Lehacker-Schotter | Gravier de Lehacker |
| 15201689 | Letten-Schotter | Gravier deLetten |
| 15201690 | Schwörstadt-Schotter | Gravier de Schwörstadt |
| 15201691 | Steppberg-Schotter | Gravier du Steppberg |
| 15201692 | Bloseberg-Schotter | Gravier du Bloseberg |
| 15201693 | Steinebol-Schotter | Gravier de Steinebol |
| 15201694 | Giebenach-Schotter | Gravier de Giebenach |
| 15201695 | Blözen-Schotter | Gravier de Blözen |
| 15201696 | Rütihard-Schotter | Gravier de Rütihard |
| 15201697 | Bruederholz-Schotter | Gravier du Bruederholz |
| 15201698 | Binningen-Schotter | Gravier de Binninigen |
| 15201699 | Allschwil-Schotter | Gravier d'Allschwil |
| 15201700 | Buschwiller-Schotter | Gravier de Buschwiller |
| 15201701 | Berchenwald-Schotter | Gravier du Berchenwald |
| 15201702 | Hörndli-Schotter | Gravier d'Hörndli |
| 15201703 | Acheberg-Schotter | Gravier de l'Acheberg |
| 15201704 | Mühleberg-Schotter | Gravier de Mühleberg |
| 15201705 | Mandach-Schotter | Gravier de Mandach |
| 15201706 | Duttenberg-Schotter | Gravier du Duttenberg |
| 15201707 | Humbel-Schotter | Gravier d'Humbel |
| 15201708 | Frauewald-Schotter | Gravier du Frauewald |
| 15201709 | Bolderen-Schotter | Gravier de Bolderen |
| 15201710 | Seiglisten-Schotter | Gravier de Seiglisten |
| 15201711 | Geispel-Schotter | Gravier de Geispel |
| 15201712 | Birlibänz-Schotter | Gravier de Birlibänz |
| 15201713 | Schönenbuch-Schotter | Gravier de Schönenbuch |

| GeolCode | Deutsch | Italiano |
|---|---|---|
| 15201714 | Wentzwiller-Schotter | Gravier de Wentzwiller |
| 15201715 | Bellevue-Schotter | Gravier de Bellevue |
| 15202001 | Habkern-Melange | Habkern-Melange |
| 15202002 | Sörenberg-Melange | Sörenberg-Melange |
| 15202003 | Wildhaus-Melange | Wildhaus-Melange |
| 15202004 | Südhelvetischer Flysch | Südhelvetischer Flysch |
| 15202005 | Nordhelvetische Flysch-Gr. | Nordhelvetische Flysch-Gr. |
| 15202006 | Matt-Fm. | Matt-Fm. |
| 15202007 | Matt-Fm.: Engi-Dachschiefer | Matt-Fm.: Engi-Dachschiefer |
| 15202008 | Matt-Fm.: Gruontal-Konglomerat | Matt-Fm.: Gruontal-Konglomerat |
| 15202009 | Elm-Fm. | Elm-Fm. |
| 15202010 | Matt-Fm.: Gruontal-Konglomerat: Rüschenweid-Bk. | Matt-Fm.: Gruontal-Konglomerat: Rüschenweid-Bk. |
| 15202011 | Taveyannaz-Fm. | Taveyannaz-Fm. |
| 15202012 | Helvetikum: Paläogen | Helvetikum: Paläogen |
| 15202013 | Stad-Fm. | Stad-Fm. |
| 15202014 | Stad-Fm.: Wängen-Kalk | Stad-Fm.: Wängen-Kalk |
| 15202015 | Stad-Fm.: Jochstock-Konglomerat | Stad-Fm.: Jochstock-Konglomerat |
| 15202016 | Sanetsch-Fm. | Sanetsch-Fm. |
| 15202017 | Sanetsch-Fm.: Pierredar-Kalk | Sanetsch-Fm.: Pierredar-Kalk |
| 15202018 | Sanetsch-Fm.: Tsanfleuron-Mb. | Sanetsch-Fm.: Tsanfleuron-Mb. |
| 15202019 | Sanetsch-Fm.: Diablerets-Mb. | Sanetsch-Fm.: Diablerets-Mb. |
| 15202020 | Niederhorn-Fm. | Niederhorn-Fm. |
| 15202021 | Niederhorn-Fm.: Gemmenalp-Kalk | Niederhorn-Fm.: Gemmenalp-Kalk |
| 15202022 | Niederhorn-Fm.: Hohgant-Sandstein | Niederhorn-Fm.: Hohgant-Sandstein |
| 15202023 | Niederhorn-Fm.: Hohgant-Sandstein: Wagenmoos-Bk. | Niederhorn-Fm.: Hohgant-Sandstein: Wagenmoos-Bk. |
| 15202024 | Wildstrubel-Fm. | Wildstrubel-Fm. |
| 15202025 | Wildstrubel-Fm.: Schimberg-Mb. | Wildstrubel-Fm.: Schimberg-Mb. |
| 15202026 | Wildstrubel-Fm.: Tierberg-Mb. | Wildstrubel-Fm.: Tierberg-Mb. |
| 15202027 | Wildstrubel-Fm.: Küblibad-Mb. | Wildstrubel-Fm.: Küblibad-Mb. |
| 15202028 | Klimsenhorn-Fm. | Klimsenhorn-Fm. |
| 15202029 | Klimsenhorn-Fm.: Fruttli-Mb. | Klimsenhorn-Fm.: Fruttli-Mb. |
| 15202030 | Klimsenhorn-Fm.: Band-Mb. | Klimsenhorn-Fm.: Band-Mb. |
| 15202031 | Klimsenhorn-Fm.: Fräkmünt-Mb. | Klimsenhorn-Fm.: Fräkmünt-Mb. |
| 15202032 | Bürgen-Fm. | Bürgen-Fm. |
| 15202033 | Bürgen-Fm.: Foribach-Mb. | Bürgen-Fm.: Foribach-Mb. |
| 15202034 | Bürgen-Fm.: Mattgrat-Mb. | Bürgen-Fm.: Mattgrat-Mb. |
| 15202035 | Bürgen-Fm.: Scharti-Mb. | Bürgen-Fm.: Scharti-Mb. |
| 15202036 | Euthal-Fm. | Euthal-Fm. |
| 15202037 | Bürgen-Fm.: Steinbach-Mb. | Bürgen-Fm.: Steinbach-Mb. |
| 15202038 | Euthal-Fm.: Einsiedeln-Mb. | Euthal-Fm.: Einsiedeln-Mb. |
| 15202039 | Euthal-Fm.: Batöni-Mb. | Euthal-Fm.: Batöni-Mb. |
| 15202040 | Euthal-Fm.: Chruteren-Mb. | Euthal-Fm.: Chruteren-Mb. |
| 15202041 | Euthal-Fm.: Fliegenspitz-Mb. | Euthal-Fm.: Fliegenspitz-Mb. |
| 15202043 | Siderolithikum: Grindelwald-Marmor | Siderolithikum: Grindelwald-Marmor |
| 15202044 | Niederhorn-Fm.: Hohgant-Sandstein: Mürren-Brekzie | Niederhorn-Fm.: Hohgant-Sandstein: Mürren-Brekzie |
| 15202045 | Siderolithikum: Dünden-Konglomerat | Siderolithikum: Dünden-Konglomerat |
| 15202046 | Siderolithikum: Rosenlaui-Marmor | Siderolithikum: Rosenlaui-Marmor |
| 15202047 | Helvetikum: Kreide | Helvetikum: Kreide |
| 15202048 | Wang-Fm. | Wang-Fm. |
| 15202049 | Amden-Fm. | Amden-Fm. |
| 15202050 | Seewen Fm. | Seewen Fm. |

| GeolCode | Deutsch | Italiano |
|---|---|---|
| 15202051 | Seewen-Fm.: Choltal-Mb. | Seewen-Fm.: Choltal-Mb. |
| 15202052 | Garschella-Fm. | Garschella-Fm. |
| 15202053 | Garschella-Fm.: Selun-Mb. | Garschella-Fm.: Selun-Mb. |
| 15202054 | Garschella-Fm.: Selun-Mb.: Kamm-Bk. | Garschella-Fm.: Selun-Mb.: Kamm-Bk. |
| 15202055 | Garschella-Fm.: Selun-Mb.: Aubrig-Sch. | Garschella-Fm.: Selun-Mb.: Aubrig-Sch. |
| 15202056 | Garschella-Fm.: Selun-Mb.: Wannenalp-Bk. | Garschella-Fm.: Selun-Mb.: Wannenalp-Bk. |
| 15202057 | Garschella-Fm.: Selun-Mb.: Sellamatt-Sch. | Garschella-Fm.: Selun-Mb.: Sellamatt-Sch. |
| 15202058 | Garschella-Fm.: Selun-Mb.: Plattenwald-Bk. | Garschella-Fm.: Selun-Mb.: Plattenwald-Bk. |
| 15202059 | Garschella-Fm.: Selun-Mb.: Durschlägi-Bk. | Garschella-Fm.: Selun-Mb.: Durschlägi-Bk. |
| 15202060 | Garschella-Fm.: Selun-Mb.: Niederi-Sch. | Garschella-Fm.: Selun-Mb.: Niederi-Sch. |
| 15202061 | Garschella-Fm.: Selun-Mb.: Twäriberg-Bk. | Garschella-Fm.: Selun-Mb.: Twäriberg-Bk. |
| 15202062 | Garschella-Fm.: Selun-Mb.: Klaus-Bk. | Garschella-Fm.: Selun-Mb.: Klaus-Bk. |
| 15202063 | Garschella-Fm.: Rankweil-Mb. | Garschella-Fm.: Rankweil-Mb. |
| 15202064 | Garschella-Fm.: Brisi-Mb. | Garschella-Fm.: Brisi-Mb. |
| 15202065 | Garschella-Fm.: Brisi-Mb.: Kalkige Fazies | Garschella-Fm.: Brisi-Mb.: Kalkige Fazies |
| 15202066 | Garschella-Fm.: Brisi-Mb.: Sandige Fazies | Garschella-Fm.: Brisi-Mb.: Sandige Fazies |
| 15202067 | Garschella-Fm.: Brisi-Mb.: Gams-Sch. | Garschella-Fm.: Brisi-Mb.: Gams-Sch. |
| 15202068 | Garschella-Fm.: Brisi-Mb.: Luitere-Bk. | Garschella-Fm.: Brisi-Mb.: Luitere-Bk. |
| 15202069 | Garschella-Fm.: Freschen-Mb. | Garschella-Fm.: Freschen-Mb. |
| 15202070 | Garschella-Fm.: Freschen-Mb.: Hochkugel-Sch. | Garschella-Fm.: Freschen-Mb.: Hochkugel-Sch. |
| 15202071 | Garschella-Fm.: Grünten-Mb. | Garschella-Fm.: Grünten-Mb. |
| 15202072 | Garschella-Fm.: Grünten-Mb.: Rohrbachstein-Bk. | Garschella-Fm.: Grünten-Mb.: Rohrbachstein-Bk. |
| 15202073 | Schrattenkalk-Fm. | Schrattenkalk-Fm. |
| 15202074 | Schrattenkalk-Fm.: Rawil-Mb. | Schrattenkalk-Fm.: Rawil-Mb. |
| 15202075 | Tierwis-Fm. | Tierwis-Fm. |
| 15202076 | Tierwis-Fm.: Chopf-Bk. | Tierwis-Fm.: Chopf-Bk. |
| 15202077 | Tierwis-Fm.: Drusberg-Mb. | Tierwis-Fm.: Drusberg-Mb. |
| 15202078 | Tierwis-Fm.: Altmann-Mb. | Tierwis-Fm.: Altmann-Mb. |
| 15202079 | Helvetischer Kieselkalk | Helvetischer Kieselkalk |
| 15202080 | Helvetischer Kieselkalk: Chriesiloch-Echinodermenkalk | Helvetischer Kieselkalk: Chriesiloch-Echinodermenkalk |
| 15202081 | Helvetischer Kieselkalk: Lidernen-Mb. | Helvetischer Kieselkalk: Lidernen-Mb. |
| 15202082 | Helvetischer Kieselkalk: Gemsmättli-Bk. | Helvetischer Kieselkalk: Gemsmättli-Bk. |
| 15202083 | Helvetischer Kieselkalk: Rahberg-Bk. | Helvetischer Kieselkalk: Rahberg-Bk. |
| 15202084 | Betlis-Fm. | Betlis-Fm. |
| 15202085 | Betlis-Fm.: Pygurus-Mb. | Betlis-Fm.: Pygurus-Mb. |
| 15202086 | Betlis-Fm.: Spitzern-Mb. | Betlis-Fm.: Spitzern-Mb. |
| 15202087 | Betlis-Fm.: Büls-Bk. | Betlis-Fm.: Büls-Bk. |
| 15202088 | Sichel-Kalk | Sichel-Kalk |
| 15202089 | Diphyoides-Kalk | Diphyoides-Kalk |
| 15202090 | Vitznau-Mergel | Vitznau-Mergel |
| 15202091 | Öhrli-Fm. | Öhrli-Fm. |

| GeolCode | Deutsch | Italiano |
|---|---|---|
| 15202092 | Palfris-Fm. | Palfris-Fm. |
| 15202093 | Zementstein-Fm. | Zementstein-Fm. |
| 15202094 | Zementstein-Fm.: Grasspass-Mb. | Zementstein-Fm.: Grasspass-Mb. |
| 15202095 | Zementstein-Fm.: Gassen-Kalk | Zementstein-Fm.: Gassen-Kalk |
| 15202096 | Helvetikum: Malm | Helvetikum: Malm |
| 15202097 | Quinten-Fm. | Quinten-Fm. |
| 15202098 | Quinten-Fm.: Tros-Kalk | Quinten-Fm.: Tros-Kalk |
| 15202099 | Quinten-Fm.: Mergelband | Quinten-Fm.: Mergelband |
| 15202100 | Schilt-Fm. | Schilt-Fm. |
| 15202101 | Schilt-Fm.: Mürtschen-Mb. | Schilt-Fm.: Mürtschen-Mb. |
| 15202102 | Schilt-Fm.: Mergelstein-dominierte Fazies | Schilt-Fm.: Mergelstein-dominierte Fazies |
| 15202103 | Schilt-Fm.: Kalkstein-dominierte Fazies | Schilt-Fm.: Kalkstein-dominierte Fazies |
| 15202104 | Schilt-Fm.: Seeztal-Mb. | Schilt-Fm.: Seeztal-Mb. |
| 15202105 | Schilt-Fm.: Windgällen-Mb. | Schilt-Fm.: Windgällen-Mb. |
| 15202106 | Helvetikum: Dogger | Helvetikum: Dogger |
| 15202107 | Erzegg-Fm. | Erzegg-Fm. |
| 15202108 | Reischiben-Fm. | Reischiben-Fm. |
| 15202109 | Reischiben-Fm.: Blegi-Eisenoolith | Reischiben-Fm.: Blegi-Eisenoolith |
| 15202110 | Reischiben-Fm.: Bannalp-Konglomerat | Reischiben-Fm.: Bannalp-Konglomerat |
| 15202111 | Reischiben-Fm.: Guppen-Fossilhorizont | Reischiben-Fm.: Guppen-Fossilhorizont |
| 15202112 | Reischiben-Fm.: Gursbach-Fossilhorizont | Reischiben-Fm.: Gursbach-Fossilhorizont |
| 15202113 | Hochstollen-Fm. | Hochstollen-Fm. |
| 15202114 | Hochstollen-Fm.: Schwarzhorn-Mb. | Hochstollen-Fm.: Schwarzhorn-Mb. |
| 15202115 | Hochstollen-Fm.: Bietenhorn-Mb. | Hochstollen-Fm.: Bietenhorn-Mb. |
| 15202116 | Bommerstein-Fm. | Bommerstein-Fm. |
| 15202117 | Bommerstein-Fm.: Mols-Mb. | Bommerstein-Fm.: Mols-Mb. |
| 15202118 | Dugny-Fm. | Dugny-Fm. |
| 15202119 | Coroi-Fm. | Coroi-Fm. |
| 15202120 | Helvetikum: Lias | Helvetikum: Lias |
| 15202121 | Brunnistock-Fm. | Brunnistock-Fm. |
| 15202122 | Inferno-Fm. | Inferno-Fm. |
| 15202123 | Monts-Rosset-Fm. | Monts-Rosset-Fm. |
| 15202124 | Torrenthorn-Fm.: Torrentalp-Mb. | Torrenthorn-Fm.: Torrentalp-Mb. |
| 15202125 | Sexmor-Fm. | Sexmor-Fm. |
| 15202126 | Mont-Joly-Fm. | Mont-Joly-Fm. |
| 15202127 | Torrenthorn-Fm.: Galm-Mb. | Torrenthorn-Fm.: Galm-Mb. |
| 15202128 | Spitzmeilen-Fm. | Spitzmeilen-Fm. |
| 15202129 | Tierces-Fm. | Tierces-Fm. |
| 15202130 | Bachalp-Fm. | Bachalp-Fm. |
| 15202131 | Prodkamm-Fm. | Prodkamm-Fm. |
| 15202132 | Prodkamm-Fm.: Cardinien-Mb. | Prodkamm-Fm.: Cardinien-Mb. |
| 15202133 | Stgir-Fm. | Stgir-Fm. |
| 15202134 | Helvetikum: Trias | Helvetikum: Trias |
| 15202135 | Besoëns-Fm. | Besoëns-Fm. |
| 15202136 | Quarten-Fm. | Quarten-Fm. |
| 15202137 | Arandellys-Fm. | Arandellys-Fm. |
| 15202138 | Arandellys-Fm.: Griaz-Mb. | Arandellys-Fm.: Griaz-Mb. |
| 15202139 | Röti-Fm. | Röti-Fm. |
| 15202140 | Vieux-Emosson-Fm. | Vieux-Emosson-Fm. |
| 15202141 | Mels-Fm. | Mels-Fm. |

| GeolCode | Deutsch | Italiano |
|---|---|---|
| 15202142 | Helvetikum: Spät- bis postvariszische Sedimente und Vulkanite | Helvetikum: Spät- bis postvariszische Sedimente und Vulkanite |
| 15202143 | Helvetikum: Verrucano | Helvetikum: Verrucano |
| 15202144 | Glarner Verrucano | Glarner Verrucano |
| 15202145 | Schönbühl-Fm. | Schönbühl-Fm. |
| 15202146 | Schönbühl-Fm.: Quarzit | Schönbühl-Fm.: Quarzit |
| 15202147 | Kärpf-Fm. | Kärpf-Fm. |
| 15202148 | Karrenstock-Fm. | Karrenstock-Fm. |
| 15202149 | Murgtal-Fm.: Chartegg-Mb. | Murgtal-Fm.: Chartegg-Mb. |
| 15202150 | Karrenstock-Fm.: Fuggstock-Mb. | Karrenstock-Fm.: Fuggstock-Mb. |
| 15202151 | Mären-Fm. | Mären-Fm. |
| 15202152 | Üblital-Fm. | Üblital-Fm. |
| 15202153 | Ilanz-Verrucano | Ilanz-Verrucano |
| 15202154 | Vernayaz-Fm. | Vernayaz-Fm. |
| 15202155 | Vernayaz-Fm.: Salvan-Mb. | Vernayaz-Fm.: Salvan-Mb. |
| 15202156 | Vernayaz-Fm.: Salvan-Mb.: Vallorcine-Konglomerat | Vernayaz-Fm.: Salvan-Mb.: Vallorcine-Konglomerat |
| 15202157 | Aar-Massiv: Spät- bis postvariszische Intrusiva | Aar-Massiv: Spät- bis postvariszische Intrusiva |
| 15202158 | Gastern-Granit | Gastern-Granit |
| 15202159 | Mittagflue-Granit | Mittagflue-Granit |
| 15202160 | Zentraler Aare-Granit | Zentraler Aare-Granit |
| 15202161 | Grimsel-Granodiorit | Grimsel-Granodiorit |
| 15202162 | Südwestlicher Aare-Granit | Südwestlicher Aare-Granit |
| 15202163 | Bugnei-Granodiorit | Bugnei-Granodiorit |
| 15202164 | Aar-Massiv: Spät- bis postvariszische Sedimente und Vulkanite | Aar-Massiv: Spät- bis postvariszische Sedimente und Vulkanite |
| 15202165 | Wendenjoch-Fm. | Wendenjoch-Fm. |
| 15202166 | Windgällen-Fm. | Windgällen-Fm. |
| 15202167 | Trift-Fm. | Trift-Fm. |
| 15202168 | Intschi-Fm. | Intschi-Fm. |
| 15202169 | Bifertengrätli-Fm. | Bifertengrätli-Fm. |
| 15202170 | Bifertengrätli-Fm.: Lakustrisches Mb. | Bifertengrätli-Fm.: Lakustrisches Mb. |
| 15202171 | Bifertengrätli-Fm.: Estuarisches Mb. | Bifertengrätli-Fm.: Estuarisches Mb. |
| 15202172 | Bifertengrätli-Fm.: Grünhorn-Mb.: Basales Konglomerat | Bifertengrätli-Fm.: Grünhorn-Mb.: Basales Konglomerat |
| 15202173 | Bifertengrätli-Fm.: Grünhorn-Mb. | Bifertengrätli-Fm.: Grünhorn-Mb. |
| 15202174 | Diechtergletscher-Fm. | Diechtergletscher-Fm. |
| 15202175 | Tscharren-Fm. | Tscharren-Fm. |
| 15202177 | Aar-Massiv: Mittelvariszische Intrusiva | Aar-Massiv: Mittelvariszische Intrusiva |
| 15202178 | Brunni-Granit | Brunni-Granit |
| 15202179 | Düssi-Diorit | Düssi-Diorit |
| 15202180 | Munt-Dado-Granit | Munt-Dado-Granit |
| 15202181 | Russein-Diorit | Russein-Diorit |
| 15202182 | Voralp-Granit | Voralp-Granit |
| 15202183 | Aar-Massiv: Frühvariszische Intrusiva | Aar-Massiv: Frühvariszische Intrusiva |
| 15202184 | Punteglias-Granit | Punteglias-Granit |
| 15202185 | Tödi-Granit | Tödi-Granit |
| 15202186 | Strem-Granit | Strem-Granit |
| 15202187 | Baltschieder-Granodiorit | Baltschieder-Granodiorit |
| 15202188 | Giuv-Syenit | Giuv-Syenit |
| 15202189 | Curtin-Monzodiorit | Curtin-Monzodiorit |
| 15202190 | Bristenstock-Syenit | Bristenstock-Syenit |

| GeolCode | Deutsch | Italiano |
|---|---|---|
| 15202191 | Aar-Massiv: Frühvariszische Sedimente | Aar-Massiv: Frühvariszische Sedimente |
| 15202192 | Val-Gliems-Fm. | Val-Gliems-Fm. |
| 15202193 | Bifertenfirn-Fm. | Bifertenfirn-Fm. |
| 15202194 | Aar-Massiv: Prävariszisches polyzyklisches Grundgebirge | Aar-Massiv: Prävariszisches polyzyklisches Grundgebirge |
| 15202195 | Innertkirchen-Migmatit | Innertkirchen-Migmatit |
| 15202196 | Innertkirchen-Migmatit: Zäsenberg-Gneis | Innertkirchen-Migmatit: Zäsenberg-Gneis |
| 15202197 | Erstfeld-Gneiskomplex | Erstfeld-Gneiskomplex |
| 15202198 | Guttannen-Gneiskomplex | Guttannen-Gneiskomplex |
| 15202199 | Straligenstöckli-Gneiskomplex | Straligenstöckli-Gneiskomplex |
| 15202200 | Lötschental-Gneiskomplex | Lötschental-Gneiskomplex |
| 15202201 | Ofenhorn-Stampfhorn-Gneiskomplex | Ofenhorn-Stampfhorn-Gneiskomplex |
| 15202202 | Fully-Granodiorit | Fully-Granodiorit |
| 15202203 | Vernayaz-Fm.: Salvan-Mb.: Plex-Aboyeu-Rhyolith | Vernayaz-Fm.: Salvan-Mb.: Plex-Aboyeu-Rhyolith |
| 15202204 | Vallorcine-Granit | Vallorcine-Granit |
| 15202205 | Vallorcine-Granit: Miéville-Mylonit | Vallorcine-Granit: Miéville-Mylonit |
| 15202206 | Montées-Pélissiers-Granit | Montées-Pélissiers-Granit |
| 15202207 | Pormenaz-Granit | Pormenaz-Granit |
| 15202210 | Emosson-Gneiskomplex | Emosson-Gneiskomplex |
| 15202211 | Luisin-Orthogneis | Luisin-Orthogneis |
| 15202212 | Val-Bérard-Gneiskomplex | Val-Bérard-Gneiskomplex |
| 15202213 | Lac-Cornu-Eklogit | Lac-Cornu-Eklogit |
| 15202214 | Perrons-Orthogneis | Perrons-Orthogneis |
| 15202215 | Breya-Rhyolith | Breya-Rhyolith |
| 15202216 | Mont-Blanc-Granit | Mont-Blanc-Granit |
| 15202217 | Montenvers-Granit | Montenvers-Granit |
| 15202218 | Lognan-Orthogneis | Lognan-Orthogneis |
| 15202219 | Pétoudes-Orthogneis | Pétoudes-Orthogneis |
| 15202220 | Gotthard-Decke: Postvariszische Intrusiva | Gotthard-Decke: Postvariszische Intrusiva |
| 15202221 | Rotondo-Granit | Rotondo-Granit |
| 15202222 | Cacciola-Granit | Cacciola-Granit |
| 15202223 | Sädelhorn-Diorit | Sädelhorn-Diorit |
| 15202224 | Winterhorn-Granit | Winterhorn-Granit |
| 15202225 | Gotthard-Decke: Spätvariszische Intrusiva | Gotthard-Decke: Spätvariszische Intrusiva |
| 15202226 | Medel-Granit | Medel-Granit |
| 15202227 | Cristallina-Granodiorit | Cristallina-Granodiorit |
| 15202228 | Gamsboden-Granit | Gamsboden-Granit |
| 15202229 | Uffiern-Diorit | Uffiern-Diorit |
| 15202230 | Fibbia-Granit | Fibbia-Granit |
| 15202231 | Gotthard-Decke: Prä- und frühvariszische Metasedimentgesteine und Vulkanoklastika | Gotthard-Decke: Prä- und frühvariszische Metasedimentgesteine und Vulkanoklastika |
| 15202232 | Borel-Gneiskomplex | Borel-Gneiskomplex |
| 15202233 | Tenelin-Gneiskomplex | Tenelin-Gneiskomplex |
| 15202234 | Laiets-Gneiskomplex | Laiets-Gneiskomplex |
| 15202235 | Tremola-Gneiskomplex | Tremola-Gneiskomplex |
| 15202236 | Tremola-Gneiskomplex: Pontino-Schiefer | Tremola-Gneiskomplex: Pontino-Schiefer |
| 15202237 | Tremola-Gneiskomplex: Nelva-Gneis | Tremola-Gneiskomplex: Nelva-Gneis |

| GeolCode | Deutsch | Italiano |
|---|---|---|
| 15202238 | Tremola-Gneiskomplex: Sasso-Rosso-Schiefer | Tremola-Gneiskomplex: Sasso-Rosso-Schiefer |
| 15202239 | Prüsfa-Gneiskomplex | Prüsfa-Gneiskomplex |
| 15202240 | Streifengneis-Komplex | Streifengneis-Komplex |
| 15202241 | Chastelhorn-Metagabbro | Chastelhorn-Metagabbro |
| 15202242 | Val-Nalps-Gneiskomplex: Gurschen-Gneis | Val-Nalps-Gneiskomplex: Gurschen-Gneis |
| 15202243 | Val-Nalps-Gneiskomplex: Guspis-Gneis | Val-Nalps-Gneiskomplex: Guspis-Gneis |
| 15202244 | Paradis-Gneiskomplex: Sorescia-Gneis | Paradis-Gneiskomplex: Sorescia-Gneis |
| 15202246 | Helvetikum: Grundgebirge: Granit | Helvetikum: Grundgebirge: Granit |
| 15202247 | Helvetikum: Grundgebirge: Saures vulkanisches Gestein | Helvetikum: Grundgebirge: Saures vulkanisches Gestein |
| 15202254 | Ilanz-Zone: Permische Sedimente | Ilanz-Zone: Permische Sedimente |
| 15202255 | Helvetikum: Grundgebirge: Permisch verwittertes Kristallin | Helvetikum: Grundgebirge: Permisch verwittertes Kristallin |
| 15202256 | Goltschenried-Fm. | Goltschenried-Fm. |
| 15202257 | Oberaar-Furka Zone | Oberaar Furka Zone |
| 15202258 | Ausserberg-Avat-Zone | Ausserberg-Avat-Zone |
| 15202260 | Ausserberg-Avat-Zone: Granitischer Gneis | Ausserberg-Avat-Zone: Granitischer Gneis |
| 15202261 | Ausserberg-Avat-Zone: Paragneis | Ausserberg-Avat-Zone: Paragneis |
| 15202262 | Clavaniev-Zone | Clavaniev-Zone |
| 15202263 | Gärsthorn-Gneiskomplex: Engi-Granit | Gärsthorn-Gneiskomplex: Engi-Granit |
| 15202264 | Calmut-Gneiskomplex | Calmut-Gneiskomplex |
| 15202265 | Val-Pigniu-Gneiskomplex | Val-Pigniu-Gneiskomplex |
| 15202266 | Urseren-Garvera-Zone: Permo-Karbon | Urseren-Garvera-Zone: Permo-Karbon |
| 15202267 | Goms-Gneiskomplex | Goms-Gneiskomplex |
| 15202268 | Ausserbinn-Piz-Cavel-Zone | Ausserbinn-Piz-Cavel-Zone |
| 15202271 | Prosa-Granit | Prosa-Granit |
| 15202272 | Val-Tremola-Granit | Val-Tremola-Granit |
| 15202273 | Leventina-Einheit: Leventina-Gneis | Leventina-Einheit: Leventina-Gneis |
| 15202274 | Lucomagno-Einheit: Augengneis | Lucomagno-Einheit: Augengneis |
| 15202275 | Lucomagno-Einheit: Lucomagno-Paragneis | Lucomagno-Einheit: Lucomagno-Paragneis |
| 15202276 | Val-Stgira-Riffmarmor | Val-Stgira-Riffmarmor |
| 15202277 | Piz-Terri-Lunschania: Fossilmarmor | Piz-Terri-Lunschania: Fossilmarmor |
| 15202278 | Piz-Terri-Lunschania: Trias | Piz-Terri-Lunschania: Trias |
| 15202279 | Ultrahelvetischer Flysch | Ultrahelvetischer Flysch |
| 15202280 | Sardona-Decke: Melange | Sardona-Decke: Melange |
| 15202281 | Martinsmad-Fm. | Martinsmad-Fm. |
| 15202282 | Martinsmad-Fm.: Supraquarzitischer Flysch | Martinsmad-Fm.: Supraquarzitischer Flysch |
| 15202283 | Martinsmad-Fm.: Sardona-Mb. | Martinsmad-Fm.: Sardona-Mb. |
| 15202284 | Martinsmad-Fm.: Infraquarzitischer Flysch | Martinsmad-Fm.: Infraquarzitischer Flysch |
| 15202285 | Meilleret-Fm. | Meilleret-Fm. |
| 15202286 | Lavtina-Sandstein | Lavtina-Sandstein |
| 15202287 | Blattengrat-Sandstein | Blattengrat-Sandstein |
| 15202288 | Burg-Sandstein | Burg-Sandstein |
| 15202289 | Elm-Fm.: Val-d'Illiez-Sandstein | Elm-Fm.: Val-d'Illiez-Sandstein |
| 15202290 | Muot-da-Rubi-Fm. | Muot-da-Rubi-Fm. |
| 15202291 | Muot-da-Rubi-Fm.: Ahornen-Mb. | Muot-da-Rubi-Fm.: Ahornen-Mb. |
| 15202292 | Muot-da-Rubi-Fm.: Kistenstöckli-Mb. | Muot-da-Rubi-Fm.: Kistenstöckli-Mb. |
| 15202293 | Muot-da-Rubi-Fm.: Ghölzwald-Mb. | Muot-da-Rubi-Fm.: Ghölzwald-Mb. |

| GeolCode | Deutsch | Italiano |
|---|---|---|
| 15202294 | Muot-da-Rubi-Fm.: Malor-Mb. | Muot-da-Rubi-Fm.: Malor-Mb. |
| 15202295 | Südelgrabe-Flysch | Südelgrabe-Flysch |
| 15202296 | Stad-Fm.: Kleintal-Konglomerat | Stad-Fm.: Kleintal-Konglomerat |
| 15202297 | Stad-Fm.: Rütenen-Konglomerat | Stad-Fm.: Rütenen-Konglomerat |
| 15202298 | Helvetikum: Jura | Helvetikum: Jura |
| 15202299 | Wang-Fm.: Brekzie | Wang-Fm.: Brekzie |
| 15202300 | Schrattenkalk-Fm.: Oberer Teil | Schrattenkalk-Fm.: Oberer Teil |
| 15202301 | Schrattenkalk-Fm.: Unterer Teil | Schrattenkalk-Fm.: Unterer Teil |
| 15202302 | Quinten-Fm.: Oberer Quintner Kalk | Quinten-Fm.: Oberer Quintner Kalk |
| 15202303 | Quinten-Fm.: Unterer Quintner Kalk | Quinten-Fm.: Unterer Quintner Kalk |
| 15202304 | Erzegg-Fm.: Planplatte-Eisenoolith | Erzegg-Fm.: Planplatte-Eisenoolith |
| 15202305 | Bommerstein-Fm.: Geissbach-Konglomerat | Bommerstein-Fm.: Geissbach-Konglomerat |
| 15202306 | Bommerstein-Fm.: Stöckli-Sandstein | Bommerstein-Fm.: Stöckli-Sandstein |
| 15202307 | Infrapräalpines Melange | Infrapräalpines Melange |
| 15202308 | Iberg-Melange | Iberg-Melange |
| 15202309 | Iberg-Melange: Surbrunnen-Flysch | Iberg-Melange: Surbrunnen-Flysch |
| 15202310 | Iberg-Melange: Roggenegg-Komplex | Iberg-Melange: Roggenegg-Komplex |
| 15202311 | Iberg-Melange: Isentobel-Komplex | Iberg-Melange: Isentobel-Komplex |
| 15202312 | Serhalten-Melange | Serhalten-Melange |
| 15202313 | Iberg-Melange: Gwürz-Flysch | Iberg-Melange: Gwürz-Flysch |
| 15202314 | Ruestel-Flysch | Ruestel-Flysch |
| 15202315 | Iberg-Melange: Scheidegg-Flysch | Iberg-Melange: Scheidegg-Flysch |
| 15202316 | Habkern-Granit | Habkern-Granit |
| 15202317 | Infrapräalpines Melange: Gros-Plané-Melange | Infrapräalpines Melange: Gros-Plané-Melange |
| 15202318 | Infrapräalpines Melange: Bodevena-Melange | Infrapräalpines Melange: Bodevena-Melange |
| 15202319 | Subalpiner Flysch | Subalpiner Flysch |
| 15202320 | Torrenthorn-Fm. | Torrenthorn-Fm. |
| 15202321 | Prodkamm-Fm.: Cardinien-Mb.: Weissgandstöckli-Bk. | Prodkamm-Fm.: Cardinien-Mb.: Weissgandstöckli-Bk. |
| 15202322 | Mären-Fm.: Grisch-Mb. | Mären-Fm.: Grisch-Mb. |
| 15202323 | Mären-Fm.: Foostock-Mb. | Mären-Fm.: Foostock-Mb. |
| 15202324 | Murgtal-Fm. | Murgtal-Fm. |
| 15202325 | Vernayaz-Fm.: Dzéman-Mb. | Vernayaz-Fm.: Dzéman-Mb. |
| 15202326 | Zentraler-Aare-Granit: Aplitische Randfazies | Zentraler-Aare-Granit: Aplitische Randfazies |
| 15202327 | Windgällen-Fm.: Rhyolith | Windgällen-Fm.: Rhyolith |
| 15202328 | Bäregg-Gneiskomplex | Bäregg-Gneiskomplex |
| 15202329 | Gärsthorn-Gneiskomplex | Gärsthorn-Gneiskomplex |
| 15202330 | Sogn-Placi-Gneiskomplex | Sogn-Placi-Gneiskomplex |
| 15202331 | Massa-Gneiskomplex | Massa-Gneiskomplex |
| 15202332 | Aiguilles-Rouges-Massiv: Mittelvariszische Intrusiva | Aiguilles-Rouges-Massiv: Mittelvariszische Intrusiva |
| 15202333 | Aiguilles-Rouges-Massiv: Frühvariszische Intrusiva | Aiguilles-Rouges-Massiv: Frühvariszische Intrusiva |
| 15202334 | Aiguilles-Rouges-Massiv: Prävariszisches Grundgebirge | Aiguilles-Rouges-Massiv: Prävariszisches Grundgebirge |
| 15202335 | Chéserys-Gneis | Chéserys-Gneis |
| 15202336 | Mont-Blanc-Massiv: Spät- bis postvariszische Intrusiva | Mont-Blanc-Massiv: Spät- bis postvariszische Intrusiva |
| 15202337 | Mont-Blanc-Massiv: Prävariszisches Grundgebirge | Mont-Blanc-Massiv: Prävariszisches Grundgebirge |

| GeolCode | Deutsch | Italiano |
|---|---|---|
| 15202338 | Alp-Cavradi-Gneiskomplex | Alp-Cavradi-Gneiskomplex |
| 15202339 | Giubine-Gneiskomplex | Giubine-Gneiskomplex |
| 15202340 | Gotthardt-Decke: Prävariszisches polyzyklisches Grundgebirge | Gotthardt-Decke: Prävariszisches polyzyklisches Grundgebirge |
| 15202341 | Goms-Gneiskomplex: Unterwassern-Gneis | Goms-Gneiskomplex: Unterwassern-Gneis |
| 15202342 | Streifengneis-Komplex: Hüenerstock-Gneis | Streifengneis-Komplex: Hüenerstock-Gneis |
| 15202343 | Streifengneis-Komplex: Sassina-Augengneis | Streifengneis-Komplex: Sassina-Augengneis |
| 15202344 | Streifengneis-Komplex: Alp-Ramosa-Orthogneis | Streifengneis-Komplex: Alp-Ramosa-Orthogneis |
| 15202345 | Paradis-Gneiskomplex: Val-Camadra-Migmatit | Paradis-Gneiskomplex: Val-Camadra-Migmatit |
| 15202346 | Val-Nalps-Gneiskomplex | Val-Nalps-Gneiskomplex |
| 15202347 | Val-Nalps-Gneiskomplex: Prato-Gneis | Val-Nalps-Gneiskomplex: Prato-Gneis |
| 15202348 | Val-Nalps-Gneiskomplex: Distelgrat-Gneis | Val-Nalps-Gneiskomplex: Distelgrat-Gneis |
| 15202349 | Paradis-Gneiskomplex: Val-Gronda-Augengneis | Paradis-Gneiskomplex: Val-Gronda-Augengneis |
| 15202350 | Val-Nalps-Gneiskomplex: Fuorcla-Paradis-Serpentinit | Val-Nalps-Gneiskomplex: Fuorcla-Paradis-Serpentinit |
| 15202351 | Paradis-Gneiskomplex | Paradis-Gneiskomplex |
| 15202352 | Paradis-Gneiskomplex: Oberstafel-Gneis | Paradis-Gneiskomplex: Oberstafel-Gneis |
| 15202353 | Paradis-Gneiskomplex: Ganneretsch-Gneis | Paradis-Gneiskomplex: Ganneretsch-Gneis |
| 15202354 | Paradis-Gneiskomplex: Corandoni-Amphibolit | Paradis-Gneiskomplex: Corandoni-Amphibolit |
| 15202355 | Tavetsch-Decke: Prävariszisches polyzyklisches Grundgebirge | Tavetsch-Decke: Prävariszisches polyzyklisches Grundgebirge |
| 15202356 | Rueras-Gneiskomplex | Rueras-Gneiskomplex |
| 15202357 | Aiguilles-Rouges-Massiv: Prä- und frühvariszische Sedimente und Vulkanite | Aiguilles-Rouges-Massiv: Prä- und frühvariszische Sedimente und Vulkanite |
| 15202358 | Vernayaz-Fm.: Salvan-Mb.: Au-d'Arbignon-Schiefer | Vernayaz-Fm.: Salvan-Mb.: Au-d'Arbignon-Schiefer |
| 15202359 | Vernayaz-Fm.: Salvan-Mb.: Dorénaz-Konglomerat | Vernayaz-Fm.: Salvan-Mb.: Dorénaz-Konglomerat |
| 15202360 | Wildflysch | Wildflysch |
| 15202361 | Plaine-Morte-Melange | Plaine-Morte-Melange |
| 15202362 | Mättental-Melange | Mättental-Melange |
| 15202363 | Meilleret-Fm.: Höchst-Flysch | Meilleret-Fm.: Höchst-Flysch |
| 15202364 | Kiental-Melange | Kiental-Melange |
| 15202365 | Termen-Zone: Tonschiefer | Termen-Zone: Tonschiefer |
| 15202366 | Termen-Zone: Kalkschiefer | Termen-Zone: Kalkschiefer |
| 15202367 | Nufenen-Zone: Knotenschiefer | Nufenen-Zone: Knotenschiefer |
| 15202368 | Nufenen-Zone: Sandstein | Nufenen-Zone: Sandstein |
| 15202369 | Nufenen-Zone: Granatschiefer | Nufenen-Zone: Granatschiefer |
| 15202370 | Stgir-Fm.: Unterer Teil | Stgir-Fm.: Unterer Teil |
| 15202371 | Stgir-Fm.: Oberer Teil | Stgir-Fm.: Oberer Teil |
| 15202372 | Inferno-Fm.: Oberer Teil: Runcaleida-Sch. | Inferno-Fm.: Oberer Teil: Runcaleida-Sch. |
| 15202373 | Inferno-Fm.: Unterer Teil: Riein-Sch. | Inferno-Fm.: Unterer Teil: Riein-Sch. |

| GeolCode | Deutsch | Italiano |
|---|---|---|
| 15202374 | Meierhof-Phyllit | Meierhof-Phyllit |
| 15202375 | Waltensburg-Verrucano | Waltensburg-Verrucano |
| 15202376 | Ruinas Sandstein | Ruinas Sandstein |
| 15202377 | Niederhorn-Fm.: Hohgant-Sandstein: Berglikehle-Bk. | Niederhorn-Fm.: Hohgant-Sandstein: Berglikehle-Bk. |
| 15202378 | Rossplatten-Diorit | Rossplatten-Diorit |
| 15202379 | Schöllenen-Diorit | Schöllenen-Diorit |
| 15202380 | Amden-Fm.: Leist-Mergel: Grotzen-Austernbank | Amden-Fm.: Leist-Mergel: Grotzen-Austernbank |
| 15202381 | Tierwis-Fm.: Hurst-Mergel | Tierwis-Fm.: Hurst-Mergel |
| 15202382 | Helvetischer Kieselkalk: Palis-Bk. | Helvetischer Kieselkalk: Palis-Bk. |
| 15202383 | Öhrli-Fm.: Oberer-Öhrlikalk | Öhrli-Fm.: Oberer-Öhrlikalk |
| 15202384 | Öhrli-Fm.: Oberer-Öhrlimergel | Öhrli-Fm.: Oberer-Öhrlimergel |
| 15202385 | Öhrli-Fm.: Unterer-Öhrlikalk | Öhrli-Fm.: Unterer-Öhrlikalk |
| 15202386 | Spitzmeilen-Fm.: Oberer Teil | Spitzmeilen-Fm.: Oberer Teil |
| 15202387 | Spitzmeilen-Fm.: Unterer Teil | Spitzmeilen-Fm.: Unterer Teil |
| 15202388 | Spitzmeilen-Fm.: Basaler Teil | Spitzmeilen-Fm.: Basaler Teil |
| 15202389 | Prodkamm-Fm.: Oberer Teil | Prodkamm-Fm.: Oberer Teil |
| 15202390 | Prodkamm-Fm.: Mittlerer Teil | Prodkamm-Fm.: Mittlerer Teil |
| 15202391 | Prodkamm-Fm.: Unterer Teil | Prodkamm-Fm.: Unterer Teil |
| 15202392 | Sandpass-Fm. | Sandpass-Fm. |
| 15202393 | Sanetsch-Fm.: Diablerets-Mb.: Roc-Champion-Konglomerat | Sanetsch-Fm.: Diablerets-Mb.: Roc-Champion-Konglomerat |
| 15202394 | Stad-Fm.: Spirstock-Mb. | Stad-Fm.: Spirstock-Mb. |
| 15202395 | Seewen-Fm.: Roter-Seewer-Kalk | Seewen-Fm.: Roter-Seewer-Kalk |
| 15202396 | Seewen-Fm.: Untere Götzis-Bk. | Seewen-Fm.: Untere Götzis-Bk. |
| 15202397 | Garschella-Fm.: Grünten-Mb.: Col-de-la-Plaine-Morte-Bk. | Garschella-Fm.: Grünten-Mb.: Col-de-la-Plaine-Morte-Bk. |
| 15202398 | Betlis-Fm.: Oberer Teil | Betlis-Fm.: Oberer Teil |
| 15202399 | Betlis-Fm.: Unterer Teil | Betlis-Fm.: Unterer Teil |
| 15202400 | Bommerstein-Fm.: Vättis-Brekzie | Bommerstein-Fm.: Vättis-Brekzie |
| 15202401 | Inferno-Fm.: Oberer Teil | Inferno-Fm.: Oberer Teil |
| 15202402 | Inferno-Fm.: Mittlerer Teil | Inferno-Fm.: Mittlerer Teil |
| 15202403 | Inferno-Fm.: Unterer Teil | Inferno-Fm.: Unterer Teil |
| 15202404 | Sexmor-Fm.: Oberer Teil | Sexmor-Fm.: Oberer Teil |
| 15202405 | Sexmor-Fm.: Unterer Teil | Sexmor-Fm.: Unterer Teil |
| 15202406 | Prodkamm-Fm.: Unterer Teil: Leitoolith | Prodkamm-Fm.: Unterer Teil: Leitoolith |
| 15202407 | Punteglias-Granit: Posta-Biala-Granit | Punteglias-Granit: Posta-Biala-Granit |
| 15202409 | Punteglias-Granit: Val-Punteglias-Diorit | Punteglias-Granit: Val-Punteglias-Diorit |
| 15202411 | Stad-Fm.: Lochegg-Brekzie | Stad-Fm.: Lochegg-Brekzie |
| 15202412 | Zementstein-Fm.: Oberer Teil | Zementstein-Fm.: Oberer Teil |
| 15202413 | Zementstein-Fm.: Unterer Teil | Zementstein-Fm.: Unterer Teil |
| 15202414 | Bommerstein-Fm.: Glockhaus-Mb.: Roter Echinodermenkalk | Bommerstein-Fm.: Glockhaus-Mb.: Roter Echinodermenkalk |
| 15202415 | Bommerstein-Fm.: Glockhaus-Mb.: Obere Tonschiefer | Bommerstein-Fm.: Glockhaus-Mb.: Obere Tonschiefer |
| 15202416 | Bommerstein-Fm.: Glockhaus-Mb. | Bommerstein-Fm.: Glockhaus-Mb. |
| 15202417 | Coroi-Fm.: Basaler Quarzit | Coroi-Fm.: Basaler Quarzit |
| 15202418 | Röti-Fm.: Rauwacke | Röti-Fm.: Rauwacke |
| 15202419 | Vieux-Emosson-Fm.: Tonige Fazies | Vieux-Emosson-Fm.: Tonige Fazies |
| 15202420 | Quarten-Fm.: Equisetenschiefer | Quarten-Fm.: Equisetenschiefer |
| 15202421 | Amden-Fm.: Leist-Mergel | Amden-Fm.: Leist-Mergel |

| GeolCode | Deutsch | Italiano |
|---|---|---|
| 15202422 | Amden Fm.: Leiboden-Mergel | Amden Fm.: Leiboden-Mergel |
| 15202423 | Covayes-Fm. | Covayes-Fm. |
| 15202424 | Javrex-Fm. | Javrex-Fm. |
| 15202425 | Javrex-Fm.: Mergelstein-Fazies | Javrex-Fm.: Mergelstein-Fazies |
| 15202426 | Javrex-Fm.: Kalksandstein-Fazies | Javrex-Fm.: Kalksandstein-Fazies |
| 15202427 | Montsalvens-Kalkarenit | Montsalvens-Kalkarenit |
| 15202429 | Villarbeney-Fm. | Villarbeney-Fm. |
| 15202430 | Villarbeney-Fm.: Veveyse-de-Châtel-Mb. | Villarbeney-Fm.: Veveyse-de-Châtel-Mb. |
| 15202431 | Villarbeney-Fm.: Riondouneire-Mb. | Villarbeney-Fm.: Riondouneire-Mb. |
| 15202432 | Jogne-Fm. | Jogne-Fm. |
| 15202433 | Jogne-Fm.: Kalkbrekzie | Jogne-Fm.: Kalkbrekzie |
| 15202434 | Jogne-Fm.: Vuavres-Mb. | Jogne-Fm.: Vuavres-Mb. |
| 15202435 | Jogne-Fm.: Planière-Mb. | Jogne-Fm.: Planière-Mb. |
| 15202436 | Bifé-Fm. | Bifé-Fm. |
| 15202437 | Bifé-Fm.: Zementkalk | Bifé-Fm.: Zementkalk |
| 15202438 | Bifé-Fm.: Joux-Galez-Mb. | Bifé-Fm.: Joux-Galez-Mb. |
| 15202439 | Pereyre-Fm. | Pereyre-Fm. |
| 15202440 | Praz-Couquain-Fm. | Praz-Couquain-Fm. |
| 15202441 | Bretaye-Fm. | Bretaye-Fm. |
| 15202442 | Gryonne-Fm. | Gryonne-Fm. |
| 15202443 | Praz-Couquain-Fm.: Taffon-Mb. | Praz-Couquain-Fm.: Taffon-Mb. |
| 15202444 | Praz-Couquain-Fm.: Saix-Mb. | Praz-Couquain-Fm.: Saix-Mb. |
| 15202445 | Villarbeney-Fm.: Cergnement-Mb. | Villarbeney-Fm.: Cergnement-Mb. |
| 15202446 | Arveyes-Flysch | Arveyes-Flysch |
| 15202447 | Sex-Mort-Flysch | Sex-Mort-Flysch |
| 15202448 | Diechtergletscher-Fm.: Maasplanggstock-Metaandesit | Diechtergletscher-Fm.: Maasplanggstock-Metaandesit |
| 15202449 | Dammagletscher-Diorit | Dammagletscher-Diorit |
| 15202450 | Gryonne-Fm.: Schiefrige Fazies | Gryonne-Fm.: Schiefrige Fazies |
| 15202451 | Gryonne-Fm.: Kalkige Fazies | Gryonne-Fm.: Kalkige Fazies |
| 15202452 | Gryonne-Fm.: Basaler Teil | Gryonne-Fm.: Basaler Teil |
| 15202453 | Glarner-Verrucano: Tektonisierte Basis | Glarner-Verrucano: Tektonisierte Basis |
| 15202454 | Chrüzlistock-Migmatit | Chrüzlistock-Migmatit |
| 15202455 | Piz-Cuolmet-Gneiskomplex | Piz-Cuolmet-Gneiskomplex |
| 15202456 | Pulanera-Gneiskomplex | Pulanera-Gneiskomplex |
| 15202465 | Aiguilles-Rouges-Massiv: Spät- bis postvariszische Sedimente und Vulkanite | Aiguilles-Rouges-Massiv: Spät- bis postvariszische Sedimente und Vulkanite |
| 15202467 | Helvetikum: Variszisches Kristallin | Helvetikum: Variszisches Kristallin |
| 15202468 | Helvetikum: Prävariszisches polyzyklisches Grundgebirge | Helvetikum: Prävariszisches polyzyklisches Grundgebirge |
| 15202469 | Helvetikum: Grundgebirge | Helvetikum: Grundgebirge |
| 15202472 | Catogne-Gneiskomplex | Catogne-Gneiskomplex |
| 15202473 | Grépillons-Leukogranit | Grépillons-Leukogranit |
| 15202474 | Arpette-Leukogranit | Arpette-Leukogranit |
| 15202475 | Gärsthorn-Gneiskomplex: Bitschji-Augengneis | Gärsthorn-Gneiskomplex: Bitschji-Augengneis |
| 15202476 | Gärsthorn-Gneiskomplex: Geimen-Augengneis | Gärsthorn-Gneiskomplex: Geimen-Augengneis |
| 15202477 | Mont-Blanc-Massiv: Prävariszische Migmatite | Mont-Blanc-Massiv: Prävariszische Migmatite |

| GeolCode | Deutsch | Italiano |
|---|---|---|
| 15202478 | Mont-Blanc-Massiv: Prävariszisches Grundgebirge: Amphibolit-reiche Fazies | Mont-Blanc-Massiv: Prävariszisches Grundgebirge: Amphibolit-reiche Fazies |
| 15202479 | Mont-Blanc-Massiv: Prävariszisches Grundgebirge: Mylonit | Mont-Blanc-Massiv: Prävariszisches Grundgebirge: Mylonit |
| 15202480 | Morcles-Mikrogranit | Morcles-Mikrogranit |
| 15202481 | Aiguilles-Rouges-Massiv: Prävariszisches Migmatite | Aiguilles-Rouges-Massiv: Prävariszisches Migmatite |
| 15202482 | Fully-Gneiskomplex | Fully-Gneiskomplex |
| 15202483 | Hinterbalm-Granit | Hinterbalm-Granit |
| 15202484 | Balmenegg-Granit | Balmenegg-Granit |
| 15202485 | Zentraler-Aare-Granit: Unter-der-Flue-Varietät | Zentraler-Aare-Granit: Unter-der-Flue-Varietät |
| 15202486 | Pardatschas-Granit | Pardatschas-Granit |
| 15202487 | Rossbodenstock-Diorit | Rossbodenstock-Diorit |
| 15202488 | Val-da-Surplattas-Diorit | Val-da-Surplattas-Diorit |
| 15202489 | Tscharren-Fm.: Rinderbiel-Mikrogranit | Tscharren-Fm.: Rinderbiel-Mikrogranit |
| 15202490 | Leventina-Lucomagno-Decke: Trias: Quarzit | Leventina-Lucomagno-Decke: Trias: Quarzit |
| 15202491 | Kapfen-Fm. | Kapfen-Fm. |
| 15202492 | Kapfen-Fm.: Sandstein-dominierte Fazies | Kapfen-Fm.: Sandstein-dominierte Fazies |
| 15202493 | Kärpf-Fm.: Kärpfgipfel-Sernifit | Kärpf-Fm.: Kärpfgipfel-Sernifit |
| 15202494 | Fulen-Fm. | Fulen-Fm. |
| 15202495 | Karrenstock-Fm.: Glattmatt-Mb. | Karrenstock-Fm.: Glattmatt-Mb. |
| 15202496 | Mären-Fm.: Grisch-Mb.: Hanenstock-Keratophyr | Mären-Fm.: Grisch-Mb.: Hanenstock-Keratophyr |
| 15202497 | Mären-Fm.: Grisch-Mb.: Sonnenberg-Horizonte | Mären-Fm.: Grisch-Mb.: Sonnenberg-Horizonte |
| 15202498 | Mären-Fm.: Grisch-Mb.: Chamseeli-Konglomerat | Mären-Fm.: Grisch-Mb.: Chamseeli-Konglomerat |
| 15202499 | Murgtal-Fm.: Chartegg-Mb.: Rotberg-Sandstein | Murgtal-Fm.: Chartegg-Mb.: Rotberg-Sandstein |
| 15202500 | Murgtal-Fm.: Seez-Mb. | Murgtal-Fm.: Seez-Mb. |
| 15202501 | Murgtal-Fm.: Gufelialp-Mb. | Murgtal-Fm.: Gufelialp-Mb. |
| 15202502 | Ilanz-Verrucano s.s. | Ilanz-Verrucano s.s. |
| 15202503 | Ilanz-Verrucano: Buntgefleckte Schiefer | Ilanz-Verrucano: Buntgefleckte Schiefer |
| 15202504 | Tavetsch-Decke: Perm | Tavetsch-Decke: Perm |
| 15202505 | Windgällen-Fm.: Mikrogranit | Windgällen-Fm.: Mikrogranit |
| 15202506 | Bifertengrätli-Fm.: Sandalp-Rhyolith | Bifertengrätli-Fm.: Sandalp-Rhyolith |
| 15202507 | Tscharren-Fm.: Tuffitische Fazies | Tscharren-Fm.: Tuffitische Fazies |
| 15202508 | Tscharren-Fm.: Ignimbritische Fazies | Tscharren-Fm.: Ignimbritische Fazies |
| 15202509 | Euthal-Fm.: Guschakopf-Sandstein | Euthal-Fm.: Guschakopf-Sandstein |
| 15202510 | Quinten-Fm.: Gonzen-Eisenerzhorizont | Quinten-Fm.: Gonzen-Eisenerzhorizont |
| 15202511 | Schabell-Melange | Schabell-Melange |
| 15202512 | Taveyannaz-Fm.: Dachschiefer-Fazies | Taveyannaz-Fm.: Dachschiefer-Fazies |
| 15202513 | Helvetischer Kieselkalk: Oberer Teil | Helvetischer Kieselkalk: Oberer Teil |
| 15202514 | Helvetischer Kieselkalk: Unterer Teil | Helvetischer Kieselkalk: Unterer Teil |
| 15202515 | Helvetischer Kieselkalk: Basisschiefer | Helvetischer Kieselkalk: Basisschiefer |
| 15202516 | Torrenthorn-Fm.: Torrentalp-Mb.: Schiefer-Fazies | Torrenthorn-Fm.: Torrentalp-Mb.: Schiefer-Fazies |

| GeolCode | Deutsch | Italiano |
|---|---|---|
| 15202517 | Torrenthorn-Fm.: Torrentalp-Mb.: Spatkalk-Fazies | Torrenthorn-Fm.: Torrentalp-Mb.: Spatkalk-Fazies |
| 15202518 | Torrenthorn-Fm.: Torrentalp-Mb.: Sandstein-Fazies | Torrenthorn-Fm.: Torrentalp-Mb.: Sandstein-Fazies |
| 15202519 | Torrenthorn-Fm.: Galm-Mb.: Spatkalk-Fazies | Torrenthorn-Fm.: Galm-Mb.: Spatkalk-Fazies |
| 15202520 | Torrenthorn-Fm.: Galm-Mb.: Sandstein-Fazies | Torrenthorn-Fm.: Galm-Mb.: Sandstein-Fazies |
| 15202521 | Meilleret-Fm.: Iserin-Konglomerat | Meilleret-Fm.: Iserin-Konglomerat |
| 15202522 | Meilleret-Fm.: Biodetritischer Kalkstein | Meilleret-Fm.: Biodetritischer Kalkstein |
| 15202523 | Meilleret-Fm.: Arkose | Meilleret-Fm.: Arkose |
| 15202524 | Meilleret-Fm.: Basales Konglomerat | Meilleret-Fm.: Basales Konglomerat |
| 15202525 | Bommerstein-Fm.: Glockhaus-Mb.: Grenzquarzit | Bommerstein-Fm.: Glockhaus-Mb.: Grenzquarzit |
| 15202526 | Telltistock-Granit | Telltistock-Granit |
| 15202527 | Öhrli-Fm.: von Siderolithikum durchsetzt | Öhrli-Fm.: von Siderolithikum durchsetzt |
| 15202528 | Zentraler-Aare-Granit: Beesten-Varietät | Zentraler-Aare-Granit: Beesten-Varietät |
| 15202529 | Diechtergletscher-Fm.: Garwiidi-Diorit | Diechtergletscher-Fm.: Garwiidi-Diorit |
| 15202530 | Alp-Crap-Ner-Granit | Alp-Crap-Ner-Granit |
| 15202531 | Innertkirchen-Migmatit: Permisch verwittert | Innertkirchen-Migmatit: Permisch verwittert |
| 15202532 | Erstfeld-Gneiskomplex: Permisch verwittert | Erstfeld-Gneiskomplex: Permisch verwittert |
| 15202533 | Martinsmad-Fm.: Supraquarzitischer Flysch: Suren-Flysch | Martinsmad-Fm.: Supraquarzitischer Flysch: Suren-Flysch |
| 15202534 | Stad-Fm.: Spirstock-Mb.: Obere Sandsteine | Stad-Fm.: Spirstock-Mb.: Obere Sandsteine |
| 15202535 | Stad-Fm.: Spirstock-Mb.: Blockmergel | Stad-Fm.: Spirstock-Mb.: Blockmergel |
| 15202536 | Stad-Fm.: Spirstock-Mb.: Untere Sandsteine | Stad-Fm.: Spirstock-Mb.: Untere Sandsteine |
| 15202537 | Helvetischer Kieselkalk: Ringgenberg-Sch. | Helvetischer Kieselkalk: Ringgenberg-Sch. |
| 15202538 | Quinten-Fm.: Malmbrekzie | Quinten-Fm.: Malmbrekzie |
| 15202539 | Schattwald-Mergelkalk | Schattwald-Mergelkalk |
| 15202540 | Elm- und Matt-Fm. | Elm- und Matt-Fm. |
| 15202541 | Elm- und Matt-Fm.: Quarzsandstein | Elm- und Matt-Fm.: Quarzsandstein |
| 15202542 | Nordhelvetische Flysch-Gr.: Schiefriger Tonstein | Nordhelvetische Flysch-Gr.: Schiefriger Tonstein |
| 15202543 | Tierwis-Fm.: Schiefrige Fazies | Tierwis-Fm.: Schiefrige Fazies |
| 15202544 | Tierwis-Fm.: Kalkige Fazies | Tierwis-Fm.: Kalkige Fazies |
| 15202545 | Bommerstein-Fm.: Glockhaus-Mb.: Schiefriger Eisensandstein | Bommerstein-Fm.: Glockhaus-Mb.: Schiefriger Eisensandstein |
| 15202546 | Helvetikum: Trias: Dolomit | Helvetikum: Trias: Dolomit |
| 15202547 | Helvetikum: Trias: Rauwacke | Helvetikum: Trias: Rauwacke |
| 15202548 | Helvetikum: Trias: Gips | Helvetikum: Trias: Gips |
| 15202549 | Baltschieder-Granodiorit: Biotittonalit | Baltschieder-Granodiorit: Biotittonalit |
| 15202550 | Baltschieder-Granodiorit: Hornblende Biotittonalit | Baltschieder-Granodiorit: Hornblende Biotittonalit |
| 15202551 | Erstfeld-Gneiskomplex: Biotit-Plagioklasgneis | Erstfeld-Gneiskomplex: Biotit-Plagioklasgneis |
| 15202552 | Erstfeld-Gneiskomplex: Orthogneis | Erstfeld-Gneiskomplex: Orthogneis |
| 15202553 | Erstfeld-Gneiskomplex: Migmatit | Erstfeld-Gneiskomplex: Migmatit |

| GeolCode | Deutsch | Italiano |
|---|---|---|
| 15202554 | Guttannen-Gneiskomplex: Paragneis | Guttannen-Gneiskomplex: Paragneis |
| 15202555 | Guttannen-Gneiskomplex: Orthogneis | Guttannen-Gneiskomplex: Orthogneis |
| 15202556 | Guttannen-Gneiskomplex: Biotit-Chloritschiefer | Guttannen-Gneiskomplex: Biotit-Chloritschiefer |
| 15202557 | Guttannen-Gneiskomplex: Chlorit-Serizitschiefer | Guttannen-Gneiskomplex: Chlorit-Serizitschiefer |
| 15202558 | Lötschental-Gneiskomplex: Muskovitgneis | Lötschental-Gneiskomplex: Muskovitgneis |
| 15202559 | Lötschental-Gneiskomplex: Migmatitischer Biotitgneis | Lötschental-Gneiskomplex: Migmatitischer Biotitgneis |
| 15202560 | Lötschental-Gneiskomplex: Chloritschiefer | Lötschental-Gneiskomplex: Chloritschiefer |
| 15202561 | Ofenhorn-Stampfhorn-Gneiskomplex: Gebänderter Biotitgneis | Ofenhorn-Stampfhorn-Gneiskomplex: Gebänderter Biotitgneis |
| 15202562 | Ofenhorn-Stampfhorn-Gneiskomplex: Migmatit | Ofenhorn-Stampfhorn-Gneiskomplex: Migmatit |
| 15202563 | Ofenhorn-Stampfhorn-Gneiskomplex: Biotitgneis | Ofenhorn-Stampfhorn-Gneiskomplex: Biotitgneis |
| 15202564 | Ofenhorn-Stampfhorn-Gneiskomplex: Orthogneis | Ofenhorn-Stampfhorn-Gneiskomplex: Orthogneis |
| 15202565 | Bäregg-Gneiskomplex: Mylonitischer Orthogneis | Bäregg-Gneiskomplex: Mylonitischer Orthogneis |
| 15202566 | Bäregg-Gneiskomplex: Mylonitischer Paragneis | Bäregg-Gneiskomplex: Mylonitischer Paragneis |
| 15202567 | Bäregg-Gneiskomplex: Metavulkanite | Bäregg-Gneiskomplex: Metavulkanite |
| 15202568 | Grimsel-Granodiorit: Aplitische Randfazies | Grimsel-Granodiorit: Aplitische Randfazies |
| 15202569 | Voralp-Granit: Saure Randfazies | Voralp-Granit: Saure Randfazies |
| 15202570 | Tamina-Gneiskomplex | Tamina-Gneiskomplex |
| 15202571 | Tamina-Gneiskomplex: Schiefriger Biotitgneis | Tamina-Gneiskomplex: Schiefriger Biotitgneis |
| 15202572 | Tamina-Gneiskomplex: Mylonit | Tamina-Gneiskomplex: Mylonit |
| 15202573 | Innertkirchen-Migmatit: Marmor | Innertkirchen-Migmatit: Marmor |
| 15202574 | Guttannen-Gneiskomplex: Migmatit | Guttannen-Gneiskomplex: Migmatit |
| 15202575 | Guttannen-Gneiskomplex: Amphibolit-reiche Fazies | Guttannen-Gneiskomplex: Amphibolit-reiche Fazies |
| 15202576 | Guttannen-Gneiskomplex: Aplitischer Granit | Guttannen-Gneiskomplex: Aplitischer Granit |
| 15202577 | Guttannen-Gneiskomplex: Marmor | Guttannen-Gneiskomplex: Marmor |
| 15202578 | Guttannen-Gneiskomplex: Ultramafisches Gestein | Guttannen-Gneiskomplex: Ultramafisches Gestein |
| 15202579 | Ofenhorn-Stampfhorn-Gneiskomplex: Schollenamphibolit-reiche Fazies | Ofenhorn-Stampfhorn-Gneiskomplex: Schollenamphibolit-reiche Fazies |
| 15202580 | Ofenhorn-Stampfhorn-Gneiskomplex: Aplitischer Granit | Ofenhorn-Stampfhorn-Gneiskomplex: Aplitischer Granit |
| 15202581 | Ofenhorn-Stampfhorn-Gneiskomplex: Schollenamphibolit | Ofenhorn-Stampfhorn-Gneiskomplex: Schollenamphibolit |
| 15202582 | Ofenhorn-Stampfhorn-Gneiskomplex: Ultramafisches Gestein | Ofenhorn-Stampfhorn-Gneiskomplex: Ultramafisches Gestein |
| 15202583 | Bommerstein- und Reischiben-Fm. | Bommerstein- und Reischiben-Fm. |
| 15202584 | Mels- und Röti-Fm. | Mels- und Röti-Fm. |
| 15202585 | Guttannen-Gneiskomplex: Schierfriger Biotit-Chlorit-Serizit-Gneis | Guttannen-Gneiskomplex: Schierfriger Biotit-Chlorit-Serizit-Gneis |
| 15202586 | Zettenalp-Trochematt-Melange | Zettenalp-Trochematt-Melange |

| GeolCode | Deutsch | Italiano |
|---|---|---|
| 15202587 | Laubersmad-Flysch | Laubersmad-Flysch |
| 15202588 | Stad-Fm.: Quarzsandstein | Stad-Fm.: Quarzsandstein |
| 15202589 | Euthal-Fm.: Einsiedeln-Mb.: Quarzsandstein | Euthal-Fm.: Einsiedeln-Mb.: Quarzsandstein |
| 15202590 | Schrattenkalk-Fm.: vermergelt | Schrattenkalk-Fm.: vermergelt |
| 15202591 | Stad-Fm.: Wängen-Kalk: Lithothamnienkalk-Fazies | Stad-Fm.: Wängen-Kalk: Lithothamnienkalk-Fazies |
| 15202592 | Euthal-Fm.: Einsiedeln-Mb.: Alveolinenkalk-Fazies | Euthal-Fm.: Einsiedeln-Mb.: Alveolinenkalk-Fazies |
| 15202593 | Niederhorn-Fm.: Hohgant-Sandstein: Sandkalk und Kalk | Niederhorn-Fm.: Hohgant-Sandstein: Sandkalk und Kalk |
| 15202594 | Interne Einsiedeln-Schuppen: Tektonisches Melange | Interne Einsiedeln-Schuppen: Tektonisches Melange |
| 15202595 | Bürgen- und Wildstrubel-Fm. | Bürgen- und Wildstrubel-Fm. |
| 15202596 | Einsiedeln- und Steinbach-Mb. | Einsiedeln- und Steinbach-Mb. |
| 15202597 | Stad-Fm.: e6 | Stad-Fm.: e6 |
| 15202598 | Stgir- und Inferno-Fm. | Stgir- und Inferno-Fm. |
| 15202599 | Quinten-Fm.: Oberer Quintner Kalk: Korallenkalk | Quinten-Fm.: Oberer Quintner Kalk: Korallenkalk |
| 15202600 | Quinten-Fm.: Oberer Quintner Kalk: Unterer Kalk | Quinten-Fm.: Oberer Quintner Kalk: Unterer Kalk |
| 15202601 | Prodkamm- bis Sexmor-Fm. | Prodkamm- bis Sexmor-Fm. |
| 15202602 | Plattenzüg-Fm. | Plattenzüg-Fm. |
| 15202603 | Zemenstein- bis Garschella Fm. | Zemenstein- bis Garschella Fm. |
| 15202604 | Euthal-Fm.: Vasanachopf-Mb | Euthal-Fm.: Vasanachopf-Mb |
| 15202605 | Pfäfers-Fm. | Pfäfers-Fm. |
| 15202606 | Euthal- und Bürgen-Fm. | Euthal- und Bürgen-Fm. |
| 15202607 | Amden- und Wang-Fm. | Amden- und Wang-Fm. |
| 15202608 | Seewen- und Amden-Fm. | Seewen- und Amden-Fm. |
| 15202609 | Betlis- bis Schrattenkalk-Fm. | Betlis- bis Schrattenkalk-Fm. |
| 15202610 | Öhrli- bis Schrattenkalk-Fm. | Öhrli- bis Schrattenkalk-Fm. |
| 15202611 | Bommerstein-Fm.: Basisbildungen | Bommerstein-Fm.: Basisbildungen |
| 15202612 | Öhrli- und Betlis-Fm. | Öhrli- und Betlis-Fm. |
| 15202613 | Erzegg-Fm.: Grenzschicht | Erzegg-Fm.: Grenzschicht |
| 15202614 | Spitzmeilen-Fm.: Bränd-Brekzie | Spitzmeilen-Fm.: Bränd-Brekzie |
| 15202615 | Infralias-Sandstein | Infralias-Sandstein |
| 15202616 | Nufenen-Zone: Phyllitische Trias | Nufenen-Zone: Phyllitische Trias |
| 15202617 | Nufenen-Zone: Karbonatische Trias | Nufenen-Zone: Karbonatische Trias |
| 15202618 | Nufenen-Zone: Karbonatische Trias: Kalkmarmor | Nufenen-Zone: Karbonatische Trias: Kalkmarmor |
| 15202619 | Nufenen-Zone: Karbonatische Trias: Dolomit | Nufenen-Zone: Karbonatische Trias: Dolomit |
| 15202620 | Nufenen-Zone: Karbonatische Trias: Rauwacke | Nufenen-Zone: Karbonatische Trias: Rauwacke |
| 15202621 | Nufenen-Zone: Quarzitische Trias | Nufenen-Zone: Quarzitische Trias |
| 15202622 | Urseren-Garvera-Zone: Malm | Urseren-Garvera-Zone: Malm |
| 15202623 | Urseren-Garvera-Zone: Dogger | Urseren-Garvera-Zone: Dogger |
| 15202624 | Urseren-Garvera-Zone: Lias | Urseren-Garvera-Zone: Lias |
| 15202625 | Urseren-Garvera-Zone: Oberer Lias | Urseren-Garvera-Zone: Oberer Lias |
| 15202626 | Urseren-Garvera-Zone: Mittlerer Lias | Urseren-Garvera-Zone: Mittlerer Lias |
| 15202627 | Urseren-Garvera-Zone: Unterer Lias | Urseren-Garvera-Zone: Unterer Lias |
| 15202628 | Urseren-Garvera-Zone: Phyllitische Trias | Urseren-Garvera-Zone: Phyllitische Trias |

| GeolCode | Deutsch | Italiano |
|---|---|---|
| 15202629 | Urseren-Garvera-Zone: Karbonatische Trias | Urseren-Garvera-Zone: Karbonatische Trias |
| 15202630 | Urseren-Garvera-Zone: Permo-Karbon: Psephit- und Psammitgneis | Urseren-Garvera-Zone: Permo-Karbon: Psephit- und Psammitgneis |
| 15202631 | Urseren-Garvera-Zone: Permo-Karbon: Metarhyolith | Urseren-Garvera-Zone: Permo-Karbon: Metarhyolith |
| 15202632 | Urseren-Garvera-Zone: Permo-Karbon: Chloritschiefer | Urseren-Garvera-Zone: Permo-Karbon: Chloritschiefer |
| 15202633 | Urseren-Garvera-Zone: Permo-Karbon: Graphitschiefer | Urseren-Garvera-Zone: Permo-Karbon: Graphitschiefer |
| 15202634 | Gotthard-Decke: Prävariszischer Orthogneis | Gotthard-Decke: Prävariszischer Orthogneis |
| 15202635 | Gotthard-Decke: Prävariszischer Augengneis | Gotthard-Decke: Prävariszischer Augengneis |
| 15202636 | Gotthard-Decke: Prävariszischer Paragneis | Gotthard-Decke: Prävariszischer Paragneis |
| 15202637 | Camosci-Decke: Paragneis | Camosci-Decke: Paragneis |
| 15202638 | Camosci-Decke: Lias-Dogger | Camosci-Decke: Lias-Dogger |
| 15202639 | Camosci-Decke: Lias-Dogger: Kalkglimmerschiefer | Camosci-Decke: Lias-Dogger: Kalkglimmerschiefer |
| 15202640 | Camosci-Decke: Lias-Dogger: Granatglimmerschiefer | Camosci-Decke: Lias-Dogger: Granatglimmerschiefer |
| 15202641 | Camosci-Decke: Lias | Camosci-Decke: Lias |
| 15202642 | Camosci-Decke: Trias | Camosci-Decke: Trias |
| 15202643 | Camosci-Decke: Sandige Trias | Camosci-Decke: Sandige Trias |
| 15202644 | Camosci-Decke: Karbonatische Trias | Camosci-Decke: Karbonatische Trias |
| 15202645 | Urseren-Garvera-Zone | Urseren-Garvera-Zone |
| 15202646 | Urseren-Garvera-Zone: Trias | Urseren-Garvera-Zone: Trias |
| 15202647 | Nufenen-Zone: Trias | Nufenen-Zone: Trias |
| 15202648 | Nufenen-Zone: Lias | Nufenen-Zone: Lias |
| 15202649 | Nufenen-Zone | Nufenen-Zone |
| 15202650 | Termen-Zone | Termen-Zone |
| 15202651 | Palfris- und Zementstein-Fm. | Palfris- und Zementstein-Fm. |
| 15202652 | Garschella- und Seewen-Fm. | Garschella- und Seewen-Fm. |
| 15202653 | Stgir- bis Coroi-Fm. | Stgir- bis Coroi-Fm. |
| 15202654 | Vieux-Emosson-Fm.: Sandige Fazies | Vieux-Emosson-Fm.: Sandige Fazies |
| 15202655 | Tierwis- und Schrattenkalk-Fm. undiff. | Tierwis- und Schrattenkalk-Fm., undiff. |
| 15202656 | Hochstollen-Fm.: Kieselkalk | Hochstollen-Fm.: Kieselkalk |
| 15202657 | Mont-Joly-Fm.: Oberer, kalkiger und mergeliger Teil | Mont-Joly-Fm.: Oberer, kalkiger und mergeliger Teil |
| 15202658 | Mont-Joly-Fm.: Unterer, sandiger Teil | Mont-Joly-Fm.: Unterer, sandiger Teil |
| 15202659 | Vernayaz-Fm.: Dzéman-Mb.: Couches Vertes | Vernayaz-Fm.: Dzéman-Mb.: Couches Vertes |
| 15202660 | Fully-Granodiorit: Mikrodioritische Fazies | Fully-Granodiorit: Mikrodioritische Fazies |
| 15202661 | Fully-Granodiorit: Apltisiche Fazies | Fully-Granodiorit: Apltisiche Fazies |
| 15202662 | Fully-Gneiskomplex: Migmatit | Fully-Gneiskomplex: Migmatit |
| 15202663 | Fully-Gneiskomplex: Biotitgneis | Fully-Gneiskomplex: Biotitgneis |
| 15202664 | Fully-Gneiskomplex: Mylonit | Fully-Gneiskomplex: Mylonit |
| 15202665 | Fully-Gneiskomplex: Orthogneis | Fully-Gneiskomplex: Orthogneis |
| 15202666 | Fully-Gneiskomplex: Amphibolit | Fully-Gneiskomplex: Amphibolit |
| 15202667 | Fully-Gneiskomplex: Marmor | Fully-Gneiskomplex: Marmor |
| 15202668 | Oudiou-Fm.: Dickbankiger spätiger Kalkstein und Brekzie | Oudiou-Fm.: Dickbankiger spätiger Kalkstein und Brekzie |

| GeolCode | Deutsch | Italiano |
|---|---|---|
| 15202669 | Oudiou-Fm.: Spätiger Kalkstein mit basaler Phosphathorizont | Oudiou-Fm.: Spätiger Kalkstein mit basaler Phosphathorizont |
| 15202670 | Oudiou-Fm.: Dünnbankiger Kalkstein und schiefriger Tonstein | Oudiou-Fm.: Dünnbankiger Kalkstein und schiefriger Tonstein |
| 15202671 | Sanetsch-Fm.: Six-Tremble-Member: vorw. Malmblöcke | Sanetsch-Fm.: Six-Tremble-Member: vorw. Malmblöcke |
| 15202672 | Sanetsch-Fm.: Six-Tremble-Member: vorw. Kristallinblöcke | Sanetsch-Fm.: Six-Tremble-Member: vorw. Kristallinblöcke |
| 15202673 | Hochstollen-Fm.: Kalk-Mergel-Wechsellagerung | Hochstollen-Fm.: Kalk-Mergel-Wechsellagerung |
| 15202674 | Hochstollen-Fm.: Mergelschiefer | Hochstollen-Fm.: Mergelschiefer |
| 15202675 | Dugny-Fm.: Schistes à Miches | Dugny-Fm.: Schistes à Miches |
| 15202676 | Dugny-Fm.: Schwarzer Tonstein | Dugny-Fm.: Schwarzer Tonstein |
| 15202677 | Helvetikum: Trias: Bunte Schiefer | Helvetikum: Trias: Bunte Schiefer |
| 15202678 | Garschella-Fm.: Brisi- und Selun-Mb. | Garschella-Fm.: Brisi- und Selun-Mb. |
| 15202679 | Palfris-Fm. und Vitznau-Mergel | Palfris-Fm. und Vitznau-Mergel |
| 15202680 | Helvetikum: Trias: Gipsmergel | Helvetikum: Trias: Gipsmergel |
| 15202681 | Aiguilles-Rouges-Massiv: Autochthone Sedimentbedeckung | Aiguilles-Rouges-Massiv: Autochthone Sedimentbedeckung |
| 15202682 | Aiguilles-Rouges-Massiv: Grundgebirge | Aiguilles-Rouges-Massiv: Grundgebirge |
| 15202683 | Aiguilles-Rouges-Massiv: Variszisches Grundgebirge | Aiguilles-Rouges-Massiv: Variszisches Grundgebirge |
| 15202684 | Mont-Blanc-Massiv: Grundgebirge | Mont-Blanc-Massiv: Grundgebirge |
| 15202685 | Mont-Blanc-Massiv: Variszische Grundgebirge | Mont-Blanc-Massiv: Variszische Grundgebirge |
| 15202686 | Bürgen-, Klimsenhorn- und Wildstrubel-Fm. | Bürgen-, Klimsenhorn- und Wildstrubel-Fm. |
| 15203001 | Niesen-Flysch undiff. | Niesen-Flysch undiff. |
| 15203002 | Niesen-Flysch: Chesselbach-Fm. | Niesen-Flysch: Chesselbach-Fm. |
| 15203003 | Niesen-Flysch: Seron-Fm. | Niesen-Flysch: Seron-Fm. |
| 15203004 | Niesen-Flysch: Niesenkulm-Fm. | Niesen-Flysch: Niesenkulm-Fm. |
| 15203005 | Niesen-Flysch: Frutigen-Fm. | Niesen-Flysch: Frutigen-Fm. |
| 15203006 | Grande-Eau-Fm. | Grande-Eau-Fm. |
| 15203007 | Grande-Eau-Fm.: Langy-Mb. | Grande-Eau-Fm.: Langy-Mb. |
| 15203008 | Grande-Eau-Fm.: Forclaz-Mb. | Grande-Eau-Fm.: Forclaz-Mb. |
| 15203009 | Grande-Eau-Fm.: Grès de Passage | Grande-Eau-Fm.: Grès de Passage |
| 15203010 | Grande-Eau-Fm.: Leyderry-Mb. | Grande-Eau-Fm.: Leyderry-Mb. |
| 15203011 | Grande-Eau-Fm.: Raverette-Mb. | Grande-Eau-Fm.: Raverette-Mb. |
| 15203012 | Grande-Eau-Fm.: Schistes à miches | Grande-Eau-Fm.: Schistes à miches |
| 15203013 | Murgaz-Kalk | Murgaz-Kalk |
| 15203014 | Niesen-Decke: Trias | Niesen-Decke: Trias |
| 15203015 | Chlussli-Fm. | Chlussli-Fm. |
| 15203016 | Coulaytes-Melange | Coulaytes-Melange |
| 15203017 | Cuvigne-Derrey-Fm. | Cuvigne-Derrey-Fm. |
| 15203018 | Couches-Rouges | Couches-Rouges |
| 15203019 | Chenaux-Rouges-Fm. | Chenaux-Rouges-Fm. |
| 15203020 | Chenaux-Rouges-Fm.: Hochmatt-Kalkarenit | Chenaux-Rouges-Fm.: Hochmatt-Kalkarenit |
| 15203021 | Chenaux-Rouges-Fm.: Chenaux-Rouges-Mineralkruste | Chenaux-Rouges-Fm.: Chenaux-Rouges-Mineralkruste |
| 15203022 | Forclettes-Fm. | Forclettes-Fm. |
| 15203023 | Forclettes-Fm.: Roter-Sattel-Hartgrund | Forclettes-Fm.: Roter-Sattel-Hartgrund |

| GeolCode | Deutsch | Italiano |
|---|---|---|
| 15203024 | Forclettes-Fm.: Beaumont-Konglomerat | Forclettes-Fm.: Beaumont-Konglomerat |
| 15203025 | Forclettes-Fm.: Rayes-Kalk | Forclettes-Fm.: Rayes-Kalk |
| 15203026 | Forclettes-Fm.: Pissot-Mb. | Forclettes-Fm.: Pissot-Mb. |
| 15203027 | Rote-Platte-Fm. | Rote-Platte-Fm. |
| 15203028 | Rote-Platte-Fm.: Wildenbach-Mb. | Rote-Platte-Fm.: Wildenbach-Mb. |
| 15203029 | Rote-Platte-Fm.: Pra-du-Pont-Hartgrund | Rote-Platte-Fm.: Pra-du-Pont-Hartgrund |
| 15203030 | Rote-Platte-Fm.: Rontins-Mb. | Rote-Platte-Fm.: Rontins-Mb. |
| 15203031 | Rote-Platte-Fm.: Allières-Mb. | Rote-Platte-Fm.: Allières-Mb. |
| 15203032 | Rote-Platte-Fm.: Gérignoz-Kalk | Rote-Platte-Fm.: Gérignoz-Kalk |
| 15203033 | Rote-Platte-Fm.: Plagersflue-Kalkarenit | Rote-Platte-Fm.: Plagersflue-Kalkarenit |
| 15203034 | Intyamon-Fm. | Intyamon-Fm. |
| 15203035 | Intyamon-Fm.: Chällihorn-Mb. | Intyamon-Fm.: Chällihorn-Mb. |
| 15203036 | Intyamon-Fm.: Comba-d'Avau-Mb. | Intyamon-Fm.: Comba-d'Avau-Mb. |
| 15203037 | Intyamon-Fm.: Rodosex-Mb. | Intyamon-Fm.: Rodosex-Mb. |
| 15203038 | Sciernes-d'Albeuve-Fm. | Sciernes-d'Albeuve-Fm. |
| 15203039 | Moléson-Fm. | Moléson-Fm. |
| 15203040 | Torrent-de-Lessoc-Fm. | Torrent-de-Lessoc-Fm. |
| 15203041 | Staldengraben-Fm. | Staldengraben-Fm. |
| 15203042 | Staldengraben-Fm.: Col-de-Lys-Mb. | Staldengraben-Fm.: Col-de-Lys-Mb. |
| 15203043 | Staldengraben-Fm.: Vanil-Carré-Mb. | Staldengraben-Fm.: Vanil-Carré-Mb. |
| 15203044 | Staldengraben-Fm.: Verdy-Mb. | Staldengraben-Fm.: Verdy-Mb. |
| 15203045 | Staldengraben-Fm.: Soladier-Mb. | Staldengraben-Fm.: Soladier-Mb. |
| 15203046 | Sommant-Fm. | Sommant-Fm. |
| 15203047 | Rossinière-Fm. | Rossinière-Fm. |
| 15203048 | Heiti-Fm. | Heiti-Fm. |
| 15203049 | Combe-du-Pissot-Fm. | Combe-du-Pissot-Fm. |
| 15203050 | Combe-du-Pissot-Fm.: Chevalets-Mb. | Combe-du-Pissot-Fm.: Chevalets-Mb. |
| 15203051 | Combe-du-Pissot-Fm.: Creux-de-l'Ours-Mb. | Combe-du-Pissot-Fm.: Creux-de-l'Ours-Mb. |
| 15203052 | Petit-Liençon-Fm. | Petit-Liençon-Fm. |
| 15203053 | Arvel-Fm. | Arvel-Fm. |
| 15203054 | Grande-Bonavau-Fm. | Grande-Bonavau-Fm. |
| 15203055 | Chauderon-Fm. | Chauderon-Fm. |
| 15203056 | Vudalla-Fm. | Vudalla-Fm. |
| 15203057 | Vudalla-Fm.: Bois-de-Luan-Mb. | Vudalla-Fm.: Bois-de-Luan-Mb. |
| 15203058 | Vudalla-Fm.: Agreblierai-Mb. | Vudalla-Fm.: Agreblierai-Mb. |
| 15203059 | Col-de-Tompey-Fm. | Col-de-Tompey-Fm. |
| 15203060 | Plan-Falcon-Fm. | Plan-Falcon-Fm. |
| 15203061 | Dolomies Blondes | Dolomies Blondes |
| 15203062 | Clôt-la-Cime-Fm. | Clôt-la-Cime-Fm. |
| 15203066 | Griggeli-Fm. | Griggeli-Fm. |
| 15203067 | Griggeli-Fm.: Mythen-Kieselkalk | Griggeli-Fm.: Mythen-Kieselkalk |
| 15203068 | Griggeli-Fm.: Griggeli-Bk. | Griggeli-Fm.: Griggeli-Bk. |
| 15203069 | Gibel-Fm. | Gibel-Fm. |
| 15203070 | Gibel-Fm.: Rämsi-Mb. | Gibel-Fm.: Rämsi-Mb. |
| 15203071 | Gibel-Fm.: Gibel-Mb. | Gibel-Fm.: Gibel-Mb. |
| 15203072 | Gibel-Fm.: Steinberg-Konglomerat | Gibel-Fm.: Steinberg-Konglomerat |
| 15203073 | Gibel-Fm.: Musenalp-Mb. | Gibel-Fm.: Musenalp-Mb. |
| 15203074 | Stanserhorn-Fm. | Stanserhorn-Fm. |
| 15203075 | Stanserhorn-Fm.: Zoophycos-Sch. | Stanserhorn-Fm.: Zoophycos-Sch. |
| 15203076 | Stanserhorn-Fm.: Spis-Kalk | Stanserhorn-Fm.: Spis-Kalk |
| 15203077 | Stanserhorn-Fm.: Posidonienschiefer | Stanserhorn-Fm.: Posidonienschiefer |

| GeolCode | Deutsch | Italiano |
|---|---|---|
| 15203078 | Obflue-Fm. | Obflue-Fm. |
| 15203079 | Brand-Fm. | Brand-Fm. |
| 15203080 | Horngraben-Fm. | Horngraben-Fm. |
| 15203081 | Lückengraben-Fm. | Lückengraben-Fm. |
| 15203082 | Dorfflüe-Fm. | Dorfflüe-Fm. |
| 15203083 | Dorfflüe-Fm.: Gummfluh-Mikrofazies | Dorfflüe-Fm.: Gummfluh-Mikrofazies |
| 15203084 | Dorfflüe-Fm.: Pfad-Mikrofazies | Dorfflüe-Fm.: Pfad-Mikrofazies |
| 15203085 | Dorfflüe-Fm.: Rindenkorn-Mikrofazies | Dorfflüe-Fm.: Rindenkorn-Mikrofazies |
| 15203086 | Dorfflüe-Fm.: Gastlosen-Oolith | Dorfflüe-Fm.: Gastlosen-Oolith |
| 15203087 | Dorfflüe-Fm.: Wandfluh-Mikrofazies | Dorfflüe-Fm.: Wandfluh-Mikrofazies |
| 15203088 | Mytilus-Sch. | Mytilus-Sch. |
| 15203089 | Mytilus-Sch.: Col-de-Cordon-Mb. | Mytilus-Sch.: Col-de-Cordon-Mb. |
| 15203090 | Mytilus-Sch.: Col-de-Cordon-Mb.: Klus-Konglomerat | Mytilus-Sch.: Col-de-Cordon-Mb.: Klus-Konglomerat |
| 15203091 | Mytilus-Sch.: Col-de-Cordon-Mb.: Holzerhorn-Einheit | Mytilus-Sch.: Col-de-Cordon-Mb.: Holzerhorn-Einheit |
| 15203092 | Mytilus-Sch.: Rubli-Mb. | Mytilus-Sch.: Rubli-Mb. |
| 15203093 | Mytilus-Sch.: Chavanette-Mb. | Mytilus-Sch.: Chavanette-Mb. |
| 15203094 | Pralet-Fm.: Erpilles-Mb. | Pralet-Fm.: Erpilles-Mb. |
| 15203095 | Wiriehorn-Fm. | Wiriehorn-Fm. |
| 15203096 | St-Triphon-Fm. | St-Triphon-Fm. |
| 15203097 | St-Triphon-Fm.: Andonces-Mb. | St-Triphon-Fm.: Andonces-Mb. |
| 15203098 | St-Triphon-Fm.: Lessus-Mb. | St-Triphon-Fm.: Lessus-Mb. |
| 15203099 | St-Triphon-Fm.: Dorchaux-Mb. | St-Triphon-Fm.: Dorchaux-Mb. |
| 15203100 | Mattes-Melange | Mattes-Melange |
| 15203101 | Chumi-Fm. | Chumi-Fm. |
| 15203102 | Joux-Verte-Fm. | Joux-Verte-Fm. |
| 15203103 | Bonave-Fm. | Bonave-Fm. |
| 15203104 | Obere Brekzie | Obere Brekzie |
| 15203105 | Obere Schiefer | Obere Schiefer |
| 15203106 | Untere Brekzie | Untere Brekzie |
| 15203107 | Untere Schiefer | Untere Schiefer |
| 15203108 | Untere Schiefer: Untere Kalke | Untere Schiefer: Untere Kalke |
| 15203109 | Brekzien-Decke:Trias | Brekzien-Decke: Trias |
| 15203110 | Gurnigel-Flysch undiff. | Gurnigel-Flysch undiff. |
| 15203111 | Gurnigel-Flysch: Flysch-4 | Gurnigel-Flysch: Flysch-4 |
| 15203112 | Gurnigel-Flysch: Flysch-3b | Gurnigel-Flysch: Flysch-3b |
| 15203113 | Gurnigel-Flysch: Flysch-3a | Gurnigel-Flysch: Flysch-3a |
| 15203114 | Gurnigel-Flysch: Flysch-2b | Gurnigel-Flysch: Flysch-2b |
| 15203115 | Gurnigel-Flysch: Flysch-2a | Gurnigel-Flysch: Flysch-2a |
| 15203116 | Gurnigel-Flysch: Hellstätt-Fm. | Gurnigel-Flysch: Hellstätt-Fm. |
| 15203117 | Schlieren-Flysch undiff. | Schlieren-Flysch undiff. |
| 15203118 | Schlieren-Flysch: Schlieren-Sandstein | Schlieren-Flysch: Schlieren-Sandstein |
| 15203119 | Schlieren-Flysch: Schoni-Sandstein | Schlieren-Flysch: Schoni-Sandstein |
| 15203120 | Schlieren-Flysch: Schoni-Sandstein: Oberer Tonstein | Schlieren-Flysch: Schoni-Sandstein: Oberer Tonstein |
| 15203121 | Schlieren-Flysch: Guber-Sandstein | Schlieren-Flysch: Guber-Sandstein |
| 15203122 | Schlieren-Flysch: Guber-Sandstein: Unterer Tonstein | Schlieren-Flysch: Guber-Sandstein: Unterer Tonstein |
| 15203123 | Schlieren-Flysch: Basaler Flysch | Schlieren-Flysch: Basaler Flysch |
| 15203124 | Estavannens-Fm. | Estavannens-Fm. |
| 15203125 | Reidigen-Fm. | Reidigen-Fm. |
| 15203126 | Biot-Fm. | Biot-Fm. |
| 15203127 | Chétillon-Fm. | Chétillon-Fm. |

| GeolCode | Deutsch | Italiano |
|---|---|---|
| 15203128 | Rodomonts-Fm. | Rodomonts-Fm. |
| 15203129 | Rodomonts-Fm.: Mocausa-Nagelfluh | Rodomonts-Fm.: Mocausa-Nagelfluh |
| 15203130 | Tissota-Melange | Tissota-Melange |
| 15203131 | Tissota-Melange: Gueyraz-Komplex | Tissota-Melange: Gueyraz-Komplex |
| 15203132 | Manche-Fm.: Weissenburg-Flysch | Manche-Fm.: Weissenburg-Flysch |
| 15203133 | Manche-Fm. | Manche-Fm. |
| 15203134 | Fouyet-Fm. | Fouyet-Fm. |
| 15203135 | Tissota-Melange: Gueyraz-Komplex: Foraminiferenschichten | Tissota-Melange: Gueyraz-Komplex: Foraminiferenschichten |
| 15203136 | Tissota-Melange: Gueyraz-Komplex: Aptychenkalk | Tissota-Melange: Gueyraz-Komplex: Aptychenkalk |
| 15203137 | Tissota-Melange: Gueyraz-Komplex: Radiolarit | Tissota-Melange: Gueyraz-Komplex: Radiolarit |
| 15203138 | Tissota-Melange: Gueyraz-Komplex: Filamentkalk | Tissota-Melange: Gueyraz-Komplex: Filamentkalk |
| 15203139 | Tissota-Melange: Gueyraz-Komplex: Spatkalk | Tissota-Melange: Gueyraz-Komplex: Spatkalk |
| 15203140 | Hundsrügg-Fm. | Hundsrügg-Fm. |
| 15203141 | Perrières-Fm. | Perrières-Fm. |
| 15203142 | Rhenodanubischer Flysch | Rhenodanubischer Flysch |
| 15203143 | Vorarlberg-Flysch | Vorarlberg-Flysch |
| 15203144 | Fanola-Fm. | Fanola-Fm. |
| 15203145 | Planknerbrücke-Fm. | Planknerbrücke-Fm. |
| 15203146 | Planken-Fm. | Planken-Fm. |
| 15203147 | Reiselsberg-Fm. | Reiselsberg-Fm. |
| 15203148 | Reiselsberg-Fm.: Basaler Teil | Reiselsberg-Fm.: Basaler Teil |
| 15203149 | Liechtenstein-Flysch | Liechtenstein-Flysch |
| 15203150 | Triesen-Fm. | Triesen-Fm. |
| 15203151 | Vaduz-Flysch | Vaduz-Flysch |
| 15203152 | Eichholztobel-Fm. | Eichholztobel-Fm. |
| 15203153 | Schloss-Fm. | Schloss-Fm. |
| 15203154 | Gaschlo-Fm. | Gaschlo-Fm. |
| 15203155 | Leimern-Sch.: Kalkige-Fazies | Leimern-Sch.: Kalkige-Fazies |
| 15203156 | Pierre-Avoi-Melange | Pierre-Avoi-Melange |
| 15203157 | St-Christophe-Fm. | St-Christophe-Fm. |
| 15203158 | Marmontains-Fm. | Marmontains-Fm. |
| 15203159 | Aroley-Fm. | Aroley-Fm. |
| 15203160 | Peula-Schichten | Peula-Sch. |
| 15203161 | Versoyen-Sch. | Versoyen-Sch. |
| 15203162 | Prättigau-Schiefer | Prättigau-Schiefer |
| 15203163 | Ruchberg-Fm. | Ruchberg-Fm. |
| 15203164 | Oberälpli-Fm. | Oberälpli-Fm. |
| 15203165 | Eggberg-Fm. | Eggberg-Fm. |
| 15203166 | Gyrenspitz-Fm. | Gyrenspitz-Fm. |
| 15203167 | Fadura-Fm. | Fadura-Fm. |
| 15203168 | Pfävigrat-Fm. | Pfävigrat-Fm. |
| 15203169 | Sassauna-Fm. | Sassauna-Fm. |
| 15203170 | Valzeina-Fm. | Valzeina-Fm. |
| 15203171 | Klus-Fm. | Klus-Fm. |
| 15203172 | Stätzerhorn-Fm. | Stätzerhorn-Fm. |
| 15203173 | Stätzerhorn-Fm.: Basaler Konglomerat | Stätzerhorn-Fm.: Basaler Konglomerat |
| 15203174 | Carnusa-Fm. | Carnusa-Fm. |
| 15203175 | Nolla-Kalkschiefer: Safien-Kalk | Nolla-Kalkschiefer: Safien-Kalk |
| 15203176 | Nolla-Kalkschiefer | Nolla-Kalkschiefer |

| GeolCode | Deutsch | Italiano |
|---|---|---|
| 15203177 | Nolla-Tonschiefer | Nolla-Tonschiefer |
| 15203178 | Bärenhorn-Fm. | Bärenhorn-Fm. |
| 15203179 | Tomül-Decke: Grüngesteine | Tomül-Decke: Grüngesteine |
| 15203180 | Tomül-Decke: Mélange | Tomül-Decke: Mélange |
| 15203181 | Touno-Einheit | Touno-Einheit |
| 15203182 | Barrhorn-Einheit | Barrhorn-Einheit |
| 15203183 | Bruneggjoch-Fm. | Bruneggjoch-Fm. |
| 15203184 | Bruneggjoch-Fm.: Sous-le-Rocher-Mb. | Bruneggjoch-Fm.: Sous-le-Rocher-Mb. |
| 15203185 | Randa-Augengneis | Randa-Augengneis |
| 15203186 | Col-de-Chassoure-Fm. | Col-de-Chassoure-Fm. |
| 15203187 | Col-de-Chassoure-Fm.: Gouille-Verte-Mb. | Col-de-Chassoure-Fm.: Gouille-Verte-Mb. |
| 15203188 | Col-de-Chassoure-Fm.: Matse-Mb. | Col-de-Chassoure-Fm.: Matse-Mb. |
| 15203189 | Col-de-Chassoure-Fm.: Dent-de-Nendaz-Mb. | Col-de-Chassoure-Fm.: Dent-de-Nendaz-Mb. |
| 15203190 | Col-de-Chassoure-Fm.: Goli-d'Aget-Mb. | Col-de-Chassoure-Fm.: Goli-d'Aget-Mb. |
| 15203191 | Col-de-Chassoure-Fm.: Mondra-Mb. | Col-de-Chassoure-Fm.: Mondra-Mb. |
| 15203192 | Col-de-Chassoure-Fm.: Cleuson-Mb. | Col-de-Chassoure-Fm.: Cleuson-Mb. |
| 15203193 | Métailler-Fm. | Métailler-Fm. |
| 15203194 | Distulberg-Fm. | Distulberg-Fm. |
| 15203195 | Thyon-Metagranophyr | Thyon-Metagranophyr |
| 15203196 | Mont-Rogneux-Metagranit | Mont-Rogneux-Metagranit |
| 15203197 | Lirec-Fm. undiff | Lirec-Fm. undiff |
| 15203198 | Adlerflüe-Fm. | Adlerflüe-Fm. |
| 15203199 | Ergischhorn-Komplex | Ergischhorn-Komplex |
| 15203200 | Gelbhorn-Flysch | Gelbhorn-Flysch |
| 15203201 | Obrist-Fm. | Obrist-Fm. |
| 15203202 | Vizan-Brekzie | Vizan-Brekzie |
| 15203203 | Tschera-Marmor | Tschera-Marmor |
| 15203204 | Tschera-Marmor: Wissberg-Brekzie | Tschera-Marmor: Wissberg-Brekzie |
| 15203205 | Nisellas-Fm. | Nisellas-Fm. |
| 15203206 | Tumpriv-Fm. | Tumpriv-Fm. |
| 15203207 | Kalkberg-Fm. | Kalkberg-Fm. |
| 15203208 | Bavugls-Fm. | Bavugls-Fm. |
| 15203209 | Nolla-Kristallin | Nolla-Kristallin |
| 15203210 | Falknis-Decke: Flysch | Falknis-Decke: Flysch |
| 15203211 | Globorotalien-Sch. | Globorotalien-Sch. |
| 15203212 | Quarzsandstein-Flysch | Quarzsandstein-Flysch |
| 15203213 | Tristel-Fm. | Tristel-Fm. |
| 15203214 | Fleckenkalk-Flysch | Fleckenkalk-Flysch |
| 15203215 | Jes-Fm. | Jes-Fm. |
| 15203216 | Falknis-Brekzie | Falknis-Brekzie |
| 15203217 | Sanalada-Fm. | Sanalada-Fm. |
| 15203218 | Panier-Fm. | Panier-Fm. |
| 15203219 | Sulzfluh-Decke: Flysch | Sulzfluh-Decke: Flysch |
| 15203220 | Sulzfluh-Kalk | Sulzfluh-Kalk |
| 15203221 | Sulzfluh-Decke: Granit | Sulzfluh-Decke: Granit |
| 15203222 | Tasna-Decke: Flysch | Tasna-Decke: Flysch |
| 15203223 | Steinsberg-Kalk | Steinsberg-Kalk |
| 15203224 | Plattamala-Granit | Plattamala-Granit |
| 15203225 | Série Rousse | Série Rousse |
| 15203226 | Tsaté-Decke: Série Grise | Tsaté-Decke: Série Grise |
| 15203227 | Tsaté-Decke: Garda-Bordon-Fm. | Tsaté-Decke: Garda-Bordon-Fm. |

| GeolCode | Deutsch | Italiano |
|---|---|---|
| 15203228 | Tsaté-Decke: Fêta-d'Août-Fm. | Tsaté-Decke: Fêta-d'Août-Fm. |
| 15203229 | Zermatt-Saas-Decke: Allalin-Metagabbro | Zermatt-Saas-Decke: Allalin-Metagabbro |
| 15203230 | Arosa-Decke: Melange | Arosa-Decke: Melange |
| 15203231 | Verspala-Fm. | Verspala-Fm. |
| 15203232 | Lavagna-Fm. | Lavagna-Fm. |
| 15203233 | Palombini-Fm. | Palombini-Fm. |
| 15203234 | Arosa-Decke: Calpionellenkalk | Arosa-Decke: Calpionellenkalk |
| 15203235 | Arosa-Decke: Radiolarit | Arosa-Decke: Radiolarit |
| 15203236 | Arosa-Decke: Ophiolith | Arosa-Decke: Ophiolith |
| 15203238 | Coulaytes-Melange: Buufal-Konglomerat | Coulaytes-Melange: Buufal-Konglomerat |
| 15203239 | Sommant-Fm.: Langel-Mb. | Sommant-Fm.: Langel-Mb. |
| 15203240 | Pralet-Fm.: Obere Rauwacke | Pralet-Fm.: Obere Rauwacke |
| 15203241 | Clôt-la-Cime-Fm.: Gips | Clôt-la-Cime-Fm.: Gips |
| 15203242 | Brekzien-Decke: Couches-Rouges | Brekzien-Decke: Couches-Rouges |
| 15203243 | Brekzien-Decke: Trias: Rauwacke | Brekzien-Decke: Trias: Rauwacke |
| 15203244 | Manche-Fm.: Lamperehubel-Sandstein | Manche-Fm.: Lamperehubel-Sandstein |
| 15203245 | Perrières-Fm.: Gets-Ophiolith | Perrières-Fm.: Gets-Ophiolith |
| 15203246 | Piz-Terri-Lunschania: Obere Kalk- und Tonschiefer | Piz-Terri-Lunschania: Obere Kalk- und Tonschiefer |
| 15203247 | Piz-Terri-Lunschania: Gneisquarzit | Piz-Terri-Lunschania: Gneisquarzit |
| 15203248 | Piz-Terri-Lunschania: Untere Kalk- und Tonschiefer | Piz-Terri-Lunschania: Untere Kalk- und Tonschiefer |
| 15203249 | Aul-Marmor | Aul-Marmor |
| 15203250 | Piz-Terri-Lunschania: Dolomitbrekzie | Piz-Terri-Lunschania: Dolomitbrekzie |
| 15203251 | Grava-Decke: Gryphäenkalk | Grava-Decke: Gryphäenkalk |
| 15203252 | Unterpenninikum: Trias | Unterpenninikum: Trias |
| 15203253 | Adula-Decke: Zervreila-Orthogneis | Adula-Decke: Zervreila-Orthogneis |
| 15203254 | Adula-Decke: Garenstock-Augengneis | Adula-Decke: Garenstock-Augengneis |
| 15203255 | Adula-Decke: Salahorn-Fm.: Glimmerschiefer | Adula-Decke: Salahorn-Fm.: Glimmerschiefer |
| 15203256 | Adula-Decke: Amphibolit | Adula-Decke: Amphibolit |
| 15203257 | Zone Submédiane: Melange: Mergel und Sandstein | Zone Submédiane: Melange: Mergel und Sandstein |
| 15203258 | Zone Submédiane: Truche-Brekzie | Zone Submédiane: Truche-Brekzie |
| 15203259 | Zone Submédiane: Trom-Brekzie | Zone Submédiane: Trom-Brekzie |
| 15203260 | Zone Submédiane: Exergillod-Brekzie | Zone Submédiane: Exergillod-Brekzie |
| 15203261 | Zone Submédiane: Troublon-Kalk | Zone Submédiane: Troublon-Kalk |
| 15203262 | Zone Submédiane: Zünegg-Knollenkalk | Zone Submédiane: Zünegg-Knollenkalk |
| 15203263 | Zone Submédiane: Hauta-Crêtaz-Fm. | Zone Submédiane: Hauta-Crêtaz-Fm. |
| 15203264 | Zone Submédiane: Pointe-de-l'Au-Brekzie | Zone Submédiane: Pointe-de-l'Au-Brekzie |
| 15203265 | Zone Submédiane: Bonaveau-Kalk | Zone Submédiane: Bonaveau-Kalk |
| 15203266 | Zone Submédiane: Sex-du-Tronc-Kalk | Zone Submédiane: Sex-du-Tronc-Kalk |
| 15203267 | Zone Submédiane: Grand-Herba-Kalk | Zone Submédiane: Grand-Herba-Kalk |
| 15203268 | Oudiou-Fm. | Oudiou-Fm. |
| 15203269 | Klippen-Decke: Malm | Klippen-Decke: Malm |
| 15203270 | Moléson-Fm.: Albeuve-Serie | Moléson-Fm.: Albeuve-Serie |
| 15203271 | Sciernes-d'Albeuve-Fm.: Kummli-Sch. | Sciernes-d'Albeuve-Fm.: Kummli-Sch. |
| 15203272 | Klippen-Decke: Dogger | Klippen-Decke: Dogger |

| GeolCode | Deutsch | Italiano |
|---|---|---|
| 15203273 | Mytilus-Sch.: Col-de-Cordon-Mb.: Stockenflue-Kalk | Mytilus-Sch.: Col-de-Cordon-Mb.: Stockenflue-Kalk |
| 15203274 | Sommant-Fm.: Mieussy-Mb. | Sommant-Fm.: Mieussy-Mb. |
| 15203275 | Klippen-Decke: Lias | Klippen-Decke: Lias |
| 15203276 | Klippen-Decke: Trias | Klippen-Decke: Trias |
| 15203277 | Pralet-Fm. | Pralet-Fm. |
| 15203278 | Pralet-Fm.: Balmi-Mb. | Pralet-Fm.: Balmi-Mb. |
| 15203279 | Wiriehorn-Fm.: Bodeflue-Mb. | Wiriehorn-Fm.: Bodeflue-Mb. |
| 15203280 | Wiriehorn-Fm.: Wildgrimmi-Mb. | Wiriehorn-Fm.: Wildgrimmi-Mb. |
| 15203281 | St-Triphon-Fm.: Dorchaux-Mb.: Untere Rauwacke | St-Triphon-Fm.: Dorchaux-Mb.: Untere Rauwacke |
| 15203282 | Infrabrèche-Melange | Infrabrèche-Melange |
| 15203283 | Wägital-Flysch undiff. | Wägital-Flysch undiff. |
| 15203284 | Gurnigel-Flysch: Flysch-5 | Gurnigel-Flysch: Flysch-5 |
| 15203285 | Voirons-Flysch undiff. | Voirons-Flysch undiff. |
| 15203286 | Voirons-Flysch: Boëge-Mergel | Voirons-Flysch: Boëge-Mergel |
| 15203287 | Voirons-Flysch: Vouan-Konglomerat | Voirons-Flysch: Vouan-Konglomerat |
| 15203288 | Voirons-Flysch: Voirons-Sandstein | Voirons-Flysch: Voirons-Sandstein |
| 15203291 | Klippen-Decke: Couches-Rouges | Klippen-Decke: Couches-Rouges |
| 15203292 | Simmen-Decke: Flysch | Simmen-Decke: Flysch |
| 15203293 | Trepsen-Flysch | Trepsen-Flysch |
| 15203294 | Cocco-Gneis | Cocco-Gneis |
| 15203295 | Simano-Decke: Verzasca-Gneis | Verzasca-Gneis |
| 15203296 | Cima-Lunga-Decke: Vogorno-Gneis | Cima-Lunga-Decke: Vogorno-Gneis |
| 15203297 | Ruscada-Gneis | Ruscada-Gneis |
| 15203298 | Mergoscia-Gneis | Mergoscia-Gneis |
| 15203299 | Monte-Rosa-Orthogneis | Monte-Rosa-Orthogneis |
| 15203300 | Arblatsch-Flysch | Arblatsch-Flysch |
| 15203301 | Arblatsch-Flysch: Sandstein-dominierte Fazies | Arblatsch-Flysch: Sandstein-dominierte Fazies |
| 15203302 | Arblatsch-Flysch: Konglomerat-dominierte Fazies | Arblatsch-Flysch: Konglomerat-dominierte Fazies |
| 15203303 | Spegnas-Fm. | Spegnas-Fm. |
| 15203304 | Rudnal-Fm. | Rudnal-Fm. |
| 15203305 | Savognin-Fm. | Savognin-Fm. |
| 15203306 | Stätzerhorn-Fm.: Bleis-Pintgas-Mb. | Stätzerhorn-Fm.: Bleis-Pintgas-Mb. |
| 15203307 | Stätzerhorn-Fm.: Parnegl-Mb. | Stätzerhorn-Fm.: Parnegl-Mb. |
| 15203308 | Stätzerhorn-Fm.: Danis-Mb. | Stätzerhorn-Fm.: Danis-Mb. |
| 15203309 | Stätzerhorn-Fm.: Raschil-Mb. | Stätzerhorn-Fm.: Raschil-Mb. |
| 15203310 | Bruneggjoch-Fm.: Embd-Mb. | Bruneggjoch-Fm.: Embd-Mb. |
| 15203311 | Bonigersee-Augengneis | Bonigersee-Augengneis |
| 15203312 | Törbel-Gneis | Törbel-Gneis |
| 15203313 | Lodano-Gneis | Lodano-Gneis |
| 15203314 | Vergeletto-Gneis | Vergeletto-Gneis |
| 15203315 | Cortascia-Gneis | Cortascia-Gneis |
| 15203316 | Forcoletta-Gneis | Forcoletta-Gneis |
| 15203317 | Sambuco-Decke: Matorello-Gneis | Sambuco-Decke: Matorello-Gneis |
| 15203318 | Lebendun-Decke: Sedimentgesteine | Lebendun-Decke: Sedimentgesteine |
| 15203319 | Pizzo-del-Vallone-Decke: Sabbione-Sandstein | Pizzo-del-Vallone-Decke:Sabbione-Sandstein |
| 15203320 | Monte-Leone-Decke: Grundgebirge | Monte-Leone-Decke: Grundgebirge |
| 15203321 | Monte-Leone-Decke: Ganter-Gneis | Monte-Leone-Decke: Ganter-Gneis |
| 15203322 | Monte-Leone-Decke: Ritter-Gneis | Monte-Leone-Decke: Ritter-Gneis |
| 15203323 | Geisspfad-Serpentinit | Geisspfad-Serpentinit |

| GeolCode | Deutsch | Italiano |
|---|---|---|
| 15203325 | Monte-Leone-Decke: Holzerspitz-Kalkschiefer | Monte-Leone-Decke: Holzerspitz-Kalkschiefer |
| 15203327 | Rinderbach-Fm. | Rinderbach-Fm. |
| 15203328 | Langenegg-Fm. | Langenegg-Fm. |
| 15203329 | Rombach-Fm. | Rombach-Fm. |
| 15203330 | Suretta-Decke: Roffna-Gneis | Suretta-Decke: Roffna-Gneis |
| 15203331 | Suretta-Decke: Roffna-Gneis: Porphyrische Fazies | Suretta-Decke: Roffna-Gneis: Porphyrische Fazies |
| 15203332 | Burgruinen-Gneis | Burgruinen-Gneis |
| 15203333 | Taspegn-Gneis | Taspegn-Gneis |
| 15203334 | Niesen-Flysch: Aigremont-Brekzie | Niesen-Flysch: Aigremont-Brekzie |
| 15203335 | Sulzgrabe-Fm. | Sulzgrabe-Fm. |
| 15203336 | Brekzien-Decke: Rhät | Brekzien-Decke: Rhät |
| 15203337 | Klippen-Decke: Siderolithischer Dogger | Klippen-Decke: Siderolithischer Dogger |
| 15203338 | St-Triphon-Fm.: Andonces-Mb.: Silex-Niveau | St-Triphon-Fm.: Andonces-Mb.: Silex-Niveau |
| 15203339 | St-Triphon-Fm.: Andonces-Mb.: Mittlere Rauwacke | St-Triphon-Fm.: Andonces-Mb.: Mittlere Rauwacke |
| 15203340 | Suretta-Decke: Timun-Gneiskomplex | Suretta-Decke: Timun-Gneiskomplex |
| 15203341 | Malenco-Ultramafitit: Serpentinit | Malenco-Ultramafitit: Serpentinit |
| 15203342 | Forno-Amphibolit | Forno-Amphibolit |
| 15203343 | Muretto-Quarzit | Muretto-Quarzit |
| 15203344 | Biot-Fm.: Colerin-Konglomerat | Biot-Fm.: Colerin-Konglomerat |
| 15203345 | Pierre-Avoi-Melange: Brekzie | Pierre-Avoi-Melange: Brekzie |
| 15203346 | Dréveneuse-Bauxit | Dréveneuse-Bauxit |
| 15203347 | Barrhorn-Einheit: Metabauxit | Barrhorn-Einheit: Metabauxit |
| 15203349 | Terri-Schiefer | Terri-Schiefer |
| 15203350 | Robiei-Wildflysch | Robiei-Wildflysch |
| 15203351 | Robiei-Wildflysch: Pizzo-Castello-Wildflysch | Robiei-Wildflysch: Pizzo-Castello-Wildflysch |
| 15203352 | Robiei-Wildflysch: Tamier-Zött-Wildflysch | Robiei-Wildflysch: Tamier-Zött-Wildflysch |
| 15203353 | Robiei-Wildflysch: Alpe-Tamia-Campo-Wildflysch | Robiei-Wildflysch: Alpe-Tamia-Campo-Wildflysch |
| 15203354 | Teggiolo-Kalkschiefer | Teggiolo-Kalkschiefer |
| 15203355 | Teggiolo-Kalkschiefer: Medola-Quarzit | Teggiolo-Kalkschiefer: Medola-Quarzit |
| 15203356 | Teggiolo-Kalkschiefer: Pianasciom-Kalkschiefer | Teggiolo-Kalkschiefer: Pianasciom-Kalkschiefer |
| 15203357 | Teggiolo-Kalkschiefer: Piano-delle-Creste-Sandstein | Teggiolo-Kalkschiefer: Piano-delle-Creste-Sandstein |
| 15203358 | Antabia-Gr. | Antabia-Gr. |
| 15203359 | Vanis-Fm. | Vanis-Fm. |
| 15203360 | Sevinera-Marmor | Sevinera-Marmor |
| 15203361 | Sevinera-Sandstein | Sevinera-Sandstein |
| 15203362 | Ri-d'Antabia-Konglomerat | Ri-d'Antabia-Konglomerat |
| 15203363 | Lebendun-Decke: Scisti bruni | Lebendun-Decke: Scisti bruni |
| 15203364 | Lebendun-Decke: Trias-Lias | Lebendun-Decke: Trias-Lias (Basaler Gneis) |
| 15203365 | Antigorio-Orthogneis | Antigorio-Orthogneis |
| 15203366 | Falknis-, Sulzfluh- und Tasna-Decke: Couches Rouges | Falknis-, Sulzfluh- und Tasna-Decke: Couches Rouges |
| 15203367 | Piz-Terri-Lunschania: Lagensandkalk | Piz-Terri-Lunschania: Lagensandkalk |

| GeolCode | Deutsch | Italiano |
|---|---|---|
| 15203368 | Pierre-Avoi-Melange: Quarzschiefer-dominierte Fazies | Pierre-Avoi-Melange: Quarzschiefer-dominierte Fazies |
| 15203369 | Pierre-Avoi-Melange: Konglomerat-dominierte Fazies | Pierre-Avoi-Melange: Konglomerat-dominierte Fazies |
| 15203370 | Südegg-Komplex | Südegg-Komplex |
| 15203371 | Punta-Rossa-Komplex | Punta-Rossa-Komplex |
| 15203372 | Ferret-Schiefer | Ferret-Schiefer |
| 15203373 | Piz-Terri-Lunschania: Basale Tonschiefer | Piz-Terri-Lunschania: Basale Tonschiefer |
| 15203374 | Grava-Decke: Kalk- und Tonschiefer | Grava-Decke: Kalk- und Tonschiefer |
| 15203376 | Piz-Terri-Lunschania: Konglomeratgneis | Piz-Terri-Lunschania: Konglomeratgneis |
| 15203377 | Garzott-Brekzie | Garzott-Brekzie |
| 15203378 | Areua-Bruschghorn-Melange | Areua-Bruschghorn-Melange |
| 15203379 | Grava-Decke: Albitquarzit | Grava-Decke: Albitquarzit |
| 15203380 | Grava-Decke: Basale Tonschiefer | Grava-Decke: Basale Tonschiefer |
| 15203381 | Aul-Decke: Phengitgneis | Aul-Decke: Phengitgneis |
| 15203382 | Haute-Pointe-Fm. | Haute-Pointe-Fm. |
| 15203383 | Brasses-Fm. | Brasses-Fm. |
| 15203385 | Monte-Rosa-Decke: Macugnaga-Augengneis | Monte-Rosa-Decke: Macugnaga-Augengneis |
| 15203386 | Zone Houillère: Perm | Zone Houillère: Perm |
| 15203387 | Zone Houillère: Perm: Quarzschiefer | Zone Houillère: Perm: Quarzschiefer |
| 15203388 | Ricard-Rhyolith | Ricard-Rhyolith |
| 15203389 | Zone Houillère: Perm: Konglomerat | Zone Houillère: Perm: Konglomerat |
| 15203390 | Printse-Fm.: Sandig-schiefrige Fazies | Printse-Fm.: Sandig-schiefrige Fazies |
| 15203391 | Printse-Fm.: Tonige Fazies | Printse-Fm.: Tonige Fazies |
| 15203392 | Printse-Fm.: Chandoline-Sandstein | Printse-Fm.: Chandoline-Sandstein |
| 15203393 | Gälmji-Zone: Gneis | Gälmji-Zone: Gneis |
| 15203394 | Scherbadung-Gabbro | Scherbadung-Gabbro |
| 15203395 | Lacerandes-Augengneis | Lacerandes-Augengneis |
| 15203396 | Mont-Mort-Metapelit | Mont-Mort-Metapelit |
| 15203397 | Pierre-Avoi-Melange: Schwarze Schiefer | Pierre-Avoi-Melange: Schwarze Schiefer |
| 15203398 | Ferret-Schiefer: La-Dotse-Albitkalk | Ferret-Schiefer: La-Dotse-Albitkalk |
| 15203399 | Ergischhorn-Komplex-Fm.: Ginals-Gneis | Ergischhorn-Komplex-Fm.: Ginals-Gneis |
| 15203400 | Berisal-Gneiskomplex | Berisal-Gneiskomplex |
| 15203401 | Berisal-Gneiskomplex: Augengneis | Berisal-Gneiskomplex: Augengneis |
| 15203402 | Ruitor-Gneiskomplex | Ruitor-Gneiskomplex |
| 15203403 | Corno-Gneis | Corno-Gneis |
| 15203404 | Unterpenninikum: Trias: Quarzit | Unterpenninikum: Trias: Quarzit |
| 15203405 | Mittelpenninikum: Grundgebirge | Mittelpenninikum: Grundgebirge |
| 15203406 | Mont-Brûlé-Quarzit | Mont-Brûlé-Quarzit |
| 15203407 | Mont-Brûlé-Quarzit: Plan-Palasuit-Konglomerat | Mont-Brûlé-Quarzit: Plan-Palasuit-Konglomerat |
| 15203408 | Oberpenninikum: Metasedimente | Oberpenninikum: Metasedimente |
| 15203409 | Tsaté-Decke: Metasedimente | Tsaté-Decke: Metasedimente |
| 15203410 | Tsaté-Decke: Marmor | Tsaté-Decke: Marmor |
| 15203411 | Tsaté-Decke: Radiolarit | Tsaté-Decke: Radiolarit |
| 15203412 | Zermatt-Saas-Decke: Metasedimente | Zermatt-Saas-Decke: Metasedimente |
| 15203413 | Oberpenninikum: Ophiolith | Oberpenninikum: Ophiolith |
| 15203414 | Tsaté-Decke: Ophiolith | Tsaté-Decke: Ophiolith |
| 15203415 | Tsaté-Decke: Metabasalt | Tsaté-Decke: Metabasalt |

| GeolCode | Deutsch | Italiano |
|---|---|---|
| 15203416 | Tsaté-Decke: Metagabbro | Tsaté-Decke: Metagabbro |
| 15203417 | Torrembey-Brekzie | Torrembey-Brekzie |
| 15203418 | Zermatt-Saas-Decke: Marmor | Zermatt-Saas-Decke: Marmor |
| 15203419 | Zermatt-Saas-Decke: Quarzit | Zermatt-Saas-Decke: Quarzit |
| 15203420 | Zermatt-Saas-Decke: Riffelberg-Melange | Zermatt-Saas-Decke: Riffelberg-Melange |
| 15203421 | Zermatt-Saas-Decke: Schiefer | Zermatt-Saas-Decke: Schiefer |
| 15203422 | Zermatt-Saas-Decke: Ophiolith | Zermatt-Saas-Decke: Ophiolith |
| 15203423 | Zermatt-Saas-Decke: Metabasalt | Zermatt-Saas-Decke: Metabasalt |
| 15203424 | Antrona-Decke: Ophiolith | Antrona-Decke: Ophiolith |
| 15203425 | Ergischhorn-Komplex-Fm.: Böshorn-Gneis | Ergischhorn-Komplex-Fm.: Böshorn-Gneis |
| 15203426 | Monte-Leone-Decke: Orthogneis | Monte-Leone-Decke: Orthogneis |
| 15203427 | Monte-Leone-Decke: Leukogneis | Monte-Leone-Decke: Leukogneis |
| 15203428 | Monte-Leone-Decke: Hyperaugengneis | Monte-Leone-Decke: Hyperaugengneis |
| 15203429 | Monte-Leone-Decke: Paragneis | Monte-Leone-Decke: Paragneis |
| 15203430 | Lebendun-Decke: Arkose | Lebendun-Decke: Arkose |
| 15203431 | Lebendun-Decke: Konglomerat | Lebendun-Decke: Konglomerat |
| 15203432 | Ruginenta-Decke: Sedimentbedeckung | Ruginenta-Decke: Sedimentbedeckung |
| 15203433 | Ruginenta-Decke: Grundgebirge | Ruginenta-Decke: Grundgebirge |
| 15203434 | Ruginenta-Decke: Glimmerschiefer | Ruginenta-Decke: Glimmerschiefer |
| 15203435 | Ruginenta-Decke: Paragneis | Ruginenta-Decke: Paragneis |
| 15203436 | Monte-Rosa-Decke: Preja-Fm. | Monte-Rosa-Decke: Preja-Fm. |
| 15203437 | Monte-Rosa-Decke: Cavalli-Fm. | Monte-Rosa-Decke: Cavalli-Fm. |
| 15203438 | Monte-Rosa-Decke: Sedimentbedeckung | Monte-Rosa-Decke: Sedimentbedeckung |
| 15203439 | Monte-Rosa-Orthogneis: Mezzalama-Granit | Monte-Rosa-Orthogneis: Mezzalama-Granit |
| 15203441 | Monte-Rosa-Decke: Rottal-Migmatit | Monte-Rosa-Decke: Rottal-Migmatit |
| 15203442 | Monte-Rosa-Orthogneis: Mylonitische Fazies | Monte-Rosa-Orthogneis: Mylonitische Fazies |
| 15203443 | Monte-Rosa-Decke: Paragneis | Monte-Rosa-Decke: Paragneis |
| 15203444 | Monte-Rosa-Decke: Biotitgneis | Monte-Rosa-Decke: Biotitgneis |
| 15203445 | Monte-Rosa-Decke: Bändergneis | Monte-Rosa-Decke: Bändergneis |
| 15203446 | Monte-Rosa-Decke: Glimmerschiefer | Monte-Rosa-Decke: Glimmerschiefer |
| 15203447 | Portjengrat-Decke: Sedimentbedeckung | Portjengrat-Decke: Sedimentbedeckung |
| 15203449 | Portjengrat-Decke: Portjengrat-Orthogneis | Portjengrat-Decke: Portjengrat-Orthogneis |
| 15203450 | Portjengrat-Decke: Saas-Fee-Augengneis | Portjengrat-Decke: Saas-Fee-Augengneis |
| 15203451 | Portjengrat-Decke: Almagelhorn-Migmatit | Portjengrat-Decke: Almagelhorn-Migmatit |
| 15203452 | Portjengrat-Decke: Paragneis | Portjengrat-Decke: Paragneis |
| 15203454 | Monte-Rosa-Decke: Stellihorn-Mylonit | Monte-Rosa-Decke: Stellihorn-Mylonit |
| 15203455 | Pizzo-del-Vallone-Decke: Kalkschiefer | Pizzo-del-Vallone-Decke: Kalkschiefer |
| 15203456 | Unterpenninikum: Dogger | Unterpenninikum: Dogger |
| 15203457 | Unterpenninikum: Lias | Unterpenninikum: Lias |
| 15203458 | Unterpenninikum: Trias: Dolomit | Unterpenninikum: Trias: Dolomit |
| 15203459 | Pizzo-del-Vallone-Decke: Valgrande-Paragneis | Pizzo-del-Vallone-Decke: Valgrande-Paragneis |

| GeolCode | Deutsch | Italiano |
|---|---|---|
| 15203460 | Mittelpenninikum: Variszische Intrusiva | Mittelpenninikum: Variszische Intrusiva |
| 15203461 | Mittelpenninikum: Prävariszisches Grundgebirge | Mittelpenninikum: Prävariszisches Grundgebirge |
| 15203462 | Moncucco-Peridotit | Moncucco-Peridotit |
| 15203463 | Adlerflüe-Fm.: Albitaugenschiefer | Adlerflüe-Fm.: Albitaugenschiefer |
| 15203464 | Adlerflüe-Fm.: Bänderamphibolit | Adlerflüe-Fm.: Bänderamphibolit |
| 15203465 | Adlerflüe-Fm.: Minugrat-Eklogit | Adlerflüe-Fm.: Minugrat-Eklogit |
| 15203466 | Ergischhorn-Komplex: Amphibolit | Ergischhorn-Komplex: Amphibolit |
| 15203467 | Distulberg-Fm.: Grüngesteine | Distulberg-Fm.: Grüngesteine |
| 15203468 | Métailler-Fm.: Prasinit | Métailler-Fm.: Prasinit |
| 15203469 | Métailler-Fm.: Ultramafisches Gestein | Métailler-Fm.: Ultramafisches Gestein |
| 15203470 | Randa-Augengneis: Oberems-Albitgneis | Randa-Augengneis: Oberems-Albitgneis |
| 15203471 | Maggia-Decke: Permo-Karbon | Maggia-Decke: Permo-Karbon |
| 15203472 | Maggia-Decke: Quarz-Glimmerschiefer | Maggia-Decke: Quarz-Glimmerschiefer |
| 15203473 | Maggia-Decke: Muskovit-Graphitschiefer | Maggia-Decke: Muskovit-Graphitschiefer |
| 15203474 | Maggia-Decke: Variszische Intrusive | Maggia-Decke: Variszische Intrusive |
| 15203475 | Maggia-Decke: Prävariszisches Grundgebirge | Maggia-Decke: Prävariszisches Grundgebirge |
| 15203476 | Maggia-Decke: Paragneis | Maggia-Decke: Paragneis |
| 15203477 | Maggia-Decke: Bändergneis | Maggia-Decke: Bändergneis |
| 15203478 | Maggia-Decke: Augengneis | Maggia-Decke: Augengneis |
| 15203479 | Alpigia-Gneis | Alpigia-Gneis |
| 15203480 | Gresso-Someo-Zone | Gresso-Someo-Zone |
| 15203481 | Pertusio-Zone | Pertusio-Zone |
| 15203482 | Passo-di-Cristallina-Zone | Passo-di-Cristallina-Zone |
| 15203483 | Lago-Scuro-Fm. | Lago-Scuro-Fm. |
| 15203484 | Val-Sabbia-Fm. | Val-Sabbia-Fm. |
| 15203485 | Massari-Fm. | Massari-Fm. |
| 15203486 | Naret-Fm. | Naret-Fm. |
| 15203487 | Zermatt-Saas-Decke: Serpentinit | Zermatt-Sass-Decke: Serpentinit |
| 15203488 | Antrona-Decke: Loranco-Amphibolit | Antrona-Decke: Loranco-Amphibolit |
| 15203489 | Antrona-Decke: Andolla-Eklogit | Antrona-Decke: Andolla-Eklogit |
| 15203490 | Roz-Schiefer | Roz-Schiefer |
| 15203491 | Ramosch-Zone: Ophiolith | Ramosch-Zone: Ophiolith |
| 15203492 | Arosa-Decke: Metasedimente | Arosa-Decke: Metasedimente |
| 15203493 | Totalp-Serpentinit | Totalp-Serpentinit |
| 15203494 | Maran-Brekzie | Maran-Brekzie |
| 15203495 | Tumpriv-Fm.: Solis-Kalk | Tumpriv-Fm.: Solis-Kalk |
| 15203496 | Platta-Decke: Metasedimente | Platta-Decke: Metasedimente |
| 15203497 | Platta-Decke: Flix-Schichten | Platta-Decke: Flix-Schichten |
| 15203498 | Platta-Decke: Kalzitmarmor | Platta-Decke: Kalzitmarmor |
| 15203499 | Platta-Decke: Falotta-Radiolarit | Platta-Decke: Falotta-Radiolarit |
| 15203500 | Platta-Decke: Ophiolith | Platta-Decke: Ophiolith |
| 15203501 | Vignun-Gneis | Vignun-Gneis |
| 15203502 | Avers-Decke: Metasedimente | Avers-Decke: Metasedimente |
| 15203503 | Avers-Decke: Ophiolith | Avers-Decke: Ophiolith |
| 15203504 | Tasna-Decke: Couches Rouges | Tasna-Decke: Couches Rouges |
| 15203505 | Tasna-Decke: Tristel-Fm.: Minschun-Brekzie | Tasna-Decke: Tristel-Fm.: Minschun-Brekzie |

| GeolCode | Deutsch | Italiano |
|---|---|---|
| 15203506 | Tasna-Decke: Prävariszisches Grundgebrige | Tasna-Decke: Prävariszisches Grundgebrige |
| 15203507 | Piz-del-Palo-Gneis | Piz-del-Palo-Gneis |
| 15203508 | Tambo-Decke: Truzzo-Granit | Tambo-Decke: Truzzo-Granit |
| 15203509 | Simano-Decke: Rebi-Gneis | Simano-Decke: Rebi-Gneis |
| 15203510 | Simano-Decke: Brione-Gabbro | Simano-Decke: Brione-Gabbro |
| 15203511 | Gruf-Migmatit | Gruf-Migmatit |
| 15203512 | Adula-Decke: Basaler Gneis | Adula-Decke: Basaler Gneis |
| 15203513 | Val-Chironico-Gneis | Val-Chironico-Gneis |
| 15203514 | Ganna-Gneis | Ganna-Gneis |
| 15203515 | Adula-Decke: Albit-Oligoklasgneis | Adula-Decke: Albit-Oligoklasgneis |
| 15203516 | Sivigia-Gneis | Sivigia-Gneis |
| 15203517 | Aula-Spruga-Gneiskomplex | Aula-Spruga-Gneiskomplex |
| 15203518 | Piz-Lizun-Komplex | Piz-Lizun-Komplex |
| 15203519 | Rossi-Fm. | Rossi-Fm. |
| 15203520 | Bosco-Gneis | Bosco-Gneis |
| 15203521 | Batnall-Gneis | Batnall-Gneis |
| 15203522 | Niesen-Flysch: Seron-Fm.: Sandig-kalkige Fazies | Niesen-Flysch: Seron-Fm.: Sandig-kalkige Fazies |
| 15203523 | Niesen-Flysch: Seron-Fm.: Konglomerat-dominierte Fazies | Niesen-Flysch: Seron-Fm.: Konglomerat-dominierte Fazies |
| 15203524 | Niesen-Flysch: Frutigen-Fm.: Konglomerat-dominierte Fazies | Niesen-Flysch: Frutigen-Fm.: Konglomerat-dominierte Fazies |
| 15203525 | Niesen-Flysch: Frutigen-Fm.: Schiefrige Fazies | Niesen-Flysch: Frutigen-Fm.: Schiefrige Fazies |
| 15203526 | Zone Submédiane: Melange: Gips | Zone Submédiane: Melange: Gips |
| 15203527 | Zentralschweizerische Klippen: Keuper | Zentralschweizerische Klippen: Keuper |
| 15203528 | Zwischenmythen-Mergel | Zwischenmythen-Mergel |
| 15203529 | Arosa-Decke: Cenomanbrekzien-Serie | Arosa-Decke: Cenomanbrekzien-Serie |
| 15203530 | Arosa-Decke: Bettlerjoch-Brekzie | Arosa-Decke: Bettlerjoch-Brekzie |
| 15203531 | Arosa-Decke: Bargella-Brekzie | Arosa-Decke: Bargella-Brekzie |
| 15203532 | Adula-Decke: Kalkschiefer und Marmor | Adula-Decke: Kalkschiefer und Marmor |
| 15203533 | Adula-Decke: Salahorn-Fm.: Metaplutonit | Adula-Decke: Salahorn-Fm.: Metaplutonit |
| 15203534 | Adula-Decke: Salahorn-Fm.: Paragneis | Adula-Decke: Salahorn-Fm.: Paragneis |
| 15203535 | Adula-Decke: Ultramafisches Gestein | Adula-Decke: Ultramafisches Gestein |
| 15203536 | Cima-Lunga-Decke: Kalkschiefer und Marmor | Cima-Lunga-Decke: Kalkschiefer und Marmor |
| 15203537 | Cima-Lunga-Decke: Dolomitmarmor | Cima-Lunga-Decke: Dolomitmarmor |
| 15203538 | Cima-Lunga-Decke: Paragneis | Cima-Lunga-Decke: Paragneis |
| 15203539 | Cima-Lunga-Decke: Vacarisc-Gneis | Cima-Lunga-Decke: Vacarisc-Gneis |
| 15203540 | Cima-Lunga-Decke: Rognoi-Gneis | Cima-Lunga-Decke: Rognoi-Gneis |
| 15203541 | Cima-Lunga-Decke: Granatit | Cima-Lunga-Decke: Granatit |
| 15203542 | Cima-Lunga-Decke: Amphibolit | Cima-Lunga-Decke: Amphibolit |
| 15203543 | Cima-Lunga-Decke: Eklogit | Cima-Lunga-Decke: Eklogit |
| 15203544 | Cima-Lunga-Decke: Ultramafisches Gestein | Cima-Lunga-Decke: Ultramafisches Gestein |
| 15203545 | Leventina-Einheit: Personico-Gneis | Leventina-Einheit: Personico-Gneis |
| 15203546 | Leventina-Einheit: Leventina-Gneis: Oberer, homogener Teil | Leventina-Einheit: Leventina-Gneis: Oberer, homogener Teil |
| 15203547 | Leventina-Einheit: Leventina-Gneis: Unterer, inhomogener Teil | Leventina-Einheit: Leventina-Gneis: Unterer, inhomogener Teil |
| 15203548 | Leventina-Einheit: Kalksilikatfels | Leventina-Einheit: Kalksilikatfels |

| GeolCode | Deutsch | Italiano |
|---|---|---|
| 15203549 | Leventina-Einheit: Leukogneis | Leventina-Einheit: Leukogneis |
| 15203550 | Leventina-Einheit: Paragneis bis Granat-Glimmerschiefer | Leventina-Einheit: Paragneis bis Granat-Glimmerschiefer |
| 15203551 | Leventina-Einheit: Amphibolit | Leventina-Einheit: Amphibolit |
| 15203552 | Maggia-Decke: Amphibolit | Maggia-Decke: Amphibolit |
| 15203553 | Simano-Decke: Kalkmarmor | Simano-Decke: Kalkmarmor |
| 15203554 | Simano-Decke: Trias: Dolomitmarmor | Simano-Decke: Trias: Dolomitmarmor |
| 15203555 | Simano-Decke: Paragneis | Simano-Decke: Paragneis |
| 15203556 | Simano-Decke: Renten-Gneis | Simano-Decke: Renten-Gneis |
| 15203557 | Simano-Decke: Legiuna-Gneis | Simano-Decke: Legiuna-Gneis |
| 15203558 | Simano-Decke: Amphibolit | Simano-Decke: Amphibolit |
| 15203559 | Simano-Decke: Ultramafisches Gestein | Simano-Decke: Ultramafisches Gestein |
| 15203560 | Alpbach-Schiefer | Alpbach-Schiefer |
| 15203561 | Arosa-Decke: Gabbro | Arosa-Decke: Gabbro |
| 15203562 | Zentralschweizerische Klippen: Flysch | Zentralschweizerische Klippen: Flysch |
| 15203563 | Zentralschweizerische Klippen: Couches-Rouges | Zentralschweizerische Klippen: Couches-Rouges |
| 15203564 | Wägital-Flysch: Oberer Teil (Paläogen) | Wägital-Flysch: Oberer Teil (Paläogen) |
| 15203565 | Wägital-Flysch: Unterer Teil (Kreide) | Wägital-Flysch: Unterer Teil (Kreide) |
| 15203566 | Wägital-Flysch: Basaler tektonisierter Teil | Wägital-Flysch: Basaler tektonisierter Teil |
| 15203567 | Gibel- und Griggeli-Fm. | Gibel- und Griggeli-Fm. |
| 15203568 | Mittelpenninikum: Trias: Dolomit | Mittelpenninikum: Trias: Dolomit |
| 15203569 | Mittelpenninikum: Trias: Dolomit und Kalk | Mittelpenninikum: Trias: Dolomit und Kalk |
| 15203570 | Mittelpenninikum: Trias: Dolomit und Rauwacke | Mittelpenninikum: Trias: Dolomit und Rauwacke |
| 15203571 | Mittelpenninikum: Trias: Rauwacke | Mittelpenninikum: Trias: Rauwacke |
| 15203572 | Mittelpenninikum: Trias: Gipsmergel und Sandstein | Mittelpenninikum: Trias: Gipsmergel und Sandstein |
| 15203573 | Schlieren-Sandstein: Im Paläogen tektonisch überprägt | Schlieren-Sandstein: Im Paläogen tektonisch überprägt |
| 15203574 | Leimern-Sch. | Leimern-Sch. |
| 15203575 | Mittelpenninikum: Trias: Rauwacke und Sandstein | Mittelpenninikum: Trias: Rauwacke und Sandstein |
| 15203576 | Guber- Schoni- und Schlieren-Sandstein | Guber- Schoni- und Schlieren-Sandstein |
| 15203577 | Brand- und Obflue-Fm. undiff. | Brand- und Obflue-Fm. undiff. |
| 15203579 | Nolla-Tonschiefer: Quarzsandstein | Nolla-Tonschiefer: Quarzsandstein |
| 15203580 | Bärenhorn-Fm.: Quarzsandstein | Bärenhorn-Fm.: Quarzsandstein |
| 15203581 | Grava-Decke: Kalkschiefer | Grava-Decke: Kalkschiefer |
| 15203582 | Grava-Decke: Tonschiefer | Grava-Decke: Tonschiefer |
| 15203583 | Grava-Decke: Trias | Grava-Decke: Trias |
| 15203584 | Soladier- und Verdy-Mb. | Soladier- und Verdy-Mb. |
| 15203585 | Col-de-Tompey- und Bois-de-Luan-Mb. | Col-de-Tompey- und Bois-de-Luan-Mb. |
| 15203586 | Heiti- und Rossinière-Fm. | Heiti- und Rossinière-Fm. |
| 15203587 | Coulaytes-Melange und Cuvigne-Derrey-Fm. | Coulaytes-Melange und Cuvigne-Derrey-Fm. |
| 15203588 | Langel- und Col-de-Cordon-Mb. | Langel- und Col-de-Cordon-Mb. |
| 15203589 | Grande-Bonavau-Fm. und Fm. spathique | Grande-Bonavau-Fm. und Fm. spathique |
| 15203590 | Col-de-Tompey- und Agreblierai-Mb. | Col-de-Tompey- und Agreblierai-Mb. |
| 15203591 | Chavanette- und Rubli-Mb. | Chavanette- und Rubli-Mb. |
| 15203592 | Barrhorn-Einheit: Flyschsandstein | Barrhorn-Einheit: Flyschsandstein |

| GeolCode | Deutsch | Italiano |
|---|---|---|
| 15203593 | Barrhorn-Einheit: Kreide | Barrhorn-Einheit: Kreide |
| 15203594 | Barrhorn-Einheit: Malm | Barrhorn-Einheit: Malm |
| 15203595 | Barrhorn-Einheit: Dogger | Barrhorn-Einheit: Dogger |
| 15203596 | St-Triphon- und Wiriehorn-Fm. | St-Triphon- und Wiriehorn-Fm. |
| 15203597 | Printse-Fm. | Printse-Fm. |
| 15203598 | Métailler-Fm.: Louvie-Gabbro | Métailler-Fm.: Louvie-Gabbro |
| 15203599 | Distulberg-Fm.: Graphitschiefer | Distulberg-Fm.: Graphitschiefer |
| 15203600 | Lirec-Fm.: Amphibolit | Lirec-Fm.: Amphibolit |
| 15203601 | Ergischhorn-Komplex: Brändjispitz-Gabbro | Ergischhorn-Komplex: Brändjispitz-Gabbro |
| 15203602 | Ergischhorn-Komplex: Eklogit | Ergischhorn-Komplex: Eklogit |
| 15203603 | Südegg-Komplex: Prasinit | Südegg-Komplex: Prasinit |
| 15203604 | Südegg-Komplex: Talk-Chloritschiefer | Südegg-Komplex: Talk-Chloritschiefer |
| 15203605 | Gurnigel-Flysch: Flysch-3 | Gurnigel-Flysch: Flysch-3 |
| 15203606 | Gurnigel-Flysch: Flysch-2 | Gurnigel-Flysch: Flysch-2 |
| 15203607 | Gurnigel-Flysch: Hellstätt-Fm. und Flysch 2a | Gurnigel-Flysch: Hellstätt-Fm. und Flysch 2a |
| 15203608 | Aroley-, Marmontains- und St-Christophe-Fm. | Aroley-, Marmontains- und St-Christophe-Fm. |
| 15203609 | Südegg-Komplex: Schwarzer Schiefer | Südegg-Komplex: Schwarzer Schiefer |
| 15203610 | Südegg-Komplex: Serpentinit | Südegg-Komplex: Serpentinit |
| 15203611 | Südegg-Komplex: Albitgneis | Südegg-Komplex: Albitgneis |
| 15203612 | Südegg-Komplex: Marmor | Südegg-Komplex: Marmor |
| 15203613 | Südegg-Komplex: Brekzie | Südegg-Komplex: Brekzie |
| 15203614 | Südegg-Komplex: Gips | Südegg-Komplex: Gips |
| 15203615 | Monte-Leone-Decke: Sedimentbedeckung | Monte-Leone-Decke: Sedimentbedeckung |
| 15203616 | Monte-Leone-Decke: Dogger-Malm | Monte-Leone-Decke: Dogger-Malm |
| 15203617 | Monte-Leone-Decke: Dogger-Malm: Glimmerschiefer | Monte-Leone-Decke: Dogger-Malm: Glimmerschiefer |
| 15203618 | Monte-Leone-Decke: Dogger-Malm: Marmor | Monte-Leone-Decke: Dogger-Malm: Marmor |
| 15203619 | Monte-Leone-Decke: Dogger: Konglomerat | Monte-Leone-Decke: Dogger: Konglomerat |
| 15203620 | Monte-Leone-Decke: Lias | Monte-Leone-Decke: Lias |
| 15203621 | Monte-Leone-Decke: Lias: Sandstein | Monte-Leone-Decke: Lias: Sandstein |
| 15203622 | Monte-Leone-Decke: Lias: Konglomerat | Monte-Leone-Decke: Lias: Konglomerat |
| 15203623 | Monte-Leone-Decke: Trias | Monte-Leone-Decke: Trias |
| 15203624 | Monte-Leone-Decke: Quarzitische Trias | Monte-Leone-Decke: Quarzitische Trias |
| 15203625 | Pizzo-del-Vallone-Decke: Sedimentbedeckung | Pizzo-del-Vallone-Decke: Sedimentbedeckung |
| 15203626 | Pizzo-del-Vallone-Decke: Dogger-Malm | Pizzo-del-Vallone-Decke: Dogger-Malm |
| 15203627 | Pizzo-del-Vallone-Decke: Dogger-Malm: Marmor | Pizzo-del-Vallone-Decke: Dogger-Malm: Marmor |
| 15203628 | Pizzo-del-Vallone-Decke: Dogger-Malm: Glimmerschiefer | Pizzo-del-Vallone-Decke: Dogger-Malm: Glimmerschiefer |
| 15203629 | Pizzo-del-Vallone-Decke: Dogger-Malm: Basisches Gestein | Pizzo-del-Vallone-Decke: Dogger-Malm: Basisches Gestein |
| 15203630 | Pizzo-del-Vallone-Decke: Lias | Pizzo-del-Vallone-Decke: Lias |
| 15203631 | Pizzo-del-Vallone-Decke: Trias | Pizzo-del-Vallone-Decke: Trias |

| GeolCode | Deutsch | Italiano |
|---|---|---|
| 15203632 | Mont-Fort-Decke: Sedimentbedeckung | Mont-Fort-Decke: Sedimentbedeckung |
| 15203633 | Mont-Fort-Decke: Trias | Mont-Fort-Decke: Trias |
| 15203634 | Mont-Fort-Decke: Trias: Rauwacke | Mont-Fort-Decke: Trias: Rauwacke |
| 15203635 | Métailler-Fm.: Quarzit | Métailler-Fm.: Quarzit |
| 15203636 | Métailler-Fm.: Glimmerschiefer | Métailler-Fm.: Glimmerschiefer |
| 15203637 | Métailler-Fm.: Chloritoid-Glimmerschiefer | Métailler-Fm.: Chloritoid-Glimmerschiefer |
| 15203638 | Distulberg-Fm.: Schiefer | Distulberg-Fm.: Schiefer |
| 15203639 | Distulberg-Fm.: Albitgneis | Distulberg-Fm.: Albitgneis |
| 15203640 | Barrhorn-Einheit: Karbonatische Trias | Barrhorn-Einheit: Karbonatische Trias |
| 15203641 | Siviez-Mischabel-Decke: Leukokratischer Apltigneis | Siviez-Mischabel-Decke: Leukokratischer Aplitgneis |
| 15203642 | Siviez-Mischabel-Decke: Pegmatit | Siviez-Mischabel-Decke: Pegmatit |
| 15203643 | Lirec-Fm.: Leukokrater Mikroklingneis | Lirec-Fm.: Leukokrater Mikroklingneis |
| 15203644 | Adlerflüe-Fm.: Leukokrater Gneiss | Adlerflüe-Fm.: Leukokrater Gneiss |
| 15203645 | Ergischhorn-Komplex: Leukokratischer Aplitgneis | Ergischhorn-Komplex: Leukokratischer Aplitgneis |
| 15203646 | Stalden-Gneiskomplex | Stalden-Gneiskomplex |
| 15203647 | Stalden-Gneiskomplex: Ahorn-Augengneis | Stalden-Gneiskomplex: Ahorn-Augengneis |
| 15203648 | Stalden-Gneiskomplex: Basisches Gestein | Stalden-Gneiskomplex: Basisches Gestein |
| 15203649 | Printse-Fm.: Konglomerat | Printse-Fm.: Konglomerat |
| 15203650 | Printse-Fm.: Graphitschiefer | Printse-Fm.: Graphitschiefer |
| 15203651 | Portjengrat-Decke: Kalzitmarmor | Portjengrat-Decke: Kalzitmarmor |
| 15203652 | Portjengrat-Decke: Dolomitmarmor | Portjengrat-Decke: Dolomitmarmor |
| 15203653 | Portjengrat-Decke: Arkose | Portjengrat-Decke: Arkose |
| 15203654 | Portjengrat-Decke: Grundgebirge | Portjengrat-Decke: Grundgebirge |
| 15203655 | Gornergrat-Decke: Kalkschiefer, sandiger Marmor, Brekzie | Gornergrat-Decke: Kalkschiefer, sandiger Marmor, Brekzie |
| 15203656 | Gornergrat-Decke: Karbonatische Trias | Gornergrat-Decke: Karbonatische Trias |
| 15203657 | Gornergrat-Decke: Phengit-Albitschiefer | Gornergrat-Decke: Phengit-Albitschiefer |
| 15203658 | Gornergrat-Decke: Basisches Ganggestein | Gornergrat-Decke: Basisches Ganggestein |
| 15203659 | Gornergrat-Decke: Granat-Muskovit-Schiefer | Gornergrat-Decke: Granat-Muskovit-Schiefer |
| 15203660 | Frilihorn-Decke: Karbonatische Trias | Frilihorn-Decke: Karbonatische Trias |
| 15203661 | Frilihorn-Decke: Trias: Rauwacke | Frilihorn-Decke: Trias: Rauwacke |
| 15203662 | Tsaté-Decke: Garda-Bordon-Fm.: Série feuilletée | Tsaté-Decke: Garda-Bordon-Fm.: Série feuilletée |
| 15203663 | Tsaté-Decke: Garda-Bordon-Fm.: Quarzschiefer | Tsaté-Decke: Garda-Bordon-Fm.: Quarzschiefer |
| 15203664 | Tsaté-Decke: Serpentinit | Tsaté-Decke: Serpentinit |
| 15203665 | Zermatt-Saas-Decke: Eklogit | Zermatt-Saas-Decke: Eklogit |
| 15203666 | Zermatt-Saas-Decke: Metapyroxenit | Zermatt-Saas-Decke: Metapyroxenit |
| 15203667 | Zermatt-Saas-Decke: Metagabbro | Zermatt-Saas-Decke: Metagabbro |
| 15203668 | Zermatt-Saas-Decke: Rodingit | Zermatt-Saas-Decke: Rodingit |
| 15203669 | Zermatt-Saas-Decke: Talkschiefer | Zermatt-Saas-Decke: Talkschiefer |
| 15203670 | Monte-Leone-Decke: Lengenbach-Dolomitmarmor | Monte-Leone-Decke: Lengenbach-Dolomitmarmor |
| 15203671 | Adula-Decke: Salahorn-Fm. | Adula-Decke: Salahorn-Fm. |

| GeolCode | Deutsch | Italiano |
|---|---|---|
| 15203672 | Col-de-Tompey- und Vudalla-Fm. | Col-de-Tompey- und Vudalla-Fm. |
| 15203673 | Aroley- und Marmontains-Fm., undiff. | Aroley- und Marmontains-Fm., undiff. |
| 15203674 | Marmontains-Fm.: Schwarze Schiefer | Marmontains-Fm.: Schwarze Schiefer |
| 15203675 | Marmontains-Fm.: Kalksandstein | Marmontains-Fm.: Kalksandstein |
| 15203676 | Marmontains-Fm.: Quarzsandstein | Marmontains-Fm.: Quarzsandstein |
| 15203677 | Aroley-Fm.: Marmor | Aroley-Fm.: Marmor |
| 15203678 | Südegg-Komplex: Quarzit | Südegg-Komplex: Quarzit |
| 15203679 | Pierre-Avoi-Melange: Marmor | Pierre-Avoi-Melange: Marmor |
| 15203680 | Pierre-Avoi-Melange: Rauwacke | Pierre-Avoi-Melange: Rauwacke |
| 15203681 | Pierre-Avoi-Melange: Gips | Pierre-Avoi-Melange: Gips |
| 15203682 | Pierre-Avoi-Melange: Dolomit | Pierre-Avoi-Melange: Dolomit |
| 15203683 | Pierre-Avoi-Melange: Quarzit | Pierre-Avoi-Melange: Quarzit |
| 15203684 | Zone Houillère: Karbonatische Trias | Zone Houillère: Karbonatische Trias |
| 15203685 | Zone Houillère: Trias: Rauwacke | Zone Houillère: Trias: Rauwacke |
| 15203686 | Zone Houillère: Trias: Gips | Zone Houillère: Trias: Gips |
| 15203687 | Stalden-Gneiskomplex: Leukokratischer Gneis | Stalden-Gneiskomplex: Leukokratischer Gneis |
| 15203688 | Stalden-Gneiskomplex: Granat-Chloritoidschiefer | Stalden-Gneiskomplex: Granat-Chloritoidschiefer |
| 15203689 | Stalden-Gneiskomplex: Muskovitschiefer | Stalden-Gneiskomplex: Muskovitschiefer |
| 15203690 | Stalden-Gneiskomplex: Marmor | Stalden-Gneiskomplex: Marmor |
| 15203691 | Stalden-Gneiskomplex: Eklogit | Stalden-Gneiskomplex: Eklogit |
| 15203692 | Col-de-Chassoure-Fm.: Metarhyolith | Col-de-Chassoure-Fm.: Metarhyolith |
| 15203693 | Barrhorn-Einheit: Karbonatische Trias: Dolomit und Brekzie | Barrhorn-Einheit: Karbonatische Trias: Dolomit und Brekzie |
| 15203694 | Barrhorn-Einheit: Karbonatische Trias: Dolomit und Marmor | Barrhorn-Einheit: Karbonatische Trias: Dolomit und Marmor |
| 15203695 | Barrhorn-Einheit: Trias: Kalkschiefer | Barrhorn-Einheit: Trias: Kalkschiefer |
| 15203696 | Barrhorn-Einheit: Trias: Rauwacke | Barrhorn-Einheit: Trias: Rauwacke |
| 15203697 | Barrhorn-Einheit: Trias: Gips | Barrhorn-Einheit: Trias: Gips |
| 15203698 | Ergischhorn-Komplex: Augengneis | Ergischhorn-Komplex: Augengneis |
| 15203699 | Berisal-Gneiskomplex: Amphibolit | Berisal-Gneiskomplex: Amphibolit |
| 15203700 | Frilihorn-Decke: Sedimentbedeckung | Frilihorn-Decke: Sedimentbedeckung |
| 15203701 | Cimes-Blanches-Decke: Sedimentbedeckung | Cimes-Blanches-Decke: Sedimentbedeckung |
| 15203702 | Cimes-Blanches-Decke: Marmor | Cimes-Blanches-Decke: Marmor |
| 15203703 | Cimes-Blanches-Decke: Karbonatische Trias | Cimes-Blanches-Decke: Karbonatische Trias |
| 15203704 | Cimes-Blanches-Decke: Trias: Rauwacke | Cimes-Blanches-Decke: Trias: Rauwacke |
| 15203705 | Tsaté-Decke: Prasinit | Tsaté-Decke: Prasinit |
| 15203706 | Monte-Leone-Decke: Trias: Rauwacke | Monte-Leone-Decke: Trias: Rauwacke |
| 15203707 | Monte-Leone-Decke: Trias: Gips | Monte-Leone-Decke: Trias: Gips |
| 15203708 | Pizzo-del-Vallone-Decke: Trias: Gips | Pizzo-del-Vallone-Decke: Trias: Gips |
| 15203709 | Pizzo-del-Vallone-Decke: Trias: Dolomit | Pizzo-del-Vallone-Decke: Trias: Dolomit |
| 15203710 | Wiriehorn-Fm.: Mergelige Fazies | Wiriehorn-Fm.: Mergelige Fazies |
| 15203711 | St-Christophe-Fm.: Manganschiefer | St-Christophe-Fm.: Manganschiefer |
| 15203712 | Siviez-Mischabel-Decke: Sedimentbedeckung | Siviez-Mischabel-Decke: Sedimentbedeckung |
| 15203713 | Siviez-Mischabel-Decke: Basisches Ganggestein | Siviez-Mischabel-Decke: Basisches Ganggestein |

| GeolCode | Deutsch | Italiano |
|---|---|---|
| 15203714 | Ergischhorn-Komplex, Adlerflüe- und Lirec-Fm., undiff. | Ergischhorn-Komplex, Adlerflüe- und Lirec-Fm., undiff. |
| 15203715 | Gälmji-Zone: Quarzit | Gälmji-Zone: Quarzit |
| 15203716 | Gälmji-Zone: Amphibolit | Gälmji-Zone: Amphibolit |
| 15203717 | Zermatt-Saas-Decke: Metasedimente und Ophiolith undiff. | Zermatt-Saas-Decke: Metasedimente und Ophiolith undiff. |
| 15203718 | Zermatt-Saas-Decke: Metabasite | Zermatt-Saas-Decke: Metabasite |
| 15203719 | Zermatt-Saas-Decke: Eklogitischer Metagabbro | Zermatt-Saas-Decke: Eklogitischer Metagabbro |
| 15203720 | Stockhorn-Decke: Jura | Stockhorn-Decke: Jura |
| 15203721 | Stockhorn-Decke: Karbonatische Trias | Stockhorn-Decke: Karbonatische Trias |
| 15203722 | Stockhorn-Decke: Quarzitische Trias | Stockhorn-Decke: Quarzitische Trias |
| 15203723 | Stockhorn-Decke: Grundgebirge | Stockhorn-Decke: Grundgebirge |
| 15203724 | Monte-Rosa-Decke: Preja-Fm.: Jura | Monte-Rosa-Decke: Preja-Fm.: Jura |
| 15203725 | Monte-Rosa-Decke: Preja-Fm.: Trias | Monte-Rosa-Decke: Preja-Fm.: Trias |
| 15203726 | Monte-Rosa-Decke: Serpentinit | Monte-Rosa-Decke: Serpentinit |
| 15203727 | Monte-Rosa-Decke: Aplit, Pegmatit | Monte-Rosa-Decke: Aplit, Pegmatit |
| 15203728 | Monte-Rosa-Decke: Amphibolit | Monte-Rosa-Decke: Amphibolit |
| 15203729 | Portjengrat-Decke: Eklogit | Portjengrat-Decke: Eklogit |
| 15203730 | Antrona-Decke: Metasedimente | Antrona-Decke: Metasedimente |
| 15203731 | Antrona-Decke: Metagabbro | Antrona-Decke: Metagabbro |
| 15203732 | Antrona-Decke: Serpentinit | Antrona-Decke: Serpentinit |
| 15203733 | Siviez-Mischabel-Decke: Leukogneis | Siviez-Mischabel-Decke: Leukogneis |
| 15203734 | Theodulgletscher-Schuppe: Granat-Biotitgneis | Theodulgletscher-Schuppe: Granat-Biotitgneis |
| 15203735 | Theodulgletscher-Schuppe: Eklogit | Theodulgletscher-Schuppe: Eklogit |
| 15203736 | Alphubelgletscher-Schuppe: Granat-Biotitgneis | Alphubelgletscher-Schuppe: Granat-Biotitgneis |
| 15203737 | Frilihorn-Decke: Marmor | Frilihorn-Decke: Marmor |
| 15203738 | Lebendun-Decke: Kalkschiefer | Lebendun-Decke: Kalkschiefer |
| 15203739 | Lebendun-Decke: Amphibolit | Lebendun-Decke: Amphibolit |
| 15203740 | Antigorio-Decke: Jura-Kreide [Post-Trias] | Antigorio-Decke: Jura-Kreide [Post-Trias] |
| 15203741 | Antigorio-Decke: Karbonatische Trias | Antigorio-Decke: Karbonatische Trias |
| 15203742 | Antigorio-Decke: Quarzitische Trias | Antigorio-Decke: Quarzitische Trias |
| 15203743 | Lucomagno-Einheit: Konglomeratgneis | Lucomagno-Einheit: Konglomeratgneis |
| 15203744 | Lucomagno-Einheit: Quartz-reicher Leukogneis | Lucomagno-Einheit: Quartz-reicher Leukogneis |
| 15203745 | Lucomagno-Einheit: Amphibolit | Lucomagno-Einheit: Amphibolit |
| 15203746 | Leventina-Lucomagno-Decke: Trias: Rauwacke | Leventina-Lucomagno-Decke: Trias: Rauwacke |
| 15203747 | Leventina-Einheit: Loderio Mafischer Komplex | Leventina-Einheit: Loderio Mafischer Komplex |
| 15203748 | Cima-Lunga-Decke: Cima-di-Gagnone-Peridotit | Cima-Lunga-Decke: Cima-di-Gagnone-Peridotit |
| 15203749 | Cima-Lunga-Decke: Granat-Glimmerschiefer | Cima-Lunga-Decke: Granat-Glimmerschiefer |
| 15203750 | Pizzo-del-Vallone-Decke: Leukogneis | Pizzo-del-Vallone-Decke: Leukogneis |
| 15203751 | Simano-Decke: Quarzitischer Gneis mit Karbonat | Simano-Decke: Quarzitischer Gneis mit Karbonat |
| 15203752 | Simano-Decke: Quarzit | Simano-Decke: Quarzit |
| 15203753 | Simano-Decke: Granat-reicher Gneis | Simano-Decke: Granat-reicher Gneis |
| 15203754 | Simano-Decke: Quarz-reicher Gneis | Simano-Decke: Quarz-reicher Gneis |

| GeolCode | Deutsch | Italiano |
|---|---|---|
| 15203755 | Turba-Mylonit | Turba-Mylonit |
| 15203756 | Grande-Eau-Fm.: Raverette-Mb. bis Grès de Passage | Grande-Eau-Fm.: Raverette-Mb. bis Grès de Passage |
| 15203757 | San-Giorgio-Schuppe: Quarz-Glimmerschiefer | San-Giorgio-Schuppe: Quarz-Glimmerschiefer |
| 15203758 | San-Giorgio-Schuppe: Quarz-Glimmerschiefer: mit Biotitgarben | San-Giorgio-Schuppe: Quarz-Glimmerschiefer: mit Biotitgarben |
| 15203759 | San-Giorgio-Schuppe: Granat-Glimmerschiefer | San-Giorgio-Schuppe: Granat-Glimmerschiefer |
| 15203760 | San-Giorgio-Schuppe: Horblendegarbenschiefer | San-Giorgio-Schuppe: Horblendegarbenschiefer |
| 15203761 | Sambuco-Decke: Quarten-Fm. | Sambuco-Decke: Quarten-Fm. |
| 15203762 | Sambuco-Decke: Röti-Fm. | Sambuco-Decke: Röti-Fm. |
| 15203763 | Sambuco-Decke: Muskovit-Graphitschiefer | Sambuco-Decke: Muskovit-Graphitschiefer |
| 15203764 | Sambuco-Decke: Quarz-Glimmerschiefer | Sambuco-Decke: Quarz-Glimmerschiefer |
| 15203765 | Sambuco-Decke: Paragneis bis Glimmerschiefer | Sambuco-Decke: Paragneis bis Glimmerschiefer |
| 15203766 | Sambuco-Decke: Paragneis bis Glimmerschiefer: mit Granat | Sambuco-Decke: Paragneis bis Glimmerschiefer: mit Granat |
| 15203767 | Sambuco-Decke: Paragneis bis Glimmerschiefer: mit Staurolith und Disthen | Sambuco-Decke: Paragneis bis Glimmerschiefer: mit Staurolith und Disthen |
| 15203768 | Sambuco-Decke: Paragneis bis Glimmerschiefer: mit Hornblende | Sambuco-Decke: Paragneis bis Glimmerschiefer: mit Hornblende |
| 15203769 | Sambuco-Decke: Alkalifeldspatgneis | Sambuco-Decke: Alkalifeldspatgneis |
| 15203770 | Sambuco-Decke: Bändergneis | Sambuco-Decke: Bändergneis |
| 15203771 | Sambuco-Decke: Amphibolit und Hornblendefels | Sambuco-Decke: Amphibolit und Hornblendefels |
| 15203772 | Sambuco-Decke: Ultramafitit | Sambuco-Decke: Ultramafitit |
| 15203773 | Simano-Decke: Trias: Dolomitmarmor: mit Phlogopit | Simano-Decke: Trias: Dolomitmarmor: mit Phlogopit |
| 15203774 | Simano-Decke: Trias: Rauwacke | Simano-Decke: Trias: Rauwacke |
| 15203775 | Simano-Decke: Serizitquarzit | Simano-Decke: Serizitquarzit |
| 15203776 | Simano-Decke: Quarzit: konglomeratisch | Simano-Decke: Quarzit: konglomeratisch |
| 15203777 | Simano-Decke: Quarz-Glimmerschiefer | Simano-Decke: Quarz-Glimmerschiefer |
| 15203778 | Simano-Decke: Quarz-Glimmerschiefer: mit Granat | Simano-Decke: Quarz-Glimmerschiefer: mit Granat |
| 15203779 | Simano-Decke: Quarz-Glimmerschiefer: mit Disthen | Simano-Decke: Quarz-Glimmerschiefer: mit Disthen |
| 15203780 | Simano-Decke: Quarz-Glimmerschiefer: mit Staurolith und Disthen | Simano-Decke: Quarz-Glimmerschiefer: mit Staurolith und Disthen |
| 15203781 | Gruf-Komplex: Kalksilikatfels | Gruf-Komplex: Kalksilikatfels |
| 15203782 | Gruf-Komplex: Amphibolit | Gruf-Komplex: Amphibolit |
| 15203783 | Bedretto-Zone: Kalkglimmerschiefer | Bedretto-Zone: Kalkglimmerschiefer |
| 15203784 | Bedretto-Zone: Kalkglimmerschiefer: mit Skapolith | Bedretto-Zone: Kalkglimmerschiefer: mit Skapolith |
| 15203785 | Bedretto-Zone: Granatphyllit bis -glimmerschiefer | Bedretto-Zone: Granatphyllit bis -glimmerschiefer |

| GeolCode | Deutsch | Italiano |
|---|---|---|
| 15203786 | Bedretto-Zone: Quarzit bis Quarzphyllit | Bedretto-Zone: Quarzit bis Quarzphyllit |
| 15203787 | Bedretto-Zone: Metaarkose bis Gneis | Bedretto-Zone: Metaarkose bis Gneis |
| 15203788 | Bedretto-Zone: Konglomerat: polymikt | Bedretto-Zone: Konglomerat: polymikt |
| 15203789 | Bedretto-Zone: Kalkmarmor | Bedretto-Zone: Kalkmarmor |
| 15203790 | Spegnas-Fm.: Sandstein | Spegnas-Fm.: Sandstein |
| 15203791 | Spegnas-Fm.: Bunte Schiefer | Spegnas-Fm.: Bunte Schiefer |
| 15203792 | Arblatsch-Zone: Kalkschiefer und kieselige Marmor | Arblatsch-Zone: Kalkschiefer und kieselige Marmor |
| 15203793 | Val-Gronda-Schuppe: Phyllit und Tonschiefer | Val-Gronda-Schuppe: Phyllit und Tonschiefer |
| 15203794 | Aptychenkalk | Aptychenkalk |
| 15203795 | Radiolarit | Radiolarit |
| 15203796 | Savognin-Fm.: Dolomit, Rauwacke | Savognin-Fm.: Dolomit, Rauwacke |
| 15203797 | Savognin-Fm.: Manziel-Gips | Savognin-Fm.: Manziel-Gips |
| 15203798 | Arblatsch-Zone: Basisches Gestein | Arblatsch-Zone: Basisches Gestein |
| 15203799 | Grande-Bonavau-Fm.: Belemnitenbrekzie | Grande-Bonavau-Fm.: Belemnitenbrekzie |
| 15203800 | Grande-Bonavau-Fm.: Echinodermenbrekzie | Grande-Bonavau-Fm.: Echinodermenbrekzie |
| 15203801 | Grande-Bonavau-Fm.: Dolomitbrekzie | Grande-Bonavau-Fm.: Dolomitbrekzie |
| 15203802 | Tambo-Decke: Sedimentbedeckung | Tambo-Decke: Sedimentbedeckung |
| 15203803 | Tambo-Decke: Marmor undiff. | Tambo-Decke: Marmor undiff. |
| 15203804 | Tambo-Decke: Kalzitmarmor | Tambo-Decke: Kalzitmarmor |
| 15203805 | Tambo-Decke: Karbonatische Trias | Tambo-Decke: Karbonatische Trias |
| 15203806 | Tambo-Decke: Trias: Dolomitmarmor | Tambo-Decke: Trias: Dolomitmarmor |
| 15203807 | Tambo-Decke: Trias: Rauwacke | Tambo-Decke: Trias: Rauwacke |
| 15203808 | Tambo-Decke: Trias: Evaporitgestein | Tambo-Decke: Trias: Evaporitgestein |
| 15203809 | Tambo-Decke: Detritische (Permo-)Trias | Tambo-Decke: Detritische (Permo-)Trias |
| 15203810 | Tambo-Decke: Permo-Trias: Quarzit | Tambo-Decke: Permo-Trias: Quarzit |
| 15203811 | Tambo-Decke: Permo-Trias: Tafelquarzit | Tambo-Decke: Permo-Trias: Tafelquarzit |
| 15203812 | Tambo-Decke: Permo-Trias: Konglomeratischer Quarzit | Tambo-Decke: Permo-Trias: Konglomeratischer Quarzit |
| 15203813 | Tambo-Decke: Plän-Vest-Fm. | Tambo-Decke: Plän-Vest-Fm. |
| 15203814 | Tambo-Decke: Grundgebirge | Tambo-Decke: Grundgebirge |
| 15203815 | Tambo-Decke: Truzzo-Granit: Augengneis | Tambo-Decke: Truzzo-Granit: Augengneis |
| 15203816 | Tambo-Decke: Läira-Augengneis | Tambo-Decke: Läira-Augengneis |
| 15203817 | Tambo-Decke: Paragneise und -schiefer | Tambo-Decke: Paragneise und -schiefer |
| 15203818 | Tambo-Decke: Granat-Glimmerschiefer | Tambo-Decke: Granat-Glimmerschiefer |
| 15203819 | Tambo-Decke: Amphibolit | Tambo-Decke: Amphibolit |
| 15203820 | Suretta-Decke: Sedimentbedeckung | Suretta-Decke: Sedimentbedeckung |
| 15203821 | Suretta-Decke: Lägh-da-Cam-Fm. undiff. | Suretta-Decke: Lägh-da-Cam-Fm. undiff. |
| 15203822 | Suretta-Decke: Lägh-da-Cam-Fm.: Kalkglimmerschiefer | Suretta-Decke: Lägh-da-Cam-Fm.: Kalkglimmerschiefer |
| 15203823 | Suretta-Decke: Lägh-da-Cam-Fm.: Chloritschiefer | Suretta-Decke: Lägh-da-Cam-Fm.: Chloritschiefer |

| GeolCode | Deutsch | Italiano |
|---|---|---|
| 15203824 | Suretta-Decke: Lägh-da-Cam-Fm.: Quarz-Glimmerschiefer | Suretta-Decke: Lägh-da-Cam-Fm.: Quarz-Glimmerschiefer |
| 15203825 | Suretta-Decke: Lägh-da-Cam-Fm.: Dolomitschiefer | Suretta-Decke: Lägh-da-Cam-Fm.: Dolomitschiefer |
| 15203826 | Suretta-Decke: Kieseliger Kalkmarmor | Suretta-Decke: Kieseliger Kalkmarmor |
| 15203827 | Suretta-Decke: Dunkler Kalkschiefer | Suretta-Decke: Dunkler Kalkschiefer |
| 15203828 | Suretta-Decke: Kalzitmarmor | Suretta-Decke: Kalzitmarmor |
| 15203829 | Suretta-Decke: Karbonatische Trias | Suretta-Decke: Karbonatische Trias |
| 15203830 | SurettaDecke: Trias: Dolomitmarmor | SurettaDecke: Trias: Dolomitmarmor |
| 15203831 | Suretta-Decke: Trias: Dolomitbrekzie | Suretta-Decke: Trias: Dolomitbrekzie |
| 15203832 | Suretta-Decke: Trias: Rauwacke | Suretta-Decke: Trias: Rauwacke |
| 15203833 | Suretta-Decke: Detritische (Permo-)Trias | Suretta-Decke: Detritische (Permo-)Trias |
| 15203834 | Suretta-Decke: Permo-Trias: Quarzit | Suretta-Decke: Permo-Trias: Quarzit |
| 15203835 | Suretta-Decke: Permo-Trias: Tafelquarzit | Suretta-Decke: Permo-Trias: Tafelquarzit |
| 15203836 | Suretta-Decke: Permo-Trias: Konglomeratischer Quarzit | Suretta-Decke: Permo-Trias: Konglomeratischer Quarzit |
| 15203837 | Suretta-Decke: Russapass-Fm. undiff. | Suretta-Decke: Russapass-Fm. undiff. |
| 15203838 | Suretta-Decke: Russapass-Fm.: Karbonatlinsen | Suretta-Decke: Russapass-Fm.: Karbonatlinsen |
| 15203839 | Suretta-Decke: Russapass-Fm.: Glaukophanphyllit | Suretta-Decke: Russapass-Fm.: Glaukophanphyllit |
| 15203840 | Suretta-Decke: Russapass-Fm.: Hellglimmergneis | Suretta-Decke: Russapass-Fm.: Hellglimmergneis |
| 15203841 | Suretta-Decke: Russapass-Fm.: Chloritoid-Quarzschiefer | Suretta-Decke: Russapass-Fm.: Chloritoid-Quarzschiefer |
| 15203842 | Suretta-Decke: Russapass-Fm.: Quarz-Glimmerschiefer | Suretta-Decke: Russapass-Fm.: Quarz-Glimmerschiefer |
| 15203843 | Suretta-Decke: Grundgebirge | Suretta-Decke: Grundgebirge |
| 15203844 | Suretta-Decke: Saures Ganggestein | Suretta-Decke: Saures Ganggestein |
| 15203845 | Suretta-Decke: Basisches Ganggestein | Suretta-Decke: Basisches Ganggestein |
| 15203846 | Suretta-Decke: Valle-di-Lei-Fm. undiff. | Suretta-Decke: Valle-di-Lei-Fm. undiff. |
| 15203847 | Suretta-Decke: Valle-di-Lei-Fm.: Oberer Teil | Suretta-Decke: Valle-di-Lei-Fm.: Oberer Teil |
| 15203848 | Suretta-Decke: Valle-di-Lei-Fm.: Prasinit | Suretta-Decke: Valle-di-Lei-Fm.: Prasinit |
| 15203849 | Suretta-Decke: Valle-di-Lei-Fm.: Dunkle Schiefer | Suretta-Decke: Valle-di-Lei-Fm.: Dunkle Schiefer |
| 15203850 | Suretta-Decke: Valle-di-Lei-Fm.: Granat-Muskovitschiefer | Suretta-Decke: Valle-di-Lei-Fm.: Granat-Muskovitschiefer |
| 15203851 | Suretta-Decke: Valle-di-Lei-Fm.: Granat-Chloritoid-Muskovitschiefer | Suretta-Decke: Valle-di-Lei-Fm.: Granat-Chloritoid-Muskovitschiefer |
| 15203852 | Suretta-Decke: Valle-di-Lei-Fm.: Unterer Teil | Suretta-Decke: Valle-di-Lei-Fm.: Unterer Teil |
| 15203853 | Suretta-Decke: Orthogneis undiff. | Suretta-Decke: Orthogneis undiff. |
| 15203854 | Suretta-Decke: Augengneis undiff. | Suretta-Decke: Augengneis undiff. |
| 15203855 | Suretta-Decke: Val-da-Roda-Augengneis | Suretta-Decke: Val-da-Roda-Augengneis |
| 15203856 | Suretta-Decke: Hellglimmer-Orthogneis | Suretta-Decke: Hellglimmer-Orthogneis |
| 15203857 | Suretta-Decke: Zweiglimmer-Orthogneis | Suretta-Decke: Zweiglimmer-Orthogneis |

| GeolCode | Deutsch | Italiano |
|---|---|---|
| 15203858 | Suretta-Decke: Glimmerschiefer und Paragneise | Suretta-Decke: Glimmerschiefer und Paragneise |
| 15203859 | Suretta-Decke: Albitischer Gneis | Suretta-Decke: Albitischer Gneis |
| 15203860 | Suretta-Decke: Mylonitischer Gneis | Suretta-Decke: Mylonitischer Gneis |
| 15203861 | Suretta-Decke: Granat-Paragneis | Suretta-Decke: Granat-Paragneis |
| 15203862 | Suretta-Decke: Zweiglimmer-Paragneis | Suretta-Decke: Zweiglimmer-Paragneis |
| 15203863 | Suretta-Decke: Granat-Glimmerschiefer | Suretta-Decke: Granat-Glimmerschiefer |
| 15203864 | Suretta-Decke: Marmor | Suretta-Decke: Marmor |
| 15203865 | Suretta-Decke: Amphibolit undiff. | Suretta-Decke: Amphibolit undiff. |
| 15203866 | Suretta-Decke: Granatamphibolit | Suretta-Decke: Granatamphibolit |
| 15203867 | Suretta-Decke: Amphibolit: kontaktmetamorph | Suretta-Decke: Amphibolit: kontaktmetamorph |
| 15203868 | Suretta-Decke: Serpentinit | Suretta-Decke: Serpentinit |
| 15203869 | Avers-Decke: Wengahorn-Fm. undiff. | Avers-Decke: Wengahorn-Fm. undiff. |
| 15203870 | Avers-Decke: Wengahorn-Fm.: Kristallinschuppe | Avers-Decke: Wengahorn-Fm.: Kristallinschuppe |
| 15203871 | Avers-Decke: Mäder-Fm. | Avers-Decke: Mäder-Fm. |
| 15203872 | Avers-Decke: Piot-Fm. | Avers-Decke: Piot-Fm. |
| 15203873 | Avers-Decke: Tscheischhorn-Fm. undiff. | Avers-Decke: Tscheischhorn-Fm. undiff. |
| 15203874 | Avers-Decke: Tscheischhorn-Fm.: Phyllit | Avers-Decke: Tscheischhorn-Fm.: Phyllit |
| 15203875 | Avers-Decke: Tscheischhorn-Fm.: Dolomit | Avers-Decke: Tscheischhorn-Fm.: Dolomit |
| 15203876 | Avers-Decke: Predarossa-Fm. undiff. | Avers-Decke: Predarossa-Fm. undiff. |
| 15203877 | Avers-Decke: Predarossa-Fm.: mit Fuchsit | Avers-Decke: Predarossa-Fm.: mit Fuchsit |
| 15203878 | Avers-Decke: Predarossa-Fm.: Granat-Chloritoid-Glimmerschiefer | Avers-Decke: Predarossa-Fm.: Granat-Chloritoid-Glimmerschiefer |
| 15203879 | Avers-Decke: Predarossa-Fm.: Dolomit | Avers-Decke: Predarossa-Fm.: Dolomit |
| 15203880 | Avers-Decke: Kalzitmarmor | Avers-Decke: Kalzitmarmor |
| 15203881 | Avers-Decke: Quarzschiefer | Avers-Decke: Quarzschiefer |
| 15203882 | Avers-Decke: Basalt | Avers-Decke: Basalt |
| 15203883 | Avers-Decke: Prasinit | Avers-Decke: Prasinit |
| 15203884 | Avers-Decke: Prasinit: Fuchsit | Avers-Decke: Prasinit: Fuchsit |
| 15203885 | Avers-Decke: Prasint: Glaukophan | Avers-Decke: Prasint: Glaukophan |
| 15203886 | Avers-Decke: Gabbro | Avers-Decke: Gabbro |
| 15203887 | Avers-Decke: Serpentinit | Avers-Decke: Serpentinit |
| 15203888 | Avers-Decke: Talkschiefer | Avers-Decke: Talkschiefer |
| 15203889 | Piz-Lizun-Komplex: Quarzgang | Piz-Lizun-Komplex: Quarzgang |
| 15203890 | Piz-Lizun-Komplex: Saures Ganggestein | Piz-Lizun-Komplex: Saures Ganggestein |
| 15203891 | Piz-Lizun-Komplex: Basisches Ganggestein | Piz-Lizun-Komplex: Basisches Ganggestein |
| 15203892 | Piz-Lizun-Komplex: Basalt | Piz-Lizun-Komplex: Basalt |
| 15203893 | Piz-Lizun-Komplex: Basalt: Glaukophan | Piz-Lizun-Komplex: Basalt: Glaukophan |
| 15203894 | Piz-Lizun-Komplex: Gabbro | Piz-Lizun-Komplex: Gabbro |
| 15203895 | Piz-Lizun-Komplex: Serpentinit | Piz-Lizun-Komplex: Serpentinit |
| 15203896 | Muretto-Quarzit: Diopsid-Quarzschiefer und Kalksilikatmarmor | Muretto-Quarzit: Diopsid-Quarzschiefer und Kalksilikatmarmor |

| GeolCode | Deutsch | Italiano |
|---|---|---|
| 15203897 | Muretto-Quarzit: Quarz-Biotit-Plagioklasschiefer | Muretto-Quarzit: Quarz-Biotit-Plagioklasschiefer |
| 15203898 | Rossi-Fm.: Andalusit-Granat-Biotitschiefer | Rossi-Fm.: Andalusit-Granat-Biotitschiefer |
| 15203899 | Rossi-Fm.: Andalusit-Granat-Chloritoidschiefer | Rossi-Fm.: Andalusit-Granat-Chloritoidschiefer |
| 15203900 | Rossi-Fm.: Dolomit | Rossi-Fm.: Dolomit |
| 15203901 | Rossi-Fm.: Kalzitmarmor | Rossi-Fm.: Kalzitmarmor |
| 15203902 | Rossi-Fm.: Kalksilikatfels | Rossi-Fm.: Kalksilikatfels |
| 15203903 | Rossi-Fm.: Quarzit | Rossi-Fm.: Quarzit |
| 15203904 | Forno-Amphibolit: Pillow-Basalt | Forno-Amphibolit: Pillow-Basalt |
| 15203905 | Forno-Amphibolit: Porphyrische Fazies | Forno-Amphibolit: Porphyrische Fazies |
| 15203906 | Forno-Amphibolit: mit Epidotlagen | Forno-Amphibolit: mit Epidotlagen |
| 15203907 | Forno-Amphibolit: mit Fe-Cu-Vererzungen | Forno-Amphibolit: mit Fe-Cu-Vererzungen |
| 15203908 | Malenco-Ultramafitit: Ophikalzit | Malenco-Ultramafitit: Ophikalzit |
| 15203909 | Platta-Decke: Kalk- und Tonschiefer | Platta-Decke: Kalk- und Tonschiefer |
| 15203910 | Platta-Decke: Riebeckit-Albitschiefer | Platta-Decke: Riebeckit-Albitschiefer |
| 15203911 | Platta-Decke: Hyaloklastit | Platta-Decke: Hyaloklastit |
| 15203912 | Platta-Decke: Basalt | Platta-Decke: Basalt |
| 15203913 | Platta-Decke: Basalt: mit Pillow-Struktur | Platta-Decke: Basalt: mit Pillow-Struktur |
| 15203914 | Platta-Decke: Gabbro | Platta-Decke: Gabbro |
| 15203915 | Platta-Decke: Serpentinit | Platta-Decke: Serpentinit |
| 15203916 | Platta-Decke: Serpentinit: Pyroxen | Platta-Decke: Serpentinit: Pyroxen |
| 15203917 | Platta-Decke: Rodingit | Platta-Decke: Rodingit |
| 15203918 | Platta-Decke: Ophikalzit | Platta-Decke: Ophikalzit |
| 15203919 | Platta-Decke: Altkristallin | Platta-Decke: Altkristallin |
| 15203920 | Staldengraben-Fm.: Soladier-Mb. und Creux-de-l'Ours-Mb. | Staldengraben-Fm.: Soladier-Mb. und Creux-de-l'Ours-Mb. |
| 15204001 | God-Drosa-Flysch | God-Drosa-Flysch |
| 15204002 | Chanèls-Fm. | Chanèls-Fm. |
| 15204003 | Lech-Fm. | Lech-Fm. |
| 15204004 | Emmat-Fm. | Emmat-Fm. |
| 15204005 | Russenna-Fm. | Russenna-Fm. |
| 15204006 | Ammergau-Fm. | Ammergau-Fm. |
| 15204007 | Blais-Fm. | Blais-Fm. |
| 15204008 | Blais-Fm.: Plattas-Mb. | Blais-Fm.: Plattas-Mb. |
| 15204009 | Ruhpolding-Fm. | Ruhpolding-Fm. |
| 15204010 | Ostalpin: Dogger: Brekzie | Ostalpin: Dogger: Brekzie |
| 15204011 | Saluver-Fm. | Saluver-Fm. |
| 15204012 | Bardella-Fm. | Bardella-Fm. |
| 15204013 | Salteras-Fm. | Salteras-Fm. |
| 15204014 | Salamun-Brekzie | Salamun-Brekzie |
| 15204015 | Err-Brekzie | Err-Brekzie |
| 15204016 | Allgäu-Fm. | Allgäu-Fm. |
| 15204017 | Allgäu-Fm.: Mezzaun-Mb. | Allgäu-Fm.: Mezzaun-Mb. |
| 15204018 | Allgäu-Fm.: Blaisun-Mb. | Allgäu-Fm.: Blaisun-Mb. |
| 15204019 | Allgäu-Fm.: Trupchun-Mb. | Allgäu-Fm.: Trupchun-Mb. |
| 15204020 | Agnelli-Fm. | Agnelli-Fm. |
| 15204021 | Agnelli-Fm.: Knollenkalk-Fazies | Agnelli-Fm.: Knollenkalk-Fazies |
| 15204022 | Agnelli-Fm.: Echinodermenkalk-Fazies | Agnelli-Fm.: Echinodermenkalk-Fazies |
| 15204023 | Alv-Brekzie | Alv-Brekzie |
| 15204024 | Kössen-Fm. | Kössen-Fm. |

| GeolCode | Deutsch | Italiano |
|---|---|---|
| 15204025 | Kössen-Fm.: Zirmenkopf-Mb. | Kössen-Fm.: Zirmenkopf-Mb. |
| 15204026 | Kössen-Fm.: Mitgel-Mb. | Kössen-Fm.: Mitgel-Mb. |
| 15204027 | Kössen-Fm.: Ramoz-Mb. | Kössen-Fm.: Ramoz-Mb. |
| 15204028 | Kössen-Fm.: Schesaplana-Mb. | Kössen-Fm.: Schesaplana-Mb. |
| 15204029 | Kössen-Fm.: Alplihorn-Mb. | Kössen-Fm.: Alplihorn-Mb. |
| 15204030 | Ostalpin: Hauptdolomit-Gr. | Ostalpin: Hauptdolomit-Gr. |
| 15204031 | Murtèr-Plattenkalk | Murtèr-Plattenkalk |
| 15204032 | Murteret-Dolomit | Murteret-Dolomit |
| 15204033 | Diavel-Fm. | Diavel-Fm. |
| 15204034 | Quattervals-Fm. | Quattervals-Fm. |
| 15204035 | Quattervals-Fm.: Crappa-Mala-Mb. | Quattervals-Fm.: Crappa-Mala-Mb. |
| 15204036 | Quattervals-Fm.: Pra-Grata-Mb. | Quattervals-Fm.: Pra-Grata-Mb. |
| 15204037 | Müschauns-Dolomit | Müschauns-Dolomit |
| 15204038 | Ostalpin: Raibl-Gr. | Ostalpin: Raibl-Gr. |
| 15204039 | Fanez-Fm. | Fanez-Fm. |
| 15204040 | Fanez-Fm.: Valbella-Mb. | Fanez-Fm.: Valbella-Mb. |
| 15204041 | Fanez-Fm.: Dolomit | Fanez-Fm.: Dolomit |
| 15204042 | Fanez-Fm.: Mezdi-Mb. | Fanez-Fm.: Mezdi-Mb. |
| 15204043 | Fanez-Fm.: Cluozza-Mb. | Fanez-Fm.: Cluozza-Mb. |
| 15204044 | Fanez-Fm.: Stugl-Gips | Fanez-Fm.: Stugl-Gips |
| 15204045 | Minger-Fm. | Minger-Fm. |
| 15204046 | Minger-Fm.: Dolomit | Minger-Fm.: Dolomit |
| 15204047 | Mingèr-Fm.: Mora-Mb. | Mingèr-Fm.: Mora-Mb. |
| 15204048 | Garone-Fm. | Garone-Fm. |
| 15204049 | Arlberg-Fm. | Arlberg-Fm. |
| 15204050 | Partnach-Fm. | Partnach-Fm. |
| 15204051 | Altein-Fm. | Altein-Fm. |
| 15204052 | Altein-Fm.: Parai-Alba-Mb. | Altein-Fm.: Parai-Alba-Mb. |
| 15204053 | Prosanto-Fm. | Prosanto-Fm. |
| 15204054 | Vallatscha-Fm. | Vallatscha-Fm. |
| 15204055 | Vallatscha-Fm.: Tiaun-Brekzie | Vallatscha-Fm.: Tiaun-Brekzie |
| 15204056 | Vallatscha-Fm.: Dolomit | Vallatscha-Fm.: Dolomit |
| 15204057 | Vallatscha-Fm.: Turettas-Mb. | Vallatscha-Fm.: Turettas-Mb. |
| 15204058 | Vallatscha-Fm.: Landwasser-Mb. | Vallatscha-Fm.: Landwasser-Mb. |
| 15204059 | S-charl-Fm. | S-charl-Fm. |
| 15204060 | S-charl-Fm.: Sertig-Mb. | S-charl-Fm.: Sertig-Mb. |
| 15204061 | S-charl-Fm.: Ravais-ch-Mb. | S-charl-Fm.: Ravais-ch-Mb. |
| 15204062 | Reiflingen-Fm. | Reiflingen-Fm. |
| 15204063 | Ducan-Fm. | Ducan-Fm. |
| 15204064 | Ducan-Fm.: Trochitendolomit | Ducan-Fm.: Trochitendolomit |
| 15204065 | Ducan-Fm.: Brachiopodenkalk | Ducan-Fm.: Brachiopodenkalk |
| 15204066 | Ducan-Fm.: Eisendolomit-Mb. | Ducan-Fm.: Eisendolomit-Mb. |
| 15204067 | Ducan-Fm.: Gracilis-Mb. | Ducan-Fm.: Gracilis-Mb. |
| 15204068 | Gutenstein-Fm. | Gutenstein-Fm. |
| 15204069 | Reichenhall-Fm. | Reichenhall-Fm. |
| 15204070 | Fuorn-Fm. | Fuorn-Fm. |
| 15204071 | Fuorn-Fm.: Punt-la-Drossa-Mb. | Fuorn-Fm.: Punt-la-Drossa-Mb. |
| 15204072 | Fuorn-Fm.: Pflanzenquarzit | Fuorn-Fm.: Pflanzenquarzit |
| 15204073 | Fuorn-Fm.: Unterer Teil | Fuorn-Fm.: Unterer Teil |
| 15204074 | Ruina- und Chazfora-Fm. | Ruina- und Chazfora-Fm. |
| 15204075 | Chazforà-Fm. | Chazforà-Fm. |
| 15204076 | Chazforà-Fm.: Tuors-Mb. | Chazforà-Fm.: Tuors-Mb. |
| 15204077 | Chazforà-Fm.: Val-Püra-Mb. | Chazforà-Fm.: Val-Püra-Mb. |
| 15204078 | Präbichl-Fm. | Präbichl-Fm. |

| GeolCode | Deutsch | Italiano |
|---|---|---|
| 15204079 | Ruina-Fm. | Ruina-Fm. |
| 15204080 | Ruina-Fm.: Sandhubel-Mb. | Ruina-Fm.: Sandhubel-Mb. |
| 15204081 | Ruina-Fm.: Bellaluna-Mb. | Ruina-Fm.: Bellaluna-Mb. |
| 15204082 | Mönchalp-Augengneis | Mönchalp-Augengneis |
| 15204083 | Tschuggen-Augengneis | Tschuggen-Augengneis |
| 15204084 | Güstizia-Gneis | Güstizia-Gneis |
| 15204085 | Plasseggen-Augengneis | Plasseggen-Augengneis |
| 15204086 | Ostalpin: Trias | Ostalpin: Trias |
| 15204087 | Ostalpin: Dogger | Ostalpin: Dogger |
| 15204088 | Ostalpin: Radiolarit-Aptychenkalk | Ostalpin: Radiolarit-Aptychenkalk |
| 15204089 | Ostalpin: Kreide | Ostalpin: Kreide |
| 15204090 | Ostalpin: Lias | Ostalpin: Lias |
| 15204091 | Ostalpin: Grundgebirge | Ostalpin: Grundgebirge |
| 15204092 | Nair-Porphyroid | Nair-Porphyroid |
| 15204093 | Lavatèra-Brekzie | Lavatèra-Brekzie |
| 15204094 | Varaina-Schiefer | Varaina-Schiefer |
| 15204095 | Sprenkel-Schiefer | Sprenkel-Schiefer |
| 15204096 | Maloja-Teildecke: Fedoz-Gneiskomplex | Maloja-Teildecke: Fedoz-Gneiskomplex |
| 15204097 | Maloja-Teildecke: Fedoz-Metagabbro | Maloja-Teildecke: Fedoz-Metagabbro |
| 15204098 | Maloja-Teildecke: Maloja-Orthogneis | Maloja-Teildecke: Maloja-Orthogneis |
| 15204099 | Maloja-Teildecke: Maloja-Gneiskomplex | Maloja-Teildecke: Maloja-Gneiskomplex |
| 15204100 | Ur-Brekzie | Ur-Brekzie |
| 15204101 | Tschima-da-Flix-Granit | Tschima-da-Flix-Granit |
| 15204102 | Err-Granodiorit | Err-Granodiorit |
| 15204103 | Ostalpin: Postvariszische Diabasgänge | Ostalpin: Postvariszische Diabasgänge |
| 15204104 | Flüela-Augengneis | Flüela-Augengneis |
| 15204105 | Dorfberg-Gneis | Dorfberg-Gneis |
| 15204106 | Allgäu-Fm.: Alpisella-Mb.: Chaschauna-Brekzie | Allgäu-Fm.: Alpisella-Mb.: Chaschauna-Brekzie |
| 15204107 | Sesvenna-Augengneis | Sesvenna-Augengneis |
| 15204108 | Vaüglia-Granodiorit | Vaüglia-Granodiorit |
| 15204109 | Mingèr-Fm.: Mora-Mb.: Döss-Radond-Vulkanite | Mingèr-Fm.: Mora-Mb.: Döss-Radond-Vulkanite |
| 15204110 | Augsten-Brekzie | Augsten-Brekzie |
| 15204111 | Piz-Trovat-Metarhyolith | Piz-Trovat-Metarhyolith |
| 15204112 | Sass-Queder-Metarhyolith | Sass-Queder-Metarhyolith |
| 15204113 | La-Rösa-Orthogneis | La-Rösa-Orthogneis |
| 15204114 | Carale-Schiefer | Carale-Schiefer |
| 15204115 | Gosau-Gruppe | Gosau-Gruppe |
| 15204116 | Morteratsch-Serpentinit | Morteratsch-Serpentinit |
| 15204117 | Forun-Augengneis | Forun-Augengneis |
| 15204118 | Kesch-Augengneis | Kesch-Augengneis |
| 15204119 | Ostalpin: Prävariszisches polyzyklisches Grundgebirge | Ostalpin: Prävariszisches polyzyklisches Grundgebirge |
| 15204120 | Silvretta-Decke: Jüngere Orthogneise | Silvretta-Decke: «Jüngere Orthogneise» |
| 15204121 | Silvretta-Decke: Ältere Orthogneise | Silvretta-Decke: «Ältere Orthogneise» |
| 15204122 | Val-Rude-Orthogneis | Val-Rude-Orthogneis |
| 15204123 | Corvatsch-Granitkomplex: Corvatsch-Granodiorit | Corvatsch-Granitkomplex: Corvatsch-Granodiorit |
| 15204124 | Julier-Granodiorit | Julier-Granodiorit |
| 15204125 | Sasso-Rosso-Granodiorit | Sasso-Rosso-Granodiorit |
| 15204126 | Vallatscha-Fm.: Lavinèr-Brekzie | Vallatscha-Fm.: Lavinèr-Brekzie |

| GeolCode | Deutsch | Italiano |
|---|---|---|
| 15204127 | Haupter-Brekzie | Haupter-Brekzie |
| 15204128 | Ostalpin: Postvariszische Vulkanite und Sedimente | Ostalpin: Postvariszische Vulkanite und Sedimente |
| 15204129 | Ostalpin: Jura | Ostalpin: Jura |
| 15204130 | Garone-, Vallatscha-,Prosanto- und Altein-Fm. | Garone-, Vallatscha-,Prosanto- und Altein-Fm. |
| 15204132 | Ostalpin: Variszische Intrusiva | Ostalpin: Variszische Intrusiva |
| 15204135 | Ostalpin: Prävariszischer Orthogneis | Ostalpin: Prävariszischer Orthogneis |
| 15204136 | Ostalpin: Prävariszischer Paragneis | Ostalpin: Prävariszischer Paragneis |
| 15204137 | Ostalpin: Prävariszische Grüngesteine | Ostalpin: Prävariszische Grüngesteine |
| 15204138 | Uglix-Plattenkalk | Uglix-Plattenkalk |
| 15204139 | Parait-Chavagl-Granit | Parait-Chavagl-Granit |
| 15204140 | God-Drosa-Flysch: Clavadatsch-Brekzie | God-Drosa-Flysch: Clavadatsch-Brekzie |
| 15204141 | Corno-di-Campo-Granodiorit | Corno-di-Campo-Granodiorit |
| 15204142 | Campocologno-Gabbro | Campocologno-Gabbro |
| 15204143 | Celerina-Orthogneis | Celerina-Orthogneis |
| 15204144 | Tonale-Schiefer | Tonale-Schiefer |
| 15204145 | Ostalpin: Raibl-Gr.: Gips | Ostalpin: Raibl-Gr.: Gips |
| 15204146 | Ostalpin: Raibl-Gr.: Rauwacke | Ostalpin: Raibl-Gr.: Rauwacke |
| 15204147 | Arlberg-Fm.: Rifffazies | Arlberg-Fm.: Rifffazies |
| 15204148 | Ducan- und S-charl-Fm. | Ducan- und S-charl-Fm. |
| 15204149 | Ostalpin: Raibl-Gr.: Dolomit | Ostalpin: Raibl-Gr.: Dolomit |
| 15204150 | Ostalpin: Hauptdolomit-Gr.: bituminöser Dolomit | Ostalpin: Hauptdolomit-Gr.: bituminöser Dolomit |
| 15204151 | Zentralschweizerische Klippen: Raibl-Gr. | Zentralschweizerische Klippen: Raibl-Gr. |
| 15204152 | Grevasalvas-Granit | Grevasalvas-Granit |
| 15204153 | Unterostalpin: Kataklastit | Unterostalpin: Kataklastit |
| 15204154 | Unterostalpin: Metapsammit mit Dolomitbrekzienlagen | Unterostalpin: Metapsammit mit Dolomitbrekzienlagen |
| 15204155 | Saluver-Fm.: Sandstein-Fazies | Saluver-Fm.: Sandstein-Fazies |
| 15204156 | Saluver-Fm.: Brekziöse Fazies | Saluver-Fm.: Brekziöse Fazies |
| 15204157 | Unterostalpin: Trias: Dolomit | Unterostalpin: Trias: Dolomit |
| 15204158 | Unterostalpin: Trias: Rauwacke | Unterostalpin: Trias: Rauwacke |
| 15204159 | Ostalpin: Aplit | Ostalpin: Aplit |
| 15204160 | Ostalpin: Basisches Ganggestein | Ostalpin: Basisches Ganggestein |
| 15204161 | Unterostalpin: Granitporphyr | Unterostalpin: Granitporphyr |
| 15204162 | Bernina-Deckenkomplex: Alkalifeldspatgranit und Syenit | Bernina-Deckenkomplex: Alkalifeldspatgranit und Syenit |
| 15204163 | Bernina-Deckenkomplex: Granodiorit | Bernina-Deckenkomplex: Granodiorit |
| 15204164 | Bernina-Deckenkomplex: Diorit | Bernina-Deckenkomplex: Diorit |
| 15204165 | Unterostalpin: Chlorit-Muskovit-Quarzschiefer | Unterostalpin: Chlorit-Muskovit-Quarzschiefer |
| 15204166 | Roccabella-Schuppe: Chlorit-Muskovit-Quarzschiefer | Roccabella-Schuppe: Chlorit-Muskovit-Quarzschiefer |
| 15205001 | Dent-Blanche-Decke: Sedimentbedeckung | Dent-Blanche-Decke: Sedimentbedeckung |
| 15205002 | Petit-Dolin-Kalkbrekzie | Petit-Dolin-Kalkbrekzie |
| 15205003 | Roisan-Cignana-Zone | Roisan-Cignana-Zone |
| 15205004 | Arolla-Einheit | Arolla-Einheit |
| 15205005 | Mont-Collon-Gabbro | Mont-Collon-Gabbro |
| 15205006 | Arolla-Orthogneis | Arolla-Orthogneis |
| 15205007 | Valpelline-Einheit | Valpelline-Einheit |

| GeolCode | Deutsch | Italiano |
|---|---|---|
| 15205008 | Castel-di-Sotto-Ton | Castel-di-Sotto-Ton |
| 15205009 | Pontegana-Konglomerat | Pontegana-Konglomerat |
| 15205010 | Lombardischer Gompholith | Lombardischer Gompholith |
| 15205011 | Lucino-Konglomerat | Lucino-Konglomerat |
| 15205012 | Lucino-Konglomerat: Cagno-Sandstein | Lucino-Konglomerat: Cagno-Sandstein |
| 15205013 | Como-Konglomerat: Val-Grande-Sandstein | Como-Konglomerat: Val-Grande-Sandstein |
| 15205014 | Como-Konglomerat: Prestino-Pelite | Como-Konglomerat: Prestino-Pelite |
| 15205015 | Como-Konglomerat | Como-Konglomerat |
| 15205016 | Como-Konglomerat: Malnate-Sandstein | Como-Konglomerat: Malnate-Sandstein |
| 15205017 | Como-Konglomerat: Rio-dei-Gioghi-Pelite | Como-Konglomerat: Rio-dei-Gioghi-Pelite |
| 15205018 | Chiasso-Fm. | Chiasso-Fm. |
| 15205019 | Chiasso-Fm: Villa-Olmo-Konglomerat | Chiasso-Fm: Villa-Olmo-Konglomerat |
| 15205020 | Ternate-Fm. | Ternate-Fm. |
| 15205021 | Brenno-Fm. | Brenno-Fm. |
| 15205022 | Prella-Konglomerat | Prella-Konglomerat |
| 15205023 | Südalpin: Flysch | Südalpin: Flysch |
| 15205024 | Bergamo-Flysch | Bergamo-Flysch |
| 15205025 | Coldrerio-Flysch | Coldrerio-Flysch |
| 15205026 | Torre-Konglomerat | Torre-Konglomerat |
| 15205027 | Varesotto-Flysch | Varesotto-Flysch |
| 15205028 | Scaglia Lombarda | Scaglia Lombarda |
| 15205029 | Scaglia Rossa Lombarda | Scaglia Rossa Lombarda |
| 15205030 | Scaglia Bianca Lombarda | Scaglia Bianca Lombarda |
| 15205031 | Scaglia Variegata Lombarda | Scaglia Variegata Lombarda |
| 15205032 | Maiolica Lombarda | Maiolica Lombarda |
| 15205033 | Selcifero Lombardo | Selcifero Lombardo |
| 15205034 | Selcifero Lombardo: Rosso ad Aptici | Selcifero Lombardo: Rosso ad Aptici |
| 15205035 | Calcare a bivalvi planctonici | Calcare a bivalvi planctonici |
| 15205036 | Rosso Ammonitico Lombardo | Rosso Ammonitico Lombardo |
| 15205037 | Rosso Ammonitico Lombardo: Grenzposidonienschichten | Rosso Ammonitico Lombardo: Grenzposidonienschichten |
| 15205038 | Morbio-Fm. | Morbio-Fm. |
| 15205039 | Besazio-Kalk | Besazio-Kalk |
| 15205040 | Moltrasio-Fm. | Moltrasio-Fm. |
| 15205041 | Moltrasio-Fm.: Molino-Mb. | Moltrasio-Fm.: Molino-Mb. |
| 15205042 | Saltrio-Fm. | Saltrio-Fm. |
| 15205043 | Macchia Vecchia | Macchia Vecchia |
| 15205044 | Broccatello d'Arzo | Broccatello d'Arzo |
| 15205045 | Albenza-Fm. | Albenza-Fm. |
| 15205046 | Zu-Kalk | Zu-Kalk |
| 15205047 | Tremona-Fm. | Tremona-Fm. |
| 15205048 | Brecce Retiche | Brecce Retiche |
| 15205049 | Riva-di-Solto-Tonstein | Riva-di-Solto-Tonstein |
| 15205050 | Dolomia Principale | Dolomia Principale |
| 15205051 | Pizzella-Mergel | Pizzella-Mergel |
| 15205052 | Cunardo-Fm. | Cunardo-Fm. |
| 15205053 | Meride-Fm. | Meride-Fm. |
| 15205054 | Meride-Fm.: Kalkschieferzone | Meride-Fm.: Kalkschieferzone |
| 15205055 | Meride-Fm.: Unterer Kalk: Cassina-Bk. | Meride-Fm.: Unterer Kalk: Cassina-Bk. |
| 15205056 | Meride-Fm.: Unterer Kalk: Cava Superiore | Meride-Fm.: Unterer Kalk: Cava Superiore |

| GeolCode | Deutsch | Italiano |
|---|---|---|
| 15205057 | Meride-Fm.: Unterer Kalk: Cava Inferiore | Meride-Fm.: Unterer Kalk: Cava Inferiore |
| 15205058 | San-Giorgio-Dolomit | San-Giorgio-Dolomit |
| 15205059 | San-Giorgio-Dolomit: Val-Serrata-Tuffite | San-Giorgio-Dolomit: Val-Serrata-Tuffite |
| 15205060 | Besano-Fm. | Besano-Fm. |
| 15205061 | San-Salvatore-Dolomit | San-Salvatore-Dolomit |
| 15205062 | Bellano-Fm. | Bellano-Fm. |
| 15205063 | Servino | Servino |
| 15205064 | Verrucano Lombardo | Verrucano Lombardo |
| 15205065 | Morcote-Vulkanite | Morcote-Vulkanite |
| 15205066 | Morcote-Vulkanite: Granophyr | Morcote-Vulkanite: Granophyr |
| 15205067 | Morcote-Vulkanite: Andesit und Dazit | Morcote-Vulkanite: Andesit und Dazit |
| 15205068 | Morcote-Vulkanite: Basalt | Morcote-Vulkanite: Basalt |
| 15205069 | Morcote-Vulkanite: Basaler Tuf | Morcote-Vulkanite: Basaler Tuf |
| 15205070 | Manno-Fm. | Manno-Fm. |
| 15205071 | Südalpin: Paläogen-Neogen | Südalpin: Paläogen-Neogen |
| 15205072 | Südalpin: Kreide | Südalpin: Kreide |
| 15205073 | Südalpin: Radiolarit-Aptychenkalk | Südalpin: Radiolarit-Aptychenkalk |
| 15205074 | Südalpin: Dogger | Südalpin: Dogger |
| 15205075 | Südalpin: Lias | Südalpin: Lias |
| 15205076 | Südalpin: Trias | Südalpin: Trias |
| 15205077 | Südalpin: Permo-Karbon | Südalpin: Permo-Karbon |
| 15205078 | Südalpin: Grundgebirge | Südalpin: Grundgebirge |
| 15205079 | Südalpin: Variszische Intrusiva | Südalpin: Variszische Intrusiva |
| 15205080 | San-Bernardo-Gneis | San-Bernardo-Gneis |
| 15205081 | Südalpin: Prävariszische Metasedimente | Südalpin: Prävariszische Metasedimente |
| 15205082 | Stabbiello-Gneis | Stabbiello-Gneis |
| 15205083 | Giumello-Gneis | Giumello-Gneis |
| 15205084 | Ceneri-Gneis | Ceneri-Gneis |
| 15205085 | Südalpin: Proterozoische und paläozoische mafische und ultramafische Gesteine | Südalpin: Proterozoische und paläozoische mafische und ultramafische Gesteine |
| 15205086 | Mont-Morion-Granit | Mont-Morion-Granit |
| 15205087 | Pointe-d'Otemma-Granodiorit | Pointe-d'Otemma-Granodiorit |
| 15205088 | Bouquetins-Quarzdiorit | Bouquetins-Quarzdiorit |
| 15205089 | Tête-de-Valpelline-Phyllit | Tête-de-Valpelline-Phyllit |
| 15205090 | Arolla-Einheit: Série rubanée | Arolla-Einheit: Série rubanée |
| 15205091 | Sassa-Metagabbro | Sassa-Metagabbro |
| 15205092 | Maia-Metagabbro | Maia-Metagabbro |
| 15205093 | Losone-Schiefer | Losone-Schiefer |
| 15205094 | Pizzo-Leone-Gneis | Pizzo-Leone-Gneis |
| 15205095 | Fornale-Gabbro | Fornale-Gabbro |
| 15205096 | Matterhorn-Gabbro | Matterhorn-Gabbro |
| 15205097 | Berrio-Gabbro | Berrio-Gabbro |
| 15205098 | Grand-Dolin-Brekzie | Grand-Dolin-Brekzie |
| 15205099 | Meride-Fm.: Oberer Kalk | Meride-Fm.: Oberer Kalk |
| 15205100 | Meride-Fm.: Unterer Kalk | Meride-Fm.: Unterer Kalk |
| 15205101 | Meride-Fm.: Dolomit-Band | Meride-Fm.: Dolomit-Band |
| 15205102 | Dent-Blanche-Decke: Lias: Kalkstein | Dent-Blanche-Decke: Lias: Kalkstein |
| 15205103 | Dent-Blanche-Decke: Trias: Dolomit | Dent-Blanche-Decke: Trias: Dolomit |
| 15205104 | Dent-Blanche-Decke: Trias: Rauwacke | Dent-Blanche-Decke: Trias: Rauwacke |
| 15205105 | Dent-Blanche-Decke: Trias: Quarzit | Dent-Blanche-Decke: Trias: Quarzit |

| GeolCode | Deutsch | Italiano |
|---|---|---|
| 15205106 | Arolla-Orthogneis: Leukogneis | Arolla-Orthogneis: Leukogneis |
| 15205107 | Arolla-Orthogneis: Augengneis | Arolla-Orthogneis: Augengneis |
| 15205108 | Arolla-Orthogneis: Mylonit | Arolla-Orthogneis: Mylonit |
| 15205109 | Arolla-Einheit: Mylonit | Arolla-Einheit: Mylonit |
| 15205110 | Arolla-Einheit: Série rubanée: Mikroaugengneis | Arolla-Einheit: Série rubanée: Mikroaugengneis |
| 15205111 | Arolla-Orthogneis: Granitoid | Arolla-Orthogneis: Granitoid |
| 15205112 | Arolla-Einheit: Basisches Gestein | Arolla-Einheit: Basisches Gestein |
| 15205113 | Arolla-Einheit: Basisches Gestein: Mylonitisch | Arolla-Einheit: Basisches Gestein: Mylonitisch |
| 15205114 | Arolla-Einheit: Prasinit | Arolla-Einheit: Prasinit |
| 15205115 | Arolla-Einheit: Hornblendegabbro | Arolla-Einheit: Hornblendegabbro |
| 15205116 | Arolla-Einheit: Ultramafisches Gestein | Arolla-Einheit: Ultramafisches Gestein |
| 15205117 | Arolla-Einheit: Paragneis | Arolla-Einheit: Paragneis |
| 15205118 | Arolla-Einheit: Glimmerschiefer | Arolla-Einheit: Glimmerschiefer |
| 15205119 | Valpelline-Einheit: Mylonit | Valpelline-Einheit: Mylonit |
| 15205120 | Valpelline-Einheit: Amphibolit | Valpelline-Einheit: Amphibolit |
| 15205121 | Valpelline-Einheit: Marmor | Valpelline-Einheit: Marmor |
| 15205122 | Valpelline-Einheit: Migmatit | Valpelline-Einheit: Migmatit |
| 15205123 | Roisan-Cignana-Zone: Marmor | Roisan-Cignana-Zone: Marmor |
| 15205124 | Musella-Granit | Musella-Granit |
| 15205125 | Sella-Granodiorit | Sella-Granodiorit |
| 15205126 | Marinelli-Fm. | Marinelli-Fm. |
| 15205127 | Margna- und Sella-Decke: Grundgebirge | Margna- und Sella-Decke: Grundgebirge |
| 15205128 | Margna- und Sella-Decke: Variszische Intrusiva | Margna- und Sella-Decke: Variszische Intrusiva |
| 15205129 | Margna- und Sella-Decke: Prävariszisches Grundgebirge | Margna- und Sella-Decke: Prävariszisches Grundgebirge |
| 15205130 | Margna-Decke: Metaarkose, Orthogneise | Margna-Decke: Metaarkose, Orthogneise |
| 15205131 | Sesia-Decke: Orthogneis | Sesia-Decke: Orthogneis |
| 15205132 | Sesia-Decke: Micascisti Eclogitici | Sesia-Decke: Micascisti Eclogitici |
| 15205133 | Finero-Peridotit | Finero-Peridotit |
| 15205134 | Ivrea Mafischer Komplex | Ivrea Mafischer Komplex |
| 15205135 | Sesia-Decke: Zona Dioritico-Kinzigitica | Sesia-Decke: Zona Dioritico-Kinzigitica |
| 15205136 | Südalpin: Prävariszischer Orthogneis | Südalpin: Prävariszischer Orthogneis |
| 15205137 | Pontida-Fm. | Pontida-Fm. |
| 15205138 | Arolla-Orthogneis: Metagranit | Arolla-Orthogneis: Metagranit |
| 15205139 | Arolla-Einheit: Leukokrater Granitgneis | Arolla-Einheit: Leukokrater Granitgneis |
| 15205140 | Dent-Blanche-Decke: Grundgebirge | Dent-Blanche-Decke: Grundgebirge |
| 15205141 | Maloja-Teildecke: Sedimentbedeckung | Maloja-Teildecke: Sedimentbedeckung |
| 15205142 | Maloja-Teildecke: Kalzitmarmor [Emmat-Fm.?] | Maloja-Teildecke: Kalzitmarmor [Emmat-Fm.?] |
| 15205143 | Maloja-Teildecke: Quarzschiefer [Blais-Fm.?] | Maloja-Teildecke: Quarzschiefer [Blais-Fm.?] |
| 15205144 | Maloja-Teildecke: Kalkglimmerschiefer [Saluver-Fm.?] | Maloja-Teildecke: Kalkglimmerschiefer [Saluver-Fm.?] |
| 15205145 | Maloja-Teildecke: kieseliger Kalzitmarmor [Agnelli-Fm.?] | Maloja-Teildecke: kieseliger Kalzitmarmor [Agnelli-Fm.?] |
| 15205146 | Maloja-Teildecke: Karbonatische Trias | Maloja-Teildecke: Karbonatische Trias |
| 15205147 | Maloja-Teildecke: Trias: Kalzitmarmor | Maloja-Teildecke: Trias: Kalzitmarmor |

| GeolCode | Deutsch | Italiano |
|---|---|---|
| 15205148 | Maloja-Teildecke: Trias: Dolomitmarmor | Maloja-Teildecke: Trias: Dolomitmarmor |
| 15205149 | Maloja-Teildecke: Trias: Dolomitbrekzie | Maloja-Teildecke: Trias: Dolomitbrekzie |
| 15205150 | Maloja-Teildecke: Trias: Rauwacke | Maloja-Teildecke: Trias: Rauwacke |
| 15205151 | Maloja-Teildecke: Detritische (Permo-)Trias | Maloja-Teildecke: Detritische (Permo-)Trias |
| 15205152 | Maloja-Teildecke: Permo-Trias: Quarzit | Maloja-Teildecke: Permo-Trias: Quarzit |
| 15205153 | Maloja-Teildecke: Permo-Trias: Schiefer | Maloja-Teildecke: Permo-Trias: Schiefer |
| 15205154 | Maloja-Teildecke: Grundgebirge | Maloja-Teildecke: Grundgebirge |
| 15205155 | Maloja-Teildecke: Glimmerschiefer (mit Trias-Linsen; südlich der Engadiner Linie) | Maloja-Teildecke: Glimmerschiefer (mit Trias-Linsen; südlich der Engadiner Linie) |
| 15205156 | Maloja-Teildecke: Biotit-Serizitschiefer | Maloja-Teildecke: Biotit-Serizitschiefer |
| 15205157 | Maloja-Teildecke: Serizitschiefer | Maloja-Teildecke: Serizitschiefer |
| 15205158 | Maloja-Teildecke: Paragneis und -schiefer (nördlich der Engadiner Linie) | Maloja-Teildecke: Paragneis und -schiefer (nördlich der Engadiner Linie) |
| 15205159 | Maloja-Teildecke: Quarz-Hellglimmerschiefer | Maloja-Teildecke: Quarz-Hellglimmerschiefer |
| 15205160 | Maloja-Teildecke: Quarzphyllit | Maloja-Teildecke: Quarzphyllit |
| 15205161 | Maloja-Teildecke: Dunkler Phyllit | Maloja-Teildecke: Dunkler Phyllit |
| 15205162 | Maloja-Teildecke: Paragneis und -schiefer (westlich des Septimer-Bruchs) | Maloja-Teildecke: Paragneis und -schiefer (westlich des Septimer-Bruchs) |
| 15205163 | Maloja-Teildecke: Amphibolit | Maloja-Teildecke: Amphibolit |
| 15205164 | Maloja-Teildecke: Ultramafitit | Maloja-Teildecke: Ultramafitit |
| 15205165 | Maloja-Teildecke: Variszisches Grundgebirge | Maloja-Teildecke: Variszisches Grundgebirge |
| 15205166 | Maloja-Teildecke: Variszischer Hellglimmergneis | Maloja-Teildecke: Variszischer Hellglimmergneis |
| 15205167 | Maloja-Teildecke: Variszischer Augengneis | Maloja-Teildecke: Variszischer Augengneis |
| 15205168 | Maloja-Teildecke: Variszischer Zweiglimmergneis | Maloja-Teildecke: Variszischer Zweiglimmergneis |
| 15205169 | Maloja-Teildecke: «Chastè-Gneis» | Maloja-Teildecke: «Chastè-Gneis» |
| 15205170 | Maloja-Teildecke: Lunghin-Augengneis | Maloja-Teildecke: Lunghin-Augengneis |
| 15205171 | Maloja-Teildecke: Fedoz-Metagabbro: Orthopyroxen-Chlorit-Amphibolfels | Maloja-Teildecke: Fedoz-Metagabbro: Orthopyroxen-Chlorit-Amphibolfels |
| 15205172 | Maloja-Teildecke: Prävariszisches Grundgebirge | Maloja-Teildecke: Prävariszisches Grundgebirge |
| 15205173 | Maloja-Teildecke: Fedoz-Gneiskomplex: Granat-Glimmerschiefer | Maloja-Teildecke: Fedoz-Gneiskomplex: Granat-Glimmerschiefer |
| 15205174 | Maloja-Teildecke: Fedoz-Gneiskomplex: Kalzitmarmor | Maloja-Teildecke: Fedoz-Gneiskomplex: Kalzitmarmor |
| 15205175 | Maloja-Teildecke: Fedoz-Gneiskomplex: Amphibolit | Maloja-Teildecke: Fedoz-Gneiskomplex: Amphibolit |
| 15205176 | Maloja-Teildecke: Fedoz-Gneiskomplex: Granatamphibolit | Maloja-Teildecke: Fedoz-Gneiskomplex: Granatamphibolit |
| 15205177 | Maloja-Teildecke: Fedoz-Gneiskomplex: Pegmatit | Maloja-Teildecke: Fedoz-Gneiskomplex: Pegmatit |

| GeolCode | Deutsch | Italiano |
|---|---|---|
| 15205178 | Fora-Teildecke: Sedimentbedeckung | Fora-Teildecke: Sedimentbedeckung |
| 15205179 | Fora-Teildecke: Karbonatische Trias | Fora-Teildecke: Karbonatische Trias |
| 15205180 | Fora-Teildecke: Trias: Dolomitmarmor | Fora-Teildecke: Trias: Dolomitmarmor |
| 15205181 | Fora-Teildecke: Trias: Rauwacke | Fora-Teildecke: Trias: Rauwacke |
| 15205182 | Fora-Teildecke: Detritische (Permo-)Trias | Fora-Teildecke: Detritische (Permo-)Trias |
| 15205183 | Fora-Teildecke: Permo-Trias: Quarzit | Fora-Teildecke: Permo-Trias: Quarzit |
| 15205184 | Fora-Teildecke: Grundgebirge | Fora-Teildecke: Grundgebirge |
| 15205185 | Fora-Teildecke: Biotit-Serizitschiefer | Fora-Teildecke: Biotit-Serizitschiefer |
| 15205186 | Fora-Teildecke: Amphibolit | Fora-Teildecke: Amphibolit |
| 15205187 | Fora-Teildecke: Ultramafitit | Fora-Teildecke: Ultramafitit |
| 15205188 | Fora-Teildecke: Variszisches Grundgebirge | Fora-Teildecke: Variszisches Grundgebirge |
| 15205189 | Fora-Teildecke: Variszischer Hellglimmergneis | Fora-Teildecke: Variszischer Hellglimmergneis |
| 15205190 | Fora-Teildecke: Variszischer Biotit-führender Hellglimmergneis | Fora-Teildecke: Variszischer Biotit-führender Hellglimmergneis |
| 15205191 | Fora-Teildecke: Fedoz-Metagabbro | Fora-Teildecke: Fedoz-Metagabbro |
| 15205192 | Fora-Teildecke: Fedoz-Metagabbro: Ferrogabbro | Fora-Teildecke: Fedoz-Metagabbro: Ferrogabbro |
| 15206001 | Periadriatische Vulkanite | Periadriatische Vulkanite |
| 15206002 | Novate-Intrusiva | Novate-Intrusiva |
| 15206003 | Bregaglia-Intrusiva | Bregaglia-Intrusiva |
| 15206004 | Adamello-Intrusiva | Adamello-Intrusiva |
| 15206005 | Bregaglia-Intrusiva: Melirolo-Augengneis | Bregaglia-Intrusiva: Melirolo-Augengneis |
| 15206006 | Bregaglia-Intrusiva: Granodioritische Fazies | Bregaglia-Intrusiva: Granodioritische Fazies |
| 15206007 | Bregaglia-Intrusiva: Tonalitische Fazies | Bregaglia-Intrusiva: Tonalitische Fazies |
| 15206008 | Bregaglia-Intrusiva: Monte-Bassetta-Quarzdiorit | Bregaglia-Intrusiva: Monte-Bassetta-Quarzdiorit |
| 15206009 | Bregaglia-Intrusiva: Sorico-Tonalit | Bregaglia-Intrusiva: Sorico-Tonalit |
| 15206010 | Bregaglia-Intrusiva: Jorio-Tonalit | Bregaglia-Intrusiva: Jorio-Tonalit |
| 15206011 | Bregaglia-Intrusiva: Val-Masino-Granodiorit | Bregaglia-Intrusiva: Val-Masino-Granodiorit |
| 15206012 | Bregaglia-Intrusiva: Alpe-Cameraccio-Granodiorit | Bregaglia-Intrusiva: Alpe-Cameraccio-Granodiorit |
| 15206013 | Bregaglia-Intrusiva: Monte-Rosso-Mikrogranit | Bregaglia-Intrusiva: Monte-Rosso-Mikrogranit |
| 15206014 | Bregaglia-Intrusiva: Zocca-Aplit | Bregaglia-Intrusiva: Zocca-Aplit |
| 15206015 | Novate-Intrusiva: San-Fedelino-Granit | Novate-Intrusiva: San-Fedelino-Granit |
| 15206016 | Undifferenzierte Einheit | Undifferenzierte Einheit |
| 15206017 | Undifferenzierte lithologische Einheit: Tektonische Brekzie | Undifferenzierte lithologische Einheit: Tektonische Brekzie |
| 15206018 | Lochsiten-Kalk | Lochsiten-Kalk |
| 15206019 | Salleren-Brekzie | Salleren-Brekzie |
| 15206020 | Undifferenzierte lithologische Einheit | Undifferenzierte lithologische Einheit |
| 15206021 | Undifferenzierte lithologische Einheit: Gips | Undifferenzierte lithologische Einheit: Gips |
| 15206022 | Undifferenzierte lithologische Einheit: Rauwacke | Undifferenzierte lithologische Einheit: Rauwacke |
| 15206023 | Undifferenzierte lithologische Einheit: Dolomitmarmor | Undifferenzierte lithologische Einheit: Dolomitmarmor |

| GeolCode | Deutsch | Italiano |
|---|---|---|
| 15206024 | Undifferenzierte lithologische Einheit: Ganggestein | Undifferenzierte lithologische Einheit: Ganggestein |
| 15206025 | Undifferenzierte stratigraphische Einheit: Lias | Undifferenzierte stratigraphische Einheit: Lias |
| 15206026 | Undifferenzierte stratigraphische Einheit: Dogger | Undifferenzierte stratigraphische Einheit: Dogger |
| 15206027 | Undifferenzierte stratigraphische Einheit: Malm | Undifferenzierte stratigraphische Einheit: Malm |
| 15206028 | Undifferenzierte stratigraphische Einheit: Kreide | Undifferenzierte stratigraphische Einheit: Kreide |
| 15206029 | Undifferenzierte stratigraphische Einheit: Trias | Undifferenzierte stratigraphische Einheit: Trias |
| 15206030 | Undifferenzierte lithologische Einheit: Sedimentgestein | Undifferenzierte lithologische Einheit: Sedimentgestein |
| 15206031 | Undifferenzierte lithologische Einheit: Kristallingestein | Undifferenzierte lithologische Einheit: Kristallingestein |
| 15206032 | Undifferenzierte lithologische Einheit: Granit | Undifferenzierte lithologische Einheit: Granit |
| 15206033 | Undifferenzierte stratigraphische Einheit | Undifferenzierte stratigraphische Einheit |
| 15206034 | Undifferenzierte stratigraphische Einheit: Mesozoikum | Undifferenzierte stratigraphische Einheit: Mesozoikum |
| 15206035 | Undifferenzierte lithologische Einheit: Rhyolith | Undifferenzierte lithologische Einheit: Rhyolith |
| 15206036 | Undifferenzierte lithologische Einheit: Grüngestein | Undifferenzierte lithologische Einheit: Grüngestein |
| 15206037 | Undifferenzierte lithologische Einheit: Amphibolit | Undifferenzierte lithologische Einheit: Amphibolit |
| 15206038 | Undifferenzierte lithologische Einheit: Quarzgang | Undifferenzierte lithologische Einheit: Quarzgang |
| 15206039 | Undifferenzierte lithologische Einheit: Aplit | Undifferenzierte lithologische Einheit: Aplit |
| 15206040 | Undifferenzierte lithologische Einheit: Pegmatit | Undifferenzierte lithologische Einheit: Pegmatit |
| 15206041 | Undifferenzierte lithologische Einheit: Prasinit | Undifferenzierte lithologische Einheit: Prasinit |
| 15206042 | Undifferenzierte lithologische Einheit: Serpentinit | Undifferenzierte lithologische Einheit: Serpentinit |
| 15206043 | Undifferenzierte lithologische Einheit: Mineralisierter Gang | Undifferenzierte lithologische Einheit: Mineralisierter Gang |
| 15206044 | Undifferenzierte lithologische Einheit: Mikrogranit | Undifferenzierte lithologische Einheit: Mikrogranit |
| 15206045 | Undifferenzierte stratigraphische Einheit: Rhät | Undifferenzierte stratigraphische Einheit: Rhät |
| 15206046 | Undifferenzierte lithologische Einheit: Biogener Kalkstein | Undifferenzierte lithologische Einheit: Biogener Kalkstein |
| 15206047 | Undifferenzierte lithologische Einheit: Rodingit | Undifferenzierte lithologische Einheit: Rodingit |
| 15206048 | Undifferenzierte lithologische Einheit: Saures Ganggestein | Undifferenzierte lithologische Einheit: Saures Ganggestein |
| 15206049 | Undifferenzierte lithologische Einheit: Basisches Ganggestein | Undifferenzierte lithologische Einheit: Basisches Ganggestein |
| 15206050 | Undifferenzierte lithologische Einheit: Eklogit | Undifferenzierte lithologische Einheit: Eklogit |

| GeolCode | Deutsch | Italiano |
|---|---|---|
| 15206051 | Undifferenzierte lithologische Einheit: Mylonit | Undifferenzierte lithologische Einheit: Mylonit |
| 15206052 | Undifferenzierte lithologische Einheit: Kalksilikatfels | Undifferenzierte lithologische Einheit: Kalksilikatfels |
| 15206053 | Undifferenzierte lithologische Einheit: Marmor | Undifferenzierte lithologische Einheit: Marmor |
| 15206054 | Undifferenzierte lithologische Einheit: Sedimentäre Brekzie | Undifferenzierte lithologische Einheit: Sedimentäre Brekzie |
| 15206055 | Undifferenzierte stratigraphische Einheit: Paläozoikum | Undifferenzierte stratigraphische Einheit: Paläozoikum |
| 15206056 | Undifferenzierte stratigraphische Einheit: Känozoikum | Undifferenzierte stratigraphische Einheit: Känozoikum |
| 15206057 | Undifferenzierte lithologische Einheit: Ultramafisches Gestein | Undifferenzierte lithologische Einheit: Ultramafisches Gestein |
| 15206058 | Undifferenzierte lithologische Einheit: Verwitterter Fels | Undifferenzierte lithologische Einheit: Verwitterter Fels |
| 15206059 | Undifferenzierte lithologische Einheit: Ophikalzit | Undifferenzierte lithologische Einheit: Ophikalzit |
| 15206060 | Undifferenzierte lithologische Einheit: Talkschiefer | Undifferenzierte lithologische Einheit: Talkschiefer |
| 15206061 | Undifferenzierte lithologische Einheit: Mirkodiorit | Undifferenzierte lithologische Einheit: Mirkodiorit |
| 15206062 | Undifferenzierte lithologische Einheit: Quarzit | Undifferenzierte lithologische Einheit: Quarzit |
| 15206063 | Undifferenzierte lithologische Einheit: Fuchsit-Zoisitschiefer | Undifferenzierte lithologische Einheit: Fuchsit-Zoisitschiefer |
| 15206064 | Undifferenzierte lithologische Einheit: Konglomerat | Undifferenzierte lithologische Einheit: Konglomerat |
| 15206065 | Undifferenzierte lithologische Einheit: Glaukophanschiefer | Undifferenzierte lithologische Einheit: Glaukophanschiefer |
| 15206066 | Bündnerschiefer | Bündnerschiefer |
| 15206067 | Undifferenzierte lithologische Einheit: Augengneis | Undifferenzierte lithologische Einheit: Augengneis |
| 15206068 | Undifferenzierte lithologische Einheit: Granat-Glimmerschiefer | Undifferenzierte lithologische Einheit: Granat-Glimmerschiefer |
| 15206069 | Undifferenzierte lithologische Einheit: Albit-Muskowitschiefer | Undifferenzierte lithologische Einheit: Albit-Muskowitschiefer |
| 15206070 | Undifferenzierte lithologische Einheit: Gneis | Undifferenzierte lithologische Einheit: Gneis |
| 15206071 | Undifferenzierte lithologische Einheit: Graphitschiefer | Undifferenzierte lithologische Einheit: Graphitschiefer |
| 15206072 | Undifferenzierte lithologische Einheit: Glimmerschiefer | Undifferenzierte lithologische Einheit: Glimmerschiefer |
| 15206073 | Undifferenzierte lithologische Einheit: Garbenschiefer | Undifferenzierte lithologische Einheit: Garbenschiefer |
| 15206074 | Undifferenzierte lithologische Einheit: Diorit | Undifferenzierte lithologische Einheit: Diorit |
| 15206075 | Undifferenzierte lithologische Einheit: Gabbro | Undifferenzierte lithologische Einheit: Gabbro |
| 15206076 | Undifferenzierte lithologische Einheit: Orthogneis | Undifferenzierte lithologische Einheit: Orthogneis |
| 15206077 | Undifferenzierte lithologische Einheit: Paragneis | Undifferenzierte lithologische Einheit: Paragneis |

| GeolCode | Deutsch | Italiano |
|---|---|---|
| 15206078 | Undifferenzierte lithologische Einheit: Vulkanisches Gestein | Undifferenzierte lithologische Einheit: Vulkanisches Gestein |
| 15206079 | Undifferenzierte lithologische Einheit: Basalt | Undifferenzierte lithologische Einheit: Basalt |
| 15206080 | Undifferenzierte stratigraphische Einheit: Karbon | Undifferenzierte stratigraphische Einheit: Karbon |
| 15206081 | Undifferenzierte lithologische Einheit: Chloritschiefer | Undifferenzierte lithologische Einheit: Chloritschiefer |
| 15206082 | Undifferenzierte lithologische Einheit: Phyllit | Undifferenzierte lithologische Einheit: Phyllit |
| 15206083 | Undifferenzierte lithologische Einheit: Quarzphyllit | Undifferenzierte lithologische Einheit: Quarzphyllit |
| 15206084 | Bündnerschiefer: Kalkschiefer | Bündnerschiefer: Kalkschiefer |
| 15206085 | Bündnerschiefer: Tonschiefer | Bündnerschiefer: Tonschiefer |
| 15206086 | Undifferenzierte lithologische Einheit: Migmatit | Undifferenzierte lithologische Einheit: Migmatit |
| 15206087 | Undifferenzierte lithologische Einheit: Tonalit | Undifferenzierte lithologische Einheit: Tonalit |
| 15206088 | Undifferenzierte lithologische Einheit: Syenit | Undifferenzierte lithologische Einheit: Syenit |
| 15206089 | Undifferenzierte lithologische Einheit: Tektonit | Undifferenzierte lithologische Einheit: Tektonit |
| 15206090 | Undifferenzierte lithologische Einheit: Hornfels | Undifferenzierte lithologische Einheit: Hornfels |
| 15206091 | Undifferenzierte lithologische Einheit: Hornblendegneis | Undifferenzierte lithologische Einheit: Hornblendegneis |
| 15206092 | Undifferenzierte lithologische Einheit: Biotit-Plagioklasgneis | Undifferenzierte lithologische Einheit: Biotit-Plagioklasgneis |
| 15206093 | Undifferenzierte lithologische Einheit: Bändergneis | Undifferenzierte lithologische Einheit: Bändergneis |
| 15206094 | Undifferenzierte lithologische Einheit: Zweiglimmergneis | Undifferenzierte lithologische Einheit: Zweiglimmergneis |
| 15206095 | Undifferenzierte lithologische Einheit: Phyllitgneis | Undifferenzierte lithologische Einheit: Phyllitgneis |
| 15206096 | Undifferenzierte lithologische Einheit: Peridotit | Undifferenzierte lithologische Einheit: Peridotit |
| 15206097 | Undifferenzierte lithologische Einheit: Bänder- und Schollenamphibolit | Undifferenzierte lithologische Einheit: Bänder- und Schollenamphibolit |
| 15206098 | Undifferenzierte lithologische Einheit: Granatamphibolit | Undifferenzierte lithologische Einheit: Granatamphibolit |
| 15206099 | Undifferenzierte lithologische Einheit: Diabasgang | Undifferenzierte lithologische Einheit: Diabasgang |
| 15206100 | Undifferenzierte stratigraphische Einheit: Perm | Undifferenzierte stratigraphische Einheit: Perm |
| 15206101 | Undifferenzierte lithologische Einheit: Kalkmarmor | Undifferenzierte lithologische Einheit: Kalkmarmor |
| 15206103 | Undifferenzierte stratigraphische Einheit: Permo-Karbon | Undifferenzierte stratigraphische Einheit: Permo-Karbon |
| 15206104 | Undifferenzierte lithologische Einheit: Kalkschiefer | Undifferenzierte lithologische Einheit: Kalkschiefer |
| 15206105 | Undifferenzierte lithologische Einheit: Sandstein | Undifferenzierte lithologische Einheit: Sandstein |
| 15206106 | Undifferenzierte lithologische Einheit: Tonschiefer | Undifferenzierte lithologische Einheit: Tonschiefer |

| GeolCode | Deutsch | Italiano |
|---|---|---|
| 15206107 | Undifferenzierte lithologische Einheit: Radiolarit | Undifferenzierte lithologische Einheit: Radiolarit |
| 15206108 | Undifferenzierte lithologische Einheit: Kalkstein | Undifferenzierte lithologische Einheit: Kalkstein |
| 15206109 | Undifferenzierte lithologische Einheit: Konglomeratgneis | Undifferenzierte lithologische Einheit: Konglomeratgneis |
| 15206110 | Undifferenzierte stratigraphische Einheit: Prävariszisches polyzyklisches Grundgebirge | Undifferenzierte stratigraphische Einheit: Prävariszisches polyzyklisches Grundgebirge |
| 15206111 | Undifferenzierte lithologische Einheit: Schiefer | Undifferenzierte lithologische Einheit: Schiefer |
| 15206112 | Undifferenzierte lithologische Einheit: Aplitgneis | Undifferenzierte lithologische Einheit: Aplitgneis |
| 15206113 | Undifferenzierte lithologische Einheit: Süsswasserkalk | Undifferenzierte lithologische Einheit: Süsswasserkalk |
| 15206114 | Undifferenzierte stratigraphische Einheit: Tektonisches Melange | Undifferenzierte stratigraphische Einheit: Tektonisches Melange |
| 15206115 | Undifferenzierte stratigraphische Einheit: Flysch | Undifferenzierte stratigraphische Einheit: Flysch |
| 15206116 | Undifferenzierte lithologische Einheit: Aptychenkalk | Undifferenzierte lithologische Einheit: Aptychenkalk |
| 15206117 | Undifferenzierte lithologische Einheit: Quarzsandstein | Undifferenzierte lithologische Einheit: Quarzsandstein |
| 15206118 | Undifferenzierte lithologische Einheit: Mergelstein | Undifferenzierte lithologische Einheit: Mergelstein |
| 15206119 | Undifferenzierte lithologische Einheit: Basisches Gestein | Undifferenzierte lithologische Einheit: Basisches Gestein |
| 15206120 | Bregaglia-Intrusiva: Saures Ganggestein | Bregaglia-Intrusiva: Saures Ganggestein |
| 15206121 | Bregaglia-Intrusiva: «Minestronit» | Bregaglia-Intrusiva: «Minestronit» |
| 15206122 | Bregaglia-Intrusiva: Basisches Ganggestein | Bregaglia-Intrusiva: Basisches Ganggestein |
| 15206123 | Bregaglia-Intrusiva: Granodioritische Fazies: feinkörnig | Bregaglia-Intrusiva: Granodioritische Fazies: feinkörnig |
| 15206124 | Bregaglia-Intrusiva: Granodioritische Fazies: mit Xenolithen | Bregaglia-Intrusiva: Granodioritische Fazies: mit Xenolithen |
| 15206125 | Undifferenzierte stratigraphische Einheit: Trias: Gips | Undifferenzierte stratigraphische Einheit: Trias: Gips |
| 15206126 | Undifferenzierte stratigraphische Einheit: Trias: Rauwacke | Undifferenzierte stratigraphische Einheit: Trias: Rauwacke |

## 9.3 Appendice GC_CORRELATION_CD

Korrelation

| GeolCode | Deutsch | Italiano |
|---|---|---|
| 15281001 | Post-Messinien | Post-Messiniano |
| 15283001 | Alpines Magmatismus | Magmatismo alpino |
| 15283100 | Alpiner orogenetischer Zyklus | Ciclo orogenetico alpino |
| 15283200 | Alpines Metamorphismus | Metamorfismo alpino |
| 15285001 | Sedimentbedeckung | Copertura sedimentaria |
| 15287001 | Präalpines Grundgebirge | Basamento ante-alpino |
| 15283002 | Alpines Vulkanismus | Vulcanismo alpino |

| GeolCode | Deutsch | Italiano |
|---|---|---|
| 15283005 | Alpine Intrusion | Intrusione alpina |
| 15283003 | Hegau-Vulkanismus | Vulcanismo dell'Hegau |
| 15283004 | Periadriatisches Vulkanismus | Vulcanismo periadriatico |
| 15283006 | Novate-Intrusion | Intrusione di Novate |
| 15283007 | Bregaglia-Intrusion | Intrusione della Bregaglia |
| 15283008 | Adamello-Intrusion | Intrusione dell'Adamello |
| 15285002 | Post-Kollision | Post-collisione |
| 15285023 | Syn-Kollision | Sin-collisione |
| 15285026 | Prä-Kollision | Pre-collisione |
| 15285029 | Post-Rift | Port-rift |
| 15285040 | Syn-Rift | Sin-Rift |
| 15285045 | Prä-Rift | Pre-Rift |
| 15285003 | Lombardischer Gompholit | Gonfolite Lombarda |
| 15285004 | Molasse | Molassa |
| 15285022 | Post-Kollision in pelagischer Fazies | Post-collisione in facies pelagica |
| 15285005 | Obere Süsswassermolasse (OSM) | Upper Freshwater Molasse (OSM) |
| 15285009 | USM-III bis OSM-I | USM-III a OSM-I |
| 15285010 | Obere Meeresmolasse (OMM) | Upper Marine Molasse (OMM) |
| 15285013 | Untere Süsswassermolasse (USM) | Lower Freshwater Molasse (USM) |
| 15285018 | Untere Meeresmolasse (UMM) | Lower Marine Molasse (UMM) |
| 15285006 | OSM-II | OSM-II |
| 15285007 | Appenzellergranit-Leitniveau | Livello guida dell'Appenzellergranit |
| 15285008 | OSM-I | OSM-I |
| 15285011 | OMM-II | OMM-II |
| 15285012 | OMM-I | OMM-I |
| 15285014 | USM-III | USM-III |
| 15285015 | USM-II | USM-II |
| 15285016 | USM-I | USM-I |
| 15285017 | Basisbildungen der USM | Livelli basali dell'USM |
| 15285019 | UMM-III | UMM-III |
| 15285020 | UMM-II | UMM-II |
| 15285021 | UMM-I | UMM-I |
| 15285024 | Mélange | Mélange |
| 15285025 | Flysch | Flysch |
| 15285027 | «Nummulitikum» | «Nummulitico» |
| 15285028 | Siderolithikum | Siderolitico |
| 15285030 | Post-Rift Mesozoikum in pelagischer Fazies | Mesozoico post-rift in facies pelagico |
| 15285035 | Post-Rift Mesozoikum in detritischer Fazies | Mesozoico post-rift in facies detritico |
| 15285037 | Post-Rift Mesozoikum in Plattform-Fazies | Mesozoico post-rift in facies di piattaforma |
| 15285031 | Couches Rouges | Couches Rouges |
| 15285032 | Scaglia | Scaglia |
| 15285033 | Maiolica / Aptychenkalk | Maiolica / Calcare ad Aptici |
| 15285034 | Radiolarit | Radiolarite |
| 15285036 | «Gault» | «Gault» |
| 15285038 | «Urgonien» | «Urgoniano» |
| 15285039 | Malm | Malm |
| 15285041 | Tethys Ophiolithische Abfolge | Sequenza ofiolitica tetida |
| 15285042 | Lias-Dogger in pelagischer Fazies | Lias-Dogger in facies pelagico |
| 15285043 | Lias-Dogger in neritischer Fazies | Lias-Dogger in facies neritico |
| 15285044 | Lias-Dogger in detritischer Fazies | Lias-Dogger in facies detritico |
| 15285046 | Pelitische Trias | Triassico pelitico |

| GeolCode | Deutsch | Italiano |
|---|---|---|
| 15285049 | Karbonatische Trias | Triassico carbonato |
| 15285053 | Detritische (Permo-)Trias | (Permo-)Triassico detritico |
| 15285047 | «Rhät» | «Retico» |
| 15285048 | Keuper | Keuper |
| 15285050 | Muschelkalk | Muschelkalk |
| 15285051 | Hauptdolomit | Dolomia Principale |
| 15285052 | Raibl | Raibl |
| 15285054 | Buntsandstein | Buntsandstein |
| 15287002 | Variszisches Grundgebirge | Basamento varisco |
| 15287009 | Prävariszisches Grundgebirge | Basamento ante-varisco |
| 15287003 | Spät- bis postvariszisches Grundgebirge | Basamento tardi- a post-varisco |
| 15287006 | Mittelvariszisches Grundgebirge | Basamento medio-varisco |
| 15287007 | Prä- bis frühvariszisches Grundgebirge | Basamento pre- a eovarisco |
| 15287004 | Postvariszisches Grundgebirge | Basamento post-varisco |
| 15287005 | Spätvariszisches Grundgebirge | Basamento tardi-varisco |
| 15287008 | Frühvariszisches Grundgebirge | Basamento eovarisco |

## 9.4 Appendice GC_LITSTRAT_FORMATION_BANK_CD

blabla

| GeolCode | Deutsch | Italiano |
|---|---|---|
| 15201716 | Ennerberg-Schotter | Ghiaia di Ennerberg |
| 15251001 | Rossemaison-Formation | Formazione di Rossemaison |
| 15251003 | Erzmatt-Krustenkalk | Calcrete della Erzmatt |
| 15251004 | Oberdorf-Süsswasserkalk | Calcare d'acqua dolce di Oberdorf |
| 15251005 | Diegten-Süsswasserkalk | Calcare d'acqua dolce di Diegten |
| 15251006 | La-Charrue-Süsswasserkalk | Calcare d'acqua dolce della Charrue |
| 15251007 | Champ-Vuillerat-Süsswasserkalk | Calcare d'acqua dolce di Champ-Vuillerat |
| 15251008 | La-Verrerie-Süsswasserkalk | Calcare d'acqua dolce della Verrerie |
| 15251009 | «Daubrée-Konglomerat» | «Conglomerato di Daubrée» |
| 15251010 | Narlay-Formation | Formazione di Narlay |
| 15251011 | Perte-du-Rhône-Formation | Formazione della Perte-du-Rhône |
| 15251023 | Rocher-des-Hirondelles-Formation | Formazione del Rocher des Hirondelles |
| 15251029 | Gorges-de-l'Orbe-Formation | Formazione delle Gorges de l'Orbe |
| 15251036 | Grand-Essert-Formation | Formazione del Grand Essert |
| 15251045 | Vuache-Formation | Formazione del Vuache |
| 15251051 | Chambotte-Formation | Formazione della Chambotte |
| 15251054 | Vions-Formation | Formazione di Vions |
| 15251055 | Pierre-Châtel-Formation | Formazione di Pierre-Châtel |
| 15251058 | Goldberg-Formation | Formazione del Goldberg |
| 15251059 | Twannbach-Formation | Formazione del Twannbach |
| 15251063 | Reuchenette-Formation | Formazione di Reuchenette |
| 15251072 | Etiollets-Formation | Formation dei Etiollets |
| 15251077 | Le-Coin-Formation | Formazione del Coin |
| 15251078 | Hangende-Bankkalke-Formation | Hangende-Bankkalke-Formation |
| 15251079 | Hohentengen-Formation | Formazion di Hohentengen |
| 15251080 | Zementmergel-Formation | Zementmergel-Formation |
| 15251081 | Liegende-Bankkalke-Formation | Liegende-Bankkalke-Formation |
| 15251082 | Obere-Felsenkalke-Formation | Obere-Felsenkalke-Formation |

| GeolCode | Deutsch | Italiano |
|---|---|---|
| 15251083 | Untere-Felsenkalke-Formation | Untere-Felsenkalke-Formation |
| 15251084 | Lacunosamergel-Formation | Lacunosamergel-Formation |
| 15251085 | Weilergraben-Formation | Formazione del Wilergraben |
| 15251087 | Schwarzbach-Formation | Formazione del Schwarzbach |
| 15251088 | Burghorn-Formation | Formazion del Burghorn |
| 15251091 | Oberjura-Massenkalk-Formation | Oberjura-Massenkalk-Formation |
| 15251093 | Courgenay-Formation | Formazione di Courgenay |
| 15251096 | Balsthal-Formation | Formazione di Balsthal |
| 15251105 | Wohlgeschichtete-Kalke-Formation | Wohlgeschichtete-Kalke-Formation |
| 15251106 | Villigen-Formation | Formazione di Villigen |
| 15251116 | Vellerat-Formation | Formazione di Vellerat |
| 15251124 | Günsberg-Formation | Formazione di Günsberg |
| 15251126 | St-Ursanne-Formation | Formazione di St-Ursanne |
| 15251132 | Pichoux-Formation | Formazione del Pichoux |
| 15251133 | Impressamergel-Formation | Impressamergel-Formation |
| 15251134 | Wildegg-Formation | Formazione di Wildegg |
| 15251139 | Bärschwil-Formation | Formazione di Bärschwil |
| 15251143 | Ornatenton-Formation | Ornatenton-Formation |
| 15251147 | Wutach-Formation | Formazione della Wutach |
| 15251148 | Ifenthal-Formation | Formazione di Ifenthal |
| 15251161 | Variansmergel-Formation | Variansmergel-Formation |
| 15251162 | Hauptrogenstein | Hauptrogenstein |
| 15251177 | Klingnau-Formation | Formazione di Klingnau |
| 15251183 | Dentalienton-Formation | Dentalienton-Formation |
| 15251184 | Hamitenton-Formation | Hamitenton-Formation |
| 15251186 | Gosheim-Formation | Formazione di Gosheim |
| 15251189 | «Calcaire à Entroques» | «Calcaire à Entroques» |
| 15251190 | Passwang-Formation | Formazione del Passwang |
| 15251200 | «Couches à Pecten dewalquei» | «Strati a Pecten dewalquei» |
| 15251201 | Brot-Schichten | Strati di Brot |
| 15251202 | Wedelsandstein-Formation | Wedelsandstein-Formation |
| 15251204 | Murchisonaeoolith-Formation | Murchisonaeoolith-Formation |
| 15251205 | Achdorf-Formation | Formazione di Altdorf |
| 15251206 | Opalinus-Ton | Argilla a Opalinus |
| 15251207 | Staffelegg-Formation | Formazione della Staffelegg |
| 15251228 | Jurensismergel-Formation | Jurensismergel-Formation |
| 15251229 | Posidonienschiefer-Formation | Posidonienschiefer-Formation |
| 15251230 | Amaltheenton-Formation | Amaltheenton-Formation |
| 15251231 | Numismalismergel-Formation | Numismalismergel-Formation |
| 15251232 | Obtususton-Formation | Obtususton-Formation |
| 15251233 | Arietenkalk-Formation | Arietenkalk-Formation |
| 15251234 | Angulatenton-Formation | Angulatenton-Formation |
| 15251235 | Psilonotenton-Formation | Psilonotenton-Formation |
| 15251236 | Klettgau-Formation | Formazione del Klettgau |
| 15251243 | Bänkerjoch-Formation | Formazione del Bänkerjoch |
| 15251244 | Schinznach-Formation | Formazione di Schinznach |
| 15251257 | Zeglingen-Formation | Formazione di Zeglingen |
| 15251262 | Kaiseraugst-Formation | Formazione di Kaiseraugst |
| 15251267 | Dinkelberg-Formation | Formazione del Dinkelberg |
| 15251274 | Wiesental-Formation | Formazione del Wiesental |
| 15251275 | Weitenau-Formation | Formazione di Weitenau |
| 15251279 | Weiach-Formation | Formazione di Weiach |
| 15251284 | Schwaningen-Merenbach-Rhyolith | Riolite di Schwaningen-Merenbach |
| 15251285 | Schwaningen-Weizen-Granit | Granito di Schwaningen-Weizen |

| GeolCode | Deutsch | Italiano |
|---|---|---|
| 15251286 | Etzgen-Granit | Granito di Etzgen |
| 15251287 | Stockberg-Rhyolith | Riolite del Stockberg |
| 15251288 | Schafisheim-Syenit | Sienite di Schafisheim |
| 15251289 | Pfaffnau-Granit | Granito di Pfaffnau |
| 15251290 | Bärhalde-Granit | Granito della Bärhalde |
| 15251291 | Schluchsee-Granit | Granito del Schluchsee |
| 15251292 | Säckingen-Granit | Granito di Säckingen |
| 15251293 | Zurzach-Granit | Granito di Zurzach |
| 15251294 | Siblingen-Granit | Granito di Siblingen |
| 15251295 | Albtal-Granit | Granito dell'Albtal |
| 15251296 | Malsburg-Granit | Granito di Malsburg |
| 15251297 | Blauen-Granit | Granito del Blauen |
| 15251298 | Klemmbach-Granit | Granito del Klemmbach |
| 15251299 | Schlächtenhaus-Granit | Granito di Schlächtenhaus |
| 15251300 | «Randgranit» | «Randgranit» |
| 15251301 | Münsterhalden-Granit | Granito della Münsterhalden |
| 15251302 | Schönau-Herrenschwand-Granit | Granito di Schönau-Herrenschwand |
| 15251303 | St.-Blasien-Granit | Granito di St-Blasien |
| 15251304 | Mambach-Granit | Granito di Mambach |
| 15251305 | Lenzkirch-Steina-Granit | Granito di Lenzkirch-Steina |
| 15251306 | Lindau-Granit | Granito di Lindau |
| 15251307 | Kreuzlingen-Granit | Granito di Kreuzlingen |
| 15251308 | Hauenstein-Granit | Granito del Hauenstein |
| 15251309 | Böttstein-Granit | Granito di Böttstein |
| 15251310 | Schlächtenhaus-Schiefer | Scisto di Schlächtenhaus |
| 15251311 | Gersbach-Schiefer | Scisto di Gersbach |
| 15251312 | Herdern-Streifengneis | Herdern-Streifengneis |
| 15251313 | Todtmoos-Horbach-Gneiskomplex | Complesso gneissico di Todtmoos-Horbach |
| 15251314 | Steinatal-Gneiskomplex | Complesso gneissico del Steinatal |
| 15251315 | Murgtal-Gneiskomplex | Complesso gneissico del Murgtal |
| 15251316 | Laufenburg-Gneiskomplex | Complesso gneissico di Laufenburg |
| 15251317 | Wiesen-Wehratal-Gneiskomplex | Complesso gneissico del Wiesental-Wehratal |
| 15252001 | Bois-de-Raube-Formation | Formazione del Bois de Raube |
| 15252005 | Kalter-Wangen-Formation | Formazione del Kalter Wangen |
| 15252007 | Humlikon-Bentonit | Bentonite di Humlikon |
| 15252008 | Aargauer Juranagelfluh | Gonfolite di Argovia |
| 15252009 | Basler Juranagelfluh | Gonfolite del Giura basileo |
| 15252010 | Laufen-Juranagelfluh | Gonfolite del bacino di Laufen |
| 15252011 | Vermes-Süsswasserkalk | Calca di acqua dolce di Vermes |
| 15252012 | Golat-Süsswasserkalk | Calca di acqua dolce del Golat |
| 15252013 | Le-Locle-Formation | Formazione del Locle |
| 15252017 | «Heliciden-Mergel» (OSM-J) | «Marna a Helicidea» (OSM-J) |
| 15252018 | Les-Bayards-Juranagelfluh | Gonfolite dei Bayards |
| 15252019 | Mittlere Juranagelfluh | «Mittlere Juranagelfluh» |
| 15252020 | Albstein | Albstein |
| 15252021 | Napf-Formation | Formazione del Napf |
| 15252025 | Gitzitobel-Süsswasserkalk | Calcare d'acqua dolce del Gitzitobel |
| 15252026 | Wissenbach-Süsswasserkalk | Calcare d'acqua dolce del Wissenbach |
| 15252027 | Altbach-Süsswasserkalk | Calcare d'acqua dolce dell'Altbach |
| 15252028 | Tröleten-Süsswasserkalk | Calcare d'acqua dolce di Tröleten |
| 15252029 | Tschöplihof-Süsswasserkalk | Calcare d'acqua dolce del Tschöplihof |
| 15252030 | Öhningen-Formation | Formazione di Öhningen |

| GeolCode | Deutsch | Italiano |
|---|---|---|
| 15252034 | Hörnli-Formation | Formazione del Hörnli |
| 15252041 | Uetliberg-Formation | Formazione dell'Uetliberg |
| 15252045 | Pfannenstiel-Formation | Formazione del Pfannenstiel |
| 15252047 | Zürich-Formation | Formazione di Zürich |
| 15252055 | Meilen-Formation | Formazione di Meilen |
| 15252059 | «Appenzellergranit-Leitniveau» | «Appenzellergranit-Leitniveau» |
| 15252064 | Haldenhof-Mergel | Marna di Haldenhof |
| 15252065 | Lichtensteig-Formation | Formazione di Lichtensteig |
| 15252066 | Kapfnach-Formation | Formazione di Käpfnach |
| 15252068 | Guggershorn-Formation | Formazione del Guggershorn |
| 15252069 | Kirchberg-Formation | Formazione di Kirchberg |
| 15252070 | Grimmelfingen-Formation | Formazione di Grimmelfingen |
| 15252071 | Pfänder-Formation | Formazione del Pfänder |
| 15252074 | Schüpferegg-Nagelfluh | Conglomerato della Schüpferegg |
| 15252078 | Kalchstätten-Formation | Formazione di Kalchstätten |
| 15252080 | Crêt-du-Locle-Formation | Formazione del Crêt-du-Locle |
| 15252081 | Baltersweil-Nagelfluh | Conglomerato di Baltersweil |
| 15252082 | St.-Gallen-Formation | Formazione di San Gallo |
| 15252089 | Niedermatt-Formation | Formazione di Niedermatt |
| 15252090 | Belpberg-Formation | Formazione del Belpberg |
| 15252095 | Jensberg-Formation | Formazione del Jensberg |
| 15252097 | Netzbachtal-Nagelfluh | Conglomerato del Netzbachtal |
| 15252098 | Randen-Grobkalk | Calcare del Randen |
| 15252099 | Tenniken-Muschelagglomerat | Agglomerato a conchiglia di Tenniken |
| 15252100 | Péry-Sandstein | Arenaria di Péry |
| 15252101 | Luzern-Formation | Formazione di Lucerna |
| 15252103 | Sense-Formation | Formazione della Sense |
| 15252107 | Chnebelburg-Formation | Formazione della Chnebelburg |
| 15252110 | «Formation der Granitischen Molasse» | «Formation der Granitischen Molasse» |
| 15252112 | «Molasse Grise de Lausanne» | «Molasse Grise de Lausanne» |
| 15252115 | Gümmenen-Formation | Formazione di Gümmenen |
| 15252116 | «Obere Bunte Molasse» (USM-II) | «Obere Bunte Molasse» (USM II) |
| 15252117 | «Grès et Marnes Gris à Gypse» | «Grès et Marnes Gris à Gypse» |
| 15252119 | «Untere Bunte Molasse» (USM-I) | «Untere Bunte Molasse» (USM I) |
| 15252121 | «Molasse Rouge de Monthey» | «Molasse Rouge de Monthey» |
| 15252122 | «Molasse Rouge des Jurasüdfusses» | «Molasse Rouge du Pied-du-Jura» |
| 15252126 | La-Chaux-Süsswasserkalk | Calcare d'acqua dolce della Chaux |
| 15252127 | «Ältere Juranagelfluh» | «Ältere Juranagelfluh» |
| 15252128 | Tüllingen-Süsswasserkalk | Calcare d'acqua dolce di Tüllingen |
| 15252129 | «Elsässer-Molasse» | «Molasse Alsacienne» |
| 15252134 | Trois-Rods-Süsswasserkalk | Calcare d'acqua dolce di Trois Rods |
| 15252135 | Orbe-Süsswasserkalk | Calcare d'acqua dolce di Orbe |
| 15252136 | Grilly-Süsswasserkalk | Calcare d'acqua dolce di Grilly |
| 15252137 | Porrentruy-Konglomerat | Conglomerato di Porrentruy |
| 15252138 | Mornex-Nagelfluh | Conglomerato di Mornex |
| 15252139 | «Cyathulabank» (UMM-J) | «Strato a Cyathula» (UMM-J) |
| 15252140 | «Cyrenenmergel» (UMM-J) | «Cyrenenmergel» (UMM-J) |
| 15252141 | «Septarienton» (UMM-J) | «Septarienton» (UMM-J) |
| 15252142 | «Fischschiefer» (UMM-J) | «Fischschiefer» (UMM-J) |
| 15252143 | «Foraminiferenmergel» (UMM-J) | «Foraminiferenmergel» (UMM-J) |
| 15252144 | «Meeressand» (UMM-J) | «Meeressand» (UMM-J) |
| 15252145 | Ajoie-Gompholit | Gonfolite di Ajoie |
| 15252146 | Oltingue-Kalkarenit | Calcarenite di Oltingue |
| 15252147 | Bonneville-Sandstein | Arenaria di Bonneville |

| GeolCode | Deutsch | Italiano |
|---|---|---|
| 15252148 | Montauban-Mergel | Marna di Montauban |
| 15252149 | Cucloz-Formation | Formazione di Cucloz |
| 15252153 | Goldegg-Sandstein | Arenaria della Goldegg |
| 15252154 | Jordisboden-Mergel | Marna del Jordisboden |
| 15252155 | Vaulruz-Formation | Formazione di Vaulruz |
| 15252156 | «Molasse Rouge de Vevey» | «Molasse Rouge de Vevey» |
| 15252157 | Mont-Pèlerin-Nagelfluh | Conglomerato del Mont Pèlerin |
| 15252158 | Cornalle-Sandstein | Arenaria della Cornalle |
| 15252159 | «Molasse à Charbon» | «Molasse à Charbon» |
| 15252160 | Gérignoz-Formation | Formazione del Gérignoz |
| 15252161 | Studweid-Formation | Formazione di Studweid |
| 15252162 | Heuboden-Äschitannen-Nagelfluh | Conglomerato di Heuboden-Äschitannen |
| 15252163 | Horw-Sandstein | Arenaria di Horw |
| 15252164 | Grisigen-Mergel | Marna di Grisigen |
| 15252165 | Hilfern-Formation | Formazione della Hilfern |
| 15252168 | Gitzschöpf-Nagelfluh | Conglomerato della Gitzischöpf |
| 15252169 | Honegg-Mergel | Marna della Honegg |
| 15252170 | Kaltbach-Nagelfluh | Conglomerato del Kaltbach |
| 15252171 | Thun-Formation | Formazione di Thun |
| 15252174 | Losenegg-Formation | Formazione della Losenegg |
| 15252175 | Homberg-Formation | Formazione di Homberg |
| 15252177 | Uerscheli-Formation | Formazione di Uerscheli |
| 15252179 | Beichlen-Formation | Formazione della Beichlen |
| 15252180 | Lienegg-Formation | Formazione della Lienegg |
| 15252181 | Öligraben-Formation | Formazione dell'Öligraben |
| 15252182 | Hornbüel-Melange | Mélange del Hornbüel |
| 15252184 | Rigi-Formation | Formazione del Rigi |
| 15252189 | Weggis-Formation | Formazione di Weggis |
| 15252191 | Grindelegg-Formation | Formazione della Grindelegg |
| 15252192 | Höhronen-Nagelfluh | Conglomerato del Höhronen |
| 15252193 | Speer-Formation | Formazione del Speer |
| 15252198 | Rietbad-Formation | Formazione di Rietbad |
| 15252199 | Kronberg-Nagelfluh | Conglomerato del Kronberg |
| 15252205 | Sommersberg-Nagelfluh | Conglomerato del Sommersberg |
| 15252207 | Gäbris-Nagelfluh | Conglomerato del Gäbris |
| 15253001 | Zettenalp-Trochematt-Melange | Mélange della Zettenalp-Trochematt |
| 15253003 | Serhalten-Flysch | Flysch di Serhalten |
| 15253005 | Matt-Formation | Formazione di Matt |
| 15253009 | Elm-Formation | Formazione di Elm |
| 15253011 | Taveyannaz-Formation | Formazione di Taveyannaz |
| 15253012 | Lavtina-Sandstein | Arenaria di Lavtina |
| 15253013 | Burg-Sandstein | Arenaria diBurg |
| 15253014 | Muot-da-Rubi-Formation | Formazione del Muot da Rubi |
| 15253019 | Südelgrabe-Flysch | Flysch del Südelgrabe |
| 15253020 | Stad-Formation | Formazione di Stad |
| 15253027 | Sanetsch-Formation | Formazione del Sanetsch |
| 15253032 | Niederhorn-Formation | Formazione del Niederhorn |
| 15253038 | Wildstrubel-Formation | Formazione del Wildstrubel |
| 15253042 | Klimsenhorn-Formation | Formazione del Klimsenhorn |
| 15253046 | Bürgen-Formation | Formazione di Bürgen |
| 15253051 | Euthal-Formation | Formazione di Euthal |
| 15253058 | Grindelwald-Marmor | Marmo di Grindelwald |
| 15253059 | Dünden-Konglomerat | Conglomerato della Dünden |

| GeolCode | Deutsch | Italiano |
|---|---|---|
| 15253060 | Rosenlaui-Marmor | Marmo de Rosenlaui |
| 15253061 | Wang-Formation | Formazione di Wang |
| 15253063 | Amden-Mergel | Marna di Amden |
| 15253067 | Seewen-Formation | Formazione di Seewen |
| 15253071 | Garschella-Formation | Formazione di Garschella |
| 15253091 | Schrattenkalk-Formation | Formazione del Schrattenkalk |
| 15253095 | Tierwis-Formation | Formazione di Tierwis |
| 15253100 | Helvetischer Kieselkalk | Helvetischer Kieselkalk |
| 15253107 | Betlis-Formation | Formazione di Betlis |
| 15253113 | Sichel-Kalk | Calcare della Sichel |
| 15253114 | Diphyoides-Kalk | Calcare a Diphyoides |
| 15253115 | Vitznau-Mergel | Marna di Vitznau |
| 15253116 | Öhrli-Formation | Formatione dell'Öhrli |
| 15253120 | Palfris-Formation | Formazione di Palfris |
| 15253121 | Zementstein-Formation | Formazione del Zemenstein |
| 15253124 | Quinten-Formation | Formazione di Quinten |
| 15253130 | Schilt-Formation | Formazione del Schilt |
| 15253134 | Erzegg-Formation | Formazione dell'Erzegg |
| 15253137 | Reischiben-Formation | Formazione della Reischiben |
| 15253142 | Hochstollen-Formation | Formazione del Hochstollen |
| 15253145 | Bommerstein-Formation | Formazione del Bommerstein |
| 15253154 | Dugny-Formation | Formazione di Dugny |
| 15253155 | Brunnistock-Formation | Formazione del Brunnistock |
| 15253156 | Monts-Rosset-Formation | Formazione dei Monts Rosset |
| 15253157 | Sexmor-Formation | Formazione del Sexmor |
| 15253158 | Mont-Joly-Formation | Formazione del Mont Joly |
| 15253159 | Spitzmeilen-Formation | Formazione del Spitzmeilen |
| 15253161 | Tierces-Formation | Formazione delle Tierces |
| 15253162 | Prodkamm-Formation | Formazione del Prodkamm |
| 15253166 | «Infralias-Sandstein» | «Arenaria Infraliasica» |
| 15253167 | Besoëns-Formation | Formazione dei Besoëns |
| 15253168 | Quarten-Formation | Formazione di Quarten |
| 15253169 | Arandellys-Formation | Formazione dei Arandellys |
| 15253171 | Röti-Formation | Formazione della Röti |
| 15253172 | Vieux-Emosson-Formation | Formazione del Vieux Emosson |
| 15253174 | Mels-Formation | Formazione di Mels |
| 15253175 | «Subalpiner Flysch» | «Flysch Subalpino» |
| 15253176 | Vernayaz-Formation | Formazione di Vernayaz |
| 15253183 | Morcles-Mikrogranit | Microgranito di Morcles |
| 15253184 | Vallorcine-Granit | Granito di Vallorcine |
| 15253186 | Montées-Pélissiers-Granit | Granito delle Montées Pélissiers |
| 15253187 | Pormenaz-Granit | Granito di Pormenaz |
| 15253188 | Luisin-Orthogneis | Ortogneiss del Luisin |
| 15253189 | Perrons-Orthogneis | Ortogneiss dei Perrons |
| 15253190 | Emosson-Gneiskomplex | Complesso gneissico di Emosson |
| 15253191 | Chéserys-Gneis | Gneiss dei Chéserys |
| 15253192 | Val-Bérard-Gneiskomplex | Complesso gneissico del Val Bérard |
| 15253193 | Lac-Cornu-Eklogit | Eclogite del Lac Cornu |
| 15253194 | Fully-Granodiorit | Granodiorite di Fully |
| 15253195 | Fully-Gneiskomplex | Complesso gneissico di Fully |
| 15253196 | Breya-Rhyolith | Riolite della Breya |
| 15253197 | Grépillons-Leukogranit | Leucogranito dei Grépillons |
| 15253198 | Arpette-Leukogranit | Leucogranito di Arpette |
| 15253199 | Mont-Blanc-Granit | Granito del Monte Bianco |

| GeolCode | Deutsch | Italiano |
|---|---|---|
| 15253200 | Montenvers-Granit | Granito del Montenvers |
| 15253201 | Lognan-Orthogneis | Ortogneiss di Lognan |
| 15253202 | Pétoudes-Orthogneis | Ortogneiss delle Pétoudes |
| 15253203 | Catogne-Gneiskomplex | Complesso gneissico del Catogne |
| 15253204 | Sandpass-Formation | Formazione del Sandpass |
| 15253205 | Plattenzüg-Formation | Formazione del Plattenzüg |
| 15253206 | Mittagfluh-Granit | Granito della Mittagfluh |
| 15253207 | Hinterbalm-Granit | Granito di Hinterbalm |
| 15253208 | Balmenegg-Granit | Granito della Balmenegg |
| 15253209 | Zentraler Aare-Granit | Granito Centrale dell'Aare |
| 15253212 | Telltistock-Granit | Granito del Telltistock |
| 15253213 | «Südwestlicher Aare-Granit» | «Südwestlicher Aare-Granit» |
| 15253214 | Strem-Granit | Granito di Strem |
| 15253215 | Grimsel-Granodiorit | Granodiorite del Grimsel |
| 15253216 | Rossbodenstock-Diorit | Diorite del Rossbodenstock |
| 15253217 | Wendenjoch-Formation | Formazione del Wendenjoch |
| 15253218 | Goltschenried-Formation | Formazione di Goltschenried |
| 15253219 | Trift-Formation | Formazione del Trift |
| 15253220 | Intschi-Formation | Formazione d'Intschi |
| 15253221 | Windgällen-Formation | Formazione delle Windgällen |
| 15253222 | Bifertengrätli-Formation | Formazione del Bifertengrätli |
| 15253228 | Diechtergletscher-Formation | Formazione del Diechtergletscher |
| 15253231 | Tscharren-Formation | Formazione del Tscharren |
| 15253233 | Voralp-Granit | Granito della Voralp |
| 15253234 | Brunni-Granit | Granito della Brunni |
| 15253235 | Munt-Dado-Granit | Granito del Munt Dado |
| 15253236 | Bugnei-Granodiorit | Granodiorite di Bugnei |
| 15253237 | Düssi-Diorit | Diorite del Düssi |
| 15253238 | Schöllenen-Diorit | Diorite della Schöllenen |
| 15253239 | Rossplatten-Diorit | Diorite di Rossplatten |
| 15253240 | Dammagletscher-Diorit | Diorite del Dammagletscher |
| 15253241 | Bristenstock-Syenit | Sienite del Bristenstock |
| 15253242 | Tödi-Granit | Granito del Tödi |
| 15253243 | Pardatschas-Granit | Granito del Piz Pardatschas |
| 15253244 | Giuv-Syenit | Sienite del Piz Giuv |
| 15253245 | Curtin-Monzodiorit | Monzodiorite del Piz Curtin |
| 15253246 | Val-da-Surplattas-Diorit | Diorite della Val da Surplattas |
| 15253247 | Alp-Crap-Ner-Granit | Granito dell'Alp Crap Ner |
| 15253248 | Russein-Diorit | Diorite della Val Russein |
| 15253249 | Val-Gliems-Formation | Formazione della Val Gliems |
| 15253250 | Bifertenfirn-Formation | Formazione del Bifertenfirn |
| 15253251 | Gastern-Granit | Granito di Gastern |
| 15253252 | Innertkirchen-Migmatit | Migmatite d'Innertkirchen |
| 15253254 | Erstfeld-Gneiskomplex | Complesso gneissico di Erstfeld |
| 15253255 | Guttannen-Gneiskomplex | Complesso gneissico di Guttannen |
| 15253256 | Lötschental-Gneiskomplex | Complesso gneissico del Lötschental |
| 15253257 | Ofenhorn-Stampfhorn-Gneiskomplex | Complesso gneissico del Ofenhorn-Stampfhorn |
| 15253258 | Straligenstöckli-Gneiskomplex | Complesso gneissico del Straligenstöckli |
| 15253259 | Chrüzlistock-Migmatit | Migmatite del Chrüzlistock |
| 15253260 | Piz-Cuolmet-Gneiskomplex | Complesso gneissico del Piz Cuolmet |
| 15253261 | Tamina-Gneiskomplex | Complesso gneissico della Tamina |
| 15253262 | Bäregg-Gneiskomplex | Complesso gneissico della Bäregg |

| GeolCode | Deutsch | Italiano |
|---|---|---|
| 15253263 | Baltschieder-Granodiorit | Granodiorite di Baltschieder |
| 15253264 | Gärsthorn-Gneiskomplex | Complesso gneissico del Gärsthorn |
| 15253268 | Massa-Gneiskomplex | Complesso gneissico della Massa |
| 15253269 | Sogn-Placi-Gneiskomplex | Complesso gneissico di Sogn Placi |
| 15253270 | Pulanera-Gneiskomplex | Complesso gneissico della Val Pulanera |
| 15253271 | Punteglias-Granit | Granito della Val Punteglias |
| 15253275 | Torrenthorn-Formation | Formazione del Torrenthorn |
| 15253278 | Bachalp-Formation | Formazione della Bachalp |
| 15253279 | Mättental-Melange | Mélange del Mättental |
| 15253280 | Schabell-Melange | Mélange del Schabell |
| 15253281 | Blattengrat-Sandstein | Arenaria del Blattengrat |
| 15253282 | Martinsmad-Formation | Formazione del Martinsmad |
| 15253287 | Pfäfers-Formation | Formazione di Pfäfers |
| 15253288 | Kapfen-Formation | Formazione di Kapfen |
| 15253289 | Schönbühl-Formation | Formazione di Schönbühl |
| 15253290 | Kärpf-Formation | Formazione del Kärpf |
| 15253292 | Fulen-Formation | Formazione del Fulen |
| 15253293 | Karrenstock-Formation | Formazione del Karrenstock |
| 15253296 | Murgtal-Formation | Formazione del Murgtal |
| 15253301 | Mären-Formation | Formazione della Märenegg |
| 15253307 | Üblital-Formation | Formazione del Üblital |
| 15253308 | Val-Pigniu-Gneiskomplex | Complesso gneissico della Val Pigniu |
| 15253309 | Calmut-Gneiskomplex | Complesso gneissico del Calmut |
| 15253310 | Rueras-Gneiskomplex | Complesso gneissico di Rueras |
| 15253311 | Meierhof-Phyllit | Fillite di Meierhof |
| 15253312 | Waltensburg-Verrucano | Verrucano di Waltensburg |
| 15253313 | Ruinas-Sandstein | Arenaria di Ruinas |
| 15253314 | Corno-Gneis | Gneiss del Corno |
| 15253315 | Winterhorn-Granit | Granito del Winterhorn |
| 15253316 | Cacciola-Granit | Granito della Cacciola |
| 15253317 | Rotondo-Granit | Granito del Rotondo |
| 15253318 | Prosa-Granit | Granito del Monte Prosa |
| 15253319 | Val-Tremola-Granit | Granito della Val Tremola |
| 15253320 | Sädelhorn-Diorit | Diorite del Sädelhorn |
| 15253321 | Gamsboden-Granit | Granito del Gamsboden |
| 15253322 | Fibbia-Granit | Granito della Fibbia |
| 15253323 | Medel-Granit | Granito di Medel |
| 15253324 | Cristallina-Granodiorit | Granodiorite di Cristallina |
| 15253325 | Uffiern-Diorit | Diorite della Val Uffiern |
| 15253326 | Alp-Cavradi-Gneiskomplex | Complesso gneissico dell'Alp Cavradi |
| 15253327 | Borel-Gneiskomplex | Complesso gneissico del Piz Borel |
| 15253328 | Tenelin-Gneiskomplex | Complesso gneissico del Piz Tenelin |
| 15253329 | Laiets-Gneiskomplex | Complesso gneissico dei Laiets |
| 15253330 | Giubine-Gneiskomplex | Complesso gneissico di Giubine |
| 15253331 | Tremola-Gneiskomplex | Complesso gneissico della Tremola |
| 15253335 | Prüsfa-Gneiskomplex | Complesso gneissico di Prüsfa |
| 15253336 | Goms-Gneiskomplex | Complesso gneissico di Goms |
| 15253338 | Streifengneis-Komplex | Complesso del Streifengneis |
| 15253342 | Chastelhorn-Metagabbro | Metagabbro del Chastelhorn |
| 15253343 | Val-Nalps-Gneiskomplex | Complesso gneissico della Val Nalps |
| 15253349 | Paradis-Gneiskomplex | Complesso gneissico del Piz Paradis |
| 15253356 | Coroi-Formation | Formazione del Coroi |
| 15253358 | Inferno-Formation | Formazione d'Inferno |

| GeolCode | Deutsch | Italiano |
|---|---|---|
| 15253361 | Stgir-Formation | Formazione del Stgir |
| 15253362 | Habkern-Melange | Mélange di Habkern |
| 15253366 | Sörenberg-Melange | Mélange di Sörenberg |
| 15253367 | Iberg-Melange | Mélange d'Iberg |
| 15253373 | Wildhaus-Melange | Mélange di Wildhaus |
| 15253374 | Plaine-Morte-Melange | Mélange della Plaine Morte |
| 15253375 | Sex-Mort-Flysch | Flysch del Sex Mort |
| 15253376 | Arveyes-Flysch | Flysch di Arveyes |
| 15253377 | Gryonne-Formation | Formazione della Gryonne |
| 15253378 | Meilleret-Formation | Formazione del Meilleret |
| 15253381 | «Infrapräalpines Melange» | «Mélange Infrapréalpin» |
| 15253384 | Covayes-Formation | Formazione delle Covayes |
| 15253385 | Javrex-Formation | Formazione del Javrex |
| 15253386 | Montsalvens-Kalkarenit | Calcarenite di Montsalvens |
| 15253387 | Villarbeney-Formation | Formazione di Villarbeney |
| 15253391 | Jogne-Formation | Formazione della Jogne |
| 15253394 | Bifé-Formation | Formazione di Bifé |
| 15253396 | Pereyres-Formation | Formazione della Pereyre |
| 15253397 | Praz-Couquain-Formation | Formazione di Praz Couquain |
| 15253400 | Lochsiten-Kalk | Calcare di Lochsiten |
| 15253401 | Salleren-Brekzie | Breccia di Salleren |
| 15254001 | Robiei-Wildflysch | Mélange di Robiei |
| 15254005 | Teggiolo-Kalkschiefer | Calcescisti del Teggiolo |
| 15254009 | Vanis-Formation | Formazione dei Vanis |
| 15254010 | Sevinera-Marmor | Marmo di Sevinera |
| 15254011 | Sevinera-Sandstein | Arenaria di Sevinera |
| 15254012 | Ri-d'Antabia-Konglomerat | Conglomerato del Ri d'Antabia |
| 15254013 | Antigorio-Orthogneis | Ortogneiss di Antigorio |
| 15254014 | Alpigia-Gneis | Gneiss di Alpigia |
| 15254015 | Forcoletta-Gneis | Gneiss della Forcoletta |
| 15254016 | Aula-Spruga-Gneiskomplex | Complesso gneissico di Aula-Spruga |
| 15254017 | Mergoscia-Gneis | Gneiss di Mergoscia |
| 15254018 | Lebendun-Komplex | Complesso del Lebendun |
| 15254020 | Holzerspitz-Kalkschiefer | Calcescisti dell'Holzerspitz |
| 15254021 | Lengenbach-Dolomitmarmor | Marmo dolomitico del Lengenbach |
| 15254022 | Ganter-Gneis | Gneiss del Ganter |
| 15254023 | Ritter-Gneis | Gneiss di Ritter |
| 15254024 | Geisspfad-Serpentinit | Serpentinite del Geisspfad |
| 15254025 | Sabbione-Sandstein | Arenaria di Sabbione |
| 15254026 | Valgrande-Paragneis | Paragneiss di Valgrande |
| 15254027 | Bosco-Gneis | Gneiss di Bosco |
| 15254028 | Batnall-Gneis | Gneiss del Batnall |
| 15254029 | Cocco-Gneis | Gneiss del Cocco |
| 15254030 | Ruscada-Gneis | Gneiss di Ruscada |
| 15254031 | Lodano-Gneis | Gneiss di Lodano |
| 15254032 | Vergeletto-Gneis | Gneiss di Vergeletto |
| 15254033 | Cortascia-Gneis | Gneiss di Cortascia |
| 15254034 | Lago-Scuro-Formation | Formazione del Lago Scuro |
| 15254035 | Val-Sabbia-Formation | Formazione della Val Sabbia |
| 15254036 | Massari-Formation | Formazione di Massari |
| 15254037 | Naret-Formation | Formazione del Naret |
| 15254038 | Matorello-Gneis | Gneiss di Matorello |
| 15254039 | Leventina-Gneis | Gneiss della Leventina |
| 15254041 | Verzasca-Gneis | Gneiss della Verzasca |

| GeolCode | Deutsch | Italiano |
|---|---|---|
| 15254042 | Renten-Gneis | Gneiss di Renten |
| 15254043 | Rebi-Gneis | Gneiss di Rebi |
| 15254044 | Brione-Gabbro | Gabbro di Brione |
| 15254045 | Legiuna-Gneis | Gneiss della Legiuna |
| 15254046 | Val-Chironico-Gneis | Gneis della Val Chironico |
| 15254047 | Ganna-Gneis | Gneiss di Ganna |
| 15254048 | Vogorno-Gneis | Gneiss di Vogorno |
| 15254049 | Vacarisc-Gneis | Gneiss di Vacarisc |
| 15254050 | Rognoi-Gneis | Gneiss di Rognoi |
| 15254051 | Zervreila-Orthogneis | Orthogneiss di Zervreila |
| 15254052 | Garenstock-Augengneis | Gneiss occhiadino del Garenstock |
| 15254053 | Salahorn-Formation | Formazione del Salahorn |
| 15254054 | Piz-del-Palo-Gneis | Gneiss del Piz del Palo |
| 15254055 | Gruf-Migmatit | Migmatite del Gruf |
| 15254057 | Valtendra-Melange | Mélange di Valtendra |
| 15254058 | Loderio Ultramafischer Komplex | Complesso ultramafico di Loderio |
| 15254059 | Lucomagno-Paragneis | Paragneiss del Lucomagno |
| 15254060 | Cima-di-Gagnone-Peridotit | Peridotite della Cima di Gagnone |
| 15254061 | Grevasalvas-Granit | Granito del Piz Grevasalvas |
| 15255001 | Garzott-Brekzie | Breccia di Garzott |
| 15255002 | Terri-Schiefer | Scisto del Terri |
| 15255003 | Val-Stgira-Riffmarmor | Marmo del Val Stgira |
| 15255004 | Chesselbach-Formation | Formazione del Chesselbach |
| 15255005 | Seron-Formation | Formazione di Seron |
| 15255006 | Niesenkulm-Formation | Formazione del Niesenkulm |
| 15255007 | Frutigen-Formation | Formazione di Frutigen |
| 15255009 | Sulzgrabe-Formation | Formazione del Sulzgrabe |
| 15255010 | Grande-Eau-Formation | Formazione della Grande Eau |
| 15255017 | Chlussli-Formation | Formazione di Chlussli |
| 15255018 | Murgaz-Kalk | Calcare di Murgaz |
| 15255019 | Formation de Bretaye | Formazione di Bretaye |
| 15255020 | Oudiou-Formation | Formazione di Oudiou |
| 15255021 | Kiental-Melange | Mélange del Kiental |
| 15255022 | Boëge-Mergel | Marna di Boëge |
| 15255023 | Vouan-Konglomerat | Conglomerato del Vouan |
| 15255024 | Voirons-Sandstein | Arenaria dei Voirons |
| 15255025 | «Flysch 5, mit kieseligen Mikrokonglomeraten» | «Flych 5, à microconglomérats siliceux» |
| 15255026 | «Flysch 4 mit siltigen Turbiditen» | «Flysch 4, à turbidites silteuses» |
| 15255027 | «Flysch 3» | «Flysch 3» |
| 15255030 | «Flysch 2» | «Flysch 2» |
| 15255033 | Hellstätt-Formation | Formazione di Hellstätt |
| 15255034 | Schlieren-Sandstein | Arenaria delle Schlieren |
| 15255035 | Schoni-Sandstein | Arenaria della Schoni |
| 15255037 | Guber-Sandstein | Arenaria di Guber |
| 15255039 | Wägital-Flysch | Flysch del Wägital |
| 15255040 | Trepsen-Flysch | Flysch di Trepsen |
| 15255041 | Fanola-Formation | Formazione di Fanola |
| 15255042 | Planknerbrücke-Formation | Formazione del Planknerbrücke |
| 15255043 | Planken-Formation | Formazione di Planken |
| 15255044 | Reiselsberg-Formation | Formazione del Reiselsberg |
| 15255045 | Rombach-Formation | Formazione del Rombach |
| 15255046 | Langenegg-Formation | Formazione della Langenegg |
| 15255047 | Rinderbach-Formation | Formazione del Rinderbach |

| GeolCode | Deutsch | Italiano |
|---|---|---|
| 15255048 | Triesen-Formation | Formazione di Triesen |
| 15255049 | Eichholztobel-Formation | Formazione del Eichholztobel |
| 15255050 | Schloss-Formation | Formazione del Schloss |
| 15255051 | Gaschlo-Formation | Formazione di Gaschlo |
| 15255052 | St-Christophe-Formation | Formazione di St-Christophe |
| 15255053 | Marmontains-Formation | Formazione dei Marmontains |
| 15255054 | Aroley-Formation | Formazione del Aroley |
| 15255055 | Südegg-Komplex | Complesso di Südegg |
| 15255056 | Punta-Rossa-Komplex | Complesso della Punta Rossa |
| 15255057 | Ferret-Schiefer | Scisti di Ferret |
| 15255060 | Pierre-Avoi-Melange | Mélange della Pierre Avoi |
| 15255062 | Versoyen-Schichten | Strati del Versoyen |
| 15255063 | Aul-Marmor | Marmo del Piz Aul |
| 15255064 | Stätzerhorn-Formation | Formazione del Stätzerhorn |
| 15255070 | Carnusa-Formation | Formazione del Carnusa |
| 15255071 | Nolla-Kalkschiefer | Calcescisto della Nolla |
| 15255073 | Nolla-Tonschiefer | Scisto argilloso della Nolla |
| 15255074 | Bärenhorn-Formation | Formazione del Bärenhorn |
| 15255075 | Ruchberg-Formation | Formazione del Ruchberg |
| 15255076 | Oberälpli-Formation | Formazione del Oberälpli |
| 15255077 | Eggberg-Formation | Formazione del Eggberg |
| 15255078 | Gyrenspitz-Formation | Formazione del Gyrenspitz |
| 15255079 | Fadura-Formation | Formazione della Fadura |
| 15255080 | Pfävigrat-Formation | Formazione del Pfävigrat |
| 15255081 | Sassauna-Formation | Formazione della Sassauna |
| 15255082 | Valzeina-Formation | Formazione di Valzeina |
| 15255083 | Klus-Formation | Formazione della Klus |
| 15255084 | Arblatsch-Flysch | Flysch del Arblatsch |
| 15255085 | Spegnas-Formation | Formazione del Piz Spegnas |
| 15255086 | Rudnal-Formation | Formazione di Rudnal |
| 15255087 | Savognin-Formation | Formazione di Savognin |
| 15255088 | Roz-Schiefer | Scisto del Piz Roz |
| 15255089 | Truche-Brekzie | Breccia della Truche |
| 15255090 | Trom-Brekzie | Breccia di Trom |
| 15255091 | Exergillod-Brekzie | Breccia di Exergillod |
| 15255092 | Troublon-Kalk | Calcare del Troublon |
| 15255093 | Zünegg-Knollenkalk | Calcare nodoloso della Zünegg |
| 15255094 | Hauta-Crêtaz-Formation | Formazione di Hauta-Crêtaz |
| 15255095 | Pointe-de-l'Au-Brekzie | Breccia della Pointe de l'Au |
| 15255096 | Bonaveau-Kalk | Calcare di Bonaveau |
| 15255097 | Sex-du-Tronc-Kalk | Calcare del Sex du Tronc |
| 15255098 | Grand-Herba-Kalk | Calcare del Sex de Grand-Herba |
| 15255099 | Coulaytes-Melange | Mélange delle Coulaytes |
| 15255101 | Cuvigne-Derrey-Formation | Formazione di Cuvigne Derrey |
| 15255102 | Chenaux-Rouges-Formation | Formazione delle Chenaux Rouges |
| 15255105 | Forclettes-Formation | Formazione delle Forclettes |
| 15255110 | Rote-Platte-Formation | Formazione di Rote Platte |
| 15255117 | Intyamon-Formation | Formazione del Intyamon |
| 15255121 | Sciernes-d'Albeuve-Formation | Formazione delle Sciernes d'Albeuve |
| 15255123 | Dorfflüe-Formation | Formazione della Dorfflüe |
| 15255129 | Moléson-Formation | Formazione del Moléson |
| 15255131 | Torrent-de-Lessoc-Formation | Formazione del Torrent de Lessoc |
| 15255132 | Dréveneuse-Bauxit | Bauxite di Dréveneuse |
| 15255133 | Mytilus-Schichten | Strati a Mytilus |

| GeolCode | Deutsch | Italiano |
|---|---|---|
| 15255140 | Staldengraben-Formation | Formazione del Staldengraben |
| 15255145 | Sommant-Formation | Formazione di Sommant |
| 15255148 | Haute-Pointe-Formation | Formazione della Haute-Pointe |
| 15255149 | Brasses-Formation | Formazione delle Brasses |
| 15255150 | Rossinière-Formation | Formazione di Rossinière |
| 15255151 | Heiti-Formation | Formazione di Heiti |
| 15255152 | Combe-du-Pissot-Formation | Formazione della Combe du Pissot |
| 15255155 | Petit-Liençon-Formation | Formazione del Petit Liençon |
| 15255156 | Arvel-Formation | Formazione di Arvel |
| 15255157 | Grande-Bonavau-Formation | Formazione della Grande Bonavau |
| 15255158 | Chauderon-Formation | Formazione del Chauderon |
| 15255159 | Vudalla-Formation | Formazione della Vudalla |
| 15255162 | Col-de-Tompey-Formation | Formazione del Col de Tompey |
| 15255163 | Plan-Falcon-Formation | Formazione di Plan Falcon |
| 15255164 | «Dolomies Blondes» | «Dolomies Blondes» |
| 15255165 | Clôt-la-Cime-Formation | Formazione di Clôt-la-Cime |
| 15255166 | Pralet-Formation | Formazione del Pralet |
| 15255170 | Wiriehorn-Formation | Formazione del Wiriehorn |
| 15255173 | St-Triphon-Formation | Formazione di St-Triphon |
| 15255180 | Griggeli-Formation | Formazione del Griggeli |
| 15255183 | Gibel-Formation | Formazione di Gibel |
| 15255188 | Stanserhorn-Formation | Formazione del Stanserhorn |
| 15255192 | Obflue-Formation | Formazione del Obflue |
| 15255193 | Brand-Formation | Formazione di Brand |
| 15255194 | Horngraben-Formation | Formazione del Horngraben |
| 15255195 | Lückengraben-Formation | Formazione del Lückengraben |
| 15255196 | Zwischenmythen-Mergel | Marna di Zwischenmythen |
| 15255197 | Mattes-Melange | Mélange delle Mattes |
| 15255198 | Chumi-Formation | Formazione della Chumi |
| 15255199 | Joux-Verte-Formation | Formazione della Joux Verte |
| 15255200 | Bonave-Formation | Formazione di Bonave |
| 15255201 | «Obere Brekzie» (Brekzien-Decke) | «Brèche Supérieure» (Falda della Breccia) |
| 15255202 | «Obere Schiefer» (Brekzien-Decke) | «Schistes Ardoisiers» (Falda della Breccia) |
| 15255203 | «Untere Brekzie» (Brekzien-Decke) | «Brèche Inférieure» (Falda della Breccia) |
| 15255204 | «Untere Schiefer» (Brekzien-Decke) | «Schistes Inférieurs» (Falda della Breccia) |
| 15255206 | «Infrabrèche-Melange» | «Mélange Infrabrèche» |
| 15255207 | Ricard-Rhyolit | Riolite di Ricard |
| 15255208 | Printse-Formation | Formazione della Printse |
| 15255210 | Gälmji-Gneis | Gneiss di Gälmji |
| 15255211 | Scherbadung-Gabbro | Gabbro del Scherbadung |
| 15255212 | Moncucco-Peridotit | Peridotite del Moncucco |
| 15255213 | Mont-Brûlé-Quarzit | Quarzite del Mont Brûlé |
| 15255215 | Ruitor-Gneiskomplex | Complesso gneissico del Ruitor |
| 15255216 | Lacerandes-Augengneis | Gneiss occhiadino delle Lacerandes |
| 15255217 | Mont-Mort-Metapelit | Metapelite del Mont Mort |
| 15255218 | Törbel-Gneis | Gneiss di Törbel |
| 15255219 | Stalden-Gneiskomplex | Complesso gneissico di Stalden |
| 15255221 | Berisal-Gneiskomplex | Complesso gneissico di Berisal |
| 15255222 | Brunnegjoch-Metabauxit | Metabauxite del Brunnegjoch |
| 15255223 | Bruneggjoch-Formation | Formazione del Brunneghorn |

| GeolCode | Deutsch | Italiano |
|---|---|---|
| 15255226 | Randa-Augengneis | Gneiss occhiadino di Randa |
| 15255229 | Col-de-Chassoure-Formation | Formazione del Col de Chassoure |
| 15255236 | Métailler-Formation | Formazione del Métailler |
| 15255238 | Distulberg-Formation | Formazione del Distulberg |
| 15255239 | Thyon-Metagranophyr | Metagranofiro di Thyon |
| 15255240 | Mont-Rogneux-Metagranit | Metagranito del Mont Rogneux |
| 15255241 | Lirec-Formation | Formazione di Lirec |
| 15255242 | Adlerflüe-Formation | Formazione del Adlerflüe |
| 15255244 | Ergischhorn-Komplex | Complesso del Ergischhorn |
| 15255248 | «Série-Rousse» | «Série Rousse» |
| 15255249 | Portjengrat-Orthogneis | Ortogneiss del Portjengrat |
| 15255250 | Saas-Fee-Augengneis | Gneiss occhiadino di Saas Fee |
| 15255251 | Almagelhorn-Migmatit | Migmatite del Almagelhorn |
| 15255252 | Weissmies-Paragneis | Paragneiss del Weissmies |
| 15255253 | Preja-Formation | Formazione della Preja |
| 15255254 | Cavalli-Formation | Formazione dei Cavalli |
| 15255255 | Mezzalama-Granit | Granito di Mezzalama |
| 15255256 | Monte-Rosa-Orthogneis | Ortogneiss del Monte Rosa |
| 15255257 | Macugnaga-Augengneis | Gneiss occhiadino di Macugnaga |
| 15255258 | Rottal-Migmatit | Migmatite del Rottal |
| 15255259 | Stellihorn-Mylonit | Milonite del Stellihorn |
| 15255260 | Truzzo-Granit | Granito di Truzzo |
| 15255261 | Roffna-Gneis | Gneiss della Roffna |
| 15255262 | Timun-Gneiskomplex | Complesso gneissico del Piz Timun |
| 15255263 | Gelbhorn-Flysch | Flysch del Gelbhorn |
| 15255264 | Obrist-Formation | Formazione del Obrist |
| 15255265 | Vizan-Brekzie | Breccia del Vizan |
| 15255266 | Tschera-Marmor | Marmo del Tschera |
| 15255268 | Nisellas-Formation | Formazione di Nisellas |
| 15255269 | Tumpriv-Formation | Formazione dell'Alp Tumpriv |
| 15255271 | Kalkberg-Formation | Formazione del Kalkberg |
| 15255272 | Bavugls-Formation | Formazione di Bavugls |
| 15255273 | Taspegn-Gneis | Gneiss di Taspegn |
| 15255274 | Burgruinen-Gneis | Gneiss della ruina del castello di de Splügen |
| 15255275 | Vignun-Gneis | Gneiss di Vignone |
| 15255276 | Areua-Bruschghorn-Melange | Mélange di Areua-Bruschghorn |
| 15255277 | «Globorotalien-Schichten» | «Globorotalien-Schichten» |
| 15255278 | «Quarzsandstein-Flysch» | «Quarzsandstein-Flysch» |
| 15255279 | Tristel-Formation | Formazione di Tristel |
| 15255280 | «Fleckenkalk-Flysch» | «Fleckenkalk-Flysch» |
| 15255281 | Jes-Formation | Formazione di Jes |
| 15255282 | Falknis-Brekzie | Breccia del Falknis |
| 15255283 | Sanalada-Formation | Formazione di Sanalada |
| 15255284 | Panier-Formation | Formazione di Panier |
| 15255285 | Sulzfluh-Kalk | Calcare della Sulzfluh |
| 15255287 | Steinsberg-Kalk | Calcare del Steinsberg |
| 15255288 | Plattamala-Granit | Granito della Plattamala |
| 15255289 | Hundsrügg-Formation | Formazione del Hundsrügg |
| 15255290 | Perrières-Formation | Formazione delle Perrières |
| 15255292 | Rodomonts-Formation | Formazione dei Rodomonts |
| 15255294 | Tissota-Melange | Mélange della Tissota |
| 15255301 | Manche-Formation | Formazione della Manche |
| 15255304 | Fouyet-Formation | Formazione del Fouyet |

| GeolCode | Deutsch | Italiano |
|---|---|---|
| 15255305 | Biot-Formation | Formazione del Biot |
| 15255307 | Chétillon-Formation | Formazione di Chétillon |
| 15255308 | Estavannens-Flysch | Flysch di Estavannens |
| 15255309 | Reidigen-Formation | Formazione di Reidigen |
| 15255310 | Loranco-Amphibolit | Anfibolite della Val Loranco |
| 15255311 | Andolla-Eklogit | Eclogite di Andolla |
| 15255312 | Riffelberg-Melange | Mélange del Riffelberg |
| 15255313 | Pfulwe-Metabasalt | Metabasalto del Pfulwe |
| 15255314 | Allalin-Gabbro | Gabbro del Allalin |
| 15255316 | «Série Grise» | «Série Grise» |
| 15255317 | Garda-Bordon-Formation | Formazione della Garda Bordon |
| 15255318 | Fêta-d'Août-Formation | Formazione della Fêta d'Août |
| 15255319 | Chanrion-Radiolarit | Radiolarite di Chanrion |
| 15255320 | Mont-des-Ritzes-Metabasalt | Metabasalto del Mont des Ritzes |
| 15255321 | Aiguilles-Rouges-d'Arolla-Metagabbro | Metagabbro delle Aiguilles Rouges d'Arolla |
| 15255323 | Torrembey-Brekzie | Breccia di Torrembey |
| 15255324 | Muretto-Quarzit | Quarzite di Muretto |
| 15255325 | Rossi-Formation | Formazione dei Rossi |
| 15255326 | Lizun-Prasinit | Scisto del Piz Lizun |
| 15255327 | Forno-Amphibolit | Anfibolite del Forno |
| 15255328 | Ur-Brekzie | Breccia del Passo d'Ur |
| 15255329 | Malenco-Serpentinit | Serpentinite della Val Malenco |
| 15255330 | Flix-Schichten | Strati dell'Alp Flix |
| 15255331 | Falotta-Radiolarit | Radiolarite della Falotta |
| 15255332 | «Cenomanbrekzien-Serie» | «Cenomanbrekzien-Serie» |
| 15255333 | Bettlerjoch-Brekzie | Breccia del Bettlerjoch |
| 15255334 | Bargella-Brekzie | Breccia del Bargellajoch |
| 15255335 | Verspala-Formation | Formazione della Verspala |
| 15255336 | Alpbach-Schiefer | Scisto del Alpbach |
| 15255337 | Lavagna-Formation | Formazione di Lavagna |
| 15255338 | «Palombini-Formation» | «Formazione a Palombini» |
| 15255339 | Maran-Brekzie | Breccia di Maran |
| 15255340 | Haupter-Brekzie | Breccia del Haupterhorn |
| 15255341 | Totalp-Serpentinit | Serpentinite della Totalp |
| 15255342 | Plän-Vest-Formation | Formazione del Plän Vest |
| 15255343 | Läira-Augengneis | Gneiss occhiadino di Läira |
| 15255344 | Lägh-da-Cam-Formation | Formazione del Lägh da Cam |
| 15255345 | Russapass-Formation | Formazione del Passo dei Rossi |
| 15255346 | Valle-di-Lei-Formation | Formazione della Valle di Lei |
| 15255347 | Val-da-Roda-Augengneis | Gneiss occhiadino della Val da Roda |
| 15255348 | Wengahorn-Formation | Formazione del Wengahorn |
| 15255349 | Mäder-Formation | Formazione del Piz Mäder |
| 15255350 | Piot-Formation | Formazione di Piot |
| 15255351 | Tscheischhorn-Formation | Formazione del Tscheischhorn |
| 15255352 | Predarossa-Formation | Formazione di Predarossa |
| 15256001 | Matterhorn-Gabbro | Gabbro del Matterhorn |
| 15256002 | Grand-Dolin-Brekzie | Breccia del Grand Dolin |
| 15256003 | Petit-Dolin-Kalkbrekzie | Breccia del Petit Dolin |
| 15256004 | Mont-Morion-Granit | Granito del Mont Morion |
| 15256005 | Pointe-d'Otemma-Granodiorit | Granodiorite della Pointe d'Otemma |
| 15256006 | Bouquetins-Quarzdiorit | Quarzdiorite dei Bouquetins |
| 15256007 | Arolla-Orthogneis | Ortogneiss di Arolla |
| 15256008 | «Série Rubanée» | «Série Rubanée» |

| GeolCode | Deutsch | Italiano |
|---|---|---|
| 15256009 | Mont-Collon-Gabbro | Gabbro del Mont Collon |
| 15256010 | Sassa-Metagabbro | Gabbro della Sassa |
| 15256011 | Berrio-Gabbro | Gabbro di Berrio |
| 15256012 | Tête-de-Valpelline-Phyllit | Fillite della Tête de Valpelline |
| 15256013 | Maia-Metagabbro | Metagabbro di Maia |
| 15256014 | Losone-Schiefer | Scisto di Losone |
| 15256015 | Maloja-Orthogneis | Ortogneiss del Maloja |
| 15256016 | Fedoz-Metagabbro | Metaggabro di Fedoz |
| 15256017 | Maloja-Gneiskomplex | Complesso gneissico del Maloja |
| 15256018 | Fedoz-Gneiskomplex | Complesso gneissico di Fedoz |
| 15256019 | Musella-Granit | Granito di Musella |
| 15256020 | Sella-Granodiorit | Granodiorite della Sella |
| 15256021 | Marinelli-Formation | Formazione del Rifugio Marinelli |
| 15256022 | Chastè-Gneis | Gneiss del Chastè |
| 15256023 | Lunghin-Augengneis | Gneiss occhiadino del Lunghin |
| 15257001 | God-Drosa-Flysch | Flysch del God Drosa |
| 15257003 | Chanèls-Formation | Formazione di Chanèls |
| 15257004 | Emmat-Formation | Formazione di Emmat |
| 15257005 | Russenna-Formation | Formazione del Munt Russenna |
| 15257006 | Blais-Radiolarit | Formazione del Munt Blais |
| 15257008 | Saluver-Formation | Formazione della Val Saluver |
| 15257009 | Allgäu-Formation | Formazione dell'Allgäu |
| 15257014 | Agnelli-Formation | Formazione d'Agnelli |
| 15257015 | Alv-Brekzie | Breccia d'Alv |
| 15257016 | Kössen-Formation | Formazione di Kössen |
| 15257022 | Murtèr-Plattenkalk | Calcare del Piz Murtèr |
| 15257023 | Uglix-Plattenkalk | Calcare del Piz Uglix |
| 15257024 | Murteret-Dolomit | Dolomia di Murteret |
| 15257025 | Diavel-Formation | Formazione del Diavel |
| 15257026 | Quattervals-Formation | Formazione del Piz Quattervals |
| 15257029 | Müschauns-Dolomit | Dolomia della Val Müschauns |
| 15257030 | Fanez-Formation | Formazione di Fanez |
| 15257035 | Minger-Formation | Formazione della Val Minger |
| 15257038 | Altein-Formation | Formazione dell'Altein |
| 15257040 | Prosanto-Formation | Formazione del Piz Prosanto |
| 15257041 | Vallatscha-Formation | Formazione del Piz Vallatscha |
| 15257046 | Garone-Formation | Formazione del Monte Garone |
| 15257047 | S-charl-Formation | Formazione di S-charl |
| 15257050 | Ducan-Formation | Formazione del Piz Ducan |
| 15257055 | Fuorn-Formation | Formazione del Fuorn |
| 15257058 | Chazforà-Formation | Formazione di Chazforà |
| 15257061 | Ruina-Formation | Formazione della Val Ruina |
| 15257064 | Piz-Trovat-Metarhyolit | Metariolite del Piz Trovat |
| 15257065 | Sass-Queder-Metarhyolith | Metariolite del Sass Queder |
| 15257066 | Nair-Porphyroid | Porfiroido del Piz Nair |
| 15257068 | Varaina-Schiefer | Scisto di Varaina |
| 15257069 | «Sprenkelschiefer» | «Sprenkelschiefer» |
| 15257070 | Tschima-da-Flix-Granit | Granito della Tschima da Flix |
| 15257071 | Parait-Chavagl-Granit | Granito della Parait Chavagl |
| 15257072 | Celerina-Orthogneis | Ortogneiss di Celerina |
| 15257073 | Plasseggen-Augengneis | Gneiss occhiadino del Plasseggen |
| 15257074 | Dorfberg-Gneis | Gneiss del Dorfberg |
| 15257075 | Augsten-Brekzie | Breccia dell'Augsten |
| 15257076 | Sasso-Rosso-Granodiorit | Granodiorite del Sasso Rosso |

| GeolCode | Deutsch | Italiano |
|---|---|---|
| 15257077 | Morteratsch-Serpentinit | Serpentinite del Morteratsch |
| 15257078 | La-Rösa-Orthogneis | Ortogneiss della Rösa |
| 15257079 | Val-Rude-Orthogneis | Ortogneiss della Val Rude |
| 15257080 | Carale-Schiefer | Scisto dello Pizzo Carale |
| 15257081 | Julier-Granodiorit | Granodiorite del Julier |
| 15257082 | Err-Brekzie | Breccia del Piz Err |
| 15257083 | Salamun-Brekzie | Breccia di Salamun |
| 15257084 | Vaüglia-Granodiorit | Granodiorite di Vaüglia |
| 15257085 | Err-Granodiorit | Granodiorite del Piz Err |
| 15257086 | Salteras-Formation | Formazione del Piz Salteras |
| 15257087 | Corvatsch-Granodiorit | Granodiorite del Corvatsch |
| 15257088 | Bardella-Formation | Formazione del Piz Bardella |
| 15257089 | Corno-di-Campo-Granodiorit | Granodiorite dello Corno di Campo |
| 15257090 | Campocologno-Gabbro | Gabbro di Campocologno |
| 15257091 | Tonale-Schiefer | Scisto del Tonale |
| 15257092 | Lech-Formation | Formazione di Lech |
| 15257093 | Ammergau-Formation | Formazione dell'Ammergau |
| 15257094 | Ruhpolding-Formation | Formazione di Ruhpolding |
| 15257095 | Arlberg-Formation | Formazione dell'Arlberg |
| 15257096 | Partnach-Formation | Formazione della Partnach |
| 15257097 | Reiflingen-Formation | Formazione di Reifling |
| 15257098 | Gutenstein-Formation | Formazione di Gutenstein |
| 15257099 | Reichenhall-Formation | Formazione di Reichenhall |
| 15257100 | Präbichl-Formation | Formazione di Präbichl |
| 15257101 | Flüela-Augengneis | Gneiss occhiadino della Flüela |
| 15257102 | Tschuggen-Augengneis | Gneiss occhiadino di Tschuggen |
| 15257103 | Forun-Augengneis | Gneiss occhiadino del Piz Forun |
| 15257104 | Kesch-Augengneis | Gneiss occhiadino del Piz Kesch |
| 15257105 | Güstizia-Gneis | Gneiss della Güstizia |
| 15257106 | Mönchalp-Augengneis | Gneiss occhiadino della Mönchalp |
| 15257107 | Sesvenna-Augengneis | Gneiss occhiadino della Sesvenna |
| 15258001 | Castel-di-Sotto-Ton | Argilla di Castel di Sotto |
| 15258002 | Pontegana-Konglomerat | Conglomerato di Pontegana |
| 15258003 | Lucino-Konglomerat | Conglomerato di Lucino |
| 15258005 | Como-Konglomerat | Conglomerato di Como |
| 15258010 | Chiasso-Formation | Formazione di Chiasso |
| 15258012 | Ternate-Formation | Formazione di Ternate |
| 15258013 | Brenno-Formation | Formazione di Brenno |
| 15258014 | Prella-Konglomerat | Conglomerato di Prella |
| 15258015 | Bergamo-Flysch | Flysch di Bergamo |
| 15258016 | Coldrerio-Flysch | Flysch di Coldrerio |
| 15258017 | Torre-Konglomerat | Conglomerato di Torre |
| 15258018 | Varesotto-Flysch | Flysch del Varesotto |
| 15258019 | Pontida-Formation | Formazione di Pontida |
| 15258020 | «Scaglia Rossa Lombarda» | «Scaglia Rossa Lombarda» |
| 15258021 | «Scaglia Bianca Lombarda» | «Scaglia Bianca Lombarda» |
| 15258022 | «Scaglia Variegata Lombarda» | «Scaglia Variegata Lombarda» |
| 15258023 | «Maiolica Lombarda» | «Maiolica Lombarda» |
| 15258024 | «Selcifero Lombardo» | «Selcifero Lombardo» |
| 15258026 | «Calcare a bivalvi planctonici» | «Calcare a bivalvi planctonici» |
| 15258027 | «Rosso Ammonitico Lombardo» | «Rosso Ammonitico Lombardo» |
| 15258029 | Morbio-Formation | Formazione di Morbio |
| 15258030 | Besazio-Kalk | Calcare di Besazio |
| 15258031 | Moltrasio-Formation | Formazione di Moltrasio |

| GeolCode | Deutsch | Italiano |
|---|---|---|
| 15258033 | Saltrio-Formation | Formazione di Saltrio |
| 15258034 | «Macchia Vecchia» | «Macchia Vecchia» |
| 15258035 | Broccatello d'Arzo | Broccatello d'Arzo |
| 15258036 | Albenza-Formation | Formazione dell'Albenza |
| 15258037 | Zu-Kalk | Calcare di Zu |
| 15258038 | Tremona-Formation | Formazione di Tremona |
| 15258039 | «Brecce Retiche» | «Brecce Retiche» |
| 15258040 | Riva-di-Solto-Tonstein | Argillite di Riva di Sotto |
| 15258041 | «Dolomia Principale» | «Dolomia Principale» |
| 15258042 | Pizzella-Mergel | Marna del Pizzella |
| 15258043 | Cunardo-Formation | Formazione di Cunardo |
| 15258044 | Meride-Formation | Formazione di Meride |
| 15258050 | San-Giorgio-Dolomit | Dolomia del San Giorgio |
| 15258052 | Besano-Formation | Formazione di Besano |
| 15258053 | San-Salvatore-Dolomit | Dolomia del San Salvatore |
| 15258054 | Bellano-Formation | Formazione di Bellano |
| 15258055 | «Servino» | «Servino» |
| 15258056 | Manno-Formation | Formazione di Manno |
| 15258057 | Fornale-Gabbro | Gabbro del Fornale |
| 15258058 | Finero-Peridotit | Peridotite di Finero |
| 15258059 | Pizzo-Leone-Gneis | Gneiss del Pizzo Leone |
| 15258060 | San-Bernardo-Gneis | Gneiss del San Bernardo |
| 15258061 | Stabbiello-Gneis | Gneiss del Stabbiello |
| 15258062 | Giumello-Gneis | Gneiss di Giumello |
| 15258063 | Ceneri-Gneis | Gneiss del Ceneri |
| 15259001 | Höwenegg-Basalt | Basalto del Höwenegg |
| 15259002 | Hohenwiel-Phonolith | Fonolite del Hohenwiel |
| 15259003 | Hegau-Tuffit | Tuffite del Hegau |
| 15259004 | Brand-Herrentisch-Tuffit | Tuffite del Brand-Herrentisch |
| 15259005 | Wangen-Tuffit | Tuffite di Wangen |
| 15259006 | Hohenolber-Tuffit | Tuffite del Hohenolber |
| 15259007 | Eichbol-Tuffit | Tuffite di Eichbol |
| 15259008 | Zocca-Aplit | Aplite di Zocca |
| 15259009 | Monte-Rosso-Mikrogranit | Microgranito del Monte Rosso |
| 15259010 | Alpe-Cameraccio-Granodiorit | Granodiorite dell'Alpe Cameraccio |
| 15259011 | Val-Masino-Granodiorit | Granodiorite della Val Masino |
| 15259012 | Melirolo-Augengneis | Gneiss occhiadino di Melirolo |
| 15259013 | Monte-Bassetta-Quarzdiorit | Quarzdiorite del Monte Bassetta |
| 15259014 | Sorico-Tonalit | Tonalite di Sorico |
| 15259015 | Jorio-Tonalit | Tonalite di San Iorio |
| 15259016 | San-Fedelino-Granit | Granito di San Fedelino |
| 15251002 | Courcelon-Süsswasserkalk | Calcare d'acqua dolce di Courcelon |
| 15251012 | Poncin-Member | Membro di Poncin |
| 15251013 | Mussel-Member | Membro di Mussel |
| 15251019 | Fulie-Member | Membro della Fulie |
| 15251014 | Vraconne-Sandstein | Arenaria della Vraconne |
| 15251015 | La-Presta-Mergel | Argilla della Presta |
| 15251016 | Vernettes-Sandstein | Arenaria delle Vernettes |
| 15251017 | Ponthoud-Bank | Strato del Ponthoud |
| 15251018 | Scie-Besse-Sandstein | Arenaria di Scie Besse |
| 15251020 | Mortier-Mergel | Marna del Mortier |
| 15251021 | Vauglène-Bänke | Strati di Vauglène |
| 15251022 | Poet-Bank | Strato del Poet |
| 15251024 | Vallorbe-Member | Membro di Vallorbe |

| GeolCode | Deutsch | Italiano |
|---|---|---|
| 15251027 | La-Rivière-Member | Membro della Rivière |
| 15251028 | Fort-de-l'Écluse-Member | Membro del Fort de l'Écluse |
| 15251025 | Bellegarde-Bänke | Strato di Bellegarde |
| 15251026 | Serrières-Bank | Strato di Serrières |
| 15251030 | Morteau-Kalk | Calcare di Morteau |
| 15251031 | Bôle-Member | Membro di Bôle |
| 15251032 | Montcherand-Member | Membro di Montcherand |
| 15251033 | La-Vaux-Bänke | Strato della Vaux |
| 15251034 | Cul-du-Nozon-Bänke | Strato del Cul du Nozon |
| 15251035 | Pont-des-Pierres-Bänke | Strato del Pont des Pierres |
| 15251037 | Neuchâtel-Member | Membro di Neuchâtel |
| 15251041 | Hauterive-Member | Membro di Hauterive |
| 15251038 | «Pierre Jaune Supérieure» | «Pierre Jaune Supérieure» |
| 15251039 | Les-Uttins-Mergel | Marna dei Uttins |
| 15251040 | «Pierre Jaune Inférieure» | «Pierre Jaune Inférieure» |
| 15251042 | L'Ecluse-Mergelkalk | Calcare dell'Écluse |
| 15251043 | Censeau-Mergel | Marna di Censeau |
| 15251044 | Morteau-Mergel | Marna di Morteau |
| 15251046 | «Bryozoen-Mergel» | «Marna a Bryozoaria» |
| 15251047 | «Astieria-Mergel» | «Marna a Astieria» |
| 15251048 | Villers-Schichten | Strato di Villers |
| 15251049 | «Alectryonia-Kalk» | «Calcare a Alectryonia» |
| 15251050 | Arzier-Mergel | Marna di Arzier |
| 15251052 | Guiers-Member | Membro del Guiers |
| 15251053 | Grande-Varappe-Bank | Strato della Grande Varappe |
| 15251056 | «Unité Moyenne Calcaire» | «Unité Moyenne Calcaire» |
| 15251057 | «Unité Inférieure Oolithique» | «Unité Inférieure Oolithique» |
| 15251060 | Vouglans-Member | Membro di Vouglans |
| 15251061 | Chailley-Member | Membro del Chailley |
| 15251064 | Chevenez-Member | Membro di Chevenez |
| 15251068 | Courtedoux-Member | Membro di Courtedoux |
| 15251069 | Banné-Member | Membro del Banné |
| 15251070 | Vabenau-Member | Membro di Vabenau |
| 15251062 | «Oberer Virgula-Mergel» | «Marna a Virgula superiore» |
| 15251065 | «Grenznerineen-Bank» | «Strato a Nerinei del tetto» |
| 15251066 | «Cladocoropsis-Kalk» | «Calcare a Cladocoropsis» |
| 15251067 | «Unterer Virgula-Mergel» | «Marna a Virgula inferiore» |
| 15251071 | Creugenat-Schichten | Strati del Creugenat |
| 15251073 | «Complexe récifal» | «Complexe récifal» |
| 15251075 | Tabalcon-Kalk | Calcare di Tabalcon |
| 15251076 | Couvaloup-Member | Membro del Couvaloup |
| 15251074 | Landaize-Kalk | Calcare di Landaize |
| 15251086 | Gugenmühle-Member | Membro del Gugenmühle |
| 15251089 | Wettingen-Member | Membro di Wettingen |
| 15251090 | Baden-Member | Membro di Baden |
| 15251092 | Lochen-Subformation | Lochen-Subformation |
| 15251094 | Porrentruy-Member | Membro di Porrentruy |
| 15251095 | La-May-Member | Membro della May |
| 15251097 | Verena-Member | Membro di Santa Verana |
| 15251098 | Holzflue-Member | Membro della Holzflue |
| 15251100 | Laufen-Member | Membro di Laufen |
| 15251103 | Olten-Member | Membro di Olten |
| 15251104 | Steinibach-Member | Membro del Steinibach |
| 15251099 | Balmberg-Oolith | Oolite del Balmberg |

| GeolCode | Deutsch | Italiano |
|---|---|---|
| 15251101 | Hautes-Roches-Algenkalk | Calcare delle Hautes Roches |
| 15251102 | Akzessorische Mumienbänke | «Akzessorische Mumienbänke» |
| 15251107 | Wangental-Member | Membro di Langenthal |
| 15251108 | Letzi-Member | Membro del Letzi |
| 15251109 | «Knollen-Bank» | «Knollen-Bank» (Fm. di Villigen) |
| 15251110 | Küssaburg-Member | Membro della Küssaburg |
| 15251111 | Wangen-Member | Membro di Wangen |
| 15251112 | Hornbuck-Member | Membro del Hornbuck |
| 15251113 | «Crenularis-Member» | «Membro a Crenularis» |
| 15251114 | Geissberg-Member | Membro del Geissberg |
| 15251117 | Bure-Member | Membro di Bure |
| 15251118 | «Oolithe-Rousse-Member» | «Membro dell'Oolithe Rousse» |
| 15251119 | «Hauptmumienbank-Member» | «Membro del Hauptmumienbank» |
| 15251120 | Röschenz-Member | Membro di Röschenz |
| 15251123 | Vorbourg-Member | Membro del Vorbourg |
| 15251121 | «Brauner Oolith» | «Brauner Oolith» |
| 15251122 | «Grüne Mumienbank» | «Grüne Mumienbank» |
| 15251125 | Moutier-Korallenkalk | Calcare a coralli di Moutier |
| 15251127 | Tiergarten-Member | Membro del Tiergarten |
| 15251128 | Buix-Member | Membro di Buix |
| 15251129 | Chestel-Member | Membro del Chestel |
| 15251131 | Grellingen-Member | Membro di Grellingen |
| 15251130 | Caquerelle-Pisolith | Pisolite della Caquerelle |
| 15251135 | Effingen-Member | Membro di Effingen |
| 15251138 | Birmenstorf-Member | Membro di Birmenstorf |
| 15251136 | Gerstenhübel-Bank | Strato del Gerstenhübel |
| 15251137 | «Pecten-Bank» | «Strato a Pecten» (Mb. di Effingen) |
| 15251140 | Liesberg-Member | Membro di Liesberg |
| 15251141 | Sornetan-Member | Membro di Sornetan |
| 15251142 | «Renggeri-Member» | «Membro a Renggeri» |
| 15251115 | Ancepsoolith-Subformation | Ancepsoolith-Subformation |
| 15251144 | Glaukonitsandmergel-Subformation | Glaukonitsandmergel-Subformation |
| 15251146 | Macrocephalenoolith-Subformation | Macrocephalenoolith-Subformation |
| 15251145 | Grenzkalk | «Grenzkalk» |
| 15251149 | Graitery-Member | Membro del Graitery |
| 15251150 | Herznach-Member | Membro di Herznach |
| 15251152 | Bollement-Member | Membro di Bollement |
| 15251153 | Ängistein-Member | Membro di Ängistein |
| 15251155 | Bözen-Member | Membro di Bözen |
| 15251156 | Saulcy-Member | Membro di Saulcy |
| 15251157 | Châtillon-Member | Membro di Châtillon |
| 15251158 | St-Brais-Member | Membro di St-Brais |
| 15251159 | Schelmenloch-Member | Membro del Schelmenloch |
| 15251151 | Schellenbrücke-Bank | Strato del Schellenbrücke |
| 15251154 | Unter-Erli-Bank | Strato di Unter Erli |
| 15251160 | Anwil-Bank | Strato di Anwil |
| 15251163 | «Spatkalk» (Hauptrogenstein) | «Spatkalk» (Hauptrogenstein) |
| 15251164 | «Ferrugineus-Oolith» | «Oolite a Ferrugineus» |
| 15251165 | «Pierre Blanche» (Hauptrogenstein) | «Pierre Blanche» (Hauptrogenstein) |
| 15251166 | Movelier-Schichten | Strati di Movelier |
| 15251167 | «Grande Oolithe» (Hauptrogenstein) | «Grande Oolithe» (Hauptrogenstein) |
| 15251168 | Wittnau-Korallenkalk | Calcare a coralli di Wittnau |
| 15251169 | Furcil-Mergel | Marna del Furcil |

| GeolCode | Deutsch | Italiano |
|---|---|---|
| 15251170 | «Calcaire roux marneux» (Hauptrogenstein) | «Calcaire roux marneux» (Hauptrogenstein) |
| 15251171 | «Homomya-Mergel» | «Marna a Homomya» |
| 15251172 | «Obere Acuminata-Schichten» | «Strati a Acuminata superiori» |
| 15251173 | «Oolithe Subcompacte» (Hauptrogenstein) | «Oolithe Subcompacte» (Hauptrogenstein) |
| 15251174 | «Maeandrina-Schichten» | «Strati a Maeandrina» |
| 15251175 | «Untere Acuminata-Schichten» | «Strati a Acuminata inferiori» |
| 15251176 | Gisliflue-Korallenkalk | Calcare a coralli della Gisliflue |
| 15251178 | «Knorri-Ton» | «Argilla a Knorri» |
| 15251179 | «Wuerttembergica-Schichten» | «Strati a Wuerttembergica» |
| 15251180 | «Parkinsoni-Schichten» (Klingnau-Fm.) | «Strati a Parkinsoni» (Fm. di Klingnau) |
| 15251182 | «Blagdeni-Schichten» (Klingnau-Fm.) | «Strati a Blagdeni» (Fm. di Klingnau) |
| 15251181 | «Subfurcatum-Bank» | «Strato a Subfurcatum» |
| 15251185 | Parkinsonioolith-Subformation | Parkinsonioolith-Subformation |
| 15251187 | Blagdeni-Subformation | Blagdeni-Subformation |
| 15251188 | Humphriesioolith-Subformation | Humphriesioolith-Subformation |
| 15251191 | Grenchenberg-Member | Membro del Grenchenberg |
| 15251192 | Rothenfluh-Member | Membro della Rothenfluh |
| 15251193 | Brüggli-Member | Membro di Brüggli |
| 15251195 | Waldenburg-Member | Membro di Waldenburg |
| 15251196 | Hirnichopf-Member | Membro del Hirnichopf |
| 15251197 | Hauenstein-Member | Membro di Hauenstein |
| 15251198 | Sissach-Member | Membro di Sissach |
| 15251194 | «Humphriesi-Schichten» (Brüggli-Mb.) | «Strati a Humphriesi» (Mb. di Brüggli) |
| 15251199 | «Comptum-Bank» (Passwang-Fm.) | «Strato a Comptum» (Fm. del Passwang) |
| 15251203 | Blaukalk-Subformation | Blaukalk-Subformation |
| 15251208 | Gross-Wolf-Member | Membro del Gross Wolf |
| 15251212 | Rietheim-Member | Membro di Rietheim |
| 15251214 | Rickenbach-Member | Membro di Rickenbach |
| 15251216 | Breitenmatt-Member | Membro di Breitenmatt |
| 15251218 | Grünschholz-Member | Membro del Grünschholz |
| 15251219 | Frick-Member | Membro di Frick |
| 15251220 | Mont-Terri-Member | Membro del Mont Terri |
| 15251221 | Fasiswald-Member | Membro di Fasiswald |
| 15251222 | Weissenstein-Member | Membro del Weissenstein |
| 15251223 | Beggingen-Member | Membro di Beggingen |
| 15251226 | Schambelen-Member | Membro del Schambelen |
| 15251209 | Eriwis-Bank | Strato di Eriwis |
| 15251210 | Erlimoos-Bank | Strato di Erlimoos |
| 15251211 | Gipf-Bank | Strato di Gipf |
| 15251213 | «Unterer Stein» (Staffelegg-Fm.) | «Unterer Stein» (Fm. della Staffelegg) |
| 15251215 | Müsenegg-Bank | Strato della Müsenegg |
| 15251217 | Trasadingen-Bank | Strato di Trasadingen |
| 15251224 | Gächlingen-Bank | Strato di Gächlingen |
| 15251225 | Schleitheim-Bank | Strato di Schleitheim |
| 15251227 | Hallau-Bank | Strato di Hallau |
| 15251237 | Belchen-Member | Membro del Belchen |
| 15251238 | Seebi-Member | Membro di Seebi |
| 15251239 | Gruhalde-Member | Membro della Gruhalde |
| 15251240 | Berlingen-Member | Membro di Berlingen |
| 15251241 | Gansingen-Member | Membro di Gansingen |
| 15251242 | Ergolz-Member | Membro dell'Ergolz |

| GeolCode | Deutsch | Italiano |
|---|---|---|
| 15251245 | Asp-Member | Membro di Asp |
| 15251248 | Stamberg-Member | Membro del Stamberg |
| 15251250 | Eptingen-Bank | Strato di Eptingen |
| 15251251 | Liedertswil-Member | Membro di Liedertswil |
| 15251252 | Dünnlenberg-Bank | Membro del Dünnlenberg |
| 15251253 | Kienberg-Member | Membro di Kienberg |
| 15251255 | Leutschenberg-Member | Membro del Leutschenberg |
| 15251246 | «Grenzdolomit» (Schinznach-Fm.) | «Grenzdolomit» (Fm. di Schinznach) |
| 15251247 | «Estherien-Schichten» | «Strati a Estheria» |
| 15251249 | Kaisten-Bank | Strato di Kaisten |
| 15251254 | Saalhof-Bank | Strato di Saalhof |
| 15251256 | Fützen-Bank | Strato di Fützen |
| 15251258 | «Dolomitzone» (Zeglingen-Fm.) | «Dolomitzone» (Fm. di Zeglingen) |
| 15251259 | «Obere Sufatzone» (Zeglingen-Fm.) | «Obere Sufatzone» (Fm. di Zeglingen) |
| 15251260 | «Salzlager» (Zeglingen-Fm.) | «Salzlager» (Fm. di Zeglingen) |
| 15251261 | «Untere Sulfatzone» (Zeglingen-Fm.) | «Untere Sulfatzone» (Fm. di Zeglingen) |
| 15251263 | «Orbicularis-Mergel» | «Marna a Orbicularis» |
| 15251264 | «Wellenkalk / Wellenmergel» | «Wellenkalk / Wellenmergel» |
| 15251265 | «Wellendolomit» | «Wellendolomit» |
| 15251266 | «Bleiglanzbank» (Kaiseraugst-Fm.) | «Bleiglanzbank» (Fm. di Kaiseraugst) |
| 15251268 | «Rhötton» | «Rhötton» |
| 15251270 | «Plattensandstein» (Dinkelberg-Fm.) | «Plattensandstein» (Fm. del Dinkelberg) |
| 15251272 | «Diagonalschichtiger Sandstein» (Dinkelberg-Fm.) | «Diagonalschichtiger Sandstein» (Fm. del Dinkelberg) |
| 15251273 | Vogesen-Sandstein | Arenaria dei Vosgi |
| 15251269 | «Arenicolites-Bank» | «Strato a Arenicolites» |
| 15251271 | «Karneol-Horizont» (Dinkelberg-Fm.) | «Karneolhorizont» (Fm. del Dinkelberg) |
| 15251276 | «Oberer Schuttfächer» (Weitenau-Fm.) | «Oberer Schuttfächer» (Fm. di Weitenau) |
| 15251277 | «Playa-Serie» (Weitenau-Fm.) | «Playa-Serie» (Fm. di Weitenau) |
| 15251278 | «Unterer Schuttfächer» (Weitenau-Fm.) | «Unterer Schuttfächer» (Fm. di Weitenau) |
| 15251280 | «Jüngere Flussablagerungen» (Weiach-Fm.) | «Jüngere Flussablagerungen» (Fm. di Weiach) |
| 15251281 | «Seeablagerungen» (Weiach-Fm.) | «Seeablagerungen» (Fm. di Weiach) |
| 15251282 | «Ältere Flussablagerungen» (Weiach-Fm.) | «Ältere Flussablagerungen» (Fm. di Weiach) |
| 15251283 | «Kohle-Serie» (Weiach-Fm.) | «Kohle-Serie» (Fm. di Weiach) |
| 15251318 | Wehratal-Syenit | Sienite del Wehratal |
| 15252002 | Ajoie-Member | Membro dell'Ajoie |
| 15252003 | Bois-de-Raube-Member | Membro del Bois de Raube |
| 15252004 | Montchaibeux-Member | Membro del Montchaibeux |
| 15252006 | Heilsberg-Bentonit | Bentonite del Heilsberg |
| 15252014 | Le-Verger-Member | Membro del Verger |
| 15252015 | Combe-Girard-Member | Membro della Combe Girard |
| 15252016 | Combe-Girard-Bentonit | Bentonite della Combe Girard |
| 15252022 | Wolhusen-Bentonit | Bentonite di Wolhusen |
| 15252023 | Eimätteli-Member | Membro di Eimätteli |
| 15252024 | Blapbach-Kohleflöz | Livallo di carbone de Blapbach |
| 15252031 | Öhningen-Süsswasserkalk | Calcare d'acqua dolce di Öhningen |
| 15252032 | Bischofzell-Bentonit | Bentonite di Bischofzell |
| 15252033 | Ramschwag-Nagelfluh | Conglomerato della Ramschwag |

| GeolCode | Deutsch | Italiano |
|---|---|---|
| 15252035 | Hörnligipfel-Nagelfluh | Conglomerato del Hörnligipfel |
| 15252036 | Hörnligubel-Mergel | Marna del Hörnligubel |
| 15252038 | Tösswald-Member | Membro del Tösswald |
| 15252040 | Krinau-Member | Membro di Krinau |
| 15252037 | Höchegg-Brekzie | Breccia della Höchegg |
| 15252039 | Seerücken-Tuffit | Tufite del Seerücken |
| 15252042 | Uetliberggipfel-Nagelfluh | Conglomerato dell'Uetliberggipfel |
| 15252043 | Uetliberg-Mergel | Marna dell'Uetliberg |
| 15252044 | Loorenkopf-Nagelfluh | Conglomerato del Loorenkopf |
| 15252046 | Falätschen-Mergel | Marna della Falätschen |
| 15252048 | Fellitobel-Süsswasserkalk | Calcare d'acqua dolce del Fellitobel |
| 15252049 | Leimbach-Bentonit | Bentonite di Leimbach |
| 15252050 | Rütschlibach-Riedhof-Süsswasserkalk | Calcare d'acqua dolce di Rütschlibach-Riedhof |
| 15252051 | Winterthur-Bentonit | Bentonite di Winterthur |
| 15252052 | Aeugstertal-Bentonit | Bentonite dell'Aeugstertal |
| 15252053 | Äntlisberg-Doldertobel-Süsswasserkalk | Calcare d'acqua dolce di Äntlisberg-Doldertobel |
| 15252054 | Wehrenbach-Höckler-Süsswasserkalk | Calcare d'acqua dolce del Wehrenbach-Höckler |
| 15252056 | Küsnacht-Bentonit | Bentonite di Küsnacht |
| 15252057 | «Wulp-Rotzone» | «Wulp-Rotzone» |
| 15252058 | Urdorf-Bentonit | Bentonite di Urdorf |
| 15252060 | Degersheim-Kalknagelfluh | Conglomerato calcareo di Degersheim |
| 15252061 | Abtwil-Konglomerat | Conglomerato di Abtwil |
| 15252062 | Meilen-Kalk | Calcare di Meilen |
| 15252063 | Hüllistein-Konglomerat | Conglomerato di Hüllistein |
| 15252067 | Horgen-Käpfnach-Süsswasserkalk | Calcare d'acqua dolce di Horgen-Käpfnach |
| 15252072 | Tannenwald-Schichten | Strati del Tannenwald |
| 15252073 | Tannenberg-Schichten | Strati del Tannenberg |
| 15252075 | Gabelspitz-Schichten | Strati del Gabelspitz |
| 15252076 | Schallenberg-Member | Membro del Schallenberg |
| 15252077 | Seli-Nagelfluh | Conglomerato di Seli |
| 15252079 | Pfadflüe-Member | Membro della Pfadflüe |
| 15252083 | «Obere Grenznagelfluh» | «Obere Grenznagelfluh» (Fm. di San Gallo) |
| 15252084 | Goldbrunnen-Schichten | Strati di Goldbrunnen |
| 15252085 | Dreilinden-Nagelfluh | Conglomerato di Dreilinden |
| 15252086 | Freudenberg-Nagelfluh | Conglomerato del Freudenberg |
| 15252087 | Staffelbach-Grobsandstein | Arenaria grossolana di Staffelbach |
| 15252088 | Gitzigrabe-Grobsandstein | Arenaria grossolana del Gitzigrabe |
| 15252091 | Sädel-Kalknagelfluh | Conglomerato di Sädel |
| 15252092 | Utzigen-Muschelsandstein | Arenaria a conchiglia di Utzigen |
| 15252093 | Ulmiz-Quarzitnagelfluh | Conglomerato quarzitico di Ulmiz |
| 15252094 | Bütschelbach-Nagelfluh | Conglomerato del Bütschelbach |
| 15252096 | Rebhubel-Schichten | Strati del Rebhubel |
| 15252102 | Safenwil-Muschelsandstein | Arenaria a conchiglia di Safenwil |
| 15252104 | Molière-Muschelsandstein | Arenaria a conchiglia della Molière |
| 15252105 | Montécu-Schichten | Strati di Montécu |
| 15252106 | Scherli-Quarzitnagelfluh | Conglomerato quarzitico di Scherli |
| 15252108 | Meinisberg-Muschelsandstein | Arenaria a conchiglia di Meinisberg |
| 15252109 | Brüttelen-Grobsandstein | Arenaria grossolana di Brüttelen |
| 15252111 | «Oberaquitane Mergelzone» | «Oberaquitane Mergelzone» |

| GeolCode | Deutsch | Italiano |
|---|---|---|
| 15252183 | Hombach-Member | Membro del Hombach |
| 15252213 | Marbach-Member | Membro di Marbach |
| 15252113 | Bois-Genoud-Bentonit | Bentonite di Bois-Genoud |
| 15252114 | Cuarny-Sandstein | Arenaria di Cuarny |
| 15252118 | Tillerée-Schichten | Strati di Tillerée |
| 15252120 | Mümliswil-Süsswasserkalk | Calcare d'acqua dolce di Mümliswil |
| 15252123 | Mathod-Sandstein | Arenaria di Mathod |
| 15252124 | Goumoëns-Sandstein | Arenaria di Goumoëns |
| 15252125 | Dardagny-Sandstein | Arenaria di Dardagny |
| 15252130 | Delémont-Süsswasserkalk | Calcare d'acqua dolce di Delémont |
| 15252131 | Matzendorf-Süsswasserkalk | Calcare d'acqua dolce di Matzendorf |
| 15252132 | Wynau-Süsswasserkalk | Calcare d'acqua dolce di Wynau |
| 15252133 | Oensingen-Süsswasserkalk | Calcare d'acqua dolce di Oensingen |
| 15252150 | Cucloz-Sandstein | Arenaria di Cucloz |
| 15252151 | «Marnes gris-souris» (Cucloz-Fm.) | «Marnes gris-souris» (Fm. di Cucloz) |
| 15252152 | «Schistes marno-micacés» (Cucloz-Fm.) | «Schistes marno-micacés» (Fm. di Cucloz) |
| 15252166 | Unter-Lochsiti-Nagelfluh | Conglomerato dell'Unter Lochsiti |
| 15252167 | Flühli-Nagelfluh | Conglomerato di Flühli |
| 15252172 | Gunten-Nagelfluh | Conglomerato di Gunten |
| 15252173 | Hünibach-Nagelfluh | Conglomerato di Hünibach |
| 15252176 | Schwändibach-Nagelfluh | Conglomerato di Schwändibach |
| 15252178 | Bumbach-Nagelfluh | Conglomerato di Bumbach |
| 15252185 | Scheidegg-Nagelfluh | Conglomerato della Scheidegg |
| 15252186 | «Bunte Rigi-Nagelfluh» | «Bunte Rigi Nagelfluh» |
| 15252188 | «Radiolaritreiche Nagelfluh» (Rigi-Fm.) | «Radiolaritreiche Nagelfluh» (Fm. del Rigi) |
| 15252187 | Pfiffegg-Nagelfluh | Conglomerato della Pfiffegg |
| 15252190 | Kännelegg-Nagelfluh | Conglomerato della Kännelegg |
| 15252194 | Wintersberg-member | Membro del Wintersberg |
| 15252195 | Ebnat-Member | Membro di Ebnat |
| 15252197 | Leuenfall-Nagelfluh | Conglomerato del Leuenfall |
| 15252196 | Rütiberg-Kalksandstein | Arenaria calcarea di Rütiberg |
| 15252200 | Pfingstboden-Member | Membro del Pfingstboden |
| 15252201 | Hochfläschli-Member | Membro della Hochfläschli |
| 15252202 | Ennetbühl-Member | Membro di Ennetbühl |
| 15252203 | Hochalp-Member | Membro della Hochalp |
| 15252204 | Krummenau-Member | Membro di Krummenau |
| 15252206 | Brendenbach-Mergel | Marna del Brendenbach |
| 15252208 | Gstaldenbach-Member | Membro del Gstaldenbach |
| 15252209 | Heiden-Member | Membro di Heiden |
| 15252210 | Klusbach-Member | Membro del Klusbach |
| 15252211 | Eggen-Member | Membro dell'Eggen |
| 15252212 | Sulzbach-Member | Membro di Sulzbach |
| 15253002 | Laubersmad-Flysch | Flysch del Laubersmad |
| 15253004 | Ruestel-Flysch | Flysch di Ruestel |
| 15253006 | Engi-Dachschiefer | Ardesia scistosa di Engi |
| 15253007 | Gruontal-Konglomerat | Conglomerato del Gruontal |
| 15253008 | Rüschenweid-Bank | Strato del Rüschenweid |
| 15253010 | Val-d'Illiez-Sandstein | Arenaria del Val d'Illiez |
| 15253015 | Ahornen-Member | Membro del Ahornen |
| 15253016 | Kistenstöckli-Member | Membro del Kistenstöckli |
| 15253017 | Ghölzwald-Member | Membro del Ghölzwald |
| 15253018 | Malor-Member | Membro del Malor |

| GeolCode | Deutsch | Italiano |
|---|---|---|
| 15253021 | Wängen-Kalk | Calcare di Wängen |
| 15253022 | Jochstock-Konglomerat | Conglomerato del Jochstock |
| 15253023 | Rütenen-Konglomerat | Conglomerato del Rütenen |
| 15253024 | Kleintal-Konglomerat | Conglomerato del Kleintal |
| 15253025 | Lochegg-Brekzie | Breccia della Lochegg |
| 15253026 | Spirstock-Member | Membro del Spirstock |
| 15253028 | Pierredar-Kalk | Calcare di Pierredar |
| 15253029 | Tsanfleuron-Member | Membro di Tsanfleuron |
| 15253030 | Diablerets-Member | Membro dei Diablerets |
| 15253402 | Six-Tremble-Member | Membro del Six Tremble |
| 15253031 | Roc-Champion-Konglomerat | Conglomerato del Roc Champion |
| 15253033 | Gemmenalp-Kalk | Calcare della Gemmenalp |
| 15253034 | Hohgant-Sandstein | Arenaria del Hohgant |
| 15253035 | Wagenmoos-Bänke | Strati del Wagenmoos |
| 15253036 | Berglikehle-Bank | Strato della Berglikehle |
| 15253037 | Mürren-Brekzie | Breccia di Mürren |
| 15253039 | Schimberg-Member | Membro del Schimberg |
| 15253040 | Tierberg-Member | Membro del Tierberg |
| 15253041 | Küblibad-Member | Membro del Küblibad |
| 15253043 | Fruttli-Member | Membro del Fruttli |
| 15253044 | Band-Member | Membro del Band |
| 15253045 | Fräkmünt-Member | Membro di Fräkmünt |
| 15253047 | Foribach-Member | Membro del Foribach |
| 15253048 | Mattgrat-Member | Membro del Mattgrat |
| 15253049 | Scharti-Member | Membro di Scharti |
| 15253050 | Steinbach-Member | Membro del Steinbach |
| 15253052 | Einsiedeln-Member | Membro di Einsiedeln |
| 15253053 | Chruteren-Member | Membro della Chruteren |
| 15253054 | Batöni-Member | Membro della Batöni |
| 15253055 | Guschakopf-Sandstein | Arenaria del Guschakopf |
| 15253056 | Vasanachopf-Member | Membro del Vasanachopf |
| 15253057 | Fliegenspitz-Member | Membro del Fliegenspitz |
| 15253062 | «Wang-Brekzie» | «Breccia di Wang» |
| 15253064 | Leist-Mergel | Marna del Leist |
| 15253066 | Leiboden-Mergel | Marna del Leiboden |
| 15253065 | Grotzen-Austernbank | Strato a ostriche di Grotzen |
| 15253068 | Choltal-Member | Membro del Choltal |
| 15253069 | «Roter Seewenkalk» | «Roter Seewenkalk» |
| 15253070 | Untere Götzis-Bank | Strato di Götzis inferiore |
| 15253072 | Selun-Member | Membro di Selun |
| 15253083 | Brisi-Member | Membro della Brisi |
| 15253086 | Freschen-Member | Membro del Freschen |
| 15253087 | Hochkugel-Schichten | Membro del Hochkugel |
| 15253088 | Grünten-Member | Membro del Grünten |
| 15253073 | Kamm-Bank | Strato del Kamm |
| 15253074 | Aubrig-Schichten | Strati dell'Aubrig |
| 15253075 | Wannenalp-Bank | Strato della Wannenalp |
| 15253076 | Sellamatt-Schichten | Strati della Sellamatt |
| 15253077 | Plattenwald-Bank | Strato di Plattenwald |
| 15253078 | Durschlägi-Bank | Strato della Durschlägi |
| 15253079 | Niederi-Schichten | Strati del Niederi |
| 15253080 | Klaus-Bank | Strato di Klaus |
| 15253081 | Twäriberg-Bank | Strato del Twäriberg |
| 15253082 | Rankweil-Member | Membro di Rankweil |

| GeolCode | Deutsch | Italiano |
|---|---|---|
| 15253084 | Gams-Schichten | Strati del Gams |
| 15253085 | Luitere-Bank | Strato del Luitere |
| 15253089 | Col-de-la-Plaine-Morte-Bank | Strato del Col de la Plaine Morte |
| 15253090 | Rohrbachstein-Bank | Strato del Rohrbachstein |
| 15253092 | «Oberer Schrattenkalk» | «Oberer Schrattenkalk» |
| 15253093 | Rawil-Member | Membro del Rawil |
| 15253094 | «Unterer Schrattenkalk» | «Unterer Schrattenkalk» |
| 15253096 | Hurst-Mergel | Marna del Hurst |
| 15253097 | Chopf-Bank | Strato del Chopf |
| 15253098 | Drusberg-Member | Membro del Drusberg |
| 15253099 | Altmann-Member | Membro dell'Altmann |
| 15253101 | Chriesiloch-Echinodermenkalk | Calcare echinodermico del Chriesiloch |
| 15253102 | Lidernen-Member | Membro della Lidernen |
| 15253103 | Ringgenberg-Schichten | Strati di Ringgenberg |
| 15253104 | Rahberg-Bank | Strato del Rahberg |
| 15253105 | Palis-Bank | Strato di Palis |
| 15253106 | Gemsmättli-Bank | Strato del Gemsmättli |
| 15253108 | «Pygurus-Member» | «Membro a Pygurus» |
| 15253109 | «Oberer Betliskalk» | «Oberer Betliskalk» |
| 15253110 | Büls-Bank | Strato di Büls |
| 15253111 | «Unterer Betliskalk» | «Unterer Betliskalk» |
| 15253112 | Spitzern-Member | Membro di Spitzern |
| 15253117 | «Oberer Öhrlikalk» | «Oberer Öhrlikalk» |
| 15253118 | «Oberer Öhrlimergel» | «Oberer Öhrlimergel» |
| 15253119 | «Unterer Öhrlikalk» | «Unterer Öhrlikalk» |
| 15253122 | Graspass-Member | Membro del Graspass |
| 15253123 | Gassen-Kalk | Calcare del Gassenstock |
| 15253125 | Tros-Kalk | Calcare di Tros |
| 15253126 | «Oberer Quintner Kalk» | «Oberer Quintner Kalk» |
| 15253127 | «Mergelband» (Quinten-Fm.) | «Mergelband» (Fm. di Quinten) |
| 15253128 | «Unterer Quintner Kalk» | «Unterer Quintner Kalk» |
| 15253129 | Gonzen-Eisenerzhorizont | Orizzonte del Gonzen |
| 15253131 | Mürtschen-Member | Membro del Mürtschen |
| 15253132 | Seeztal-Member | Membro del Seeztal |
| 15253133 | Windgällen-Member | Membro delle Windgällen |
| 15253135 | Planplatte-Eisenoolith | Oolite ferruginosa della Planplatte |
| 15253136 | «Grenzschicht» (Erzegg-Fm.) | «Grenzschicht» (Fm. dell'Erzegg) |
| 15253138 | Blegi-Eisenoolith | Oolite ferruginosa della Blegi |
| 15253139 | Bannalp-Konglomerat | Conglomerato della Bannalp |
| 15253140 | Guppen-Fossilhorizont | Orizzonte fossilifero di Guppen |
| 15253141 | Gursbach-Fossilhorizont | Orizzonte fossilifero di Gursbach |
| 15253143 | Schwarzhorn-Member | Membro del Schwarzhorn |
| 15253144 | Bietenhorn-Member | Membro del Bietenhorn |
| 15253146 | Glockhaus-Member | Membro del Glockhaus |
| 15253150 | Mols-Member | Membro di Mols |
| 15253151 | Geissbach-Konglomerat | Conglomerato del Geissbach |
| 15253152 | Stöckli-Sandstein | Arenaria del Stöckli |
| 15253153 | Vättis-Fossilbrekzie | Brecia di Vättis |
| 15253147 | «Grenzquarzit» (Bommerstein-Fm.) | «Grenzquarzit» (Fm. del Bommerstein) |
| 15253148 | «Obere Tonschiefer» (Bommerstein-Fm.) | «Obere Tonschiefer» (Fm. del Bommerstein) |
| 15253149 | «Rote Echinodermenbrekzie» (Bommerstein-Fm.) | «Rote Echinodermenbrekzie» (Fm. del Bommerstein) |
| 15253160 | Bränd-Brekzie | Breccia di Bränd |

| GeolCode | Deutsch | Italiano |
|---|---|---|
| 15253163 | «Leitoolith» (Prodkamm-Fm.) | «Leitoolith» (Fm. del Prodkamm) |
| 15253164 | «Cardinia-Member» | «Membro a Cardinia» |
| 15253165 | Weissgandstöckli-Bank | Strato del Weissgandstöckli |
| 15253170 | Griaz-Member | Membro della Griaz |
| 15253177 | Dzéman-Member | Membro del Dzéman |
| 15253178 | Salvan-Member | Membro di Salvan |
| 15253179 | Au-d'Arbignon-Schiefer | Scisti del Au d'Arbignon |
| 15253180 | Vallorcine-Konglomerat | Conglomerato di Vallorcine |
| 15253181 | Dorénaz-Konglomerat | Conglomerato di Dorénaz |
| 15253182 | Plex-Aboyeu-Rhyolith | Riolite di Plex-Aboyeu |
| 15253185 | Miéville-Mylonit | Milonite di Miéville |
| 15253210 | Unter-der-Flue-Granit | Granito di Unter-der-Flue |
| 15253211 | Beesten-Granit | Granito di Beesten |
| 15253223 | Sandalp-Rhyolith | Riolite della Sandalp |
| 15253224 | «Lakustrisches Member» (Bifertengrätli-Fm.) | «Lakustrisches Member» (Fm. del Bifertengrätli) |
| 15253225 | «Estuarisches Member» (Bifertengrätli-Fm.) | «Estuarisches Member» (Fm. del Bifertengrätli) |
| 15253226 | Grünhorn-Member | Membro del Grünhorn |
| 15253227 | «Basales Konglomerat» (Bifertengrätli-Fm.) | «Conglomerato basale» (Fm. del Bifertengrätli) |
| 15253229 | Maasplanggstock-Metaandesit | Metaandesite del Maasplanggstock |
| 15253230 | Garwiidi-Diorit | Diorite di Garwiidi |
| 15253232 | Rinderbiel-Mikrogranit | Microgranito di Rinderbiel |
| 15253253 | Zäsenberg-Gneis | Gneiss del Zäsenberg |
| 15253265 | Bitschji-Augengneis | Gneiss occhiadino di Bitschji |
| 15253266 | Geimen-Augengneis | Gneiss occhiadino di Geimen |
| 15253267 | Engi-Granit | Granito di Engi |
| 15253272 | Posta-Biala-Granit | Granito della Posta Biala |
| 15253273 | Val-Punteglias-Diorit | Diorite della Val Punteglias |
| 15253274 | Piz-Ner-Granit | Granito del Piz Ner |
| 15253276 | Torrentalp-Member | Membro della Torrentalp |
| 15253277 | Galm-Member | Membro di Galm |
| 15253283 | «Supraquarzitischer Flysch» (Martinsmad-Fm.) | «Supraquarzitischer Flysch» (Fm. del Martinsmad) |
| 15253285 | Sardona-Member | Membro del Sardona |
| 15253286 | «Infraquarzitischer Flysch» (Martinsmad-Fm.) | «Infraquarzitischer Flysch» (Fm. del Martinsmad) |
| 15253284 | Suren-Flysch | Flysch del Suren |
| 15253291 | Kärpfgipfel-Sernifit | Sernifite del Kärpfgipfel |
| 15253294 | Glattmatt-Member | Membro della Glattmatt |
| 15253295 | Fuggstock-Member | Membro del Fuggstock |
| 15253297 | Chartegg-Member | Membro della Chartegg |
| 15253299 | Seez-Member | Membro di Seez |
| 15253300 | Gufelialp-Member | Membro della Gufelialp |
| 15253298 | Rotberg-Sandstein | Arenaria del Rotberg |
| 15253302 | Grisch-Member | Membro del Piz Grisch |
| 15253306 | Foostock-Member | Membro del Foostock |
| 15253303 | Hahnenstock-Keratophyr | Keratofiro del Hahnenstock |
| 15253304 | Sonnenberg-Horizonte | Orizzonte del Sonnenberg |
| 15253305 | Chamseeli-Konglomerat | Conglomerato del Chamseeli |
| 15253332 | Pontino-Gneiskomplex | Complesso gneissico di Pontino |
| 15253333 | Nelva-Gneiskomplex | Complesso gneissico di Nelva |
| 15253334 | Sasso-Rosso-Gneiskomplex | Complesso gneissico del Sasso Rosso |

| GeolCode | Deutsch | Italiano |
|---|---|---|
| 15253337 | Unterwassern-Gneis | Gneiss di Unterwassern |
| 15253339 | Hüenerstock-Gneis | Gneiss del Hüenerstock |
| 15253340 | Sassina-Spans-Augengneis | Gneiss occhiadino del Sassina |
| 15253341 | Alp-Ramosa-Granitgneis | Ortogneiss dell'Alp Ramosa |
| 15253344 | Prato-Gneis | Gneiss di Prato |
| 15253345 | Distelgrat-Gneis | Gneiss del Distelgrat |
| 15253346 | Guspis-Gneis | Gneiss di Guspis |
| 15253347 | Gurschen-Gneis | Gneiss della Gurschenalp |
| 15253348 | Fuorcla-Paradis-Serpentinit | Serpentinite della Fuorcla Paradis |
| 15253350 | Oberstafel-Gneis | Gneiss di Oberstafel |
| 15253351 | Ganneretsch-Gneis | Gneiss del Piz Ganneretsch |
| 15253352 | Sorescia-Gneis | Gneiss di Sorescia |
| 15253353 | Val-Camadra-Migmatit | Migmatite della Val Camadra |
| 15253354 | Val-Gronda-Augengneis | Gneiss occhiadino della Val Gronda |
| 15253355 | Corandoni-Amphibolit | Anfibolite di Corandoni |
| 15253357 | «Basaler Quarzit» (Coroi-Fm.) | «Quarzite basale» (Fm. del Coroi) |
| 15253359 | Runcaldeida-Schichten | Strai di Runcaldeida |
| 15253360 | Riein-Schichten | Strati di Riein |
| 15253363 | Habkern-Granit | Granito di Habkern |
| 15253364 | Leimern-Schichten | Strati della Leimern |
| 15253365 | Schattwald-Mergelkalk | Calcare del Schattwald |
| 15253368 | Surbrunnen-Flysch | Flysch di Surbrunnen |
| 15253369 | Roggenegg-Komplex | Complesso della Roggenegg |
| 15253370 | Isentobel-Komplex | Complesso del Isentobel |
| 15253371 | Gwürz-Flysch | Flysch di Gwürz |
| 15253372 | Scheidegg-Flysch | Flysch della Scheidegg |
| 15253379 | Höchst-Flysch | Flysch del Höchst |
| 15253380 | Iserin-Konglomerat | Conglomerato d'Iserin |
| 15253382 | Gros-Plané-Melange | Mélange del Gros Plané |
| 15253383 | Bodevena-Melange | Mélange della Bodevena |
| 15253388 | Cergnement-Member | Membro del Cergnement |
| 15253389 | Veveyse-de-Châtel-Member | Membro della Veveyse de Châtel |
| 15253390 | Riondouneire-Member | Membro di Riondouneire |
| 15253392 | Vuavres-Member | Membro delle Vuavres |
| 15253393 | Planière-Member | Membro della Planière |
| 15253395 | Joux-Galez-Member | Membro di Joux Galez |
| 15253398 | Taffon-Member | Membro del Taffon |
| 15253399 | Saix-Member | Membro dei Saix |
| 15254002 | Pizzo-Castello-Wildflysch | Mélange dello Pizzo Castello |
| 15254003 | Tamier-Zött-Wildflysch | Mélange di Tamier-Zött |
| 15254004 | Alpe-Tamia-Campo-Wildflysch | Mélange dell'Alpe Tamia-Campo |
| 15254006 | Medola-Quarzit | Quarzite del Medola |
| 15254007 | Pianasciom-Kalkschiefer | Calcescisti di Pianasciom |
| 15254008 | Piano-delle-Creste-Sandstein | Arenaria del Piano delle Creste |
| 15254019 | «Scisti bruni» (Lebendun) | «Scisti bruni» (Lebendun) |
| 15254040 | Personico-Gneis | Gneiss di Personico |
| 15254056 | Sivigia-Gneis | Gneiss di Sivigia |
| 15255008 | Aigremont-Brekzie | Breccia di Aigremont |
| 15255011 | Langy-Member | Membro di Langy |
| 15255012 | Forclaz-Member | Membro della Forclaz |
| 15255013 | «Grès de Passage» | «Grès de Passage» |
| 15255014 | Leyderry-Member | Membro della Leyderry |
| 15255015 | Raverette-Member | Membro della Raverette |
| 15255016 | «Schistes à Miches» | «Schistes à Miches» |

| GeolCode | Deutsch | Italiano |
|---|---|---|
| 15255028 | «Flysch 3b mit bioklastischen Turbiditen» | «Flysch 3b, à turbidites bioclastiques» |
| 15255029 | «Flysch 3a mergelig-sandig» | «Flysch 3a, marno-gréseux» |
| 15255031 | «Flysch 2b mit sandigen Turbiditen» | «Flysch 2b, à turbidites siliceuses» |
| 15255032 | «Flysch 2a tonig-sandig» | «Flysch 2a, argilo-gréseux» |
| 15255036 | «Obere Tonsteinschichten» (Schlieren-Flysch) | «Obere Tonsteinschichten» (Flysch delle Schlieren) |
| 15255038 | «Untere Tonsteinschichten» (Schlieren-Flysch) | «Untere Tonsteinschichten» (Flysch delle Schlieren) |
| 15255058 | Peula-Schichten | Strati della Peula |
| 15255059 | La-Dotse-Albitkalk | Calcare albitico della Dotse |
| 15255061 | Pierre-Avoi-Brekzie | Breccia della Pierre Avoi |
| 15255065 | Bleis-Pintgas-Member | Membro del Bleis Pintgas |
| 15255066 | Parnegl-Member | Membro di Parnegl |
| 15255067 | Danis-Member | Membro di Danis |
| 15255068 | Raschil-Member | Membro del Piz Raschil |
| 15255069 | «Hauptkonglomerat» | «Hauptkonglomerat» |
| 15255072 | Safien-Kalk | Calcare di Safien |
| 15255100 | Buufal-Konglomerat | Conglomerato di Buufal |
| 15255103 | Hochmatt-Kalkarenit | Calcareénite della Hochmatt |
| 15255104 | Chenaux-Rouges-Mineralkruste | Crosta mineralizzata delle Chenaux Rouges |
| 15255106 | Roter-Sattel-Hartgrund | Hardground di Roter Sattel |
| 15255107 | Beaumont-Konglomerat | Conglomerato di Beaumont |
| 15255108 | Rayes-Kalk | Calcare delle Rayes |
| 15255109 | Pissot-Member | Membro del Pissot |
| 15255111 | Wildenbach-Member | Membro del Wildenbach |
| 15255113 | Rontins-Member | Membro dei Rontins |
| 15255114 | Allières-Member | Membro di Allières |
| 15255115 | Gérignoz-Kalk | Calcare di Gérignoz |
| 15255116 | Plagersflue-Kalkarenit | Calcarenite della Plagersflue |
| 15255112 | Pra-du-Pont-Hartgrund | Hardground di Pra du Pont |
| 15255118 | Chällihorn-Member | Membro del Chällihorn |
| 15255119 | Comba-d'Avau-Member | Membro della Comba d'Avau |
| 15255120 | Rodosex-Member | Membro di Rososex |
| 15255122 | Kummli-Schichten | Strati di Kummli |
| 15255124 | Wandfluh-Mikrofazies | Microfacies della Wandfluh |
| 15255125 | Gummfluh-Mikrofazies | Microfacies della Gummfluh |
| 15255126 | Gastlosen-Oolith | Oolite delle Gastlosen |
| 15255127 | Rindenkorn-Mikrofazies | Microfacies a Rindenkorn |
| 15255128 | Pfad-Mikrofazies | Microfacies di Pfad |
| 15255130 | Albeuve-Serie | Serie di Albeuve |
| 15255134 | Col-de-Cordon-Member | Membro del Col de Cordon |
| 15255138 | Rubli-Member | Membro del Rubli |
| 15255139 | Chavanette-Member | Membro di Chavanette |
| 15255135 | Stockenflue-Kalk | Calcare della Stockenflue |
| 15255136 | Klus-Konglomerat | Conglomerato della Klus |
| 15255137 | Holzerhorn-Einheit | Unità dell Holzerhorn |
| 15255141 | Col-de-Lys-Member | Membro del Col de Lys |
| 15255142 | Vanil-Carré-Member | Membro del Vanil Carré |
| 15255143 | Verdy-Member | Membro del Verdy |
| 15255144 | Soladier-Member | Membro di Soladier |
| 15255146 | Langel-Member | Membro di Langel |
| 15255147 | Mieussy-Member | Membro di Mieussy |

| GeolCode | Deutsch | Italiano |
|---|---|---|
| 15255153 | Chevalets-Schichten | Strati dei Chevalets |
| 15255154 | Creux-de-l'Ours-Schichten | Strati del Creux de l'Ours |
| 15255160 | Agreblierai-Member | Membro di Agreblierai |
| 15255161 | Bois-de-Luan-Member | Membro del Bois de Luan |
| 15255167 | «Obere Rauhwacke» (Pralet-Fm.) | «Cornieule Supérieure» (Fm. del Pralet) |
| 15255168 | Erpilles-Member | Membro delle Erpilles |
| 15255169 | Balmi-Member | Membro del Balmi |
| 15255171 | Bodeflue-Member | Membro della Bodeflue |
| 15255172 | Wildgrimmi-Member | Membro del Wildgrimmi |
| 15255174 | Andonces-Member | Membro delle Andonces |
| 15255177 | Lessus-Member | Membro del Lessus |
| 15255178 | Dorchaux-Member | Membro di Dorchaux |
| 15255175 | «Mittlere Rauhwacke» (St-Triphon-Fm.) | «Cornieule Moyenne» (Fm. di St-Triphon) |
| 15255176 | «Silex-Niveau» (St-Triphon-Fm.) | «Livello a Selce» (Fm. di St-Triphon) |
| 15255179 | «Untere Rauhwacke» (St-Triphon-Fm.) | «Cornieule Inférieure» (Fm. di St-Triphon) |
| 15255181 | Mythen-Kieselkalk | Calcare siliceo delle Mythen |
| 15255182 | «Griggeli-Bank» | «Strato del Griggeli» |
| 15255184 | Rämsi-Member | Membro di Rämsi |
| 15255185 | «Gibel-Member» | «Membro di Gibel» |
| 15255187 | Musenalp-Member | Membro della Musenalp |
| 15255186 | Steinberg-Konglomerat | Conglomerato del Steinberg |
| 15255189 | «Zoophycos-Schichten» (Stanserhorn-Fm.) | «Strati a Zoophycos» (Fm. del Stanserhorn) |
| 15255190 | Spis-Kalk | Calcare della Spis |
| 15255191 | «Posidonienschiefer» (Stanserhorn-Fm.) | «Scisti a Posidonia» (Fm. del Stanserhorn) |
| 15255205 | «Untere Kalke» (Brekzien-Decke) | «Calcaires Inférieurs» (Falda della Breccia) |
| 15255209 | Chandoline-Sandstein | Arenaria di Chandoline |
| 15255214 | Plan-Palasuit-Konglomerat | Conglomerato di Plan Palasuit |
| 15255220 | Ahorn-Augengneiss | Gneiss occhiadino del Ahorn |
| 15255224 | Sous-le-Rocher-Member | Membro di Sous le Rocher |
| 15255225 | Embd-Member | Membro di Embd |
| 15255227 | Oberems-Albitgneis | Gneiss albitico di Oberems |
| 15255228 | Bonigersee-Augengneis | Gneiss occhiadino del Bonigersee |
| 15255230 | Gouille-Verte-Member | Membro della Gouille Verte |
| 15255231 | Matse-Member | Membro della Matse |
| 15255232 | Dent-de-Nendaz-Member | Membro della Dent de Nendaz |
| 15255233 | Goli-d'Aget-Member | Membro del Goli d'Aget |
| 15255234 | Mondra-Member | Membro della Mondra |
| 15255235 | Cleuson-Member | Membro di Cleuson |
| 15255237 | Louvie-Gabbro | Gabbro di Louvie |
| 15255243 | Minugrat-Eklogit | Eclogite del Minugrat |
| 15255245 | Brändjispitz-Metagabbro | Metagabbro del Brändjispitz |
| 15255246 | Ginals-Gneis | Gneiss di Ginals |
| 15255247 | Böshorn-Gneis | Gneiss del Böshorn |
| 15255267 | Wissberg-Brekzie | Breccia del Wissberg |
| 15255270 | Solis-Kalk | Calcare di Solis |
| 15255286 | Minschun-Brekzie (Tasna) | Breccia del Piz Minschun |
| 15255291 | Gets-Ophiolith | Ofiolite dei Gets |
| 15255293 | Mocausa-Nagelfluh | Conglomerato della Mocausa |

| GeolCode | Deutsch | Italiano |
|---|---|---|
| 15255295 | Gueyraz-Komplex | Complesso della Gueyraz |
| 15255296 | «Foraminiferenschichten» (Tissota-Melange) | «Strati a Foraminiferi» (Mélange della Tissota) |
| 15255297 | «Aptychenkalk» (Tissota-Melange) | «Calcare ad Aptichi» (Mélange della Tissota) |
| 15255298 | «Radiolarit» (Tissota-Melange) | «Radiolarite» (Mélange della Tissota) |
| 15255299 | «Filamentkalk» (Tissota-Melange) | «Calcare a Filamenti» (Mélange della Tissota) |
| 15255300 | «Spatkalk» (Tissota-Melange) | «Calcare Spatico» (Mélange della Tissota) |
| 15255302 | Weissenburg-Flysch | Flysch del Weissenburg |
| 15255303 | Lamperehubel-Sandstein | Arenaria del Lamperehubel |
| 15255306 | Colerin-Konglomerat | Conglomerato del Colerin |
| 15257002 | Clavadatsch-Brekzie | Breccia di Clavadatsch |
| 15257007 | Plattas-Member | Membro di Plattas |
| 15257010 | Mezzaun-Member | Membro del Piz Mezzaun |
| 15257011 | Blaisun-Member | Membro del Piz Blaisun |
| 15257012 | Trupchun-Member | Membro della Val Trupchun |
| 15257013 | Chaschauna-Brekzie | Breccia del Piz Chaschauna |
| 15257017 | Zirmenkopf-Kalk | Calcare del Zirmenkopf |
| 15257018 | Mitgel-Member | Membro del Piz Mitgel |
| 15257019 | Ramoz-Member | Membro di Ramoz |
| 15257020 | Schesaplana-Member | Membro della Schesaplana |
| 15257021 | Alplihorn-Member | Membro del Alplihorn |
| 15257027 | Crappa-Mala-Mergel | Marna della Crappa Mala |
| 15257028 | Pra-Grata-Member | Membro di Pra Gratta |
| 15257031 | Valbella-Member | Membro della Valbella |
| 15257032 | Stugl-Gips | Gesso di Stugl |
| 15257033 | Mezdi-Member | Membro del Piz Mezdi |
| 15257034 | Cluozza-Member | Membro della Val Cluozza |
| 15257036 | Mora-Member | Membro della Val Mora |
| 15257037 | Döss-Radond-Vulkanite | Rocce vulcanice del Döss Radond |
| 15257039 | Parai-Alba-Member | Membro della Parai Alba |
| 15257042 | Tiaun-Brekzie | Breccia del Tiaun |
| 15257043 | Turettas-Member | Membro del Piz Turettas |
| 15257044 | Landwasser-Member | Membro della Landwasser |
| 15257045 | Lavinèr-Brekzie | Breccia del Piz Lavinèr |
| 15257048 | Sertig-Member | Membro del Sertig |
| 15257049 | Ravais-ch-Member | Membro di Ravais-ch |
| 15257051 | «Trochitendolomit-Member» | «Trochitendolomit-Member» |
| 15257052 | «Brachiopodenkalk-Member» | «Brachiopodenkalk-Member» |
| 15257053 | «Eisendolomit-Member» | «Eisendolomit-Member» |
| 15257054 | «Gracilis-Member» | «Membro a Gracilis» |
| 15257056 | Punt-la-Drossa-Member | Membro di Punt la Rossa |
| 15257057 | «Pflanzenquarzit» | «Pflanzenquarzit» |
| 15257059 | Tuors-Member | Membro della Val Tuors |
| 15257060 | Val-Püra-Member | Membro della Val Püra |
| 15257062 | Sandhubel-Member | Membro del Sanhubel |
| 15257063 | Bellaluna-Member | Membro di Bellaluna |
| 15257067 | Lavatèra-Brekzie | Breccia di Lavatèra |
| 15258004 | Cagno-Sandstein | Arenaria di Cagno |
| 15258006 | Malnate-Sandstein | Arenaria di Malnate |
| 15258007 | Val-Grande-Sandstein | Arenaria della Val Grande |
| 15258008 | Rio-dei-Gioghi-Pelite | Peliti del Rio dei Gioghi |

| GeolCode | Deutsch | Italiano |
|---|---|---|
| 15258009 | Prestino-Pelite | Peliti di Prestino |
| 15258011 | Villa-Olmo-Konglomerat | Conglomerato di Villa Olmo |
| 15258025 | «Rosso ad Aptici» | «Rosso ad Aptici» |
| 15258028 | «Grenzposidonienschichten» | «Grenzposidonienschichten» |
| 15258032 | Molino-Member | Membro del Molino |
| 15258045 | «Kalkschieferzone» (Meride-Fm.) | «Kalkschieferzone» (Fm. di Meride) |
| 15258046 | «Dolomitband» (Meride-Fm.) | «Dolomitband» (Fm. di Meride) |
| 15258047 | Cassina-Bank | Strati di Cassina |
| 15258048 | «Cava Superiore» | «Cava Superiore» |
| 15258049 | «Cava Inferiore» | «Cava Inferiore» |
| 15258051 | Val-Serrata-Tuffite | Tuffiti della Val Serrata |

## 9.5 Appendice GC_LITSTRAT_UNCO_CD

Wertetabelle der lithostratigraphischen Einheiten

| GeolCode | Deutsch | Italiano |
|---|---|---|

## 9.6 Appendice GC_LITHO_CD

Wertetabellen der lithologischen Beschreibung

| GeolCode | Deutsch | Italiano |
|---|---|---|

## 9.7 Appendice GC_LITHO_UNCO_CD

Wertetabellen der lithologischen Beschreibung

| GeolCode | Deutsch | Italiano |
|---|---|---|

## 9.8 Appendice GC_CHRONO_CD

Wertetabelle der chronostratigraphischen Einheiten

| GeolCode | Deutsch | Italiano |
|---|---|---|

## 9.9 Appendice GC_TECTO_CD

Wertetabelle der tektonischen Einheiten

| GeolCode | Deutsch | Italiano |
|---|---|---|

## 9.10 Appendice GC_MINERAL_CD

Wichtiges Mineral des metamorphen Gesteins

| GeolCode | Deutsch | Italiano |
|---|---|---|

## 9.11 Appendice GC_ADMIXTURE

Beimengung

| GeolCode | Deutsch | Italiano |
|---|---|---|
| 14509001 | mit Löss | con loess |
| 14509002 | mit Lösslehm | con loess argilloso |
| 14509003 | mit Seekreide | con gesso lacustre |
| 14509004 | mit Blöcken | con blocchi |
| 14509005 | mit alpinen Geröllen | con ciottoli alpini |
| 14509006 | mit Block- und Geschiebestreu | cosparso di blocchi |
| 14509007 | mit Blockschutt vermischt | mischiato a deposito di versante a grossi blocchi |
| 14509008 | mit Hangschutt vermischt | mischiato a detrito di falda |
| 14509009 | mit Verwitterungsschutt vermischt | mischiato a dei residui di alterazione |
| 14509010 | mit Torf | con torba |
| 14509011 | mit jurassischen Geröllen | con ciottoli giurassiani |
| 14509012 | mit Geröllen aus Vogesen / Schwarzwald | con ciottoli dei Vosgi / del Schwarzwald |
| 14509013 | mit Schieferkohle | con lignite |

## 9.12 Appendice GC_COMPOSIT

Zusammensetzung des Lockergesteins

| GeolCode | Deutsch | Italiano |
|---|---|---|
| 14508001 | tonig | argilloso |
| 14508002 | lehmig | limoso |
| 14508003 | siltig | siltoso |
| 14508004 | sandig | sabbioso |
| 14508005 | kiesig | ghiaioso |
| 14508006 | geröllreich | ricco di ciottoli |
| 14508007 | torfig | torboso |

## 9.13 Appendice GC_CHARCAT

Spezifische Eigenschaft.

| GeolCode | Deutsch | Italiano |
|---|---|---|
| 14511001 | fossil | fossile |
| 14511002 | rezent | recente |
| 14511003 | verwittert | alterato |
| 14511004 | verfestigt (durch Überlast), konsolidiert | consolidato (per sovraccarico) |

| GeolCode | Deutsch | Italiano |
|---|---|---|
| 14511005 | verkittet (zementiert) | cementato |
| 14511006 | verschwemmt | dilavato |
| 14511007 | sumpfig | paludoso |
| 14511008 | umgelagert | rimaneggiato |
| 14511009 | abgebaut | sfruttato |
| 14511010 | drainiert | drenato |
| 14511011 | künstlich bewässert (Wässermatten) | inondato artificialmente (prati irrigati) |

## 9.14 Appendice GC_SYSTEM

Fossiliengruppe.

| GeolCode | Deutsch | Italiano |
|---|---|---|
| 12903001 | Vertebraten | vertebrati |
| 12903002 | Ostrakoden | ostracodi |
| 12903003 | Gastropoden | gasteropodi |
| 12903004 | Foraminiferen | foraminiferi |
| 12903005 | Algen | alghe |
| 12903006 | Blätter | foglie |
| 12903007 | Gräser | graminacee |
| 12903008 | Holz | legno |
| 12903009 | Ammoniten | ammoniti |
| 12903010 | Schwämme | spugne |
| 12903011 | Korallen | coralli |
| 12903012 | Brachiopoden | brachiopodi |
| 12903013 | Mollusken | molluschi |
| 12903014 | Cephalopoden | cefalopodi |
| 12903015 | Bivalven | bivalvi |
| 12903016 | Echinodermen | echinodermi |
| 12903017 | Fische | pesce |
| 12903018 | Reptilien | reptili |
| 12903019 | Säugetiere | mammiferi |
| 12903021 | Palynomorphe | palinomorfi |